



*I. Artobolevski*

# Les Mécanismes Dans la Technique Moderne

*Tome 2*

*Première partie*

Mécanismes à leviers

---

*Éditions MIR • Moscou*

---

**И. И. АРТӨБОЛЕВСКИЙ**

**МЕХАНИЗМЫ  
В СОВРЕМЕННОЙ  
ТЕХНИКЕ**

**Том 2**

**Часть первая**

**РЫЧАЖНЫЕ МЕХАНИЗМЫ**

**Издательство «Наука»  
Москва**

# **Les mécanismes dans la technique moderne**

---

par I. ARTOBOLVSKI

---

Tome 2  
Première partie

## **Mécanismes à leviers**

A l'usage  
des ingénieurs, constructeurs  
et inventeurs

Éditions MIR · Moscou

**Traduit du russe  
par D. JOUKOVSKI**

*На французском языке*

**© Traduction française Editions Mir 1976**



# Table des matières

---

Préface	7
IV. Mécanismes à coulisse et leviers	9
1. Mécanismes à trois éléments d'usage général (913-927)	11
2. Mécanismes à quatre éléments d'usage général (928-993)	22
3. Mécanismes à cinq éléments d'usage général (994-999)	76
4. Mécanismes à six éléments d'usage général (1000-1027)	80
5. Mécanismes à éléments multiples d'usage général (1028-1042)	107
6. Mécanismes servant à tracer les courbes (1043-1255)	122
7. Mécanismes pour opérations mathématiques (1256-1318)	335
8. Mécanismes des freins (1319-1321)	395
9. Mécanismes des plateaux oscillants (1322-1323)	398
10. Mécanismes des marteaux, des presses et des emboutisseuses (1324-1325)	399
11. Mécanismes des régulateurs (1326-1329)	401
12. Mécanismes de distribution de vapeur (1330-1336)	405
13. Mécanismes avec arrêts (1337-1354)	411
14. Mécanismes de guidage et d'inversion (1355-1376)	428
15. Mécanismes de commutation, d'enclenchement et de déclenchement (1377)	447
16. Mécanismes de triage, d'avance et d'alimentation (1378-1381)	448
17. Mécanismes à griffe des caméras (1382-1395)	452
18. Mécanismes des accouplements (1396-1397)	465
19. Mécanismes des touches (1398)	467
20. Mécanismes des machines à piston (1399-1413)	468
21. Mécanismes des trains d'atterrissage (1414-1443)	480

22. Mécanismes des dispositifs de mesure et d'essai (1444-1445)	510
23. Mécanismes des pantographes (1446-1447)	512
24. Mécanismes d'autres dispositifs spéciaux (1448-1474)	514
<b>V. Mécanismes à coulisseau et manivelle</b>	<b>537</b>
1. Mécanismes à trois éléments d'usage général (1475-1476)	539
2. Mécanismes à quatre éléments d'usage général (1477-1503)	541
3. Mécanismes à six éléments d'usage général (1504-1528)	559
4. Mécanismes à éléments multiples d'usage général (1529-1534)	578
5. Mécanismes de guidage et d'inversion (1535-1559)	584
6. Mécanismes des machines à piston (1560-1591)	601
7. Mécanismes des plateaux oscillants (1592-1600)	626
8. Mécanismes pour opérations mathématiques (1601-1602)	633
9. Mécanismes servant à tracer les courbes (1603-1624)	635
10. Mécanismes d'arrêt, de blocage et de verrouillage (1625-1628)	657
11. Mécanismes des marteaux, des presses et des emboutisseuses (1629-1633)	660
12. Mécanismes des régulateurs (1634-1639)	663
13. Mécanismes des griffes, des serres et des entretoises (1640-1644)	667
14. Mécanismes avec arrêts (1645-1648)	671
15. Mécanismes des appareils de levage (1649)	674
16. Mécanismes à griffe des caméras (1650-1657)	675
17. Mécanismes de distribution de vapeur (1658-1659)	682
18. Mécanismes des trains d'atterrissage (1660-1664)	684
19. Mécanismes de triage, d'avance et d'alimentation (1665-1669)	689
20. Mécanismes des dispositifs de mesure et d'essai (1670-1671)	694
21. Mécanismes d'autres dispositifs spéciaux (1672-1683)	695
<b>Index alphabétique</b>	<b>703</b>

## Préface

---

Comme le premier tome, le deuxième tome (en deux parties) de l'ouvrage « Les mécanismes dans la technique moderne » est consacré aux mécanismes à leviers. Dans le présent tome, le lecteur trouvera les schémas et la description de divers types de mécanismes à leviers constitués de couples de rotation et de translation. Le II<sup>e</sup> tome comprend également des mécanismes de type combiné : mécanismes à leviers et engrenage, à leviers et came, à leviers et rochet, etc. On examine à part les mécanismes à leviers comportant des éléments flexibles et élastiques. On trouvera en fin de volume les schémas et la description des mécanismes à leviers et cale et des mécanismes à leviers et vis.

Le deuxième tome contient 1376 mécanismes (première partie 770, deuxième partie 605). Compte tenu des mécanismes inclus dans le premier volume, le nombre total de mécanismes à leviers s'élève à 2288. Le premier tome contient (pp. 17—39) les index des mécanismes classés selon les critères de leur structure et de leur fonctionnement. Le premier tome comporte également (pp. 13—16) toutes les indications nécessaires concernant l'utilisation de schémas et de systèmes de classification des mécanismes que l'on a adoptés.

On trouve à la fin des tomes les index alphabétiques de tous les mécanismes qu'ils contiennent.

Nous tenons à exprimer notre vive reconnaissance à V. Zinoviev pour sa collaboration et son aide précieuse lors de la publication du présent volume.



#### IV

# Mécanismes à coulisse et leviers CL

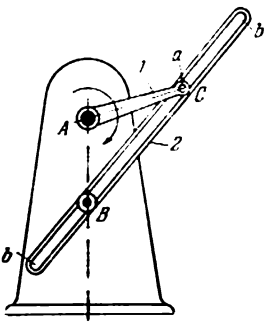
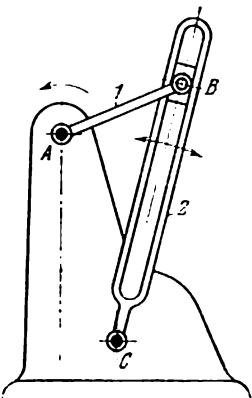
---

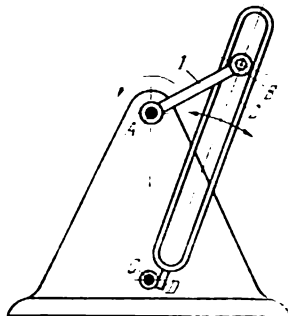
1. Mécanismes à trois éléments d'usage général Tr (913-927). 2. Mécanismes à quatre éléments d'usage général Q (928-993). 3. Mécanismes à cinq éléments d'usage général C (994-999). 4. Mécanismes à six éléments d'usage général S (1000-1027). 5. Mécanismes à éléments multiples d'usage général M (1028-1042). 6. Mécanismes servant à tracer les courbes TC (1043-1255). 7. Mécanismes pour opérations mathématiques OM (1256-1318). 8. Mécanismes des freins Fr (1319-1321). 9. Mécanismes des plateaux oscillants PO (1322-1323). 10. Mécanismes des marteaux, des presses et des emboutisseuses MPr (1324-1325). 11. Mécanismes des régulateurs Rg (1326-1329). 12. Mécanismes de distribution de vapeur DV (1330-1336). 13. Mécanismes avec arrêts Ar (1337-1354). 14. Mécanismes de guidage et d'inversion GI (1355-1376). 15. Mécanismes de commutation, d'enclenchement et de déclenchement CE (1377). 16. Mécanismes de triage, d'avance et d'alimentation TA (1378-1381). 17. Mécanismes à griffe des caméras GC (1382-1395). 18. Mécanismes des accouplements Ac (1396-1397). 19. Mécanismes des touches T (1398). 20. Mécanismes des machines à piston MP (1399-1413). 21. Mécanismes des trains d'atterrissage TAt (1414-1443). 22. Mécanismes des dispositifs de mesure et d'essai ME (1444-1445). 23. Mécanismes des pantographes Pg (1446-1447). 24. Mécanismes d'autres dispositifs spéciaux DSp (1448-1474).

---



# 1. Mécanismes à trois éléments d'usage général (913-927)

913	<b>MÉCANISME À COULISSE, À TROIS ÉLÉMENTS AVEC COULISSE TOURNANTE</b>	<b>CL</b> <b>Tr</b>
		<p>Les longueurs des éléments du mécanisme satisfont à la condition :</p> $AC > AB.$ <p>L'élément 1, qui tourne sur un axe fixe A, possède le doigt a glissant dans la rainure b de la coulisse 2. La coulisse 2 tourne autour d'un axe fixe B en effectuant un tour complet.</p>
914	<b>MÉCANISME À COULISSE, À TROIS ÉLÉMENTS AVEC COULISSE OSCILLANTE</b>	<b>CL</b> <b>Tr</b>
		<p>Les longueurs des éléments du mécanisme satisfont à la condition :</p> $AB < AC.$ <p>Il s'ensuit que, lors de la rotation complète de l'élément 1 autour d'un axe fixe A, la coulisse 2 n'effectue pas un tour complet, mais pivote sur un axe fixe C à un angle <math>\beta</math> défini par l'égalité</p> $\beta = 2 \arcsin \frac{AB}{AC}.$

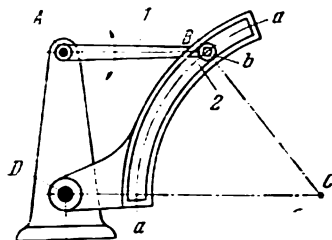


Lorsqu'on imprime une rotation à l'élément 1, la coulisse 2 effectue un mouvement oscillatoire autour d'un axe fixe C. L'axe de la coulisse 2 ne passe pas par le centre C de rotation de la coulisse 2. On détermine l'angle total  $\beta$  de rotation de la coulisse par l'égalité:

$$\beta = \arcsin \frac{AB - CD}{AC} + \arcsin \frac{AB + CD}{AC},$$

où CD est la plus courte distance de l'axe de la coulisse 2 du point C.





Les longueurs des éléments du mécanisme satisfont aux conditions:

$$AB + BC < AD + DC$$

et

$$AB < AD < BC < DC.$$

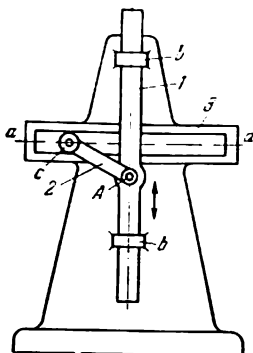
L'élément 1 se termine par un doigt *b* qui glisse dans une coulisse arquée mobile *a — a* ayant pour centre le point *C*. Lorsque l'élément 1 oscille autour d'un axe fixe *A*, la coulisse 2 effectue également un mouvement oscillatoire. Ce mécanisme est équivalent à un mécanisme *ABCD* à quatre éléments et à deux leviers oscillants, où l'élément *BC* est la bielle et les éléments *AB* et *DC* sont des leviers oscillants.

917

**MÉCANISME À COULISSE, À TROIS ÉLÉMENTS  
AVEC DEUX GUIDAGES**

CL

Tr



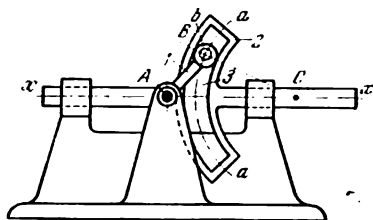
L'élément 1, animé d'un mouvement de va-et-vient dans le guidage fixe  $b - b$ , constitue un couple de rotation  $A$  avec l'élément 2. Le doigt  $c$  glisse dans le guidage fixe  $a - a$  de l'élément 3. Les axes des guidages  $a - a$  et  $b - b$  sont perpendiculaires entre eux.

918

**MÉCANISME À COULISSE, À TROIS ÉLÉMENTS  
AVEC COULISSE ARQUÉE**

CL

Tr



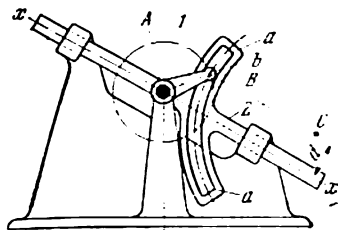
L'élément 1, qui tourne sur un axe fixe  $A$ , possède un doigt  $b$  couissant dans le guidage arqué mobile  $a - a$  qui a pour centre le point  $C$ . Lorsque l'élément 1 est en rotation, la coulisse 2 reçoit un mouvement de va-et-vient le long de l'axe  $x - x$ . Le mécanisme équivaut à un mécanisme  $ABC$  à coulisseau et manivelle, où  $AB$  est la manivelle,  $BC$  la bielle et la coulisse 2 est le coulisseau.

919

**MÉCANISME À COULISSE, À TROIS ÉLÉMENTS  
AVEC COULISSE ARQUÉE**

CL

Tr



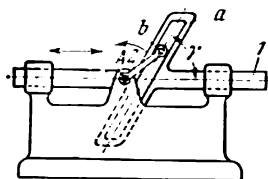
L'élément 1, tournant autour d'un axe fixe  $A$ , possède un doigt  $b$  qui coulisse dans un guidage arqué mobile  $a-a$  ayant pour centre le point  $C$ . Lorsque la manivelle 1 tourne, la coulisse 2 reçoit un mouvement de va-et-vient le long de l'axe  $x-x$ . Le mécanisme équivaut à un mécanisme désaxé  $ABC$  à coulisseau et manivelle, dans lequel  $AB$  est la manivelle,  $BC$  la bielle, la coulisse 2 est le coulisseau et  $d$  est le désaxement.

920

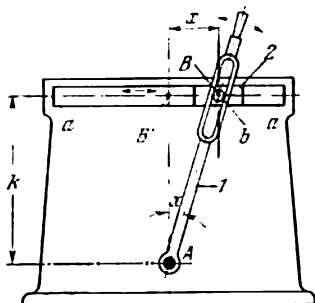
**MÉCANISME À COULISSE, À TROIS ÉLÉMENTS  
AVEC COULISSE ANIMÉE D'UN MOUVEMENT  
DE TRANSLATION**

CL

Tr



L'élément 1 comporte une coulisse  $a$ , dans laquelle glisse le doigt  $b$  de l'élément 2. L'axe de la coulisse fait un angle  $\gamma$  avec la direction du mouvement de l'élément 1. L'angle  $\gamma$  de l'inclinaison de l'axe de la coulisse par rapport à l'axe de l'élément 1 doit être choisi de façon à éviter que le mécanisme ne se coince.

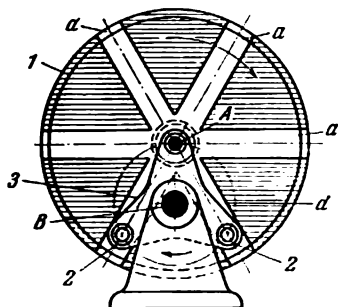


La coulisse 1 oscille sur un axe fixe A. Le doigt cylindrique b du coulisseau 2 qui effectue un mouvement de va-et-vient dans le guidage rectiligne a — a du bâti glisse dans sa rainure. Le déplacement  $x$  du point B du coulisseau 2 par rapport à la position moyenne B' est donné par la formule:

$$x = k \operatorname{tg} \alpha.$$

où  $\alpha$  est l'angle de rotation de la coulisse 1,  $k$ , la distance entre le point B' et l'axe A.

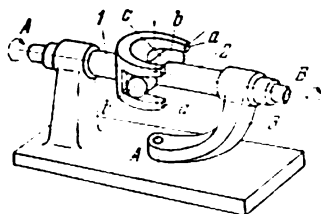




La coulisse 1, qui a la forme d'un disque comportant trois rainures diamétrales  $a$  symétriquement disposées, tourne sur un axe fixe  $A$ . L'élément 3, tournant autour d'un axe fixe  $B$ , porte des galets 2 disposés à un angle de  $120^\circ$  respectivement sur une circonférence de diamètre  $d = 2 AB$ . On assure une répartition plus régulière des efforts et un mouvement plus doux du mécanisme au moyen de trois rainures  $a$ . Lorsque l'élément 3 tourne dans le sens de la flèche, les galets 2 se déplacent dans les rainures diamétrales de la coulisse 1, en la faisant tourner dans la même direction. Le rapport de transmission  $i_{31}$  entre les éléments 3 et 1 a pour expression :

$$i_{31} = \frac{\omega_3}{\omega_1} = 2.$$

Par suite, l'angle de rotation de l'élément 3 est toujours égal à deux angles de rotation de l'élément 1.

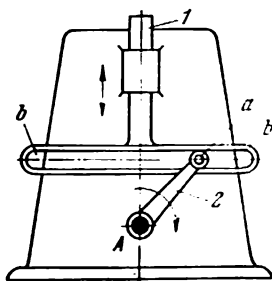


La coulisse 1 possède deux guides circulaires *a*. L'élément 2 se termine par les doigts cylindriques ronds *b* qui glissent dans les guides *a*. Le diamètre des doigts *b* est égal à la largeur des guides *a*. Après avoir placé le support 3 en position voulue, en le faisant tourner autour d'un axe fixe *A*, puis en l'immobilisant, on peut transmettre la rotation de l'élément 1 à l'élément 2 à condition que les axes des articulations, du guide circulaire et des doigts *b* se croisent en un seul et même point. Le mécanisme permet de transmettre la rotation de l'arbre *A* à l'arbre *B* pour des positions angulaires quelconques des arbres.

925

# MÉCANISME À COULISSE, A TROIS ÉLÉMENTS AVEC COULISSE RECTILIGNE

CL  
Tr

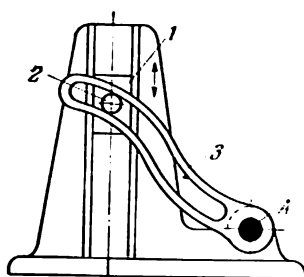


L'élément 1 est animé d'un mouvement rectiligne dans un guide fixe. L'élément 2, tournant sur un axe fixe A, comporte un doigt a qui se déplace dans la rainure b-b dont la largeur est égale au diamètre extérieur du doigt a.

926

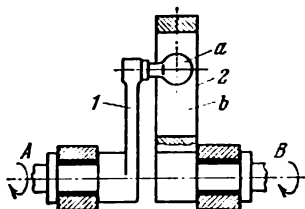
# MÉCANISME À COULISSE, A TROIS ÉLÉMENTS AVEC COULISSE CURVILIGNE

CL  
Tr



Lorsque le coulisseau 1 est animé d'un mouvement de va-et-vient, le doigt cylindrique 2 du coulisseau 1 glisse dans la rainure d'une coulisse curviligne 3 qui effectue un mouvement oscillatoire autour d'un axe fixe A.

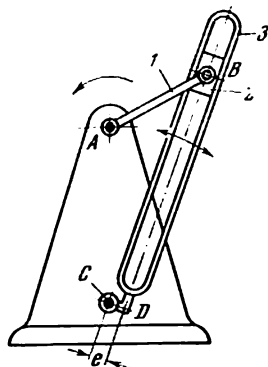




L'élément 1, tournant sur un axe fixe A, possède une sphère *a* qui entre en contact avec le plan *b* de l'élément 2 tournant sur un axe fixe B. Le mécanisme permet de transmettre la rotation entre deux arbres A et B ayant des positions angulaires quelconques.

## 2. Mécanismes à quatre éléments d'usage général (928-993)

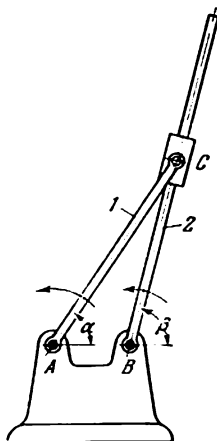
928	<b>MÉCANISME À COULISSE, À QUATRE ÉLÉMENTS AVEC COULISSE OSCILLANTE</b>	<b>CL Q</b>
<div data-bbox="394 334 641 708" data-label="Image"> </div> <p data-bbox="166 722 866 772">Les longueurs des éléments du mécanisme satisfont à la condition :</p> $AB < AC.$ <p data-bbox="166 808 866 886">Lorsque l'élément 1 opère une rotation complète, la coulisse 2 n'effectue pas un tour complet mais pivote sur un axe fixe C à un angle <math>\beta</math> défini par l'équation :</p> $\beta = 2 \arcsin \frac{AB}{AC}.$		



Lorsque l'élément 1 tourne autour d'un axe fixe A, la coulisse 3 effectue un mouvement oscillatoire autour d'un axe fixe C. L'axe de guidage du coulisseau 2 ne passe pas par le centre de rotation C de la coulisse 3. L'angle total  $\beta$  de rotation de la coulisse 3 autour de l'axe C a pour expression :

$$\beta = \arcsin \frac{AB - CD}{AC} + \arcsin \frac{AB + CD}{AC},$$

où  $CD = e$  est la plus courte distance de l'axe de la coulisse 3 au point C.



Les longueurs des éléments du mécanisme satisfont à la condition :

$$AC > AB.$$

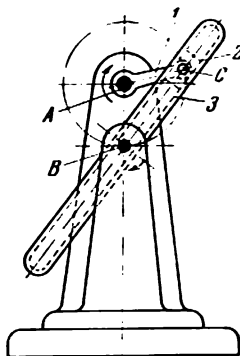
Les angles  $\alpha$  et  $\beta$  de rotation de l'élément 1 et de la coulisse 2 autour des axes fixes A et B sont liés par la relation :

$$\operatorname{tg} \beta = \frac{AC \sin \alpha}{AC \cos \alpha - AB}.$$

Le rapport de transmission  $i_{12}$  a pour expression :

$$i_{12} = \frac{\sin \alpha}{\sin \beta} \frac{1}{\cos (\beta - \alpha)}.$$

L'élément 1 et la coulisse 2 peuvent effectuer des tours complets autour des axes A et B.



Les longueurs des éléments du mécanisme satisfont à la condition :

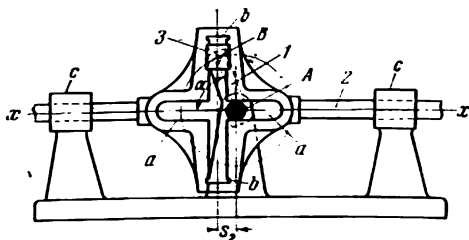
$$AC = AB.$$

La manivelle 1, tournant sur un axe fixe A, constitue un couple de rotation C avec le coulisseau 2. Celui-ci glisse dans la coulisse 3 tournant autour d'un axe fixe B. La manivelle 1 fait tourner la coulisse 3 autour d'un axe fixe B. Le rapport de transmission  $i_{13}$  du mécanisme est égal à

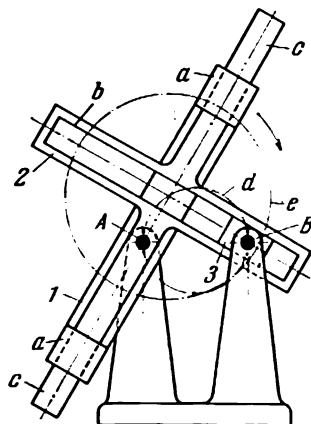
$$i_{13} = \frac{\omega_1}{\omega_3} = 2,$$

où  $\omega_1$  et  $\omega_3$  sont les vitesses angulaires des éléments 1 et 3, c'est-à-dire que la coulisse 3 fait un tour complet tandis que la manivelle 1 effectue deux tours.

932	<b>MÉCANISME À COULISSE, À QUATRE ÉLÉMENTS AVEC COULISSE ANIMÉE D'UN MOUVEMENT DE TRANSLATION</b>	<b>CL Q</b>
	<div data-bbox="329 258 705 486" data-label="Image"> </div> <p data-bbox="166 501 868 622">L'élément 1 possède une coulisse dans laquelle glisse un coulisseau 2. L'axe de la coulisse est perpendiculaire à l'axe de mouvement de l'élément 1. Le déplacement <math>s</math> de l'élément 1 à partir de sa position limite gauche a pour expression :</p> $s = AB (1 - \cos \alpha).$	
933	<b>MÉCANISME À COULISSE, À QUATRE ÉLÉMENTS AVEC COULISSE ANIMÉE D'UN MOUVEMENT DE TRANSLATION</b>	<b>CL Q</b>
	<div data-bbox="339 815 692 1043" data-label="Image"> </div> <p data-bbox="166 1058 868 1158">L'élément 1 possède une coulisse dans laquelle glisse un coulisseau 2. L'axe de la coulisse forme un angle <math>\gamma</math> avec la direction de déplacement de l'élément 1. On choisira l'angle <math>\gamma</math> de manière à éviter que le mécanisme ne se coince.</p>	

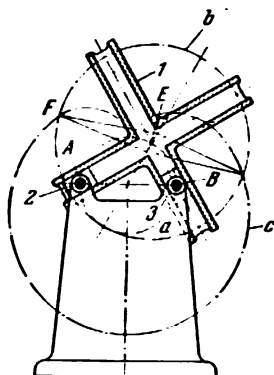


L'élément 1 tourne autour d'un axe fixe  $A$ . Le coulisseau 3 glisse dans le guide rectiligne  $b - b$  de l'élément 2 animé d'un mouvement de va-et-vient dans un guide fixe  $c - c$ . La rainure  $a - a$  glisse sur un axe  $A$ . Le déplacement  $s_2$  de l'élément 2 est donné par la formule  $s_2 = AB \cdot \cos \alpha$ , où  $AB$  est la longueur de la manivelle 1 et  $\alpha$  l'angle formé par la direction  $AB$  avec l'axe  $x - x$ .

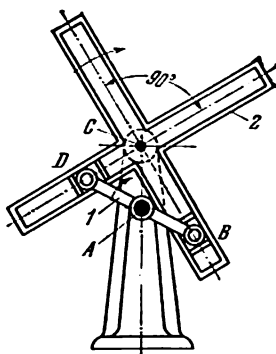


Muni de son guide  $a - a$ , l'élément 1 tourne autour d'un axe fixe  $A$ . L'élément 2 représente une coulisse  $b$  comportant deux branches  $c$  coulissant dans les guides  $a$ . L'angle formé par les axes de la coulisse  $b$  et du guide  $a - a$  est de  $90^\circ$ . Le coulisseau 3 tourne autour d'un axe fixe  $B$ . Le mécanisme réalise un rapport de transmission constant  $i_{13}$  égal à  $i_{13} = 1$ . Le mouvement de la coulisse 2 est identique au roulement sans glissement d'une circonférence mobile  $e$  sur une circonférence immobile  $d$ .





Les coulisseaux 2 et 3 tournent autour des axes fixes *A* et *B*. L'angle formé par les axes des coulisses est de  $90^\circ$ . Le point *E* de la coulisse 1 décrit une circonférence. Tout autre point de la coulisse, notamment le point *F* situé sur la circonférence *b* de rayon égal à *AB*, décrit une cardioïde *c*. Le mouvement de la coulisse 1 est identique au roulement sans glissement d'une circonférence mobile *b* sur une circonférence immobile *a*.



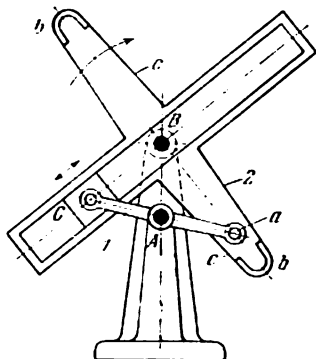
Les longueurs des éléments du mécanisme satisfont à la condition :

$$AB = AD = AC.$$

L'élément 2, qui se présente sous la forme de deux coulisses perpendiculaires entre elles, tourne autour d'un axe fixe C. La mise en rotation de l'élément 2 peut s'effectuer à l'aide d'un seul coulisseau, l'autre coulisseau permettant au mécanisme de franchir sa position extrême. Le rapport de transmission réalisé par ce mécanisme est

$$i_{12} = \frac{\omega_1}{\omega_2} = 2,$$

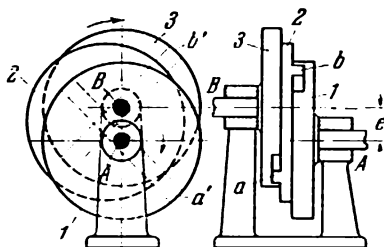
où  $\omega_1$  et  $\omega_2$  sont les vitesses angulaires des éléments 1 et 2.



Les longueurs des éléments du mécanisme satisfont à la condition :

$$AB = AC.$$

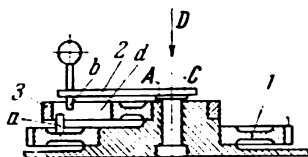
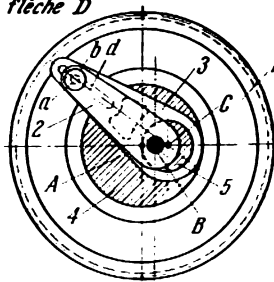
L'élément 2 se présente comme une coulisse munie de deux bras *C* perpendiculaires à son axe. Les bras possèdent à leurs extrémités des butées *b*. L'élément 1 comporte un galet *a*. La position extrême du mécanisme, où le point *C* se confond avec le point *B*, est franchie à l'aide d'un galet *a* qui s'engage dans la butée *b*.



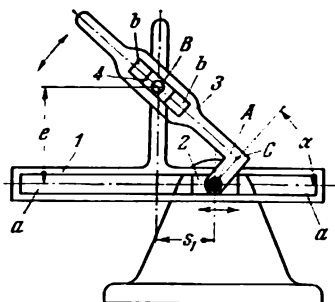
Le mécanisme est destiné à transmettre le mouvement de rotation entre deux arbres parallèles  $A$  et  $B$ , avec le rapport de transmission  $i_{13}$  égal à  $i_{13} = 1$ . A l'extrémité des arbres  $A$  et  $B$  on cale des disques  $1$  et  $3$  comportant les encoches  $a'$  et  $b'$ . Le plateau circulaire  $2$ , placé entre les deux disques, présente deux saillies  $a$  et  $b$ , disposées perpendiculairement entre elles, qui s'engagent dans les encoches  $a'$  et  $b'$  des éléments  $1$  et  $3$ . Le mécanisme du joint ne peut fonctionner que lorsque l'excentricité  $e$  varie.

0  
1  
2

*Vue suivant  
flèche D*



L'élément 1, qui se présente sous la forme d'une roue dentée, tourne sur un arbre fixe 4 ayant pour centre le point A. La mise en mouvement de cet élément s'effectue à l'aide d'un organe d'entraînement non représenté sur le dessin. L'élément 2 tourne autour d'un axe fixe B. L'élément 3 tourne sur l'arbre 5 qui a le point C pour centre. Les doigts a et b, solidaires des éléments 1 et 2, coulisent dans la rainure radiale d de l'élément 3. Lorsque l'élément 1 est animé d'une rotation uniforme, les éléments 2 et 3 tournent d'une façon non uniforme, effectuant des tours complets autour des centres B et C.



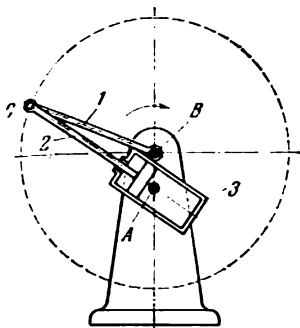
L'élément 1 présente une rainure  $a - a$  qui lui permet de glisser sur un coulisseau fixe 2. L'élément 3, tournant sur un axe fixe  $A$ , comporte une rainure  $b - b$  qui lui permet de glisser sur un coulisseau 4 formant un couple de rotation  $B$  avec l'élément 1. L'axe de la rainure  $b - b$  ne passe pas par le point  $A$ . Lorsque l'élément 1 effectue un mouvement de va-et-vient, la coulisse 3 oscille autour d'un axe  $A$ . Le déplacement  $s_1$  de l'élément 1 est associé à l'angle  $\alpha$  de rotation de l'élément 3 par la condition

$$s_1 = \frac{e \sin \alpha - AC}{\cos \alpha},$$

où  $AC$  est la plus courte distance du centre  $A$  à l'axe de la rainure  $b - b$ .

942

# MÉCANISME À COULISSE, À QUATRE ÉLÉMENTS D'UN CYLINDRE TOURNANT

CL  
Q

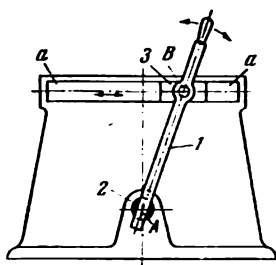
Les longueurs des éléments du mécanisme satisfont à la condition :

$$AB < BC.$$

La manivelle 1, tournant sur un axe fixe B, constitue un couple de rotation C avec la tige de l'élément 2. Lorsque la manivelle 1 tourne, l'élément 2 glisse dans le cylindre 3, en le faisant tourner autour d'un axe fixe A.

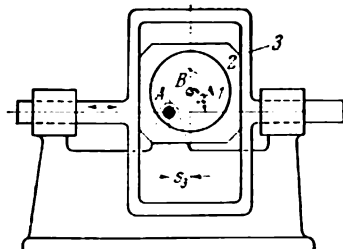
943

# MÉCANISME À COULISSE, À QUATRE ÉLÉMENTS, COMMANDÉ PAR UNE BIELLE

CL  
Q

La bielle 1 constitue un couple de rotation B avec le coulisseau 3 et glisse par son extrémité dans un dé 2 qui tourne autour d'un axe fixe A. Le mouvement composé de la bielle 1 se transforme en un mouvement de va-et-vient rectiligne du coulisseau 3 dans une glissière fixe a — a.

944

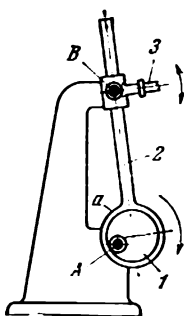
**MÉCANISME À COULISSE ET EXCENTRIQUE  
AVEC DEUX COULISSEAUX**
CL  
Q

La manivelle 1 se présente sous la forme d'un excentrique. Le coulisseau 2 comporte un manchon qui embrasse cet excentrique. Le déplacement  $s_3$  de l'élément 3 a pour expression

$$s_3 = AB \cdot \cos \alpha,$$

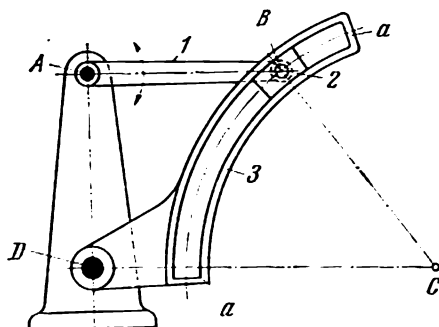
c'est-à-dire que l'élément 3 effectue un mouvement conforme à la loi harmonique simple.

945

**MÉCANISME À COULISSE ET LEVIERS  
AVEC EXCENTRIQUE**
CL  
Q

L'excentrique 1, tournant sur un axe fixe A, est embrassé par le manchon a de l'élément 2 glissant dans le guidage de l'élément 3. Ce dernier tourne autour d'un axe fixe B. Lorsque l'excentrique 1 tourne, l'élément 3 reçoit un mouvement oscillatoire.





Les longueurs des éléments du mécanisme satisfont aux conditions :

$$AB + BC < AD + DC$$

et

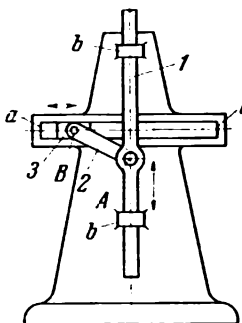
$$AB < AD < BC < DC.$$

Le coulisseau 2 glisse dans un guidage arqué mobile  $a - a$  de centre  $C$ . Lorsque l'élément 1 reçoit un mouvement d'oscillation, la coulisse 3 effectue également un mouvement d'oscillation. Le mécanisme équivaut à un mécanisme  $ABCD$  à deux leviers oscillants et à quatre éléments, dans lequel l'élément  $BC$  est la bielle et les éléments  $AB$  et  $DC$  sont des leviers oscillants.

947

MÉCANISME À COULISSE, À QUATRE ÉLÉMENTS  
ANIMÉS D'UN MOUVEMENT DE TRANSLATION

CL  
Q

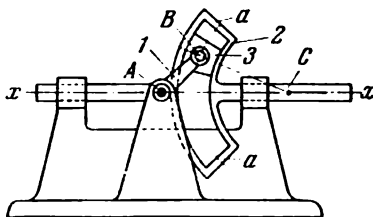


L'élément 1, animé d'un mouvement de va-et-vient dans un guidage fixe  $b - b$ , constitue un couple de rotation  $A$  avec l'élément 2. Le coulisseau 3, formant un couple de rotation  $B$  avec l'élément 2, glisse dans un guidage fixe  $a - a$ . Les axes des guidages  $a - a$  et  $b - b$  sont perpendiculaires entre eux.

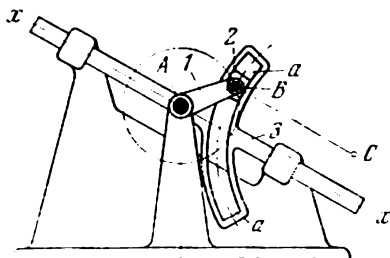
948

MÉCANISME À COULISSE, À QUATRE ÉLÉMENTS  
AVEC COULISSE ARQUÉE

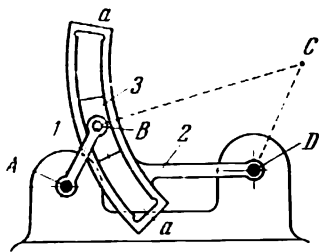
CL  
Q



L'élément 1, tournant autour d'un axe fixe  $A$ , possède un doigt  $B$  relié à un coulisseau 3 qui glisse dans un guidage arqué mobile  $a - a$  de centre  $C$ . Lorsque la manivelle 1 tourne, l'élément 2 reçoit un mouvement de va-et-vient le long de l'axe  $x - x$ . Le mécanisme équivaut à un mécanisme  $ABC$  à coulisseau et manivelle, dans lequel  $AB$  est la manivelle,  $BC$  la bielle et l'élément 2 le coulisseau.



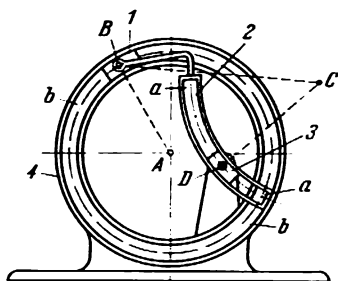
L'élément 1, tournant sur un axe fixe  $A$ , forme un couple de rotation  $B$  avec le coulisseau 2 qui glisse dans un guidage arqué mobile  $a - a$  de centre  $C$ . Lorsque la manivelle 1 tourne, la coulisse 3 reçoit un mouvement de va-et-vient le long de l'axe  $x - x$ . Le mécanisme équivaut à un mécanisme désaxé  $ABC$  à coulisseau et manivelle, dans lequel  $AB$  est la manivelle,  $BC$  la bielle et l'élément 3 le coulisseau.



Les longueurs des éléments du mécanisme satisfont aux conditions suivantes :

$$AB + BC < DC + AD \text{ et } AB < DC < AD < BC.$$

L'élément 3 se présente sous la forme d'un coulisseau glissant dans un guidage arqué mobile  $a - a$  qui a pour centre le point  $C$ . Lorsque la manivelle 1 tourne, la coulisse 2 reçoit un mouvement d'oscillation autour d'un axe fixe  $D$ . Le mécanisme équivaut à un mécanisme  $ABCD$  à manivelle et levier oscillant et à quatre éléments, dans lequel  $AB$  est la manivelle,  $BC$  la bielle et  $DC$  le levier oscillant.



Les longueurs des éléments du mécanisme satisfont aux conditions suivantes :

$$AB + BC > DC + AD$$

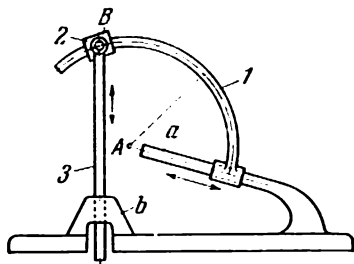
et

$$AD < AB < DC < BC.$$

Le coulisseau 1 glisse dans un guidage arqué fixe  $b - b$  de centre  $A$ . La coulisse 2 possède un guidage arqué  $a - a$  de centre  $C$ , qui glisse sur le coulisseau 3 tournant autour d'un axe fixe  $D$ . Lorsque le coulisseau 1 glisse dans le guidage  $b - b$  de l'élément 4, la coulisse 2 effectue un mouvement composé et le coulisseau 3 pivote sur l'axe  $D$ . Le mécanisme équivaut à un mécanisme  $ABCD$  à deux manivelles et à quatre éléments, où  $AB$  et  $DC$  sont les manivelles et  $BC$  la bielle

952

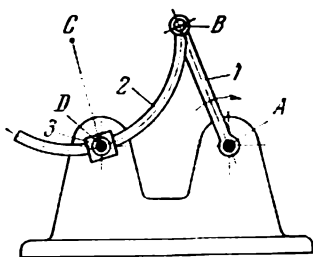
**MÉCANISME À COULISSE, À QUATRE ÉLÉMENTS  
AVEC COULISSE ARQUÉE ANIMÉE D'UN  
MOUVEMENT DE TRANSLATION**

CL  
Q

Le coulisseau 1, qui glisse sur un guidage fixe *a*, se présente sous la forme d'une coulisse arquée de centre *A* sur laquelle glisse le coulisseau 2 qui forme un couple de rotation *B* avec la tige 3 glissant dans un guidage fixe *b*. Lorsque la coulisse arquée 1 glisse sur le guidage fixe *a*, la tige 3 reçoit un mouvement de va-et-vient dans le guidage fixe *b*.

953

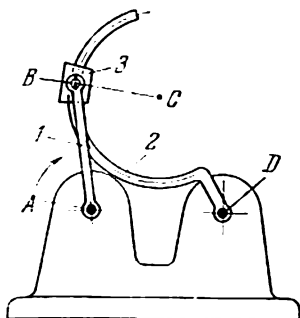
**MÉCANISME À COULISSE, À QUATRE ÉLÉMENTS  
AVEC COULISSEAU ARQUÉ TOURNANT**

CL  
Q

L'élément 1, tournant sur un axe fixe *A*, constitue un couple de rotation *B* avec la coulisse arquée 2 qui a pour centre le point *C*. La coulisse glisse dans un coulisseau arqué 3 qui tourne autour d'un axe fixe *D*. Lorsque l'élément 1 est en mouvement, le coulisseau 3 tourne autour du centre fixe *D*. Le mécanisme équivaut à un mécanisme articulé *ABCD* à quatre éléments.

954

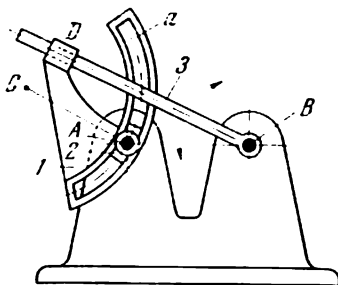
# MÉCANISME À COULISSE, À QUATRE ÉLÉMENTS AVEC COULISSE ARQUÉE

CL  
Q

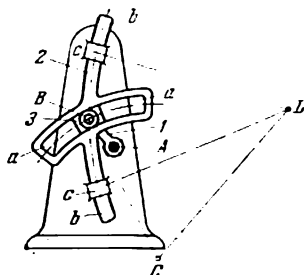
L'élément 1, tournant sur un axe fixe A, forme un couple de rotation B avec le coulisseau 3 qui glisse sur une coulisse arquée 2 ayant le point C pour centre. Lorsque l'élément 1 est en mouvement, la coulisse arquée 2 tourne autour d'un axe fixe D. Le mécanisme est équivalent à un mécanisme articulé ABCD à quatre éléments.

955

# MÉCANISME À COULISSE, À QUATRE ÉLÉMENTS AVEC COULISSE ARQUÉE ANIMÉE D'UN MOUVEMENT COMPOSÉ

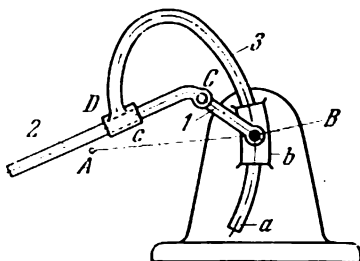
CL  
Q

L'élément 3, tournant sur un axe fixe B, forme un couple de translation D avec l'élément 1 qui possède une coulisse arquée a de centre C. Cette coulisse glisse sur le coulisseau 2 tournant sur un axe fixe A.

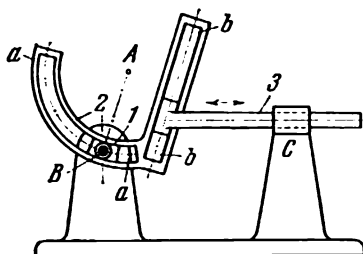


La manivelle 1, qui tourne sur un axe fixe A, constitue un couple de rotation B avec le coulisseau 3 glissant dans une coulisse arquée  $a - a$  qui a pour centre le point C. La coulisse arquée  $a - a$  appartient à l'élément 2, en forme de croix, dont les bras  $b$  glissent dans les guides fixes  $c - c$  de centre D. Le mécanisme est équivalent à un mécanisme articulé ABCD à quatre éléments.

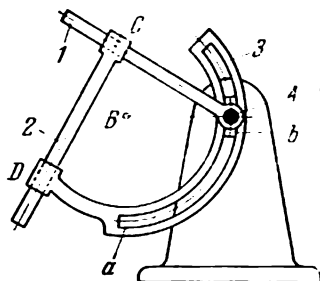




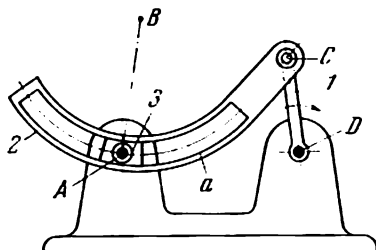
La manivelle 1, tournant sur un axe fixe B, constitue un couple de rotation C avec l'élément 2. L'élément 3, qui forme un couple de translation D avec l'élément 2, se présente sous la forme d'une coulisse arquée *a* glissant dans un guidage fixe *b* de centre A. La coulisse 2 glisse le long d'un guidage rectiligne *c* appartenant à l'élément 3.



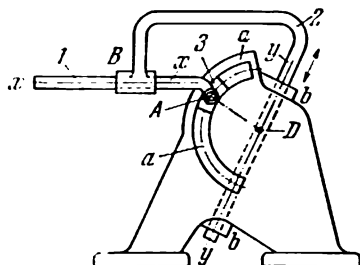
La tige 3 glisse dans un guidage fixe C. L'élément 2 possède un guidage rectiligne  $b - b$  et une coulisse arquée  $a - a$  de centre A. Le coulisseau 1 tourne autour d'un axe fixe B. La coulisse arquée  $a$  de l'élément 2 glisse sur le coulisseau 1. La tige 3 glisse dans le guidage rectiligne  $b - b$  de l'élément 2. Lorsque l'élément 2 est en mouvement, la tige 3 reçoit un mouvement de va-et-vient dans le guidage fixe. Le mécanisme est équivalent à un mécanisme à coulisse, avec une coulisse animée d'un mouvement de translation.



L'élément 1, tournant sur un axe fixe A, forme un couple de translation C avec l'élément 2 qui constitue, à son tour, un couple de translation D avec l'élément 3. L'élément 3 comporte une coulisse arquée *a* de centre B qui glisse sur le coulisseau fixe *b* du support. Lorsque l'élément 1 est en mouvement l'élément 2 glisse le long de la coulisse 1, tandis que l'élément 3 glisse sur le coulisseau fixe *b* effectuant un mouvement d'oscillation autour du point B. Les vitesses angulaires de tous les éléments sont égales entre elles.



L'élément 1, tournant sur un axe fixe *D*, forme un couple de rotation *C* avec l'élément 2 qui comporte une coulisse arquée *a*. Le coulisseau 3 tourne autour d'un axe fixe *A*. Quand la manivelle 1 tourne, la coulisse 2 glisse sur le coulisseau 3. Le mécanisme est équivalent à un mécanisme articulé *ABCD* à quatre leviers.



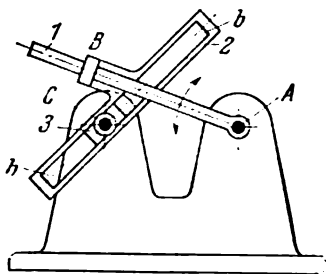
L'élément 2, glissant dans un guidage fixe  $b - b$ , constitue un couple de translation  $B$  avec l'élément 1 qui forme un couple de rotation  $A$  avec le coulisseau 3 glissant dans un guidage arqué fixe  $a - a$  de centre  $D$ . Lorsque le coulisseau 3 glisse dans le guidage  $a - a$ , l'élément 2 reçoit un mouvement de va-et-vient dans le guidage fixe  $b - b$ . L'élément 1 effectue simultanément deux mouvements de translation le long des axes  $x - x$  et  $y - y$ .

962

**MÉCANISME A COULISSE, A QUATRE ÉLÉMENTS  
AVEC COULISSE DE FORME ANGULAIRE**

CL

Q



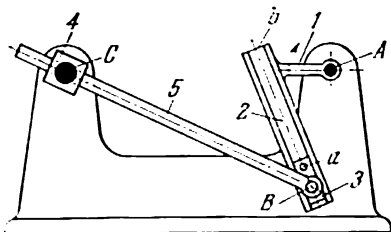
L'élément 1 tourne sur un axe fixe A et forme un couple de translation B avec la coulisse 2 de forme angulaire qui comporte une rainure  $b - b$ . Le coulisseau 3 tourne sur un axe fixe C. Lorsqu'on imprime à l'élément 1 un mouvement d'oscillation, l'élément 2 glisse sur le coulisseau 3. Les vitesses angulaires de tous les éléments sont égales entre elles.

963

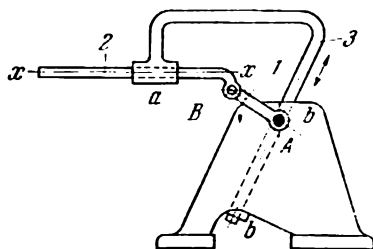
**MÉCANISME A COULISSE, A QUATRE ÉLÉMENTS  
AVEC MANIVELLE DE LONGUEUR RÉGLABLE**

CL

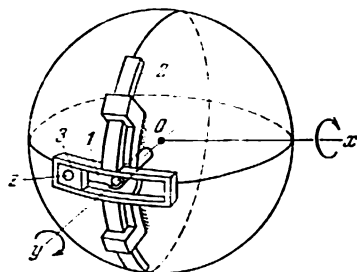
Q



L'élément 1, tournant sur un axe fixe A, forme un couple de rotation B avec l'élément 5 qui glisse dans un coulisseau 4. Ce dernier tourne sur un axe fixe C. La coulisse rectiligne  $b$  est solidaire de l'élément 1. Le coulisseau 3 peut être fixé au moyen de la vis  $a$  en diverses positions le long de l'axe de la coulisse  $b$ . On modifie ainsi la longueur AB de la manivelle 1.

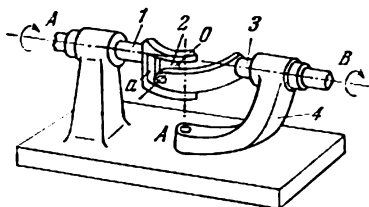


La manivelle 1, tournant sur un axe fixe A, forme un couple de rotation B avec l'élément 2. L'élément 3 glisse le long de l'axe  $x - x$  de l'élément 2 et dans un guidage fixe  $b - b$ . Lorsque la manivelle 1 est en mouvement, l'élément 2 effectue un mouvement de translation circulaire.

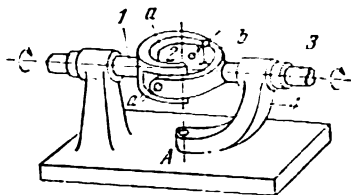


La manivelle 1, tournant autour d'un axe  $y$ , forme un couple de rotation avec le coulisseau 3. L'axe  $z$  du tourillon de la manivelle coupe l'axe  $y$  au point  $O$ . L'élément 2, comportant une coulisse dont l'axe est curviligne et se confond avec l'arc du grand cercle de la sphère, se meut dans un guidage fixe dont l'axe se confond avec l'arc du grand cercle de la sphère, lequel est perpendiculaire à l'axe  $x$ . Les éléments 1 et 2 tournent autour des axes perpendiculaires  $y$  et  $x$ .

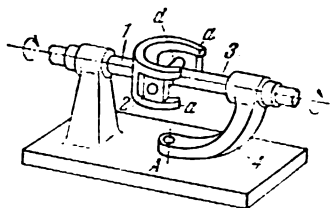




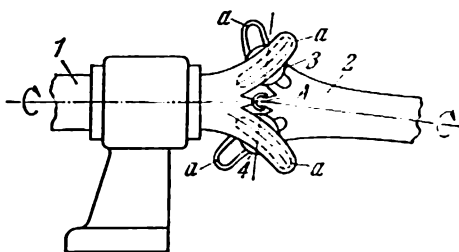
L'élément 1 comporte un guidage arqué  $a$  ayant pour centre le point  $O$ . L'élément 3 constitue un couple de rotation avec l'élément 2 qui se présente comme un coulisseau prismatique glissant dans un guidage  $a$ . On met le support 4 en position voulue en le faisant tourner autour d'un axe fixe  $A$  et en le fixant; la rotation de l'élément 1 se transmet alors à l'élément 3 tournant autour d'un axe fixe  $B$  par l'intermédiaire de l'élément 2, à condition que tous les axes des articulations et celui du guidage arqué se croisent en un seul et même point  $O$ . Le mécanisme permet de transmettre le mouvement de rotation de l'arbre 1 à l'arbre 3 pour des positions angulaires quelconques de ces axes par rapport au point  $O$ .



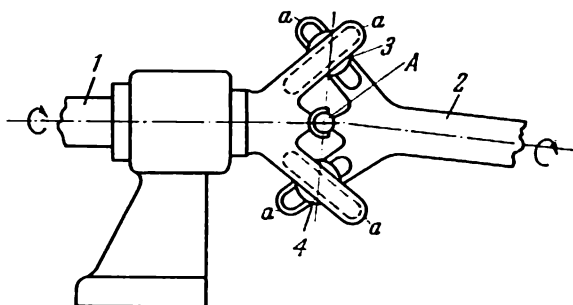
L'élément 1 comporte deux guidages arqués *a*. L'élément 3 se termine par une chape *b*. L'élément 2 se présente sous la forme de deux coulisseaux prismatiques isolés qui glissent dans le guidage *a — a*. On met le support 4 en position voulue en le faisant tourner autour d'un axe fixe *A* et en le fixant; la rotation de l'élément 1 est transmise à l'élément 3, à condition que les axes de toutes les articulations et du guidage arqué se croisent en un seul et même point. Le mécanisme permet de transmettre le mouvement de rotation de l'arbre 1 à l'arbre 3 pour des positions angulaires quelconques de ces axes par rapport à un point fixe.



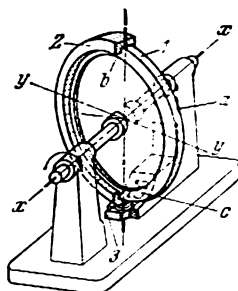
L'élément 1 comporte deux guidages circulaires *a*. L'élément 2 se présente comme deux coulisseaux prismatiques glissant dans le guidage *a* et tournant autour de l'axe de l'arbre *d*. On met le support 4 en position voulue en le faisant tourner autour d'un axe fixe *A* et en le fixant : la rotation de l'élément 1 est transmise à l'élément 3, à condition que les axes de toutes les articulations et du guidage arqué se coupent en un seul et même point. Le mécanisme permet de transmettre le mouvement de rotation de l'arbre 1 à l'arbre 3 pour les différentes positions angulaires de ces axes par rapport à un point fixe.



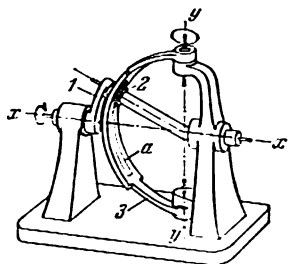
L'élément 1 forme un couple sphérique *A* avec l'élément 2. Les éléments 1 et 2 comportent des guidages arqués *a*. Dans ces guidages roulent des billes 3 et 4. Le mouvement de rotation de l'arbre 1 est transmis à l'arbre 2, à condition que leurs axes se croisent en un seul point commun *A* et que les éléments intermédiaires 3 et 4 soient disposés symétriquement.



L'élément 1 forme un couple sphérique A avec l'élément 2. Les éléments 1 et 2 comportent des guidages radiaux *a* de forme sphérique, dans lesquels roulent des billes 3 et 4. Le mouvement de rotation de l'arbre 1 est transmis à l'arbre 2, à condition que leurs axes se coupent en un seul point commun A et que les éléments intermédiaires 3 et 4 soient disposés symétriquement.



Le disque 1 tourne autour d'un axe fixe  $x - x$ , l'angle formé par le plan du disque avec l'axe  $x - x$  étant différent de  $90^\circ$ . Le couple de rotation formé par les éléments 1 et 2 se présente sous la forme d'une jante  $a$  glissant dans une rainure  $b$ . L'élément 2 forme un couple de rotation avec l'élément 3 qui a la forme d'un coulisseau en arc de cercle glissant dans un guidage circulaire fixe  $c$ . Lorsque le disque 1 tourne autour de l'axe  $x - x$  et glisse dans la rainure de la coulisse 2 qui constitue un couple de rotation avec le coulisseau 3, celui-ci coulisse dans le guidage circulaire du support et effectue un mouvement d'oscillation autour de l'axe  $y - y$ ; ce mouvement n'est possible que si les axes de tous les couples cinématiques se coupent en un seul et même point.



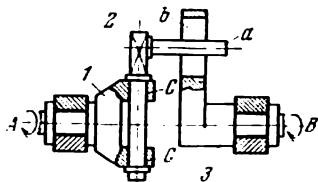
La manivelle 1, tournant autour d'un axe fixe  $x-x$ , forme un couple de rotation avec l'élément 2. Le couple cinématique, constitué par les éléments 2 et 3, a la forme d'un coulisseau 2 et d'une coulisse 3 circulaire comportant une rainure  $a$ . L'élément 3 tourne autour d'un axe fixe  $y-y$ . Lorsque la manivelle 1 tourne autour de l'axe  $x-x$ , le coulisseau 2 glisse dans la rainure de la coulisse 3 qui effectue un mouvement d'oscillation autour de l'axe  $y-y$ , à condition que les axes de toutes les articulations se rencontrent en un seul et même point.

973

**MÉCANISME TRIDIMENSIONNEL À COULISSE  
ET LEVIERS, À QUATRE ÉLÉMENTS  
AVEC UN COUPLE À QUATRE MOUVEMENTS**

CL

Q



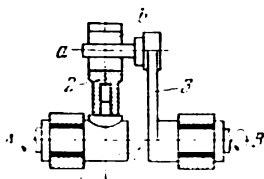
L'élément 1, tournant autour d'un axe fixe A, constitue un couple de rotation C avec l'élément 2 dont le doigt a glisse dans la rainure b de la coulisse 3 qui tourne autour d'un axe fixe B. Le mécanisme est destiné à transmettre le mouvement de rotation entre deux axes A et B ayant des positions angulaires quelconques.

974

**MÉCANISME TRIDIMENSIONNEL À COULISSE  
ET LEVIERS, À QUATRE ÉLÉMENTS  
AVEC UN COUPLE À QUATRE MOUVEMENTS**

CL

Q



L'élément 1, tournant autour d'un axe fixe A, constitue un couple de rotation avec la coulisse 2. Le doigt a de l'élément 2 glisse dans la rainure b de la coulisse 2. Le mécanisme permet de transmettre le mouvement de rotation entre deux axes A et B ayant des positions angulaires quelconques.

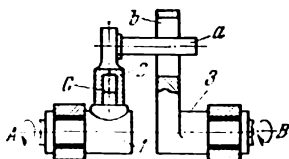


975

**MÉCANISME TRIDIMENSIONNEL À COULISSE  
ET LEVIERS, À QUATRE ÉLÉMENTS  
AVEC UN COUPLE À QUATRE MOUVEMENTS**

CL

Q



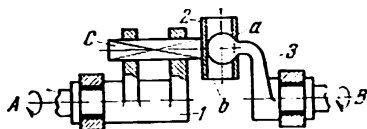
L'élément 1, tournant autour d'un axe fixe *A*, constitue un couple de rotation *C* avec l'élément 2. Le doigt *a* de l'élément 2 s'engage dans la rainure *b* de la coulisse 3 qui tourne autour d'un axe fixe *B*. Le mécanisme est destiné à transmettre le mouvement de rotation entre deux axes *A* et *B* ayant des positions angulaires quelconques.

976

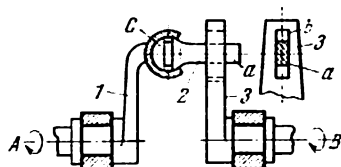
**MÉCANISME TRIDIMENSIONNEL À COULISSE  
ET LEVIERS, À QUATRE ÉLÉMENTS  
AVEC UN COUPLE À QUATRE MOUVEMENTS**

CL

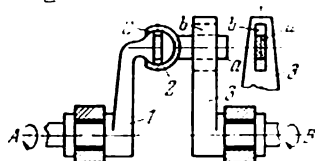
Q



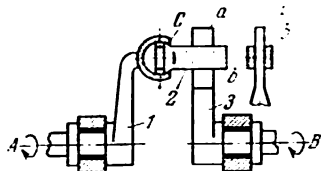
L'élément 1, tournant autour d'un axe fixe *A*, constitue un couple de translation *C* avec l'élément 2. L'élément 3 tourne autour d'un axe fixe *B* et se termine, du côté gauche, par une rotule sphérique *a* qui coulisse dans la surface cylindrique creuse *b* de l'élément 2. Le mécanisme permet de transmettre le mouvement de rotation entre deux axes *A* et *B* ayant des positions angulaires quelconques.



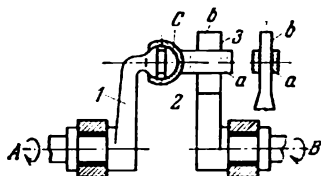
L'élément 1, tournant autour d'un axe fixe *A*, constitue un couple cinématique *C* avec l'élément 2. Le couple *C* permet deux mouvements de rotation autour de deux axes perpendiculaires entre eux. La queue rectangulaire *a* de l'élément 2 glisse dans la rainure *b* de la coulisse 3 qui tourne autour d'un axe fixe *B*. Le mécanisme permet de transmettre le mouvement de rotation entre deux axes *A* et *B* ayant des positions angulaires quelconques.



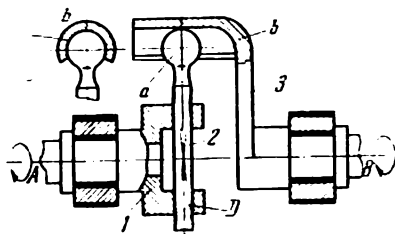
L'élément 1, tournant autour d'un axe fixe A, constitue un couple cinématique C avec l'élément 2. Le couple C permet deux mouvements de rotation autour de deux axes perpendiculaires entre eux. La queue rectangulaire a de l'élément 2 glisse dans la rainure b de la coulisse 3 qui tourne autour d'un axe fixe B. Le mécanisme permet de transmettre le mouvement de rotation entre deux axes A et B ayant des positions angulaires quelconques.



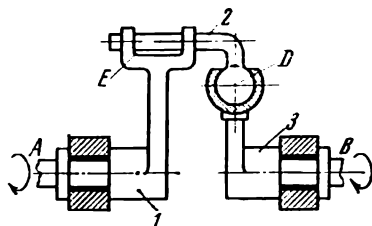
L'élément 1, tournant autour d'un axe fixe *A*, constitue un couple cinématique *C* avec l'élément 2. Le couple *C* permet deux mouvements de rotation autour de deux axes perpendiculaires entre eux. L'élément 3, qui tourne autour d'un axe fixe *B*, possède une queue *a* qui s'engage dans la rainure *b* de l'élément 2. Le mécanisme permet de transmettre le mouvement de rotation entre deux axes *A* et *B* ayant des positions angulaires quelconques.



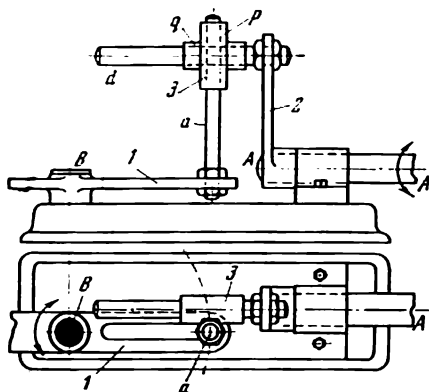
L'élément 1, tournant autour d'un axe fixe A, constitue un couple cinématique C avec l'élément 2. Le couple C permet deux mouvements de rotation autour de deux axes perpendiculaires entre eux. L'élément 3, qui tourne autour d'un axe fixe B, possède une queue b qui s'engage dans la rainure a de l'élément 2. Le mécanisme permet de transmettre le mouvement de rotation entre deux axes A et B ayant des positions angulaires quelconques.



L'élément 1, tournant autour d'un axe fixe *A*, constitue un couple de translation *D* avec l'élément 2. Ce dernier forme avec l'élément 3 un couple à quatre mouvements composé de la surface sphérique *a* de l'élément 2 entrant en contact avec la surface cylindrique creuse *b* de l'élément 3 qui tourne autour d'un axe fixe *B*. Le mécanisme permet de transmettre le mouvement de rotation entre deux axes *A* et *B* ayant des positions angulaires quelconques.



L'élément 1, tournant autour d'un axe fixe *A*, constitue un couple cylindrique *E* avec l'élément 2. Ce dernier forme avec l'élément 3 tournant autour d'un axe fixe *B* un couple sphérique *D*. Le mécanisme permet de transmettre le mouvement de rotation entre deux axes *A* et *B* ayant des positions angulaires quelconques.



L'élément 1, tournant autour d'un axe fixe B, comporte un doigt a qui coulisce dans le guidage p de l'élément en croix 3. L'élément 2, tournant autour d'un axe fixe A, comporte un doigt d qui coulisce dans le guidage q de l'élément 3. Lorsque l'élément 1 est en mouvement, l'élément en croix 3 se déplace dans les guidages a et d. L'arbre A pivote alors à un certain angle. Par suite, lorsque l'élément 1 effectue un mouvement d'oscillation autour de l'axe vertical B, l'élément 2 effectue un mouvement d'oscillation autour de l'axe horizontal A. On peut régler l'angle d'oscillation de l'élément 2 en modifiant la position des doigts a et d dans les rainures des éléments 1 et 2.

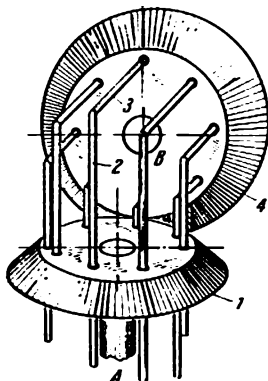


984

# MÉCANISME À COULISSE ET LEVIERS D'UNE TRANSMISSION À BARREAUX COUDÉS

CL

Q



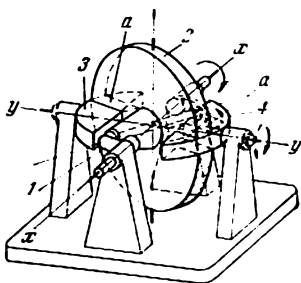
Les éléments 1 et 4, roues de friction coniques, sont reliés par quelques barreaux coudés 2 — 3, avec lesquels ces éléments forment des couples cylindriques à deux mouvements. Les arbres A et B, solidaires des roues 1 et 4, forment des couples de rotation avec le support qui n'est pas représenté sur le dessin.

985

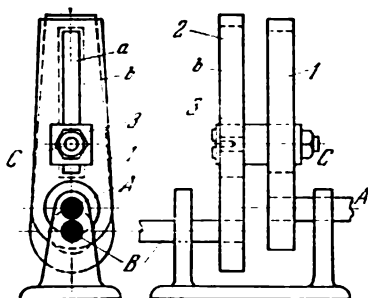
# MÉCANISME SPHÉRIQUE À COULISSE, À QUATRE ÉLÉMENTS

CL

Q



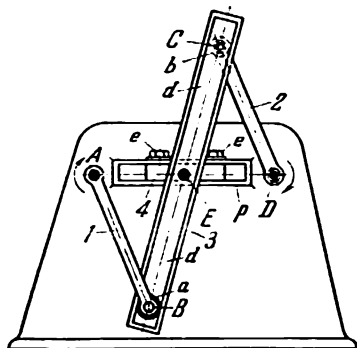
La manivelle 1 tourne autour d'un axe fixe  $x - x$  et forme un couple de rotation avec le disque 2 couissant dans les encoches  $a$  des segments 3 et 4 qui tournent autour d'un autre axe fixe  $y - y$ . Lorsque la manivelle 1 tourne autour de l'axe  $x - x$ , les segments 3 et 4 effectuent un mouvement d'oscillation autour de l'axe  $y - y$ , à condition que les axes de tous les couples cinématiques se coupent en un seul point.



L'élément 1, tournant autour d'un axe fixe *A*, forme un couple de rotation *C* avec le coulisseau 3 qui glisse dans la rainure *b* de l'élément 2 tournant autour d'un axe fixe *B*. On peut fixer le coulisseau 3 dans la rainure *a* dans les positions voulues. Lorsque la manivelle 1 tourne autour de son axe *A*, la coulisse 2 tourne sur l'axe *B*, la valeur moyenne du rapport de transmission  $i_{12}$  étant :

$$i_{12} = \frac{\omega_1}{\omega_2} = 1.$$

L'axe *B* étant décalé par rapport à l'axe *A*, lorsque la manivelle 1 effectue un tour à une vitesse angulaire constante, la coulisse 2 effectue également un tour mais à une vitesse angulaire variable. En déplaçant le coulisseau 3 dans la rainure *a* de la manivelle 1 et en le bloquant, on peut varier la vitesse angulaire de la coulisse 2.



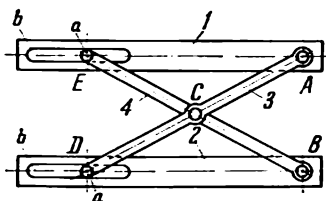
Les longueurs des éléments du mécanisme satisfont à la condition  $AB = DC$ . Les manivelles 1 et 2 tournent autour des axes fixes A et D. Ces manivelles comportent aux points B et C les galets *a* et *b* qui glissent et roulent dans les rainures *d* de la coulisse à deux bras 3. La coulisse 3 tourne autour de l'axe fixe E du coulisseau 4 qui peut prendre des positions quelconques et être bloqué par les vis *e* dans le guidage fixe *p*. La rotation de la manivelle motrice 1 est transmise à l'aide des galets *a* et *b* de la coulisse 3 à la manivelle commandée 2. Le dessin représente la position où la distance  $AE = ED$ . Dans ce cas, la rotation de l'élément 1 est transmise à l'élément 2 avec un rapport de transmission constant

$$i_{12} = \frac{\omega_1}{\omega_2} = 1.$$

Si l'on déplace le coulisseau, lors de la rotation de l'élément moteur 1 l'élément mené 2 tournera avec le même rapport de transmission  $i_{12}$  variable au cours de la période seulement.

988

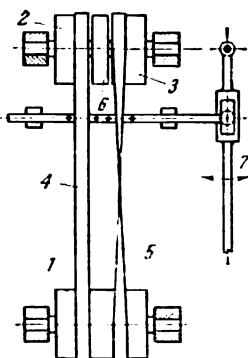
# MÉCANISME À COULISSE ET LEVIERS DES RÈGLES PARALLÈLES

CL  
Q

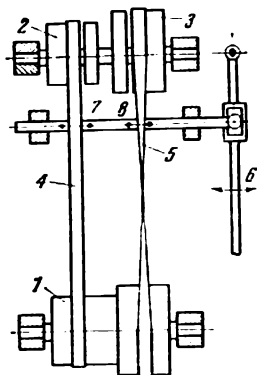
Les longueurs des éléments du mécanisme satisfont à la condition  $AC = CB = CE = CD$ . Les éléments 3 et 4 comportent les doigts *a* qui coulisent dans les rainures *b* des règles 2 et 1; la largeur des rainures est égale au diamètre des doigts. Quelle que soit la position fixe donnée à la règle 2, l'arête de la règle 1 est toujours parallèle à l'arête de la règle 2.

989

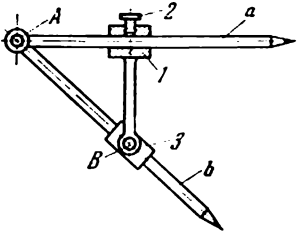
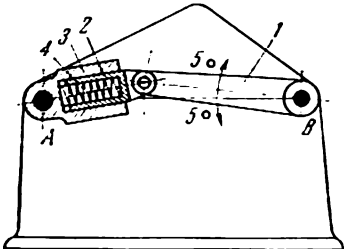
# MÉCANISME À COULISSE ET LEVIERS DU GUIDE-COURROIE

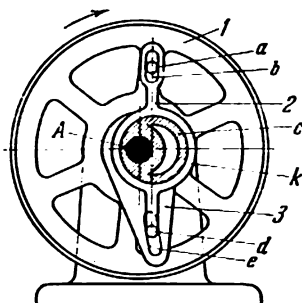
CL  
Q

La poulie motrice 1 est reliée aux poulies folles 2 et 3 par la courroie droite 4 et la courroie croisée 5. Pour faire passer l'une des courroies sur la poulie menée 6, on se sert d'un guide-courroie 7 à coulisse et leviers. Les rapports de transmission des courroies droite et croisée sont égaux mais de signe contraire.



La poulie motrice à gradins 1 est reliée aux poulies folles 2 et 3 par la courroie droite 4 et la courroie croisée 5. En tournant le guide-courroie 6 à droite, on fait passer la courroie ouverte 4 sur la poulie menée 7, et l'arbre commandé, solidaire de cette poulie, se met à tourner dans le même sens que la poulie motrice 1. En tournant le guide-courroie 6 à gauche, on effectue la liaison de la poulie menée 8 à la poulie motrice 1 avec la courroie croisée 5, et la poulie menée 8 avec l'arbre qui lui est solidaire se mettent en rotation dans le sens opposé à celui de la poulie motrice 1. Les rapports de transmission des marches aller et retour de la transmission par courroie ne sont pas égaux et différent par le signe.

991	MÉCANISME À COULISSE DU COMPAS	CL Q
	 <p>L'élément 1 coulisse le long de l'axe de la branche <i>a</i> du compas, laquelle pivote autour d'un axe <i>A</i>. Le coulisseau 1, glissant le long de l'axe du pied <i>a</i> du compas, forme un couple de rotation <i>B</i> avec l'élément 3 glissant le long de l'axe <i>b</i>. La position de l'élément 1 est fixée par la vis d'arrêt 2.</p>	
992	MÉCANISME À COULISSE, À QUATRE ÉLÉMENTS AVEC RESSORT	CL Q
	 <p>Sous l'action du ressort 4 s'exerçant sur le coulisseau 2, les éléments 3 et 1, qui constituent un couple de rotation, tournent autour des axes fixes <i>A</i> et <i>B</i>. L'élément 1 peut prendre une des deux positions fixées par les goupilles 5.</p>	

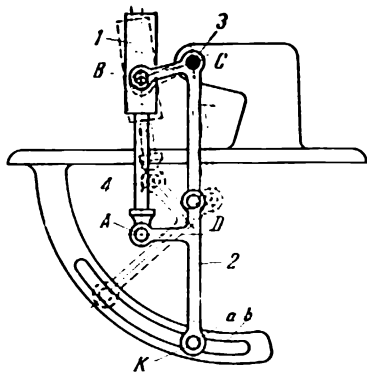


La poulie motrice 1 et le levier commandé 3 tournent autour d'un axe fixe A. Le doigt a de la poulie 1 s'engage dans la rainure b du levier à deux bras 2 comportant un manchon k qui embrasse un excentrique rond fixe c. L'autre bras du levier 2 comporte un doigt d qui vient s'engager dans la rainure e du levier commandé 3. Lorsque la poulie 1 tourne à une vitesse angulaire constante, le levier commandé 3 tourne à une vitesse angulaire variable.

### 3. Mécanismes à cinq éléments d'usage général (994-999)

994	<p align="center"><b>MÉCANISME TRIDIMENSIONNEL À COULISSE ET LEVIERS, À CINQ ÉLÉMENTS</b></p>	<p align="center"><b>CL C</b></p>
<div data-bbox="288 344 746 576" data-label="Image"> </div> <p>Les longueurs des éléments 1 et 2 sont respectivement égales à celles des éléments 4 et 3. L'élément 1, tournant autour d'un axe fixe A, constitue un couple de translation C avec l'élément 2. L'élément 3 forme un couple sphérique E avec l'élément 2 et un couple de translation D avec l'élément 4 tournant autour d'un axe fixe B. Le mécanisme permet de transmettre le mouvement de rotation entre deux axes A et B ayant des positions angulaires quelconques.</p>		





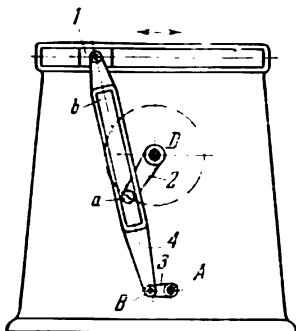
Le levier coudé 3 oscille sur un axe fixe C. Le cylindre 1 et le levier 3 constituent un couple de rotation B. La tige du piston 4 glissant dans le cylindre 1 forme un couple de rotation A avec l'élément 2. L'élément 2, qui constitue un couple de rotation D avec le levier 3, comporte un doigt a coulissant dans un guidage arqué fixe b. Lorsque le piston 4 se déplace dans le cylindre 1, la distance entre les axes A et B diminue, et les éléments 2 et 3 prennent la position indiquée en traits discontinus. Lorsque la contre-fiche se trouve en position de travail, les points C, D et K sont disposés sur une même droite.

996

MÉCANISME À COULISSE ET LEVIERS,  
À CINQ ÉLÉMENTS AVEC COULISSE SUSPENDUE

CL

C



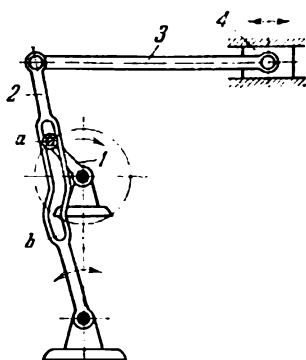
La manivelle 2, tournant sur un axe fixe *D*, comporte un doigt *a* qui coulisse dans la rainure rectiligne *b* de l'élément 4. Celui-ci forme un couple de rotation *B* avec l'élément 3 qui tourne sur un axe fixe *A*. En faisant varier la position de l'axe *A* sur le support, on peut obtenir divers types de mouvement du coulisseau 1.

997

MÉCANISME À COULISSE ET LEVIERS,  
À CINQ ÉLÉMENTS AVEC COULISSE CURVILIGNE

CL

C

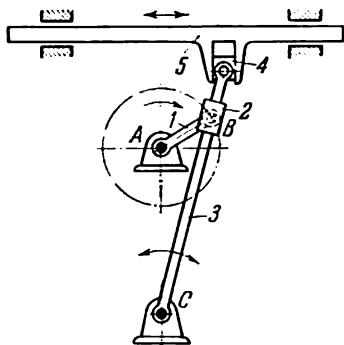


La manivelle 1 porte un galet *a* qui glisse dans le guidage curviligne *b* de la coulisse 2; la largeur du guidage est égale au diamètre du galet. Lorsque la manivelle 1 tourne, la coulisse 2 et, avec elle, le coulisseau 4 entraîné par la bielle 3 effectuent un mouvement variable asymétrique pendant les courses aller et retour. En traçant le profil de la rainure *b* suivant des courbes différentes, on peut obtenir divers types de mouvement du coulisseau 2.

998	<b>MÉCANISME À COULISSE ET LEVIERS AVEC DISQUE TOURNANT</b>	CL C
	<div data-bbox="306 262 705 465" data-label="Image"> </div> <p data-bbox="166 496 866 646">L'élément 5, qui tourne sur un axe fixe A, a la forme d'un coulisseau sur lequel glisse la coulisse 2 comportant une rainure <math>a - a</math>. La coulisse 2 est munie d'un galet 4 qui s'engage dans l'encoche du disque 3 tournant sur un axe fixe B. Lorsque la manivelle 1 est en mouvement uniforme, le disque 3 reçoit un mouvement de rotation non uniforme.</p>	
999	<b>MÉCANISME À COULISSE AVEC DISQUE ACCOUPÉ</b>	CL C
	<div data-bbox="309 822 736 1012" data-label="Image"> </div> <p data-bbox="169 1026 869 1150">L'élément 3, glissant dans le coulisseau 4 mobile autour d'un axe fixe C, est muni d'un doigt <math>a</math> qui s'engage dans l'encoche <math>b</math> du disque 2 tournant sur un axe fixe B. Lorsque l'élément 1 tourne uniformément autour d'un axe fixe A, le disque 2 reçoit un mouvement de rotation non uniforme.</p>	

#### 4. Mécanismes à six éléments d'usage général (1000-1027)

1000	<p align="center"><b>MÉCANISME À COULISSE ET LEVIERS AVEC DEUX COULISSEAUX</b></p>	<p align="center"><b>CL S</b></p>
<div data-bbox="336 349 699 706" data-label="Image"> </div> <p>Lorsque la manivelle 1 tourne autour d'un axe fixe A, la coulisse 3 oscille sur un axe fixe E, et la coulisse 2 tourne autour d'un axe fixe B. Le rapport de transmission <math>i_{13}</math> entre les vitesses angulaires <math>\omega_1</math> de l'élément 1 et <math>\omega_3</math> de l'élément 3 a pour expression :</p> $i_{13} = \frac{\omega_1}{\omega_3} = - \frac{\sin \alpha}{\sin \gamma \cos (\beta - \alpha) \cos (\beta + \gamma)},$ <p>où l'angle <math>\alpha = \angle CAB</math>, l'angle <math>\beta = \angle CBq</math> et l'angle <math>\gamma = \angle DEB</math> sont associés par les conditions :</p> $\operatorname{tg} \beta = \frac{AC \sin \alpha}{AC \cos \alpha - AB}$ <p>et</p> $\operatorname{tg} \gamma = \frac{BD \sin \beta}{BE - BD \cos \beta}.$ <p>L'angle total <math>\varphi</math> de rotation de la coulisse 3 est égal à</p> $\varphi = 2 \operatorname{arc} \sin \frac{BD}{EB}.$		

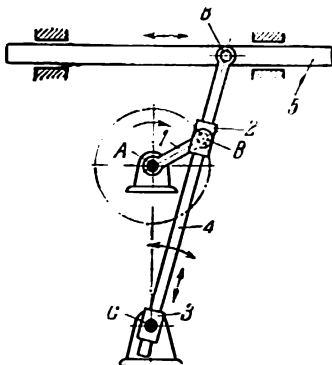


La manivelle 1, mobile sur un axe fixe A, constitue un couple de rotation B avec le coulisseau 2 glissant le long de l'élément 3 qui pivote autour d'un axe fixe C. L'élément 3 avec le coulisseau intermédiaire 4, glissant dans un guidage appartenant au coulisseau 5, imprime le mouvement de va-et-vient à ce dernier. Pendant les courses aller et retour, le mouvement du coulisseau 5 est déterminé par les lois différentes. Lors de la rotation uniforme de la manivelle 1, le rapport  $k$  entre les durées des courses aller et retour a pour expression :

$$k = \frac{\pi}{\arccos \frac{AB}{AC}} - 1.$$

1002

# MÉCANISME À COULISSE ET LEVIERS AVEC COULISSE OSCILLANTE

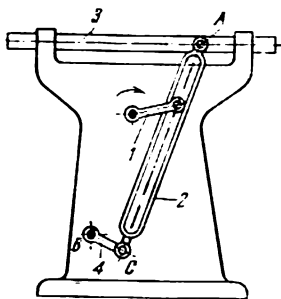
CL  
S

La coulisse 4 oscille sur un axe  $B$  et glisse dans deux guidages fixes 2 et 3. Le guidage 3 oscille sur un axe fixe  $C$ . Lorsque la manivelle 1 est en mouvement uniforme, le rapport  $k$  entre les durées des courses aller et retour a pour expression :

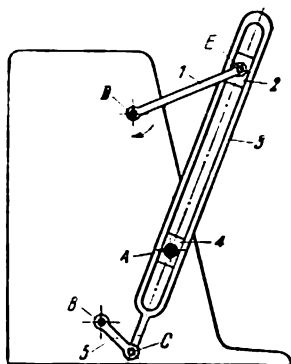
$$k = \frac{\pi}{\arccos \frac{AB}{AC}} - 1.$$

1003

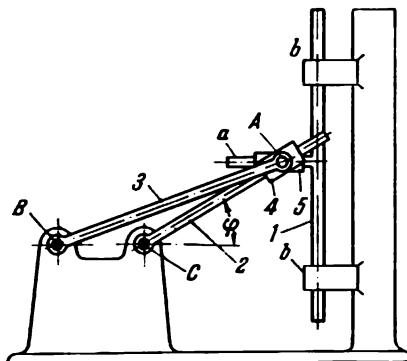
# MÉCANISME À COULISSE ET LEVIERS AVEC COULISSE SUSPENDUE

CL  
S

Lorsque l'élément 1 est en mouvement, la coulisse 2 effectue un mouvement composé, oscillant sur une articulation  $A$  et se mouvant progressivement avec le coulisseau 3. En faisant varier la longueur  $BC$  de l'élément 4 et la position du point  $B$  sur le support fixe, on peut obtenir divers types de mouvement du coulisseau 3.

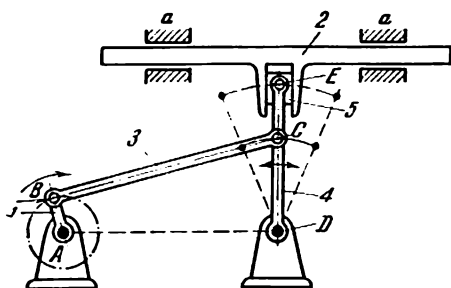


Le coulisseau 2, mobile sur un axe fixe *D* et qui constitue avec la manivelle 1 un couple de rotation *E*, glisse dans la coulisse 3. Lorsque l'élément 1 tourne, la coulisse 3 glisse sur le coulisseau 4 mobile autour d'un axe fixe *A*, effectuant de la sorte un mouvement composé : elle tourne sur une articulation fixe *A* et elle glisse simultanément le long de son axe. En faisant varier la longueur *BC* de l'élément 5 et la position du point *B* sur le support fixe, on peut obtenir divers types de mouvement de la coulisse 3.

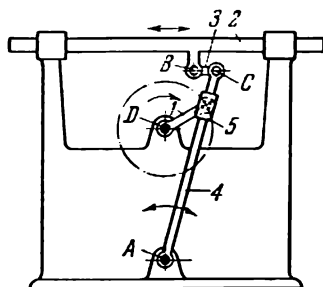


Les longueurs des éléments du mécanisme satisfont à la condition  $BC = 0,34 BA$ . La manivelle 3, tournant autour d'un axe fixe B, constitue un couple de rotation A avec le coulisseau 4 qui glisse le long de l'axe CA. Le coulisseau 4 forme un couple de rotation avec le coulisseau 5 qui glisse sur le bras a de l'élément 1. L'élément 1 coulisse dans le guidage fixe b dont l'axe est perpendiculaire à la direction BC. Le bras a fait un angle de  $90^\circ$  avec l'axe du guidage b. Lorsque l'élément 2 est animé d'un mouvement de rotation à un angle  $\varphi$  de part et d'autre de la direction BC, l'élément 1 effectue un mouvement approximativement uniforme.

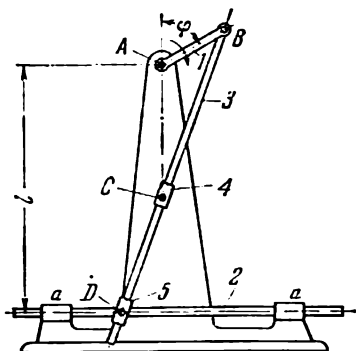




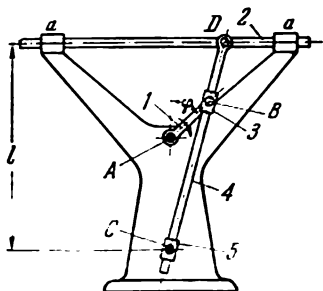
Mis en mouvement par la bielle 3, le levier oscillant 4 du système *ABCD* à quatre éléments articulés forme un couple cinématique *E* avec le coulisseau 5 se mouvant dans le guidage de l'élément 2. L'élément 2 est animé d'un mouvement de translation dans le guidage fixe *a*. Lorsque la manivelle 1 tourne, le coulisseau 2 se meut à des vitesses différentes pendant les courses aller et retour.



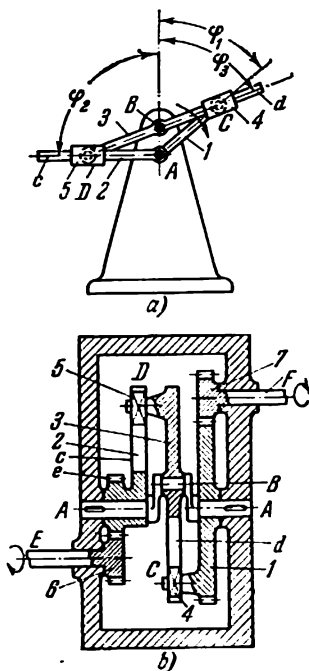
L'élément 4 mobile sur un axe fixe A, forme un couple de translation avec le coulisseau 5 mis en mouvement par la manivelle 1 qui tourne sur un axe fixe D. L'élément 3 forme des couples de rotation B et C avec l'élément 4 et le coulisseau 2. Lorsque la manivelle 1 tourne, le coulisseau 2 observe des lois différentes de mouvement pendant les courses aller et retour. En faisant varier la longueur BC de l'élément 3, on peut obtenir divers types de mouvement du coulisseau 2.



Les longueurs des éléments du mécanisme satisfont aux conditions:  $AC = 1,83 AB$  et  $l = 3,57 AB$ . La manivelle 1, tournant sur un axe fixe A, forme un couple de rotation B avec l'élément 3 qui glisse dans le coulisseau 4 mobile sur un axe fixe C. L'élément 2 constitue un couple de translation avec le coulisseau 5 qui, à son tour, forme un couple de rotation D avec l'élément 2 glissant dans le guidage fixe  $a - a$ . Lors de la rotation uniforme de la manivelle 1 à un angle  $\varphi$  de part et d'autre de la ligne verticale AC, l'élément 2 reçoit un mouvement approximativement uniforme.



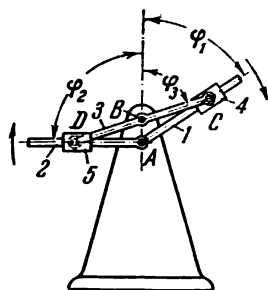
Les longueurs des éléments du mécanisme satisfont aux conditions:  $AC = 1,86 AB$  et  $l = 3,57 AB$ . La manivelle 1, mobile sur un axe fixe A, forme un couple de rotation B avec le coulisseau 3 glissant le long de l'axe de l'élément 4. L'élément 4 constitue un couple de translation avec le coulisseau 5 tournant autour d'un axe fixe C. L'élément 2, formant un couple de rotation D avec l'élément 4, coulisse dans le guidage fixe  $a - a$ . Lors de la rotation uniforme de la manivelle 1 à un angle  $\varphi$  de part et d'autre de la ligne verticale AC, l'élément 2 reçoit un mouvement approximativement uniforme.



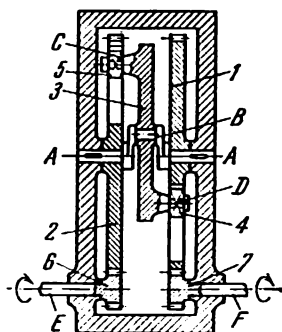
La figure *a* représente le schéma du mécanisme, la figure *b* le schéma de construction de la boîte de vitesses conçue sur la base de ce mécanisme. Les éléments 1 et 2 tournent, indépendamment l'un de l'autre, autour d'un axe fixe *A*. L'élément 3, qui tourne sur un axe fixe *B*, se présente comme une coulisse à deux rainures *c* et *d* et constitue les couples de translation *C* et *D* avec les coulisseaux 4 et 5 qui, à leur tour, constituent des couples de rotation avec les manivelles 1 et 2. Les éléments 1 et 2 ont l'aspect de roues dentées qui engrenent avec les pignons 6 et 7 solidaires des arbres *E* et *F* tournant dans les paliers fixes de l'enveloppe de la boîte de vitesses. Les angles de rotation  $\varphi_1$ ,  $\varphi_2$  et  $\varphi_3$  des éléments 1, 2 et 3 obéissent aux conditions:

$$\varphi_1 = \arctg \frac{BC \sin \varphi_3}{AB + BC \cos \varphi_3};$$

$$\varphi_2 = \arctg \frac{BD \sin \varphi_3}{BD - AD \cos \varphi_3}.$$



a)

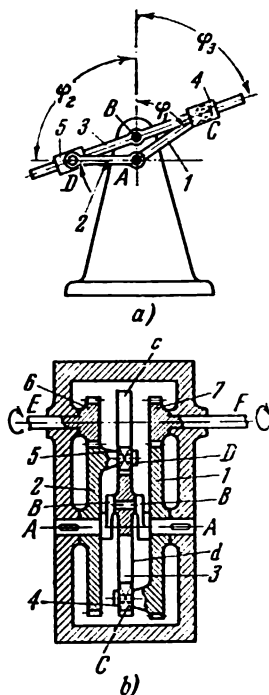


b)

La figure *a* représente le schéma cinématique du mécanisme, la figure *b* le schéma de construction de la boîte de vitesses fondée sur ce mécanisme. Les éléments 1 et 2 tournent autour d'un axe fixe *A* indépendamment l'un de l'autre. L'élément 3, tournant sur un axe fixe *B*, a la forme d'un levier à deux bras qui constitue les couples de rotation *C* et *D* avec les coulisseaux 4 et 5 glissant dans les rainures des éléments 1 et 2. Les éléments 1 et 2 ont la forme de roues dentées qui engrenent avec les pignons 6 et 7 solidaires des arbres *E* et *F* tournant dans les paliers fixes appartenant à l'enveloppe de la boîte de vitesses. Les angles de rotation  $\varphi_1$ ,  $\varphi_2$  et  $\varphi_3$  des éléments 1, 2 et 3 obéissent aux conditions:

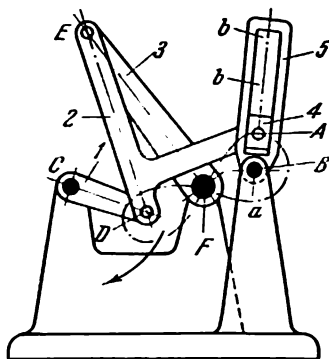
$$\varphi_3 = \arctg \frac{AC \sin \varphi_1}{AC \cos \varphi_1 - AB};$$

$$\varphi_2 = \arctg \frac{BD \sin \varphi_3}{AB - BD \cos \varphi_3}.$$



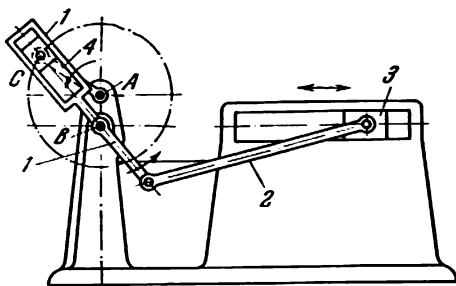
La figure a représente le schéma cinématique du mécanisme, la figure b le schéma de construction de la boîte de vitesses fondée sur ce mécanisme. Les éléments 1 et 2 tournent autour d'un axe fixe A indépendamment l'un de l'autre. L'élément 3, mobile sur un axe fixe B, a la forme d'un levier à deux bras qui constitue un couple de rotation D avec le coulisseau 5 glissant dans la coulisse c de l'élément 2, et un couple de translation C avec le coulisseau 4 glissant dans la coulisse d de l'élément 3. Les éléments 1 et 2 ont la forme de roues dentées qui engrenent avec les pignons 6 et 7 tournant dans les paliers fixes de l'enveloppe de la boîte de vitesses. Les angles de rotation  $\varphi_1$ ,  $\varphi_2$  et  $\varphi_3$  des éléments 1, 2 et 3 obéissent à la condition :

$$\begin{aligned}\varphi_3 &= \arctg \frac{AC \sin \varphi_1}{AC \cos \varphi_1 - AB} = \\ &= \arctg \frac{AD \sin \varphi_2}{AB - AD \cos \varphi_2}.\end{aligned}$$



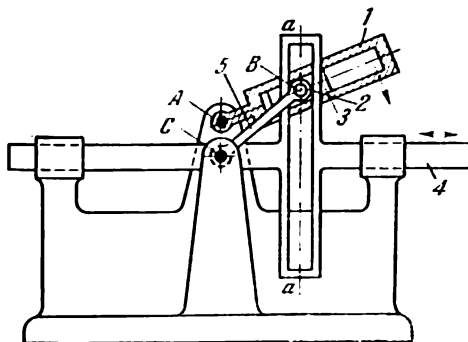
Le point *A* de la bielle 2 du système *CDEF* à quatre éléments articulés décrit une courbe de bielle *a* comportant un point double. Le coulisseau 4, glissant dans la rainure *b — b'* de la coulisse 5, forme un couple de rotation *A* avec l'élément 2. La coulisse 5 tourne autour d'un axe fixe *B*, effectuant, pour chaque tour de la manivelle 1, un tour complet autour d'un centre *B*; pendant que le point *A* de la bielle 2 parcourt son trajet, la coulisse 5 tourne tout d'abord dans le sens contraire aux aiguilles d'une montre, puis elle pivote à un certain angle dans le sens opposé pour reprendre ensuite sa rotation initiale.



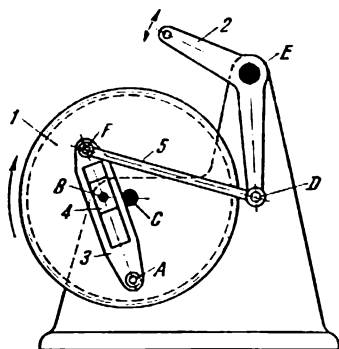


L'élément 1 du mécanisme  $ABC$  à coulisse, à quatre éléments imprime le mouvement à la bielle 2 et au coulisseau 3, la durée des courses aller et retour de ce dernier varie. Lorsque la manivelle 4 est en rotation uniforme, le rapport  $k$  de la durée des courses aller et retour a pour valeur :

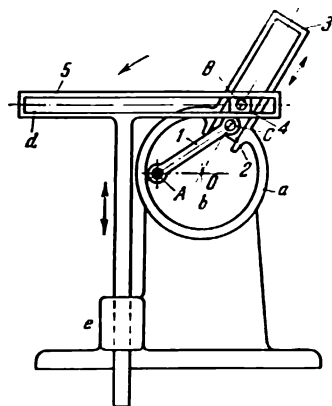
$$k = \frac{\pi}{\arccos \frac{AB}{AC}} - 1.$$



Le galet 2, glissant dans la coulisse 1, constitue un couple cinématique  $B$  avec le coulisseau 3 qui glisse dans le guidage  $a - a'$  de l'élément 4. La coulisse 1 fait un tour complet autour d'un axe fixe  $A$ . Lorsque l'élément 1 est en rotation uniforme, la manivelle 5 tourne sur l'axe fixe  $C$  à une vitesse non uniforme, et de cette façon la durée des courses aller et retour de l'élément 4 varie.



L'élément 1, qui a la forme d'une roue dentée, tourne sur un axe fixe C. La coulisse 3 et la roue 1 constituent un couple de rotation A. Le coulisseau 4 est mobile sur un axe fixe B. L'élément 5 forme des couples de rotation F et D avec la coulisse 3 et le levier 2 oscillant sur un axe fixe E. Lorsque l'élément 1 tourne, le levier 2 effectue un mouvement d'oscillation. Le point F décrit une courbe de bielle. L'entraînement du mécanisme s'effectue à l'aide d'un train d'engrenages non représenté sur le dessin.

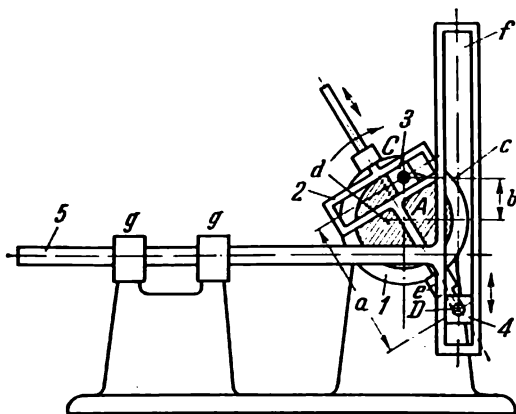


La coulisse 3 comporte une bague *a* qui embrasse un excentrique fixe *b* ayant pour centre le point *O*. La manivelle 1 et le coulisseau 2 constituent un couple de rotation *C*. Le coulisseau 2 forme un couple de rotation *B* avec le coulisseau 4 qui glisse dans le guidage *d* de l'élément 5 animé d'un mouvement alternatif le long de l'axe du guidage fixe *c*. Quand la manivelle 1 tourne, la coulisse 3 se met en rotation par rapport à l'excentrique fixe *b* imprimant le mouvement à l'élément 5 par l'intermédiaire du coulisseau 4. La course complète *s* de l'élément 5 est égale à :

$$s = 2 [\sqrt{(AC)^2 - (AO)^2} + (BC)^2].$$

Le rapport *k* de la durée des courses aller et retour de l'élément 5 est donné par la formule :

$$k = \frac{\pi}{\arcsin \frac{AC}{AO}} - 1.$$



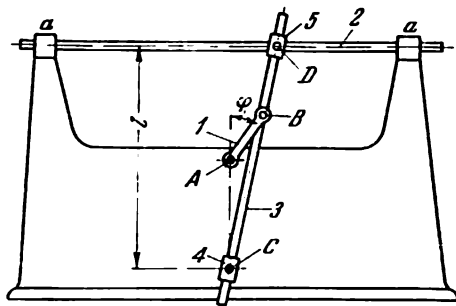
L'élément 1 a la forme d'une bague  $c$  qui vient entourer un disque fixe  $d$ . Le coulisseau 3 est mobile sur un axe fixe  $C$ . L'élément 2 glisse dans le guidage  $e$ . Au point  $D$  l'élément 2 forme un couple de rotation avec le coulisseau 4 glissant dans le guidage  $f$  de l'élément 5 qui effectue un mouvement de va-et-vient dans le guidage  $g - g$ . Le déplacement  $s$  de l'élément 5 à partir de sa position limite gauche ou droite s'exprime par la formule :

$$s = a(1 - \sin \alpha) + \frac{b}{2} \sin 2\alpha,$$

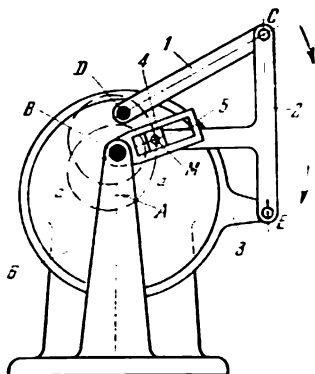
où  $\alpha$  est l'angle de rotation de l'élément 2, évalué à partir de l'axe vertical. Le rapport  $k$  entre les vitesses maxima des courses aller et retour a pour valeur :

$$k = \frac{a-b}{a+b}.$$

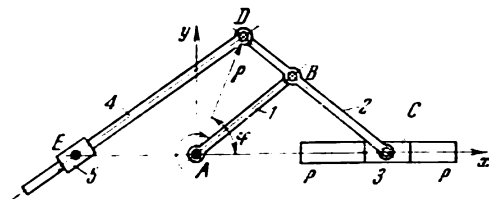
Le point  $D$  du mécanisme décrit une conchoïde de circonférence.



Les longueurs des éléments du mécanisme satisfont aux conditions:  $AC = 1,86 AB$  et  $l = 3,47 AB$ . La manivelle 1, tournant sur un axe fixe A, forme un couple de rotation B avec l'élément 3. L'élément 3 glisse dans le coulisseau 4, qui tourne autour d'un axe fixe C, et dans le coulisseau 5 qui constitue avec l'élément 2 un couple de rotation D. L'élément 2 coulisse dans le guidage fixe a. Lors de la rotation uniforme de la manivelle 1 à un angle  $\varphi$  de part et d'autre de la ligne verticale AC, l'élément 2 reçoit un mouvement approximativement uniforme.



Le point  $M$  de la bielle 2 du mécanisme  $AECD$  à quatre éléments articulés et à deux manivelles décrit une courbe de bielle  $a - a$  qui a un seul point double. Le coulisseau 4, qui forme un couple de rotation  $M$  avec la bielle 2, glisse dans la rainure de la coulisse 5 mobile autour d'un axe fixe  $B$ . La manivelle 3 a la forme d'une bague 3 qui vient entourer le disque fixe 6 ayant pour centre le point  $A$ . La courbe de bielle  $a - a$  présente une forme telle que pour chaque tour des manivelles 1 et 3 la coulisse 5 effectue deux tours complets autour du centre  $B$ .



Les longueurs des éléments du mécanisme satisfont à la condition:  $AB = BC$ . L'élément 1, tournant sur un axe fixe  $A$ , constitue avec l'élément 2 un couple de rotation  $B$ . L'élément 2 forme des couples de rotation  $D$  et  $C$  avec l'élément 4 et le coulisseau 3 qui coulisse dans le guidage fixe  $p - p$ . L'élément 4 forme un couple de translation avec le coulisseau 5 mobile autour d'un axe fixe  $E$ . Le point  $D$  du mécanisme décrit une ellipse de centre  $A$  qui a pour équation:

$$\frac{x^2}{(m-n)^2} + \frac{y^2}{(m+n)^2} = 1.$$

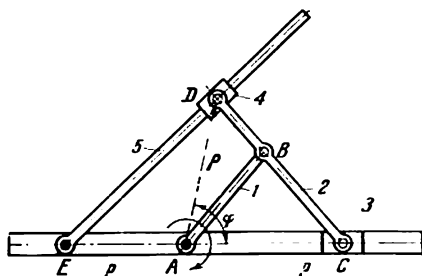
Le vecteur variable  $\rho = AD$  peut être considéré comme la manivelle du mécanisme à coulisse  $ADE$  avec un coulisseau oscillant 5, la longueur variable  $AD$  de cette manivelle étant égale à:

$$AD = (m^2 - n^2) \sqrt{\frac{1}{m^2 + n^2 + 2mn \cos 2\varphi}},$$

où  $\varphi$  est l'angle que forme le vecteur  $\rho$  avec l'axe  $Ax$ ,

$$m = AB \text{ et } n = BD.$$





Les longueurs des éléments du mécanisme satisfont à la condition :  $AB = BC$ . L'élément 1, tournant sur un axe fixe  $A$ , constitue un couple de rotation  $B$  avec l'élément 2. L'élément 2 forme des couples de rotation  $D$  et  $C$  avec les coulisseaux 4 et 3. Le coulisseau 3 glisse dans le guidage fixe  $p - p$ . L'élément 4 forme un couple de translation avec l'élément 5 tournant autour d'un axe fixe  $E$ . Le point  $D$  du mécanisme décrit une ellipse de centre  $A$  qui a pour équation :

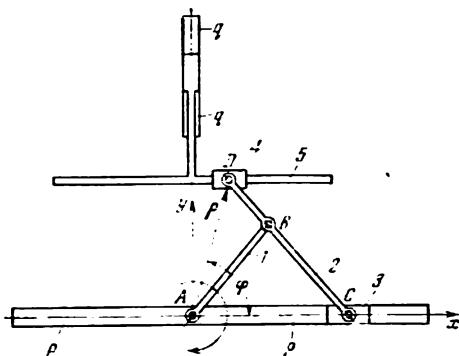
$$\frac{x^2}{(m-n)^2} + \frac{y^2}{(m+n)^2} = 1.$$

Le vecteur variable  $\rho = AD$  peut être considéré comme la manivelle du mécanisme à coulisse  $ADE$ , la longueur variable  $AD$  de la manivelle étant :

$$AD = (m^2 - n^2) \sqrt{\frac{1}{m^2 + n^2 + 2mn \cos 2\varphi}},$$

où  $\varphi$  est l'angle formé par le vecteur  $\rho$  avec l'axe  $Ax$ ,

$$m = AB \text{ et } n = BD.$$



Les longueurs des éléments satisfont à la condition:  $AB = BC$ . L'élément 1, mobile sur un axe fixe  $A$ , constitue un couple de rotation  $B$  avec l'élément 2. L'élément 2 forme des couples de rotation  $D$  et  $C$  avec les coulisseaux 4 et 3. Le coulisseau 3 glisse dans le guidage fixe  $p - p$ . Le coulisseau 4 forme un couple de translation avec l'élément 5 qui glisse dans le guidage fixe  $q - q$ . Le point  $D$  du mécanisme décrit une ellipse de centre  $A$  qui a pour équation :

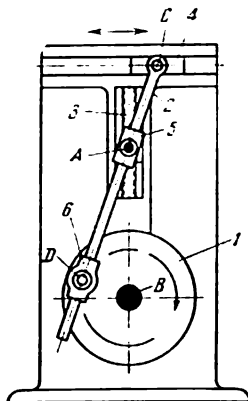
$$\frac{x^2}{(m-n)^2} + \frac{y^2}{(m+n)^2} = 1.$$

Le vecteur variable  $\rho = AD$  peut être considéré comme la manivelle du mécanisme à coulisse  $ADE$ , la longueur variable  $AD$  de cette manivelle étant égale à :

$$AD = (m^2 - n^2) \sqrt{\frac{1}{m^2 + n^2 + 2mn \cos 2\varphi}},$$

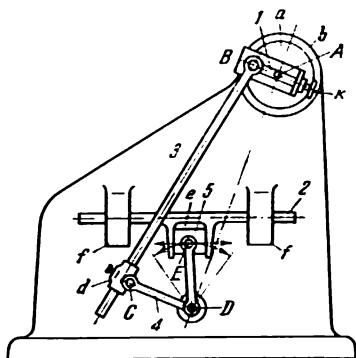
où  $\varphi$  est l'angle formé par le vecteur  $\rho$  avec l'axe  $Ax$ ,

$$m = AB \text{ et } n = BD.$$

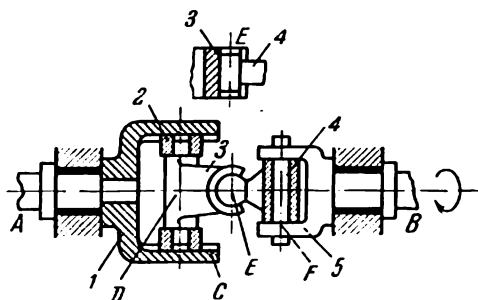


La coulisse 2, suspendue en un point  $C$  au coulisseau 4, glisse dans les guidages 5 et 6 qui tournent autour des axes  $A$  et  $B$ . A l'aide de la vis 3 on fait varier la position de l'axe  $A$ , et par suite, la longueur de la course du coulisseau 4. La course complète  $s$  du coulisseau 4 est égale à :

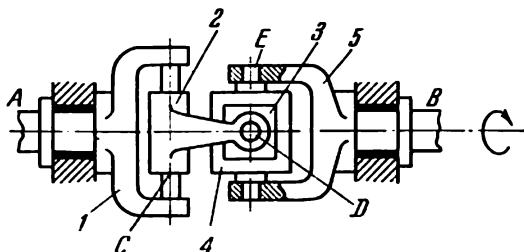
$$s = 2 BD \frac{AB}{AC} .$$



La manivelle 1 est solidaire du disque *a* qui tourne dans le collier fixe *b* ayant pour centre le point *A*. L'élément 3 constitue des couples de rotation *B* et *C* avec les éléments 1 et 4. L'élément 4, mobile autour d'un axe fixe *D*, forme un couple de rotation *E* avec le coulisseau 5 glissant dans le guidage *e* du coulisseau 2 qui, à son tour, se meut dans le guidage fixe *f — f*. La longueur *AB* de la manivelle 1 peut être modifiée à l'aide d'un dispositif à vis *k*, alors que, pour modifier la longueur *BC* de la bielle 3, il faut déplacer le manchon *d* le long de l'élément 3 dans la position voulue et le fixer. Lorsque la manivelle 1 tourne, le coulisseau 2 reçoit un mouvement alternatif. On règle la longueur de la course du coulisseau 2 en modifiant les longueurs de la manivelle 1 et de la bielle 3.



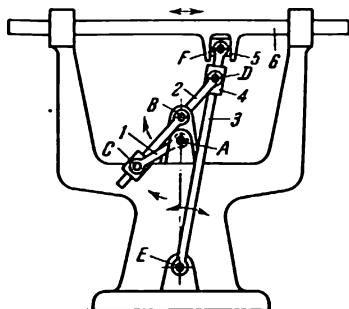
L'élément 1, tournant autour d'un axe fixe A, constitue un couple de translation C avec l'élément 3. L'élément 4 forme un couple cylindrique E avec l'élément 3 et un couple de rotation F avec l'élément 5 tournant autour d'un axe fixe B. Le mécanisme sert à transmettre le mouvement de rotation entre deux axes A et B ayant des positions angulaires quelconques.



L'élément 1, tournant autour d'un axe fixe A, constitue un couple cylindrique C avec l'élément 2 qui forme un couple de rotation D avec le coulisseau 3 glissant dans le guidage appartenant à l'élément 4. Celui-ci constitue un couple de rotation E avec l'élément 5 tournant autour d'un axe fixe B. Le mécanisme sert à transmettre le mouvement de rotation entre deux axes A et B ayant des positions angulaires quelconques.

## 5. Mécanismes à éléments multiples d'usage général (1028-1042)

1028	<b>MÉCANISME À COULISSE ET LEVIERS AVEC TROIS COULISSEAUX</b>	<b>CL M</b>
<div data-bbox="246 386 788 743" data-label="Image"> </div> <p data-bbox="166 768 868 939">Le coulisseau 4 qui s'articule sur le maneton D de la bascule 6 vient s'engager dans la rainure de l'élément 3. Le coulisseau 5 se meut dans le guidage de la coulisse 7. Lorsque la manivelle 1 tourne, l'élément 3, relié à cette manivelle par la bielle 2, effectue un mouvement de va-et-vient, tandis que le mouvement de la bascule 6 et de la glissière 7 est celui de rotation alternative autour des axes fixes E et F.</p>		



On relie le coulisseau 4 glissant le long de l'axe de l'élément 3 à l'élément 2 du mécanisme à coulisse ABC comportant la manivelle 1. On relie à l'élément 3 le coulisseau 5 qui glisse dans le guidage du coulisseau 6. Si l'on désigne les angles formés par les axes des éléments AC, BC et EF avec la direction BE par :

$$\alpha = \angle CAE,$$

$$\beta = \angle CBA,$$

$$\gamma = \angle DEB,$$

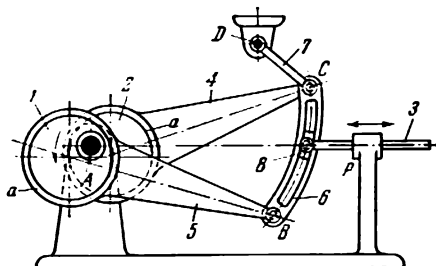
on peut exprimer les relations entre ces angles de la façon suivante :

$$\operatorname{tg} \beta = \frac{AC \sin \alpha}{AB + AC \cos \alpha}$$

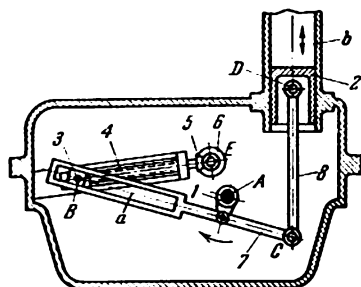
et

$$\operatorname{tg} \gamma = \frac{BD \sin \beta}{EB + BD \cos \beta}.$$

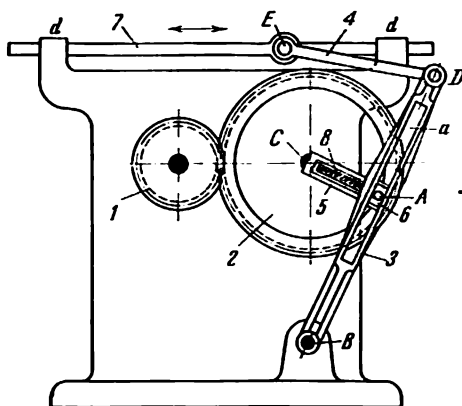




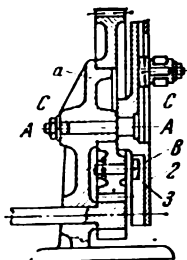
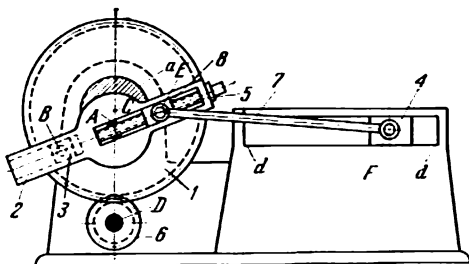
Les excentriques 1 et 2, rigidement liés entre eux, tournent autour d'un axe fixe A. Les éléments 4 et 5 comportent les bagues *a — a* qui entourent les excentriques 1 et 2. La coulisse arquée 6 constitue avec les éléments 4 et 5 des couples de rotation C et B. Dans la rainure de la coulisse 6 glisse le coulisseau arqué 8 qui forme un couple de rotation avec la tige 3 coulissant le long de l'axe du guidage fixe *p*. L'élément 7, mobile autour d'un axe fixe D, forme un couple de rotation C avec la coulisse 6. Lorsque les excentriques 1 et 2 sont en mouvement, la tige 3 reçoit un mouvement alternatif.



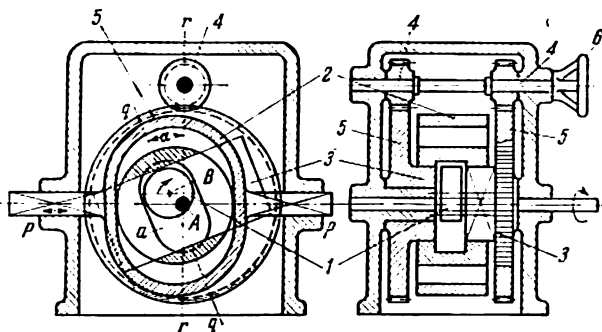
La manivelle 1 tourne sur un axe fixe A. Par sa rainure a, la coulisse 7 glisse sur le coulisseau 3 tournant autour d'un axe fixe B. La bielle 8 constitue des couples de rotation C et D avec la coulisse 7 et le piston 2 qui se meut dans un cylindre fixe b. Lorsque la manivelle 1 tourne, le piston 2 reçoit un mouvement de va-et-vient. Le déplacement du piston est réglé par un dispositif à vis 4 à l'aide duquel on fait varier la distance EB. La rotation de la vis s'effectue à l'aide d'un couple de pignons coniques 5 et 6.



La manivelle 5, tournant sur un axe fixe *C*, est solidaire de la roue dentée 2 mise en mouvement par la roue dentée 1. La manivelle 5 constitue un couple de rotation *A* avec le coulisseau 6 glissant dans la rainure *a* de la coulisse 3 qui tourne autour d'un axe fixe *B*. L'élément 4 forme un couple de rotation *D* avec la coulisse 3 et un couple de rotation *E* avec le coulisseau 7 glissant dans le guidage fixe *d — d*. On modifie la longueur *AC* de la manivelle 5 par un dispositif à vis 8, en réglant ainsi la longueur de course du coulisseau 7. Le coulisseau 7 a les vitesses différentes de ses courses aller et retour.



La coulisse 2, mobile autour d'un axe fixe A, constitue un couple de translation avec le coulisseau 3 tournant sur l'axe du doigt B de l'élément 1. L'élément 1 a la forme d'une roue dentée tournant librement sur une bague fixe a. L'entraînement de la roue 1 s'effectue à l'aide de la roue dentée 6 tournant autour d'un axe fixe D. La bielle 7 forme des couples de rotation E et F avec la coulisse 2 et le coulisseau 4. La coulisse 2 porte une rainure dans laquelle peut se déplacer le coulisseau 8 à l'aide d'un dispositif à vis 5. On peut donc varier la longueur AE de l'élément 2, en réglant la course du coulisseau 4 dans le guidage fixe d — d. Lorsque la roue 6 tourne, le coulisseau 4 reçoit un mouvement de va-et-vient.

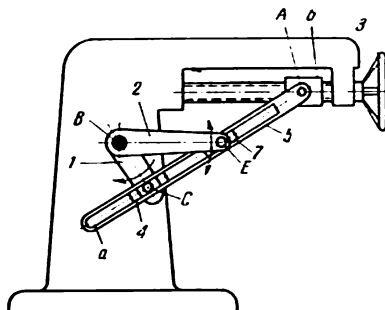


L'excentrique 1 tourne autour d'un axe fixe A. L'élément 2 se meut dans le guidage fixe  $p - p$ . L'élément 2 comporte un guidage triangulaire 3 muni d'une rainure  $a$ . Les roues dentées 5, solidaires des pièces de guidage 3, engrènent avec les roues dentées 4 dont la rotation s'effectue au moyen d'un volant à main 6. Le déplacement  $s_2$  de l'élément 2 a pour expression :

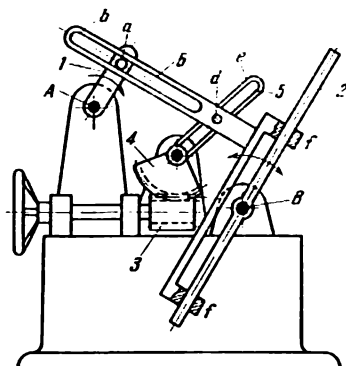
$$s_2 = AB (\sin \varphi - \cos \varphi \operatorname{tg} \alpha),$$

où  $AB$  est la distance entre l'axe de rotation A et le centre B de l'excentrique 1;  $\varphi$ , l'angle entre la direction  $AB$  et l'axe  $r - r$ ;  $\alpha$ , l'angle entre l'axe  $q - q$  de la rainure  $a$  et l'axe  $r - r$ . Lorsque l'excentrique 1 tourne, la coulisse 2 reçoit un mouvement de va-et-vient. Pour faire varier la course  $s_2$  de la coulisse 2, il suffit de modifier l'angle  $\alpha$  de l'inclinaison du guidage triangulaire 3 des roues 5, en agissant sur les pignons 4.





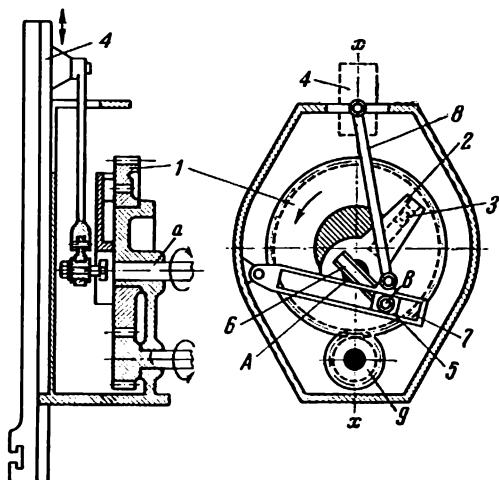
La manivelle 1, tournant autour d'un axe fixe B, constitue un couple de rotation C avec le coulisseau 4 qui glisse dans la rainure a de la coulisse 5. La coulisse 5 s'articule sur l'axe A appartenant au coulisseau fixe 6. L'élément 2 tourne autour d'un axe fixe B et forme un couple de rotation E avec le coulisseau 7 glissant dans la rainure a. Lorsque la manivelle 1 tourne, l'élément 2 reçoit un mouvement d'oscillation. On peut régler l'angle de rotation de l'élément 2 en déplaçant l'articulation A à l'aide de la vis 3. Le réglage peut être effectué au cours du fonctionnement du mécanisme.



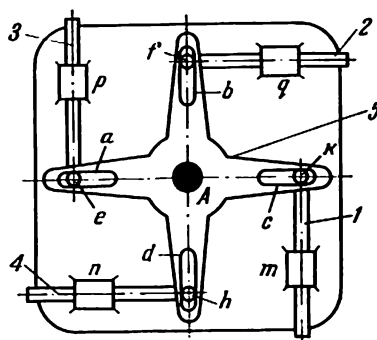
La manivelle 1, tournant sur un axe fixe A, comporte un doigt a qui glisse dans la rainure b de l'élément 6. Le doigt d de l'élément 6 glisse dans la rainure e de la coulisse 5 solidaire du secteur denté 4. L'élément 6 porte à son extrémité des pattes f coulissant le long de l'axe de l'élément 2, mobile autour d'un axe fixe B. Lorsque la manivelle 1 tourne, l'élément commandé 2 reçoit un mouvement d'oscillation. L'angle de rotation de l'élément 2 peut être réglé au moyen d'une crémaillère 3 et d'un secteur denté 4 qui font varier la position de la coulisse 5. Le réglage peut être effectué au cours du fonctionnement du mécanisme.



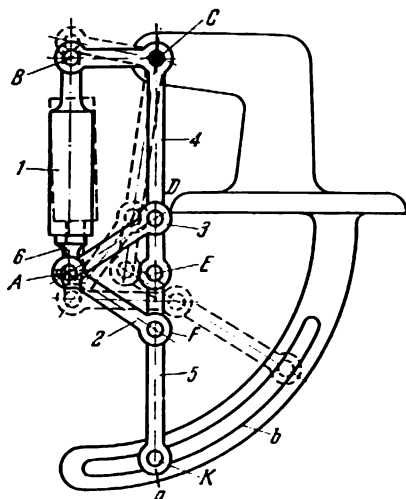




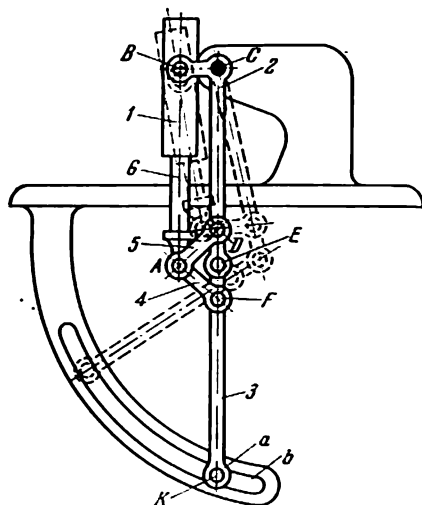
Dans la coulisse 2, mobile autour d'un axe fixe A, glisse le coulisseau 3 tournant librement autour du doigt fixé sur la roue dentée 1 entraînée par le pignon 9. L'élément 6 solidaire de la coulisse 2 s'articule sur le coulisseau 5 qui glisse dans la coulisse 7. La bielle 8, qui s'articule sur la coulisse 7, imprime le mouvement au coulisseau 4. Lorsque la roue 1 tourne, le coulisseau 4 reçoit un mouvement alternatif le long de l'axe  $x - x$ . On règle les déplacements du coulisseau 4 en faisant varier la position du point B du coulisseau 5 dans la rainure de guidage de l'élément 6. La rotation non uniforme de la coulisse 2 peut être utilisée pour l'entraînement du deuxième organe commandé calé sur l'arbre a.



Les éléments 1, 2, 3 et 4 glissent dans les guidages fixes *p*, *q*, *m* et *n*. L'élément 5 en forme de croix, mobile autour d'un axe fixe *A*, comporte des rainures *a*, *b*, *c* et *d* dans lesquelles coulisent les doigts *e*, *f*, *k* et *h* des éléments 1, 2, 3 et 4 dont le déplacement est proportionnel à la tangente de l'angle de rotation de l'élément en croix.

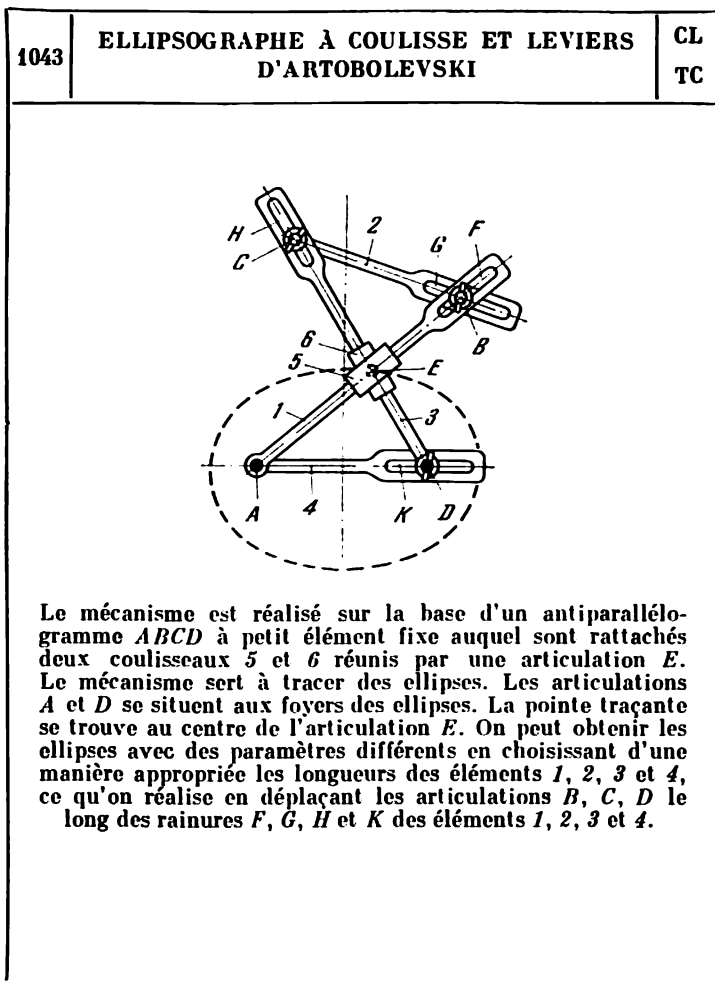


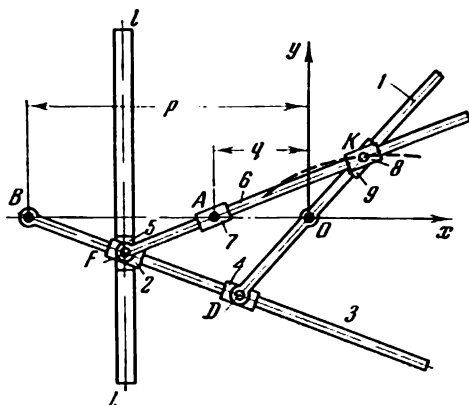
Le levier coudé 4 est mobile autour d'un axe fixe C. Le cylindre 1 et le levier 4 constituent un couple de rotation B. La tige du piston 6 du cylindre 1 forme un couple de rotation A avec les éléments 2 et 3. Les éléments 3 et 4 constituent un couple de rotation D, les éléments 2 et 5 constituent un couple de rotation F. L'élément 5 forme un couple de rotation E avec le levier 4 et possède au point K un doigt a coulissant dans un guidage arqué fixe b. Lorsque le piston 6 se déplace à l'intérieur du cylindre 1, la distance entre les axes A et B diminue, et les éléments 2, 3, 4 et 5 prennent les positions indiquées sur le dessin en traits discontinus. Lorsque la contre-fiche se trouve en position de travail, les points C, D, E, F et K sont alignés sur une même droite.



Le levier coudé 2 tourne autour d'un axe fixe C. Le cylindre I et le levier 2 constituent un couple de rotation B. La tige du piston 6 du cylindre I forme un couple de rotation A avec les éléments 4 et 5. Les éléments 5 et 2 constituent un couple de rotation D. Les éléments 4 et 3 constituent un couple de rotation F. L'élément 3 forme un couple de rotation E avec le levier 2 et possède, au point K, un doigt a glissant dans un guidage arqué fixe b. Lorsque la tige du piston 6 se déplace à l'intérieur du cylindre I, la distance entre les axes A et B augmente, et les éléments 2, 3, 4 et 5 prennent les positions indiquées sur le dessin en traits discontinus. Lorsque la contre-fiche se trouve en position de travail, les points C, D, E, F et K sont alignés sur une même droite.

## 6. Mécanismes servant à tracer les courbes (1043-1255)



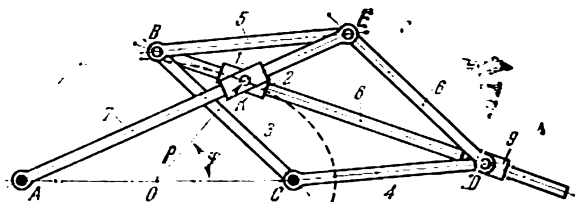


L'élément 3, mobile autour d'un axe fixe  $B$ , forme des couples de translation avec les coulisseaux 2 et 4. Le coulisseau 2 constitue un couple de rotation avec le coulisseau 5 glissant dans le guidage fixe  $l-l$ . L'élément 6, qui constitue un couple de rotation  $F$  avec le coulisseau 2, glisse dans le coulisseau 7 mobile autour d'un axe fixe  $A$ . L'élément 1, tournant autour d'un axe fixe  $O$ , constitue un couple de rotation  $D$  avec le coulisseau 4. Les coulisseaux 8 et 9 qui forment un couple de rotation  $K$  glissent le long des axes des éléments 6 et 1. Si  $2p > q > 0$ , lors de la rotation de la coulisse 1 autour de l'axe  $O$  le point  $K$  décrira une ellipse ayant pour équation:

$$\frac{x^2}{\frac{(q+r-p)^2 p^2}{(2p-q)^2}} + \frac{y^2}{\frac{(q+r-p)^2 q}{2p-q}} = 1,$$

où

$$p = BO, q = AO, r = OD.$$



Les longueurs des éléments du mécanisme satisfont à la condition :

$$EB = BC = CD = DE.$$

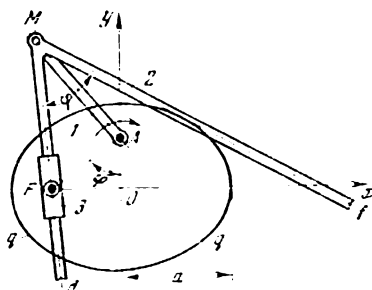
autrement dit, la figure  $EBCD$  est un losange. Les éléments 3 et 4 tournent autour d'un axe fixe  $C$ . Les éléments 5 et 6 forment des couples de rotation avec l'élément 7 qui tourne autour d'un axe fixe  $A$ . L'élément 8, formant un couple de rotation  $B$  avec les éléments 3 et 5, glisse dans le coulisseau 2 qui constitue un couple de rotation  $K$  avec le coulisseau 1. Ainsi, l'axe de l'élément 8 forme la diagonale  $BD$  du losange  $EBCD$ . Les coulisseaux 1 et 2 qui constituent un couple de rotation  $K$  glissent le long des axes des éléments 7 et 8. Lorsque l'élément 7 tourne autour de l'axe  $A$ , le point  $K$  décrit une ellipse ayant pour équation :

$$\rho = l \sqrt{\frac{l^2 - a^2}{l^2 - a^2 \cos \varphi}},$$

où  $2l = AE$ ;  $a = AO = OC$ ;  $\rho$  est le rayon vecteur du point  $K$  dans le système de coordonnées polaires ayant pour origine le milieu du segment  $AC$ ;  $\varphi$ , l'angle de rotation du rayon vecteur  $\rho$  par rapport à un axe fixe. Pour tracer une ellipse au moyen de ce mécanisme, il faut observer la condition

$$l > a.$$

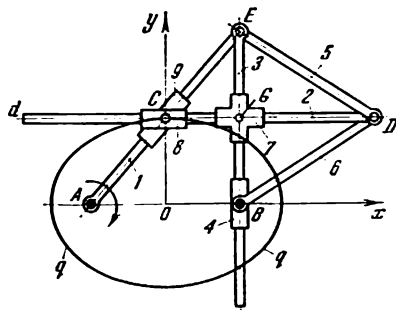




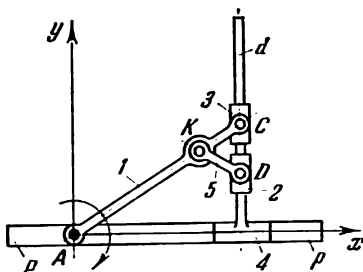
L'élément 1, tournant autour d'un axe fixe A, constitue un couple de rotation M avec l'élément 2 qui se présente sous la forme d'un levier d'angle avec l'angle  $dMf$  égal à  $\varphi$ . Le côté  $Md$  de l'élément 2 glisse dans le coulisseau 3 tournant autour d'un axe fixe F. Si l'on place le centre F dans un des foyers de l'ellipse et le centre A sur l'axe  $Oy$  passant par le centre O de l'ellipse à une distance AO égale à

$$AO = \frac{OF}{\operatorname{tg} \varphi},$$

et si l'on choisit la longueur AM de l'élément 1 égale à  $AM = \frac{a}{\sin \varphi}$ , où a est le demi-grand axe de l'ellipse, lors de la rotation de l'élément 1 autour de l'axe A la droite Mf suivra le contour de l'ellipse  $q - q$ .



L'élément 1, tournant autour d'un axe fixe A, forme un couple de translation avec le coulisseau 9 et un couple de rotation E avec l'élément 5. L'élément 3, formant un couple de rotation E avec les éléments 5 et 1, glisse dans un coulisseau en croisillon 7 aux axes de guidage perpendiculaires entre eux. L'élément 2, formant un couple de rotation D avec les éléments 5 et 6, glisse dans les coulisseaux 7 et 8. Les coulisseaux 8 et 9 constituent un couple de rotation C. L'élément 6 tourne autour d'un axe fixe B. L'élément 3 glisse dans le coulisseau 4 mobile autour d'un axe fixe B. Si l'on place les centres A et B dans les foyers d'une ellipse ou d'une hyperbole, et si l'on pose les longueurs des éléments 5 et 6 égales à  $ED = DB$ , lors de la rotation de l'élément 1 le point C du mécanisme décrira une ellipse ou une hyperbole et la droite Dd suivra le contour de l'ellipse ou de l'hyperbole. Sur le dessin, le mécanisme est réglé pour tracer une ellipse  $q - q$ . Le centre O de l'ellipse est situé au milieu de la distance entre les foyers A et B.



Les longueurs des éléments du mécanisme satisfont aux conditions:

$$AC = a,$$

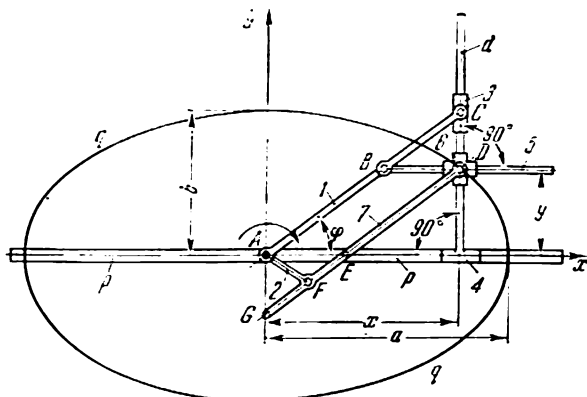
$$AK - KC = b$$

et

$$KC = KD = \frac{a-b}{2}.$$

L'élément 1, mobile autour d'un axe fixe A, forme les couples de rotation K et C avec l'élément 5 et le coulisseau 3. L'élément 5 et le coulisseau 2 constituent un couple de rotation D. Les coulisseaux 2 et 3 glissent sur la tige d du coulisseau 4, l'axe de cette tige étant perpendiculaire à l'axe Ax de glissement du coulisseau 4 sur un guidage fixe p — p. Quand l'élément 1 tourne autour d'un axe A, le point D décrit une ellipse de centre A qui a pour équation:

$$\frac{x^2}{a^2} + \frac{y^2}{b^2} = 1.$$

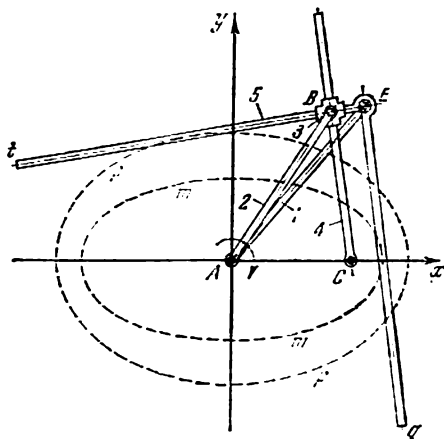


Les longueurs des éléments du mécanisme satisfont aux conditions:  $FD = \frac{a+b}{2}$  et  $AF = \frac{a-b}{2}$ ;  $GF = FE = AF$ , où  $a$  et  $b$  sont les demi-axes de l'ellipse. L'élément 1, tournant autour d'un axe fixe  $A$ , constitue les couples de rotation  $B$  et  $C$  avec l'élément 5 et le coulisseau 3 qui glisse le long de la tige  $d$  du coulisseau 4. L'élément 5 glisse dans le coulisseau 6 formant croisillon dont les axes de guidage sont perpendiculaires entre eux. Le coulisseau 6 glisse le long de la tige  $d$  du coulisseau 4 qui se meut dans un guidage fixe  $p-p$ . Lorsque l'élément 1 tourne autour de l'axe  $A$ , le point  $D$  du coulisseau 6 décrit une ellipse  $q-q$  dont les équations paramétriques sont

$$x = a \cos \varphi \text{ et } y = b \sin \varphi,$$

où  $\varphi$  est l'angle délimité par l'axe  $AC$  de l'élément 1 et l'axe  $Ax$  du guidage  $p-p$ . Si l'on ajoute à ce mécanisme de base l'élément 2, mobile autour d'un axe fixe  $A$ , et l'élément 7, qui constitue les couples de rotation  $F$  et  $D$  avec l'élément 2 et le coulisseau 6, les points  $E$  et  $G$  de l'élément 7 se mouvront le long des axes  $Ax$  et  $Ay$  et de ce fait tout point de l'élément 7 décrira une ellipse.

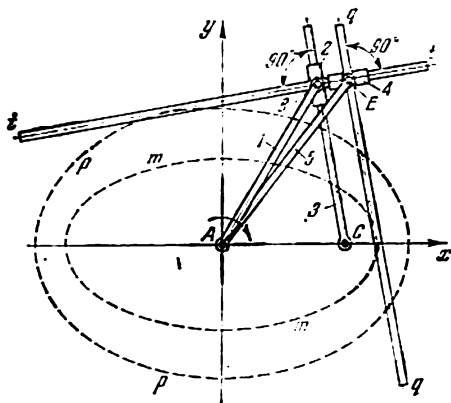




Les longueurs des éléments du mécanisme satisfont aux conditions:

$$AB = a_2 \quad \text{et} \quad AE = \sqrt{a_1^2 + b_2^2} = \sqrt{a_2^2 + b_1^2},$$

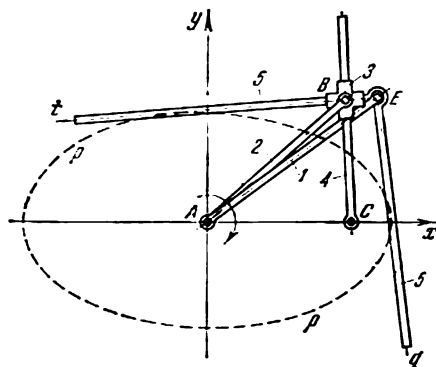
où  $a_1$  et  $b_1$  sont les demi-axes de l'ellipse  $m - m$ ,  $a_2$  et  $b_2$ , les demi-axes de l'ellipse  $p - p$ . L'angle  $tEq$  vaut  $90^\circ$ . L'élément 1, tournant autour d'un axe fixe A, forme un couple de rotation E avec l'élément 5 ayant la forme d'un levier à deux bras  $tEq$ . L'élément 4, tournant autour d'un axe fixe C, constitue un couple de translation avec le coulisseau en croisillon 3 dont les axes de guidage sont perpendiculaires entre eux. Par son côté  $Et$ , l'élément 5 glisse dans le coulisseau 3. L'élément 2, mobile autour de l'axe fixe A, forme un couple de rotation B avec le coulisseau 3. Si l'on fixe le point A au centre commun des ellipses  $m - m$  et  $p - p$  et le point C à l'un de leurs foyers communs, lors de la rotation de l'élément 1 autour de l'axe A les côtés de l'angle droit  $tEq$  de l'élément 5 suivent simultanément les contours des ellipses confocales  $m - m$  et  $p - p$ .



Les longueurs des éléments du mécanisme satisfont aux conditions suivantes:

$$AB = a_2 \text{ et } AE = \sqrt{a_1^2 + b_2^2} = \sqrt{a_2^2 + b_1^2},$$

où  $a_1$  et  $b_1$  sont les demi-axes de l'ellipse  $m - m$ ,  $a_2$  et  $b_2$ , les demi-axes de l'ellipse  $q - q$ . L'élément 1, tournant autour d'un axe fixe A, constitue un couple de rotation B avec le coulisseau 2 qui glisse le long de l'axe de l'élément 3 tournant autour d'un axe fixe C. L'élément 5, mobile autour de l'axe fixe A, forme un couple de rotation E avec le coulisseau 4 se mouvant le long de l'axe  $t - t$  de la traverse du coulisseau 2. Si l'on fixe le point A au centre commun des ellipses  $m - m$  et  $p - p$  et le point C à l'un de leurs foyers communs, lors de la rotation de l'élément 1 autour de l'axe A les axes  $t - t$  et  $q - q$  des traverses des coulisseaux 2 et 4 suivront les contours des ellipses confocales  $m - m$  et  $p - p$ .



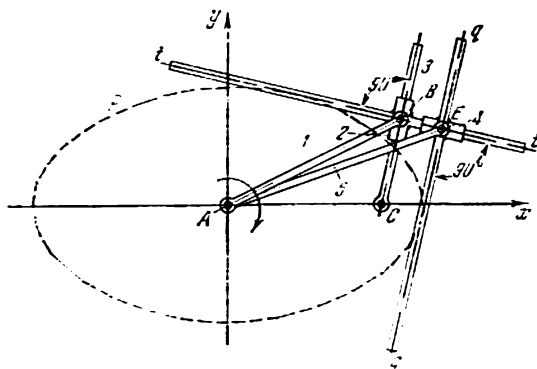
Les longueurs des éléments du mécanisme satisfont aux conditions:

$$AC = a; \quad AE = \sqrt{a^2 + b^2},$$

où  $a$  et  $b$  sont les demi-axes, grand et petit, de l'ellipse à contourner, et l'angle  $tEq = 90^\circ$ . L'élément 1, mobile autour d'un axe fixe  $A$ , constitue un couple de rotation  $E$  avec l'élément 5 qui a la forme d'un levier coudé  $tEq$ . L'élément 4, tournant autour d'un axe fixe  $C$ , forme un couple de translation avec le coulisseau en croisillon 3 dont les axes de guidage sont perpendiculaires entre eux. L'élément 5 glisse par son côté  $Et$  dans le coulisseau 3. L'élément 2, mobile autour de l'axe fixe  $A$ , et le coulisseau 3 constituent un couple de rotation  $B$ . Si l'on fixe le point  $A$  au centre de l'ellipse et le point  $C$  à l'un de ses foyers, lors de la rotation de l'élément 1 autour de l'axe  $A$  les côtés de l'angle droit  $tEq$  de l'élément 5 suivent simultanément le contour de l'ellip-

se  $p - p$ .



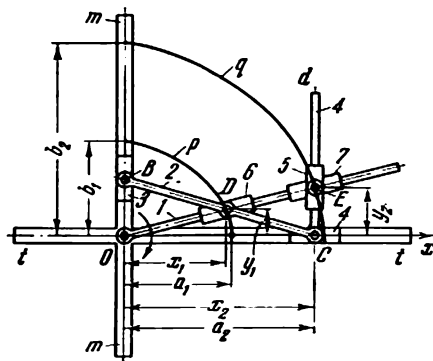


Les longueurs des éléments du mécanisme satisfont aux conditions :

$$AB = a \text{ et } AE = \sqrt{a^2 + b^2},$$

où  $a$  et  $b$  sont les demi-axes, grand et petit, de l'ellipse à contourner. L'élément 1, tournant autour d'un axe fixe  $A$ , constitue un couple de rotation  $B$  avec le coulisseau 2 glissant le long de l'axe de l'élément 3 qui tourne autour d'un axe  $C$ . L'élément 5, mobile autour de l'axe fixe  $A$ , forme un couple de rotation  $E$  avec le coulisseau 4 qui glisse le long de l'axe  $t - t$  de la traverse appartenant au coulisseau 2. Si l'on fixe le point  $A$  au centre de l'ellipse et le point  $C$  à l'un de ses foyers, lors de la rotation de l'élément 1 autour de l'axe  $A$  les axes  $t - t$  et  $q - q$  de la traverse des coulisseaux 2 et 4 suivent simultanément le contour de l'ellipse

$p - p$ .



L'élément 1, mobile autour d'un axe fixe  $O$ , forme des couples de translation avec les coulisseaux 6 et 7. L'élément 2 constitue un couple de rotation  $D$  avec le coulisseau 6 et des couples de rotation  $B$  et  $C$  avec les coulisseaux 3 et 4 qui glissent dans deux guidages perpendiculaires entre eux  $t - t$  et  $m - m$ . Le coulisseau 5 forme un couple de rotation  $E$  avec le coulisseau 7 et glisse sur la tige  $d$  du coulisseau 4. Lorsque l'élément 1 tourne autour de l'axe  $O$ , le point  $D$  décrit une ellipse  $p - p$  et le point  $E$  décrit une ellipse  $q - q$ . L'ellipse  $p - p$  a pour équation :

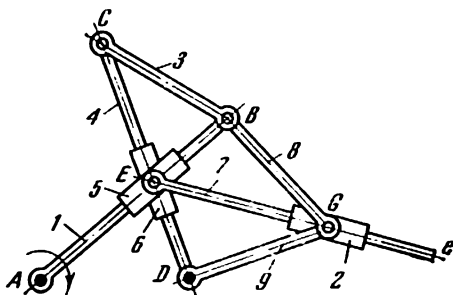
$$\frac{x_1^2}{a_1^2} + \frac{y_1^2}{b_1^2} = 1,$$

où  $a_1 = BD$  et  $b_1 = DC$ , et l'ellipse  $q - q$  :

$$\frac{x_2^2}{a_2^2} + \frac{y_2^2}{b_2^2} = 1,$$

où  $a_2 = a_1 + b_1$ ;  $b_2 = \frac{b_1}{a_1}(a_1 + b_1)$ . Il s'ensuit que les paramètres des ellipses  $p - p$  et  $q - q$  doivent remplir la condition suivante :

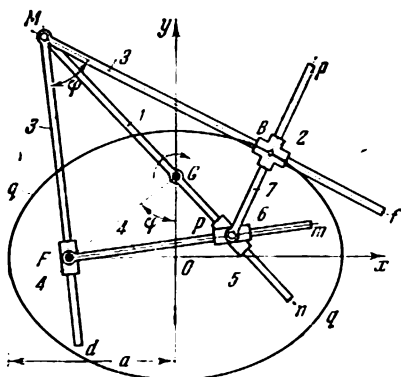
$$\frac{a_1}{a_2} = \frac{b_1}{b_2}.$$



Les longueurs des éléments du mécanisme satisfont aux conditions suivantes :

$$AB = DC ; CB = AD \text{ et } CB = GD ; AB > BC.$$

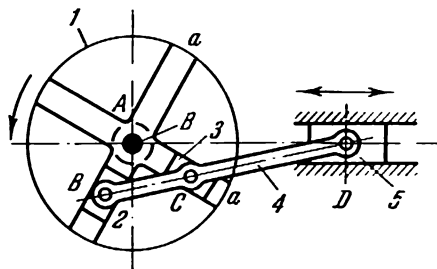
La figure  $ABCD$  est un antiparallélogramme. L'élément 1, tournant sur un axe fixe  $A$ , forme un couple de translation avec le coulisseau 5 et des couples de rotation  $B$  avec les éléments 3 et 8. L'élément 4, mobile autour d'un axe fixe  $D$ , constitue un couple de translation avec le coulisseau 6 et un couple de rotation  $C$  avec l'élément 3. Les coulisseaux 5 et 6 constituent un couple de rotation  $E$ . L'élément 9, tournant autour de l'axe fixe  $D$ , forme des couples de rotation  $G$  avec l'élément 8 et le coulisseau 2 qui glisse le long de l'axe  $Ee$  de l'élément 7 formant les couples de rotation  $E$  avec les coulisseaux 5 et 6. Si l'on fixe les centres  $A$  et  $D$  aux foyers de l'ellipse, le point  $E$  trace une ellipse, tandis que la droite  $Ee$  suit le contour de l'ellipse tracée par le point  $E$ .



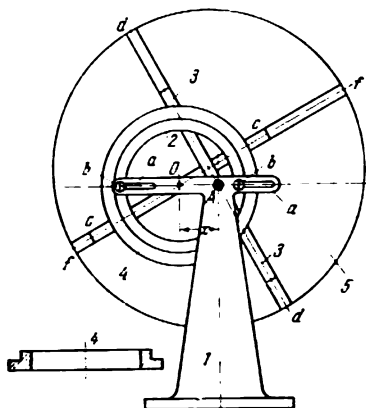
L'élément 1, tournant autour d'un axe fixe  $G$ , forme un couple de rotation  $M$  avec l'élément 3 qui se présente sous la forme d'un levier d'angle  $dMf$  où l'angle est égal à  $\varphi$ . Le côté  $Md$  de l'élément 3 glisse dans le coulisseau 4 mobile autour d'un axe fixe  $F$ , tandis que le côté  $Mf$  glisse dans le coulisseau en croisillon 2 dont les axes de guidage sont perpendiculaires entre eux. Les coulisseaux 5 et 6 qui constituent un couple de rotation  $P$  suivent les directions  $Fm$  et  $Gn$  des éléments 4 et 1. Si l'on place le centre  $F$  à l'un des foyers de l'ellipse et le centre  $G$  sur l'axe  $Oy$ , passant par le centre  $O$  de l'ellipse, à une distance  $GO$  de l'axe  $Fx$  égale à :

$$GO = \frac{OF}{\operatorname{tg} \varphi},$$

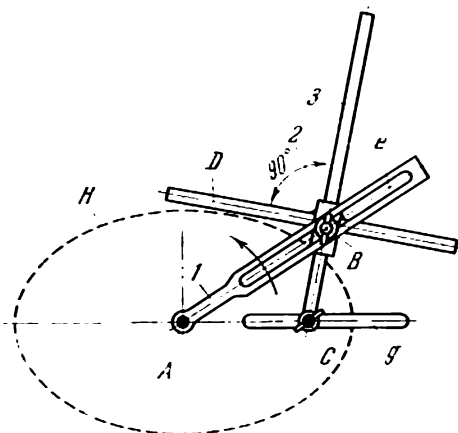
et si l'on choisit la longueur  $GM$  de l'élément 1 égale à  $GM = \frac{a}{\sin \varphi}$ , où  $a$  est le demi-grand axe de l'ellipse, lors de la rotation de l'élément 1 autour de l'axe  $G$  la droite  $Mf$  suivra le contour de l'ellipse  $q-q$ , tandis que le point  $B$  du coulisseau 2, se trouvant à l'intersection des directions  $Pp$  et  $Mf$ , tracera l'ellipse  $q-q$ .



Le disque 1 comporte deux rainures diamétrales  $a$ , perpendiculaires entre elles. Dans ces rainures glissent les coulisseaux 2 et 3. L'élément 4 forme un couple de rotation  $D$  avec le coulisseau 5 glissant dans un guidage fixe. Si l'on détache le coulisseau 5 et si l'on arrête le disque 1, le mécanisme se transforme en ellipsographe dans lequel tous les points de l'élément 4 traceront des ellipses. Pour chaque tour de l'arbre  $A$ , le piston 5 effectue deux courses de va-et-vient.



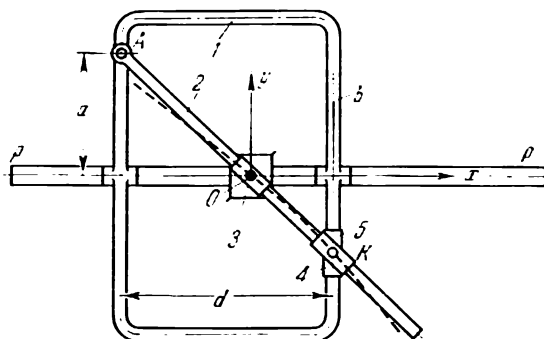
La bague 2 est fixée au moyen des vis *b* au support 1 comportant des rainures *a*. La bague peut être placée arbitrairement dans les rainures *a*, sa position étant définie par la coordonnée  $x$  égale à  $AO$ , où  $O$  est le centre de la bague 2. Le coulisseau 3, tournant autour d'un axe fixe  $A$ , glisse dans la rainure  $d - d$  du plateau 5. Le coulisseau 4, qui se présente sous la forme d'une bague embrassant la bague immobile 2, comporte des saillies *c* qui s'engagent dans la rainure  $f - f$  du plateau 5. Les axes des rainures  $d - d$  et  $f - f$  sont perpendiculaires entre eux. Lorsque le coulisseau 3 tourne, le crayon fixé sur le support 1 trace sur le plateau 5, qui tourne autour de l'axe  $A$  et en même temps glisse le long des axes des rainures  $d - d$  et  $f - f$ , une ellipse dont les paramètres dépendent de la grandeur  $x$  déterminée au préalable.



Les longueurs des éléments satisfont à la condition  $AC < AB$ . La manivelle 1 de longueur  $AB$  tourne autour d'un axe fixe  $A$ . La coulisse 3 tourne autour d'un axe fixe  $C$ . Le coulisseau 2, qui glisse sur la coulisse 3, comporte une règle  $D$ . Pour le rapport donné des longueurs des éléments, lors de la rotation de la manivelle 1, dont la longueur  $AB$  est réglée en déplaçant la charnière  $B$  le long de la rainure  $e$ , la règle  $D$ , solidaire du coulisseau 2, suit le contour de l'ellipse  $H$ . La longueur du grand axe de l'ellipse est égale à deux fois la longueur de la manivelle  $AB$ . Le centre de l'articulation  $C$  se trouve à l'un des foyers de l'ellipse et le centre de l'articulation  $A$ , au centre de l'ellipse. En faisant varier la position des articulations  $B$  et  $C$  dans les rainures  $e$  et  $g$ , on obtiendra les ellipses aux paramètres voulus.



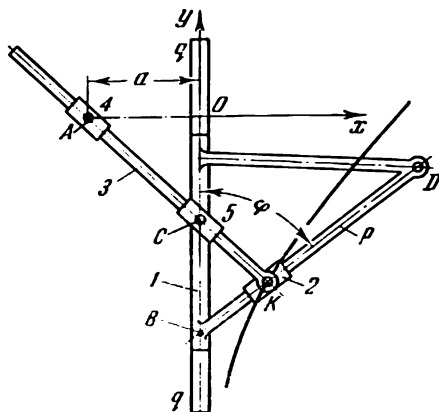




Le cadre 1 glisse dans le guidage fixe  $p - p$ . L'élément 2 qui forme un couple de rotation  $A$  avec le cadre 1 glisse dans le coulisseau 3 tournant autour d'un axe fixe  $O$ . Les coulisseaux 4 et 5 constituent un couple de rotation  $K$ . Le coulisseau 4 glisse le long de l'axe de l'élément 2 et le coulisseau 5 glisse le long du côté  $b$  du cadre 1. Lorsque le cadre 1 se déplace dans le guidage  $p - p$ , le point  $K$  décrit une hyperbole ayant pour équation

$$y = \frac{xa}{d-x},$$

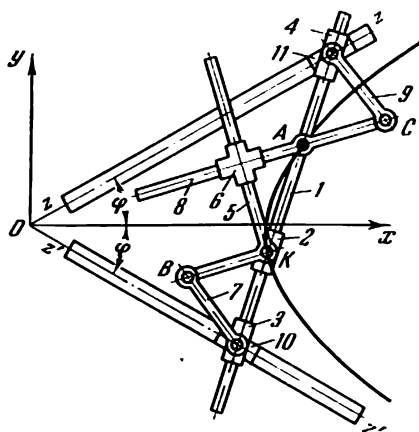
où  $a$  est la distance entre le point  $A$  et l'axe  $x - x$  du guidage  $p - p$ ;  $d$ , la distance entre les côtés verticaux du cadre 1.



Le coulisseau 1 suit un guidage fixe  $q - q$ . Le coulisseau 1 est solidaire de la traverse  $p$  sur laquelle glisse le coulisseau 2. L'élément 3 forme un couple de rotation  $K$  avec l'élément 2 et des couples de translation avec les coulisseaux 4 et 5. Le coulisseau 5 et le coulisseau 1 constituent un couple de rotation  $C$ . Le coulisseau 4 tourne autour d'un axe fixe  $A$ . Lorsque le coulisseau 1 se meut le long du guidage  $q - q$ , le point  $K$  décrit une hyperbole ayant pour équation

$$x^2 - \operatorname{tg} \varphi xy + (k \operatorname{tg} \varphi - a)x + ak \operatorname{tg} \varphi = 0,$$

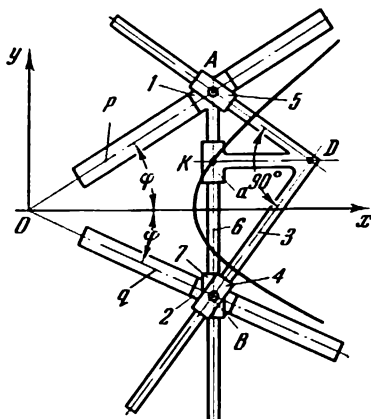
où  $a$  est la distance au guidage fixe  $q - q$  du point  $A$ ;  $k = CB$ ;  $\varphi$ , l'angle délimité par les axes des guidages  $q - q$  et  $p - p$ .



La coulisse 1, sur laquelle glissent les coulisseaux 2, 3, 4, tourne autour d'un axe fixe A. Au point K le coulisseau 2 forme un couple de rotation avec l'élément 5. Le croisillon 6 est traversé par l'élément 8 tournant autour de l'axe fixe A et formant un couple de rotation C avec l'élément 9. Les éléments extérieurs 7 et 9 se terminent par des axes sur lesquels s'articulent les coulisseaux 3, 10 et 4, 11. Les coulisseaux 11 et 10 se déplacent le long des guidages fixes  $z - z$  et  $z' - z'$ . Lorsque la coulisse 1 tourne autour du point fixe A, le point K décrit une hyperbole dont l'équation est

$$\frac{x^2}{a^2 - \frac{k^2}{\operatorname{tg}^2 \varphi}} - \frac{y^2}{a^2 \operatorname{tg}^2 \varphi - k^2} = 1,$$

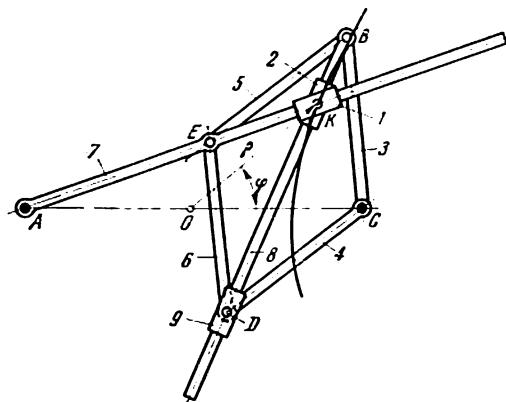
où  $(a, k)$  sont les coordonnées du point fixe A ;  $\varphi$ , l'angle délimité par les guides  $z - z$  et  $z' - z'$  et la direction positive de l'axe  $x$ .



Les coulisseaux 1 et 2 suivent les guidages fixes  $p$  et  $q$  dont les axes forment les angles  $\varphi$  avec l'axe  $Ox$ . Le levier coudé 3 glisse dans les coulisseaux 5 et 4 qui constituent des couples cinématiques de rotation  $A$  et  $B$  avec les coulisseaux 1 et 2. L'élément 6 glisse dans le guidage  $a$  du levier 3 et dans le coulisseau 7 formant un couple de rotation  $B$  avec le coulisseau 4. Lorsque les points  $A$  et  $B$  se meuvent le long des guidages  $p$  et  $q$ , le point  $K$  trace une hyperbole ayant pour équation

$$\frac{x^2}{\left(\frac{a}{\operatorname{tg} \varphi}\right)^2} - \frac{y^2}{a^2} = 1,$$

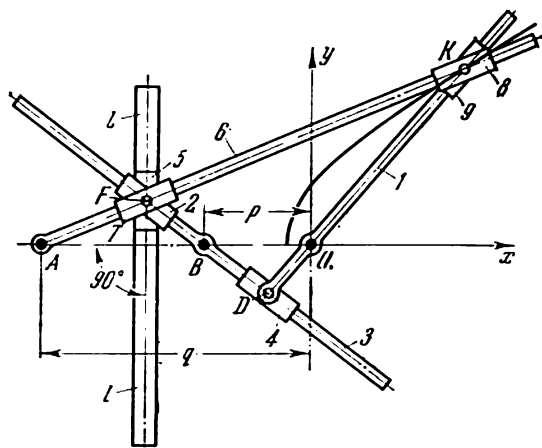
où  $a = KD$ .



Les longueurs des éléments du mécanisme satisfont aux conditions:  $EB = BC = CD = DE$ , c'est-à-dire que la figure  $EBCD$  est un losange. Les éléments 3 et 4 tournent autour d'un axe fixe  $C$ . Les éléments 5 et 6 forment des couples de rotation avec l'élément 7 qui tourne autour d'un axe fixe  $A$ . L'élément 8 forme un couple de rotation  $B$  avec les éléments 3 et 5 et glisse dans le coulisseau 9 qui constitue avec les éléments 4 et 6 un couple de rotation  $D$ . Ainsi donc l'axe de l'élément 8 représente la diagonale  $BD$  du losange  $EBCD$ . Les coulisseaux 1 et 2, qui constituent un couple de rotation  $K$ , glissent le long des axes des éléments 7 et 8. Lorsque l'élément 7 tourne autour de l'axe  $A$ , le point  $K$  décrit une hyperbole ayant pour équation

$$\rho = l \sqrt{\frac{a^2 - l^2}{a^2 \cos^2 \varphi - l^2}},$$

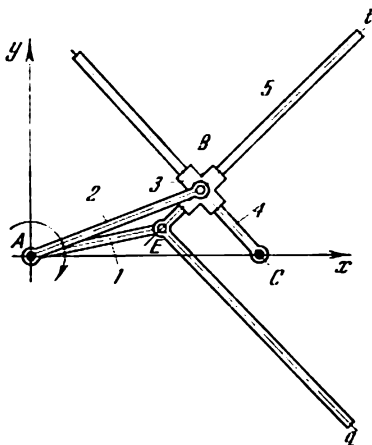
où  $a = AO = OC$ ,  $2l = AE$ ;  $\rho$  est le rayon vecteur du point  $K$  par rapport à l'origine  $O$  située au milieu du segment  $AC$ ;  $\varphi$  l'angle de rotation du rayon vecteur  $\rho$  par rapport à l'axe des coordonnées polaires. Le mécanisme trace une hyperbole, si l'on remplit la condition  $l < a$ .



L'élément 3, tournant autour d'un axe fixe B, forme des couples de translation avec les coulisseaux 2 et 4. Le coulisseau 2 constitue un couple de rotation F avec le coulisseau 5 glissant dans un guidage fixe 1 — 1. L'élément 6, mobile autour d'un axe fixe A, glisse dans le coulisseau 7, qui constitue avec le coulisseau 5 un couple de rotation. L'élément 1, tournant autour d'un axe fixe O, et le coulisseau 4 constituent un couple de rotation D. Les coulisseaux 8 et 9, qui constituent un couple de rotation K, suivent les axes des éléments 6 et 1. Lorsque la coulisse 1 tourne autour du point O, le point K décrit un arc d'hyperbole si  $q > 2p$  et  $q > 0$ . L'équation de l'hyperbole a pour expression

$$\frac{x^2}{\frac{(q-p-r)^2 p^2}{(q-2p)^2}} - \frac{y^2}{\frac{(q-p-r)^2 q}{q-2p}} = 1,$$

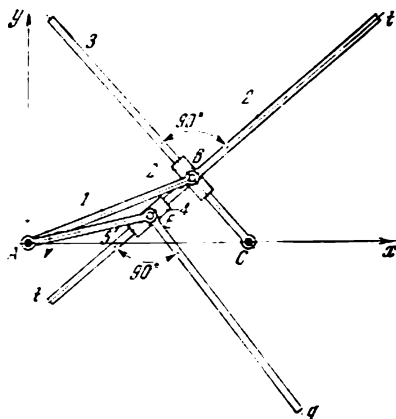
où  $p = BO$ ,  $q = OA$ ,  $r = OD$ .



Les longueurs des éléments du mécanisme satisfont aux conditions

$$AB = a, \quad AE = \sqrt{a^2 - b^2} \quad \text{et} \quad a > b,$$

où  $a$  et  $b$  sont les demi-axes, réel et imaginaire, de l'hyperbole à contourner, et l'angle  $tEq = 90^\circ$ . L'élément 1, mobile autour d'un axe fixe  $A$ , forme un couple de rotation  $E$  avec l'élément 5 qui a la forme d'un levier coudé  $tEq$ . L'élément 4, tournant autour d'un axe fixe  $C$ , constitue un couple de translation avec le coulisseau en croisillon 3 dont les axes de guidage sont perpendiculaires entre eux. L'élément 5 glisse par son côté  $Et$  dans le coulisseau 3. L'élément 2, tournant autour de l'axe fixe  $A$ , et l'élément 3 constituent un couple de rotation  $B$ . Si l'on fixe le point  $A$  au centre de l'hyperbole et le point  $C$  à l'un de ses foyers, lors de la rotation de l'élément 1 autour de l'axe  $A$  les côtés de l'angle droit  $tEq$  de l'élément 5 suivent simultanément le contour de l'hyperbole. Le mécanisme ne permet de contourner que des arcs d'hyperbole.

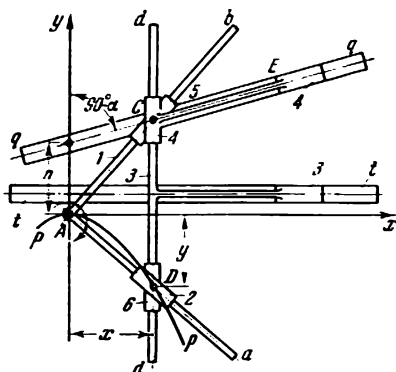


Les longueurs des éléments du mécanisme satisfont aux conditions

$$AB = a, \quad AE = \sqrt{a^2 - b^2} \quad \text{et} \quad b < a,$$

où  $a$  et  $b$  sont les axes, réel et imaginaire, de l'hyperbole à contourner. L'élément 1, tournant autour d'un axe fixe  $A$ , forme un couple de rotation  $B$  avec le coulisseau 2 qui glisse le long de l'axe de l'élément 3. L'élément 3 tourne autour d'un axe fixe  $C$ . L'élément 5, tournant autour de l'axe fixe  $A$ , constitue un couple de rotation  $E$  avec le coulisseau 4. Celui-ci suit l'axe  $t - t$  de la traverse appartenant au coulisseau 2. Si l'on fixe le point  $A$  au centre d'une hyperbole et le point  $C$  à l'un de ses foyers, lors de la rotation de l'élément 1 autour de l'axe  $A$  les axes  $t - t$  et  $E - q$  des traverses des coulisseaux 2 et 4 suivent simultanément les contours de cette hyperbole. Le mécanisme ne permet de contourner que des arcs d'hyperbole.

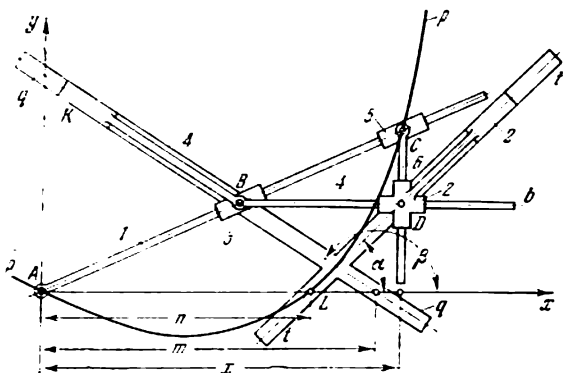




L'élément 1, qui a la forme d'un levier coudé  $bAa$ , tourne autour d'un axe fixe  $A$ , le côté  $Aa$  de l'élément 1 glissant dans le coulisseau 2 et le côté  $Ab$ , dans le coulisseau 5. Le coulisseau 2, formant un couple de rotation  $D$  avec le coulisseau 6, glisse sur la traverse  $d-d$  du coulisseau 3. Ce dernier glisse dans le guidage fixe  $t-t$  dont l'axe est parallèle à l'axe  $Ax$ . Le coulisseau 5 constitue un couple de rotation  $C$  avec le coulisseau 4 glissant dans le guidage  $q-q$  dont l'axe fait un angle  $\alpha$  avec l'axe  $Ax$ . Lorsque l'élément 1 tourne autour de l'axe  $A$ , le point  $D$  trace une hyperbole  $p-p$  ayant pour équation

$$x^2 + Bxy + 2Ey = 0,$$

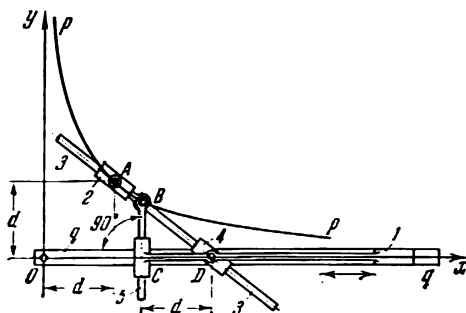
où  $B = -\operatorname{tg} \alpha$ ;  $E = \frac{n}{2}$ ;  $n$  étant le paramètre constant du mécanisme.



L'élément 1, tournant autour d'un axe fixe A, forme des couples de translation avec les coulisseaux 3 et 5. Le coulisseau 3 constitue un couple de rotation B avec le coulisseau 4 glissant dans un guidage fixe  $q - q$  dont l'axe fait un angle  $\beta = 135^\circ$  avec l'axe  $Ax$  et la traverse  $Bb$ . Le coulisseau 4 forme un couple de translation avec le coulisseau en croisillon 2 dont les axes de guidage sont perpendiculaires entre eux. Le coulisseau 2 suit un guidage fixe  $t - t$  dont l'axe fait un angle  $\alpha = 45^\circ$  avec l'axe  $Ax$ . L'élément 6 constitue un couple de rotation C avec le coulisseau 5 et glisse dans le coulisseau 2. Lorsque l'élément 1 tourne autour de l'axe A, le point C décrit une hyperbole ayant pour équation

$$x^2 + xy - nx - (m + n)y = 0,$$

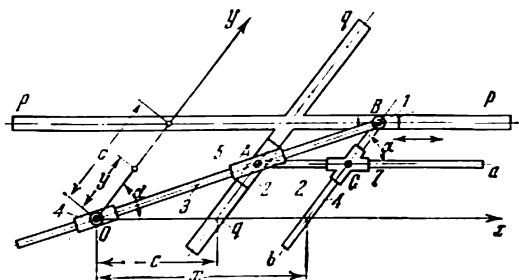
où  $m$  et  $n$  sont les paramètres constants du mécanisme.



Le coulisseau 1, glissant dans un guidage fixe  $q - q$ , forme un couple de rotation  $D$  avec le coulisseau 4 et un couple de translation avec l'élément 5 qui constitue un couple de rotation  $B$  avec l'élément 3. L'élément 3 glisse dans le coulisseau 4 et dans le coulisseau 2 tournant autour d'un axe fixe  $A$ . Quand le coulisseau 1 suit le guidage  $q - q$ , le point  $B$  décrit une hyperbole équilatère  $p - p$  ayant pour équation

$$xy = d^2,$$

où  $d$  est le paramètre constant du mécanisme. Les axes  $Ox$  et  $Oy$  sont les asymptotes de l'hyperbole  $p - p$ .

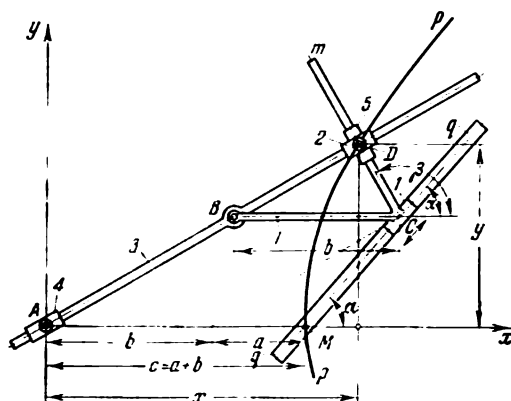


Glissant dans un guidage fixe  $p - p$ , le coulisseau 1 forme par sa traverse  $Bb$  un couple de translation avec le coulisseau en croisillon 7 dont les axes de guidage font un angle  $\alpha$ . L'élément 3 qui constitue un couple de rotation  $B$  avec le coulisseau 1 glisse dans les coulisseaux 5 et 4. Le coulisseau 5 forme un couple de rotation  $A$  avec le coulisseau 2, glissant dans un guidage fixe  $q - q$ , qui se meut dans le coulisseau 7 avec la traverse  $Aa$ . Le coulisseau 4 tourne autour d'un axe fixe  $O$ . Lorsque le coulisseau 1 se déplace dans le guidage  $p - p$ , le point  $C$  décrit une hyperbole équilatère ayant pour équation

$$xy = c^2 = \frac{1}{4} (a^2 + b^2),$$

où  $c$  est le paramètre constant du mécanisme;  $a$  et  $b$ , les demi-axes de l'hyperbole. Les axes  $Ox$  et  $Oy$  sont les asymptotes de cette hyperbole.





Le coulisseau 1, glissant dans un guidage fixe  $q - q$ , constitue par sa traverse  $CB$  un couple de rotation  $B$  avec l'élément 3 et glisse par sa traverse  $Cm$  dans le coulisseau 5. L'élément 3, constituant avec le coulisseau 2 un couple de translation, glisse dans le coulisseau 4 mobile autour d'un axe fixe  $A$ . Les coulisseaux 2 et 5 constituent un couple de rotation  $D$ . Lorsque le coulisseau 1 suit le guidage  $q - q$ , le point  $D$  décrit une hyperbole  $p - p$  ayant pour équation

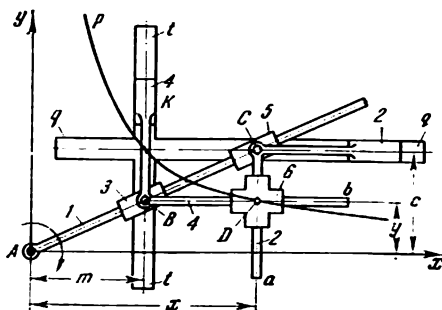
$$Ax^2 + ABxy + Cy^2 + 2Dx + 2Ey = 0,$$

où

$$A = \operatorname{tg} \alpha \cdot \operatorname{tg} \beta, \\ B = -\frac{\operatorname{tg} \alpha + \operatorname{tg} \beta}{2}, \quad D = -\frac{\operatorname{tg} \alpha \cdot \operatorname{tg} \beta (2a + b)}{2} c = 1,$$

$$E = \frac{2a \operatorname{tg} \alpha - b \operatorname{tg} \beta}{2},$$

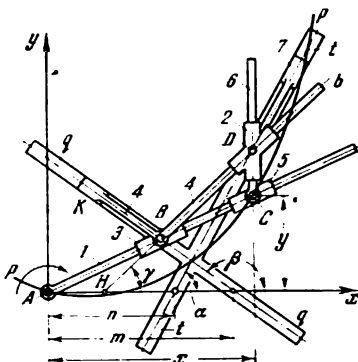
$b$  et  $a$  étant les paramètres constants du mécanisme. L'axe du guidage  $q - q$  fait un angle  $\alpha$  avec la direction  $BC$  et l'axe  $Ax$ . L'axe de la traverse  $Cm$  du coulisseau 1 fait un angle  $\beta$  avec l'axe  $Ax$  et un angle  $180^\circ - \beta$  avec la direction  $BC$ .



L'élément 1, tournant autour d'un axe fixe A, forme des couples de translation avec les coulisseaux 3 et 5. Le coulisseau 3 constitue un couple de rotation B avec le coulisseau 4 glissant dans un guidage fixe  $t - t$  dont l'axe est parallèle à l'axe  $Ay$ . Le coulisseau 4 forme par sa traverse  $Bb$  un couple de translation avec le coulisseau en croisillon 6 dont les axes de guidage sont perpendiculaires entre eux. Le coulisseau 2 glisse dans un guidage fixe  $q - q$ , dont l'axe est parallèle à l'axe  $Ax$ , et glisse par sa traverse  $Ca$  dans le coulisseau 6. Quand l'élément 1 tourne autour de l'axe A, le point D, situé à l'intersection des directions  $Bb$  et  $Ca$ , trace l'hyperbole équilatère  $p - p$  ayant pour équation

$$xy = cm,$$

où  $c$  et  $m$  sont les paramètres constants du mécanisme. Les axes  $Ax$  et  $Ay$  sont les asymptotes de l'hyperbole  $p - p$ .



L'élément 1, tournant autour d'un axe fixe  $A$ , forme des couples de translation avec les coulisseaux 3 et 5. Le coulisseau 3 constitue un couple de rotation  $B$  avec le coulisseau 4 glissant dans un guidage fixe  $q - q$ , dont l'axe fait un angle  $\beta$  avec l'axe  $Ax$ ; par sa traverse  $Bb$ , le coulisseau 4 forme un couple de translation avec le coulisseau en croisillon 2 dont les axes de guidage se croisent à un angle de  $90^\circ - \gamma$ . Le coulisseau 7 glisse dans un guidage fixe  $t - t$  dont l'axe fait un angle  $\alpha$  avec l'axe  $Ax$ . L'élément 6 constitue un couple de rotation  $C$  avec le coulisseau 5 et glisse dans le coulisseau 2. Quand l'élément 1 tourne autour de l'axe  $A$ , le point  $C$  décrit une hyperbole ayant pour équation

$$Ax^2 + Bxy + 2Dx + 2Ey = 0,$$

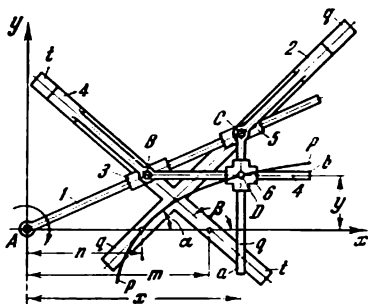
où

$$A = (\operatorname{tg} \alpha - \operatorname{tg} \gamma) \operatorname{tg} \beta, \quad B = -(\operatorname{tg} \alpha - \operatorname{tg} \gamma),$$

$$D = \frac{m \operatorname{tg} \gamma - n \operatorname{tg} \alpha}{2} \quad \text{et} \quad E = -\frac{m \operatorname{tg} \beta - n \operatorname{tg} \alpha}{2},$$

$m$  et  $n$  étant les dimensions constantes du mécanisme.

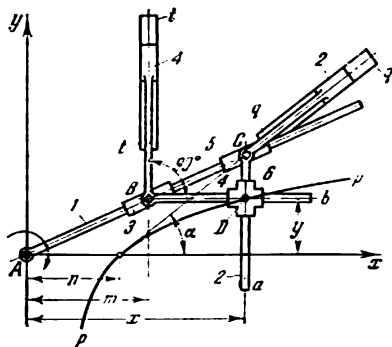




L'élément 1, tournant autour d'un axe fixe  $A$ , forme des couples de translation avec les coulisseaux 3 et 5. Le coulisseau 3 constitue un couple de rotation  $B$  avec le coulisseau 4 glissant dans un guidage fixe  $t-t$  dont l'axe fait un angle  $\beta = 135^\circ$  avec l'axe  $Ax$ . Le coulisseau 4 forme par sa traverse  $Bb$  un couple de translation avec le coulisseau en croisillon 6 dont les axes sont perpendiculaires entre eux. Le coulisseau 2 glisse dans un guidage fixe  $q-q$  dont l'axe fait un angle  $\alpha = 45^\circ$  avec l'axe  $Ax$ , et, par sa traverse  $Ca$ , glisse dans le coulisseau 6. Les axes des guidages  $t-t$  et  $q-q$  sont perpendiculaires entre eux. Quand l'élément 1 tourne autour de l'axe  $A$ , le point  $D$  du coulisseau 6, situé à l'intersection des directions  $Bb$  et  $Ca$ , décrit une hyperbole équilatère  $p-p$  ayant pour équation

$$2xy - mx - ny + mn = 0,$$

où  $m$  et  $n$  sont les dimensions constantes du mécanisme.



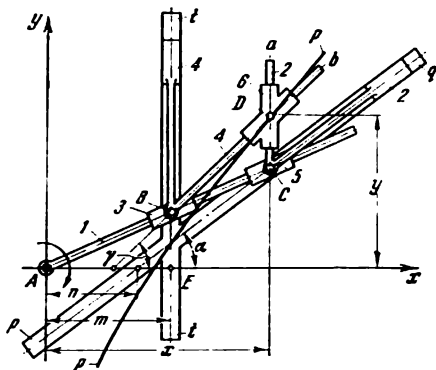
L'élément 1, mobile autour d'un axe fixe A, constitue des couples de translation avec les coulisseaux 3 et 5. Le coulisseau 3 forme un couple de rotation B avec le coulisseau 4 glissant dans un guidage fixe  $t - t$  dont l'axe fait un angle de  $90^\circ$  avec l'axe Ax. Le coulisseau 4 forme par sa traverse Bb un couple de translation avec le coulisseau en croisillon 6 dont les axes de guidage sont perpendiculaires entre eux. Le coulisseau 2 glisse dans un guidage fixe  $q - q$  dont l'axe fait un angle  $\alpha$  avec l'axe Ax, et, par sa traverse Ca, glisse dans le coulisseau 6. Lorsque l'élément 1 tourne autour de l'axe A, le point D du coulisseau 6, situé à l'intersection des directions Bb et Ca, décrit une hyperbole équilatère  $p - p$  ayant pour équation

$$Bxy + 2Dx + F = 0,$$

où

$$B = -1, \quad D = \frac{m \operatorname{tg} \alpha}{2} \quad \text{et} \quad F = -\frac{mn \operatorname{tg} \alpha}{2},$$

$m$  et  $n$  étant les paramètres constants du mécanisme.



L'élément 1, tournant autour d'un axe fixe A, forme des couples de translation avec les coulisseaux 3 et 5. Le coulisseau 3 constitue un couple de rotation B avec le coulisseau 4 glissant dans un guidage fixe  $t - t$  dont l'axe fait un angle de  $90^\circ$  avec l'axe  $Ax$ . Par sa traverse  $Bb$ , le coulisseau 4 forme un couple de translation avec le coulisseau en croix 6 dont les axes de guidage font un angle de  $90^\circ - \gamma$ . Le coulisseau 2 glisse dans un guidage fixe  $q - q$  dont l'axe fait un angle  $\alpha$  avec l'axe  $Ax$ , et glisse dans le coulisseau 6 par sa traverse  $Ca$ . Lorsque l'élément 1 tourne autour de l'axe A, le point D du coulisseau 6, situé à l'intersection des directions  $Bb$  et  $Ca$ , décrit une hyperbole  $p - p$  ayant pour équation

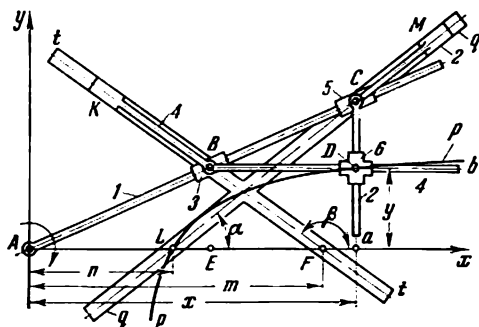
$$Ax^2 + Bxy + 2Dx + F = 0,$$

où

$$A = \operatorname{tg} \gamma, \quad B = -1, \quad D = \frac{m (\operatorname{tg} \gamma - \operatorname{tg} \alpha)}{2};$$

$$F = -mn \operatorname{tg} \alpha.$$

$m$  et  $n$  étant les paramètres constants du mécanisme.



L'élément 1, mobile autour d'un axe fixe A, constitue des couples de translation avec les coulisseaux 3 et 5. Le coulisseau 3 forme un couple de rotation B avec le coulisseau 4 glissant dans un guidage fixe  $t - t$  dont l'axe fait un angle  $\beta$  avec l'axe Ax. Le coulisseau 4 forme par sa traverse Bb un couple de translation avec le coulisseau en croix 6 dont les deux axes de guidage sont perpendiculaires entre eux. Le coulisseau 2 glisse dans un guidage fixe  $q - q$  dont l'axe fait un angle  $\alpha$  avec l'axe Ax, et glisse dans le coulisseau 6 par sa traverse Ca. Lorsque l'élément 1 tourne autour de l'axe A, le point D du coulisseau 6, situé à l'intersection des directions Bb et Ca, décrit une hyperbole  $p - p$  ayant pour équation

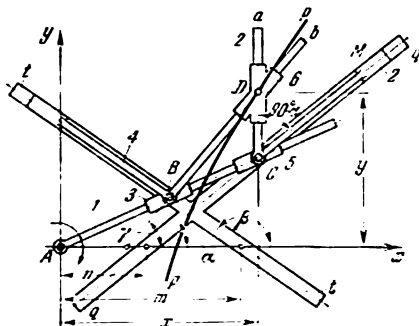
$$Bxy + 2Dx + 2Ey + F = 0,$$

où

$$B = -(\operatorname{tg} \beta - \operatorname{tg} \alpha), \quad D = \frac{m \operatorname{tg} \alpha \operatorname{tg} \beta}{2},$$

$$E = -\frac{n \operatorname{tg} \alpha}{2} \quad \text{et} \quad F = -mn \operatorname{tg} \alpha \operatorname{tg} \beta,$$

$m$  et  $n$  étant les paramètres constants du mécanisme.



L'élément 1, tournant autour d'un axe fixe A, forme des couples de translation avec les coulisseaux 3 et 5. Le coulisseau 3 constitue un couple de rotation B avec le coulisseau 4 glissant dans un guidage fixe  $t - t$  dont l'axe fait un angle  $\beta$  avec l'axe  $Ax$ . Par sa traverse  $Bb$ , le coulisseau 4 forme un couple de translation avec le coulisseau en croisillon 6 dont les deux axes de guidage font un angle de  $90^\circ - \gamma$ , où l'angle  $\gamma$  est délimité par l'axe de la traverse  $Bb$  du coulisseau 4 et l'axe  $Ax$ . Le coulisseau 2 glisse dans un guidage fixe  $q - q$  dont l'axe fait un angle  $\alpha$  avec l'axe  $Ax$ , et glisse dans le coulisseau 6 par sa traverse  $Ca$ . Lorsque l'élément 1 tourne autour de l'axe A, le point D du coulisseau 6, situé à l'intersection des directions  $Bb$  et  $Ca$ , décrit une hyperbole  $p - p$  ayant pour équation

$$Ax^2 + Bxy + 2Dx + 2Ey + F = 0,$$

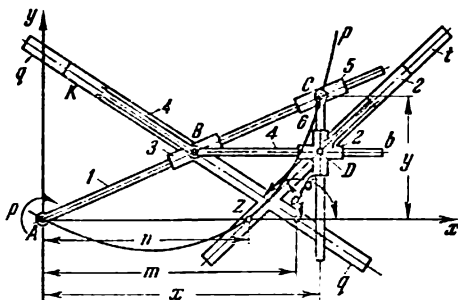
où

$$A = (\operatorname{tg} \beta - \operatorname{tg} \alpha) \operatorname{tg} \beta, \quad B = -(\operatorname{tg} \beta - \operatorname{tg} \alpha),$$

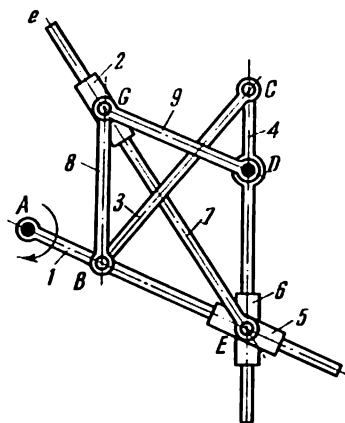
$$D = -\frac{m \operatorname{tg} \beta \operatorname{tg} \gamma - n \operatorname{tg} \alpha \operatorname{tg} \gamma - m \operatorname{tg} \alpha \operatorname{tg} \beta}{2},$$

$$E = -n \operatorname{tg} \alpha, \quad F = -mn \operatorname{tg} \alpha \operatorname{tg} \beta,$$

$m$  et  $n$  étant les paramètres constants du mécanisme.



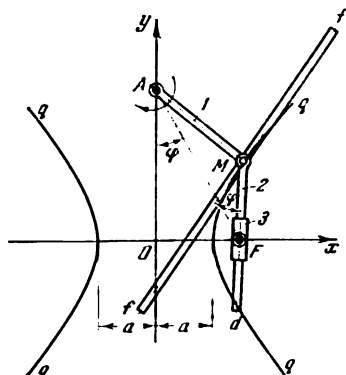
L'élément 1, mobile autour d'un axe fixe A, forme des couples de translation avec les coulisseaux 3 et 5. Le coulisseau 3 constitue un couple de rotation B avec le coulisseau 4 glissant dans un guidage fixe  $q - q$  dont l'axe fait un angle  $\beta$  avec l'axe  $Ax$ , et, par sa traverse  $Bb$ , forme un couple de translation avec le coulisseau en croix 2 dont les axes de guidage sont perpendiculaires entre eux. Le coulisseau 2 glisse dans un guidage fixe  $t - t$  dont l'axe fait un angle  $\alpha$  avec l'axe  $Ax$ . L'élément 6, formant un couple de rotation C avec le coulisseau 5, glisse dans le coulisseau 2. Lorsque l'élément 1 tourne autour de l'axe A, le point C décrit une hyperbole  $p - p$  ayant pour équation



Les longueurs des éléments du mécanisme satisfont aux conditions suivantes :

$$AB = DC, BC = AD, GB = GD \text{ et } AB < BC.$$

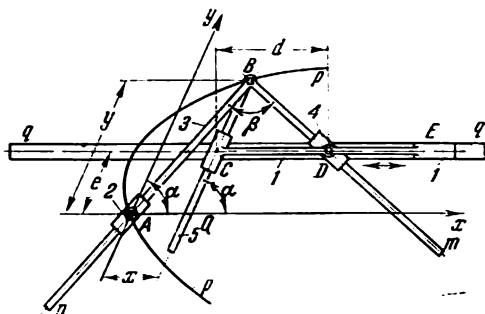
La figure  $ABCD$  est un antiparallélogramme. L'élément 1, mobile autour d'un axe fixe  $A$ , forme un couple de translation avec le coulisseau 5 et des couples de rotation  $B$  avec les éléments 3 et 8. L'élément 4, tournant autour d'un axe fixe  $D$ , constitue un couple de translation avec le coulisseau 6 et un couple de rotation  $C$  avec l'élément 3. Les coulisseaux 5 et 6 constituent un couple de rotation  $E$ . L'élément 9, mobile autour de l'axe fixe  $D$ , forme des couples de rotation  $G$  avec l'élément 8 et avec le coulisseau 2 qui glisse le long de l'axe  $Ee$  de l'élément 7. Ce dernier forme un couple de rotation  $E$  avec les coulisseaux 5 et 6. Si les centres  $A$  et  $D$  sont fixés aux foyers d'une hyperbole, le point  $E$  décrit cette hyperbole, tandis que la droite  $Ee$  suit le contour de l'hyperbole décrite par le point  $E$ .



L'élément 1, mobile autour d'un axe fixe  $A$ , constitue un couple de rotation  $M$  avec l'élément 2 qui se présente sous la forme d'un levier coudé, dont l'angle  $dMf$  est égal à  $\varphi$ . Le côté  $Md$  de l'élément 2 glisse dans le coulisseau 3 tournant autour d'un axe fixe  $F$ . Si l'on fixe le centre  $F$  à l'un des foyers d'une hyperbole et le centre  $A$  sur l'axe  $Oy$  passant par le centre de cette hyperbole, à une distance  $AO = \frac{OF}{\operatorname{tg} \varphi}$  de ce centre, et si l'on pose la longueur  $AM$  de

l'élément 1 égale à  $AM = \frac{a}{\sin \varphi}$ ,  $a$  étant le demi-axe réel de l'hyperbole, lors de la rotation de l'élément 1 autour de l'axe  $A$  la droite  $f - f$  suivra le contour de l'hyperbole  $q - q$ .

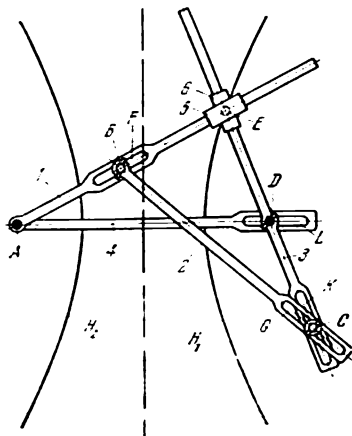




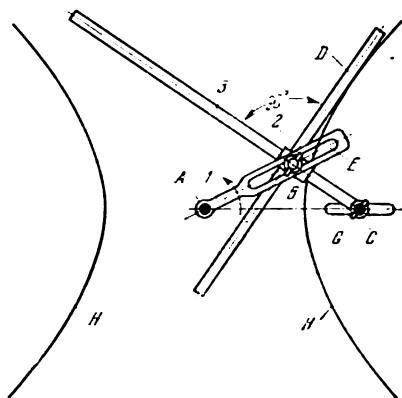
Le coulisseau 1, glissant dans un guidage fixe  $q - q$ , forme un couple de rotation  $D$  avec le coulisseau 4, et un couple de translation avec l'élément 5 qui constitue un couple de rotation  $B$  avec l'élément 3 ayant la forme d'un levier coudé  $nBm$ . L'élément 3 glisse dans le coulisseau 4 par son côté  $Bm$ , et dans le coulisseau 2, mobile autour d'un axe fixe  $A$ , par son côté  $Bn$ . Lorsque le coulisseau 1 suit le guidage  $q - q$ , le point  $B$  décrit une hyperbole  $p - p$  ayant pour équation

$$y^2 \sin^2 \beta + xy \sin (\beta - \alpha) - y [e \sin \beta + d \sin (\beta + \alpha)] - x [d \sin \beta + e \sin (\beta - \alpha)] = 0,$$

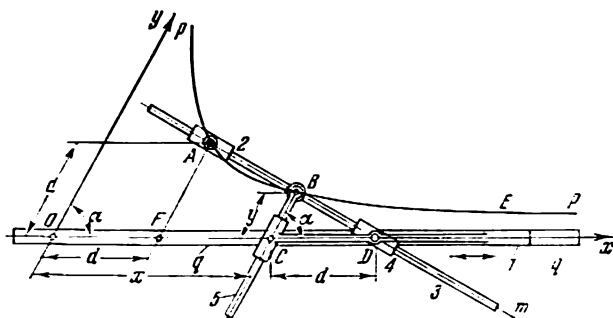
où  $d$  et  $e$  sont les dimensions constantes du mécanisme,  $\alpha$  et  $\beta$ , les angles constants qui remplissent la condition  $\beta \neq \alpha$ . Si l'on prend  $\beta = \alpha$ , le point  $B$  tracera une parabole.



Le mécanisme est réalisé à partir de l'antiparallélogramme  $ABCD$ , auquel on accouple un groupe d'entraîneurs composé de deux coulisseaux 5 et 6 articulés en  $E$ . Le mécanisme est destiné à suivre les contours des hyperboles. On fixe à cet effet les articulations  $A$  et  $D$  aux foyers de l'hyperbole. Le point traceur se trouve au centre de l'articulation  $E$ . On voit sur le dessin la disposition du mécanisme traçant la branche droite  $H_1$  de l'hyperbole; pour tracer la branche gauche  $H_2$ , il faut faire pivoter le mécanisme sur son axe à  $180^\circ$ . On peut tracer des hyperboles de différents paramètres en faisant varier les longueurs des éléments 1, 2, 3 et 4 par déplacement des articulations  $B$ ,  $C$  et  $D$  dans les rainures  $F$ ,  $G$ ,  $K$  et  $L$  des éléments 1, 2, 3 et 4.



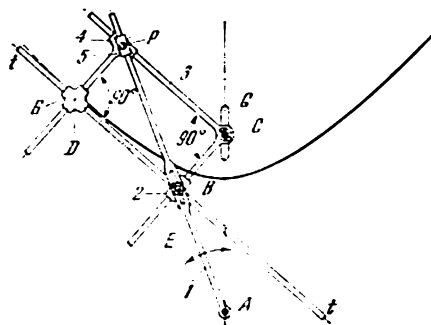
Les longueurs des éléments satisfont à la condition  $AC > AB$ . La manivelle 1, de longueur  $AB$ , tourne autour d'un axe fixe  $A$ . La coulisse 3 tourne autour d'un axe fixe  $C$ . Le coulisseau 2, qui glisse sur l'axe de la coulisse 3, porte la règle  $D$ . La condition indiquée étant remplie, lors de la rotation de la manivelle 1, dont la longueur  $AB$  est réglée par déplacement de l'articulation  $B$  dans la rainure, la règle  $D$ , reliée au coulisseau 2, suit la trace de l'hyperbole  $H$ . La distance entre les sommets de l'hyperbole est égale à la double longueur de la manivelle  $AB$ . Le centre de l'articulation  $C$  est fixé à l'un des foyers de l'hyperbole. En faisant varier les positions des articulations  $B$  et  $C$  dans les rainures  $E$  et  $C$ , on peut obtenir les hyperboles de paramètres voulus.



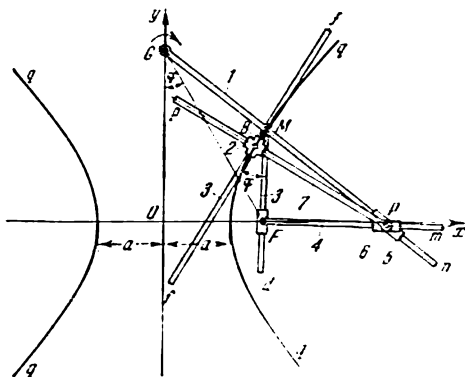
Le coulisseau 1, glissant dans un guidage fixe  $q - q$ , constitue un couple de rotation  $D$  avec le coulisseau 4, et un couple de translation avec l'élément 5 qui, à son tour, forme un couple de rotation  $B$  avec l'élément 3. L'élément 3 glisse dans le coulisseau 4 et dans le coulisseau 2 mobile autour d'un axe fixe  $A$ . Lorsque le coulisseau 1 suit le guidage  $q - q$ , le point  $B$  décrit une hyperbole équilatère  $p - p$  ayant pour équation

$$xy = d^2,$$

où  $d$  est le paramètre constant du mécanisme. Les axes  $Ox$  et  $Oy$  sont les asymptotes de l'hyperbole  $p - p$ .

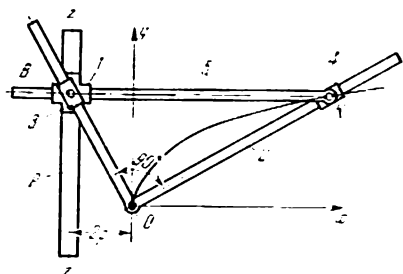


Le mécanisme est réalisé à partir du système *ABC* à coulisse et à quatre éléments destiné à suivre les contours des hyperboles, auquel on accouple un groupe d'entraîneurs composé de deux coulisseaux 4 et 5 articulés en *P*. Le point *P* trace la centroïde fixe du coulisseau 2. Les coulisseaux 2 et 5 constituent des couples de translation avec le coulisseau en croisillon 6 dont les axes de guidage sont perpendiculaires entre eux. Lorsque la manivelle 1 tourne, le centre *D* du coulisseau en croix 6 trace une hyperbole, tandis que la règle *t - t*, solidaire du coulisseau 2, suit le contour de cette hyperbole. L'articulation *C* est fixée au foyer de l'hyperbole, l'articulation *A*, à son centre. En faisant varier la position des articulations *B* et *C* dans les rainures *E* et *G*, on peut obtenir les hyperboles de paramètres voulus.



L'élément 1, tournant autour d'un axe fixe  $G$ , forme un couple de rotation  $M$  avec l'élément 3 qui se présente sous la forme d'un levier coudé dont l'angle  $dMf$  est égal à  $\varphi$ . Le côté  $Md$  de l'élément 3 glisse dans le coulisseau 4, mobile autour d'un axe fixe  $F$ , tandis que le côté  $Mf$  glisse dans le coulisseau en croix 2 dont les axes de guidage sont perpendiculaires entre eux. Les coulisseaux 5 et 6 qui constituent un couple de rotation  $P$  se déplacent dans les directions  $Fm$  et  $Gn$  des éléments 4 et 1. Si l'on fixe le centre  $F$  à l'un des foyers de l'hyperbole et le centre  $G$ , sur l'axe  $Oy$  passant par le centre  $O$  de l'hyperbole, à une distance  $GO = \frac{OF}{\operatorname{tg} \varphi}$  de ce centre, et si l'on choisit la longueur  $GM$

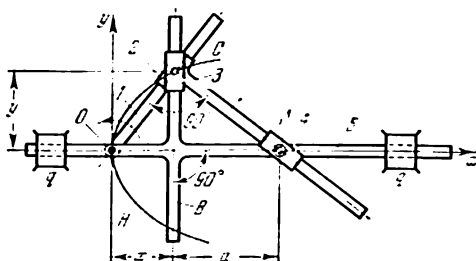
de l'élément 1 telle que  $GM = \frac{a}{\sin \varphi}$ ,  $a$  étant le demi-axe réel de l'hyperbole, lors de la rotation de l'élément 1 autour de l'axe  $G$  la droite  $Mf$  suivra le contour de l'hyperbole  $q - q$ , tandis que le point  $B$  du coulisseau 2, situé à l'intersection des directions  $Pp$  et  $Mf$ , tracera l'hyperbole  $q - q$ .



L'élément 2, réalisé sous la forme d'un levier coudé, tourne autour d'un axe fixe  $O$ . Cet élément glisse dans le coulisseau 4 par un côté et dans le coulisseau 3 par l'autre côté. Le coulisseau 4 constitue un couple de rotation  $K$  avec l'élément 5, et le coulisseau 3, un couple de rotation  $B$  avec le coulisseau en croix 1 dont les axes de guidage sont perpendiculaires entre eux. Le coulisseau 1 glisse dans un guidage fixe  $p$ . L'élément 5 forme un couple de translation avec le coulisseau 1. Lorsque le coulisseau 1 suit l'axe  $z - z$  du guidage  $p$ , le point  $K$  décrit une parabole ayant pour équation

$$y^2 = 2px,$$

où  $2p$  est la distance entre les axes  $y$  et  $z - z$ .

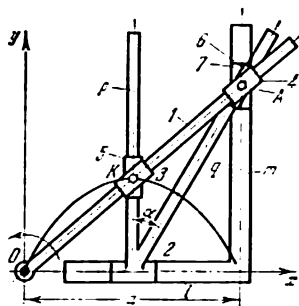


La coulisse 1 tourne autour d'un axe fixe  $O$ . Le coulisseau 2, glissant sur l'axe de la coulisse 1, forme un couple de translation avec le coulisseau 4. Le coulisseau 4 constitue un couple de rotation  $A$  avec l'élément 5, animé d'un mouvement de translation dans un guidage fixe  $q - q$ . L'élément 5 a la forme d'un levier en croix dont une extrémité glisse dans le coulisseau 3 formant un couple de rotation  $C$  avec le coulisseau 2. Lorsque la manivelle 1 est en mouvement, le point  $C$  décrit une parabole  $H$  ayant pour équation

$$y^2 = ax,$$

où  $a$  est le paramètre constant.

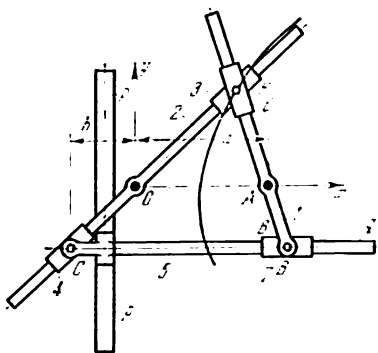




La manivelle 1, tournant autour d'un axe fixe  $O$ , glisse dans les coulisseaux 3 et 4. Le coulisseau 3 forme un couple de rotation  $K$  avec le coulisseau 5 qui glisse sur le guidage  $p$  du coulisseau 2. Le guidage  $q$  de l'élément 2 glisse dans le coulisseau 6 qui constitue un couple de rotation  $A$  avec le coulisseau 4. Le coulisseau 7 glisse sur le guidage fixe  $m$  dont l'axe est perpendiculaire à l'axe du guidage fixe  $l$ , sur lequel glisse le coulisseau 2. Lorsque la coulisse 1 tourne autour de l'axe  $A$ , le point  $K$  décrit une parabole ayant pour équation

$$y = \frac{x^2}{a \operatorname{tg} \alpha} + \frac{x}{\operatorname{tg} \alpha},$$

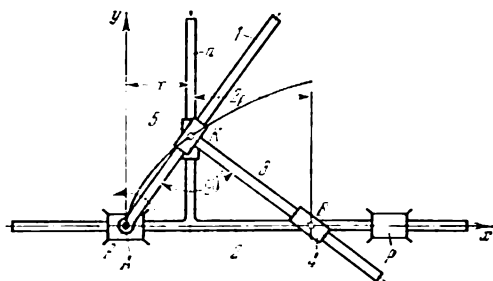
$a$  étant la distance à l'axe  $y$  du guidage vertical  $m$ ;  $\alpha$ , l'angle délimité par les guidages  $p$  et  $q$ .



Les longueurs des éléments du mécanisme satisfont à la condition:  $AB = b$ . L'élément 2, tournant autour d'un axe fixe  $O$ , glisse dans les coulisseaux 3 et 4. Le coulisseau 4 forme un couple de rotation  $C$  avec le coulisseau 5 glissant dans un guidage fixe  $p - p$ . L'élément 1, mobile autour d'un axe fixe  $A$ , forme un couple de translation avec le coulisseau 6, et un couple de rotation  $B$  avec le coulisseau 7 glissant sur le guidage  $q$  du coulisseau 5. Les coulisseaux 3 et 6 constituent un couple de rotation  $K$ . Lorsque la coulisse 1 tourne autour de l'axe  $A$ , le point  $K$  décrit un arc de parabole ayant pour équation

$$y^2 + 2ax - a^2 = 0,$$

où  $a = OA$ .

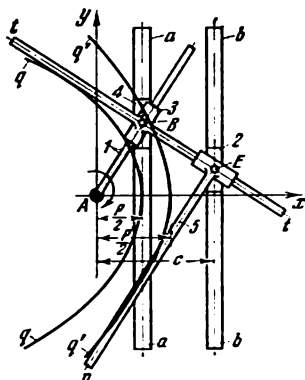


L'élément 1, mobile autour d'un axe fixe  $A$ , forme un couple de translation avec l'élément 3. L'élément 3 glisse dans le coulisseau 4 qui constitue un couple de rotation avec l'élément 2 couissant dans un guidage fixe  $p - p$ . Le bras  $a$  dont l'axe est perpendiculaire à l'axe du mouvement de l'élément 2, forme un couple de translation avec le coulisseau 5. L'élément 3 et le coulisseau 5 constituent un couple de rotation  $K$ . Lorsque l'élément 1 tourne autour de l'axe  $A$ , le point  $K$  décrit une parabole ayant pour équation

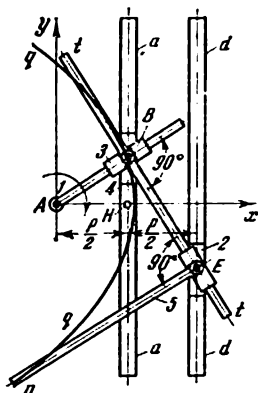
$$y^2 = 2px,$$

$2p$  étant la distance du point  $B$  à l'axe du bras  $a$  de l'élément 2.

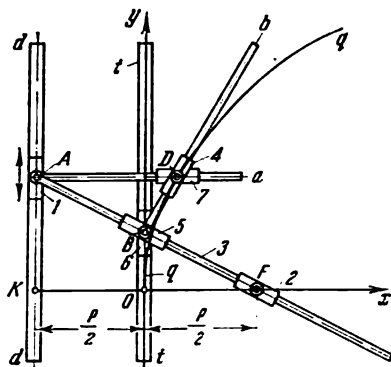




L'élément 1, tournant autour d'un axe fixe A, forme un couple de translation avec l'élément 3. L'élément 3 constitue un couple de rotation B avec le coulisseau 4 glissant dans un guidage fixe  $a - a$  dont l'axe est parallèle à l'axe Ay. Par sa traverse Bt, l'élément 3 forme un couple de translation avec l'élément 5. L'élément 5 forme un couple de rotation E avec le coulisseau 2 glissant dans un guidage fixe  $b - b$ , dont l'axe est parallèle à l'axe Ay. Si l'on fixe le centre A au foyer commun des paraboles à contourner, et si l'on fait coïncider l'axe du guidage  $a - a$  avec la directrice de la parabole  $q - q$ , l'axe du guidage  $b - b$  étant fixé à une distance égale à  $c = \frac{p + p'}{2}$ , où  $p$  et  $p'$  sont les paramètres des paraboles  $q - q$  et  $q' - q'$ , lors de la rotation de l'élément 1 autour de l'axe A les traverses Bt et En suivront simultanément les contours des paraboles confocales  $q - q$  et  $q' - q'$ .



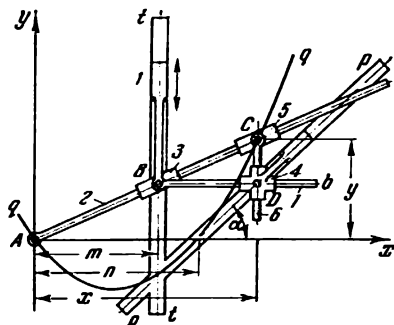
L'élément 1, mobile autour d'un axe fixe  $A$ , constitue un couple de translation avec l'élément 3. Ce dernier forme un couple de rotation  $B$  avec le coulisseau 4 glissant dans un guidage fixe  $a - a$  dont l'axe est parallèle à l'axe  $Ay$ . La traverse  $Bt$  de l'élément 3 forme un couple de translation avec le coulisseau 5. Le coulisseau 5 constitue un couple de rotation  $E$  avec le coulisseau 2 glissant dans un guidage fixe  $d - d$  dont l'axe est parallèle à l'axe  $Ay$ . Si l'on fixe le centre  $A$  au foyer de la parabole à contourner et si l'on fait coïncider l'axe du guidage  $d - d$  avec la directrice de la parabole, lors de la rotation de l'élément 1 autour de l'axe  $A$  les traverses  $Bt$  et  $En$  suivront simultanément la trace de la parabole  $q - q$ .



Le coulisseau 1 glisse le long d'un guidage fixe  $d - d$  dont l'axe est parallèle à l'axe  $Oy$ , et la traverse  $Aa$  forme un couple de translation avec le coulisseau 7. Le coulisseau 6, glissant dans un guidage fixe  $t - t$  dont l'axe coïncide avec l'axe  $Oy$ , forme un couple de rotation  $B$  avec le coulisseau 5. La traverse  $Bb$  glisse dans le coulisseau 4 qui forme un couple de rotation  $D$  avec le coulisseau 7. L'élément 3 forme un couple de rotation  $A$  avec le coulisseau 1, et des couples de translation avec le coulisseau 5 et le coulisseau 2 tournant autour d'un axe fixe  $F$ . Si l'on fixe le point  $F$  au foyer de la parabole et si l'on fait coïncider le guidage  $d - d$  avec la directrice de la parabole, lors du déplacement du coulisseau 1 le long du guidage  $d - d$  le point  $D$  décrit une parabole  $q - q$  ayant pour équation

$$y^2 = 2px,$$

$p$  désignant le paramètre de la parabole.

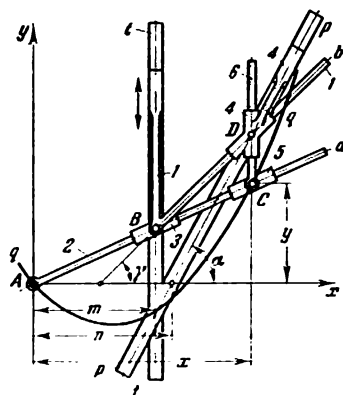


Le coulisseau 1, glissant dans un guidage fixe  $t - t$  dont l'axe est parallèle à l'axe  $Ay$ , forme un couple de rotation  $B$  avec le coulisseau 3. La traverse  $Bb$  du coulisseau 1 glisse dans le coulisseau en croix 4 dont les axes de guidage sont perpendiculaires entre eux. Le coulisseau 4 glisse dans un guidage fixe  $p - p$ , dont l'axe fait un angle  $\alpha$  avec l'axe  $Ax$ , et forme un couple de translation avec l'élément 6 qui, à son tour, forme un couple de rotation  $C$  avec le coulisseau 5. L'élément 2, tournant autour d'un axe fixe  $A$ , forme des couples de translation avec les coulisseaux 3 et 5. Lorsque le coulisseau 1 suit le guidage  $t - t$ , le point  $C$  décrit une parabole  $q - q$  ayant pour équation

$$Ax^2 + 2Dx + 2Ey = 0,$$

où  $A = \operatorname{tg} \alpha$ ,  $D = -\frac{n \operatorname{tg} \alpha}{2}$  et  $E = -\frac{m}{2}$ ,  $m$  et  $n$  désignant les paramètres constants du mécanisme.





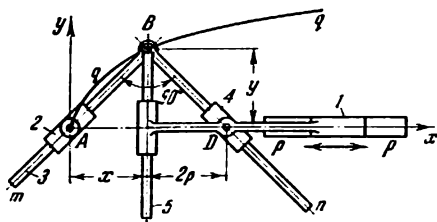
Le coulisseau 1, glissant dans un guidage fixe  $t - t$  dont l'axe est parallèle à l'axe  $Ay$ , forme un couple de rotation  $B$  avec le coulisseau 3. La traverse  $Bb$  du coulisseau 1 se déplace dans le coulisseau 4 en croix 4 dont les axes de guidage forment un angle  $\gamma - \alpha$ . Le coulisseau 4 glisse dans un guidage fixe  $p - p$ , dont l'axe fait un angle  $\alpha$  avec l'axe  $Ax$ , et forme un couple de translation avec l'élément 6 qui constitue un couple de rotation  $C$  avec le coulisseau 5. L'élément 2, mobile autour d'un axe fixe  $A$ , forme des couples de translation avec les coulisseaux 3 et 5. Lorsque le coulisseau 1 suit le guidage  $t - t$ , le point  $C$  décrit une parabole  $q - q$  ayant pour équation

$$Ax^2 + 2Dx + 2Ey = 0,$$

où

$$A = \operatorname{tg} \alpha - \operatorname{tg} \gamma, \quad D = \frac{m \operatorname{tg} \gamma - n \operatorname{tg} \alpha}{2} \quad \text{et} \quad E = -\frac{m}{2},$$

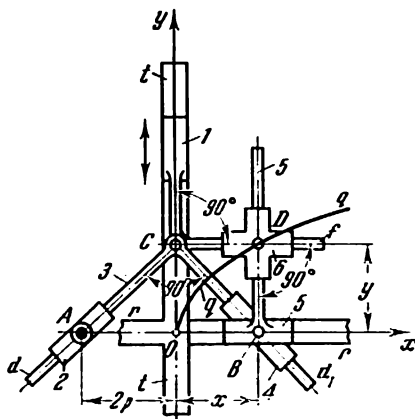
$m$  et  $n$  désignant les paramètres constants du mécanisme.



Le coulisseau 1, glissant dans un guidage fixe  $p - p$  dont l'axe coïncide avec l'axe  $Ax$ , forme un couple de translation avec l'élément 5. Ce dernier constitue un couple de rotation  $B$  avec l'élément 3 ayant la forme d'un levier coudé dont l'angle  $nBm$  est égal à  $90^\circ$ . Le côté  $Bn$  de l'élément 3 glisse dans le coulisseau 4 qui forme un couple de rotation  $D$  avec le coulisseau 1, tandis que le côté  $Bm$ , glissant dans le coulisseau 2, tourne autour d'un axe fixe  $A$ . Lorsque le coulisseau 1 se meut dans le guidage  $p - p$ , le point  $B$  décrit une parabole  $q - q$  ayant pour équation

$$y^2 = 2px,$$

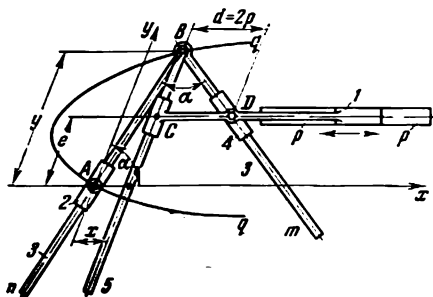
$p$  étant le paramètre de la parabole.



Le coulisseau 1, glissant dans un guidage fixe  $t - t$  dont l'axe coïncide avec l'axe  $Oy$ , forme un couple de rotation  $C$  avec l'élément 3 qui se présente sous la forme d'un levier coudé. Par son côté  $Cd$ , l'élément 3 glisse dans le coulisseau 2 tournant autour d'un axe fixe  $A$  et par son côté  $Cd_1$ , il glisse dans le coulisseau 4. Le coulisseau en croix 6, aux axes de guidage perpendiculaires entre eux, forme des couples de translation avec la traverse  $Cf$  de l'élément 1 et avec l'élément 5 glissant dans un guidage  $r - r$  dont l'axe coïncide avec l'axe  $Ox$ . Lorsque le coulisseau 1 suit le guidage  $t - t$ , le point  $D$  décrit une parabole  $q - q$  ayant pour équation

$$y^2 = 2px,$$

$p$  étant le paramètre de la parabole.



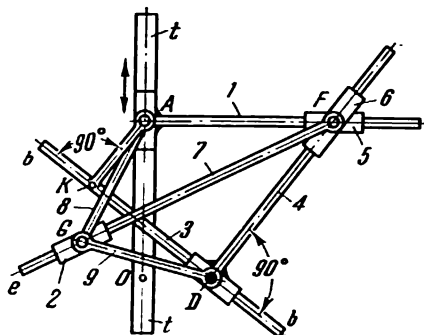
Le coulisseau 1, glissant dans un guidage fixe  $p - p$  dont l'axe est parallèle à l'axe  $Ax$ , forme un couple de translation avec l'élément 5. Ce dernier constitue un couple de rotation  $B$  avec l'élément 3 ayant la forme d'un levier coudé à l'angle  $nBm$  égal à  $\alpha$ , où  $\alpha$  est l'angle formé par les axes de coordonnées  $Ax$  et  $Ay$ . Le côté  $Bm$  de l'élément 3 glisse dans le coulisseau 4 qui forme un couple de rotation  $D$  avec le coulisseau 1, et le côté  $Bn$  glisse dans le coulisseau 2 tournant autour d'un axe fixe  $A$ . Lorsque le coulisseau 1 suit le guidage  $p - p$ , le point  $B$  décrit une parabole  $q - q$  ayant pour équation

$$Cy^2 + 2Dx + 2Ey = 0,$$

où

$$C = \sin \alpha, \quad D = -\frac{d}{2} = -p, \quad E = -\frac{e + 2d \cos \alpha}{2},$$

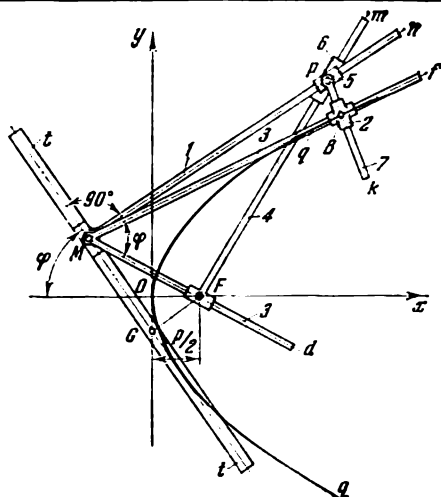
$p$  désignant le paramètre de la parabole.



Les longueurs des éléments satisfont aux conditions:

$$AF = DF \text{ et } AK = DO,$$

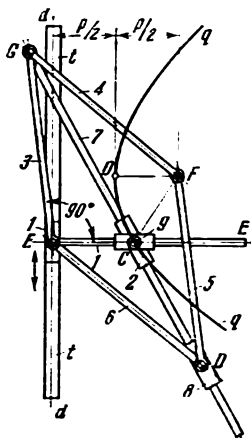
où  $DO$  est la plus courte distance du foyer de la parabole à sa directrice. Le coulisseau 1, glissant dans un guidage fixe  $t - t$ , forme un couple de translation avec le coulisseau 5, et des couples de rotation  $A$  avec les éléments 3 et 8. Le coulisseau 4, mobile autour d'un axe fixe  $D$ , forme un couple de translation avec le coulisseau 6 et un couple de translation avec l'élément 3. Les coulisseaux 5 et 6 constituent un couple de rotation  $F$ . L'élément 9, tournant autour de l'axe fixe  $E$ , forme des couples de rotation  $G$  avec l'élément 8 et le coulisseau 2 glissant le long de l'axe  $Fe$ . L'élément 7 forme des couples de rotation  $F$  avec les coulisseaux 5 et 6. Si l'on fixe le point  $D$  au foyer de la parabole et si l'on fait coïncider l'axe du guidage  $t - t$  avec la directrice de la parabole, lors du déplacement du coulisseau 1 dans le guidage  $t - t$  le point  $F$  décrit une parabole, tandis que la droite  $Fe$  suit le contour de la parabole décrite par le point  $F$ .



Le coulisseau 1 glisse dans un guidage fixe  $t - t$  dont l'axe passe par le point  $G$  sous un angle  $\varphi$  à l'axe  $Ox$  et forme un couple de rotation  $M$  avec l'élément 3. L'élément 3 est réalisé sous la forme d'un levier coudé dont l'angle  $dMf$  est égal à  $\varphi$ . Le côté  $Md$  de l'élément 3 glisse dans le coulisseau 4 qui tourne autour d'un axe fixe  $F$  et le côté  $Mf$  glisse dans le coulisseau en croix 2 aux axes de guidage perpendiculaires entre eux. Les coulisseaux 5 et 6, qui constituent un couple de rotation  $P$ , se déplacent dans les guidages  $Mn$  et  $Fm$  des coulisseaux 1 et 4. Si l'on fixe le point  $F$  au foyer de la parabole et si l'on choisit le point  $G$  sur l'axe  $Oy$  passant par le sommet  $O$  de la parabole à une distance  $GO$

$$GO = \frac{OF}{\operatorname{tg} \varphi} = \frac{p}{2 \operatorname{tg} \varphi},$$

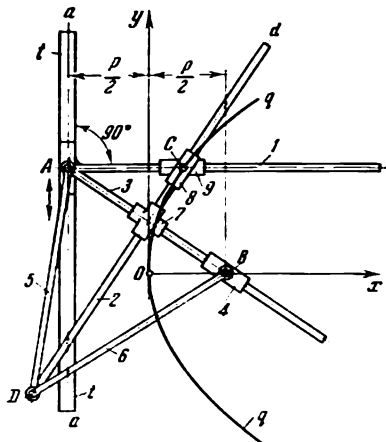
où  $p$  est le paramètre donné de la parabole, la droite  $Mf$  suit le contour de la parabole  $q - q$ , lorsque le coulisseau 1 se meut dans le guidage  $t - t$ , tandis que le point  $B$ , appartenant au coulisseau 2 et qui se trouve à l'intersection des axes  $Pk$  et  $Mf$ , décrit la parabole  $q - q$ .



Les longueurs des éléments satisfont à la condition

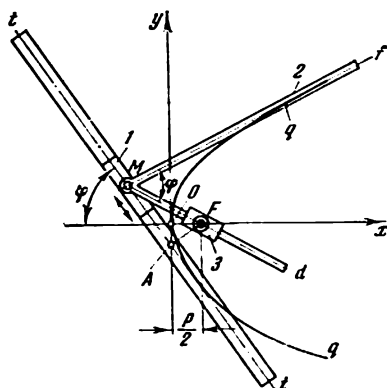
$$EG = GF = FD = DE.$$

La figure  $CFDE$  est un losange. Le coulisseau 1, glissant dans un guidage fixe  $t-t$ , constitue des couples de rotation  $E$  avec les éléments 3 et 6. L'élément 7, qui forme des couples de rotation  $G$  avec les éléments 3 et 4, glisse dans les coulisseaux 2 et 8. Le coulisseau 2 forme un couple de rotation  $C$  avec le coulisseau 9, et le coulisseau 8 forme des couples de rotation  $D$  avec les éléments 5 et 6. Le coulisseau 9 glisse sur la traverse  $EE$  de l'élément 1. Si l'on fixe le point  $F$  au foyer de la parabole et si l'on fait coïncider l'axe  $d-d$  du guidage  $t-t$  avec la directrice de la parabole, le point  $C$  décrit une parabole  $q-q$  de paramètre  $p$  lors du déplacement du coulisseau 1 dans le guidage  $t-t$ . Quant à la droite  $DG$ , elle suivra le contour de la parabole.



Le coulisseau 1 glisse dans un guidage fixe  $t - t$  et, par sa traverse, constitue un couple de translation avec le coulisseau 9 et un couple de rotation  $A$  avec l'élément 5. L'élément 3, formant un couple de rotation  $A$  avec les éléments 5 et 1, glisse dans le coulisseau en croix 7 aux axes de guidage perpendiculaires entre eux. L'élément 2, qui forme des couples de rotation  $D$  avec les éléments 5 et 6, glisse dans les coulisseaux 7 et 8. Les coulisseaux 8 et 9 constituent un couple de rotation  $C$ . L'élément 6 est mobile autour d'un axe fixe  $B$ . L'élément 3 glisse dans le coulisseau 4 qui tourne autour de l'axe fixe  $B$ . Si l'on fixe le point  $B$  au foyer de la parabole et si l'on fait coïncider l'axe  $a - a$  du guidage fixe  $t - t$  avec la directrice de la parabole, en posant les longueurs des éléments 5 et 6 égales, lors du déplacement du coulisseau 1 dans le guidage  $t - t$  le point  $C$  décrit une parabole  $q - q$  de paramètre  $p$ , tandis que la droite  $Dd$  suit le contour de cette parabole.

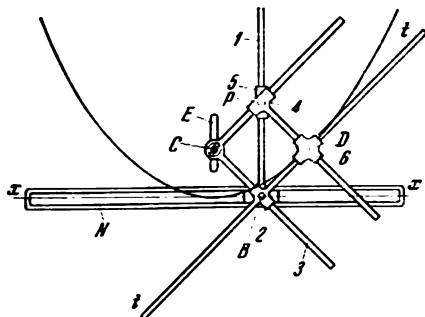




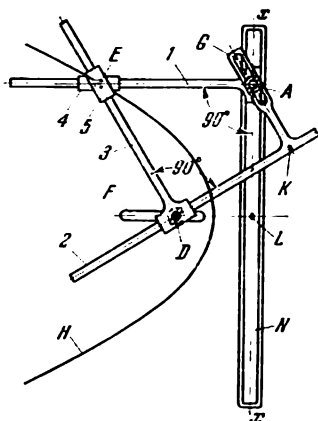
Le coulisseau 1 glisse dans un guidage fixe  $t - t$ , dont l'axe passe par le point  $A$  sous un angle  $\varphi$  à l'axe  $Ox$ , et constitue un couple de rotation  $M$  avec l'élément 2 ayant la forme d'un levier coudé à l'angle  $dMf$  égal à  $\varphi$ . Le côté  $Md$  de l'élément 2 glisse dans le coulisseau 3 mobile autour d'un axe fixe  $F$ . Si l'on fixe le point  $F$  au foyer de la parabole et si l'on choisit le point  $A$  sur l'axe  $Oy$ , passant par le sommet  $O$  de la parabole, à une distance  $AO$

$$AO = \frac{OF}{\operatorname{tg} \varphi} = \frac{p}{2 \operatorname{tg} \varphi},$$

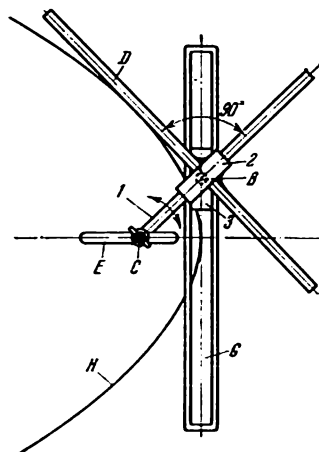
où  $p$  est le paramètre donné de la parabole, la droite  $Mf$  suit le contour de la parabole  $q - q$  lorsque le coulisseau 1 se meut dans le guidage  $t - t$ .



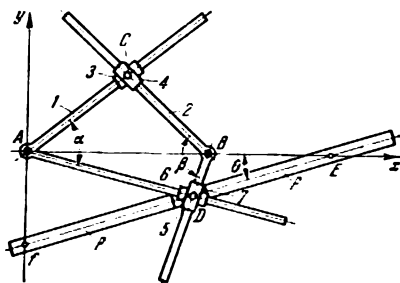
Le mécanisme est réalisé à partir du système *BCD* à coulisse et à quatre éléments destiné à suivre les contours des paraboles. Ce système comporte un groupe d'entraîneurs composé de deux coulisseaux 4 et 5 articulés en *P*. Le point *P* trace la centroïde fixe du coulisseau 2. Les coulisseaux 2 et 5 forment des couples de translation avec le coulisseau en croix 6 aux axes de guidage perpendiculaires entre eux. Lorsque le coulisseau 1 se meut suivant l'axe  $x - x$  du guidage fixe *N*, le point *D* du coulisseau en croix 6 décrit une parabole, tandis que la règle  $t - t$ , rendue solidaire du coulisseau 2, suit le contour de cette parabole. L'articulation *C* est fixée au foyer de la parabole. En faisant varier la position de l'articulation *C* dans la rainure *E*, on peut obtenir les paraboles de paramètres voulus.



Le mécanisme est réalisé à partir du système à quatre éléments articulés qui se compose d'un coulisseau 1 glissant dans un guidage fixe  $N$ , d'un levier coudé 2 constituant un couple de rotation  $A$  avec le coulisseau 1 et d'un coulisseau 3, mobile autour d'un axe fixe  $D$ , dans lequel le levier 2 coulisse par une de ses extrémités. On accouple à ce système un groupe d'entraîneurs composé de deux coulisseaux 5 et 4 articulés en  $E$ . Lorsque l'élément 1 se déplace suivant l'axe  $x - x$  du guidage fixe  $N$ , le centre de l'articulation  $E$  trace une parabole  $H$ . L'articulation fixe  $D$  est placée au foyer et l'axe  $x - x$  se confond avec la directrice de la parabole, les distances  $AK$  et  $DL$  étant égales. On obtiendra des paraboles de paramètres différents en déplaçant l'articulation fixe  $D$  dans la rainure  $F$  du support et l'articulation mobile  $A$  dans la rainure  $G$  de l'élément 2.



La coulisse 1 tourne autour d'un axe fixe C. Le coulisseau 2, qui se meut suivant l'axe de la coulisse 1, comporte la règle D. Le coulisseau 3, glissant sur un guidage fixe G, forme un couple de rotation B avec le coulisseau 2. Lorsque la coulisse 1 est en mouvement, la règle D, rendue solidaire du coulisseau 2, suit le contour de la parabole H. Le point C est fixé au foyer de la parabole. Le guidage rectiligne G est fixe. En faisant varier la position du centre de l'articulation C dans la rainure E, on peut obtenir les paraboles de paramètres voulus.



Les leviers coudés 1 et 2, mobiles autour des axes fixes A et B, forment des couples de translation avec les coulisseaux 3, 6 et 4, 5. Le coulisseau 7 glisse le long d'un guidage fixe  $p-p$ . Quand le coulisseau 7 se meut dans le guidage  $p-p$ , le point C décrit une section conique ayant pour équation

$$Ax^2 + 2Bxy + Cy^2 + 2Dx + 2Ey = 0,$$

où

$$A = k \operatorname{tg} \alpha (\operatorname{tg} \theta - \operatorname{tg} \beta) + \operatorname{tg} \alpha + \operatorname{tg} \beta,$$

$$2B = k (\operatorname{tg} \beta - \operatorname{tg} \alpha - \operatorname{tg} \alpha \operatorname{tg} \beta \operatorname{tg} \theta - \operatorname{tg} \theta),$$

$$C = k (1 + \operatorname{tg} \beta \operatorname{tg} \theta) + \operatorname{tg} \alpha + \operatorname{tg} \beta,$$

$$2D = C (k \operatorname{tg} \alpha \operatorname{tg} \beta - k \operatorname{tg} \alpha \operatorname{tg} \theta - \operatorname{tg} \beta - \operatorname{tg} \alpha),$$

$$2E = C (1 - k \operatorname{tg} \beta + k \operatorname{tg} \theta - \operatorname{tg} \alpha \operatorname{tg} \beta),$$

$$C = AB \quad \text{et} \quad k = \frac{AB(AB + BE)}{BE \cdot Af}.$$

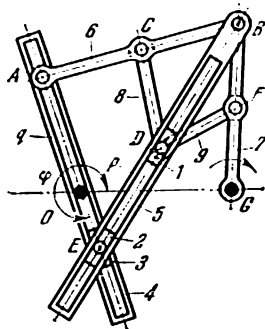
On règle le mécanisme pour tracer les différentes coniques en variant les angles  $\alpha$ ,  $\beta$  et le coefficient  $k$ .



Les longueurs des éléments du mécanisme satisfont aux conditions suivantes:

$$(DC)^2 + (BF)^2 = (CB)^2 + (DF)^2 \text{ et } AB:CB = BG:BF.$$

Le mécanisme est réalisé à partir du système  $OABG$  à quatre éléments articulés. L'élément 5 forme des couples de rotation  $B$  avec les éléments 6 et 7, et un couple de translation avec le coulisseau 1 glissant dans la rainure  $p$  de l'élément 5. Le coulisseau 1 forme des couples de rotation avec les éléments 8 et 9 qui constituent des couples de rotation  $C$  et  $F$  avec les éléments 6 et 7. Pour les longueurs des éléments on adoptera des rapports tels que la direction de l'axe de la rainure  $p$  de l'élément 5 soit toujours perpendiculaire à la direction de la diagonale  $AG$  du système  $OABG$  à quatre éléments. Les coulisseaux 2 et 3, formant un couple de rotation  $E$ , glissent dans les guidages  $p$  et  $q$  des éléments 5 et 4. Le point  $E$  du mécanisme décrit une section conique ayant pour équation polaire



$$\rho = \frac{p}{1 + e \cos \varphi},$$

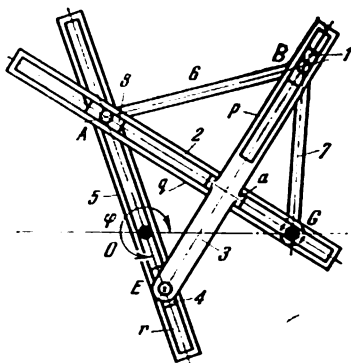
où  $\rho = OE$ ,  $p = \frac{(OG)^2 + (AB)^2 - (OA)^2 - (GB)^2}{2 \cdot OA}$

et

$$e = \frac{OG}{OA}.$$

Le point  $E$  décrit une ellipse, si  $e < 1$ , une parabole, si  $e = 1$ , et une hyperbole, si  $e > 1$ . L'axe du guidage  $p$  de l'élément 5 est toujours tangent à la section conique décrite. On règle le mécanisme en variant la longueur  $OA$  de l'élément 4, ce qu'on obtient par déplacement de l'articulation  $A$  le long du guidage  $q$  et en le fixant dans la position choisie.

Le mécanisme est réalisé à partir du système  $OABG$  à quatre éléments articulés. Le coulisseau 1, formant des couples de rotation  $B$  avec les éléments 6, 7, glisse dans la rainure  $p$  de l'élément 3. L'élément 3 comporte un coulisseau  $a$  qui fait bloc avec lui et dont l'axe de glissement est perpendiculaire à l'axe de la rainure  $p$ . Le coulisseau  $a$  de l'élément 3



glisse le long de la rainure  $q$  de l'élément 2, mobile autour d'un axe fixe  $G$ . L'élément 2 forme un couple de translation avec le coulisseau 8 qui constitue un couple de rotation  $A$  avec l'élément 5, mobile autour d'un axe fixe  $O$ . L'élément 3 forme un couple de rotation  $E$  avec le coulisseau 4 glissant dans la rainure  $r$  de l'élément 5. Le point  $E$  du mécanisme décrit une section conique dont l'équation polaire est

$$\rho = \frac{p}{1 + e \cos \varphi},$$

où

$$\rho = OE; \quad p = \frac{(OG)^2 + (AB)^2 - (OA)^2 - (GB)^2}{2 \cdot OA}$$

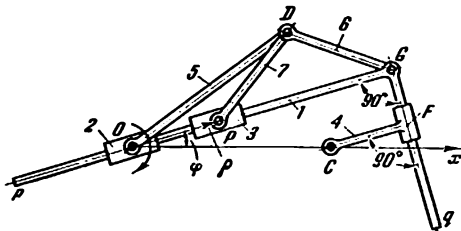
et

$$e = \frac{OG}{OA}.$$

Le point  $E$  décrit une ellipse, si  $e < 1$ , une parabole, si  $e = 1$ , et une hyperbole, si  $e > 1$ . L'axe du guidage  $p$  de l'élément 3 est toujours tangent à la section conique décrite. On règle le mécanisme pour faire le tracé des sections coniques diverses en modifiant la longueur  $OA$  de l'élément 5, ce qu'on obtient par déplacement de l'articulation  $A$  le long du guidage  $r$  et en la fixant dans la position choisie.







Les longueurs des éléments du mécanisme satisfont aux conditions:  $DP = DG$ ;

$$OP \cdot OG = (OD)^2 - (DG)^2 = \text{const.}$$

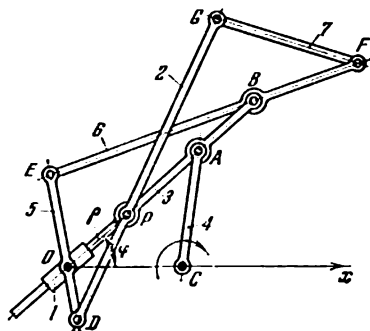
L'élément 4 tourne autour d'un axe fixe  $C$ . L'élément 1, ayant la forme d'un levier coudé, glisse par son côté  $Gq$  dans le guidage  $F$  de l'élément 4, et par son côté  $Gp$ , dans les coulisseaux 3 et 2. Le coulisseau 2 tourne autour d'un axe fixe  $O$ . L'élément 5 forme des couples de rotation  $O$  et  $D$  avec le coulisseau 2 et avec les éléments 6 et 7. L'élément 6 forme un couple de rotation  $G$  avec l'élément 1, et l'élément 7, un couple de rotation  $P$  avec le coulisseau 3. Lors de la rotation du coulisseau 2 autour de l'axe  $O$ , le point  $P$  décrit une section conique ayant pour équation

$$\rho = \frac{p}{1 + e \cos \varphi},$$

où

$$\rho = OP, \quad p = \frac{(OD)^2 - (DG)^2}{CF}, \quad e = \frac{OC}{CF},$$

$\varphi$  étant l'angle polaire formé par le vecteur  $\rho$  avec l'axe polaire  $Ox$ . Pour  $e > 1$ , le point  $P$  décrit une hyperbole. Pour  $e < 1$ , le point  $P$  décrit une ellipse, et pour  $e = 1$ , une parabole.



Les longueurs des éléments du mécanisme satisfont aux conditions suivantes :

$$DE = GF, \quad DG = EF, \quad AC = OC \quad \text{et} \quad OD : OE = DP : EB, \\ OP \cdot OB = DP \cdot EB - OD \cdot OE = \text{const.}$$

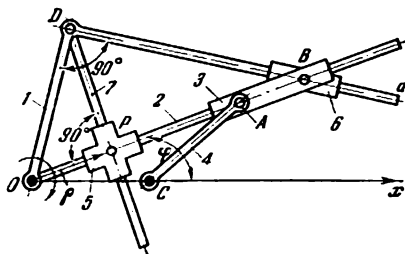
La figure  $DEFG$  est un antiparallélogramme. L'élément 3, qui forme des couples de rotation  $P$ ,  $A$  et  $B$  avec les éléments 2, 4 et 6, glisse dans le coulisseau 1 mobile autour d'un axe fixe  $O$ . L'élément 2 constitue des couples de rotation  $D$  et  $G$  avec les éléments 5 et 7. L'élément 6 forme un couple de rotation  $F$  avec l'élément 7, et un couple de rotation  $E$  avec l'élément 5 tournant autour de l'axe fixe  $O$ . Lors de la rotation de l'élément 4 autour d'un axe fixe  $C$ , le point  $P$  décrit une section conique ayant pour équation

$$\rho = \frac{p}{1 + e \cos \varphi},$$

où

$$\rho = OP, \quad p = \frac{DP \cdot EB - OD \cdot OE}{AB}, \quad e = \frac{2AC}{AB},$$

$\varphi$  étant l'angle polaire formé par le vecteur  $\rho$  avec l'axe polaire  $Ox$ . Avec  $e > 1$ , le point  $P$  décrit une hyperbole, avec  $e < 1$ , le point  $P$  décrit une ellipse, et avec  $e = 1$ , une parabole.



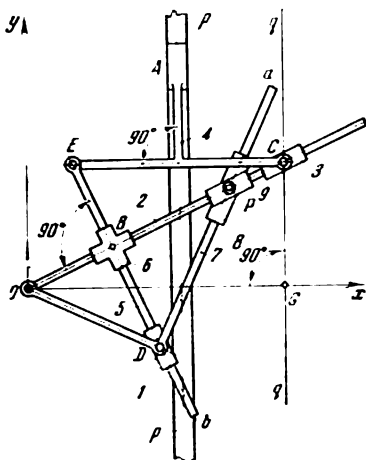
Les longueurs des éléments du mécanisme satisfont aux conditions:  $AC = OC$  et  $OP \cdot OB = (OD)^2$ . L'élément 1, qui se présente sous la forme d'un levier coudé, tourne autour d'un axe fixe  $O$  et glisse par son côté  $Da$  dans le coulisseau 6. L'élément 7, qui forme un couple de rotation  $D$  avec l'élément 1, glisse dans le coulisseau en croix 5 dont les axes de guidage sont perpendiculaires entre eux. L'élément 2 tournant autour de l'axe fixe  $O$  glisse dans les coulisseaux 5 et 3. L'élément 3 forme un couple de rotation  $B$  avec le coulisseau 6 et un couple de rotation  $A$  avec l'élément 4 mobile autour d'un axe fixe  $C$ . Lorsque l'élément 1 tourne autour de l'axe  $O$ , le point  $P$  décrit une section conique ayant pour équation

$$\rho = \frac{p}{1 + e \cos \varphi},$$

où

$$\rho = OP, \quad p = \frac{(OD)^2}{AB}, \quad e = \frac{2AC}{AB},$$

$\varphi$  étant l'angle polaire formé par le vecteur  $\rho$  avec l'axe polaire  $Ox$ . Avec  $e > 1$ , le point  $P$  décrit une hyperbole, avec  $e < 1$ , le point  $P$  décrit une ellipse, et avec  $e = 1$ , une parabole.

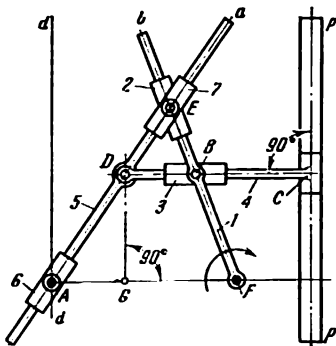


On observe toujours dans le mécanisme la condition d'inversion:  $OB \cdot OP = (OD)^2$ .

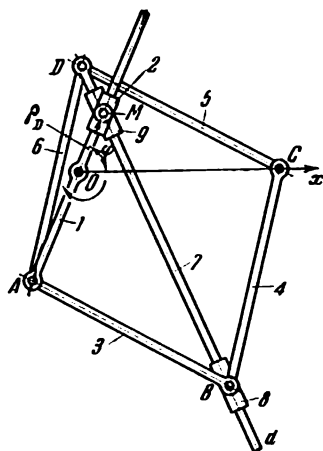
L'élément 2, tournant autour d'un axe fixe  $O$ , forme des couples de translation avec les coulisseaux 6, 9 et 3. L'élément 7, qui a la forme d'un levier coudé, tourne autour de l'axe fixe  $O$ , en formant un couple de rotation  $D$  avec le coulisseau 1. Par son côté  $Da$  l'élément 7 glisse dans le coulisseau 8. Le coulisseau 1 glisse le long de l'axe  $Eb$  de l'élément 5 qui forme un couple de rotation  $E$  avec le coulisseau 4 et un couple de translation avec le coulisseau en croix 6 dont les axes de guidage sont perpendiculaires entre eux. Les coulisseaux 8 et 9 constituent un couple de rotation  $P$ . Le coulisseau 3 forme un couple de rotation  $C$  avec le coulisseau 4 glissant dans un guidage fixe  $p - p$  dont l'axe est parallèle à l'axe  $Oy$ . Lorsque l'élément 2 tourne autour de l'axe  $O$ , le point  $P$  décrit une section conique ayant pour équation  $y^2 = 2px - (1 - e^2)x^2$ ,

où  $2p = \frac{(OD)^2}{OC}$  et  $e^2 = \frac{EC}{OC}$ .

Avec  $e > 1$ , le point  $P$  décrit une hyperbole, avec  $e < 1$ , une ellipse, et avec  $e = 1$ , une parabole.



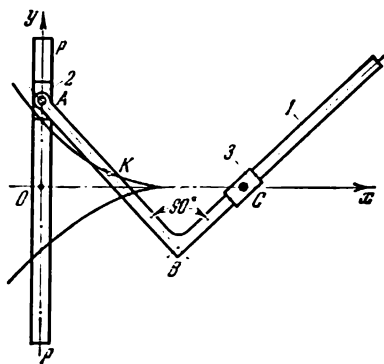
L'élément 1, mobile autour d'un axe fixe  $F$ , forme un couple de rotation  $B$  avec le coulisseau 3 glissant le long de l'axe  $CD$  du coulisseau 4 qui se meut dans un guidage fixe  $p - p$ . Les coulisseaux 7 et 2, formant un couple de rotation  $E$ , glissent le long des axes  $Da$  et  $Fb$  des éléments 5 et 1. L'élément 5 glisse dans le coulisseau 6 qui tourne autour d'un axe  $A$ . Si l'on fixe le centre  $F$  au foyer de la section conique, le centre  $A$  au point d'intersection de la perpendiculaire abaissée du point  $F$  sur la directrice donnée  $d - d$ , et si l'on observe la condition  $GF : GA = FB : GA = e$ , où  $e$  est l'excentricité donnée de la section conique, le point  $E$  décrit une section conique lors de la rotation de l'élément 1 autour de l'axe  $F$ . Avec  $e > 1$ , le point  $E$  décrit une hyperbole, avec  $e < 1$ , une ellipse, et avec  $e = 1$ , une parabole.



Les longueurs des éléments du mécanisme satisfont à la condition  $AD = DC = CB = BA$ . La figure  $ADCB$  est un losange. L'élément 1, tournant autour d'un axe fixe  $O$ , forme un couple de translation  $M$  avec le coulisseau 2 et un couple de rotation  $A$  avec les éléments 3 et 6. L'élément 7, qui glisse dans les coulisseaux 8 et 9, forme un couple de rotation  $D$  avec les éléments 5 et 6. Les éléments 4 et 5 tournent autour d'un axe fixe  $C$ . Le coulisseau 8 constitue un couple de rotation  $B$  avec les éléments 3 et 4. Les coulisseaux 2 et 9 constituent un couple de rotation  $M$ . Lorsque l'élément 1 tourne autour de l'axe  $O$ , le point  $M$  décrit une section conique ayant pour équation

$$\rho = \frac{p}{1 + e \cos \varphi}, \quad \text{où } \rho = OM; p = \frac{(OC)^2 - (OA)^2}{2 \cdot OA}; \quad e = \frac{OC}{OA},$$

$\varphi$  étant l'angle polaire formé par le vecteur  $\rho$  avec l'axe polaire  $Ox$ . Avec  $e > 1$ , le point  $M$  décrit une hyperbole, avec  $e < 1$ , une ellipse, et avec  $e = 1$ , une parabole. La droite  $Dd$  suit le contour de la section conique tracée par le point  $M$ .



Le coulisseau 2 glisse dans un guidage fixe  $p - p$ . L'élément 1 forme un couple de rotation  $A$  avec le coulisseau 2, et un couple de translation avec le coulisseau 3 mobile autour d'un axe fixe  $C$ . Lorsque le coulisseau 2 se déplace le long du guidage  $p - p$ , le point  $K$  de la coulisse 1 décrit une cissoïde ayant pour équation

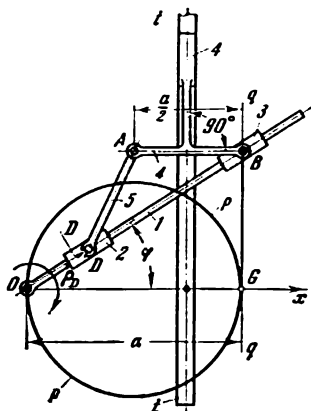
$$y^2 = \frac{(d-x)^3}{d+x},$$

où  $d = AK = KB$ ;  $OC = 2d$ .









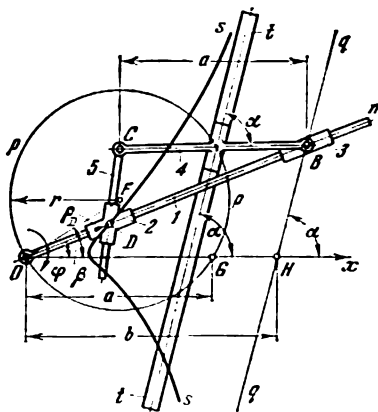
Les longueurs des éléments du mécanisme satisfont à la condition

$$AD = AB = \frac{a}{2}.$$

L'élément 1, tournant sur un axe fixe  $O$ , forme des couples de translation avec les coulisseaux 2 et 3. Le coulisseau 4 glisse dans un guidage fixe  $t - t$  dont l'axe fait un angle de  $90^\circ$  avec l'axe  $Ox$ . La traverse  $AB$  forme des couples de rotation  $A$  avec l'élément 5 et  $B$  avec le coulisseau 3. L'élément 5 constitue un couple de rotation  $D$  avec le coulisseau 2. Lorsque l'élément 1 tourne autour de l'axe  $O$ , le point  $D$  du coulisseau 2 décrit la cissoïde de Dioclès de la circonférence  $p - p$  passant par le point  $O$  et de la tangente à la droite  $q - q$ . L'équation de la cissoïde de Dioclès s'écrit :

$$\rho_D = OD = \frac{a}{\cos \varphi} - a \cos \varphi \quad \text{ou} \quad y^2 = \frac{x^3}{a - x},$$

où  $\varphi$  est l'angle polaire formé par le vecteur  $\rho_D$  avec l'axe polaire  $Ox$ .



L'élément 1, tournant sur un axe fixe  $O$ , forme des couples de translation avec les coulisseaux 2 et 3. Le coulisseau 4, glissant dans un guidage fixe  $t - t$ , dont l'axe fait un angle  $\alpha$  avec l'axe  $Ox$ , forme un couple de rotation  $C$  avec l'élément 5. Ce dernier glisse dans le coulisseau en croix 2 dont les axes de guidage forment un angle de  $90^\circ - \beta$ ,  $\beta$  étant l'angle formé par le rayon  $OF = r$  de la circonférence  $p - p$  avec l'axe  $Ox$ , tel que

$$\beta = \arccos \frac{a}{2r}.$$

Le coulisseau 3 forme un couple de rotation  $B$  avec le coulisseau 4. Lorsque l'élément 1 tourne autour de l'axe  $O$ , le point  $D$  du coulisseau 2 décrit la cissoïde  $s - s$  de la circonférence  $p - p$  passant par le point  $O$  et de la droite  $q - q$ . L'équation de cette cissoïde a pour expression

$$\rho_D = OD = b \frac{\sin \alpha}{\sin (\alpha - \varphi)} - 2r \cos (\beta - \varphi),$$

$\varphi$  étant l'angle polaire formé par le vecteur  $\rho_D$  avec l'axe polaire  $Ox$ .

L'élément 1, tournant autour d'un axe fixe  $O$ , forme des couples de translation avec les coulisseaux 2 et 3. Le coulisseau 4 glisse dans un guidage fixe  $t-t$ , dont l'axe fait un angle de  $90^\circ$  avec l'axe  $Ox$ , et forme un couple de rotation  $C$  avec l'élément 5 qui glisse dans le coulisseau en croix

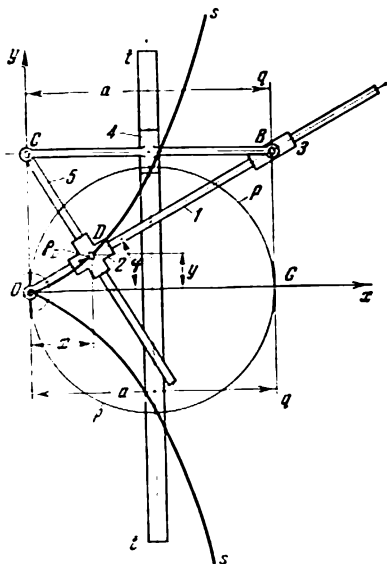
2, les axes de guidage de ce dernier étant perpendiculaires entre eux. Le coulisseau 3 forme un couple de rotation  $B$  avec le coulisseau 4. Lorsque l'élément 1 tourne autour de l'axe  $O$ , le point  $D$  du coulisseau 2 décrit la cissoïde de Dioclès  $s-s$  ayant pour équation

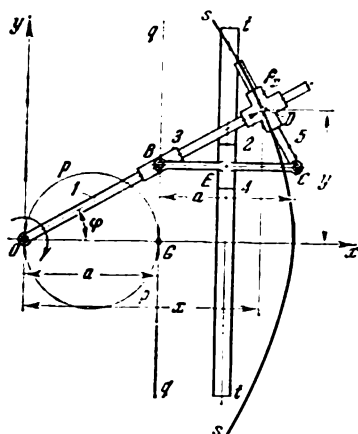
$$\rho_D = OD = a \frac{\sin^2 \varphi}{\cos \varphi}$$

ou

$$y^2 = \frac{x^3}{a-x},$$

$a$  étant le diamètre de la circonférence  $p-p$ , et  $\varphi$ , l'angle polaire formé par le vecteur  $\rho_D$  avec l'axe polaire  $Ox$ . La cissoïde de Dioclès est une cissoïde de la circonférence  $p-p$  de diamètre  $a$ , passant par le point  $O$ , et de la droite  $q-q$  tangente à cette circonférence en  $G$ .



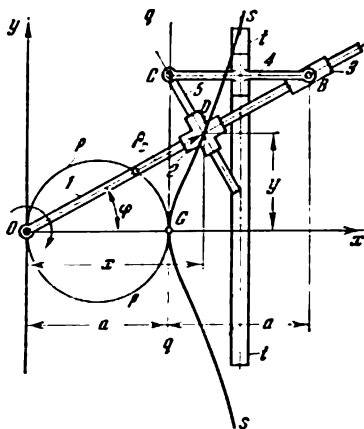


L'élément 1, tournant autour d'un axe fixe  $O$ , forme des couples de translation avec les coulisseaux 2 et 3. Le coulisseau 4 glisse dans un guidage fixe  $t - t$ , dont l'axe fait un angle de  $90^\circ$  avec l'axe  $Ox$ , et forme un couple de rotation  $C$  avec l'élément 5 qui glisse dans le coulisseau en croix 2, les axes de guidage de ce dernier étant perpendiculaires entre eux. Le coulisseau 3 forme un couple de rotation  $B$  avec le coulisseau 4. Lorsque l'élément 1 tourne autour de l'axe  $O$ , le point  $D$  du coulisseau 2 décrit la compagne  $s - s$  de la cissoïde de Dioclès ayant pour équation

$$\text{ou} \quad \rho_D = OD = \frac{a}{\cos \varphi} + a \cos \varphi$$

$$y^2 = \frac{x^2 (2a - x)}{x - a},$$

$a$  étant le diamètre de la circonférence  $p - p$ , et  $\varphi$ , l'angle polaire formé par le vecteur  $\rho_D$  avec l'axe polaire  $Ox$ . La courbe  $s - s$  est une compagne de la cissoïde de Dioclès, c'est-à-dire une cissoïde de la circonférence  $p - p$  de diamètre  $a$ , passant par le point  $O$ , et de la droite  $q - q$  tangente à cette circonférence au point  $G$ .



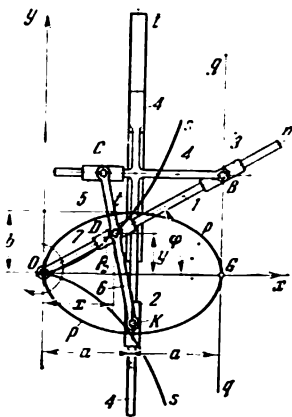
L'élément 1, tournant sur un axe fixe  $O$ , forme des couples de rotation avec les coulisseaux 2 et 3. Le coulisseau 4 glisse dans un guidage fixe  $t - t$ , dont l'axe fait un angle de  $90^\circ$  avec l'axe  $Ox$ , et constitue un couple de rotation  $C$  avec l'élément 5. Ce dernier glisse dans le coulisseau en croix 2 dont les axes de guidage sont perpendiculaires entre eux. Le coulisseau 3 forme un couple de rotation  $B$  avec le coulisseau 4. Lorsque l'élément 1 tourne autour de l'axe  $O$ , le point  $D$  du coulisseau 2 décrit la courbe  $s - s$  de la cissoïde de Dioclès, qui a pour équation

$$\rho_D = OD = \frac{2a}{\cos \varphi} - a \cos \varphi$$

ou

$$y^2 = \frac{x^2(x-a)}{2a-x},$$

$a$  étant le diamètre de la circonférence  $p - p$ , et  $\varphi$ , l'angle polaire formé par le vecteur  $\rho_D$  avec l'axe polaire  $Ox$ .



Les longueurs des éléments du mécanisme satisfont aux conditions suivantes :

$$DK = a \text{ et } DC = b,$$

où  $a$  et  $b$  sont les demi-axes de l'ellipse  $p - p$ . L'élément 1, qui tourne sur un axe fixe  $O$ , forme des couples de translation avec les coulisseaux 3 et 7. Le coulisseau 4 formant croisillon glisse dans un guidage fixe  $t - t$ , dont l'axe fait un angle de  $90^\circ$  avec l'axe  $Ox$ , et constitue un couple de translation avec le coulisseau 5 et un couple de rotation  $B$  avec le coulisseau 3. L'élément 6

constitue les couples de rotation  $C, D$  et  $K$  avec les coulisseaux 5, 7 et 2. Le coulisseau 2 et le coulisseau 4 constituent un couple de translation. Lorsque l'élément 1 tourne autour de l'axe  $O$ , le point  $D$  de l'élément 6 décrit la cissoïde  $s - s$  de l'ellipse  $p - p$  et de la droite  $q - q$  tangente à l'ellipse au point  $G$ . L'équation de la courbe  $s - s$  s'écrit

$$\rho_D = OD = \frac{2a}{\cos \varphi} - \frac{2 \frac{b^2}{a} \cos \varphi}{\sin^2 \varphi + \frac{b^2}{a^2} \cos^2 \varphi}$$

ou

$$y^2 = \frac{b^2}{a^2} \frac{x^3}{2a - x},$$

$\varphi$  étant l'angle polaire formé par le vecteur  $\rho_D$  avec l'axe polaire  $Ox$ .

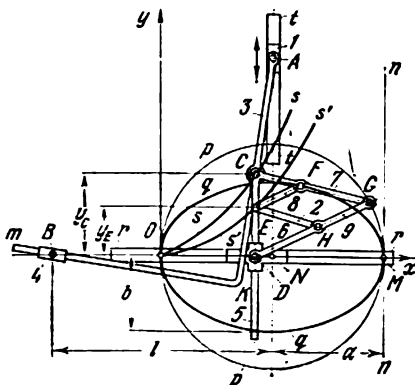


Les longueurs des éléments du mécanisme satisfont aux conditions suivantes:

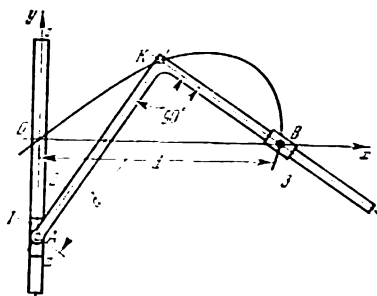
$$\begin{aligned} KC &= CA; \\ BN &= AK = l; \\ CG &= GD = EH; \\ DH &; CF = EF; \\ k &= b^2/a^2, \end{aligned}$$

où  $a$  et  $b$  sont les demi-axes de l'ellipse  $q-q$ . Le coulisseau 1, glissant dans un guidage fixe  $t-t$ , dont l'axe est parallèle à l'axe  $Oy$ , passe par le centre  $N$  de la circonférence  $p-p$  de rayon  $a = \frac{l}{2}$ . L'élément 3 qui a la forme

d'un levier coudé constitue le couple de rotation  $A$  avec le coulisseau 1 et glisse par son côté  $Km$  dans le coulisseau 4 mobile autour d'un axe fixe  $B$ . Le coulisseau en croisillon 6, aux axes de guidage perpendiculaires entre eux, glisse dans un guidage  $r-r$  dont l'axe se confond avec l'axe  $Ox$ . L'élément 9 forme les couples de rotation  $H, G$  et  $D$  avec les éléments 2, 7 et le coulisseau 6. L'élément 7 forme les couples de rotation  $C$  et  $F$  avec les éléments 3 et 8. Les éléments 2 et 8 constituent le couple de rotation  $E$ . L'élément 5, formant le couple de rotation  $C$  avec l'élément 3, glisse dans le coulisseau 6. Lors du mouvement du coulisseau 1 dans le guidage  $t-t$ , le point  $C$  de l'élément 3 décrit la cissoïde  $s-s$  de la circonférence  $p-p$  et de la droite  $n-n$  tangente en  $M$  à la circonférence  $p-p$ . Le point  $E$ , centre du couple de rotation constitué par les éléments 2 et 8, décrit la cissoïde  $s'-s'$  de l'ellipse  $q-q$  et de la droite  $n-n$ . Le rapport des ordonnées  $y_E$  et  $y_C$  des courbes  $s-s$  et  $s'-s'$  est toujours égal à  $y_E = ky_C$ , où  $k$  est une constante.





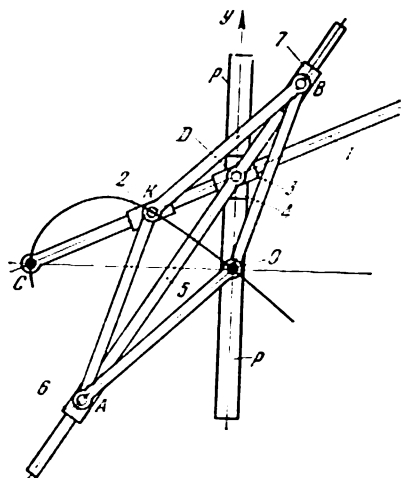


Le coulisseau 1 glisse dans un guidage  $z - z$ . L'élément 2 forme le couple de rotation A avec le coulisseau 1 et un couple de translation avec le coulisseau 3, mobile autour d'un axe fixe B. Lorsque le coulisseau 1 se déplace le long du guidage  $z - z$ , le point K de l'élément 2 décrit une strophoïde ayant pour équation

$$y^2 = x^2 \frac{d-x}{d+x},$$

où

$$d = AK = OB.$$



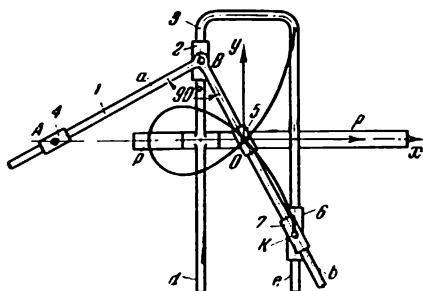
**Les longueurs des éléments du mécanisme satisfont à la condition**

$$AK = KB = BO = OA.$$

c'est-à-dire que la figure  $AKBO$  est un losange. Le coulis-  
seau 4 glisse dans un guidage fixe  $p - p$ . La coulisse 1,  
tournant sur un axe fixe  $C$ , glisse dans les coulis-seaux 2  
et 3. Le coulis-seau 3 constitue le couple de rotation  $D$  avec  
le coulis-seau 4. L'élément 5 dont l'axe constitue la diago-  
nale  $AB$  du losange  $AKBO$ , s'articule en  $D$  avec les coulis-  
seaux 3 et 4, en glissant dans les coulis-seaux 6 et 7 qui  
forment des couples de rotation aux points  $A$  et  $B$ . Lorsque  
la coulisse 1 tourne autour de l'axe  $C$ , le point  $K$  décrit une  
strophoïde ayant pour équation

$$y^2 = x^2 \frac{a-x}{a+x},$$

où  $a = OC$ .

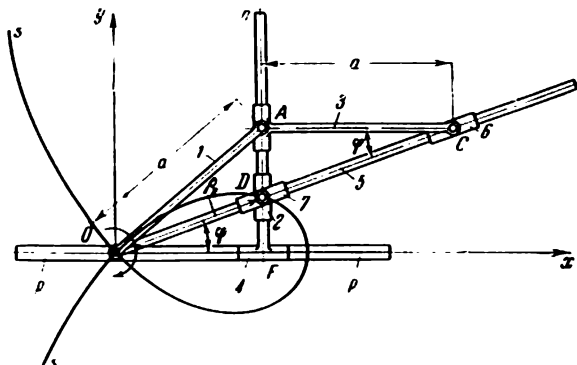


L'élément 1, de forme coudée, glisse par ses côtés  $a$  et  $b$  dans les coulisseaux 4 et 5, mobiles autour des axes fixes  $A$  et  $O$ . L'élément 1 forme un couple de rotation  $B$  avec le coulisseau 2 glissant sur le côté  $d$  du cadre 3 animé d'un mouvement de translation dans un guide  $p - p$ . Les coulisseaux 6 et 7 qui constituent un couple de rotation  $K$  glissent sur le côté  $e$  du cadre 3 et sur le côté  $b$  de l'élément 1. Lors du mouvement du cadre 3 le long du guide  $p - p$ , le point  $K$  décrit une boucle de la strophoïde, qui a pour équation

$$y^2 = x^2 \frac{a-x}{a+x},$$

où  $a$  est la distance entre les côtés verticaux  $d$  et  $e$  du cadre 3, égale à

$$d = \frac{AO}{2}.$$



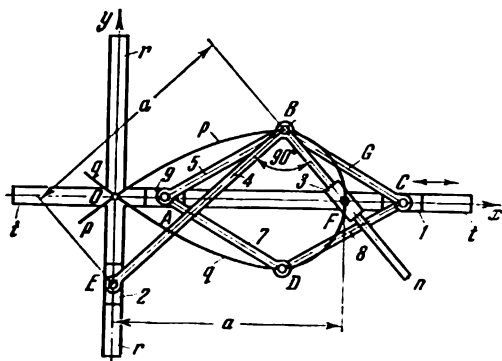
Les longueurs des éléments du mécanisme satisfont à la condition

$$OA = AC = a.$$

L'élément 1, mobile autour d'un axe fixe  $O$ , forme un couple de rotation  $A$  avec le coulisseau 3 glissant sur la traverse  $Fn$  du coulisseau 4. Ce dernier glisse dans un guide fixe  $p - p$  dont l'axe se confond avec l'axe  $Ox$ . L'élément 5, tournant autour de l'axe fixe  $O$ , forme des couples de translation avec les coulisseaux 6 et 7. Le coulisseau 7 constitue un couple de rotation  $D$  avec le coulisseau 2. Lorsque l'élément 1 tourne autour de l'axe  $O$ , le point  $D$  décrit la strophoïde  $s - s$  ayant pour équation

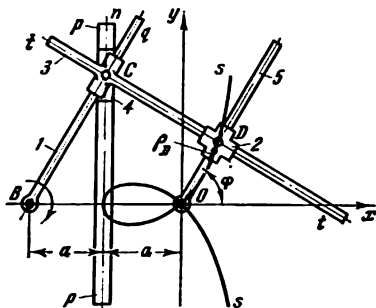
$$\rho_D = OD = a \frac{\cos 2\varphi}{\cos \varphi},$$

où  $\varphi$  est l'angle polaire formé par le vecteur  $\rho_D$  avec l'axe polaire  $Ox$ .



Les longueurs des éléments du mécanisme satisfont aux conditions:  $AB = BC = CD = DA$  et  $EB = OF = a$ . La figure  $ABCD$  est un losange. L'élément 4, qui se présente sous la forme d'un levier coudé, glisse par son côté  $Bn$  dans le coulisseau 3 mobile autour d'un axe fixe  $F$ , et forme un couple de rotation  $E$  avec le coulisseau 2 glissant dans un guidage fixe  $r - r$ . Les coulisseaux 1 et 9 glissent dans un guidage  $t - t$ . Les points  $B$  et  $D$  tracent une strophoïde, le point  $B$  décrivant la partie  $p - p$  de la strophoïde et le point  $D$  la partie  $q - q$  qui est l'image de la partie  $p - p$  par rapport à l'axe  $Ox$ . L'équation de la strophoïde ainsi tracée s'écrit:

$$y^2 = x^2 \frac{a-x}{a+x}.$$

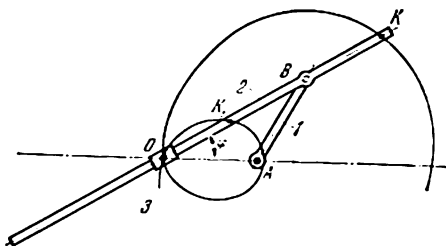


L'élément 1, tournant sur un axe fixe  $B$ , forme un couple de rotation  $C$  avec le coulisseau 4 qui glisse dans un guide fixe  $p - p$  dont l'axe est perpendiculaire à l'axe  $Ox$ . La traverse  $t - t$  de l'élément 3, dont l'axe est perpendiculaire à l'axe  $Bq$  de l'élément 1, forme un couple de translation avec le coulisseau en croisillon 2, les axes de guidage de ce dernier étant perpendiculaires entre eux. L'élément 5, tournant autour d'un axe fixe  $O$ , forme un couple de translation avec le coulisseau 2. Lorsque l'élément 1 tourne autour de l'axe  $B$ , le point  $D$  décrit une strophoïde  $s - s$  ayant pour équation

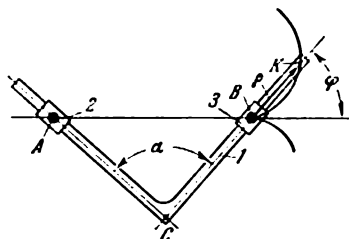
$$\rho_D = OD = a \frac{\cos 2\varphi}{\cos \varphi},$$

où  $\varphi$  est l'angle polaire formé par le vecteur  $\rho_D$  avec l'axe polaire  $Ox$ .





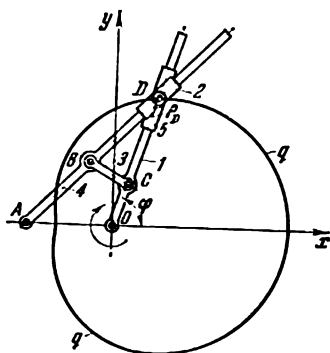
La manivelle 1, tournant sur un axe fixe A, forme un couple de rotation B avec l'élément 2 qui glisse dans le coulisseau 3, mobile autour d'un axe fixe O. Lorsque la manivelle 1 tourne autour de l'axe A, le point K (et  $K_1$ ) décrit le limaçon de Pascal dont l'équation exprimée en coordonnées polaires par rapport au centre O s'écrit sous la forme  $\rho_K = 2r \cdot \cos \varphi \pm b$ , où  $b = KB = BK_1$ ;  $r = OA$ ;  $\rho_K$ , le rayon vecteur mené du centre O au point K ( $K_1$ );  $\varphi$ , un angle polaire.



Lorsque la coulisse coudée 1 se déplace dans les guidages 2 et 3 qui tournent autour des axes fixes A et B, le point K de la coulisse décrit une cardioïde ayant pour équation

$$\rho = b - 2a \frac{\sin(\alpha + \varphi)}{\sin \alpha},$$

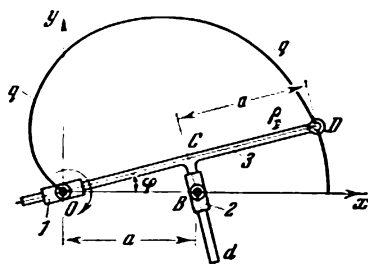
où  $a = \frac{AB}{2}$  ;  $b = CK$  ;  $\rho = BK$  ;  $\varphi$  est un angle polaire ;  $\alpha$ , l'angle ACB de la coulisse coudée 1. Pour  $\alpha = \pi/2$  et  $a = b$ , l'équation de la cardioïde sera de la forme  $\rho = 2a(1 - \cos \varphi)$ .



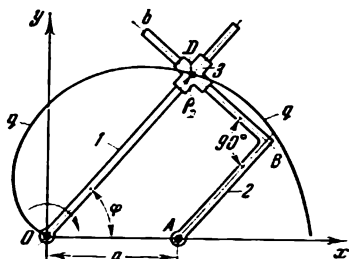
Les longueurs des éléments satisfont aux conditions:  $AB = AO = a$  et  $BC = CO = f$ . La figure  $ABCO$  est un rhomboïde. L'élément 1, tournant autour d'un axe fixe  $O$ , forme un couple de rotation  $C$  avec l'élément 3 et un couple de translation avec le coulisseau 5. L'élément 4, mobile autour d'un axe fixe  $A$ , forme un couple de rotation  $B$  avec l'élément 3 et un couple de translation avec le coulisseau 2. Ce dernier forme un couple de rotation  $D$  avec le coulisseau 5. Lorsque l'élément 1 tourne autour de l'axe  $O$ , le point  $D$  décrit le limaçon de Pascal qui a pour équation

$$\rho_D = OD = a \cos \varphi + b,$$

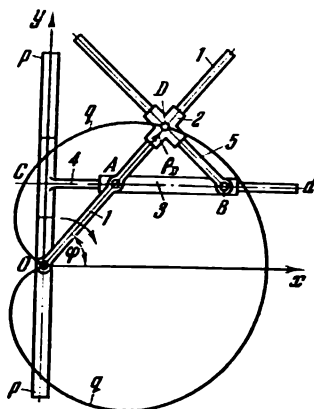
où  $a = \frac{2df^2}{d^2 - f^2}$ ;  $b = \frac{2d^2f}{d^2 - f^2}$  et  $\varphi$  est l'angle polaire formé par le vecteur  $\rho_D$  avec l'axe polaire  $Ox$ .



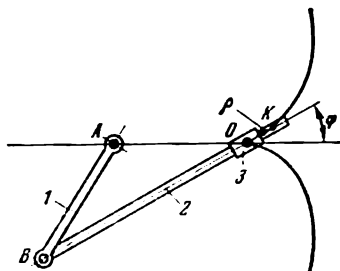
Les longueurs des éléments du mécanisme satisfont à la condition  $OB = CD = a$ . Le coulisseau 1 est mobile autour d'un axe fixe  $O$ . L'élément 3 forme des couples de translation avec le coulisseau 1 et, par sa traverse  $Cd$ , avec le coulisseau 2 qui tourne autour d'un axe fixe  $B$ . Lorsque le coulisseau 1 tourne autour de l'axe  $O$ , le point  $D$  de l'élément 3 décrit une cardioïde  $q - q$ . La même cardioïde est décrite par le point de l'élément 3 qui se trouve du côté gauche du point  $C$  à une distance  $a$ . L'équation de la cardioïde s'écrit  $\rho_D = OD = a(1 + \cos \varphi)$ , où  $\varphi$  est l'angle polaire formé par le vecteur  $\rho_D$  avec l'axe polaire  $Ox$ .



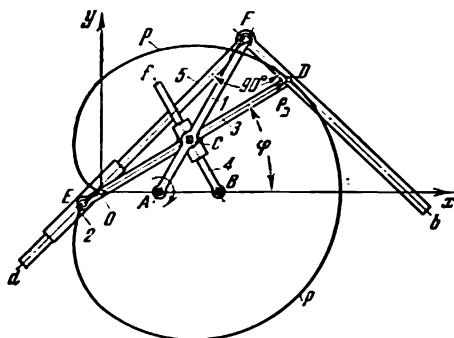
Les longueurs des éléments du mécanisme satisfont à la condition  $OA = AB = a$ . L'élément 1, mobile autour d'un axe fixe  $O$ , forme un couple de translation avec le coulisseau en croisillon 3 dont les axes de guidage sont perpendiculaires entre eux. L'élément 2 qui se présente sous la forme d'un levier coudé tourne autour d'un axe fixe  $A$  et glisse par son côté  $Bb$  dans le coulisseau 3. Lorsque l'élément 1 tourne autour de l'axe  $O$ , le point  $D$  du coulisseau 3 décrit une cardioïde  $q - q$  ayant pour équation  $\rho_D = OD = = a(1 + \cos \varphi)$ , où  $\varphi$  est l'angle polaire formé par le vecteur  $\rho_D$  avec l'axe polaire  $Ox$ .



Les longueurs des éléments du mécanisme satisfont à la condition  $OA = AB = a$ . L'élément 1, tournant autour d'un axe fixe  $O$ , forme un couple de rotation  $A$  avec le coulisseau 3 glissant sur la traverse  $Cd$  du coulisseau 4. Ce dernier glisse dans un guide fixe  $p - p$  dont l'axe se confond avec l'axe  $Oy$ . L'élément 1 forme un couple de translation avec le coulisseau en croisillon 2 dont les axes de guidage sont perpendiculaires entre eux. L'élément 5 forme un couple de rotation  $B$  avec le coulisseau 3, et un couple de translation avec le coulisseau 2. Lorsque l'élément 1 tourne autour de l'axe  $O$ , le point  $D$  de l'élément 2 décrit une cardioïde  $q - q$  ayant pour équation  $\rho_D = OD = a(1 + \cos \varphi)$ , où  $\varphi$  est l'angle polaire formé par le vecteur  $\rho_D$  avec l'axe polaire  $Ox$ .



La manivelle 1, tournant sur un axe fixe  $A$ , forme un couple de rotation  $B$  avec la bielle 2 glissant dans le coulisseau 3 qui est mobile autour d'un axe fixe  $O$ . Lorsque la manivelle 1 tourne autour de l'axe  $A$ , le point  $K$  de la coulisse 2 décrit une cardioïde ayant pour équation  $\rho = 2a(1 - \cos \varphi)$  où  $a = AO = AB = BK/2$ ;  $\rho$  est le rayon vecteur mené du centre  $O$  au point  $K$ ;  $\varphi$  est l'angle polaire.

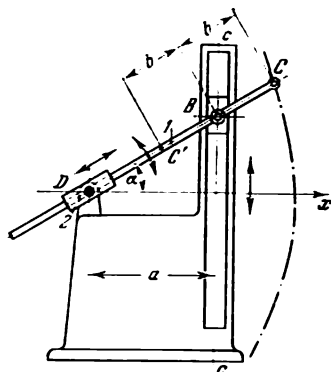


Les longueurs des éléments du mécanisme satisfont aux conditions:  $AC = OA = a$  et  $DC = CE = 2a$ . L'élément 1, tournant sur un axe fixe  $A$ , forme le couple de rotation  $C$  avec le coulisseau 3. Le coulisseau 3 glisse le long de l'axe  $Bf$  de l'élément 4, mobile autour d'un axe fixe  $B$ . L'élément 5, ayant la forme d'un levier coudé, glisse par son côté  $Fd$  dans le coulisseau 2 qui constitue le couple de rotation  $E$  avec la traverse  $ED$  du coulisseau 3. Lorsque l'élément 1 tourne autour de l'axe  $A$ , les points  $D$  et  $E$  décrivent une cardioïde  $p - p$ , tandis que les côtés  $Fb$  et  $Fd$  de l'élément 5 suivent le contour de cette cardioïde. L'équation de la cardioïde s'écrit

$$\rho_D = OD = 2a (1 + \cos \varphi),$$

où  $\varphi$  est l'angle polaire formé par le vecteur  $\rho_D$  avec l'axe polaire  $Ox$ .



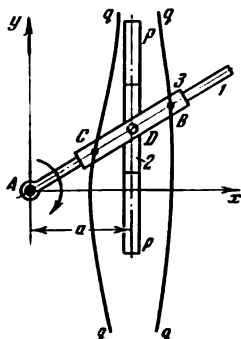


Le mécanisme est destiné à décrire la conchoïde de la droite de Nicomède. L'élément 1 glisse dans le coulisseau 2 qui tourne autour d'un axe fixe D. Les points C et C', situés à une distance b du point B, décrivent deux branches de la conchoïde de la droite c — c. En coordonnées polaires, l'équation de la conchoïde s'écrit :

$$DC = \frac{DB}{\cos \alpha} \pm b.$$

En coordonnées rectangulaires l'équation de la conchoïde s'écrit :

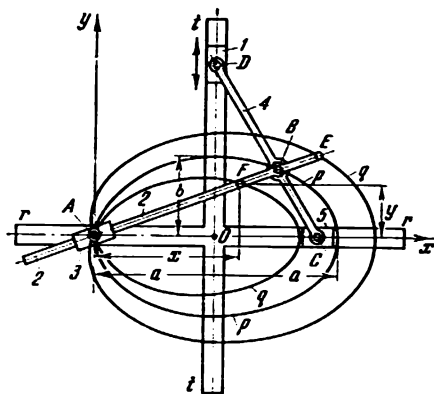
$$(x - a)^2 (x^2 + y^2) = b^2 x^2.$$



L'élément 1, tournant sur un axe fixe A, forme un couple de translation avec le coulisseau 3. Le coulisseau 3 forme le couple de rotation D avec le coulisseau 2 glissant dans un guidage fixe  $p - p$ . Lorsque l'élément 1 tourne autour de l'axe A, les points B et C du coulisseau 3, équidistants du point D, décrivent deux branches  $q - q$  de la conchoïde de Nicomède dont l'équation s'écrit :

$$(x - a)^2 (x^2 + y^2) = b^2 x^2,$$

où  $a$  est le paramètre constant du mécanisme, et  $b = DB = CD$ .

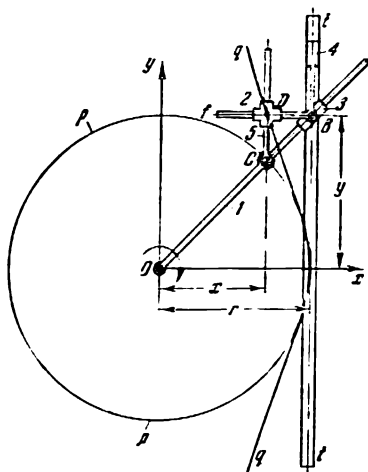


Les longueurs des éléments du mécanisme satisfont aux conditions  $BD = AO = a$  et  $BC = b$ , où  $a$  et  $b$  sont les demi-axes de l'ellipse  $p-p$ , et  $FB = BE = d$ . Le coulisseau 1 glisse dans un guide fixe  $t-t$  dont l'axe est parallèle à l'axe  $Ay$  et passe par le centre  $O$  de l'ellipse  $p-p$ . Le coulisseau 1 forme le couple de rotation  $D$  avec l'élément 4. L'élément 4 forme les couples de rotation  $B$  et  $C$  avec l'élément 2 et le coulisseau 5 glissant dans un guide fixe  $r-r$  dont l'axe se confond avec l'axe  $Ax$ . L'élément 2 forme un couple de translation avec le coulisseau 3 mobile autour d'un axe fixe  $A$ . Lorsque le coulisseau 1 se déplace dans le guide  $t-t$ , le point  $B$  de l'élément 4 décrit l'ellipse  $p-p$ , et les points  $F$  et  $E$  de l'élément 2 décrivent la conchoïde  $q-q$  de l'ellipse  $p-p$ , qui a pour équation

$$(y^2 + x^2)(a^2y^2 + b^2x^2 - 2abx^2) = d(a^2y^2 + b^2x^2)^2.$$

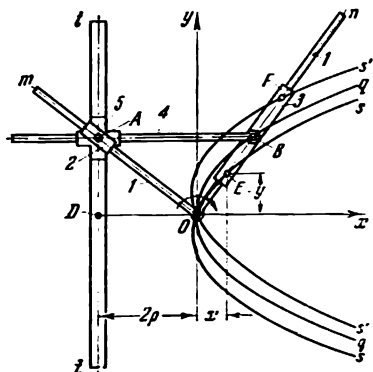
Si  $d = 2a$ , les points  $F$  et  $E$  décrivent la cardioïde de l'ellipse  $p-p$ , qui a pour équation

$$(y^2 + x^2)(a^2y^2 + b^2x^2 - 2abx^2) = 4a^2(a^2y^2 + b^2x^2)^2.$$



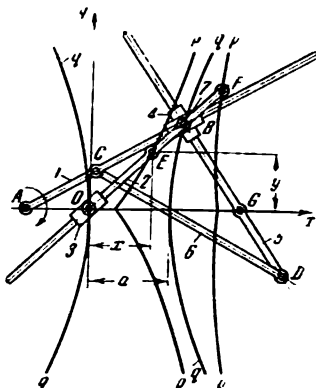
Les longueurs des éléments du mécanisme satisfont à la condition  $OC = r$ , où  $r$  est le rayon de la circonférence  $p - p$ . L'axe du guidage  $t - t$  est tangent à la circonférence  $p - p$ . L'élément 1, qui tourne autour d'un axe fixe  $O$ , forme le couple de rotation  $C$  avec l'élément 5 et un couple de translation avec le coulisseau 3. Le coulisseau 4 glisse dans le guidage fixe  $t - t$ , dont l'axe est parallèle à l'axe  $Oy$ , et forme les couples de rotation  $B$  avec le coulisseau 3 et la traverse  $Bf$ . L'axe de la traverse  $Bf$  est parallèle à l'axe  $Ox$ . Le coulisseau 4 forme un couple de translation avec le coulisseau en croisillon 2 dont les axes de guidage sont perpendiculaires entre eux. L'élément 5 et le coulisseau 2 constituent un couple de translation. Lorsque l'élément 1 tourne autour de l'axe  $O$ , le point  $D$  du coulisseau 2 décrit la conchoïde de Külp  $q - q$  ayant pour équation

$$x^2 (r^2 + y^2) = r^4.$$



Les longueurs des éléments du mécanisme satisfont à la condition  $DO = 2p$ , où  $p$  est le paramètre focal de la parabole  $q - q$ . L'élément 1, qui a la forme d'un levier coudé à angle droit, tourne autour d'un axe fixe  $O$ , en formant par son côté  $On$  un couple de translation avec le coulisseau 3 et par son côté  $Om$  un couple de translation avec le coulisseau 2. L'élément 4 forme un couple de rotation  $B$  avec le coulisseau 3 et un couple de translation avec le coulisseau en croisillon 5 dont les axes de guidage sont perpendiculaires entre eux. Le coulisseau 5 glisse dans un guidage fixe  $t - t$ , dont l'axe est parallèle à l'axe  $Oy$ , et forme un couple de rotation  $A$  avec le coulisseau 2. Lorsque l'élément 1 tourne autour de l'axe  $O$ , le point  $B$  décrit la parabole  $q - q$ , et les points  $E$  et  $F$  décrivent les branches de la conchoïde  $s - s$  de la parabole  $q - q$ . L'équation de la conchoïde  $s - s$  est de la forme

$$(y^2 + x^2)(y^2 - 2px)^2 = d^2y^4.$$

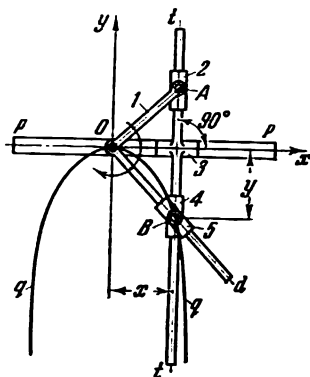


Les longueurs des éléments du mécanisme satisfont aux conditions suivantes :

$$AC = GD ; CD = AG = 2c = 2\sqrt{a^2 + b^2} ; BE = BF = d \\ \text{et } AO = c - a,$$

où  $a$  et  $b$  sont les demi-axes, réel et imaginaire, de l'hyperbole et  $c$ , la distance entre les foyers de l'hyperbole. La figure  $ACDG$  est un antiparallélogramme. L'élément 1, tournant sur un axe fixe  $A$ , forme un couple de rotation  $C$  avec l'élément 6 et un couple de translation avec le coulisseau 7. L'élément 6 forme un couple de rotation  $D$  avec l'élément 5 qui tourne autour d'un axe fixe  $G$ . L'élément 5 forme un couple de translation avec le coulisseau 4 qui forme un couple de rotation  $B$  avec le coulisseau 7. L'élément 2 constitue des couples de rotation  $B$  avec les coulisseaux 4 et 7 et un couple de translation avec le coulisseau 3, mobile autour d'un axe fixe  $O$ . Lorsque l'élément 1 tourne autour de l'axe  $A$ , le point  $B$  décrit une branche de l'hyperbole  $q - q$ , et les points  $E$  et  $F$  décrivent une branche de la conchoïde  $p - p$  de l'hyperbole  $q - q$ . L'équation de la conchoïde  $p - p$  s'écrit

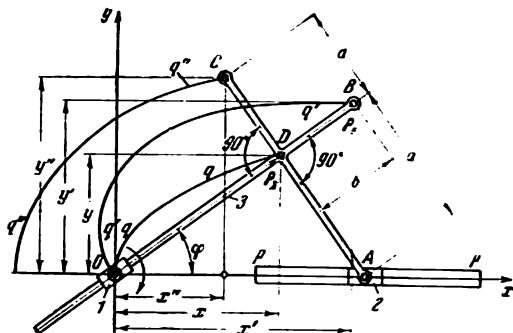
$$(y^2 + x^2)(b^2x^2 - a^2y^2 - 2ab^2x) = d^2(b^2x^2 - a^2y^2).$$



L'élément 1, qui a la forme d'un levier coudé dont l'angle  $AOd$  est égal à  $90^\circ$ , tourne sur un axe fixe  $O$  en formant le couple de rotation  $A$  avec le coulisseau 2. Le coulisseau 2 se déplace le long de la traverse  $t - t$  du coulisseau 3 glissant dans un guidage fixe  $p - p$  dont l'axe coïncide avec l'axe  $Ox$ . Par son côté  $Od$ , l'élément 1 glisse dans le coulisseau 5 qui forme le couple de rotation  $B$  avec le coulisseau 4. Ce dernier glisse le long de la traverse  $t - t$  du coulisseau 3. Lorsque l'élément 1 tourne autour de l'axe  $O$ , le point  $B$  décrit le cappa qui a pour équation

$$y^2 = \frac{x^4}{a^2 - x^2},$$

où  $a = OA$ .



Le coulisseau 1 tourne autour d'un axe fixe  $O$ . L'élément 3, qui a la forme d'un levier en croix, constitue un couple de translation avec le coulisseau 1, et un couple de rotation  $A$  avec le coulisseau 2 glissant dans un guidage fixe  $p-p$  dont l'axe coïncide avec l'axe  $Ox$ . Lorsque le coulisseau 1 tourne autour de l'axe  $O$ , le point  $D$  de l'élément 3 décrit le cappa  $q-q$  ayant pour équation

$$\rho_D = OD = \frac{a}{\operatorname{tg} \varphi} \quad \text{ou} \quad a^2 x^2 = y^2 (x^2 + y^2).$$

Le point  $B$  de l'élément 3 décrit la conchoïde  $q'-q'$  du cappa dont l'équation est  $\rho_B = OB = \frac{a}{\operatorname{tg} \varphi} \pm b$  ou  $(ax' + by')^2 = y'^2 (x'^2 + y'^2)$ . Le point  $C$  de l'élément 3 décrit l'orthoconchoïde  $q''-q''$  du cappa qui a pour équation

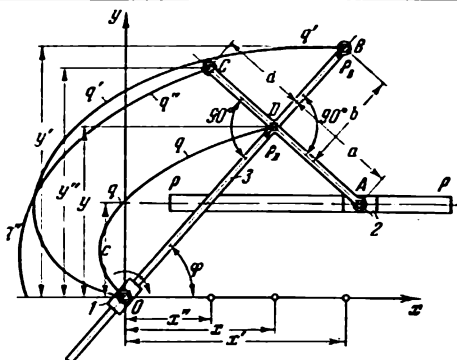
$$\rho_C = OC = \sqrt{\frac{a^2}{\operatorname{tg}^2 \varphi} + d^2}$$

ou

$$x'^2 [(a + d)^2 - y'^2] = [y'^2 - d(a + d)]^2,$$

$a$ ,  $b$  et  $d$  étant les paramètres constants du mécanisme,  $\varphi$ , l'angle polaire formé par le vecteur  $\rho_D$  avec l'axe polaire  $Ox$ .





Le coulisseau 1 tourne autour d'un axe fixe  $O$ . L'élément 3, qui a la forme d'un levier en croisillon, constitue un couple de translation avec le coulisseau 1 et un couple de rotation  $A$  avec le coulisseau 2 glissant dans un guidage fixe  $p-p$  dont l'axe est parallèle à l'axe  $Ox$ . Lorsque le coulisseau 1 tourne autour de l'axe  $O$ , le point  $D$  de l'élément 3 décrit le pancappa  $q-q'$  qui a pour équation

$$\rho_D = OD = \frac{c}{\sin \varphi} + \frac{a}{\operatorname{tg} \varphi}$$

ou  $a^2 x^2 = (y - c)^2 (x^2 + y^2)$ . Le point  $B$  de l'élément 3 décrit la conchoïde  $q''-q'''$  du pancappa, qui a pour équation

$$\rho_B = OB = \frac{c}{\sin \varphi} + \frac{a}{\operatorname{tg} \varphi} \pm b$$

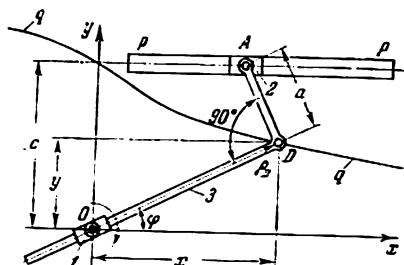
ou  $(ax' + by')^2 = (y' - c)^2 (x'^2 + y'^2)$ .

Le point  $C$  de l'élément 3 décrit l'orthoconchoïde  $q''-q'''$  du pancappa, qui a pour équation

$$\rho_C = OC = \sqrt{\left(\frac{c}{\sin \varphi} + \frac{a}{\operatorname{tg} \varphi}\right)^2 + d^2}$$

ou  $x'^2 [(a+d)^2 - (y'-c)^2] = [(y'-c) - d(c+d)]^2$ ,

où  $a, b, c$  et  $d$  sont les paramètres constants du mécanisme, qui satisfont à la condition  $c < a$ , et  $\varphi$ , l'angle polaire formé par le vecteur  $\rho_D$  avec l'axe polaire  $Ox$ .



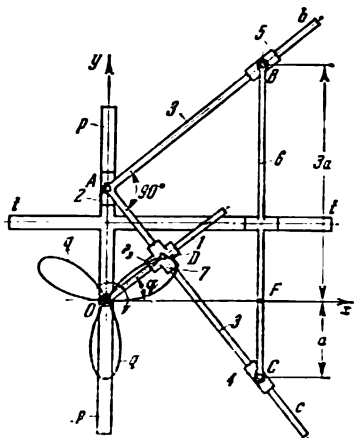
Le coulisseau 1 tourne autour d'un axe fixe  $O$ . L'élément 3 ayant la forme d'un levier coudé constitue un couple de translation avec le coulisseau 1 et un couple de rotation  $A$  avec le coulisseau 2 qui glisse dans un guidage fixe  $p - p$  dont l'axe est parallèle à l'axe  $Ox$ . Lorsque le coulisseau 1 tourne autour de l'axe  $O$ , le point  $D$  de l'élément 3 décrit le pancappa ayant pour équation

$$\rho_D = OD = \frac{c - a \cos \varphi}{\sin \varphi}$$

ou

$$a^2 x^2 = (c - y)^2 (x^2 + y^2),$$

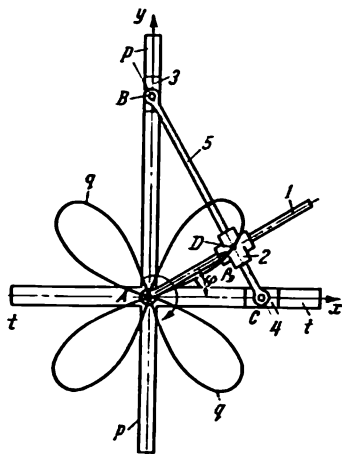
$a$  et  $c$  étant les paramètres constants du mécanisme, qui satisfont à la condition  $c > a$ , et  $\varphi$ , l'angle polaire formé par le vecteur  $\rho_D$  avec l'axe polaire  $Ox$ .



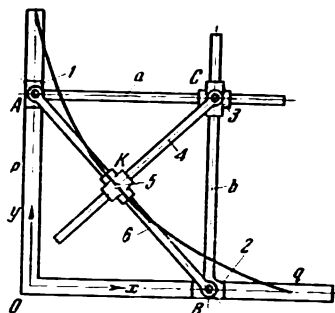
Les longueurs des éléments du mécanisme satisfont aux conditions:  $FC = a$  et  $BF = 3a$ . L'élément 1, mobile autour d'un axe fixe  $O$ , forme un couple de translation avec le coulisseau en croix 7 dont les axes de guidage sont perpendiculaires entre eux. L'élément 3, qui a la forme d'un levier coudé dont l'angle est de  $90^\circ$  au point  $A$ , forme un couple de rotation  $A$  avec le coulisseau 2 glissant dans un guidage fixe  $p - p$  dont l'axe se confond avec l'axe  $Oy$ . Par son côté  $Ab$ , l'élément 3 forme un couple de translation avec le coulisseau 5, et par son côté  $Ac$ , un couple de translation avec le coulisseau 4. Le coulisseau 6 glisse dans un guidage fixe  $t - t$  dont l'axe est parallèle à l'axe  $Ox$  et constitue des couples de rotation  $B$  et  $C$  avec les coulisseaux 5 et 4. Lorsque l'élément 1 tourne autour de l'axe  $O$ , le point  $D$  du coulisseau 7 décrit la rosace à trois feuilles  $q - q$ , qui a pour équation

$$\rho_D = OD = a \sin 3\varphi,$$

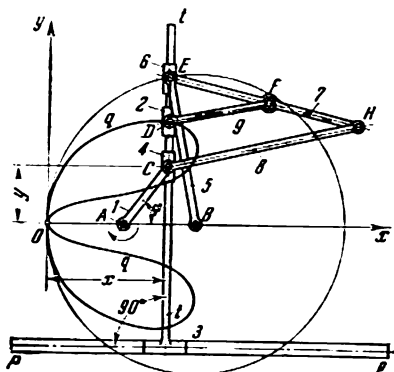
où  $\varphi$  est l'angle polaire formé par le vecteur  $\rho_D$  avec l'axe polaire  $Ox$ .



L'élément 1, tournant sur un axe fixe A, forme un couple de translation avec le coulisseau en croix 2 dont les axes de guidage sont perpendiculaires entre eux. L'élément 5 forme un couple de translation avec l'élément 2 et des couples de rotation B et C avec les coulisseaux 3 et 4. Le coulisseau 3 glisse dans un guidage fixe  $p - p$ , dont l'axe se confond avec l'axe  $Ay$ , tandis que le coulisseau 4 glisse dans un guidage fixe  $t - t$  dont l'axe coïncide avec l'axe  $Ax$ . Lorsque l'élément 1 tourne autour de l'axe A, le point D du coulisseau 2 décrit la rosace à quatre feuilles  $q - q$  qui a pour équation  $\rho_D = AD = a \sin 2\varphi$ , où  $\varphi$  est l'angle polaire formé par le vecteur  $\rho_D$  avec l'axe polaire  $Ax$ ;  $a = 0,5 BC$ .

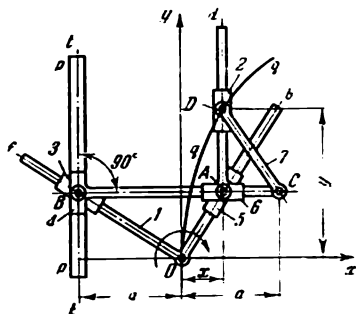


Les coulisseaux 1 et 2 glissent dans les guidages fixes  $p$  et  $q$  dont les axes sont perpendiculaires entre eux. Les bras  $a$  et  $b$  des coulisseaux 1 et 2 glissent dans le coulisseau en croix 3 dont les axes de guidage sont perpendiculaires entre eux. L'élément 4, formant un couple de rotation  $C$  avec le coulisseau 3, glisse dans le coulisseau en croix 5. Le coulisseau 5 glisse le long de l'axe de l'élément 6 en formant des couples de rotation  $A$  et  $B$  avec les coulisseaux 1 et 2. Lors du mouvement des coulisseaux 1 et 2 le long des guidages  $p$  et  $q$ , le point  $K$  décrit un arc d'astroïde ayant pour équation  $x^{2/3} + y^{2/3} = l^{2/3}$ , où  $l = AB$ . La droite  $AB$  suit le contour de cette astroïde.



Les longueurs des éléments du mécanisme satisfont aux conditions:  $AC = AB = a$ ;  $BE = 2a$ ;  $CH:DF = HE:FE = 2$ . L'élément 1, mobile autour d'un axe fixe A, forme un couple de rotation C avec le coulisseau 4 glissant le long de la traverse  $t-t$  du coulisseau 3 qui, à son tour, glisse le long d'un guidage fixe  $p-p$  dont l'axe est parallèle à l'axe  $Ox$ . L'élément 8 forme des couples de rotation C et H avec le coulisseau 4 et l'élément 7 qui constitue des couples de rotation E et F avec le coulisseau 6 et l'élément 9. L'élément 9 constitue un couple de rotation D avec le coulisseau 2 glissant le long de la traverse  $t-t$  du coulisseau 3. L'élément 5, mobile autour d'un axe fixe B, forme un couple de rotation E avec le coulisseau 6 qui, lui aussi, glisse le long de la traverse  $t-t$ . Lorsque l'élément 1 tourne autour de l'axe A, le point D décrit la parabole virtuelle  $q-q$  de Cramer dont l'équation s'écrit

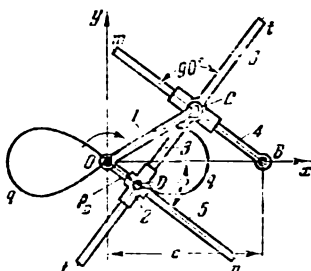
$$2y = \sqrt{x(2a-x)} + \sqrt{x(4a-x)}.$$



L'élément 1, qui a la forme d'un levier coudé d'angle droit au point  $O$ , tourne sur un axe fixe  $O$  et glisse par son côté  $Of$  dans le coulisseau 3, et par son côté  $Ob$  dans le coulisseau 5. Le coulisseau 3 forme un couple de rotation  $B$  avec le coulisseau 4 qui glisse dans un guidage fixe  $p - p$  dont l'axe  $t - t$  est parallèle à l'axe  $Oy$ . Par sa traverse  $BC$ , le coulisseau 4 forme un couple de rotation  $C$  avec l'élément 7. Ce dernier forme un couple de rotation  $D$  avec le coulisseau 2 glissant le long de la traverse  $Ad$  qui appartient au coulisseau 6. La direction  $Ad$  est parallèle à l'axe  $Oy$ . Les coulisseaux 5 et 6 constituent un couple de rotation  $A$ . Lorsque l'élément 1 tourne autour de l'axe  $O$ , le point  $D$  décrit la parabole  $q - q$  de Cramer qui a pour équation

$$y = \sqrt{ax} - \sqrt{2ax - x^2},$$

$a$  étant le paramètre constant du mécanisme.



Les longueurs des éléments du mécanisme satisfont aux conditions suivantes :

$$OC = a; \quad OB = c = \sqrt{a^2 + b^2} \quad \text{et} \quad a < c,$$

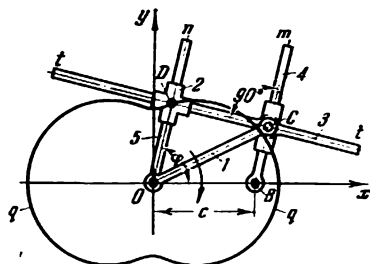
où  $a$  et  $b$  sont les demi-axes, réel et imaginaire, d'une hyperbole. L'élément 1 tourne sur un axe fixe  $O$  et forme un couple de rotation  $C$  avec le coulisseau 3 glissant le long de l'axe  $Bm$  de l'élément 4. Ce dernier tourne sur un axe fixe  $B$ . La traverse  $t - t$  du coulisseau 3 forme un couple de translation avec le coulisseau en croix 2 aux axes de guidage perpendiculaires entre eux. Le coulisseau 2 glisse le long de l'axe  $On$  de l'élément 5 tournant autour de l'axe fixe  $O$ . Si l'on fixe le centre  $O$  au centre de l'hyperbole et le centre  $B$  à l'un de ses foyers, lors de la rotation de l'élément 1 autour de l'axe  $O$  le point  $D$  du coulisseau 2 décrit la podaire  $q - q$  de l'hyperbole, qui a pour équation

$$\rho_D = OD = \sqrt{a^2 - c^2 \sin^2 \varphi} \quad \text{ou} \quad (x^2 + y^2)^2 = a^2 x^2 - b^2 y^2,$$

où  $\varphi$  est l'angle polaire formé par le vecteur  $\rho_D$  avec l'axe polaire  $Ox$ . Si les longueurs des éléments du mécanisme satisfont à la condition  $c = \sqrt{2a}$ , le point  $D$  décrit la lemniscate de Bernoulli ayant pour équation

$$\rho_D = OD = a \sqrt{2 \cos^2 \varphi} \quad \text{ou} \quad (x^2 - y^2)^2 = 4a^2 (x^2 - y^2).$$





Les longueurs des éléments du mécanisme satisfont aux conditions:

$$OC = a; \quad OB = c = \sqrt{a^2 - b^2} \quad \text{et} \quad a > c,$$

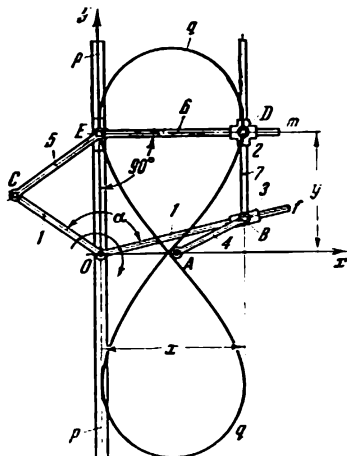
où  $a$  et  $b$  sont les demi-axes d'une ellipse. L'élément 1 tourne sur un axe fixe  $O$  et forme un couple de rotation  $C$  avec le coulisseau 3. L'élément 3 glisse le long de l'axe  $Bm$  de l'élément 4 qui tourne autour d'un axe fixe  $B$ . La traverse  $t - t$  du coulisseau 3 forme un couple de translation avec le coulisseau en croix 2 dont les axes de guidage sont perpendiculaires entre eux. Le coulisseau 2 glisse le long de l'axe  $On$  de l'élément 5, mobile autour de l'axe fixe  $O$ . Si l'on fixe le centre  $O$  au centre de l'ellipse et le centre  $B$  à l'un de ses foyers, lors de la rotation de l'élément 1 autour de l'axe  $O$  le point  $D$  du coulisseau 2 décrit la podaire  $q - q$  de l'ellipse, qui a pour équation

$$\rho_D = OD = \sqrt{a^2 - c^2 \sin^2 \varphi}$$

ou

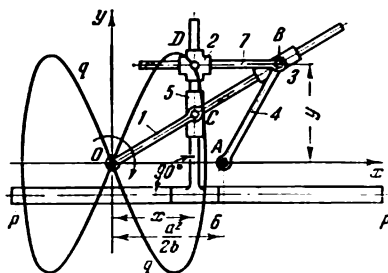
$$(x^2 + y^2)^2 = a^2 x^2 + b^2 y^2,$$

$\varphi$  étant l'angle polaire formé par le vecteur  $\rho_D$  avec l'axe  $Ox$ .



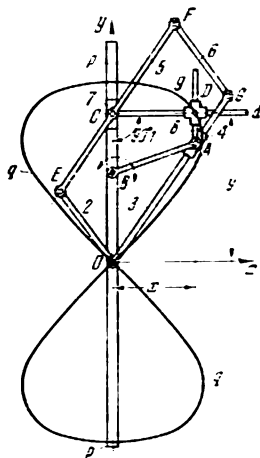
Les longueurs des éléments du mécanisme satisfont aux conditions:  $AB = OA = a$ ;  $OC = CE = d$  et  $\operatorname{tg} \alpha = b/a$ , où  $\alpha$  est l'angle rigide  $COF$  et  $b = \sqrt{d^2 - a^2}$ . L'élément 1, qui a la forme d'un levier coudé d'angle rigide  $\alpha$  au point  $O$ , tourne sur un axe fixe  $O$  en formant un couple de rotation  $C$  avec l'élément 5 et un couple de translation avec le coulisseau 3. Le coulisseau 3 forme des couples de rotation  $B$  avec l'élément 4, mobile autour d'un axe fixe  $A$ , et avec l'élément 7 glissant dans le coulisseau en croix 2 dont les axes de guidage sont perpendiculaires entre eux. L'élément 5 forme un couple de rotation  $E$  avec le coulisseau 6 glissant le long d'un guidage fixe  $p - p$  dont l'axe coïncide avec l'axe  $Oy$ . Lorsque l'élément 1 tourne autour de l'axe  $O$ , le point  $D$  du coulisseau 2 décrit la parabole virtuelle  $q - q$  de Vincentio qui a pour équation

$$y = \sqrt{2ax} - \sqrt{4b^2 - \frac{2b^2}{a}x}.$$



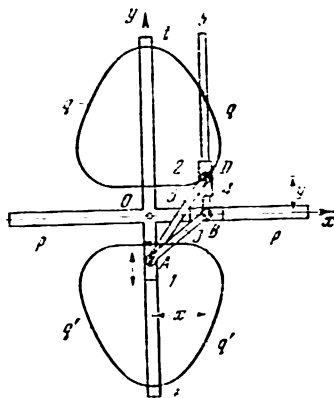
Les longueurs des éléments du mécanisme satisfont aux conditions:  $OC = a$  et  $OA = AB = a^2/2b$ , où  $b$  est une constante arbitraire. L'élément 1 tourne sur un axe fixe  $O$  et forme un couple de rotation  $C$  avec le coulisseau 5 et un couple de translation avec le coulisseau 3. L'élément 4 forme un couple de rotation  $B$  avec le coulisseau 3 et tourne autour d'un axe fixe  $A$ . Le coulisseau 5 glisse le long de la traverse du coulisseau 6 qui glisse dans un guidage fixe  $p - p$  dont l'axe est parallèle à l'axe  $Ox$ . L'élément 7 forme un couple de rotation  $B$  avec le coulisseau 3 et glisse dans le coulisseau en croix 2 dont les axes de guidage sont perpendiculaires entre eux. Le coulisseau 2 glisse le long de la traverse du coulisseau 6. Lorsque l'élément 1 tourne autour de l'axe  $O$ , le point  $D$  du coulisseau 2 décrit la lemniscate de Sluse ayant pour équation

$$(a^2 - x^2) x^2 = b^2 y^2.$$



Les éléments du mécanisme satisfont aux conditions:  $EF = OG$ ;  $OE = EC = FC = BA = OB = a/2$ . La figure  $EFGO$  est un parallélogramme. L'élément 1 tourne sur un axe fixe  $B$  et forme un couple de rotation  $A$  avec le coulisseau 4. Le coulisseau 4 glisse le long de l'axe de l'élément 3 qui tourne autour d'un axe fixe  $O$ . L'élément 5 forme des couples de rotation  $E$ ,  $F$  et  $C$  avec les éléments 2 et 6 et le coulisseau 7 glissant dans un guidage fixe  $p - p$  dont l'axe coïncide avec l'axe  $Oy$ . L'élément 2 tourne autour de l'axe fixe  $O$ . L'élément 6 constitue un couple de rotation  $G$  avec l'élément 3. L'élément 8 constitue un couple de rotation  $A$  avec le coulisseau 4 et glisse dans le coulisseau en croix 9 dont les axes de guidage sont perpendiculaires entre eux. Le coulisseau 9 glisse sur la traverse  $Cd$  du coulisseau 7. Lorsque l'élément 1 tourne, le point  $D$  du coulisseau 9 décrit la lemniscate de Gerono  $q - q$  qui a pour équation

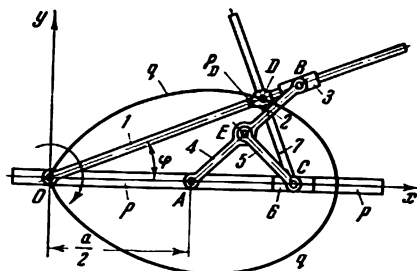
$$y^4 = a^4 (y^2 - x^2).$$



Les longueurs des éléments du mécanisme satisfont aux conditions:  $AD = a\sqrt{2}$  et  $AB = a$ . Le coulisseau 1 glisse dans un guidage fixe  $t - t$ , dont l'axe coïncide avec l'axe  $Oy$ , et forme des couples de rotation  $A$  avec les éléments 3 et 5. L'élément 3 forme un couple de rotation  $B$  avec le coulisseau 4 glissant dans un guidage fixe  $p - p$  dont l'axe coïncide avec l'axe  $Ox$ . L'élément 5 forme un couple de rotation  $D$  avec le coulisseau 2 qui glisse le long de la traverse du coulisseau 4 dont l'axe  $Bd$  est parallèle à l'axe  $Oy$ . Lors du mouvement du coulisseau 1 dans le guidage  $t - t$ , le point  $D$  décrit la branche supérieure de la courbe polyzomale de Bernoulli qui a pour équation

$$y = \sqrt{2a^2 - x^2} + \sqrt{a^2 - x^2}.$$

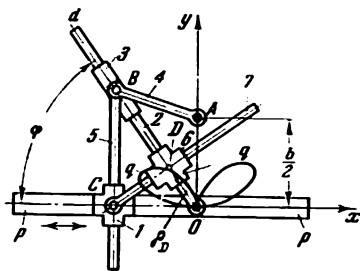
Pour tracer la branche inférieure  $q' - q'$  de cette courbe, il faut disposer le mécanisme symétriquement par rapport à l'axe  $Ox$ .



Les longueurs des éléments du mécanisme satisfont aux conditions:  $AB = OA = a/2$  et  $AE = EB = EC = a/4$ . L'élément 1, tournant autour d'un axe fixe  $O$ , forme un couple de translation avec le coulisseau en croix 2, dont les axes de guidage sont perpendiculaires entre eux, et un couple de translation avec le coulisseau 3. L'élément 4 tourne sur un axe fixe  $A$  et forme des couples de rotation  $E$  et  $B$  avec l'élément 5 et avec le coulisseau 3. Les éléments 5 et 7 constituent des couples de rotation  $C$  avec le coulisseau 6 glissant dans un guidage fixe  $p - p$ . Lorsque l'élément 1 tourne autour de l'axe  $O$ , le point  $D$  du coulisseau 2 décrit un folium simple ayant pour équation

$$\rho_D = OD = a \cos^3 \varphi \text{ ou } (x^2 + y^2)^2 = ax^3,$$

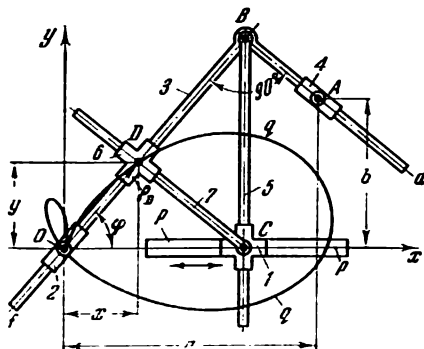
où  $\varphi$  est l'angle polaire formé par le vecteur  $\rho_D$  avec l'axe polaire  $Ox$ .



Les longueurs des éléments du mécanisme satisfont à la condition  $AB = AO = b/2$ . Le coulisseau en croix 1, dont les axes de guidage sont perpendiculaires entre eux, glisse dans un guidage fixe  $p - p$ . L'élément 5 forme un couple de translation avec le coulisseau 1 et un couple de rotation B avec le coulisseau 3. Le coulisseau 3 glisse le long de l'axe  $Od$  de l'élément 2 tournant autour d'un axe fixe  $O$ . L'élément 7 forme un couple de rotation  $C$  avec le coulisseau 1 et un couple de translation avec le coulisseau en croix 6 dont les axes de guidage sont perpendiculaires entre eux. L'élément 4 tourne sur un axe fixe  $A$  et forme un couple de rotation  $B$  avec le coulisseau 3. Lors du mouvement du coulisseau 1 dans le guidage  $p - p$ , le point  $D$  du coulisseau 6 décrit un folium double droit  $q - q$  qui a pour équation

$$\rho_D = OD = b \cdot \sin \varphi \cos^2 \varphi \text{ ou } (x^2 + y^2)^2 = bx^2y,$$

$\varphi$  étant l'angle polaire formé par le vecteur  $\rho_D$  avec l'axe polaire  $Ox$ .



Le coulisseau en croix 1, dont les axes de guidage sont perpendiculaires entre eux, glisse dans un guidage fixe  $p-p$ , formant un couple de rotation  $C$  avec l'élément 7. L'élément 7 glisse dans le coulisseau en croix 6 aux axes de guidage perpendiculaires entre eux. L'élément 3, qui a la forme d'un levier coudé, glisse par son côté  $Bd$  dans le coulisseau 4, mobile autour d'un axe fixe  $A$ , et par son côté  $Bf$ , dans le coulisseau 2 tournant autour d'un axe fixe  $O$ . L'élément 5 constitue un couple de rotation  $B$  avec l'élément 3 et glisse dans le coulisseau 1. Lors du mouvement du coulisseau 1 dans le guidage  $p-p$ , le point  $D$  décrit un folium double asymétrique  $q-q$  qui a pour équation

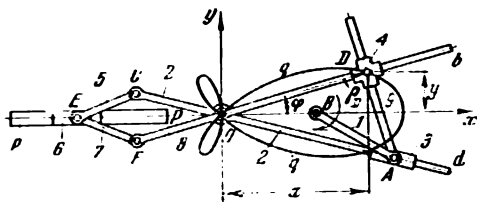
$$\rho_D = OD = a \cos^3 \varphi + b \sin \varphi \cos^2 \varphi$$

ou

$$(x^2 + y^2)^2 = x^2(ax + by),$$

$a$  et  $b$  étant les paramètres constants du mécanisme et  $\varphi$ , l'angle polaire formé par le vecteur  $\rho_D$  avec l'axe polaire  $Ox$ .





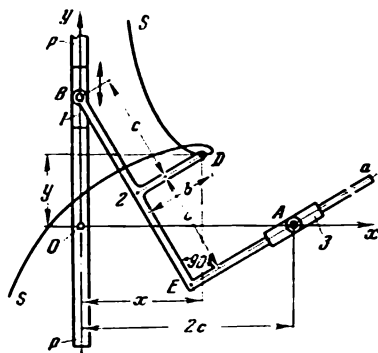
Les longueurs des éléments du mécanisme satisfont aux conditions:  $AB = OB = a$ ;  $OC = OF$  et  $CE = FE$ . La figure  $ECOF$  est un rhomboïde. L'élément 1 tourne sur un axe fixe  $B$  et forme des couples de rotation  $A$  avec l'élément 9 et le coulisseau 3. Celui-ci glisse le long de l'axe  $Od$  de l'élément 2, mobile autour d'un axe fixe  $O$ . L'élément 9 forme un couple de translation avec le coulisseau en croix 4 dont les axes de guidage sont perpendiculaires entre eux. Le coulisseau 4 glisse suivant l'axe  $Ob$  de l'élément 8, mobile autour de l'axe fixe  $O$ , et forme un couple de rotation  $F$  avec l'élément 7. L'élément 5 forme un couple de rotation  $C$  avec l'élément 2. Les éléments 5 et 7 constituent des couples de rotation  $E$  avec l'élément 6 glissant dans un guidage fixe  $p - p$ . Lorsque l'élément 1 tourne autour de l'axe  $B$ , le point  $D$  du coulisseau 4 décrit un folium triple droit  $q - q$  qui a pour équation

$$\rho_D = OD = 2a \cos \varphi \sin^2 \varphi$$

ou

$$(x^2 + y^2)^2 = 2ax(x^2 - y^2),$$

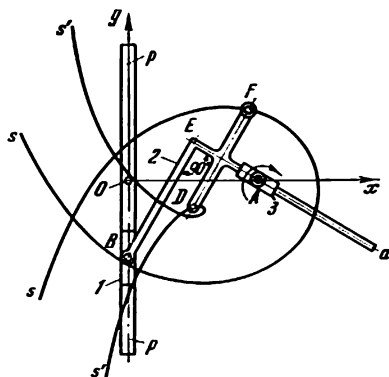
$\varphi$  étant l'angle polaire formé par le vecteur  $\rho_D$  avec l'axe polaire  $Ox$ .



Le coulisseau 1 glisse dans un guidage fixe  $p - p$  et forme un couple de rotation  $B$  avec l'élément 2 qui a la forme d'un levier coudé d'angle droit. Le côté  $Ea$  de l'élément 2 forme un couple de translation avec le coulisseau 3, mobile autour d'un axe fixe  $A$ . Lors du mouvement du coulisseau 1 dans le guidage  $p - p$ , le point  $D$  décrit une ophiuride  $s - s$  ayant pour équation

$$(c - x)^3 = (b + y)(3bc + cy - bx + yx),$$

où  $b$  et  $c$  sont les paramètres constants du mécanisme.

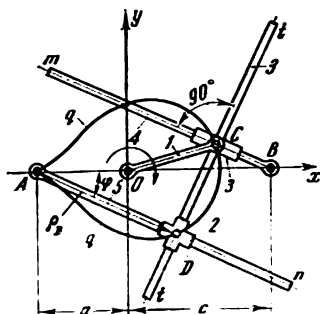


Les longueurs des éléments du mécanisme satisfont aux conditions  $BE = OA = d$  et  $\angle BEa = 90^\circ$ . Le coulisseau 1 glisse dans un guidage fixe  $p - p$  et forme un couple de rotation B avec l'élément 2 dont le côté  $Ea$  glisse dans le coulisseau 3, mobile autour d'un axe fixe A. Lorsque le coulisseau 3 tourne autour de l'axe A, le point F de l'élément 3 décrit une courbe du troisième ordre du type des courbes focales. A titre d'exemple on se reportera sur le dessin aux courbes  $s - s$  et  $s' - s'$  décrites par les points F et D.

Si les points F et D sont situés sur la droite BE, ils décrivent une conchoïde et une strophoïde, qui ont pour équation

$$y^2 = \frac{a \pm c - x}{a \pm c + x} (c - x)^2,$$

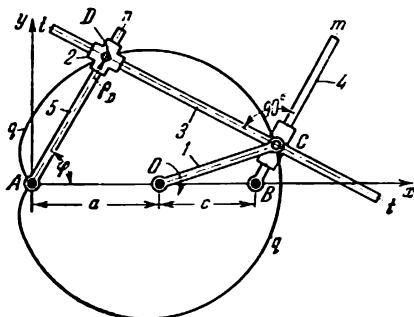
où  $a = OA$  et  $c$  est la plus courte distance des points F et D à la droite  $Ea$ .



Les longueurs des éléments du mécanisme satisfont aux conditions:  $OC = OA = a$ ,  $OB = c = \sqrt{a^2 + b^2}$  et  $a < c$ , où  $a$  et  $b$  sont les demi-axes, réel et imaginaire, d'une hyperbole. L'élément 1 tourne sur un axe fixe  $O$  et forme un couple de rotation  $C$  avec le coulisseau 3 glissant le long de l'axe  $Bm$  de l'élément 4 tournant autour d'un axe fixe  $B$ . La traverse  $t - t$  du coulisseau 3 forme un couple de translation avec le coulisseau en croix 2 dont les axes de guidage sont perpendiculaires entre eux. Le coulisseau 2 glisse le long de l'axe  $An$  de l'élément 5, mobile autour d'un axe fixe  $A$ . Si l'on fixe le centre  $O$  au centre de l'hyperbole et le centre  $B$ , à l'un de ses foyers, lors de la rotation de l'élément 1 autour de l'axe  $O$  le point  $D$  du coulisseau 2 décrit la podaire  $q - q$  de l'hyperbole par rapport à l'un de ses sommets. L'équation de la podaire  $q - q$  s'écrit:

$$\rho_D = OD = a \cos \varphi + \sqrt{a^2 - c^2} \sin^2 \varphi$$

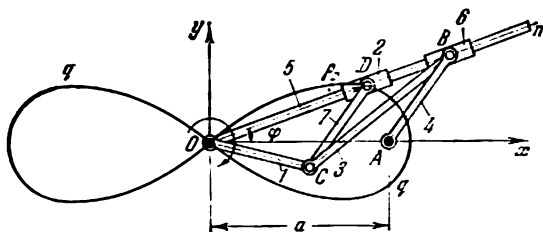
ou  $(x^2 + y^2)^2 + 2(x^2 + y^2)ax = b^2y^2$ , où  $\varphi$  est l'angle polaire formé par le vecteur  $\rho_D$  avec l'axe polaire  $Ax$ .



Les longueurs des éléments du mécanisme satisfont aux conditions:  $OC = OA = a$ ;  $OB = c = \sqrt{a^2 - b^2}$  et  $a > c$ , où  $a$  et  $b$  sont les demi-axes d'une ellipse. L'élément 1 tourne autour d'un axe fixe  $O$  et forme un couple de rotation  $C$  avec le coulisseau 3 glissant le long de l'axe  $Bm$  de l'élément 4, mobile autour d'un axe fixe  $B$ . La traverse  $t-t$  du coulisseau 3 forme un couple de translation avec le coulisseau en croix 2 dont les axes de guidage sont perpendiculaires entre eux. Le coulisseau 2 glisse le long de l'axe  $An$  de l'élément 5 tournant sur un axe fixe  $A$ . Si l'on fixe le centre  $O$  au centre de l'ellipse et le centre  $B$  à l'un de ses foyers, lors de la rotation de l'élément 1 autour de l'axe  $O$  le point  $D$  du coulisseau 2 décrit la podaire  $q-q$  de cette ellipse par rapport à l'un de ses sommets. L'équation de la podaire  $q-q$ :

$$\rho_D = OD = a \cos \varphi + \sqrt{a^2 - c^2} \sin^2 \varphi$$

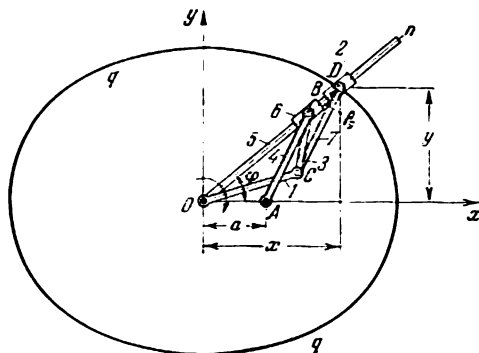
ou  $(x^2 + y^2)^2 - 2(x^2 + y^2)ax = b^2y^2$ , où  $\varphi$  est l'angle polaire formé par le vecteur  $\rho_D$  avec l'axe polaire  $Ox$ .



Les longueurs des éléments du mécanisme satisfont aux conditions:  $OA = BC = a$ ;  $OC = AB = CD = b$  et  $b < a$ . La figure  $OABC$  est un antiparallélogramme. L'élément 1 tourne sur un axe fixe  $O$  et forme des couples de rotation  $C$  avec les éléments 3 et 7. Les éléments 3 et 7 forment des couples de rotation  $B$  et  $D$  avec les coulisseaux 6 et 2 qui glissent le long de l'axe fixe  $O\eta$ . Lorsque l'élément 1 tourne autour de l'axe  $O$ , le point  $D$  décrit la lemniscate hyperbolique  $q - q$  de Bouth qui a pour équation

$$\rho_D = OD = 2 \sqrt{b^2 - a^2 \sin^2 \varphi}$$

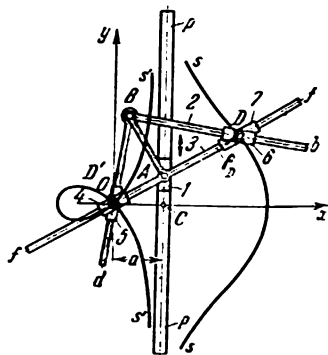
ou  $(x^2 + y^2)^2 = d^2 x^2 - f^2 y^2$ , où  $d^2 = 4b^2$ ;  $f^2 = 4(b^2 - a^2)$ , et  $\varphi$  est l'angle polaire formé par le vecteur  $\rho_D$  avec l'axe polaire  $Ox$ . Si les longueurs des éléments du mécanisme satisfont à la condition  $a = b\sqrt{2}$ , le point  $D$  décrit la lemniscate de Bernoulli.



La figure  $OABC$  est un antiparallélogramme. L'élément 1 tourne sur un axe fixe  $O$  et forme des couples de rotation  $C$  avec les éléments 3 et 7. Les éléments 3 et 7 forment des couples de rotation  $B$  et  $D$  avec les coulisseaux 6 et 2 qui glissent le long de l'axe  $On$  de l'élément 5 mobile autour de l'axe fixe  $O$ . L'élément 4 tourne sur un axe fixe  $A$  et forme un couple de rotation  $B$  avec le coulisseau 6. Lorsque l'élément 1 tourne autour de l'axe  $O$ , le point  $D$  décrit une lemniscate elliptique  $q - q$  qui a pour équation

$$\rho_D = OD = 2 \sqrt{b^2 - a^2 \sin^2 \varphi}$$

ou  $(x^2 + y^2)^2 = d^2 x^2 + f^2 y^2$ , avec  $d^2 = 4b^2$ ;  $f^2 = 4(b^2 - a^2)$  et  $\varphi$  est l'angle polaire formé par le vecteur  $\rho_D$  avec l'axe polaire  $Ox$ .

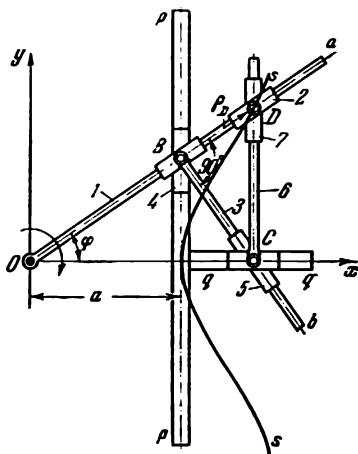


Le coulisseau 1 glisse dans un guidage fixe  $p - p$  et forme un couple de rotation  $A$  avec l'élément 3 dont la traverse  $f - f$  glisse dans les coulisseaux 4 et 7. Le coulisseau 4 est mobile autour d'un axe fixe  $O$  et forme un couple de rotation avec le coulisseau 5, mobile lui aussi autour de l'axe  $O$ . L'élément 2, ayant la forme d'un levier coudé dont l'angle  $dBb = 90^\circ$ , forme un couple de rotation  $B$  avec l'élément 3 et glisse par son côté  $Bb$  dans le coulisseau 6, et par son côté  $Bd$  dans le coulisseau 5. Lorsque le coulisseau 1 se déplace dans le guidage  $p - p$ , le point  $D$  décrit la branche droite  $s - s$  de la conchoïde de Sluse. Le point  $D$ , situé sur le guidage  $f - f$  à une distance  $AD' = AD$ , se trouve toujours sur la branche gauche  $s' - s'$  de la conchoïde. Pour tracer la conchoïde  $s' - s'$ , il faut modifier le réglage du mécanisme ou y ajouter d'autres éléments pour assurer l'égalité des segments  $AD'$  et  $AD$ . L'équation de la conchoïde de Sluse s'écrit :

$$\rho_D = OD = \frac{a}{\cos \varphi} + \frac{k^2}{a} \cos \varphi$$

ou  $a(x^2 + y^2)(x - a) = \pm k^2 x^2$ , où  $\varphi$  est l'angle polaire formé par le vecteur  $\rho_D$  avec l'axe polaire  $Ox$ , et  $k = AB$ . Le signe plus correspond à la branche  $s - s$ , et le signe moins, à la branche  $s' - s'$ .

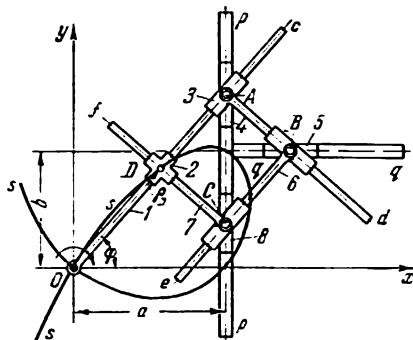




L'élément 1 tourne sur un axe fixe  $O$  et forme des couples de translation avec les coulisseaux 3 et 2. Le coulisseau 3 constitue un couple de rotation  $B$  avec le coulisseau 4 glissant le long d'un guidage fixe  $p - p$  dont l'axe fait un angle de  $90^\circ$  avec l'axe  $Ox$ . L'élément 3 de la traverse  $Bb$  glisse dans le coulisseau 5 qui forme un couple de rotation  $C$  avec le coulisseau 6 glissant le long d'un guidage fixe  $q - q$ . Les coulisseaux 2 et 7 constituent un couple de rotation  $D$ . Lorsque l'élément 1 tourne autour de l'axe  $O$ , le point  $D$  décrit une double-catrice cubique  $s - s$  qui a pour équation

$$\rho_D = OD = \frac{a}{\cos^3 \varphi} \quad \text{ou} \quad y^2 = x^2 \frac{x-a}{a},$$

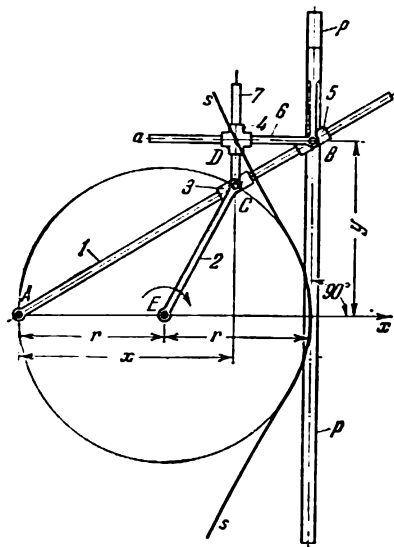
où  $\varphi$  est l'angle polaire formé par le vecteur  $\rho_D$  avec l'axe polaire  $Ox$ .



L'élément 1 tourne sur un axe fixe  $O$  et forme des couples de translation avec le coulisseau en croix 2, dont les axes sont perpendiculaires entre eux, et avec le coulisseau 3. Le coulisseau 3 forme un couple de rotation  $A$  avec le coulisseau 4 qui glisse dans un guidage  $p - p$  dont l'axe fait un angle droit avec l'axe  $Ox$ . La traverse  $Ad$  du coulisseau 3 forme un couple de translation avec le coulisseau 6. Ce dernier forme un couple de rotation  $B$  avec le coulisseau 5 glissant dans un guidage fixe  $q - q$  dont l'axe fait un angle de  $90^\circ$  avec l'axe  $Oy$ . La traverse  $Be$  du coulisseau 6 forme un couple de translation avec le coulisseau 7. Le coulisseau 7 forme un couple de rotation  $C$  avec le coulisseau 8 glissant dans le guidage  $p - p$ . La traverse  $Cf$  du coulisseau 7 et le coulisseau 2 constituent un couple de translation. Étant donné que les axes  $Oc$ ,  $Ad$ ,  $Be$ ,  $Cf$  sont perpendiculaires l'un sur l'autre, la figure  $DABC$  sera toujours un rectangle. Lorsque l'élément 1 tourne autour de l'axe  $O$ , le point  $D$  du coulisseau 2 décrit un folium parabolique asymétrique  $s - s$  qui a pour équation

$$\rho_D = OD = \frac{a(1 - \operatorname{tg}^2 \varphi + b \operatorname{tg} \varphi)}{\cos \varphi}$$

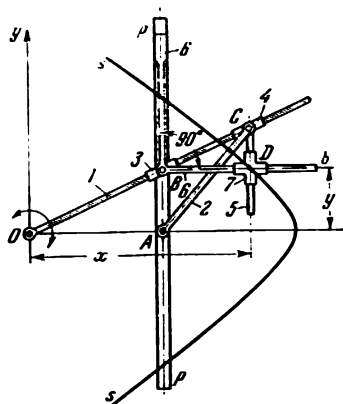
ou  $x^3 = a(x^2 - y^2) + bxy$ ,  $\varphi$  étant l'angle polaire formé par le vecteur  $\rho_D$  avec l'axe polaire  $Ox$ .



L'élément 1 tourne sur un axe fixe A et forme des couples de translation avec les coulisseaux 3 et 5. L'élément 2 tourne sur un axe fixe E et forme un couple de rotation C avec le coulisseau 3. Le coulisseau 6, glissant dans un guidage fixe  $p - p$ , forme un couple de rotation B avec le coulisseau 5. Le coulisseau en croix 4, aux axes de mouvement perpendiculaires entre eux, forme des couples de translation avec les éléments 6 et 7. L'élément 7 forme un couple de rotation C avec le coulisseau 3. Lorsque l'élément 2 tourne autour de l'axe E, le point D du coulisseau 5 décrit une agnésieenne  $s - s$  ayant pour équation

$$4r^2x + xy = 8r^3,$$

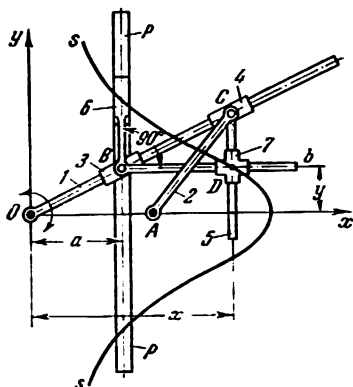
où  $r = EC$ .



Les longueurs des éléments du mécanisme satisfont à la condition  $AC = OA = a$ . L'élément 1 tourne autour d'un axe fixe  $O$  et forme des couples de translation avec les coulisseaux 3 et 4. Le coulisseau 3 forme un couple de rotation  $B$  avec le coulisseau 6 qui glisse dans un guidage fixe  $p - p$  dont l'axe passe par le point  $A$  et forme un angle de  $90^\circ$  avec l'axe  $Ox$ . La traverse  $Bb$  du coulisseau 6 forme un couple de translation avec le coulisseau en croix 7 dont les axes de guidage sont perpendiculaires entre eux. L'élément 5 forme un couple de rotation  $C$  avec le coulisseau 4 et glisse dans le coulisseau 7. Lorsque l'élément 1 tourne autour de l'axe  $O$ , le point  $D$  du coulisseau 7 décrit une pseudo-agnésienne  $s - s$  qui a pour équation

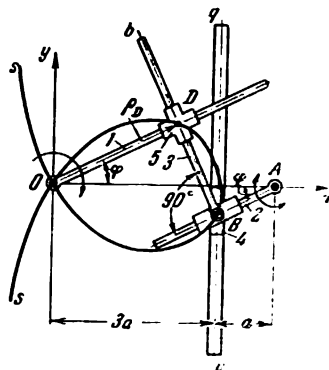
$$xy^2 = 2a^2 (a - x).$$





Les longueurs des éléments du mécanisme satisfont à la condition  $AC = OA = r$ . L'élément 1 tourne sur un axe fixe  $O$  et forme des couples de translation avec les coulisseaux 3 et 4. Le coulisseau 3 forme un couple de rotation  $B$  avec le coulisseau 6 glissant le long d'un guidage fixe  $p - p$  dont l'axe fait un angle de  $90^\circ$  avec l'axe  $Ox$ . La traverse  $Bb$  du coulisseau 6 forme un couple de translation avec le coulisseau en croix 7 dont les axes de guidage sont perpendiculaires entre eux. L'élément 5 forme un couple de rotation  $C$  avec le coulisseau 4 et glisse dans le coulisseau 7. Lorsque l'élément 1 tourne autour de l'axe  $O$ , le point  $D$  du coulisseau 7 décrit la courbe  $s - s$  du type des courbes d'Agnési, qui a pour équation

$$a^2x + xy^2 = 2a^2r.$$



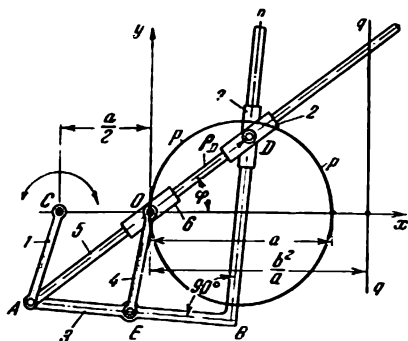
L'élément 1 tourne autour d'un axe fixe  $O$  et forme un couple de translation avec le coulisseau en croix 5, aux axes de guidage perpendiculaires entre eux. L'élément 2 tourne sur un axe fixe  $A$  et forme un couple de translation avec le coulisseau 3 dont la traverse  $Bb$  glisse dans le coulisseau 5. Le coulisseau 3 forme un couple de rotation  $B$  avec le coulisseau 4 glissant le long d'un guidage fixe  $q - q$  dont l'axe fait un angle de  $90^\circ$  avec l'axe  $Ox$ . Lorsque l'élément 1 tourne autour de l'axe  $O$ , le point  $D$  du coulisseau 5 décrit la trisectrice de Maclaurin  $s - s$  qui a pour équation

$$\rho_D = OD = -a \frac{1 - 4 \cos^2 \varphi}{\cos \varphi}$$

ou

$$y = x \sqrt{\frac{3a - x}{x + a}},$$

$\varphi$  étant l'angle polaire formé par le vecteur  $\rho_D$  avec l'axe polaire  $Ox$ .



Les longueurs des éléments du mécanisme satisfont aux conditions:  $AE = EB = EO = b/2$  et  $AC = a/2$ . L'élément 1 tourne sur un axe fixe  $C$  et forme des couples de rotation  $A$  avec les éléments 3 et 5. L'élément 5 forme des couples de translation avec les coulisseaux 2 et 6. L'élément 3, qui a la forme d'un levier coudé, constitue par son côté  $Bn$  un couple de translation avec le coulisseau 7 qui forme, à son tour, un couple de rotation  $D$  avec le coulisseau 2. L'élément 4 forme des couples de rotation  $E$  et  $O$  avec l'élément 3 et le coulisseau 6, mobile autour d'un axe fixe  $O$ . Lorsque l'élément 1 tourne autour de l'axe  $C$ , le point  $D$  décrit la cissoïde de la circonférence  $p - p$  et de la droite  $q - q$  perpendiculaire à l'axe  $Ox$ . L'équation de la cissoïde est de la forme

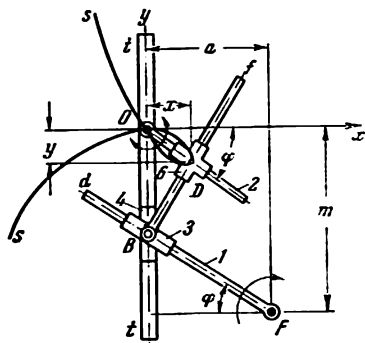
$$\rho_D = OD = \frac{c}{\cos \varphi} - a \cos \varphi$$

ou

$$y^2 = x^2 \frac{[a - (c - x)]}{c - x},$$

$\varphi$  étant l'angle polaire formé par le vecteur  $\rho_D$  avec l'axe polaire  $Ox$  et  $c = b^2/a$ .

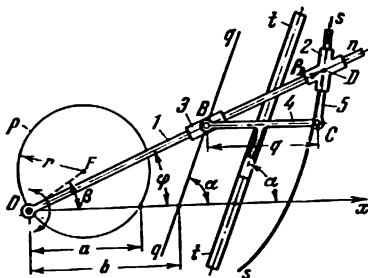




L'élément 1 tourne autour d'un axe fixe  $F$  et forme un couple de translation avec le coulisseau 3. Celui-ci forme le couple de rotation  $B$  avec le coulisseau 4 glissant dans un guidage fixe  $t - t$  dont l'axe fait un angle de  $90^\circ$  avec l'axe  $Ox$ . L'élément 2 tourne sur un axe fixe  $O$  et forme un couple de translation avec le coulisseau en croix 6 aux axes de guidage perpendiculaires entre eux. Le coulisseau 6 glisse sur la traverse  $Bf$  du coulisseau 3, l'axe de la traverse étant perpendiculaire à la direction  $Fd$ . Lorsque l'élément 1 tourne autour de l'axe  $F$ , le point  $D$  du coulisseau 6 décrit l'ophiuride  $s - s$  qui a pour équation

$$x(x^2 + y^2) = y(mx - ay),$$

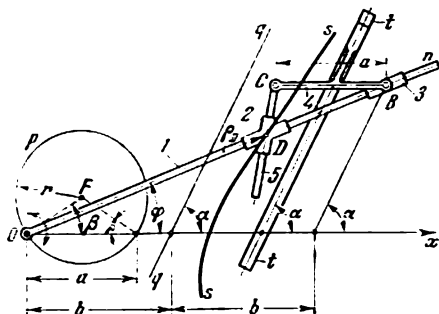
où  $a$  et  $m$  sont les paramètres constants du mécanisme.



L'élément 1 tourne autour d'un axe fixe  $O$  et forme des couples de translation avec les coulisseaux 2 et 3. Le coulisseau 4 glisse dans un guidage fixe  $t - t$ , dont l'axe fait un angle  $\alpha$  avec l'axe  $Ox$ , et constitue un couple de rotation  $C$  avec l'élément 5 glissant dans le coulisseau en croix 2 dont les axes de guidage forment un angle  $90^\circ - \beta$ , où  $\beta$  est l'angle formé par le rayon  $OF = r$  de la circonférence  $p - p$  avec l'axe  $Ox$ . Le coulisseau 3 forme le couple de rotation  $B$  avec le coulisseau 4. Lorsque l'élément 1 tourne autour de l'axe  $O$ , le point  $D$  du coulisseau 2 décrit la compagne  $s - s$  de la cissoïde de la circonférence  $p - p$ , passant par le point  $O$ , et de la droite  $q - q$ . L'équation de la compagne  $s - s$  de la cissoïde s'écrit

$$\rho_D = OD = b \frac{\sin \alpha}{\sin (\alpha - \varphi)} + 2r \cos (\beta - \varphi),$$

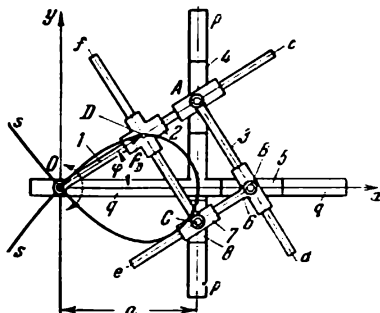
où  $\varphi$  est l'angle polaire formé par le vecteur  $\rho_D$  avec l'axe polaire  $Ox$ .



L'élément 1 tourne autour d'un axe fixe  $O$  et forme des couples de translation avec les coulisseaux 2 et 3. Le coulisseau 4 glisse dans un guidage fixe  $t - t$ , dont l'axe fait un angle  $\alpha$  avec l'axe  $Ox$ , et forme un couple de rotation  $C$  avec l'élément 5 glissant dans le coulisseau en croix 2 dont les axes de guidage forment un angle de  $90^\circ - \beta$ , où  $\beta$  est l'angle formé par le rayon  $OF = r$  de la circonférence  $p - p$  avec l'axe  $Ox$ . Le coulisseau 3 constitue un couple de rotation  $B$  avec le coulisseau 4. Quand l'élément 1 tourne autour de l'axe  $O$ , le point  $D$  du coulisseau 2 décrit la courbe  $s - s$  de la cissoïde de la circonférence  $p - p$ , passant par le point  $O$ , et de la droite  $q - q$ . L'équation de la courbe  $s - s$  de la cissoïde s'écrit :

$$\rho_D = OD = 2b \frac{\sin \alpha}{\sin (\alpha - \varphi)} - 2r \cos (\beta - \varphi),$$

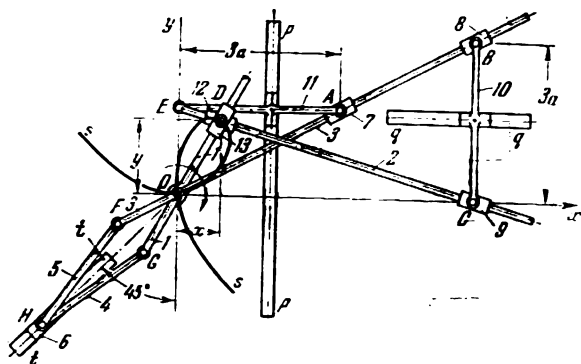
où  $\varphi$  est l'angle polaire formé par le vecteur  $\rho_D$  avec l'axe polaire  $Ox$ .



L'élément 1 tourne autour d'un axe fixe  $O$  et forme des couples de translation avec le coulisseau en croix 2, dont les axes de guidage sont perpendiculaires entre eux, et avec le coulisseau 3. Le coulisseau 3 forme un couple de rotation  $A$  avec le coulisseau 4 glissant dans un guidage  $p - p$  dont l'axe fait un angle de  $90^\circ$  avec l'axe  $Ox$ . La traverse  $Ad$  du coulisseau 3 forme un couple de translation avec le coulisseau 6. Le coulisseau 6 forme un couple de rotation  $B$  avec le coulisseau 5 glissant le long d'un guidage fixe  $q - q$  dont l'axe coïncide avec l'axe  $Ox$ . La traverse  $Be$  du coulisseau 6 forme un couple de translation avec le coulisseau 7. Le coulisseau 7 forme un couple de rotation  $C$  avec le coulisseau 8 glissant le long du guidage  $p - p$ . La traverse  $Cf$  du coulisseau 7 forme un couple de translation avec le coulisseau 2. La figure  $DABC$  sera toujours un rectangle. Lorsque l'élément 1 tourne autour de l'axe  $O$ , le point  $D$  du coulisseau 2 décrit un folium parabolique droit  $s - s$  qui a pour équation

$$\rho_D = OD = a \frac{\cos 2\varphi}{\cos^3 \varphi} \quad \text{ou} \quad x^3 = a(x^2 - y^2),$$

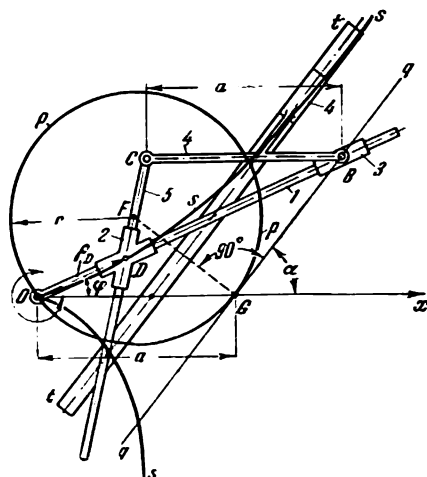
$\varphi$  étant l'angle polaire formé par le vecteur  $\rho_D$  avec l'axe polaire  $Ox$ .



Les longueurs des éléments du mécanisme satisfont aux conditions:  $OF = OG$  et  $FH = GH$ . Les éléments 1 et 3 tournent autour d'un axe fixe  $O$  et forment des couples de rotation  $G$  et  $F$  avec les éléments 4 et 5 qui, à leur tour, forment des couples de rotation  $H$  avec le coulisseau 6 glissant le long d'un guidage fixe  $t-t$ , dont l'axe fait un angle de  $45^\circ$  avec l'axe  $Ox$ . L'élément 3 constitue des couples de translation avec les coulisseaux 7 et 8. Le coulisseau 7 forme un couple de rotation  $A$  avec le coulisseau 11 qui glisse dans un guidage fixe  $p-p$ , dont l'axe fait un angle de  $90^\circ$  avec l'axe  $Ox$ . Le coulisseau 8 constitue un couple de rotation  $B$  avec le coulisseau 10 glissant le long d'un guidage fixe  $q-q$ , dont l'axe forme un angle de  $90^\circ$  avec l'axe  $Oy$ . L'élément 2 forme un couple de translation avec le coulisseau 9 et un couple de rotation  $E$  avec le coulisseau 11. Les coulisseaux 12 et 13 constituent un couple de rotation  $D$  et glissent le long des axes des éléments 1 et 2. Lorsque l'élément 1 tourne autour de l'axe  $O$ , le point  $D$  décrit le folium de Descartes  $s-s$  ayant pour équation

$$x^3 + y^3 = 3axy.$$

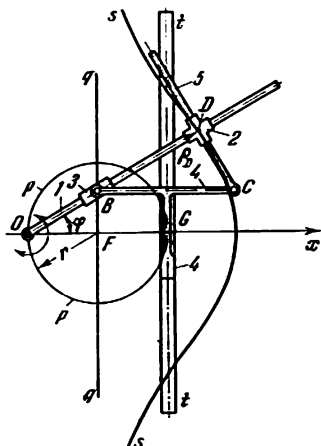




L'élément 1, tournant autour d'un axe fixe  $O$ , forme des couples de translation avec les coulisseaux 2 et 3. Le coulisseau 4 glisse dans un guidage fixe  $t-t$ , dont l'axe fait un angle  $\alpha$  avec l'axe  $Ox$ , et forme le couple de rotation  $C$  avec l'élément 5 glissant dans le coulisseau en croix 2 dont les deux axes de guidage forment un angle  $\alpha$ . Le coulisseau 3 constitue le couple de rotation  $B$  avec le coulisseau 4. Lorsque l'élément 1 tourne autour de l'axe  $O$ , le point  $D$  du coulisseau 2 décrit la cissoïde de Longchamps  $s-s$  qui a pour équation

$$\rho_D = OD = 2r \frac{\sin^2 \varphi}{\sin(\alpha - \varphi)},$$

où  $\varphi$  est l'angle polaire formé par le vecteur  $\rho_D$  avec l'axe polaire  $Ox$ . La cissoïde de Longchamps est une cissoïde de la circonférence  $p-p$  de rayon  $r$ , passant par le point  $O$ , et de la droite  $q-q$ , tangente à la circonférence  $p-p$  au point  $G$ .

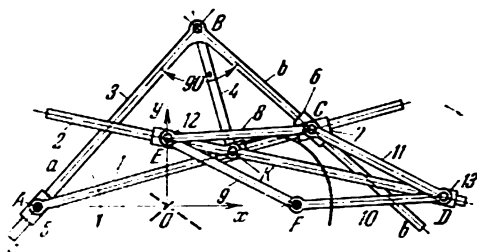


L'élément 1 tourne autour d'un axe fixe  $O$  et forme des couples de translation avec les coulisseaux 2 et 3. Le coulisseau 4 glisse dans un guidage fixe  $t - t$ , dont l'axe fait un angle de  $90^\circ$  avec l'axe  $Ox$ , et forme le couple de rotation  $C$  avec l'élément 5 qui glisse dans le coulisseau en croix 2 aux axes de guidage perpendiculaires entre eux. Le coulisseau 3 constitue le couple de rotation  $B$  avec le coulisseau 4. Quand l'élément 1 tourne autour de l'axe  $O$ , le point  $D$  du coulisseau 2 décrit la courbe de Longchamps  $s - s$  qui a pour équation

$$\rho_D = OD = \frac{r}{\cos \varphi} + 2r \cos \varphi,$$

où  $\varphi$  est l'angle polaire formé par le vecteur  $\rho_D$  avec l'axe polaire  $Ox$ . La courbe de Longchamps est une compagne de la cissoïde de la circonférence  $p - p$  de centre  $F$  et de rayon  $r$ , passant par le point  $O$ , et de la droite  $q - q$  passant par le centre  $F$ .



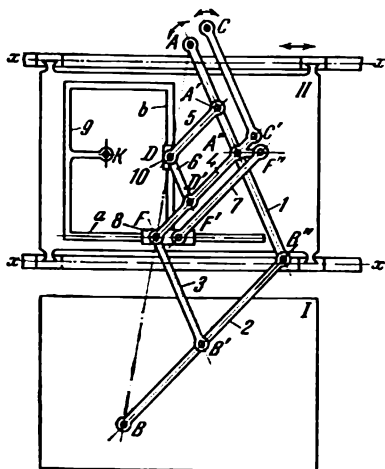


Les longueurs des éléments du mécanisme satisfont aux conditions:  $EC = CD = DF = FE$ , c'est-à-dire que la figure  $ECDF$  est un losange. L'élément coudé 3 glisse par son côté  $Ba$  dans le coulisseau 5, mobile autour d'un axe fixe  $A$ , et par son côté  $Bb$  dans le coulisseau 6 qui forme le couple de rotation  $C$  avec le coulisseau 7. L'élément 4 forme le couple de rotation  $B$  avec l'élément 3 et le couple de translation  $K$  avec l'élément 1. L'axe de l'élément 4 est perpendiculaire à l'axe de l'élément 1. Les éléments 8, 9, 10 et 11 constituent l'un avec l'autre des couples de rotation. Les éléments 9 et 10 tournent autour d'un axe fixe  $F$ . L'élément 2, qui constitue le couple de rotation  $K$  avec l'élément 4, glisse dans les coulisseaux 12 et 13, en formant la diagonale  $ED$  du parallélogramme  $ECDF$ . Lorsque la coulisse 1 est en mouvement, le point  $K$  du mécanisme décrit l'ovale de Cassini dont l'équation rapportée à l'origine des coordonnées  $O$  est:

$$(x^2 + y^2)^2 - 2d^2(x^2 - y^2) = a^4 - d^4,$$

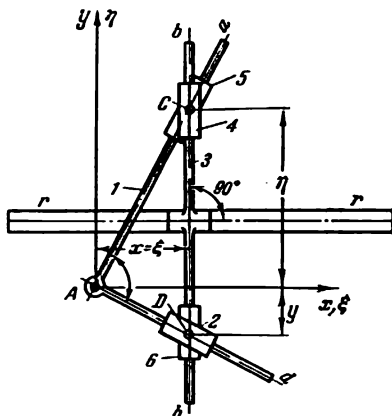
où

$$a = BK \text{ et } 2d = AF = 2OF = 2OA.$$

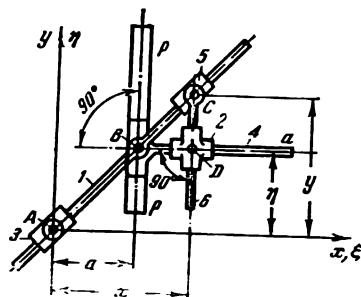


Le mécanisme se compose de deux pantographes. Le premier pantographe est constitué par les éléments 1, 2, 3 et 4. Le second pantographe est constitué par les éléments 1, 4, 5 et 6. L'élément 1 tourne autour d'un axe fixe A. L'élément 4 tourne autour d'un axe fixe C. L'élément 4 forme un couple de

rotation  $F$  avec l'élément 3. Les éléments 4 et 7 forment les couples de rotation  $F$  et  $F'$  avec le coulisseau 8 glissant sur le côté  $a$  du cadre 9. Les éléments 5 et 6 forment les couples de rotation  $D$  avec le coulisseau 10 qui glisse le long du côté  $b$  du cadre 9. Lorsqu'on suit avec le calquoir  $B$  la trace d'une projection orthogonale, le crayon  $K$  reproduit la projection déformée d'une figure plane quelconque. La réduction générale de l'échelle est de  $1/2$ . D'autre part, l'échelle sera encore modifiée de la grandeur  $AD/AF$  dans la direction de l'axe des  $x$  si bien que la réduction de l'échelle dans la direction de l'axe des  $x$  sera de  $\tau/2$ . Pour réaliser cette projection, il faut que les longueurs des éléments remplissent les conditions suivantes:  $AA' = A'D = A'D'$ ;  $DD' = D'F = A'A''$ ;  $AB' = 2CC' = B'B = 2B'B'' = 2B'B' = 2A''F = 2F'F''$ ;  $FF' = A'F''$ ;  $A''C' = AC$ . A ces conditions, les points  $A$ ,  $D$ ,  $F$  et  $B$  reposent sur une même droite, et les distances  $AF$  et  $FB$  sont égales entre elles. Si l'on choisit la position du point  $D$  telle que  $\tau = 0,577$ , c'est-à-dire que  $AD = 0,577 AF$ , la projection obtenue sera isométrique.



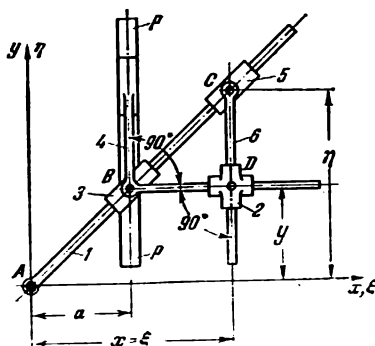
L'élément coudé 1 tourne autour d'un axe fixe  $A$ . Le coulisseau 3 glisse dans un guidage fixe  $r - r$ . Les coulisseaux 4 et 5, formant un couple de rotation  $C$ , glissent le long des guidages  $Aa$  et  $b - b$  des éléments 1 et 3. Les coulisseaux 2 et 6, formant un couple de rotation  $D$ , glissent le long des guidages  $Ad$  et  $b - b$  des éléments 1 et 3. Si l'on suit avec le point  $C$  la trace de la courbe donnée  $\varphi(\xi, \eta) = 0$ , de coordonnées  $\xi$  et  $\eta$ , le point  $D$  reproduit la courbe  $F(x, y) = 0$  ayant pour coordonnées  $x$  et  $y$ . Les coordonnées  $\xi, \eta$  et  $x, y$  sont liées par les conditions  $x = \xi$  et  $y = \xi^2/\eta$ . Ainsi, le mécanisme transforme la courbe  $\varphi(\xi, \eta) = 0$  en une courbe  $F(x, y) = 0$ .



Le coulisseau 3 tourne autour d'un axe fixe A. L'élément 1 forme des couples de translation avec les coulisseaux 3 et 5 et un couple de rotation B avec l'élément 4 glissant dans un guidage fixe  $p - p$ . L'élément 6 forme un couple de rotation C avec le coulisseau 5 et un couple de translation avec le coulisseau en croix 2 aux axes de guidage perpendiculaires entre eux qui, lui, forme un couple de translation avec le bras  $a$  de l'élément 4. Si l'on suit avec le point D du coulisseau 2 la trace de la courbe donnée  $\varphi(\xi, \eta) = 0$  ayant pour coordonnées  $\xi$  et  $\eta$ , le point C du coulisseau 5 reproduit la courbe  $F(x, y) = 0$  de coordonnées  $x$  et  $y$ . Les coordonnées  $\xi, \eta$  et  $x, y$  sont liées par les conditions

$$x = \xi \quad \text{et} \quad y = \frac{1}{a} \xi \eta,$$

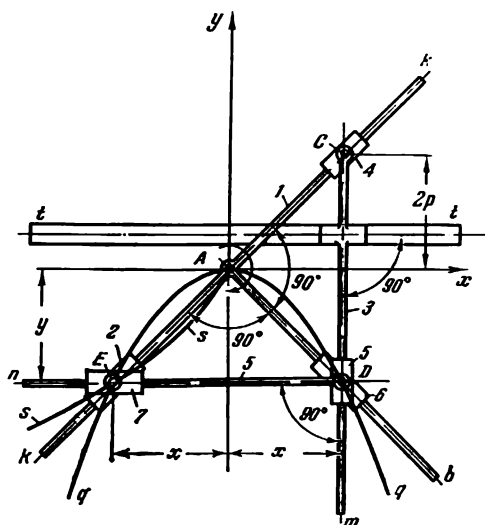
$a$  étant le paramètre constant du mécanisme. Ainsi, le mécanisme transforme la courbe  $\varphi(\xi, \eta) = 0$  en une courbe  $F(x, y) = 0$ .



L'élément 1, tournant autour d'un axe fixe A, forme des couples de translation avec les coulisseaux 3 et 5. L'élément 4, formant un couple de rotation B avec le coulisseau 3, glisse le long d'un guidage fixe  $p - p$ . Le coulisseau en croix 2 aux axes de glissement perpendiculaires entre eux forme des couples de translation avec l'élément 4 et l'élément 6 qui forme un couple de rotation C avec le coulisseau 5. Si l'on suit avec le point C du coulisseau 5 la trace de la courbe donnée  $\varphi(\xi, \eta) = 0$  de coordonnées  $\xi$  et  $\eta$ , le point D du coulisseau 2 reproduit la courbe  $F(x, y) = 0$  ayant pour coordonnées  $x$  et  $y$ . Les coordonnées  $\xi$ ,  $\eta$  et  $x$ ,  $y$  sont liées par les conditions:

$$x = \xi \quad \text{et} \quad y = a \frac{\eta}{\xi},$$

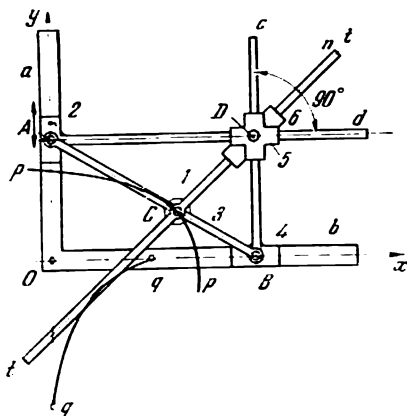
$a$  étant le paramètre constant du mécanisme. Ainsi, le mécanisme transforme la courbe  $\varphi(\xi, \eta) = 0$  en une courbe  $F(x, y) = 0$ .



L'élément 1, en forme de T, tourne autour d'un axe fixe A. La traverse  $k - k$  de cet élément forme des couples de translation avec les coulisseaux 2 et 4, et la traverse  $Ab$  forme un couple de translation avec le coulisseau 6. Le coulisseau 3 glisse le long d'un guidage fixe  $t - t$ , dont l'axe est parallèle à l'axe  $Ax$ , constituant un couple de rotation C avec le coulisseau 4. La traverse  $Cm$  du coulisseau 3 constitue un couple de translation avec le coulisseau 5 qui forme un couple de rotation D avec le coulisseau 6. La traverse  $Dn$  du coulisseau 6 forme un couple de translation avec le coulisseau 7 qui, à son tour, forme un couple de rotation E avec le coulisseau 2. Lorsque l'élément 1 est en mouvement, le point D décrit une parabole  $q - q$ , et le point E décrit une parabole cubique  $s - s$  ayant pour équation

$$x^2 = -\frac{1}{2p} y^3,$$

où  $2p$  est le paramètre constant du mécanisme.



L'élément 3 forme les couples de rotation A et B avec les coulisseaux 2 et 4 qui glissent le long des guidages fixes a et b. Les traverses c et d de ces coulisseaux glissent le long des guidages du coulisseau en croix 5. L'élément 1 forme un couple de rotation C avec l'élément 3 et un couple de translation avec le coulisseau 6. Le coulisseau 6 forme un couple de rotation D avec le coulisseau 5. Lors du mouvement du coulisseau 2 sur le guidage a, le point C du mécanisme décrit une ellipse  $p - p$  dont l'équation est

$$\frac{x^2}{a^2} + \frac{y^2}{b^2} = 1,$$

où  $a = AC$  et  $b = CB$ . La droite  $t - t$  suit le contour de la développée  $q - q$  de l'ellipse, qui a pour équation

$$(ax)^{2/3} + (by)^{2/3} = (a^2 - b^2)^{2/3}.$$

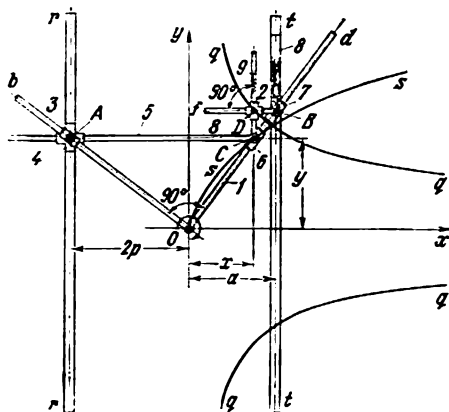




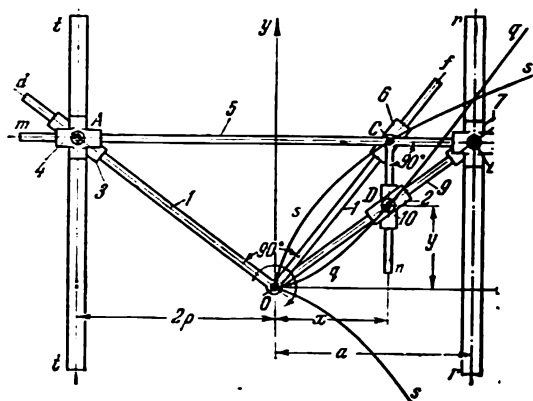
Le côté  $Ob$  de l'élément 1 qui a la forme d'un levier coudé constitue un couple de translation avec le coulisseau 3, et le côté  $Od$  de l'élément 1 constitue des couples de translation avec les coulisseaux 6 et 7. Le coulisseau 3 forme un couple de rotation  $A$  avec le coulisseau en croix 4 dont les axes de glissement sont perpendiculaires entre eux. Le coulisseau 4 glisse le long d'un guidage fixe  $r - r$  dont l'axe est parallèle à l'axe  $Oy$ . L'élément 5 forme un couple de rotation  $C$  avec le coulisseau 6 et un couple de translation avec le coulisseau 4. Le coulisseau 8, glissant le long d'un guidage fixe  $t - t$  dont l'axe est parallèle à l'axe  $Oy$ , forme un couple de rotation  $B$  avec le coulisseau 7. La traverse  $Bf$  du coulisseau 8, dont l'axe est parallèle à l'axe  $Ox$ , forme un couple de translation avec le coulisseau en croix 2 dont les axes de glissement sont perpendiculaires entre eux. L'élément 9 forme le couple de rotation  $C$  avec le coulisseau 6 et un couple de translation avec le coulisseau 2. Quand l'élément 1 tourne autour de l'axe  $O$ , le point  $C$  décrit une parabole  $s - s$ , et le point  $D$  du coulisseau 2 décrit la branche supérieure de la courbe polytropique  $q - q$  qui a pour équation

$$y = kx^{-1/2}, \quad ]$$

où  $k = a \cdot \sqrt{2p}$ ,  $2p$  et  $a$  sont les paramètres constants du mécanisme. Pour tracer la branche inférieure de la courbe  $q - q$ , le mécanisme doit être monté symétriquement par rapport à l'axe  $Ox$ .



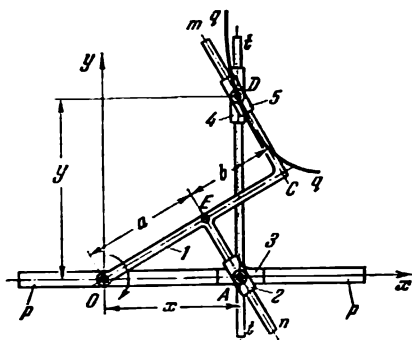




L'élément 1, ayant la forme d'un levier coudé, tourne autour d'un axe fixe  $O$  et, par ses côtés  $Od$  et  $Of$ , constitue des couples de translation avec les coulisseaux 3 et 6. Le coulisseau 3 forme le couple de rotation  $A$  avec le coulisseau en croix 4 aux axes de glissement perpendiculaires entre eux. Le coulisseau 4 glisse le long d'un guidage fixe  $t - t$  dont l'axe est parallèle à l'axe  $Oy$ . Le coulisseau 7 forme le couple de rotation  $B$  avec le coulisseau en croix 8 aux axes de glissement perpendiculaires entre eux. Le coulisseau 8 glisse le long d'un guidage fixe  $r - r$  dont l'axe est parallèle à l'axe  $Oy$ . La traverse  $m - m$  de l'élément 5 en T constitue des couples de translation avec les coulisseaux 4 et 8, et la traverse  $Cn$  de cet élément constitue un couple de translation avec le coulisseau 10. Le coulisseau 6 forme le couple de rotation  $C$  avec l'élément 5. Le coulisseau 10 forme le couple de rotation  $D$  avec le coulisseau 2. Lorsque l'élément 1 tourne autour de l'axe  $O$ , le point  $C$  décrit une parabole  $s - s$ , et le point  $D$  décrit une parabole  $q - q$  d'ordre supérieure dont l'équation s'écrit :

$$y = kx^{3/2},$$

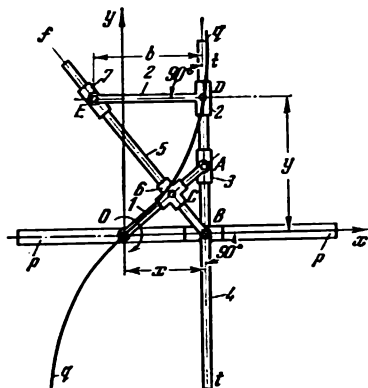
où  $k = \frac{\sqrt{2}p}{a}$ ,  $p$  et  $a$  étant les paramètres constants du mécanisme.



L'élément 1, qui a la forme d'un levier à deux coudes d'angle droit aux points C et E, tourne autour d'un axe fixe O. Le côté Cm de l'élément 1 constitue un couple de translation avec le coulisseau 5, et le côté En, avec le coulisseau 2. Le coulisseau 2 forme le couple de rotation A avec le coulisseau 3 glissant le long d'un guidage fixe  $p - p$  dont l'axe coïncide avec l'axe Ox. La traverse  $t - t$  du coulisseau 3, dont l'axe est parallèle à l'axe Oy, forme un couple de translation avec le coulisseau 4 qui, à son tour, forme le couple de rotation D avec le coulisseau 5. Lorsque l'élément 1 tourne autour de l'axe O, le point D décrit une courbe à nœud incliné ayant pour équation

$$\frac{a^2}{x^2} + \frac{b^2}{y^2} = 1,$$

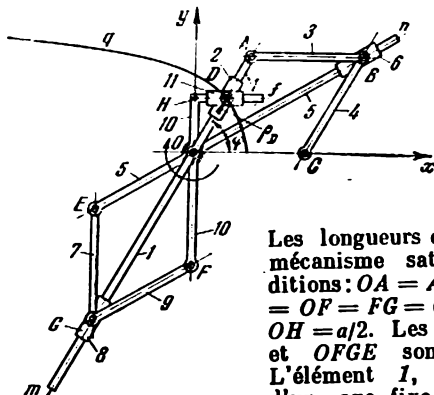
où  $a = OE$  et  $b = EC$  sont les paramètres constants du mécanisme.



L'élément 1, tournant autour d'un axe fixe  $O$ , forme le couple de rotation  $A$  avec le coulisseau 3 et un couple de translation avec le coulisseau en croix 6 dont les axes de glissement sont perpendiculaires entre eux. La traverse  $t-t$  du coulisseau 4 glissant dans un guidage fixe  $p-p$  dont l'axe coïncide avec l'axe  $Ox$  constitue des couples de translation avec les coulisseaux 2 et 3. Le coulisseau 7 forme le couple de rotation  $E$  avec le coulisseau 2 et glisse le long de l'axe  $Bf$  de l'élément 5. Lorsque l'élément 1 tourne autour de l'axe  $O$ , le point  $D$  du coulisseau 2 décrit une courbe à nœud incliné  $q-q$  ayant pour équation

$$\frac{a^2}{x^2} - \frac{b^2}{y^2} = 1,$$

où  $a = OA$  et  $b = DE$  sont les paramètres constants du mécanisme.



Les longueurs des éléments du mécanisme satisfont aux conditions:  $OA = AB = BC = CO = OF = FG = GE = EO = a$  et  $OH = a/2$ . Les figures  $OABC$  et  $OFGE$  sont les losanges. L'élément 1, mobile autour d'un axe fixe  $O$ , forme des couples de translation avec les coulisseaux 2 et 8 et le couple de rotation  $A$  avec l'élément 3. L'élément 5, qui tourne autour de l'axe fixe  $O$ , forme un couple de translation avec le coulisseau 6 et le couple de rotation  $E$  avec l'élément 7. L'élément 10, qui a la forme d'un levier coudé d'angle droit en  $H$ , constitue le couple de rotation  $F$  avec l'élément 9, en glissant par son côté  $Hf$  dans le coulisseau 11 qui forme le couple de rotation  $D$  avec le coulisseau 2. Les éléments 7 et 9 forment les couples de rotation  $G$  avec le coulisseau 8 glissant le long de l'axe  $Om$  de l'élément 1. L'élément 3 forme le couple de rotation  $B$  avec le coulisseau 6 glissant le long de l'axe  $On$  de l'élément 5. Le coulisseau 6 forme le couple de rotation  $B$  avec l'élément 4, mobile autour d'un axe fixe  $C$ . Quand l'élément 1 tourne autour de l'axe  $C$ , le point  $D$  décrit une trisécante ayant pour équation

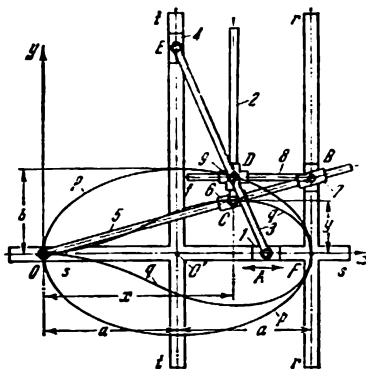
$$\rho_D = OD = \frac{a}{2 \cos \left( \frac{\varphi}{2} \right)}$$

ou

$$(a^2 - y^2)(x^2 + y^2) = \frac{a^4}{4},$$

$a$  étant le paramètre constant du mécanisme, et  $\varphi$ , l'angle polaire formé par le vecteur  $\rho_D$  avec l'axe polaire  $Ox$ .

Les longueurs des éléments du mécanisme satisfont aux conditions:  $AD = b$ ,  $DE = a$  et  $OO' = O'F = a$ , où  $a$  et  $b$  sont les demi-axes de l'ellipse  $p - p$  à transformer. L'axe du guidage  $t - t$  passe par le centre  $O'$  de l'ellipse  $p - p$ , et l'axe du guidage  $r - r$  est tangent à l'ellipse en un point  $F$ . Le coulisseau 1, qui glisse le long d'un guidage fixe

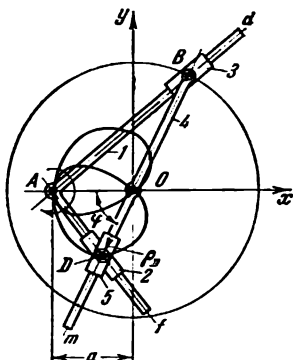


$s - s$  dont l'axe coïncide avec l'axe  $Ox$ , forme le couple de rotation  $A$  avec l'élément 3. L'élément 3 forme le couple de rotation  $D$  avec le coulisseau en croix 9, dont les axes de glissement sont perpendiculaires entre eux, et le couple de rotation  $E$  avec le coulisseau 4 glissant le long d'un guidage fixe  $t - t$  dont l'axe est parallèle à l'axe  $Oy$ . L'élément 5, mobile autour d'un axe fixe  $O$ , forme des couples de translation avec les coulisseaux 6 et 7. Le coulisseau 7 forme le couple de rotation  $B$  avec le coulisseau 8 glissant le long d'un guidage fixe  $r - r$  dont l'axe est parallèle à l'axe  $Oy$ . La traverse  $Bf$  du coulisseau 8 constitue un couple de translation avec le coulisseau 9. L'élément 2 forme le couple de rotation  $C$  avec le coulisseau 6 et un couple de translation avec le coulisseau 9. Lors du mouvement du coulisseau 1 dans le guidage  $s - s$ , le point  $D$  décrit l'ellipse  $p - p$ , et le point  $C$  décrit l'antiversière  $q - q$  de l'ellipse dont l'équation s'écrit:

$$x^4 - 2ax^3 + 4\frac{a^4}{b^2}y^2 = 0.$$

Si l'on déplace l'axe de rotation de l'élément 5 au point  $O'$ , le point  $C$  décrira une courbe ayant pour équation

$$x^4 - a^2x^2 + \frac{a^4}{b^2}y^2 = 0.$$



L'élément 1, qui a la forme d'un levier coudé d'angle droit en A, tourne autour d'un axe fixe A et, par son côté Ad, glisse dans le coulisseau 3. Le coulisseau 3 forme un couple de rotation B avec le coulisseau 4 mobile autour d'un axe fixe O. Les coulisseaux 2 et 5, qui constituent un couple de rotation D, glissent le long du côté Af de l'élément 1 et le long de l'axe Bm de l'élément 4. Lorsque l'élément 1 tourne autour de l'axe A, le point D décrit la courbe de Jerabek ayant pour équation

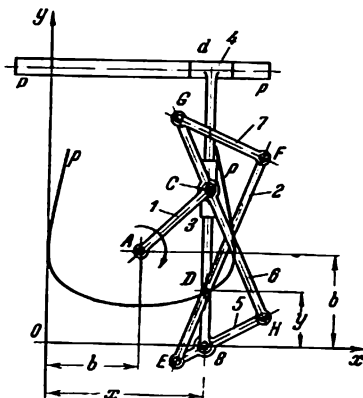
$$\rho_D = OD = a \frac{a + b \cos \varphi}{b + a \cos \varphi}$$

ou

$$a^2 (x - a)^2 (x^2 + y^2) = b^2 (ax - x^2 - y^2)^2,$$

a et b = AB étant les paramètres constants du mécanisme, et  $\varphi$ , l'angle polaire formé par le vecteur  $\rho_D$  avec l'axe polaire Ox.

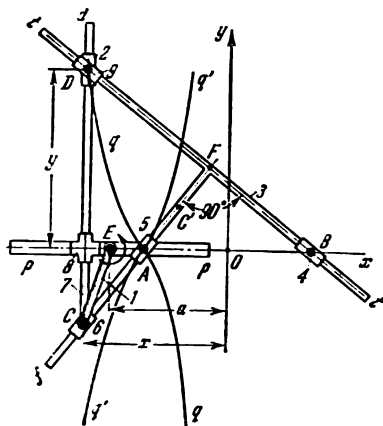




Les longueurs des éléments du mécanisme satisfont aux conditions:  $AC = b$ ;  $GF = EH$ ;  $GH = FE$ ;  $EB: BH = ED: HC$  et  $ED \cdot HC - EB \cdot BH = b^2$ . La figure  $GFHE$  est un antiparallélogramme. L'élément 1, mobile autour d'un axe fixe  $A$ , forme le couple de rotation  $C$  avec le coulisseau 3 glissant le long de la traverse  $Bd$  du coulisseau 4 dont l'axe est parallèle à l'axe  $Oy$ . Le coulisseau 4 glisse le long d'un guidage fixe  $p - p$  dont l'axe est parallèle à l'axe  $Ox$ . L'élément 5 forme les couples de rotation  $E, B$  et  $H$  avec l'élément 2, le coulisseau 4 et l'élément 6. L'élément 6 forme les couples de rotation  $C$  et  $G$  avec le coulisseau 3 et avec l'élément 7 formant le couple de rotation  $E$  avec l'élément 2. Lorsque l'élément 1 tourne autour de l'axe  $A$ , le point  $D$  de l'élément 2 décrit une apienne ayant pour équation

$$y^2 (x - b)^2 - 2b^3 y + b^4 = 0,$$

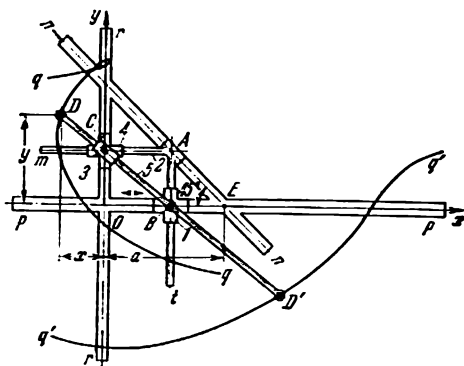
où  $b$  est le paramètre constant du mécanisme.



Les longueurs des éléments du mécanisme satisfont aux conditions:  $EC = b$ ;  $OE = a$ ;  $OA = OB = \sqrt{a^2 - b^2}$  et  $a > b$ , où  $a$  et  $b$  sont les paramètres constants. L'élément 1, mobile autour d'un axe fixe  $E$ , forme le couple de rotation  $C$  avec le coulisseau 6 qui glisse le long de la traverse  $Ff$  de l'élément 3 en forme de T. L'élément 3 glisse par son côté  $t - t$  dans le coulisseau 4, mobile autour d'un axe fixe  $B$ , et dans le coulisseau 9 qui forme le couple de rotation  $D$  avec le coulisseau 2. Le coulisseau 2 glisse le long de l'axe  $Cd$  de l'élément 7 qui forme le couple de rotation  $C$  avec le coulisseau 6. L'élément 7 forme un couple de translation avec le coulisseau en croix 8 dont les axes de glissement sont perpendiculaires entre eux. Le coulisseau 8 glisse le long d'un guidage fixe  $p - p$  dont l'axe se confond avec l'axe  $Ox$ . Lorsque l'élément 1 tourne autour de l'axe  $E$ , le point  $D$  décrit la cissoïde de Steiner  $q - q$  qui a pour équation

$$y^2 [b^2 - (x - a)^2] = [x^2 - (a^2 - b^2)]^2.$$

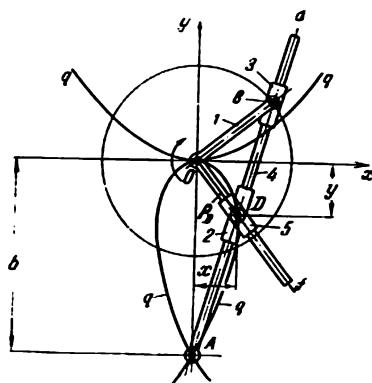
Pour tracer la branche symétrique  $q' - q'$  de la cissoïde de Steiner, il faut disposer l'élément 1 et le coulisseau 6 de façon que le point  $C$  occupe la position  $C'$ , située sur la direction  $Ff$ , et que la distance  $EC'$  soit égale à la distance  $EC$ .



Le coulisseau en croix 1, dont les axes de glissement sont perpendiculaires entre eux, glisse le long d'un guidage fixe  $p - p$ , l'axe de ce dernier coïncidant avec l'axe  $Ox$ . Le coulisseau 2 glisse dans un guidage fixe  $n - n$  dont l'axe forme un angle de  $45^\circ$  avec l'axe  $Ox$ . La traverse  $At$  du coulisseau 2, dont l'axe est parallèle à l'axe  $Oy$ , constitue un couple de translation avec le coulisseau 1. La traverse  $Am$  de ce même coulisseau, dont l'axe est parallèle à l'axe  $Ox$ , constitue un couple de translation avec le coulisseau en croix 4 dont les axes de guidage sont perpendiculaires entre eux. Le coulisseau 4 glisse dans un guidage fixe  $r - r$  dont l'axe passe par l'axe  $Oy$ . L'élément 5 forme un couple de rotation  $B$  avec le coulisseau 1 et un couple de translation avec le coulisseau 3 qui, à son tour, forme un couple de rotation  $C$  avec le coulisseau 4. Lors du mouvement du coulisseau 1 dans le guidage fixe  $p - p$ , les points  $D$  et  $D'$  de l'élément 5 décrivent les branches  $q - q$  et  $q' - q'$  de la coquille de Dürer qui a pour équation

$$(x - y + a)^2 (b^2 - y^2) = (b^2 - y^2 - xy)^2,$$

où  $a = AE$  et  $b = BD = BD'$  sont les paramètres constants du mécanisme.



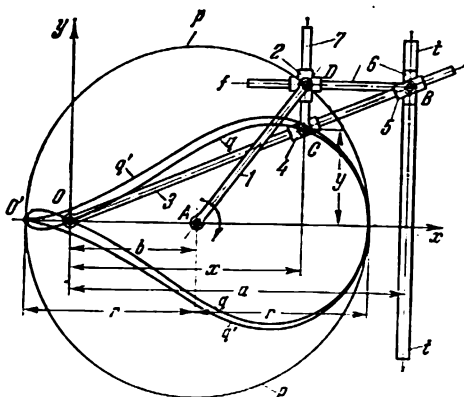
L'élément 1, qui se présente comme un levier coudé d'angle droit en  $O$ , tourne autour d'un axe fixe  $O$ , en formant le couple de rotation  $B$  avec le coulisseau 3. Le coulisseau 3 glisse le long de l'axe  $Ad$  de l'élément 4 tournant autour d'un axe fixe  $A$ . Les coulisseaux 2 et 5 qui constituent le couple de rotation  $D$  glissent le long des axes  $Ad$  et  $Oj$  des éléments 4 et 1. Lorsque l'élément 1 tourne autour de l'axe  $O$ , le point  $D$  décrit une capricornioïde  $q - q$  qui a pour équation

$$\rho_D = OD = \frac{ab \sin \varphi}{a + b \cos \varphi}$$

ou

$$b^2 x^2 (x^2 + y^2) = a^2 (by - x^2 - y^2)^2,$$

$a = OB$  et  $b = OA$  étant les paramètres constants du mécanisme, et  $\varphi$ , l'angle polaire formé par le vecteur  $\rho_D$  avec l'axe polaire  $Ox$ .

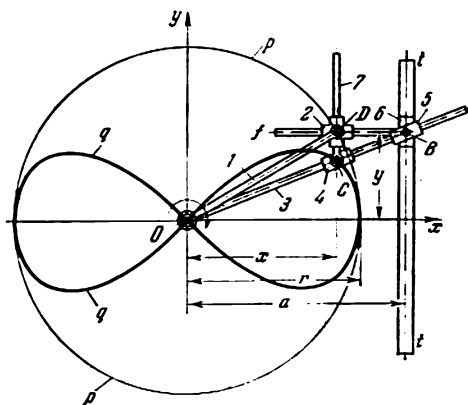


Les longueurs des éléments du mécanisme satisfont à la condition  $AD = r$ , où  $r$  est le rayon de la circonférence  $p - p$  qui doit être transformée en piriforme. L'élément 1 tourne autour d'un axe fixe  $A$  et forme un couple de rotation  $D$  avec le coulisseau en croix 2 dont les axes de glissement sont perpendiculaires entre eux. L'élément 3 tourne autour d'un axe fixe  $O$  et forme des couples de translation avec les coulisseaux 4 et 5. Le coulisseau 5 forme un couple de rotation  $B$  avec le coulisseau 6 glissant le long d'un guidage fixe  $t - t$  dont l'axe est parallèle à l'axe  $Oy$ . La traverse  $Bf$  du coulisseau 6, dont l'axe est parallèle à l'axe  $Ox$ , forme un couple de translation avec le coulisseau 2. L'élément 7 forme un couple de rotation  $C$  avec le coulisseau 4 et un couple de translation avec le coulisseau 2. Lors de la rotation de l'élément 1 autour de l'axe  $A$ , le point  $D$  décrit la circonférence  $p - p$ , et le point  $C$  décrit la piriforme généralisée  $q - q'$  qui a pour équation

$$x^4 - 2bx^3 - (r^2 - b^2)x^2 + a^2y^2 = 0,$$

où  $a$  et  $b$  sont les paramètres constants du mécanisme. Si le centre de rotation de l'élément 3 est situé au point  $O'$ , appartenant à la circonférence, le point  $C$  décrit la piriforme  $q' - q'$  ayant pour équation

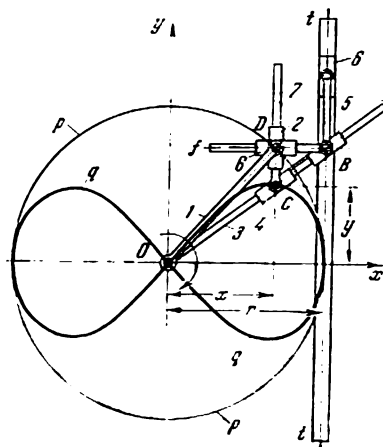
$$x^4 - 2rx^3 + a^2y^2 = 0.$$



Les longueurs des éléments du mécanisme satisfont à la condition  $OD = r$ , où  $r$  est le rayon de la circonférence  $p - p$  à transformer en courbe de Sluse. L'élément 1, mobile autour d'un axe fixe  $O$ , forme un couple de rotation  $D$  avec le coulisseau en croix 2 comportant deux axes de glissement perpendiculaires entre eux. L'élément 3, mobile autour de l'axe fixe  $O$ , forme des couples de translation avec les coulisseaux 4 et 5. Le coulisseau 5 forme le couple de rotation  $B$  avec le coulisseau 6 glissant le long d'un guidage fixe  $t - t$  dont l'axe est parallèle à l'axe  $Oy$ . La traverse  $Bf$  du coulisseau 6, dont l'axe est parallèle à l'axe  $Ox$ , forme un couple de translation avec le coulisseau 2. L'élément 7 forme un couple de rotation  $C$  avec le coulisseau 4 et un couple de translation avec le coulisseau 2. Lorsque l'élément 1 tourne autour de l'axe  $O$ , le point  $D$  décrit la circonférence  $p - p$ , et le point  $C$  décrit la courbe de Sluse  $q - q$  qui a pour équation

$$x^4 + r^2 x^2 + a^2 y^2 = 0,$$

$a$  étant le paramètre constant du mécanisme.

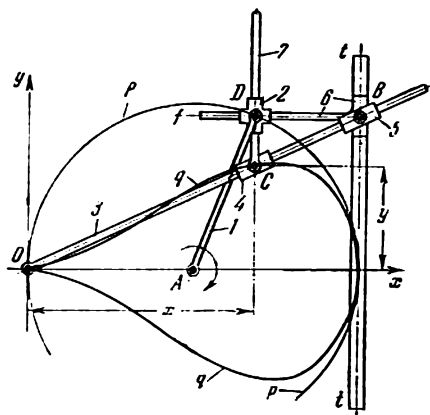


Les longueurs des éléments du mécanisme satisfont à la condition  $OD = r$ , où  $r$  est le rayon de la circonférence  $p - p$  à transformer en lemniscate de Gerono. L'axe de la glissière  $t - t$  est tangent à la circonférence  $p - p$ . L'élément 1 tourne autour d'un axe fixe  $O$  et forme un couple de rotation  $D$  avec le coulisseau en croix 2 comportant deux axes de glissement perpendiculaires entre eux. L'élément 3 tourne autour de l'axe fixe  $O$  et forme des couples de translation avec les coulisseaux 4 et 5. Le coulisseau 5 constitue un couple de rotation  $B$  avec le coulisseau 6 glissant le long du guidage fixe  $t - t$  dont l'axe est parallèle à l'axe  $Oy$ . La traverse  $Bf$  du coulisseau 6, dont l'axe est parallèle à l'axe  $Ox$ , forme un couple de translation avec le coulisseau 2. L'élément 7 forme un couple de rotation  $C$  avec le coulisseau 4 et un couple de translation avec le coulisseau 2. Lorsque l'élément 1 tourne autour de l'axe  $O$ , le point  $D$  décrit la circonférence  $p - p$ , et le point  $C$  décrit la lemniscate de Gerono ayant pour équation

$$x^4 = r^2 (x^2 - y^2).$$

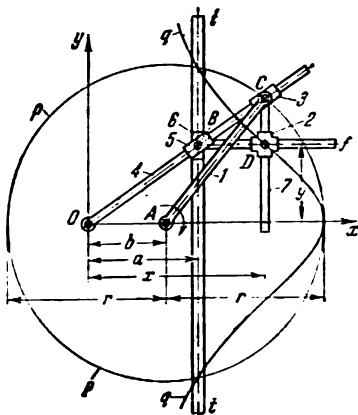






Les longueurs des éléments du mécanisme satisfont à la condition  $OA = AD = r$ , où  $r$  est le rayon de la circonférence  $p - p$  à transformer en antiversière. L'axe de la glissière  $t - t$  est tangent à la circonférence  $p - p$ . L'élément 1 tourne autour d'un axe fixe  $A$  et forme le couple de rotation  $D$  avec le coulisseau cruciforme 2 dont les axes de glissement sont perpendiculaires entre eux. L'élément 3 tourne autour d'un axe fixe  $O$  et forme des couples de translation avec les coulisseaux 4 et 5. Le coulisseau 5 forme le couple de rotation  $B$  avec le coulisseau 6 glissant dans le guidage  $t - t$  dont l'axe est parallèle à l'axe  $Oy$ . La traverse  $Bf$  du coulisseau 6, dont l'axe est parallèle à l'axe  $Ox$ , forme un couple de translation avec le coulisseau 2. L'élément 7 forme le couple de rotation  $C$  avec le coulisseau 4 et le couple de translation  $D$  avec le coulisseau 2. Lorsque l'élément 1 tourne, le point  $D$  décrit la circonférence  $p - p$ , et le point  $C$  décrit l'antiversière ayant pour équation

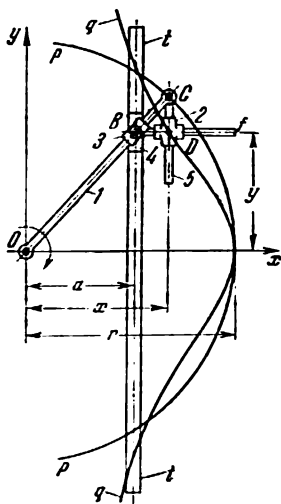
$$x^4 - 2rx^3 + 4r^2y^2 = 0.$$



Les longueurs des éléments du mécanisme satisfont à la condition  $AC = r$ , où  $r$  est le rayon de la circonférence  $p - p$  à transformer en courbe du 4-ème ordre. L'élément 1 tourne autour d'un axe fixe  $A$  et forme le couple de rotation  $C$  avec le coulisseau 3. L'élément 4 tourne autour d'un axe fixe  $O$  et forme des couples de translation avec les coulisseaux 3 et 5. Le coulisseau 5 forme le couple de rotation  $B$  avec le coulisseau 6 glissant dans un guidage fixe  $t - t$  dont l'axe est parallèle à l'axe  $Ox$ . La traverse  $Bf$  du coulisseau 6, dont l'axe est parallèle à l'axe  $Ox$ , forme un couple de translation avec le coulisseau en croix 2 dont les axes de glissement sont perpendiculaires entre eux. L'élément 7 forme le couple de rotation  $C$  avec le coulisseau 3 et glisse dans le coulisseau 6. Lorsque l'élément 1 tourne autour de l'axe  $A$ , le point  $C$  décrit la circonférence  $p - p$ , et le point  $D$  du coulisseau 2 décrit la courbe du 4-ème ordre qui a pour équation

$$a^2x^2 + x^2y^2 - 2a^2bx = a^2(r^2 - b^2),$$

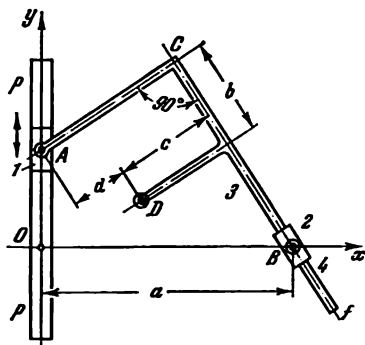
$a$  et  $b$  étant les paramètres constants du mécanisme.



Les longueurs des éléments du mécanisme satisfont à la condition  $OC = r$ , où  $r$  est le rayon de la circonférence  $p - p$  à transformer en courbe du 4-ème ordre. L'élément 1 tourne autour d'un axe fixe  $O$  et forme un couple de rotation  $C$  avec l'élément 5 qui, à son tour, forme un couple de translation avec le coulisseau en croix 2 aux axes de glissement perpendiculaires entre eux. Le coulisseau 4 glisse le long d'un guidage fixe  $t - t$ , dont l'axe est parallèle à l'axe  $Oy$ , et forme un couple de rotation  $B$  avec le coulisseau 3. Le coulisseau 3 forme un couple de translation avec l'élément 1. La traverse  $Bf$  du coulisseau 4, dont l'axe est parallèle à l'axe  $Ox$ , forme un couple de translation avec le coulisseau 2. Lorsque l'élément 1 tourne autour de l'axe  $O$ , le point  $C$  décrit la circonférence  $p - p$ , et le point  $D$  du coulisseau 2 décrit la courbe du 4-ème ordre ayant pour équation

$$x^2 (a^2 + y^2) = a^2 r^2,$$

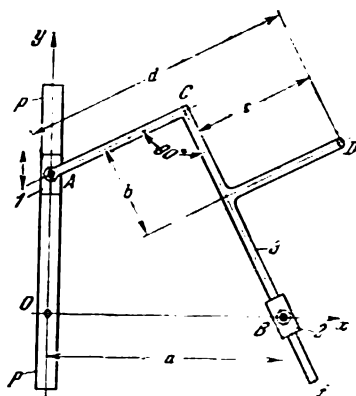
$a$  étant le paramètre constant du mécanisme.



Le coulisseau 1 se déplace dans une glissière fixe  $p - p$  dont l'axe coïncide avec l'axe  $Oy$ . L'élément 3, qui se présente comme un levier coudé d'angle droit en  $C$ , forme le couple de rotation  $A$  avec le coulisseau 1 et glisse par son côté  $Cf$  dans le coulisseau 2 mobile autour d'un axe fixe  $B$ . Lors du mouvement du coulisseau 1 dans la glissière  $p - p$ , le point  $D$  de l'élément 3 décrit une courbe algébrique du 4-ème ordre qui a pour équation

$$(x^2 - ax + cd)^2 + (yx - bc)^2 = (ab + dy - bx)^2,$$

$a$ ,  $b$ ,  $c$  et  $d$  étant les paramètres constants du mécanisme. Pour  $a = AC$ , le point  $D$  décrit la courbe algébrique du 3-ème ordre.

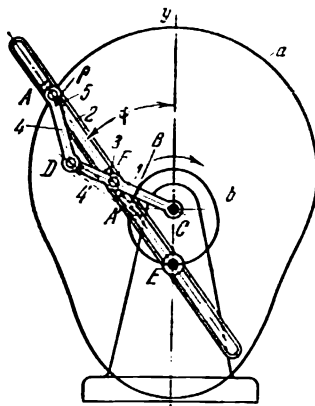


Le coulisseau 1 glisse dans un guidage fixe  $p - p$  dont l'axe coïncide avec l'axe  $Oy$ . L'élément 3, qui se présente comme un levier coudé à l'angle de  $90^\circ$  en  $C$ , forme un couple de rotation  $A$  avec le coulisseau 1 et, par son côté  $Cf$ , glisse dans le coulisseau 2 mobile autour d'un axe fixe  $B$ . Lors du mouvement du coulisseau 1 dans le guidage  $p - p$ , le point  $D$  de l'élément 3 décrit une courbe algébrique du 4-ème ordre qui a pour équation

$$(x^2 - ax + cd)^2 + (yx + bc)^2 = (ab + dy - bx)^2,$$

où  $a$ ,  $b$ ,  $c$  et  $d$  sont les paramètres constants du mécanisme. Pour  $a = AC$ , le point  $D$  décrit la courbe algébrique du 3-ème ordre.





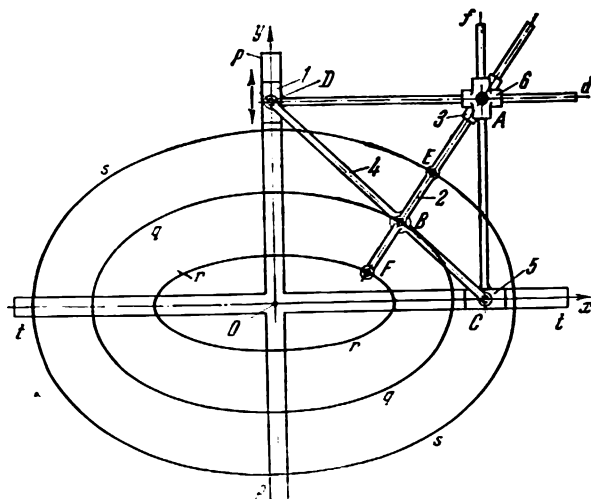
Les longueurs des éléments du mécanisme satisfont aux conditions:  $AD = CF = EA'$  et  $CF > CE$ . L'élément 1 tourne autour d'un axe fixe  $C$ . La coulisse 2 tourne autour d'un axe fixe  $E$ . Le coulisseau 3 qui forme le couple de rotation  $F$  avec l'élément 1 glisse dans la coulisse 2. L'élément 4 forme les couples de rotation  $D$  et  $A$  avec l'élément 1 et avec le coulisseau 5 glissant le long de la coulisse 2. La relation entre les longueurs des éléments étant telle, les points  $A$  et  $A'$  du mécanisme décrivent une cranioïde qui se compose de deux branches  $a$  et  $b$ , l'équation polaire de cette cranioïde étant

$$\rho = a \cos \varphi + b \sqrt{1 - m^2 \sin^2 \varphi} + c \sqrt{1 - k^2 \sin^2 \varphi},$$

où  $\rho = EA$ ;  $a = EC$ ;  $b = CD$ ;  $c = AD = CF$ ;

$$m = \frac{EC}{FC}; \quad k = m \cdot \frac{FD}{AD}$$

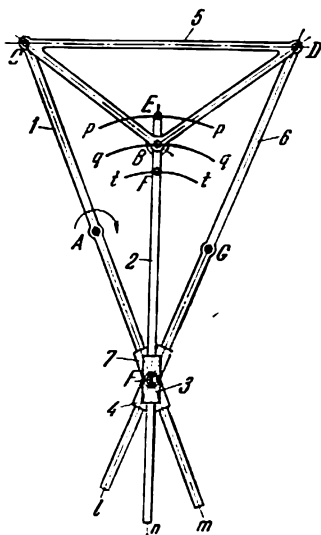
et  $\varphi$  est l'angle formé par le vecteur  $\rho$  avec l'axe  $Ey$ . Si l'élément  $AD$  occupe la position représentée sur le schéma, le point  $A$  décrit la première branche  $a$  de la cranioïde. Lorsqu'on fixe l'élément 4 dans la position  $4'$ , le point  $A'$  décrit la seconde branche de la cranioïde qui se croise en  $E$ .



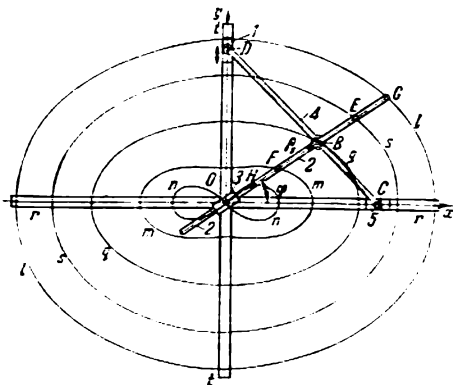
Les longueurs des éléments du mécanisme satisfont aux conditions:  $BD = a$  et  $BC = b$ , où  $a$  et  $b$  sont les demi-axes de l'ellipse  $q - q$ . Le coulisseau 1 glisse le long d'un guidage fixe  $p - p$ , dont l'axe coïncide avec l'axe  $Oy$ , et forme le couple de rotation  $D$  avec l'élément 4. L'élément 4 forme un couple de rotation  $C$  avec le coulisseau 5 glissant le long d'un guidage fixe  $t - t$  dont l'axe coïncide avec l'axe  $Ox$ . Les coulisseaux 1 et 5 comportent des traverses  $Dd$  et  $Cf$  dont les axes sont parallèles aux axes  $Ox$  et  $Oy$  respectivement. Les traverses des coulisseaux 1 et 5 constituent des couples de translation avec le coulisseau en croix 6 dont les axes de glissement sont perpendiculaires entre eux. L'élément 2 forme le couple de rotation  $B$  avec l'élément 4 et un couple de translation avec le coulisseau 3 qui forme un couple de rotation  $A$  avec le coulisseau 6. Le point  $B$  de l'élément 2 décrit l'ellipse  $q - q$ . Tout autre point de cet élément décrira l'équidistante de l'ellipse  $q - q$ . On voit sur le dessin les équidistantes  $s - s$  et  $r - r$  décrites par les points  $E$  et  $F$  de l'élément 2.



**MÉCANISME À COULISSE ET LEVIERS  
SERVANT À TRACER LES ÉQUIDISTANTES  
DE LA COURBE DE BIELLE D'UN SYSTÈME  
À QUATRE ÉLÉMENTS ARTICULÉS**



Le mécanisme est réalisé à partir du système  $ACDG$  à quatre éléments articulés. Le point  $B$  de la bielle 5 de ce système décrit la courbe de bielle  $q - q$ . Les éléments 1 et 6 constituent des couples de translation avec les coulisseaux 7 et 4 qui constituent un couple de rotation  $F$ . L'élément 2 forme un couple de rotation  $B$  avec la bielle 5 et un couple de translation avec le coulisseau 3. Le coulisseau 3 forme les couples de rotation  $F$  avec les coulisseaux 4 et 7. Lorsque l'élément 1 tourne autour de l'axe fixe  $A$ , tout point de l'élément 2 situé sur l'axe  $EBF$  décrit l'équidistante de la courbe de bielle  $q - q$ . La figure montre les parties  $p - p$  et  $t - t$  des équidistantes décrites par les points  $E$  et  $F$ .

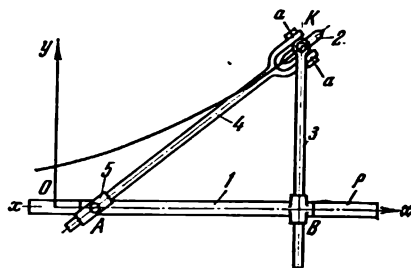


Les longueurs des éléments du mécanisme satisfont aux conditions:  $BD = a$ ;  $BC = b$ , où  $a$  et  $b$  sont les demi-axes de l'ellipse  $q - q$ . Le coulisseau 1 glisse dans un guidage fixe  $t - t$  dont l'axe coïncide avec l'axe  $Oy$  et forme un couple de rotation  $D$  avec l'élément 4. L'élément 4 forme les couples de rotation  $B$  et  $C$  avec l'élément 2 et avec le coulisseau 5 qui glisse dans un guidage fixe  $r - r$  dont l'axe coïncide avec l'axe  $Ox$ . L'élément 2 forme un couple de translation avec le coulisseau 3 mobile autour d'un axe fixe  $O$ . Lors du mouvement du coulisseau 1 dans le guidage  $t - t$ , le point  $B$  de l'élément 2 décrit l'ellipse  $q - q$  ayant pour équation

$$\rho_B = OB = \sqrt{\frac{a^2 b^2}{b^2 \cos^2 \varphi + a^2 \sin^2 \varphi}},$$

où  $\varphi$  est l'angle polaire formé par le vecteur  $\rho_B$  avec l'axe polaire  $Ox$ . Tout autre point de l'élément 2, situé sur son axe, décrira une courbe qui sera la courbe de l'ellipse déformée suivant son rayon vecteur ayant le centre de l'ellipse pour origine. La figure montre les courbes  $l - l$ ,  $s - s$ ,  $m - m$  et  $n - n$  décrites par les points  $G$ ,  $E$ ,  $F$  et  $H$  de l'élément 2. L'équation polaire d'un point quelconque  $K$  situé à une distance  $d$  du point  $B$  s'écrit

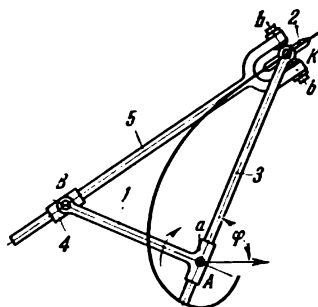
$$\rho_K = \rho_B \pm d.$$



Le coulisseau en croix 1, dont les axes sont perpendiculaires entre eux, glisse dans un guidage  $p$ . L'élément 3 glisse dans le coulisseau 1 et forme un couple de rotation  $K$  avec l'élément 4. L'élément 4 se déplace dans le coulisseau 5 qui forme un couple de rotation  $A$  avec le coulisseau 1. Le galet 2 à bord aigu tourne autour de l'axe  $a - a$ . Lors du mouvement du coulisseau 1 suivant l'axe  $x - x$  du guidage  $p$ , le galet 2, pénétrant par son bord aigu dans le plan du dessin, se déplace à chaque moment suivant la direction  $AK$ . L'élément 3 suit la direction perpendiculaire à l'axe  $x - x$ . L'enveloppe des positions successives de la droite  $AK$  est une courbe logarithmique ou exponentielle ayant pour équation

$$y = ke^{ax},$$

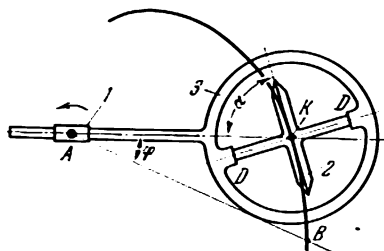
où  $a = AB$ ;  $k$  est la position initiale de l'ordonnée  $y$  pour  $x = 0$ ;  $e$ , la base des logarithmes népériens.



L'élément 1 tourne autour d'un axe fixe A et forme un couple de rotation B avec le coulisseau 4 glissant le long de l'axe de l'élément 5. L'élément 3 forme un couple de rotation K avec l'élément 5 et glisse dans un guidage a qui appartient à l'élément 1 et dont l'axe est perpendiculaire à la direction AB. Le galet 2 à bord aigu tourne autour d'un axe b — b. Lorsque l'élément 1 tourne autour de l'axe fixe A, le galet 2, pénétrant par son bord aigu dans le plan du dessin, se déplace à chaque moment suivant la droite BK. L'enveloppe des positions successives de cette droite est une spirale hyperbolique dont l'équation par rapport au pôle A en coordonnées polaires s'écrit

$$\rho\varphi = a,$$

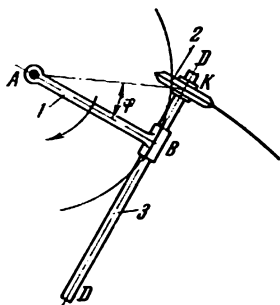
où  $\rho = AK$ ;  $a = AB$ ;  $\varphi$  est l'angle de rotation du rayon vecteur  $\rho$ .



Le coulisseau 1 tourne autour d'un axe fixe A. Dans le coulisseau 1 glisse l'élément 3. La roue 2 tourne autour de l'axe D — D. Lorsque le coulisseau 1 tourne autour de l'axe fixe A, le galet 2, pénétrant par son bord aigu dans le plan du dessin, se déplace à chaque moment suivant une ligne droite qui coïncide avec son plan. L'enveloppe des positions successives de cette droite est une spirale logarithmique dont l'équation exprimée en coordonnées polaires par rapport au pôle A s'écrit :

$$\rho = ae^{\varphi/\operatorname{tg}\alpha},$$

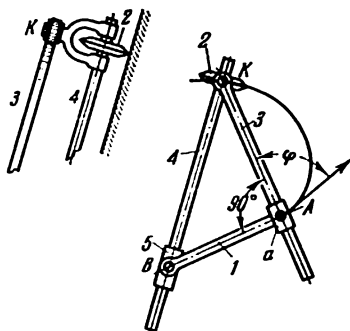
où  $\rho = AK$ ;  $\varphi$  est l'angle de rotation du rayon vecteur  $\rho$ ;  
 $a = AB$  est la valeur initiale du rayon vecteur;  $e$ , la base  
des logarithmes népériens.



L'élément 1 tourne autour d'un axe fixe  $A$  et forme un couple de translation  $B$  avec l'élément 3. Le galet 2 tourne autour de l'axe  $D - D$ . Lorsque l'élément 1 tourne autour de l'axe fixe  $A$ , le galet 2, pénétrant par son bord aigu dans le plan du dessin, se déplace à chaque moment suivant la droite d'intersection des plans du dessin et du galet 2. L'enveloppe des positions successives de cette droite est une développante dont l'équation par rapport au pôle  $A$  s'écrit :

$$R = a\varphi,$$

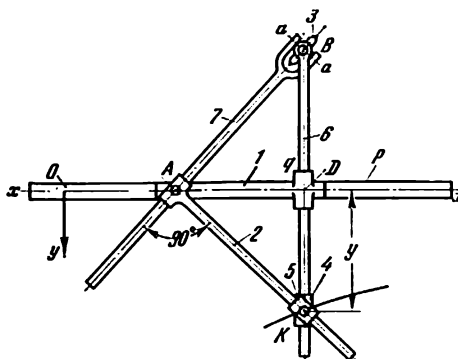
où  $R = BK$ ;  $a = AB$ ;  $\varphi$  est l'angle de rotation de l'élément 1.



L'élément 1 tourne autour d'un axe fixe A et forme un couple de rotation B avec le coulisseau 5 glissant le long de l'axe de l'élément 4. L'élément 3 forme un couple de rotation K et glisse dans le guidage a qui appartient à l'élément 1 et dont l'axe est perpendiculaire à la direction AB. Le galet 2 à bord aigu tourne autour de l'axe de l'élément 4. Lorsque l'élément 1 tourne autour de l'axe fixe A, le galet 2, pénétrant par son bord aigu dans le plan du dessin, se déplace à chaque moment suivant la ligne droite d'intersection du plan du dessin avec le plan perpendiculaire à l'axe de rotation du galet. L'enveloppe des positions successives du galet 2 est une spirale d'Archimède dont l'équation en coordonnées polaires rapportée au pôle A s'écrit :

$$\rho = a (\varphi + \varphi_0),$$

où  $a = AB$ ;  $\rho = AK$ ;  $\varphi$  est l'angle de rotation du rayon vecteur  $\rho$ ;  $\varphi_0$ , l'angle initial.

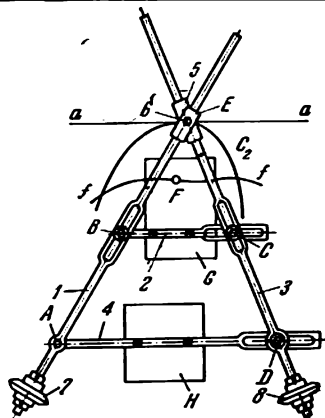


Le coulisseau en croix 1 dont les axes sont perpendiculaires entre eux glisse dans un guidage fixe  $p$  et forme un couple de rotation  $A$  avec l'élément 2 qui glisse le long de l'axe de l'élément 7. L'élément 7 constitue un couple de rotation  $B$  avec l'élément 6 glissant dans le guidage  $q$  du coulisseau 1. Les éléments 4 et 5 qui constituent un couple de rotation  $K$  glissent le long des axes des éléments 2 et 6. Le galet 3 à bord aigu tourne autour d'un axe  $a - a$ . Lors du mouvement du coulisseau 1 le long de l'axe  $x - x$  du guidage  $p$ , le galet 3, pénétrant par son bord aigu dans le plan du dessin, se déplace à chaque moment suivant la droite  $AB$ . La coulisserie 2 dont l'axe est perpendiculaire à la droite  $AB$  pivote et le point  $K$  décrit une courbe exponentielle ayant pour équation

$$y = be^{-ax},$$

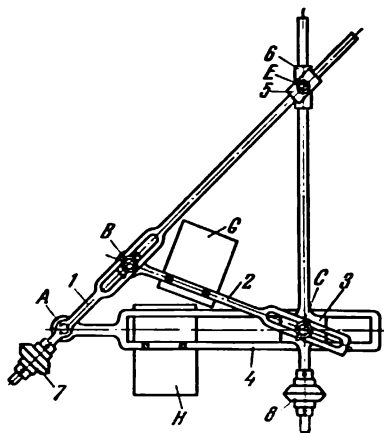
où  $a = AD$ ;  $b$  est la valeur de l'ordonnée  $y$  pour  $x = 0$ ;  
 $e$ , la base des logarithmes népériens.



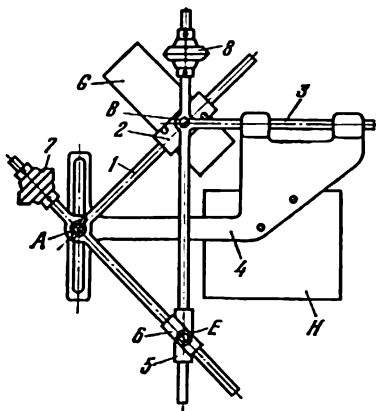


Le mécanisme est réalisé à partir du système  $ABCD$  à quatre éléments articulés, auquel on a adjoint un groupe d'entraîneurs composé de deux coulisseaux 5 et 6 articulés en  $E$ . Les éléments 1 et 3 sont munis de galets 7 et 8 à bord aigu qui possèdent un seul degré de liberté, celui de tourner autour de leurs axes. Le mécanisme sert au tracé des roulettes des centroïdes des éléments 2 et 4. On pose à cet effet la pointe qui se trouve au centre de l'articulation  $E$  sur la courbe par rapport à laquelle on désire obtenir la roulette de la centroïde de l'élément 2 ou 4; les galets 7 et 8 prennent leur appui sur le plan du dessin. Si l'on suit avec la pointe de l'articulation  $E$  la trace de la courbe donnée de manière que les galets 7 et 8 roulent sur le plan du dessin, tout point situé sur les plans  $G$  et  $H$  joints aux éléments 2 et 4 décrira la roulette respective de la centroïde de l'élément 2 ou de l'élément 4. La figure montre la roulette  $f-f$  de la centroïde  $C_2$  de l'élément 2, décrite par le point  $E$  de l'élément 2 lors du déplacement de la pointe de l'articulation  $E$  le long de la droite  $a-a$ , ce qui correspond au roulement de la centroïde mobile  $C_2$  de l'élément 2 sur la droite  $a-a$ . Le réglage du mécanisme pour le tracé de différentes roulettes s'effectue par le déplacement des charnières  $B$ ,  $C$  et  $D$  dans leurs rainures.

MÉCANISME À COULISSE D'ARTOBOLEVSKI  
SERVANT À TRACER LES ROULETTES  
DES CENTROÏDES D'UN MÉCANISME  
À COULISSEAU ET MANIVELLE



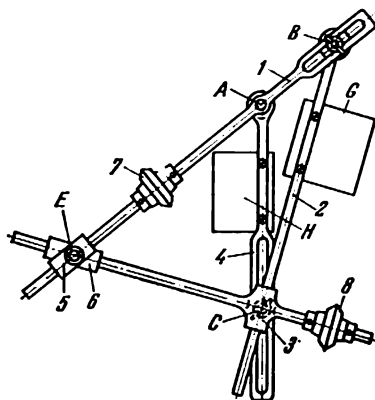
Le mécanisme est réalisé à partir du système *ABC* à coulisseau et manivelle, auquel on a adjoint un groupe d'entraîneurs composé de deux coulisseaux 5 et 6 articulés en *E*. Les éléments 1 et 3 sont munis de galets 7 et 8 à bord aigu qui ont un seul degré de liberté, celui de tourner autour de leurs axes. Le mécanisme sert au tracé des roulettes des centroïdes des éléments 2 et 4. On pose à cet effet la pointe qui se trouve au centre de l'articulation *E* sur la courbe par rapport à laquelle on désire obtenir la roulette de la centroïde de l'élément 2 ou de l'élément 4. Les galets 7 et 8 prennent leur appui sur le plan du dessin. Si l'on suit avec la pointe de l'articulation *E* la trace de la courbe donnée de manière que les galets 7 et 8 roulent sur le plan du dessin, tout point situé sur les plans *G* et *H* joints aux éléments 2 et 4 décrira la roulette respective de la centroïde de l'élément 2 ou de l'élément 4. Le réglage du mécanisme pour le tracé de différentes roulettes s'effectue par le déplacement des charnières *B* et *C* dans leurs rainures.



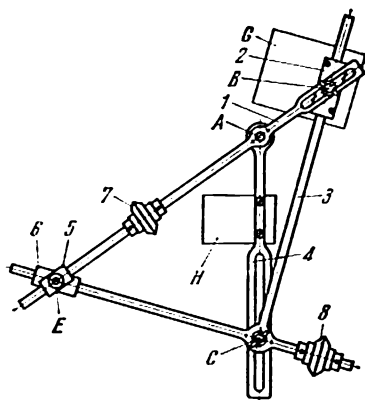
Le mécanisme est réalisé à partir du mécanisme à tangente constitué par les éléments 1, 2, 3 et 4, auquel on a adjoint un groupe d'entraîneurs composé de deux coulisseaux 5 et 6 articulés en E. Les éléments 1 et 3 sont munis de galets 7 et 8 à bord aigu qui ont un seul degré de liberté, celui de tourner autour de leurs axes. Le mécanisme sert à tracer les roulettes des centroïdes des éléments 2 et 4. On pose à cet effet la pointe qui se trouve au centre de l'articulation E sur la courbe par rapport à laquelle on désire obtenir la roulette de la centroïde de l'élément 2 ou de l'élément 4. Les galets 7 et 8 prennent leur appui sur le plan du dessin. Si l'on suit avec la pointe de l'articulation E la trace de la courbe donnée de manière que les galets 7 et 8 roulent sur le plan du dessin, tout point situé sur les plans G et H joints aux éléments 2 et 4 décrira la roulette respective de la centroïde de l'élément 2 ou de l'élément 4. Le réglage du mécanisme pour le tracé de différentes roulettes s'effectue par le déplacement de la charnière A dans la rainure de l'élément 4.

**MÉCANISME À COULISSE D'ARTOBOLEVSKI  
SERVANT À TRACER LES ROULETTES  
DES CENTROÏDES D'UN MÉCANISME À COULISSE  
AVEC COULISSEAU OSCILLANT**

CL  
TC

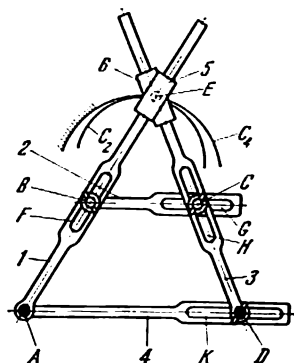


Le mécanisme est réalisé à partir du mécanisme à coulisse *ABC* avec un coulisseau oscillant *3*, auquel on a adjoint un groupe d'entraîneurs composé de deux coulisseaux *5* et *6* articulés en *E*. Les éléments *1* et *3* sont munis de galets *7* et *8* à bord aigu qui ont un seul degré de liberté, celui de tourner autour de leurs axes. Le mécanisme sert à tracer les roulettes des centroïdes des éléments *2* et *4*. On pose à cet effet la pointe qui se trouve au centre de l'articulation *E* sur la courbe par rapport à laquelle on désire obtenir la roulette de la centroïde de l'élément *2* ou de l'élément *4*. Les galets *7* et *8* prennent leur appui sur le plan du dessin. Si l'on suit avec la pointe de l'articulation *E* la trace de la courbe donnée de manière que les galets *7* et *8* roulent sur le plan du dessin, tout point situé sur les plans *G* et *H* joints aux éléments *2* et *4* décrira la roulette respective de la centroïde de l'élément *2* ou de l'élément *4*. Le réglage du mécanisme pour le tracé de différentes roulettes s'effectue par le déplacement des charnières *B* et *C* dans leurs rainures.

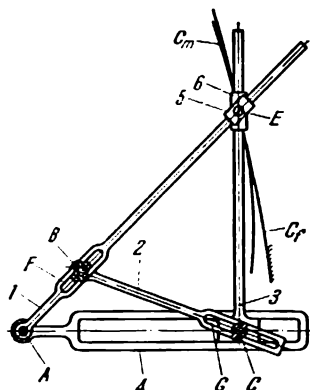


Le mécanisme est réalisé à partir du mécanisme à coulisse ABC avec une coulisse oscillante 3, auquel est adjoit un groupe d'entraîneurs composé de deux coulisseaux 5 et 6 articulés en E. Les éléments 1 et 3 sont munis de galets 7 et 8 à bord aigu qui ont un seul degré de liberté, celui de tourner autour de leurs axes. Le mécanisme sert à tracer les roulettes des centroïdes des éléments 2 et 4. On pose à cet effet la pointe qui se trouve au centre de l'articulation E sur la courbe par rapport à laquelle on désire obtenir la roulette de la centroïde de l'élément 2 ou de l'élément 4. Les galets 7 et 8 prennent leur appui sur le plan du dessin. Si l'on suit avec la pointe de l'articulation E la trace de la courbe donnée de façon que les galets 7 et 8 roulent sur le plan du dessin, tout point situé sur les plans G et H joints aux éléments 2 et 4 décrira la roulette respective de la centroïde de l'élément 2 ou de l'élément 4. Le réglage du mécanisme pour le tracé de différentes roulettes s'effectue par le déplacement des charnières B et C dans leurs rainures.

MÉCANISME À COULISSE ET LEVIERS  
D'ARTOBOLEVSKI SERVANT À TRACER  
LES CENTROÏDES DES SYSTÈMES  
À QUATRE ÉLÉMENTS ARTICULÉS

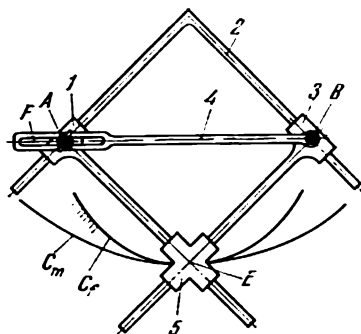


Le mécanisme est réalisé à partir du système  $ABCD$  à quatre éléments articulés, auquel on a adjoint un groupe d'entraîneurs composé de deux coulisseaux 5 et 6 articulés en  $E$ . Le mécanisme sert à tracer les centroïdes des éléments 2 et 4. Le point traceur se trouve au centre de l'articulation  $E$ . On voit sur la figure le mécanisme réglé pour le tracé de la centroïde fixe  $C_4$ , c'est-à-dire lorsque les charnières  $A$  et  $D$  restent immobiles. Pour tracer la centroïde mobile  $C_2$ , on fixe les charnières  $B$  et  $C$ , tandis que les charnières  $A$  et  $D$  restent libres. On peut obtenir les centroïdes nécessaires en choisissant de manière appropriée les longueurs des éléments 1, 2, 3 et 4, ce qui est rendu possible par le déplacement des charnières  $B$ ,  $C$  et  $D$  dans les rainures  $F$ ,  $G$ ,  $H$  et  $K$  des éléments 1, 2, 3 et 4.



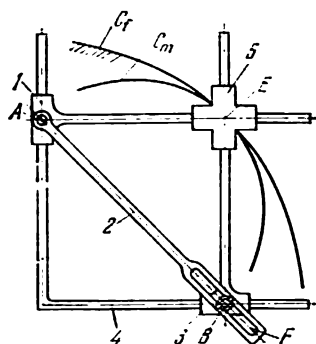
Le mécanisme est réalisé à partir du mécanisme à coulisseau et manivelle  $ABC$ , auquel on a adjoint un groupe d'entraîneurs composé de deux coulisseaux 5 et 6 articulés en  $E$ . Le mécanisme sert à tracer les centroïdes mobiles et fixes des éléments 2 et 4. Le point traceur se trouve au centre de l'articulation  $E$ . On voit sur la figure le mécanisme réglé pour le tracé de la centroïde fixe  $C_f$ , c.-à-d. pour le cas où l'élément 4 est immobile. Pour tracer la centroïde mobile  $C_m$ , on rattache les charnières  $B$  et  $C$  au plan immobile, tandis que l'élément 4 est libéré. On obtient différentes centroïdes en choisissant de manière appropriée les longueurs des éléments 1 et 2, ce qui est rendu possible par le déplacement des charnières  $B$  et  $C$  dans les rainures  $F$  et  $G$  des éléments 1 et 2.

MÉCANISME À COULISSE D'ARTOBOLEVSKI  
SERVANT À TRACER LES CENTROÏDES  
D'UN MÉCANISME À COULISSE  
AVEC DEUX COULISSEAUX OSCILLANTS

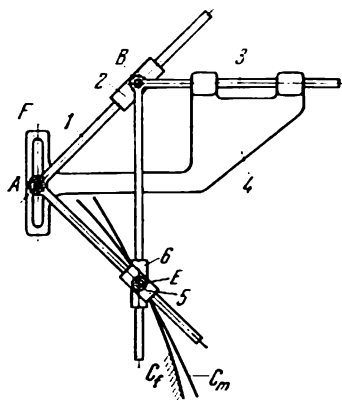


Le mécanisme est réalisé à partir du mécanisme à coulisse avec deux coulisseaux oscillant autour des axes  $A$  et  $B$ , qui se compose des éléments 1, 2, 3 et 4, auquel on a adjoint un coulisseau en croix 5. Le mécanisme sert au tracé des centroïdes mobiles et fixes des éléments 2 et 4. Le point traceur  $E$  se trouve au centre du coulisseau cruciforme 5. On voit sur la figure le mécanisme réglé en vue du tracé de la centroïde fixe  $C_f$ . Pour tracer la centroïde mobile  $C_m$ , on fixe l'élément 2 au plan immobile et on libère l'élément 4. On obtient différentes centroïdes en faisant varier la distance entre les charnières  $A$  et  $B$ , ce qui se réalise par le déplacement de la charnière  $A$  dans la rainure  $F$  de l'élément 4.

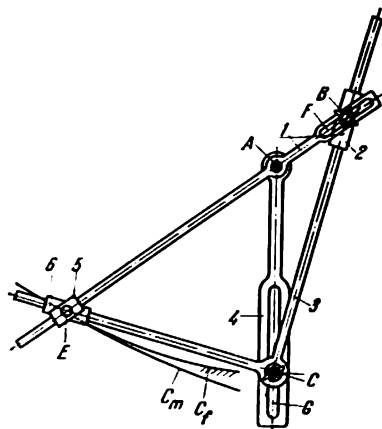




Le mécanisme est réalisé à partir du mécanisme à coulisse de l'ellipsographe, qui se compose des éléments 1, 2, 3 et 4, auquel on a adjoint un coulisseau en croix 5. Le mécanisme sert au tracé des centroïdes mobiles et fixes des éléments 2 et 4. Le point traceur  $E$  se trouve au centre du coulisseau en croix 5. On voit sur la figure le mécanisme réglé en vue du tracé de la centroïde fixe  $C_f$ . Pour tracer la centroïde mobile  $C_m$  on fixe l'élément 2 au plan immobile et on libère l'élément 4. On obtient différentes centroïdes en faisant varier la distance entre les charnières  $A$  et  $B$ , ce qui se fait par le déplacement de la charnière  $B$  dans la rainure  $F$  de l'élément 2.



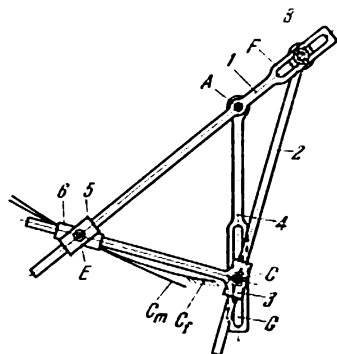
Le mécanisme est réalisé à partir du mécanisme à tangente constitué par les éléments 1, 2, 3 et 4, auquel on a adjoint un groupe d'entraîneurs composé de deux coulisseaux 5 et 6 articulés en  $E$ . Le mécanisme sert au tracé des centroïdes mobiles et fixes des éléments 2 et 4. Le point traceur se trouve au centre de l'articulation  $E$ . On voit sur la figure le mécanisme réglé en vue du tracé de la centroïde fixe  $C_f$ . Pour tracer la centroïde mobile  $C_m$ , on fixe le coulisseau 2 au plan immobile et on libère l'élément 4. On obtient différentes centroïdes en choisissant de manière appropriée la position de la charnière  $A$  dans la rainure  $F$  de l'élément 4.



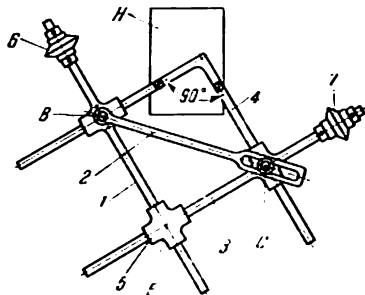
Le mécanisme est réalisé à partir du mécanisme à coulisse  $ABC$  avec une coulisse  $3$  oscillant autour de l'axe fixe  $C$ , auquel on a adjoint un groupe d'entraîneurs composé de deux coulisseaux  $5$  et  $6$  articulés en  $E$ . Le mécanisme sert au tracé des centroïdes mobiles et fixes des éléments  $2$  et  $4$ . Le point traceur se trouve au centre de l'articulation  $E$ . On voit sur la figure le mécanisme réglé en vue du tracé de la centroïde fixe  $C_f$ , c.-à-d. pour le cas où l'élément  $4$  reste immobile. Pour tracer la centroïde mobile  $C_m$ , on fixe le coulisseau  $2$  au plan immobile et on libère l'élément  $4$ . On obtient différentes centroïdes en choisissant de manière appropriée les longueurs des éléments  $1$  et  $4$ , ce qui est rendu possible par le déplacement des charnières  $B$  et  $C$  dans les rainures  $F$  et  $G$  des éléments  $1$  et  $4$ .

MÉCANISME À COULISSE D'ARTOBOLEVSKI  
SERVANT À TRACER LES CENTROÏDES  
D'UN MÉCANISME À COULISSE  
AVEC COULISSEAU OSCILLANT

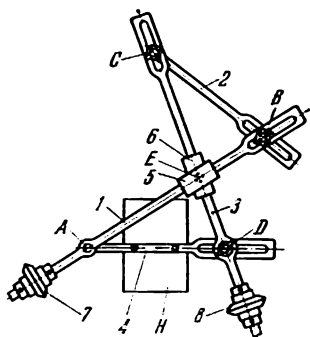
CL  
TC



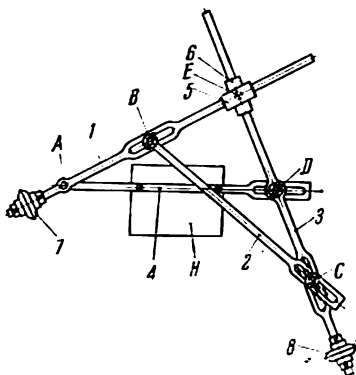
Le mécanisme est réalisé à partir du mécanisme à coulisse *ABC* avec un coulisseau 3 oscillant autour d'un axe fixe *C*, auquel on a adjoint un groupe d'entraîneurs composé de deux coulisseaux 5 et 6 articulés en *E*. Le mécanisme sert au tracé des centroïdes mobiles et fixes des éléments 2 et 4. Le point traceur se trouve au centre de l'articulation *E*. On voit sur la figure le mécanisme réglé en vue du tracé de la centroïde fixe *C<sub>f</sub>*. Pour tracer la centroïde mobile *C<sub>m</sub>*, on fixe la coulisse 2 au plan immobile et on libère l'élément 4. On peut obtenir différentes centroïdes en choisissant de manière appropriée les longueurs des éléments 1 et 4, ce qui est rendu possible par le déplacement des charnières *B* et *C* dans les rainures *F* et *G* des éléments 1 et 4.



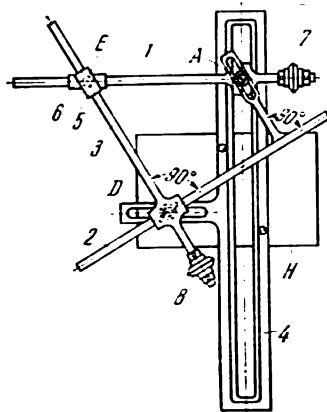
Le mécanisme est réalisé à partir du mécanisme à coulisse, à quatre éléments avec deux coulisseaux et se compose des éléments 1, 2, 3 et 4 et d'un coulisseau cruciforme 5 muni en son centre de la pointe E. Les éléments 1 et 3 possèdent des galets 6 et 7 à bord aigu. Le mécanisme sert au tracé des roulettes de la circonférence. On pose à cet effet la pointe E sur la courbe par rapport à laquelle on désire obtenir la roulette de la circonférence; les galets 6 et 7 prennent leur appui sur le plan du dessin. Si l'on suit avec la pointe E la trace de la courbe donnée de façon que les galets 6 et 7 roulent sur le plan du dessin, tout point du plan H relié à l'élément 4 décrira la roulette correspondante de la circonférence. On règle le mécanisme en vue du tracé de différentes roulettes en fixant la charnière C dans la rainure.



Le mécanisme est réalisé à partir de l'antiparallélogramme *ABCD*, auquel on a adjoint un groupe d'entraîneurs composé de deux coulisseaux 5 et 6 articulés en *E*. Les éléments 1 et 3 sont munis de galets 7 et 8 à bord aigu. Le mécanisme sert au tracé des roulettes des ellipses. On pose à cet effet la pointe qui se trouve au centre de l'articulation *E* sur la courbe par rapport à laquelle on désire obtenir la roulette de l'ellipse; les galets 7 et 8 prennent leur appui sur le plan du dessin. Si l'on suit avec la pointe de l'articulation *E* la trace de la courbe donnée de façon que les galets 7 et 8 roulent sur le plan du dessin, tout point du plan *H* relié à l'élément 4 décrira la roulette respective de l'ellipse. On règle le mécanisme en vue du tracé de différentes roulettes en fixant les charnières *B*, *C* et *D* dans leurs rainures.

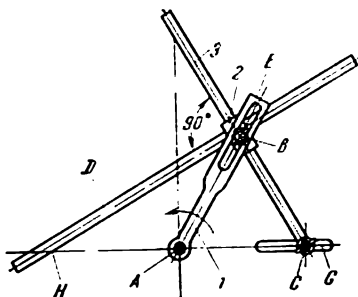


Le mécanisme est réalisé à partir de l'antiparallélogramme *ABCD*, auquel on a adjoint un groupe d'entraîneurs composé de deux coulisseaux 5 et 6 articulés en *E*. Les éléments 1 et 3 sont munis de galets 7 et 8 à bord aigu. Le mécanisme sert au tracé des roulettes des hyperboles. On pose à cet effet la pointe qui se trouve au centre de la charnière *E* sur la courbe par rapport à laquelle on désire obtenir la roulette de l'hyperbole; les galets 7 et 8 prennent appui sur le plan du dessin. Si l'on suit avec la pointe *E* la trace de la courbe donnée de façon que les galets 7 et 8 roulent sur le plan du dessin, tout point du plan *II* relié à l'élément 4 décrira la roulette correspondante de l'hyperbole. On règle le mécanisme en vue du tracé de différentes roulettes en fixant les charnières *B*, *C* et *D* dans les rainures respectives.

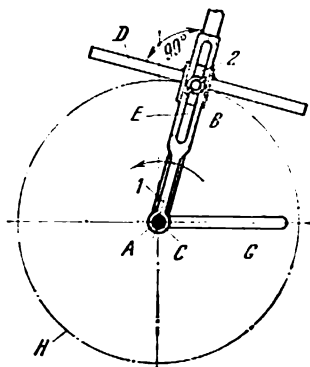


Le mécanisme est réalisé à partir du mécanisme à coulisse, à quatre éléments, qui se compose des éléments 1, 2, 3 et 4, auquel on a adjoint un groupe d'entraîneurs composé de deux coulisseaux articulés 5 et 6. Les éléments 1 et 3 sont munis de galets 7 et 8 à bord aigu. Le mécanisme sert au tracé des roulettes des paraboles. On pose à cet effet la pointe qui se trouve au centre de l'articulation *E* sur la courbe par rapport à laquelle on désire obtenir la roulette de la parabole; les galets 7 et 8 prennent appui sur le plan du dessin. Si l'on suit avec la pointe de l'articulation *E* la trace de la courbe donnée de façon que les galets 7 et 8 roulent sur le plan du dessin, tout point du plan *H*, relié à l'élément 4, décrira la roulette correspondante de la parabole. On règle le mécanisme en vue du tracé de différentes roulettes en fixant les charnières *A* et *D* dans les rainures respectives.





Les longueurs des éléments satisfont à la condition  $AB = AC$ . La manivelle 1, de longueur  $AB$ , tourne autour d'un axe fixe  $A$ . La coulisse 3 tourne autour d'un axe fixe  $C$ . Le coulisseau 2, glissant le long de l'axe de la coulisse 3, porte une planche  $D$ . Le rapport entre les longueurs des éléments étant tel, lors de la rotation de la manivelle 1, dont la longueur  $AB$  est réglée par le déplacement de la charnière  $B$  dans la rainure  $E$ , la planche  $D$ , solidaire du coulisseau 2, contourne le point  $H$ , c'est-à-dire que le bord de la planche  $D$  passe toujours par le point  $H$ . L'élément 2 effectue un mouvement de cardan. En fixant de façon appropriée les charnières  $B$  et  $C$  dans les rainures  $E$  et  $G$ , on peut obtenir les enveloppantes de différents points situés sur la droite  $AC$ .



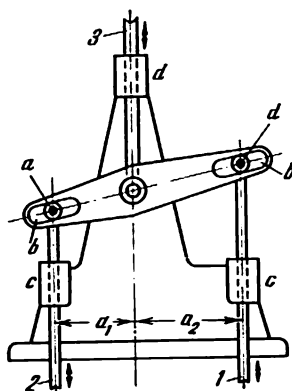
Si l'on déplace les centres des articulations fixes *A* et *C* du mécanisme à coulisse à quatre éléments représenté sur la figure et si l'on fait tourner la manivelle *1*, la planche *D*, solidaire du coulisseau *2*, contourne la circonférence *H*. En déplaçant les charnières *B* et *C* dans les rainures *E* et *G*, on peut obtenir les circonférences de rayon désiré.

## 7. Mécanismes pour opérations mathématiques (1256-1318)

1256

MÉCANISME ADDITIONNEUR À COULISSE  
ET LEVIERS

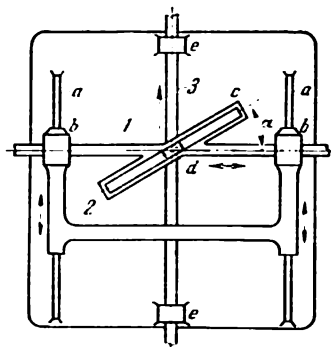
CL  
OM



Les éléments 1 et 2 sont animés d'un mouvement de translation dans les guides c. L'élément 3 se meut dans le guide d, et les galets a glissent dans les rainures b. Le déplacement linéaire  $x$  de l'élément 3 s'exprime par la relation

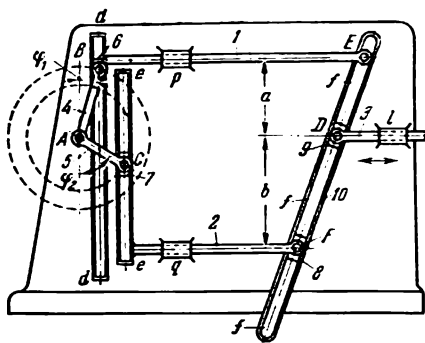
$$x = \frac{a_1}{a_1 + a_2} x_1 + \frac{a_1}{a_1 + a_2} x_2,$$

où  $x_1$  et  $x_2$  sont les déplacements linéaires respectifs des éléments 1 et 2, c'est-à-dire que le mécanisme réalise l'opération d'addition de deux grandeurs  $x_1$  et  $x_2$  introduites sous la forme du déplacement des éléments 1 et 2.



L'élément 2 glisse le long d'un guide fixe  $a$ . L'élément 1 glisse dans le guide  $b$  de l'élément 2. L'élément 3 glisse dans un guide fixe  $e$ . Les axes des guides  $a$  et  $e$  sont parallèles et tous deux sont perpendiculaires à l'axe du guide  $b$ . A l'élément 1 appartient le guide  $c$ , dont l'axe fait un angle constant  $\alpha$  avec l'axe du guide  $b$ . Le dé  $d$ , solidaire de l'élément 3, forme un angle constant de  $90^\circ - \alpha$  avec l'axe du guide  $e$ . Le déplacement  $s_3$  de l'élément 3 se compose des déplacements  $s_1$  et  $s_2$  de l'élément 1 et de l'élément 2 :

$$s_3 = s_2 + ks_1, \text{ où } k = \operatorname{tg} \alpha.$$



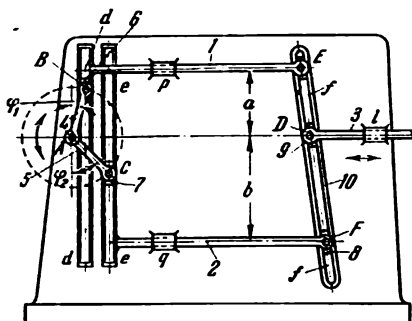
Les manivelles 4 et 5, mobiles autour d'un axe fixe A, forment les couples de rotation B et C avec les coulisseaux 6 et 7 qui glissent dans les guides  $d - d'$  et  $e - e'$  des éléments 1 et 2; ces derniers se déplacent dans les guidages fixes  $p$  et  $q$ . L'élément 1 forme un couple de rotation E avec la coulisse 10. L'élément 2 forme un couple de rotation F avec le coulisseau 8 glissant le long de la coulisse 10. L'élément 3, glissant le long d'un guide fixe  $l$ , forme un couple de rotation D avec le coulisseau 9 glissant dans la rainure  $f - f'$  de la coulisse 10. Le déplacement  $s_3$  de l'élément 3 est égal à

$$s_3 = m \sin \varphi_1 \pm n \sin \varphi_2,$$

où

$$m = \frac{b}{a+b} \cdot AB; \quad n = \frac{a}{a+b} \cdot AC,$$

et  $\varphi_1$  et  $\varphi_2$  sont les angles de rotation des éléments 4 et 5. Ainsi donc le déplacement linéaire de l'élément 3 résulte soit de l'addition, soit de la soustraction des déplacements linéaires des éléments 1 et 2. Les longueurs AB et AC des manivelles 4 et 5 ne sont pas égales entre elles.



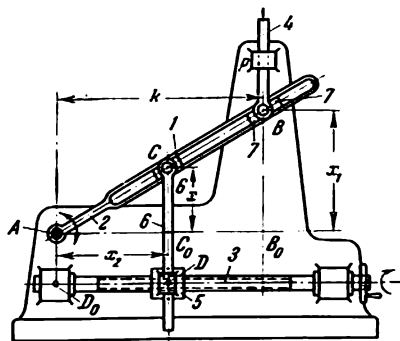
Les longueurs des éléments du mécanisme satisfont à la condition  $AB = AC = k$ . Les manivelles 4 et 5, tournant autour d'un axe fixe A, forment des couples de rotation B et C avec les coulisseaux 6 et 7. Les coulisseaux 6 et 7 glissent le long des guides  $d - d$  et  $e - e$  des éléments 1 et 2 qui suivent les guides fixes  $p$  et  $q$ . L'élément 1 forme un couple de rotation E avec la coulisse 10. L'élément 2 forme un couple de rotation F avec le coulisseau 8 glissant le long de la coulisse 10. L'élément 3 glisse le long d'un guide fixe  $l$  et forme un couple de rotation D avec le coulisseau 9 glissant dans la rainure  $f - f$  de la coulisse 10. Le déplacement  $s_3$  de l'élément 3 est égal à

$$s_3 = m \sin \varphi_1 \pm n \sin \varphi_2,$$

où  $m$  et  $n$  sont les grandeurs constantes telles que  $m = \frac{kb}{a+b}$

et  $n = \frac{ka}{a+b}$ ,  $\varphi_1$  et  $\varphi_2$  étant les angles de rotation des éléments 4 et 5. Ainsi donc le déplacement linéaire de l'élément 3 résulte soit de l'addition, soit de la soustraction des déplacements linéaires des éléments 1 et 2.





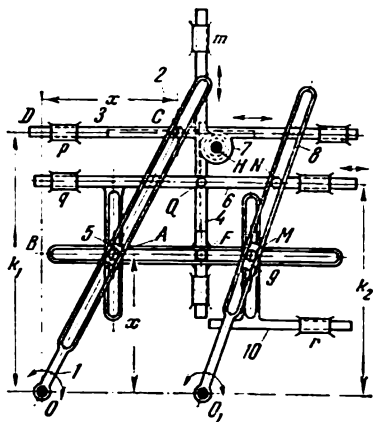
Les coulisseaux 1 et 7, qui forment des couples de rotation C et B avec les éléments 6 et 4, glissent dans la rainure de la coulisse 2 mobile autour d'un axe fixe A. L'élément 4 est animé d'un mouvement de translation dans un guidage fixe p, tandis que l'élément 6 effectue un mouvement de translation dans un guidage fixe 5 qui peut être déplacé par la vis 3 au moyen de laquelle on déplace l'écrou D le long de l'axe de la vis. En fixant à l'aide de cette vis le point D à la distance  $x_2 = DD_0$  du point  $D_0$ , et le point B de l'élément 4 à la distance  $x_1 = BB_0$  du point  $B_0$ , on obtient le déplacement

$x = CC_0$  du point C de l'élément 6:  $x = \frac{1}{k} x_1 \cdot x_2$ , où

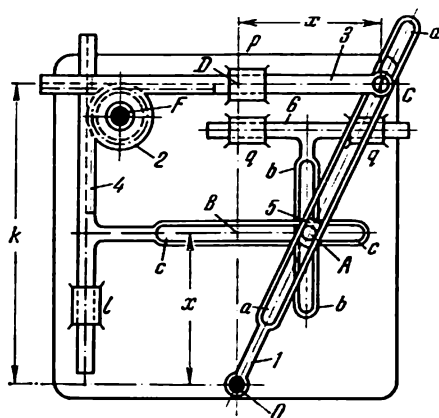
k est le paramètre constant du mécanisme. Le mécanisme réalise de la sorte l'opération de multiplication de deux facteurs  $x_1$  et  $x_2$ .



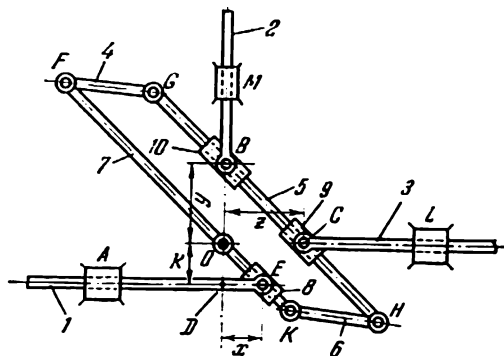




Les coulissex 5 et 9, munis de doigts A et M, glissent dans les rainures des coulisses 1 et 8 qui tournent autour des axes fixes O et  $O_1$ . Les doigts A et M coulisssent simultanément dans les rainures des éléments 4, 6 et 10. Le doigt C, solidaire de l'élément 3, glisse dans la rainure de la coulisse 1. Les éléments 3 et 4 portent des crémaillères qui sont en prise avec la roue dentée 7 tournant autour d'un axe fixe H. Les éléments 3, 6 et 10 sont animés d'un mouvement de translation dans les guidages fixes p, q et r dont les axes sont parallèles. L'élément 4 est animé d'un mouvement de translation le long d'un guide fixe m dont l'axe est perpendiculaire aux axes des guides p, q et r. Lorsque la coulisse 1 tourne autour de l'axe O, l'élément 6 fait tourner par son doigt N la coulisse 8 autour de l'axe  $O_1$ . Lorsqu'on procède au réglage du mécanisme, on doit observer les conditions:  $DC = BO = O_1F = x$  et  $BA = QN$ . Le déplacement  $s_{10} = FM$  de l'élément 10 est égal à  $x^2/k_1k_2$ , où  $k_1$  et  $k_2$  sont les dimensions constantes du mécanisme. Le mécanisme réalise de la sorte l'opération d'élévation au cube de la valeur x.



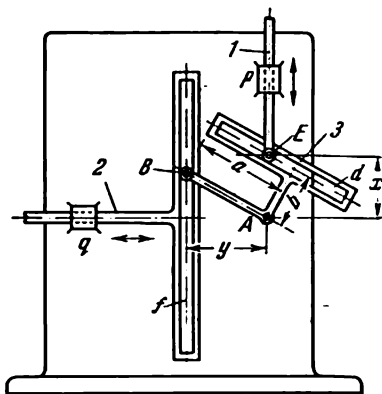
La coulisse 1 tourne autour d'un axe fixe  $O$ . Le coulisseau 5, qui s'engage par son doigt  $A$  dans les rainures  $b - b$  et  $c - c$  des éléments 4 et 6, glisse dans la rainure  $a - a$  de la coulisse 1. Les axes des rainures  $b - b$  et  $c - c$  sont perpendiculaires entre eux. L'élément 3 possède un doigt  $C$  glissant dans la rainure  $a - a$  de la coulisse 1 et se déplace d'un mouvement de translation dans un guidage fixe  $p$ . L'élément 4 est animé d'un mouvement de translation le long d'un guide fixe  $l$ . L'élément 6 effectue un mouvement de translation le long d'un guide fixe  $q$ . Les axes des guides  $p$  et  $q$  sont parallèles entre eux et perpendiculaires à l'axe du guide  $l$ . Les éléments 3 et 4 comportent des crémaillères qui engrenent avec la roue dentée 2 tournant autour d'un axe fixe  $F$ . On fixe la roue dentée de sorte que les distances  $DC = OB = x$ . Le déplacement  $s_6 = AB$  de l'élément 6 est égal à  $x^2/k$ , où  $k$  est la dimension constante du mécanisme.



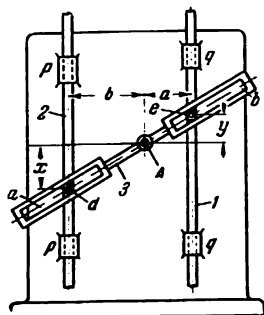
Les longueurs des éléments du mécanisme satisfont aux conditions:  $FG = KH$  et  $FK = GH$ . Les éléments 4, 5, 6 et 7 du mécanisme forment ainsi un parallélogramme articulé. Les éléments 1, 2 et 3 sont animés d'un mouvement de translation le long des guides fixes A, L et M. Les coulisseaux 8, 9 et 10 glissent le long des axes des éléments 5 et 7 et forment les couples de rotation E, C et B avec les éléments 1, 3 et 2. L'élément 7 tourne autour d'un axe fixe O. Les directions de mouvement des éléments 2 et 3 sont perpendiculaires entre elles et passent par le point O. Les directions de mouvement des éléments 1 et 3 sont parallèles. Lorsqu'on déplace l'élément 1 de la grandeur  $x$  et l'élément 2 de la grandeur  $y$ , l'élément commandé 3 se déplacera à la valeur telle que

$$z = \frac{x \cdot y}{k},$$

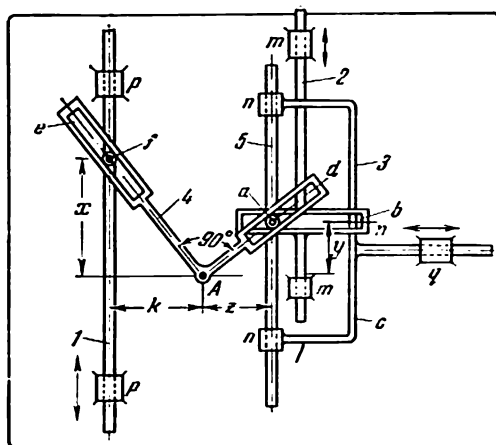
où  $k$  est le paramètre constant du mécanisme. Le mécanisme réalise de la sorte l'opération de multiplication de deux grandeurs indépendantes  $x$  et  $y$ .



L'élément 1 glisse le long d'un guide fixe *p*. L'élément 2 glisse le long d'un guide fixe *q* dont l'axe est perpendiculaire à l'axe du guide *p*. L'élément 3 tourne autour d'un axe fixe *A* et comporte une rainure *d* dont l'axe est parallèle au côté *AB* de l'élément 3. Le doigt *B* appartenant à l'élément 3 coulisse dans la rainure *f* de l'élément 2, tandis que le doigt *E* appartenant à l'élément 1 coulisse dans la rainure *d*. Le mécanisme reproduit la relation  $xy = ab$ , où *x* est le déplacement de l'élément 1, *y* étant le déplacement de l'élément 2, *a* et *b*, les dimensions constantes du mécanisme.



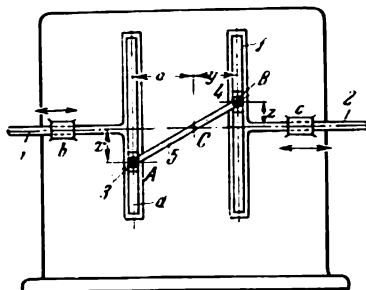
Les éléments  $1$  et  $2$  glissent le long des guides fixes  $q$  et  $p$  dont les axes sont parallèles. L'élément  $3$  tourne autour d'un axe fixe  $A$ . Les doigts  $d$  et  $e$  qui appartiennent aux éléments  $2$  et  $1$  coulissent dans les rainures  $a$  et  $b$  appartenant à l'élément  $3$ . Le mécanisme reproduit la relation  $y = kx$ , où  $y$  est le déplacement de l'élément  $1$ ;  $x$ , le déplacement de l'élément  $2$ ;  $k = a/b$  est le rapport des dimensions constantes du mécanisme.



L'élément 1 glisse le long d'un guidage fixe  $p - p$ . L'élément 3 glisse le long d'un guidage fixe  $q$  dont l'axe est perpendiculaire à l'axe du guidage  $p$ . Le levier coudé 4 tourne autour d'un axe fixe  $A$ . L'élément 2 comportant une rainure  $b$  coulisse dans un guidage fixe  $m - m$ . L'axe de la coulisse  $b$  est perpendiculaire à l'axe du guide  $m - m$ . L'élément 3 comporte une fourche  $c$  qui se termine par un guide  $n - n$  dans lequel coulisse l'élément 5. Le doigt  $a$  appartenant à l'élément 5 coulisse à la fois dans la rainure  $b$  et dans la rainure  $d$  appartenant aux éléments 2 et 4. Le doigt  $f$  appartenant à l'élément 1 coulisse dans la rainure  $e$  de l'élément 4. On établit la valeur du facteur  $x$  en déplaçant l'élément 1. On établit la valeur du facteur  $y$  en déplaçant l'élément 2. Dans ces conditions, l'élément 3 se déplace de la grandeur  $z$  telle que

$$z = \frac{xy}{k},$$

$k$  étant la dimension constante du mécanisme.

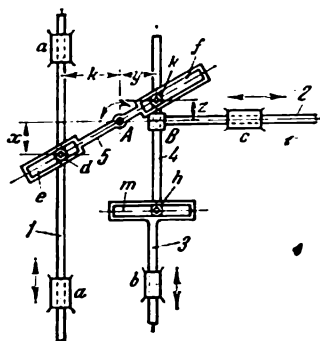


L'élément 1 suit un guide fixe *b* et comporte une coulisse *d* dont l'axe est perpendiculaire au déplacement de l'élément 1. L'élément 2 suit un guide fixe *c* et comporte une coulisse *f* dont l'axe est perpendiculaire à l'axe du mouvement de l'élément 2. L'élément 5 forme les couples de rotation *A* et *B* avec les coulisseaux 3 et 4 glissant dans les coulisses *d* et *f*. On établit la valeur du premier facteur, *x*, en déplaçant le coulisseau 3 par rapport à la coulisse 1. On établit la valeur du second facteur, *y*, en déplaçant la coulisse 2 à partir d'un certain point fixe *C*. Si l'on fixe maintenant la coulisse 1 à une distance arbitraire *a* du point *C* de l'élément 5, le coulisseau 4 se trouvera alors à une distance *z* telle que

$$z = \frac{xy}{a}$$

de l'axe du mouvement des coulisses 1 et 2.

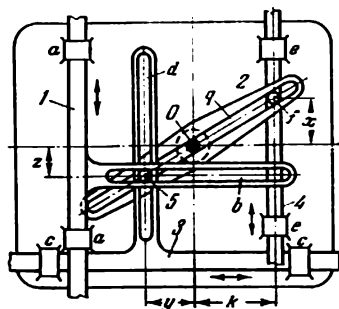




L'élément 1 suit un guide fixe  $a - a$  et comporte un doigt  $d$  glissant dans la coulisse  $e$  appartenant à l'élément 5. L'élément 5 tournant autour d'un axe fixe  $A$  comporte une coulisse  $f$  qui glisse sur le doigt  $k$  appartenant à l'élément 4. L'élément 4 constitue un couple de translation  $B$  avec l'élément 2 qui se déplace dans un guide fixe  $c$  et comporte un doigt  $h$  glissant dans la coulisse  $m$  appartenant à l'élément 3. Ce dernier se déplace dans un guide fixe  $b$ . On établit la valeur de l'un des facteurs  $x$  en déplaçant l'élément 1. On établit la valeur du second facteur,  $y$ , en déplaçant l'élément 2; dans ces conditions l'élément 4 et l'élément 3 se déplacent verticalement à une distance

$$z = \frac{1}{k} xy,$$

où  $k$  est la dimension constante du mécanisme, qui représente la plus courte distance de l'axe du guide  $a - a$  au point  $A$ .



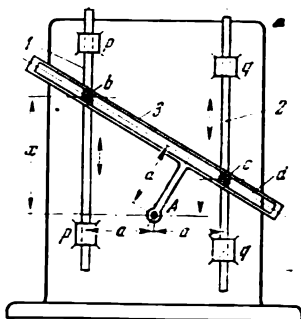
L'élément 1 se meut dans un guide fixe  $a - a$  et comporte une coulisse  $b$  dont l'axe est perpendiculaire à l'axe du mouvement de l'élément 1. L'élément 3 se meut dans un guide fixe  $c - c$  et comporte une coulisse  $d$  dont l'axe est perpendiculaire à l'axe du mouvement de l'élément 3. Les axes des coulisses  $b$  et  $d$  sont perpendiculaires entre eux. L'élément 4 se meut dans un guide fixe  $e - e$ , dont l'axe est parallèle à l'axe du guide  $a - a$ , et comporte un doigt  $f$  glissant dans la coulisse  $q$  qui appartient à l'élément 2 tournant autour d'un axe fixe  $O$ . Le doigt 5 glisse simultanément dans les coulisses  $b$ ,  $d$  et  $q$ . Lorsqu'on déplace le doigt  $f$  de la grandeur  $x$  et l'élément 3 de la grandeur  $y$ , le déplacement  $z$  de l'élément 1 est déterminé par la formule

$$z = \frac{1}{k} xy,$$

où  $k$  est la dimension constante du mécanisme, qui représente la plus courte distance de l'axe du guide  $e$  au point  $O$ .

1272

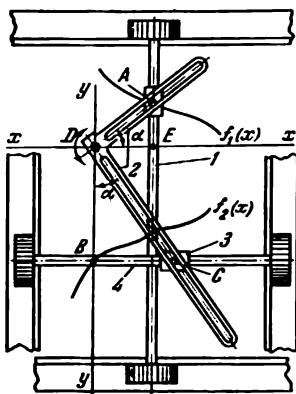
# MÉCANISME MULTIPLICATEUR À COULISSE ET LEVIERS

CL  
OM

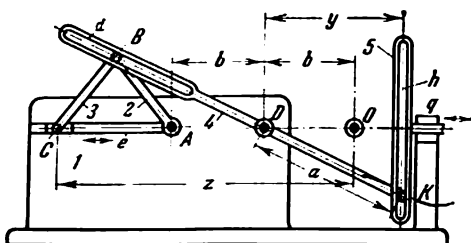
Les éléments 1 et 2 glissent dans les guides  $p - p$  et  $q - q$  dont les axes sont parallèles. L'élément 3 tourne autour d'un axe fixe  $A$  et présente une rainure  $d$  dans laquelle glissent les doigts  $b$  et  $c$  appartenant aux éléments 1 et 2. Le mécanisme reproduit la relation  $xy = a^2$ , où  $x$  est le déplacement de l'élément 1;  $y$ , le déplacement de l'élément 2;  $a$ , la dimension constante du mécanisme.

1273

# MÉCANISME MULTIPLICATEUR À COULISSE ET LEVIERS DE KRYLOV

CL  
OM

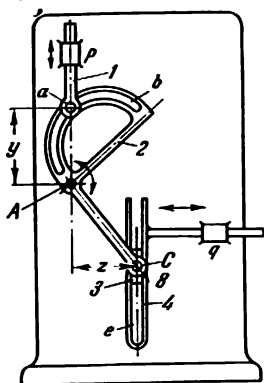
Lorsqu'on suit avec le calquoir  $A$  la trace de la courbe  $f_1(x)$ , le chariot 1 se déplace dans le sens de l'axe  $x - x$ , tandis que la coulisse 2 pivote autour d'un point fixe  $D$ . En même temps, le coulisseau 3 glisse dans un guide 4 qui se déplace dans le sens de l'axe  $y - y$  en sorte que  $DB$  reste toujours égale à  $f_2(x)$  et que la distance  $BC$  détermine le produit  $BC = DB \operatorname{tg} \alpha = f_2(x) \cdot f_1(x)$ . On prend  $DE$  égale à l'unité de l'échelle dans laquelle sont données les fonctions  $f_2(x)$  et  $f_1(x)$ .



Les longueurs des éléments du mécanisme satisfont aux conditions:  $AB = BC = AD = DO = b$ ;  $DK = a$ . L'élément 2, tournant autour d'un axe fixe A, constitue un couple de rotation B avec l'élément 3. La coulisse 4 glisse par sa rainure d sur le doigt fixé au point B. Le coulisseau 1, qui forme un couple de rotation C avec l'élément 3, glisse le long d'un guide fixe e. La coulisse 4 mobile autour d'un axe fixe D glisse par son doigt K dans la rainure h de la coulisse 5 qui glisse le long d'un guide fixe q. Le mécanisme reproduit la relation

$$y = \frac{a}{2b^2} \sqrt{z},$$

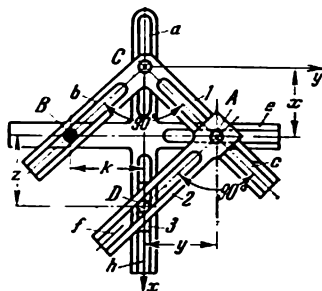
z étant la distance du point fixe O au point C du coulisseau 1; y, la distance de la ligne axiale de la coulisse 2 au point D; a et b, les dimensions constantes du mécanisme.



L'élément 1 glisse dans un guide fixe  $p$  et se termine par le galet  $a$  glissant dans la rainure façonnée de l'élément 2 mobile autour d'un axe fixe  $A$ . L'élément 2 forme un couple de rotation  $C$  avec le coulisseau 3 glissant dans la rainure  $e$  de l'élément 4. L'élément 4 glisse dans un guide fixe  $q$ . La grandeur  $y$  qu'on doit élever en puissance est introduite par l'élément 1 dont le doigt  $a$  coulisce dans la rainure curviligne  $b$  de l'élément 2 lorsqu'on le fait tourner autour de l'axe  $A$ . Le mouvement de l'élément 2 est transmis à l'élément 4 dont le déplacement est égal à

$$z = ky^n,$$

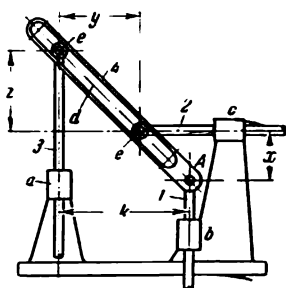
où  $k$  est la constante des dimensions du mécanisme. A chaque valeur de  $n$  correspond une forme particulière de la rainure curviligne  $b$ .



L'élément coudé 1 présente une rainure *b* qui glisse sur un doigt immobile *B*. Le doigt *C*, appartenant à l'élément 1, glisse dans une rainure fixe *a*. Le coulisseau 2 glisse le long de l'axe de la rainure *c* de l'élément 1 et comporte un doigt *A* qui glisse à la fois dans la rainure *c* et dans une rainure fixe *e*. Par sa rainure *f*, l'élément 2 glisse sur le doigt *D* du coulisseau 3 qui se meut dans un guide fixe *h*. Lors du mouvement du doigt *C* de l'élément 1 le long du guide *a*, l'élément 1 provoque le déplacement du coulisseau 2 et du coulisseau 3. On a

$$y = x^2/k \text{ et } z = x^3/k^2,$$

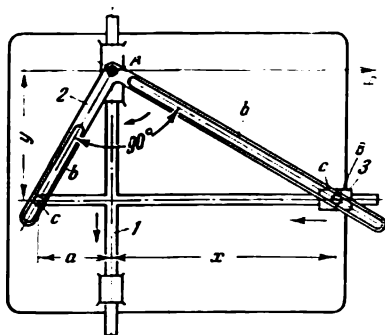
*k* étant la dimension constante du mécanisme.



Les éléments 1 et 3 sont animés d'un mouvement de translation dans les guides parallèles *a* et *b* dont les axes sont distants l'un de l'autre de *k*. L'élément 2 se meut dans le guide *c* dont l'axe est perpendiculaire aux guides *a* et *b*. L'élément 1 forme un couple de rotation *A* avec l'élément 4 qui présente une rainure *d*, dans laquelle glissent les doigts *e* des éléments 2 et 3. Le déplacement de l'élément 3 de la grandeur *z* résulte des déplacements des éléments 1 et 2 des grandeurs *x* et *y*. On a

$$z = \frac{xy}{k-y},$$

où *k* est la dimension constante du mécanisme. Le mécanisme réalise de la sorte l'opération de multiplication de deux grandeurs, *x* et *y*, introduites sous forme de déplacements des éléments 1 et 2.

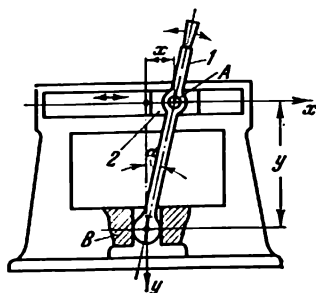


L'élément rectangulaire 2 présente deux rainures *b*, perpendiculaires entre elles, dans lesquelles glissent les doigts *c* dont le diamètre est égal à la largeur des rainures. Le déplacement *x* du coulisseau 3 est égal au carré du déplacement de l'élément 1, soit

$$x = \frac{1}{a} y^2.$$

Le mécanisme peut être utilisé comme un parabolographe puisque le point *B*, centre du doigt *c* appartenant au coulisseau 3, reproduit la parabole.





Le mouvement oscillatoire du levier 1 se transforme en mouvement de va-et-vient rectiligne du coulisseau 2. La rotule du levier 1 glisse dans le guide vertical du support. Les déplacements  $x$  et  $y$  des points  $A$  et  $B$  sont liés par l'équation

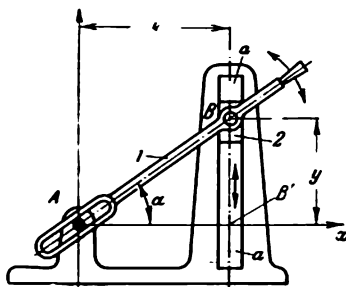
$$y = \sqrt{(AB)^2 - x^2}.$$

L'angle  $\alpha$  de rotation du levier 1 est égal à :

$$\alpha = \arcsin \frac{x}{AB}.$$

1280

# MÉCANISME À COULISSE, À TROIS ÉLÉMENTS SERVANT À OBTENIR LES SÉCANTES

CL  
OM

La coulisse 1 glisse par sa rainure sur le doigt A fixé sur le support. La coulisse 1 forme un couple de rotation B avec le coulisseau 2 animé d'un mouvement alternatif dans le guidage rectiligne  $a - a$  du support. La distance variable AB est égale à

$$AB = k \sec \alpha.$$

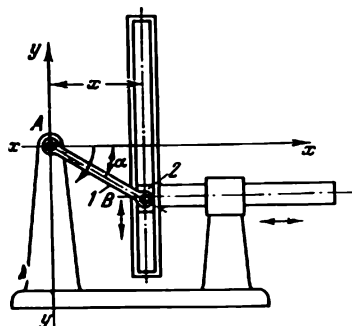
La course  $y$  du coulisseau B à partir de sa position inférieure extrême B' est telle que

$$y = k \tan \alpha,$$

où  $\alpha$  est l'angle formé par l'axe AB de la coulisse 1 avec l'axe Ax.

1281

# MÉCANISME À COULISSE POUR OBTENIR LES SINUS

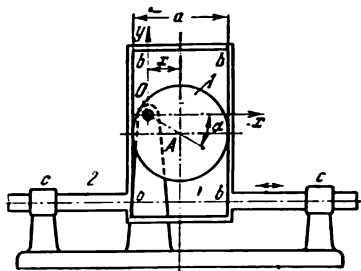
CL  
OM

Le mécanisme sert à obtenir les fonctions de sinus et de cosinus. Lorsque la manivelle 1 tourne d'un angle  $\alpha$ , le coulisseau 2 vient se fixer à une distance  $x$  telle que

$$x = a \cos \alpha =$$

$$= a \sin \left( \frac{\pi}{2} - \alpha \right),$$

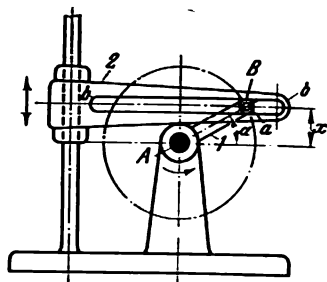
$$\text{où } a = AB.$$



L'excentrique 1 tourne autour d'un axe fixe  $O$  et exerçant son action sur les côtés  $b-b$  du cadre rectangulaire de l'élément 2 il le fait glisser dans un guide fixe  $c$ . Le déplacement  $x$  de l'élément 2 est donné par la formule

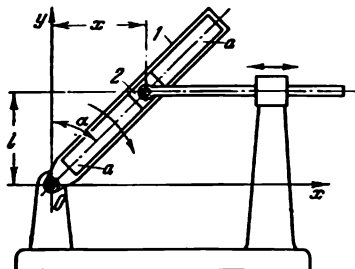
$$x = OA \cos \alpha = OA \sin \left( \frac{\pi}{2} - \alpha \right).$$

La largeur  $a$  du cadre est constante et égale à  $2 OA$ .



L'élément 1 se termine par un rouleau cylindrique  $a$  de section ronde qui glisse dans la rainure  $b - b$ , son diamètre étant égal à la largeur de la rainure  $b$ . Le mécanisme sert à obtenir les fonctions de sinus et de cosinus. Le déplacement linéaire  $x$  de l'élément 2 est proportionnel au sinus de l'angle  $\alpha$  de rotation de la manivelle 1, c'est-à-dire :

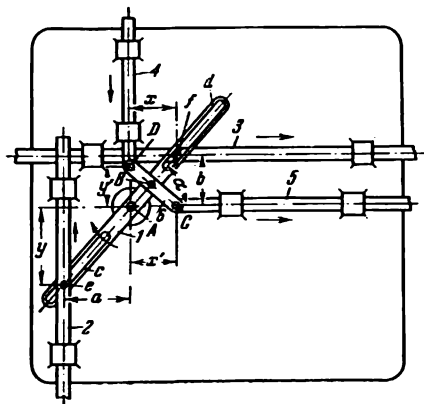
$$x = AB \sin \alpha = AB \cos \left( \frac{\pi}{2} - \alpha \right).$$



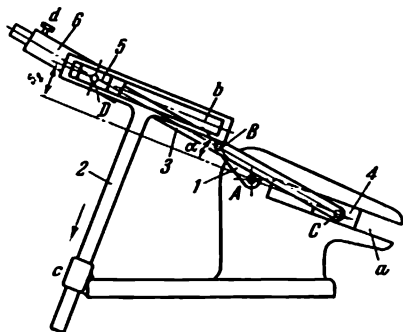
Le mécanisme est destiné à obtenir les fonctions de tangente et de cotangente. Lorsque la coulisse 1 tourne d'un angle  $\alpha$ , le coulisseau 2 vient se fixer à la distance

$$x = l \operatorname{tg} \alpha = l \frac{1}{\operatorname{cotg} \alpha}.$$

Le mécanisme permet d'obtenir les fonctions de tangente et de cotangente pour une gamme déterminée des valeurs de l'angle  $\alpha$ , cette gamme étant définie par le choix de la longueur de la coulisse  $a - a$ .



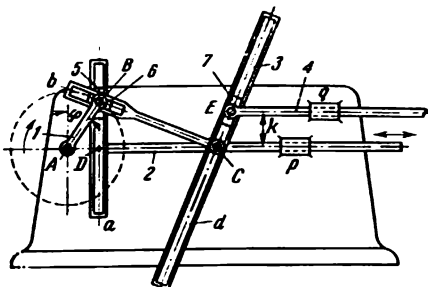
Les longueurs des éléments du mécanisme satisfont à la condition  $AB = BC = BD$ . La manivelle 1 présente deux rainures  $c$  et  $d$ , dans lesquelles glissent les doigts  $e$  et  $f$  des éléments 2 et 3. La bielle 6 forme en  $B$  un couple de rotation avec la manivelle 1, et en  $D$  et  $C$ , des couples de rotation avec les éléments 4 et 5. Les éléments 2, 3, 4 et 5 glissent dans les guides fixes perpendiculaires entre eux. Lorsque la manivelle 1 est en mouvement, l'élément 2 reçoit un déplacement  $y$  proportionnel à la tangente de l'angle  $\alpha$  de rotation de la manivelle 1, soit  $y = a \operatorname{tg} \alpha$ ; l'élément 3 reçoit un déplacement  $x$  proportionnel à la cotangente de l'angle  $\alpha$  de rotation de la manivelle 1, car  $x = b \operatorname{cotg} \alpha$ ; l'élément 4 reçoit un déplacement  $y'$  proportionnel au sinus de l'angle  $\alpha$  de rotation de la manivelle 1, c'est-à-dire  $y' = 2r \sin \alpha$ , où  $2r = DC$ , et l'élément 5 reçoit un déplacement  $x'$  proportionnel au cosinus de l'angle  $\alpha$  de rotation de la manivelle 1, c'est-à-dire  $x' = 2r \cos \alpha$ , où  $r = AB$ .



Le coulisseau 6 peut être fixé avec la vis  $d$  en un point quelconque de l'axe de la bielle 3 du mécanisme  $ABC$  à coulisseau et manivelle. L'élément 2 se déplace dans un guide fixe  $c$  dont l'axe est perpendiculaire à l'axe  $a$  de glissement du coulisseau 4 et à l'axe  $b$  de glissement du coulisseau 5. Lorsque la manivelle 1 est en mouvement, la coulisse 2 reçoit des déplacements  $s_2$  proportionnels au sinus de l'angle  $\alpha$  de rotation de la manivelle 1 par rapport à l'axe de la glissière  $a$ , car

$$s_2 = \frac{DC \cdot AB}{BC} = k \sin \alpha.$$

En variant la distance  $DC$ , on peut obtenir les différentes valeurs du coefficient  $k$ .

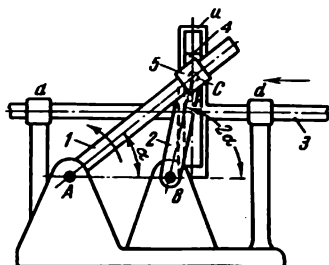


Les longueurs des éléments du mécanisme sont telles que  $AB = r$  et  $CD = f$ . La manivelle 1, tournant sur un axe fixe A, forme un couple de rotation B avec le coulisseau 5 qui glisse dans la coulisse a de l'élément 2. L'élément 2 est animé d'un mouvement de translation dans un guidage fixe p. L'élément 2 forme en C un couple de rotation avec l'élément 3 qui se présente sous la forme d'un levier coudé comportant deux rainures b et d perpendiculaires entre elles. Le coulisseau 6 qui forme un couple de rotation B avec le coulisseau 5 glisse dans la rainure b. Le coulisseau 7 qui forme un couple de rotation E avec l'élément 4 animé d'un mouvement de translation dans un guidage fixe q glisse dans la rainure d. Le déplacement  $s_4$  de l'élément 4 dans la glissière q a pour expression

$$s_4 = r \left( 1 - \sin \varphi + \frac{k}{f} \cos \varphi \right),$$

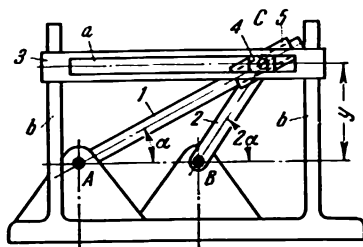
c'est-à-dire que le déplacement linéaire de l'élément 4 résulte du déplacement linéaire de l'élément 2 et de la rotation de la coulisse 3.





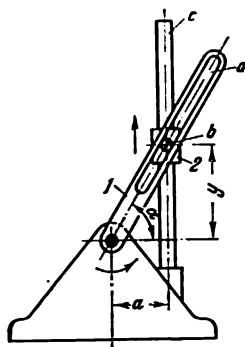
Les longueurs des éléments du mécanisme satisfont à la condition  $AB = BC$ . L'élément 1, tournant autour d'un axe fixe A, se déplace dans le coulisseau 5 qui forme un couple de rotation C avec le coulisseau 4 glissant dans le guide a de l'élément 3. L'élément 3 coulisse dans un guide fixe d — d. Lorsque l'élément 1 tourne d'un angle  $\alpha$ , la manivelle 2 pivote à l'angle  $2\alpha$ , et la coulisse 3 effectue dans le sens horizontal un déplacement  $x$  proportionnel au cosinus de l'angle double, car

$$x = BC \cos 2\alpha.$$



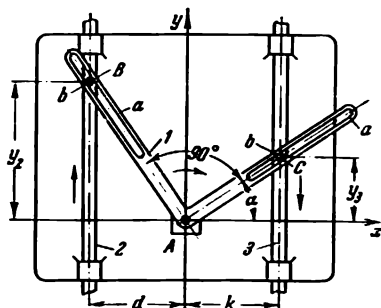
Les longueurs des éléments du mécanisme satisfont à la condition  $AB = BC$ . L'élément 1, tournant autour d'un axe fixe A, se meut dans le coulisseau 5 qui forme un couple de rotation C avec le coulisseau 4. Le coulisseau 4 glisse le long du guide a de l'élément 3 se déplaçant le long des montants b. Lorsque l'élément 1 tourne d'un angle  $\alpha$ , la manivelle 2 tourne de l'angle  $2\alpha$ , et la coulisse 3 effectue dans le sens vertical un déplacement  $y$  proportionnel au sinus de l'angle double, c'est-à-dire :

$$y = BC \sin 2\alpha.$$

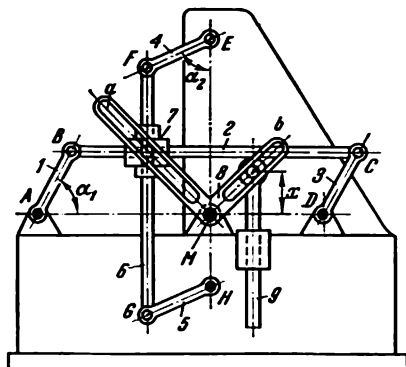


L'élément 1 présente une rainure *a*, dans laquelle glisse le doigt *b* du coulisseau 2 qui se meut le long de la barre *c* du support. Le déplacement *y* du coulisseau 2 en sens vertical est proportionnel à la tangente de l'angle  $\alpha$  de rotation de la coulisse 1 :

$$y = a \operatorname{tg} \alpha.$$

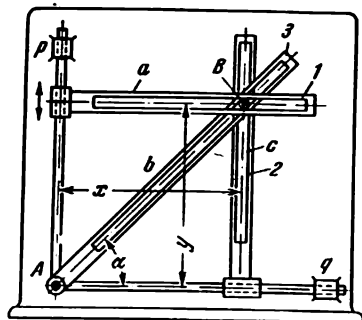


La coulisse 1 à angle droit présente deux rainures  $a$  perpendiculaires entre elles, dans lesquelles se meuvent les doigts  $b$  dont le diamètre est égal à la largeur des rainures. Lorsque la coulisse 1 est en mouvement, les éléments 2 et 3 reçoivent des déplacements en sens opposés. Le déplacement  $y_3$  de l'élément 3 a pour valeur  $y_3 = k \operatorname{tg} \alpha$ , tandis que le déplacement  $y_2$  de l'élément 2 est égal à  $y_2 = d \operatorname{cotg} \alpha$ . Le mécanisme peut donc être utilisé pour obtenir les fonctions de  $\operatorname{tg} \alpha$  et de  $\operatorname{cotg} \alpha$ .



Les longueurs des éléments du mécanisme satisfont aux conditions:  $AB = CD = EF = HG$  et  $BC = AD = FG = EH$ . Le coulisseau cruciforme 7, aux axes de glissement perpendiculaires entre eux, glisse suivant les axes des éléments 2 et 6. La coulisse coudée 8 comportant deux rainures  $a$  et  $b$ , dont les axes sont également perpendiculaires entre eux, tourne autour d'un axe fixe  $M$ . Le déplacement linéaire  $x$  de la tige 9, proportionnel au rapport du sinus de l'angle  $\alpha_1$  au sinus de l'angle  $\alpha_2$ , se compose de déplacements angulaires des éléments 1 et 4, le mécanisme remplissant toujours la condition

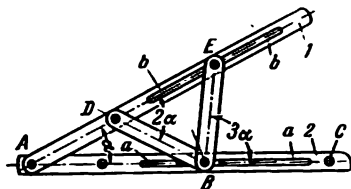
$$x = AB \frac{\sin \alpha_1}{\sin \alpha_2}.$$



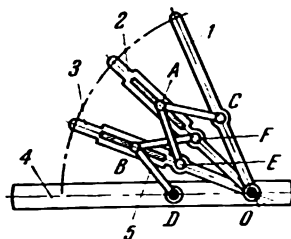
Les coulisses 1 et 2 glissent le long des guides fixes  $p$  et  $q$  dont les axes forment un angle de  $90^\circ$ . La coulisse 3 tourne autour d'un axe fixe  $A$ . Le doigt  $B$  glisse à la fois dans les rainures  $a$ ,  $b$  et  $c$ . Le mécanisme reproduit la relation

$$\operatorname{tg} \alpha = \frac{y}{x},$$

où  $\alpha$  est l'angle de rotation de la coulisse 3;  $y$ , le déplacement de la coulisse 1 dans le sens vertical, et  $x$ , le déplacement de la coulisse 2 dans le sens horizontal.

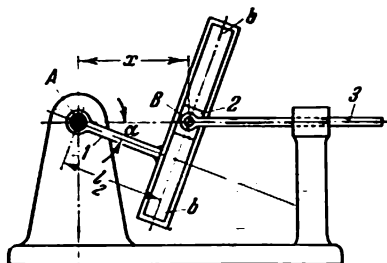


Les longueurs des éléments du mécanisme satisfont à la condition  $AD = DB = BE$ . Les éléments 1 et 2 constituent un couple de rotation A. Le doigt B se meut dans la glissière  $a - a$  et le doigt E, dans la glissière  $b - b$ . Si les éléments ont les dimensions adoptées et l'élément 1 est en position quelconque par rapport à l'élément 2, l'angle  $DAB = \alpha$ , l'angle  $EDB = 2\alpha$  et l'angle  $EBC = 3\alpha$ .



Les longueurs des éléments du mécanisme satisfont aux conditions:  $OD = OE = OF = OC$  et  $AC = AE = BF = BD$ . Les éléments 1, 2 et 3 tournent autour d'un axe fixe O. L'élément 5 tourne autour d'un axe fixe D. Les doigts A et B glissent dans les rainures des éléments 2 et 3. Quelle que soit la position de l'élément 1 par rapport à l'élément 4, les éléments 2 et 3 divisent en trois parties égales l'angle compris entre l'élément fixe 4 et l'élément 1.

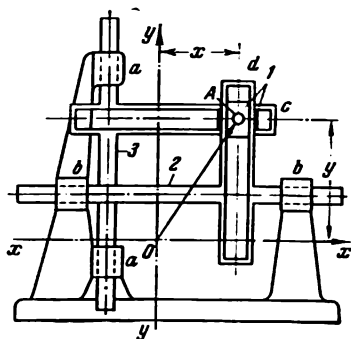




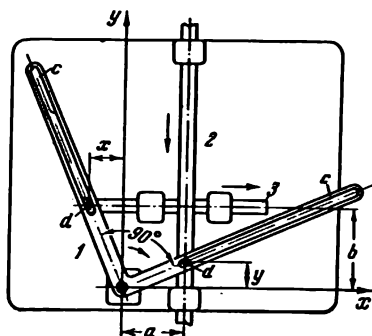
L'élément 1, mobile autour d'un axe fixe A, présente un guide  $b - b$  dans lequel se meut le coulisseau 2 qui forme un couple de rotation B avec l'élément 3 glissant le long d'un guide fixe. Lorsque l'élément 1 tourne d'un angle  $\alpha$ , le point B du coulisseau 2 vient se fixer à une distance  $x$  du point A telle que

$$x = \frac{l_2}{\cos \alpha},$$

où  $l_2$  est la plus courte distance du point A à l'axe du guide  $b - b$ . La valeur  $x$  est proportionnelle à la sécante de l'angle  $\alpha$ . Le mécanisme ne peut fonctionner que si l'angle  $\alpha$  reste entre certaines limites.

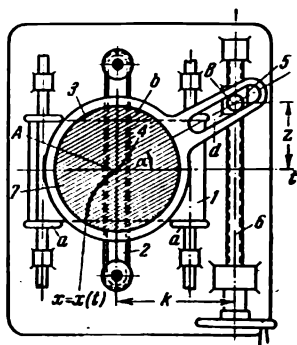


L'élément 3 se déplace dans un guide fixe  $a - a$ . L'élément 2 se déplace dans un guide fixe  $b - b$ . Le coulisseau en croix 1 se déplace dans les guides  $c$  et  $d$  perpendiculaires des éléments 3 et 2. La position du point  $O$  de l'origine du vecteur  $\overline{OA}$  et les coordonnées  $x, y$  de son extrémité étant données, le mécanisme permet de déterminer la grandeur du vecteur  $\overline{OA}$  comme la somme géométrique des déplacements  $x$  et  $y$  des éléments 2 et 3 dans les guides  $a$  et  $b$ , c'est-à-dire la valeur  $OA = \sqrt{x^2 + y^2}$ .

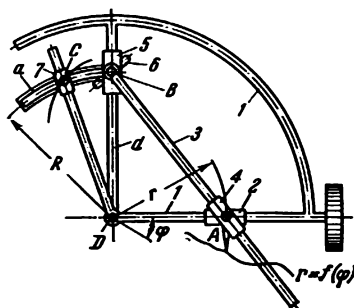


L'élément coudé 1 présente deux rainures *c* perpendiculaires entre elles dans lesquelles glissent les doigts *d* dont le diamètre est égal à la largeur des rainures. Lorsque l'élément 1 est en mouvement, les éléments 2 et 3 reçoivent des déplacements perpendiculaires entre eux. Les déplacements *x* et *y* des éléments 3 et 2 sont soumis à la condition

$$\frac{x}{y} = \frac{b}{a} = \text{const.}$$



L'appareil est destiné à la dérivation graphique des fonctions du type  $x = x(t)$ , c'est-à-dire à obtenir les valeurs de la fonction  $\dot{x} = \dot{x}(t)$ . Le graphique  $x = x(t)$  est porté sur un ruban de papier 1 qui se déroule et passe de la bobine *a* à une autre bobine de façon proportionnelle à la grandeur *t*. Le crayon 4 relié à un fil flexible 2 se déplace dans le sens vertical de façon proportionnelle à la valeur *x*. Lors du mouvement simultané du ruban de papier 1 et du crayon 4, la courbe continue  $x = x(t)$  est ainsi tracée sur le ruban. L'élément 3, mobile autour d'un axe fixe *A*, comporte la coulisse *d* glissant sur le doigt *B* de l'écrou 5 qui forme un couple hélicoïdal avec l'élément 6. L'élément 3 est rendu solidaire du disque transparent 7 sur lequel sont portés des sillons *b* dont la direction est parallèle à l'axe de la fonction  $x = x(t)$ , on fait tourner le disque 3 au moyen de la vis 6 jusqu'à ce que l'un des sillons devienne tangent à la courbe  $x = x(t)$  au point où l'on cherche la dérivée  $\dot{x} = \dot{x}(t)$ . La grandeur proportionnelle à cette dérivée est égale à  $\operatorname{tg} \alpha = \frac{1}{k} z$ ,  $\alpha$  étant l'angle formé par la direction *AB* avec l'axe *At*, et *k*, la dimension constante du mécanisme qui est la plus courte distance du point *A* à l'axe de la vis 6.

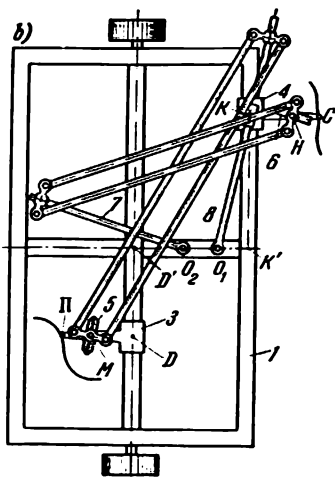


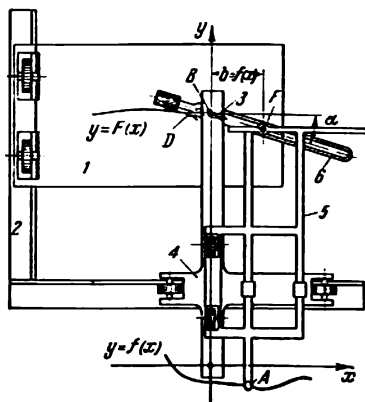
Lorsqu'on suit avec le calquoir *A* la trace de la courbe  $r = f(\varphi)$ , l'élément *1* tourne autour d'un axe fixe *D*. Le coulisseau *2* glisse sur un rayon guide de l'élément *1*. La coulisse *3* pivote sur l'articulation *B* et glisse dans le coulisseau *4* articulé sur le coulisseau *2*. Le coulisseau *5* glisse sur le guide *d* et entraîne la coulisse *a* faisant avec lui un seul bloc. Le crayon *C* du coulisseau *7* décrit la courbe intégrale vérifiant l'équation

$$R = \int r d\varphi.$$

La roue au bord aigu *6*, perpendiculaire à la coulisse *3*, délimite le mouvement de la coulisse *3* le long de son axe.



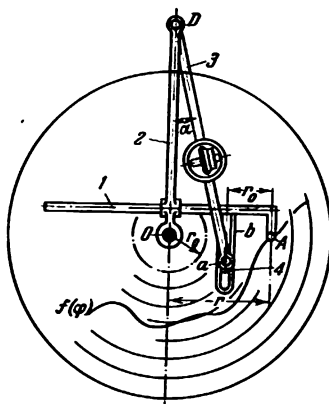




Lorsqu'on suit avec le calquoir  $A$  la trace d'une courbe donnée  $y = f(x)$ , le crayon  $D$  trace sur le chariot  $1$  la courbe intégrale  $y = F(x)$ . Le chariot  $1$  se déplace le long du guidage  $2$  grâce à la roue au bord aigu  $3$  qui tourne autour de l'axe  $B$  du chariot  $4$  roulant dans le sens de l'axe  $x$ . Le chariot  $5$  dont le doigt  $F$  glisse dans la rainure de la coulisse  $6$ , mobile autour de l'axe  $B$ , roule sur le chariot  $4$  le long de l'axe  $y$ . La distance entre les points  $F$  et  $B$  est égale à  $b = f(x)$ . La coulisse  $6$  étant toujours parallèle au plan de la roue  $3$ , l'angle

$$\alpha = \arctg \frac{y}{b}.$$

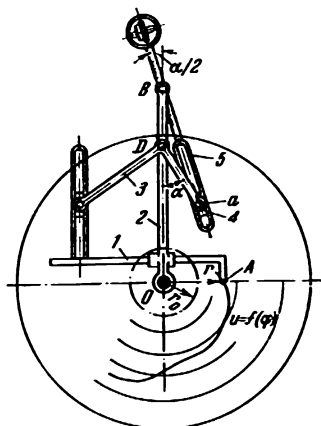




Lorsqu'on suit avec le crayon *A* la trace de la courbe  $f(\varphi)$ , l'élément *1* glisse dans le guidage appartenant à l'élément *2* qui tourne autour du pôle *O*. L'élément *3* tourne autour de l'articulation *D* et son doigt *a*, relié au coulisseau *4*, se déplace dans la rainure *b* de la coulisse de l'élément *1*. Le nombre de tours de la roue de comptage est proportionnel à l'intégrale

$$u = c \int (r - r_0) d\varphi,$$

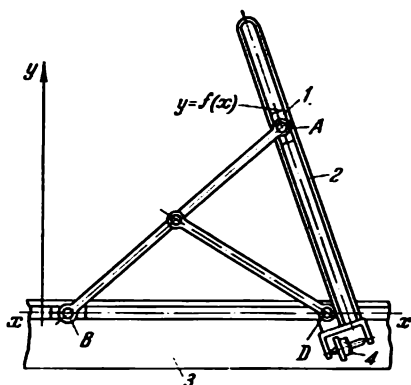
où *c* est le coefficient de proportionnalité;  $\varphi$ , l'angle de rotation de l'élément *1*.



Lorsqu'on suit avec le crayon *A* la trace de la courbe  $f(\varphi)$ , l'élément *1* glisse dans le guidage appartenant à l'élément *2*, mobile autour du pôle *O*. En même temps, l'élément coudé *3* tourne autour de l'articulation *D* et son doigt *a*, relié au coulisseau *4* qui glisse dans la coulisse *5*, fait tourner cette dernière autour de l'articulation *B*. Le nombre de tours de la roue de comptage est proportionnel à l'intégrale

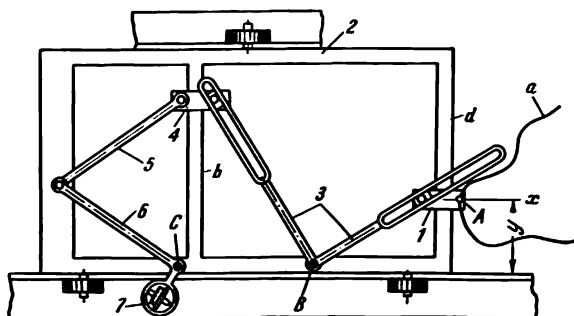
$$u = c \int \sqrt{r - r_0} d\varphi,$$

où *c* est le coefficient de proportionnalité;  $\varphi$ , l'angle de rotation de l'élément *1*.

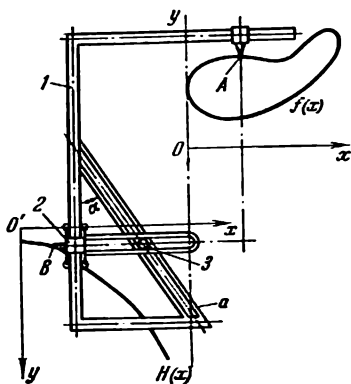


Lorsqu'on suit avec le crayon *A* la trace de la courbe  $y = f(x)$ , le coulisseau *1* glisse le long de la coulisse *2*. Les doigts *D* et *B* glissent dans la rainure de la pièce de guidage *3*. L'angle de rotation du rouleau *4* est proportionnel à la valeur

$$\text{de l'intégrale } \int \frac{dx}{y}.$$



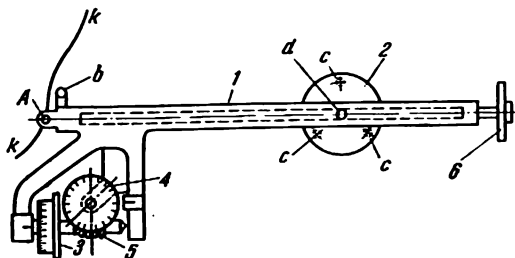
Lorsqu'on suit avec le crayon *A* la trace de la courbe *a*, le coulisseau *1* se meut le long de la barre de guidage *d* du chariot *2*; la coulisse *3*, tournant autour d'un point *B* fixé sur le chariot, fait glisser le coulisseau *4* le long de la barre de guidage *b*. L'élément *6* qui porte à son extrémité le rouleau de comptage *7* s'articule sur l'élément *5* qui, à son tour, s'articule sur l'élément *4*. La rotation du rouleau fournit la valeur de l'intégrale cherchée  $\int \frac{1}{y} dx$ . Les axes des articulations *B* et *C* sont fixés sur le chariot *2*.



Avec le calquoir  $A$ , rendu solidaire du cadre  $1$ , on suit la trace de la courbe  $f(x)$  construite dans un système de coordonnées ayant le point  $O$  pour origine. Le déplacement du calquoir  $A$  le long de la courbe  $f(x)$  met en mouvement l'ensemble du cadre qui peut suivre les axes  $x - x'$  et  $y - y'$  grâce à un système de guidages non représenté. Lorsqu'on suit la trace de la courbe  $H(x)$  avec le crayon  $B$ , cette courbe étant construite dans un deuxième système de coordonnées ayant le point  $O'$  pour origine, le chariot  $2$  se meut le long de la barre de guidage verticale du cadre  $1$ . La pointe  $3$ , qui est un calquoir du planimètre rattaché, glisse à la fois dans la coulisse du chariot  $2$  et dans le guide  $a$ , solidaire du cadre  $1$ , et la roue de comptage du planimètre fournit la valeur de la fonction qui a pour expression

$$u = k \int f(x) h(x) dx,$$

où  $k$  est le coefficient de proportionnalité défini par les dimensions du planimètre.



Lorsqu'on suit avec le crayon *A* la trace de la courbe *k*, l'élément *1* de l'intégrateur glisse sur le doigt *d* du disque immobile *2*, en tournant d'un certain angle  $\varphi$ . Le nombre de tours *n* du rouleau de comptage *3* est donné par l'expression

$$n = \frac{1}{2\pi a} \int_0^\varphi r d\varphi,$$

où *a* est le rayon du rouleau de comptage *3*;  $p = d$  étant la distance du crayon *A* à l'axe du doigt *d* qui est l'origine des coordonnées. Le rayon moyen de courbure de la courbe *k* s'exprime par

$$r_{\text{moy}} = \frac{1}{\varphi} \int_0^\varphi r d\varphi,$$

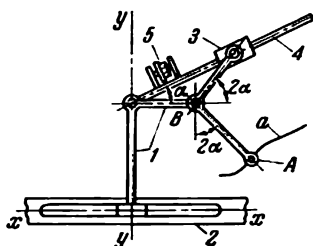
ou

$$r_{\text{moy}} = \frac{2\pi}{\varphi} an,$$

où *r* est le rayon de courbure de la courbe *k*. Lorsqu'on suit avec le crayon *A* la trace d'un contour fermé  $r_{\text{moy}} = an$ , le cadran *4*, mis en rotation par le rouleau *3* au moyen de la vis sans fin *5* et de la roue hélicoïdale solidarisée avec le cadran *4*, compte les tours complets du rouleau *3*, l'échelle du rouleau indiquant les parties fractionnaires. Le pied *b*, les pointes *c* du disque *2* et le rouleau *6* constituent les points d'appui de l'intégrateur.

1309

# MÉCANISME À COULISSE ET LEVIERS DE L'INTÉGRATEUR

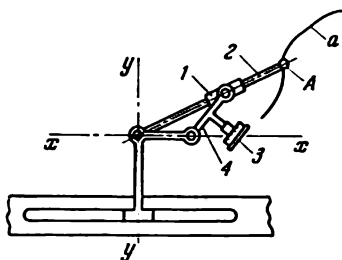
CL  
OM

Lorsqu'on suit avec le crayon *A* la trace de la courbe *a*, l'élément *l* se déplace le long de la glissière rectiligne 2, et le coulisseau 3 le long de la coulisse 4. L'angle de rotation du rouleau de comptage 5 est proportionnel à l'intégrale

$$u = \int \sqrt{y} \, dx.$$

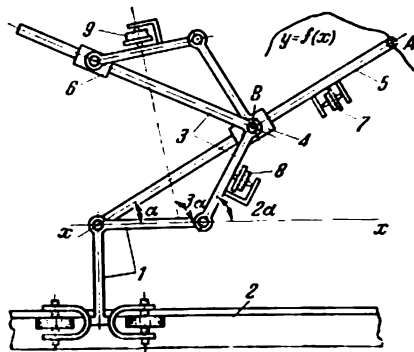
1310

# MÉCANISME À COULISSE ET LEVIERS DE L'INTÉGRATEUR

CL  
OM

Lorsqu'on suit avec le crayon *A* la trace de la courbe *a*, le coulisseau 1 se déplace le long de la barre de guidage 2. L'axe du rouleau de comptage 3 est rendu solidaire de l'élément 4, et l'angle de rotation du rouleau 3 est proportionnel à l'intégrale

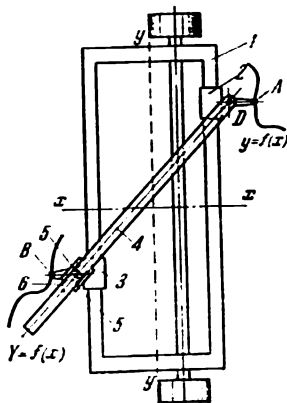
$$u = \int y^2 \, dx.$$



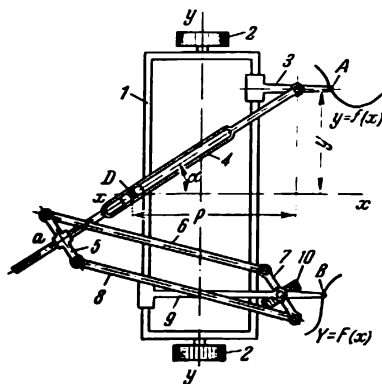
Lorsqu'on suit la trace de la courbe  $y = f(x)$  avec le crayon  $A$ , le chariot  $1$  roule sur le guidage  $2$ . La coulisse  $3$  tourne sur la charnière  $B$ , en donnant au coulisseau  $4$  un mouvement le long de la coulisse  $5$ , le coulisseau  $6$  glissant le long de la coulisse  $3$ . Le rouleau  $7$  fournit la grandeur de l'aire délimitée par l'axe  $x$  et la courbe  $F = c \int y dx$ , où  $c$  est la constante de l'appareil. Le rouleau  $8$  fournit la grandeur du moment statique  $M_x = \int y dF$ . Le rouleau  $9$  indique la grandeur

$$I_x = \int y^2 dF.$$





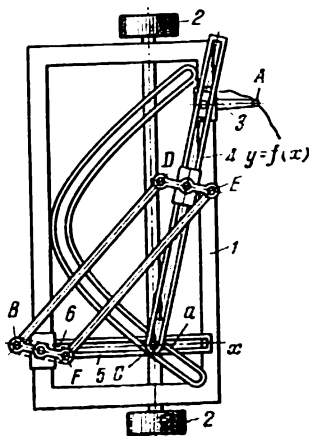
Lorsqu'on suit avec le crayon *A* la trace de la courbe  $y = f(x)$ , le chariot *1* se déplace le long de l'axe  $x - x$ , les coulisseaux *2* et *3* glissant sur les barres de guidage parallèles à l'axe  $y - y$ . La tige conductrice *4*, articulée en *D*, glisse dans le coulisseau *5*. La tige *4* est articulée sur le coulisseau *2* et sur la roue à bord aigu *6* qui définit la position de la tige conductrice *4*. Le crayon *B* trace la courbe intégrale  $Y = f(x)$ .



Lorsqu'on suit avec le crayon A la trace de la courbe  $y = f(x)$ , le chariot 1 se déplace sur ses rouleaux 2 dans le sens de l'axe  $x - x$ . Le coulisseau 3 glisse sur la barre droite du chariot suivant l'axe  $y - y$ ; la coulisse 4 pivote autour de la charnière D fixée au chariot. Le parallélogramme articulé constitué des éléments 5, 6, 7, 8, les éléments 5 et 7 étant perpendiculaires à la coulisse 4, se déplace dans la coulisse 4 qui traverse la douille de guidage a. L'élément 7 est articulé sur l'élément 9 glissant sur la barre de guidage gauche du chariot 1. La roue 10 est toujours parallèle à la coulisse 4 qui fait avec l'axe  $x$  un angle  $\alpha = \arctg \frac{f(x)}{p}$ ; pour cette raison, lorsqu'on suit avec le crayon A la courbe  $y = f(x)$ , la roue 10 décrit la courbe qui a pour direction de la tangente  $Y = \frac{f(x)}{p}$ , et le crayon B de l'élément d'intégration 9 décrit la courbe intégrale

$$Y = \int \operatorname{tg} \alpha \, dx = \int \frac{y}{p} \, dx.$$





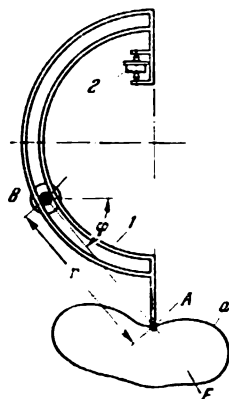
Lorsqu'on suit avec le crayon *A* la trace de la courbe  $y = f(x)$ , le chariot *1* se déplace sur les rouleaux *2* le long de l'axe *x*. Le coulisseau *3* glisse le long de la barre de guidage droite du chariot *1*, et la coulisse *4* pivote autour de la charnière *C* glissant le long du guidage *a* de forme parabolique, ayant pour équation  $x = 1 - y^2$ . La cheville *C* imprime à la coulisse *5* un mouvement le long de la barre de guidage gauche du chariot *1*. Le plan de la roue *6* (montrée en pointillés) est orienté perpendiculairement à la coulisse *4* à l'aide du parallélogramme articulé *BDEF* dont le côté *DE* est perpendiculaire à la coulisse *4*. La forme du guidage *a* étant parabolique, on peut intégrer l'équation

$$\frac{dv}{dx} = \frac{v[\sin \alpha + \Psi(v)]}{\cos \alpha},$$

où  $v$  est la vitesse de vol du projectile;  $\alpha$ , l'angle d'inclinaison de la trajectoire sur l'horizon;  $\Psi(v)$ , la fonction de la vitesse (la résistance du milieu divisée par l'accélération de la pesanteur). Après les substitutions  $v = e^x$  et  $y = \sin \alpha$ , on a  $\frac{dy}{dx} = -\frac{1-y^2}{f(x)-y}$ , où  $f(x) = \Psi(e^x)$ .

1316

# MÉCANISME À COULISSE ET LEVIERS DU PLANIMÈTRE

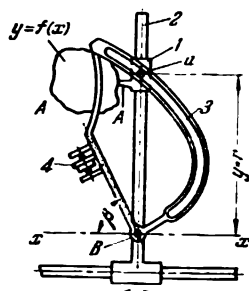
CL  
OM

Lorsqu'on suit avec le crayon *A* la trace de la courbe fermée *a*, la coulisse *1* glisse sur la cheville immobile *B*. L'angle de rotation de la roue de comptage *2* est proportionnel à la surface *F*:

$$F = \frac{1}{2} \oint r^2 d\varphi.$$

1317

# MÉCANISME À COULISSE ET LEVIERS DE L'INTÉGRIMÈTRE

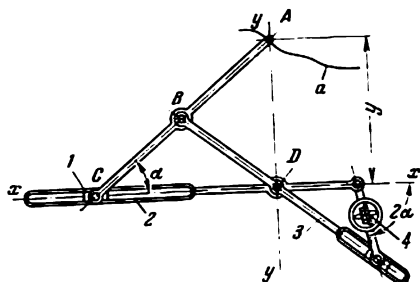
CL  
OM

Lorsqu'on suit avec le crayon *A* la trace de la courbe  $y = f(x)$ , le coulisseau *1* glisse le long de la coulisse *2* qui se déplace d'un mouvement de translation parallèle à l'axe  $x - x$ ; la cheville *a* du coulisseau *1* fait tourner la coulisse *3* autour du point *B*. Si le profil de la coulisse *3* a pour expression

$$y = r = r_0 \sqrt[n]{\sin \beta},$$

l'angle de rotation  $\varphi$  de la roue de comptage *4* est proportionnel à la grandeur

$$\left(\frac{1}{r_0}\right)^n \oint y^n dx.$$

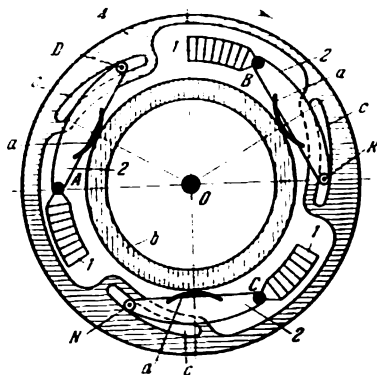


Les longueurs des éléments du mécanisme satisfont aux conditions:  $AB = BC = BD = k$ . Lorsqu'on suit avec le crayon  $A$  la trace de la courbe  $a$ , le coulisseau 1 glisse dans la rainure de la coulisse 2, et la coulisse 3 tourne autour du point  $B$ . L'angle de rotation  $\varphi$  de la roue de comptage 4 est proportionnel à la grandeur

$$(x - x_1) - (1/2k^2) \int y^2 dx.$$

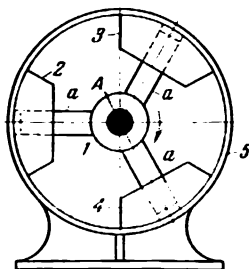
## 8. Mécanismes des freins (1319-1321)

1319	MÉCANISME À COULISSE ET LEVIERS DU FREIN	CL Fr
<div data-bbox="329 344 705 701" data-label="Image"> </div> <p data-bbox="166 739 868 936">Les éléments 3, 5 et 7 constituent les couples de rotation <i>E</i>, <i>F</i> et <i>G</i> avec la bague 4 tournant autour d'un axe fixe <i>O</i>. Les doigts 2, 6 et 8, munis de pièces de freinage <i>a</i>, constituent des couples de translation avec les guidages 1, solidaires du corps fixe <i>b</i>, et des couples de rotation <i>D</i>, <i>K</i>, <i>N</i> avec les éléments 3, 5 et 7. Lorsque la bague 4 tourne, les pièces <i>a</i> se serrent contre le corps fixe <i>b</i>, effectuant ainsi le freinage.</p>		



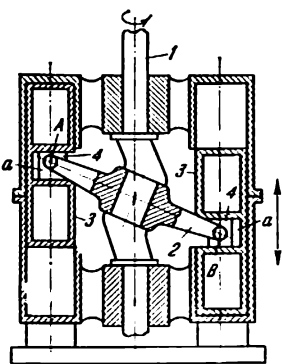
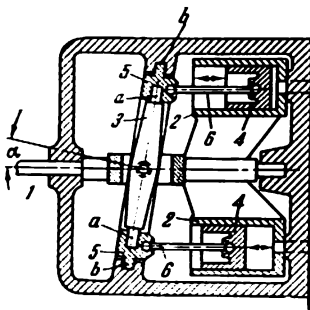
Les éléments 2, mobiles autour des axes fixes *A*, *B* et *C*, sont munis de pièces de freinage *a*. La couronne 4, mobile autour d'un axe fixe *O*, possède des rainures curvilignes *c* dans lesquelles glissent les galets *D*, *K*, *N*. Lors de la rotation de la couronne 4, les pièces *a* se serrent contre le corps fixe *b*, effectuant ainsi le freinage.





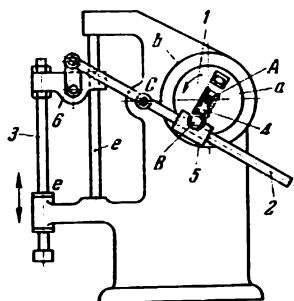
L'élément 1, solidaire de l'arbre A, comporte les guidages *a* le long desquels glissent librement les sabots 2, 3, 4. Lorsque l'arbre A est en mouvement, les sabots 2, 3 et 4 s'écartent sous l'effet de la force centrifuge et, en se serrant contre la jante de la poulie fixe 5, ils effectuent le freinage.

## 9. Mécanismes des plateaux oscillants (1322-1323)

1322	<b>MÉCANISME À COULISSE ET MANIVELLE À PLATEAU OSCILLANT</b>	<b>CL PO</b>
	<p>Les pistons 3 comportent les coulisSES <i>a</i> dans lesquelles glissent les coulisSEaux 4 qui forment des couples sphériques A et B avec le plateau oscillant 2. La rotation de l'arbre 1 se transforme, par l'intermédiaire du plateau oscillant 2, en mouvement de va-et-vient des pistons 3.</p>	
1323	<b>MÉCANISME SPHÉRIQUE À COULISSE ET MANIVELLE DU PLATEAU OSCILLANT</b>	<b>CL PO</b>
	<p>L'arbre 1 tourne avec les cylindres 2 qui sont solidaires de cet arbre. Le plateau 3, articulé sur l'arbre 1, s'engage par ses doigts <i>a</i> dans la bague 5 glissant dans le guidage fixe <i>b</i>. Les bielles 6 reliées à la bague 5 constituent des couples sphériques avec cette bague et avec les cylindres 4. Lorsque l'arbre est en mouvement, la course des pistons 4 relativement aux cylindres 2 est fonction de l'angle choisi <math>\alpha</math>. Les pistons 4 sont animés d'un mouvement alternatif par rapport aux cylindres 2.</p>	

## 10. Mécanismes des marteaux, des presses et des emboutisseuses (1324-1325)

1324	<b>MÉCANISME À COULISSE ET MANIVELLE DU MARTEAU À FORGER</b>	<b>CL MPr</b>
<div data-bbox="366 372 667 825" data-label="Image"> </div> <p data-bbox="163 862 866 1158">La commande du mécanisme est réalisée à l'aide de la manivelle oblique 4 dont la construction est représentée à part (groupe a). Le mouvement de rotation de la manivelle 4 par rapport à l'axe <math>y - y</math> est transformé au moyen du coulisseau 1 et du coussinet sphérique 2 en mouvement d'oscillation de la coulisse 3 autour de l'axe A et du levier 5 autour de l'axe B. On peut régler la course du marteau en déplaçant le coulisseau 1 le long de l'axe <math>y - y</math>. Le ressort 6 sert à la fois d'élément élastique et d'amortisseur. L'élément 5 constitue en C un couple de translation avec l'élément 7 ayant la forme d'une rotule tournant librement dans le logement sphérique de l'élément 8.</p>		



La manivelle 1, ayant la forme d'un disque *a* enfermé dans une bague fixe *b*, tourne autour d'un axe fixe *A*, en constituant un couple de rotation *B* avec le coulisseau 5. Le coulisseau 5 glisse le long de la coulisse 2 qui tourne autour d'un axe fixe *C*. L'élément 2 transmet le mouvement à l'aide d'un élément intermédiaire à l'élément 3 qui coulisse dans un guidage fixe *e*. Lorsque la manivelle 1 est en mouvement, l'élément 3 reçoit un mouvement de va-et-vient. On peut régler les déplacements de l'élément 3 par un dispositif à vis 4 en variant la longueur *AB* de la manivelle 1.

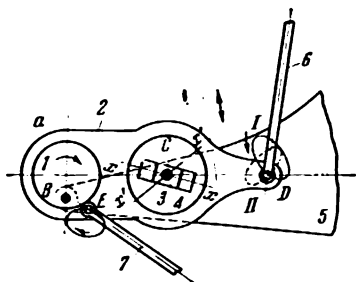
## 11. Mécanismes des régulateurs (1326-1329)

1326

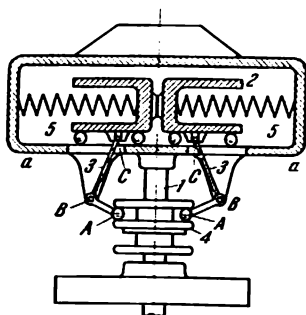
MÉCANISME À COULISSE ET EXCENTRIQUE  
DU RÉGULATEUR

CL

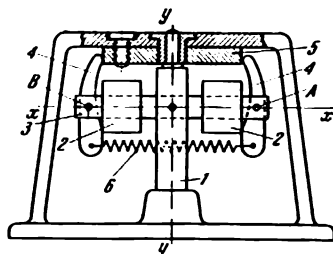
Rg



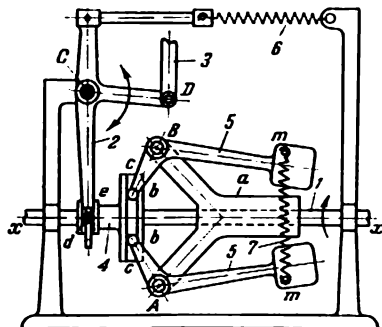
Le mécanisme est destiné à régler l'entrée et la sortie de la vapeur. L'excentrique 1, mobile autour d'un axe fixe B, est relié par la bielle 2 au coulisseau 3 tournant autour d'un centre fixe C. La bielle 2 possède une bague a qui embrasse l'excentrique 1. A la bielle 2 sont reliées en D et E les tiges 6 et 7 allant aux canaux d'entrée et de sortie. Lorsque l'excentrique est en mouvement, les points D et E parcourent des trajectoires dont la position peut être modifiée par la rotation de la glissière  $x - x$  du coulisseau 3. On y parvient au moyen de l'élément 4 relié au régulateur. La figure montre deux positions extrêmes de la glissière,  $x - x$  et  $x' - x'$ , ainsi que les trajectoires respectives de la charnière D.



Des charges lourdes 2 peuvent effectuer un mouvement de translation le long du guidage  $a - a$ . Les éléments 3, qui se présentent comme des leviers coudés, se terminent par des surfaces sphériques A et C. Lorsqu'on varie le nombre de tours de l'arbre par minute, les charges 2, qui se meuvent radialement sous l'action des forces centrifuges, déplacent au moyen des leviers 3, mobiles autour des axes A, l'élément 4 suivant l'axe de l'arbre 1. Les charges 2 surmontent dans leur mouvement la résistance des ressorts 5.



L'arbre réglé *1* tourne autour d'un axe vertical *y — y*. La tige *3* est rendue solidaire de l'arbre *1*. Les charges *2* peuvent glisser sur l'axe *x — x* de la tige *3*. Les cames *4* tournent sur les axes *A* et *B* appartenant à la tige *3*. Quand le nombre de tours de l'arbre *1* augmente, les charges *2* se déplacent sous l'effet de la force centrifuge et serrent les cames *4*, qui tournent autour des axes *A* et *B*, contre le disque de freinage *5*, en surmontant la tension du ressort *6*.



L'arbre 1 et le croisillon  $a$ , solidaire de cet arbre, tournent autour d'un axe fixe  $x - x$ . Les leviers 5 tournent autour des axes  $A$  et  $B$ . Les doigts  $b$  des leviers 5 glissent dans la rainure  $c - c$  du manchon 4 qui se meut le long de l'axe  $x - x$  de l'arbre 1. L'élément 2, mobile autour d'un axe fixe  $C$ , comporte un doigt  $d$  glissant dans la rainure  $e$  du manchon 4. L'élément 3 qui constitue un couple de rotation  $D$  avec l'élément 2 est relié à une vanne d'étranglement. Le ressort 6 joint l'élément 2 au support. Le ressort 7 réunit les charges  $m$  appartenant aux leviers 5. Lorsque l'arbre 1 tourne, le manchon 4 du régulateur glissant sur l'arbre 1 fait tourner l'élément 2 et provoque le déplacement de l'élément 3, modifiant de la sorte la position de la vanne d'étranglement.

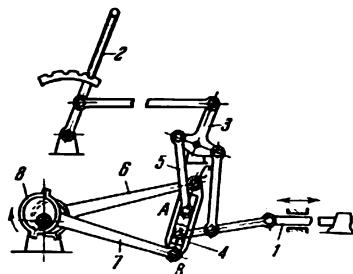


## 12. Mécanismes de distribution de vapeur (1330-1336)

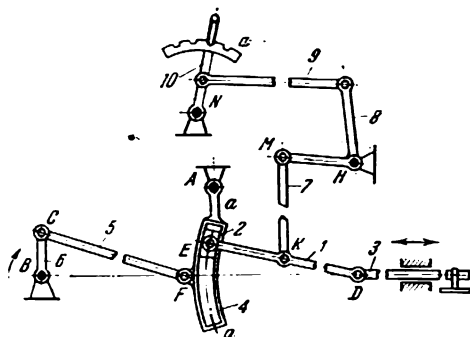
1330

MÉCANISME À COULISSE ET LEVIERS  
SERVANT À LA DISTRIBUTION DE VAPEUR

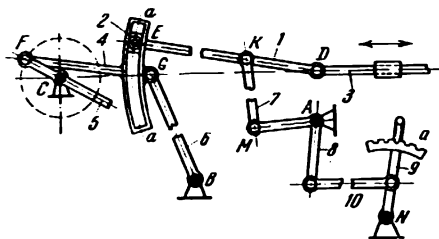
CL  
DV



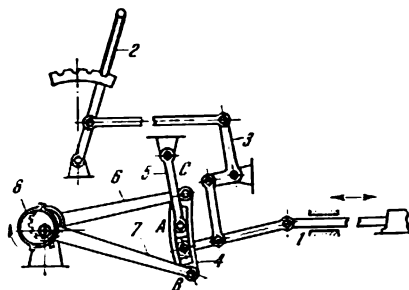
La coulisse rectiligne 4 est suspendue en A, C et B aux éléments 5, 6 et 7 qui forment des couples de rotation avec l'élément 3 et le bloc d'excentrique 8. Le levier 2 étant fixé dans une position quelconque, l'élément 3 sera immobile. La course voulue de l'élément 1 est fonction de telle ou telle position du levier 2.



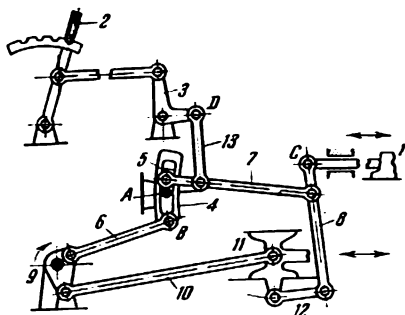
La bielle 1 forme les couples de rotation *E* et *D* avec le coulisseau arqué 2 et la tige 3 liée au tiroir. Le coulisseau 2 se meut dans la glissière en arc de cercle *a — a* de l'élément 4, mobile autour d'un axe fixe *A*. L'élément 4 est mis en mouvement par la bielle 5 qui constitue les couples de rotation *C* et *F* avec la manivelle 6, tournant autour d'un axe fixe *B*, et l'élément 4. L'élément 7 forme les couples de rotation *K* et *M* avec la bielle 1 et avec le levier coudé 8, mobile autour d'un axe fixe *H*. Le levier 8 est joint par un élément intermédiaire 9 au levier 10 tournant sur un axe fixe *N*. On règle la course du tiroir en mettant le levier 8 en différentes positions et en le fixant à l'aide du levier 10 et de la crémaillère *a*.



La bielle 1 constitue les couples de rotation  $E$  et  $D$  avec le coulisseau arqué 2 et avec la tige 3 reliée au tiroir. Le coulisseau 2 se meut dans la glissière en arc de cercle  $a - a$  de l'élément 4 qui forme les couples de rotation  $F$  et  $G$  avec la manivelle 5 tournant autour d'un axé fixe  $C$  et avec la manivelle 6 tournant autour d'un axe fixe  $B$ . L'élément 7 forme les couples de rotation  $K$  et  $M$  avec la bielle 1 et avec le levier coudé 8 qui tourne autour d'un axe fixe  $A$ . L'élément 8 est couplé avec le levier 9 tournant autour d'un axe fixe  $N$  par un élément intermédiaire 10. On règle la course de la tige 3 en mettant le levier 8 en différentes positions et en le fixant à l'aide du levier 9 et de la crémaillère  $a$ .



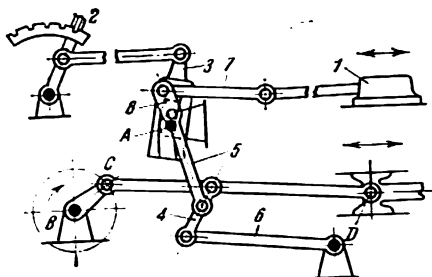
La coulisse curviligne 4 est suspendue en A, C et B aux éléments 5, 6 et 7 qui forment des couples de rotation avec le support et le bloc d'excentrique 8. Lorsque le levier 2 est en position fixe, l'élément 3 reste immobile. La course voulue de l'élément 1 est fonction du choix de la position du levier 2.



La coulisse curviligne 4, mobile autour d'un axe fixe A, constitue un couple de translation curviligne avec le coulisseau 5, glissant dans cette coulisse, et un couple de rotation B avec l'élément 6. Le coulisseau 5 forme un couple de rotation avec l'élément 7. La commande de l'élément 1 est réalisée d'une part par un système d'éléments 9, 6, 4, 5 et 7 et d'autre part par un système d'éléments 9, 10, 11, 12 et 8. L'élément 8 forme en C un couple de rotation avec l'élément 1. La course voulue de l'élément 1 dépend du choix de la position du levier 2. L'élément 3 restera dans ce cas immobile, tandis que l'élément 13 tournera autour de l'axe D.

1335

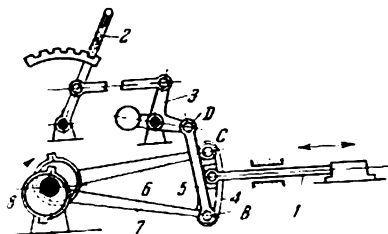
# MÉCANISME À COULISSE ET LEVIERS SERVANT À LA DISTRIBUTION DE VAPEUR

CL  
DV

La coulisse curviligne 3 tourne autour d'un axe fixe A ; on la fixe dans la position désirée à l'aide du levier 2. La course voulue de l'élément 1 dépend du choix de la position du levier 2. Le système à coulisseau et manivelle BCD permet de réaliser la commande de l'élément 1 à l'aide des éléments intermédiaires 4, 5, 6 et 7 et du coulisseau 8 qui glisse dans une coulisse curviligne 3.

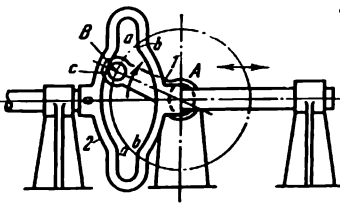
1336

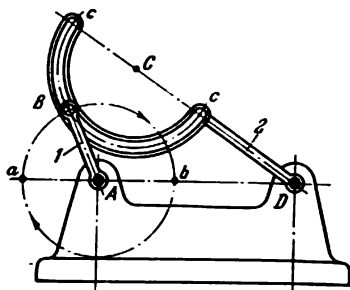
# MÉCANISME À COULISSE ET LEVIERS SERVANT À LA DISTRIBUTION DE VAPEUR

CL  
DV

La coulisse curviligne 4 est suspendue en B et C aux éléments 5, 6 et 7. L'élément 5 constitue un couple de rotation D avec l'élément 3, et les éléments 6 et 7, des couples de rotation avec la manivelle d'excentrique 8. Lorsque le levier 2 est en position fixe, l'élément 3 reste immobile. La course voulue de l'élément 1 dépend du choix de la position du levier 2.

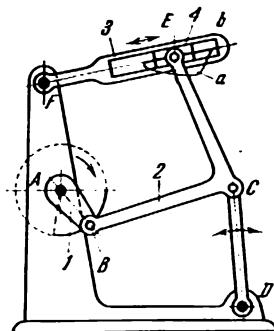
### 13. Mécanismes avec arrêts (1337-1354)

1337	MÉCANISME À COULISSE, À TROIS ÉLÉMENTS AVEC ARRÊTS	CL Ar
	 <p>La coulisse 2, animée d'un mouvement de translation, présente sur les parties <math>a - a</math> et <math>b - b</math> un profil tracé suivant les arcs de cercle de rayon égal à <math>AB</math>. Lorsque le galet <math>c</math> de la manivelle 1 roule sur les arcs <math>a - a</math> et <math>b - b</math>, la coulisse 2 reste sans mouvement. Pour assurer l'effort de contact entre les éléments du mécanisme, on prévoit des ressorts qui ne sont pas représentés sur le dessin.</p>	

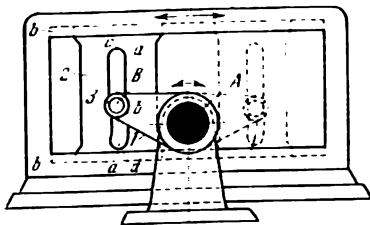


Les longueurs des éléments du mécanisme satisfont aux conditions:  $AB = BC$  et  $AD = DC$ . L'élément 1, mobile autour d'un axe fixe A, possède un galet B glissant sur une coulisse en arc de cercle  $c - c$  ayant pour centre le point C de l'élément 2. Les longueurs des éléments étant conformes aux rapports adoptés, l'élément 2 effectue un mouvement d'oscillation au cours du mouvement de la manivelle 1 suivant la flèche, de  $a$  vers  $b$ ; au cours du mouvement de la manivelle de  $b$  vers  $a$ , l'élément 2 reste immobile. Lors du mouvement de l'élément 2, le mécanisme équivaut à un système à quatre éléments articulés ABCD, où l'élément AB est une manivelle, l'élément BC, une bielle et l'élément CD, une bascule.





Les longueurs des éléments du mécanisme satisfont aux conditions:  $AB = 1$ ;  $BC = 3,1$ ;  $CD = 2,6$ ;  $CE = 3,0$ ;  $AF = 2,3$ ;  $AD = 4,5$ ;  $FD = 6,3$ ;  $BE = 4,0$ . Le point  $E$  de la bielle 2 du système à quatre éléments articulés  $ABCD$  décrit une courbe de bielle  $a$  dont une partie est proche d'une droite qui passe par le point  $F$ . La coulisse 3, mobile autour d'un axe fixe  $F$ , présente la rainure  $b$ , dont l'axe coïncide avec la partie rectiligne de la trajectoire  $a$  du point  $E$ , dans laquelle glisse le coulisseau 4. Au moment où le point  $B$  de la manivelle parcourt la partie de la circonférence marquée par une ligne grasse, le point  $E$  de la bielle 2 suit la partie de la trajectoire  $a$  qui se rapproche de la droite. La coulisse 3 ne tourne presque pas pendant cette période, c.-à-d. qu'elle marque un arrêt.



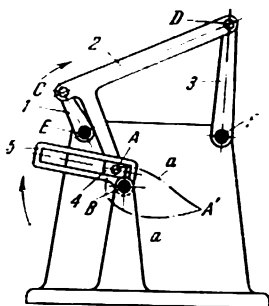
La manivelle 1, tournant autour d'un axe fixe A, porte un galet 3 qui glisse dans la rainure  $a - a$  du coulisseau 2. Le coulisseau 2 se déplace dans un guidage fixe  $b - b$ . La rainure  $a - a$  est de forme rectiligne sur la partie  $cb$ , et sur la partie  $bd$ , elle a la forme d'un arc de cercle de rayon égal à  $AB$ . Lorsque le levier 1 est animé d'un mouvement de bascule, l'élément 2 reçoit un mouvement de va-et-vient avec arrêt à la fin de son premier parcours (indiqué en pointillés), jusqu'au moment où le galet 3 de la manivelle 1 glisse sur la partie curviligne  $b - d$  de la rainure  $a - a$  ayant la forme d'un arc de cercle de centre A.

1341

# MÉCANISME À COULISSE ET LEVIERS AVEC UN COURT ARRÊT

CL

Ar



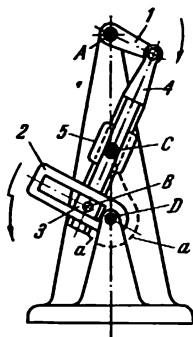
Le point  $A$  de la bielle 2 du système à quatre éléments articulés  $ECDF$  décrit une courbe de bielle  $a - a$ . Dans la rainure de la coulisse 5, mobile autour d'un axe fixe  $B$ , glisse le coulisseau 4 qui constitue un couple cinématique  $A$  avec la bielle 2. A chaque tour de la manivelle 1 la coulisse 5 fait un tour complet autour du centre  $B$  avec un seul arrêt de courte durée à l'endroit où le point  $A$  de la bielle 2 parvient à la position  $A'$  de sa trajectoire  $a - a$ .

1342

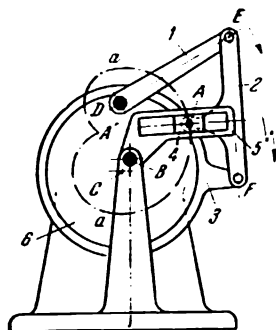
# MÉCANISME À COULISSE ET LEVIERS AVEC UN COURT ARRÊT

CL

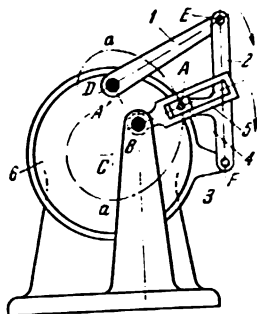
Ar



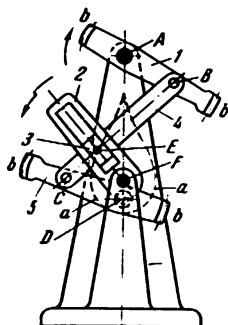
La manivelle 1, mobile autour d'un axe fixe  $A$ , constitue un couple de rotation avec la bielle 4 qui glisse le long du guidage 5 tournant autour d'un axe fixe  $C$ . Dans la rainure de la coulisse 2, mobile autour d'un axe fixe  $D$ , glisse le coulisseau 3 qui forme un couple de rotation  $B$  avec la bielle 4. Le point  $B$  de la bielle 4 décrit une courbe de bielle  $a - a$ . Lorsque la manivelle 1 est en mouvement, la coulisse 2 tourne observant un court arrêt au moment où le point  $B$  du coulisseau 3 parvient au point supérieur de sa trajectoire  $a - a$ .



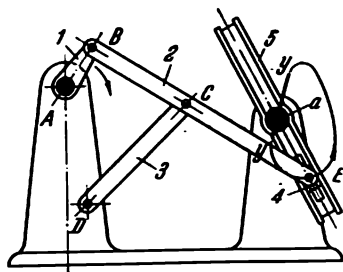
Le point  $A$  de la bielle 2 du système à quatre éléments articulés  $DEFC$  décrit une courbe de bielle  $a - a$ . Dans la rainure de la coulisse 5, mobile autour d'un axe fixe  $B$ , glisse le coulisseau 4 qui constitue un couple de rotation  $A$  avec la bielle 2. La manivelle 3 se présente sous la forme d'une bague qui entoure le disque immobile 6 de centre  $C$ . Pendant un tour de la manivelle 3 la coulisse 4 effectue un tour complet autour du centre, observant un court arrêt au moment où le point  $A$  de la bielle 2 parvient au point  $A'$  de sa trajectoire. D'autre part, au moment où le point  $A$  s'approche de la position  $A'$ , la coulisse 5 effectue un petit déplacement angulaire en sens inverse, puis elle poursuit son mouvement dans la même direction.



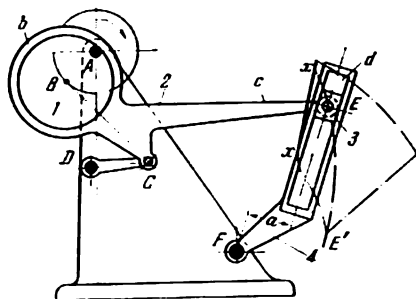
Le point *A* de la bielle 2 du système à quatre éléments articulés *DEFC* décrit une courbe de bielle *a — a*. Dans la rainure de la coulisse 5, mobile autour d'un axe fixe *B*, glisse le coulisseau 4 qui constitue un couple de rotation *A* avec la bielle 2. La manivelle 3 se présente sous la forme d'une bague qui entoure le disque immobile 6 ayant pour centre le point *C*. A chaque tour de la manivelle 3, la coulisse 5 effectue un tour complet autour du centre *B*, observant un court arrêt au moment où le point *A* de la bielle 2 parvient au point *A'* de sa trajectoire.



Les longueurs des éléments satisfont aux conditions:  $AB = CD$  et  $BC = AD$ . La figure  $ABCD$  est un antiparallélogramme. La coulisse 2, mobile autour d'un axe fixe  $F$ , forme un couple de translation avec le coulisseau 3 tournant sur l'axe  $E$  de la bielle 4 de l'antiparallélogramme  $ABCD$ . Le point  $E$  de la bielle 4 décrit une courbe de bielle  $a - a$ . Lorsque la manivelle 1 est en mouvement, la coulisse 2 tourne, observant un court arrêt au moment où le point  $E$  du coulisseau 3 parvient au point supérieur de sa trajectoire  $a - a$ . Les éléments 1 et 5 sont munis de butées  $b$  qui permettent au mécanisme  $ABCD$  de franchir les positions extrêmes.

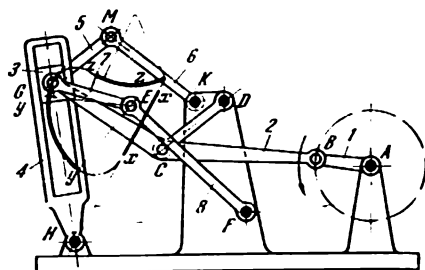


Le point  $E$  de la bielle 2 du système à quatre éléments articulés  $ABCD$  décrit une trajectoire dont la partie  $y - y$ , représentée sur la figure par une ligne grasse, se rapproche de la droite. Lorsque la manivelle 1 tourne, l'élément 2, sur lequel s'articule le coulisseau 4, agit sur l'élément 5, en le faisant tourner avec des arrêts. Le mouvement du point  $E$  du coulisseau 4 sur la partie  $y - y$  de sa trajectoire correspond à la période d'arrêt de l'élément 5. La rainure  $a$  dans laquelle glisse le coulisseau 4 permet à l'élément 5 d'éviter une rotation spontanée au moment des périodes de repos.

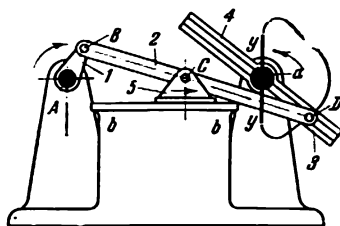


Les longueurs des éléments du mécanisme satisfont aux conditions:  $CB \approx 2,66 AB$ ;  $CD \approx 1,33 AB$ ;  $AD \approx 2,66 AB$ ;  $CE \approx 4,33 AB$ ;  $BE \approx 6,3 AB$ ;  $AF \approx 5,66 AB$ ;  $DF \approx 4 AB$ ;  $a = AB$ . L'excentrique 1 de centre B tourne autour d'un axe fixe A. La bielle 2 comporte une bague b qui embrasse l'excentrique 1. Le bras c de la bague b forme en E un couple de rotation avec le coulisseau 3 qui glisse dans le guidage d de la coulisse 4. Au moment où le point E de la bielle 2 parcourt la partie  $x - x$  de sa trajectoire, qui se rapproche de la droite passant à la plus courte distance a de l'axe F, cette partie étant représentée sur la figure par une ligne grasse, la coulisse 4 marque un temps d'arrêt. Elle fait aussi un arrêt momentané au moment où le point E vient se placer dans la position E'.

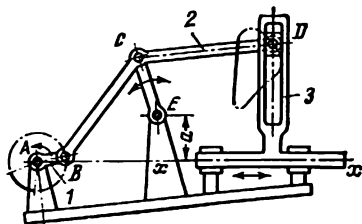




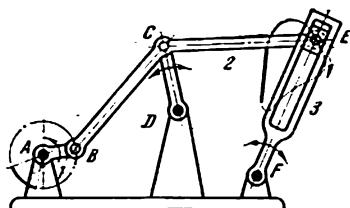
Les longueurs des éléments du mécanisme satisfont aux conditions:  $BC = 2,73 AB$ ;  $CD = 1,36 AB$ ;  $CG = 2,32 AB$ ;  $BG = 4,9 AB$ ;  $AF = 2,36 AB$ ;  $AD = 2,87 AB$ ;  $DF = 2 AB$ ;  $GE = 1,45 AB$ ;  $EF = 2,82 AB$ ;  $GM = 1,36 AB$ ;  $MK = 1,91 AB$ ;  $KD = 0,54 AB$ ;  $KF = 2,18 AB$ ;  $HF = 3,1 AB$  et  $DH = 3,63 AB$ . Le mécanisme est réalisé à partir du système à quatre éléments  $ABCD$ . La bielle 2 forme en  $G$  un couple de rotation avec le coulisseau 3 glissant dans la coulisse 4 qui tourne autour d'un axe  $H$ . Le mécanisme  $ABCD$  est relié aux éléments 5, 6 et 7, 8. Les éléments 5 et 7 s'articulent en  $G$ . La trajectoire du point  $G$  de la bielle 2 sur sa partie  $x - x$  est proche d'une droite passant par le point  $H$ . Sur les parties  $y - y$  et  $z - z$ , la trajectoire se rapproche des arcs de cercle dont les rayons sont égaux aux longueurs  $GE$  et  $GM$  des éléments 5 et 7. Ces parties sont indiquées sur le dessin par des lignes grasses. La coulisse marque un temps d'arrêt au moment où le coulisseau suit la partie  $x - x$  de la trajectoire du point  $G$ . Les éléments  $MK$  et  $EF$  ont des arrêts au moment où le point  $G$  du coulisseau parcourt les parties  $z - z$  et  $y - y$  de sa trajectoire.



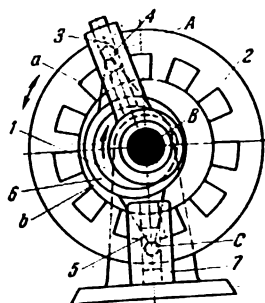
Le coulisseau 5 du mécanisme à coulisseau et manivelle *ABC* glisse dans le guidage *b — b*. Le point *D* de la bielle 2 décrit une trajectoire dont la partie *y — y*, représentée sur la figure par une ligne grasse, se rapproche de la droite perpendiculaire à la direction *b — b*. Lorsque la manivelle 1 est en mouvement, l'élément 2, sur lequel s'articule le coulisseau 3, exerce son action sur la coulisse 4, en lui imprimant un mouvement de bascule avec des arrêts. Le moment où le point *D* du coulisseau 3 parcourt la partie *y — y* de sa trajectoire correspond à la période d'arrêt de la coulisse 4. La rainure *a* du support, dans laquelle glisse le coulisseau 3 au moment où le mécanisme *ABC* franchit sa position extrême, permet à la coulisse 4 d'éviter une rotation spontanée pendant l'arrêt.



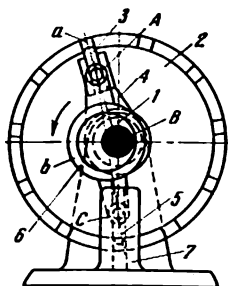
Les longueurs des éléments du mécanisme satisfont aux conditions:  $CB = 4,28 AB$ ;  $CD = 4,86 AB$ ;  $CE = 2,14 AB$ ;  $BD = 3,4 AB$ ;  $AE = 4,55 AB$ ;  $a = 1,66 AB$ . Au moment où le point  $B$  de la manivelle 1 parcourt la partie de la circonférence représentée par une ligne grasse, le point  $D$  de la bielle 2 suit la trajectoire dont une partie, représentée par une ligne grasse, est proche d'une droite perpendiculaire à l'axe du guidage  $x - x$ . Lorsque la manivelle 1 est en mouvement continu, la coulisse 3 reçoit un mouvement de translation le long de l'axe  $x - x$  avec un arrêt au moment où le point  $D$  parcourt la partie de sa trajectoire représentée par une ligne grasse.



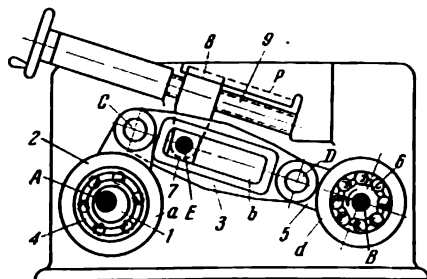
Les longueurs des éléments du mécanisme satisfont aux conditions:  $BC = 4,28 AB$ ;  $CE = 4,86 AB$ ;  $BE = 8,4 AB$ ;  $CD = 2,14 AB$ ;  $AD = 4,55 AB$ ;  $AF = 7 AB$ ;  $DF = 3,32 AB$ . Au moment où le point  $B$  de la manivelle 1 parcourt la partie de la circonférence représentée par une ligne grasse, le point  $E$  de la bielle 2 suit la trajectoire dont la partie indiquée par une ligne grasse se rapproche de la droite passant par le point  $F$ . Lorsque la manivelle 1 est en mouvement continu, la coulisse 3 effectue un mouvement de bascule autour d'un axe  $F$ , observant un arrêt au moment où le point  $E$  parcourt la partie de sa trajectoire représentée par une ligne grasse.



L'excentrique 1, mobile autour d'un axe fixe B, est embrassé par la bague b de l'élément 6 qui a la forme d'un levier coudé dans lequel on fixe au point A le doigt 3. Ce dernier glisse dans le guidage 4 qui tourne fou sur un axe fixe B; l'axe du doigt 3 ne coïncide pas avec le centre de l'excentrique 1. Lorsque l'élément 6 est en mouvement, la roue 2 qui comporte des rainures a tourne sous l'action du doigt 3 dans la même direction avec des arrêts. Les arrêts de la roue 2 s'effectuent au moment où le doigt 5, glissant dans le guidage fixe 7 et articulé en C sur l'élément 6, s'engage dans les rainures a.



L'excentrique 1, mobile autour d'un axe fixe B, est embrassé par la bague de l'élément 6 qui a la forme d'un levier à deux bras sur lequel s'articule en A le doigt mobile 3. Le doigt 3 glisse dans le guidage 4 qui tourne fou sur l'arbre B dont l'axe ne coïncide pas avec le centre de l'excentrique 1. Lorsque l'excentrique 1 est en mouvement, la roue 2, comportant des rainures a, est soumise à l'action du doigt 3 qui glisse dans le guidage mobile 4 et tourne dans la même direction avec des arrêts. Les arrêts de la roue 2 ont lieu au moment où le doigt 5, glissant dans le guidage fixe 7 et articulé en C sur l'élément 6, s'engage dans les rainures a.



L'élément 1, qui se présente comme un excentrique rond, est mobile autour d'un axe fixe A. L'élément 2 comporte une bague *a* qui embrasse l'excentrique 1. Entre l'excentrique et la bague se trouve un roulement à billes 4. L'élément 2 constitue un couple de rotation C avec l'élément 3 dont la rainure *b* glisse sur le coulisseau 7 tournant autour d'un axe fixe E. L'élément 3 forme un couple de rotation D avec l'élément 5 dont la couronne *d* fait partie de la roue libre 6. Lorsque l'excentrique 1 tourne, le manchon de marche libre 6 imprime des impulsions à l'arbre B. La fréquence des impulsions dépend de la position de l'axe E de l'élément 8 qui peut se déplacer dans le guidage *p* au moyen de la vis 9.

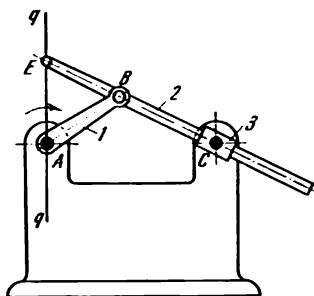
## 14. Mécanismes de guidage et d'inversion (1355-1376)

1355	<b>MÉCANISME À COULISSE ET LEVIERS À GUIDAGE APPROXIMATIF DE KOSTITSYNE</b>	<b>CL GI</b>
	<p>Les longueurs des éléments du mécanisme satisfont aux conditions: <math>AD = 2AB</math> et <math>BC = 5AB</math>. L'élément 1 présente deux coulisses, <math>a</math> et <math>b</math>, dans lesquelles glissent les coulisseaux 2 et 3 dont les axes forment un angle de <math>90^\circ</math>. Lorsque la manivelle 1 tourne, le point <math>C</math> du mécanisme suit approximativement la ligne droite <math>q - q</math> parallèle à la ligne des centres <math>AD</math>.</p>	
1356	<b>MÉCANISME CONCHOÏDAL À QUATRE ÉLÉMENTS, À COULISSE ET LEVIERS ET À GUIDAGE RECTILIGNE</b>	<b>CL GI</b>
	<p>Les longueurs des éléments du mécanisme à coulisse et leviers <math>ABC</math> satisfont aux conditions: <math>AC = 1,81AB</math> et <math>BD = 1,64AB</math>. Lorsque l'élément 1 tourne autour d'un axe fixe <math>A</math>, le point <math>D</math> de l'élément 2 suit une trajectoire dont une partie se rapproche de la droite <math>q - q</math> perpendiculaire à la direction <math>AC</math>.</p>	



1357

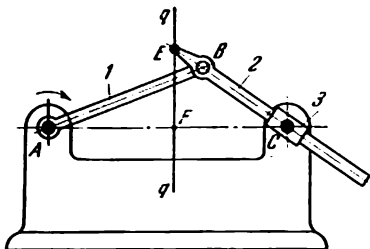
**MÉCANISME CONCHOÏDAL À QUATRE ÉLÉMENTS, CL**  
**À COULISSE ET LEVIERS GI**  
**ET À GUIDAGE RECTILIGNE**



Les longueurs des éléments du mécanisme à coulisse et leviers  $ABC$  satisfont aux conditions:  $AC = 2AB$  et  $AB = BE$ . Lorsque l'élément 1 tourne autour d'un axe fixe  $A$ , le point  $E$  de l'élément 2 suit une trajectoire dont une partie se rapproche de la droite  $q - q$  passant par le point  $A$ .

1358

**MÉCANISME CONCHOÏDAL À QUATRE ÉLÉMENTS, CL**  
**À COULISSE ET LEVIERS GI**  
**ET À GUIDAGE RECTILIGNE**



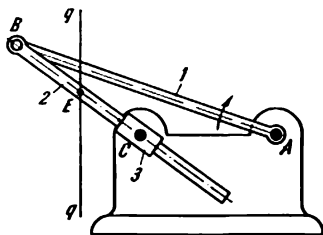
Les longueurs des éléments du mécanisme à coulisse et leviers  $ABC$  satisfont aux conditions:  $AC = 1,4 AB$ ;  $BE = 0,2 AB$  et  $CF = 0,65 AB$ . Lorsque l'élément 1 tourne autour d'un axe fixe  $A$ , le point  $E$  de l'élément 2 suit une trajectoire dont une partie se rapproche de la droite  $q - q$  perpendiculaire à la direction  $AC$ .

1359

**MÉCANISME CONCHOÏDAL À QUATRE ÉLÉMENTS,  
À COULISSE ET LEVIERS  
ET À GUIDAGE RECTILIGNE**

CL

GI



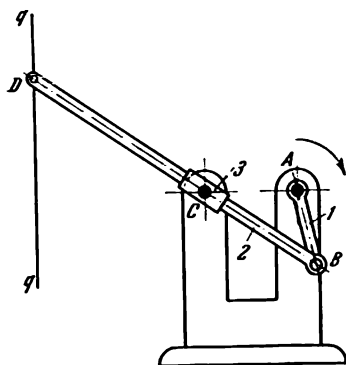
Les longueurs des éléments du mécanisme satisfont aux conditions:  $AC = 0,49 AB$  et  $BE = 0,28 AB$ . Lorsque l'élément 1 tourne autour d'un axe fixe A, le point E de l'élément 2 suit une trajectoire dont une partie se rapproche de la droite  $q - q$  perpendiculaire à la direction AC.

1360

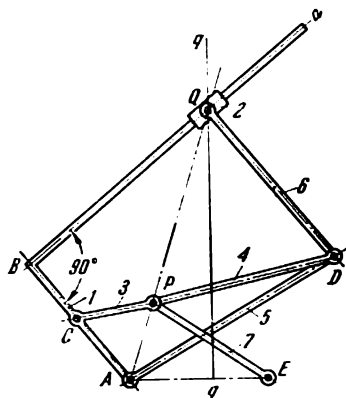
**MÉCANISME CONCHOÏDAL À QUATRE ÉLÉMENTS,  
À COULISSE ET LEVIERS  
ET À GUIDAGE RECTILIGNE**

CL

GI



Les longueurs des éléments du mécanisme satisfont aux conditions:  $AC = 1,5 AB$  et  $BD = 5,3 AB$ . Lorsque l'élément 1 tourne autour d'un axe fixe A, le point D de l'élément 2 suit une trajectoire dont une partie se rapproche de la droite  $q - q$  perpendiculaire à la direction AC.

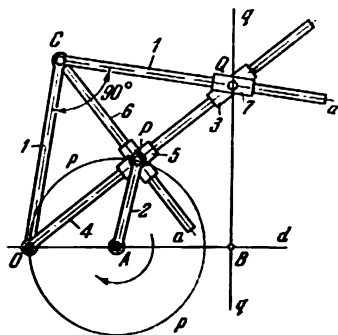


Les longueurs des éléments du mécanisme satisfont aux conditions:  $AC = CB = CP$ ;  $PD = QD$  et  $EP = EA$ . L'élément 1, qui se présente comme un levier coudé, tourne autour d'un axe fixe  $A$  et glisse par son côté  $a$  dans le coulisseau 2. L'élément 3 forme des couples de rotation  $C$  et  $P$  avec les éléments 1 et 7. L'élément 7 tourne autour d'un axe fixe  $E$ . L'élément 4 forme des couples de rotation  $P$  et  $D$  avec les éléments 7 et 6. L'élément 6 forme un couple de rotation  $Q$  avec le coulisseau 2 et un couple de rotation  $D$  avec l'élément 5 mobile autour d'un axe fixe  $A$ . Le mécanisme remplit la condition d'inversion

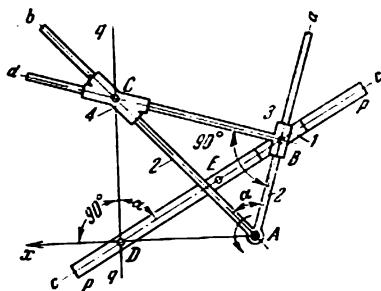
$$AP \cdot QA = (AB)^2 = (AD)^2 - (PD)^2.$$

Le point  $P$  décrit une circonférence qui passe par le centre d'inversion  $A$ . Le point  $Q$  décrit la droite  $q - q$  perpendiculaire à la direction  $AE$ .





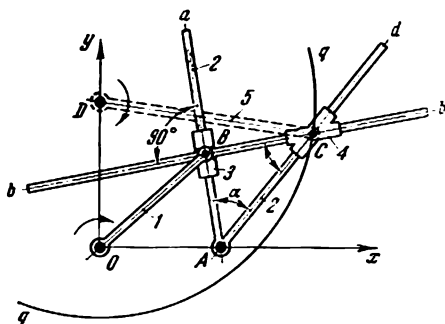
Les longueurs des éléments du mécanisme satisfont aux conditions:  $OA = AP$  et  $OB = \frac{(OC)^2}{2OA}$ . L'élément 2, mobile autour d'un axe fixe  $A$ , constitue un couple de rotation  $P$  avec le coulisseau en croix 5 dont les axes de guidage sont perpendiculaires entre eux. L'élément 4, tournant autour d'un axe fixe  $O$ , constitue des couples de translation avec les coulisseaux 5 et 3. L'élément 1 qui a la forme d'un levier coudé tourne sur l'axe fixe  $O$  en constituant un couple de rotation  $C$  avec l'élément 6. Le côté  $Ca$  de ce dernier glisse dans le coulisseau 5. L'élément 1 glisse dans le coulisseau 7 qui forme un couple de rotation  $Q$  avec le coulisseau 3. Le mécanisme remplit la condition d'inversion, c.-à-d.  $OP \cdot OQ = (PC)^2$ . Lorsque l'élément 2 tourne autour de l'axe  $A$ , le point  $P$  décrit une circonférence  $p - p$ , et le point  $Q$ , une droite  $q - q$  perpendiculaire à la direction  $OABd$  et passant par le point  $B$ .



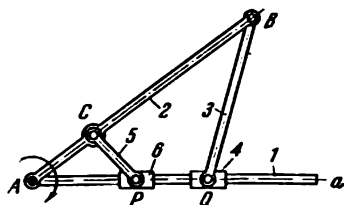
L'élément 2, présentant la forme d'un levier coudé, tourne autour d'un axe fixe  $A$  en constituant des couples de translation avec les coulisseaux 3 et 4 qui glissent sur les côtés  $Aa$  et  $Ab$  de l'élément 2. Le coulisseau 3 forme un couple de rotation  $B$  avec le coulisseau 1 qui glisse dans un guidage fixe  $p-p$ . Le coulisseau 3 possède la traverse  $Bd$  qui constitue un couple de translation avec le coulisseau cruciforme 4 dont les axes de glissement forment un angle de  $90^\circ - \alpha$ , où  $\alpha$  est l'angle  $CAB$ . Lorsque l'élément 2 tourne autour de l'axe  $A$ , le point  $C$ , situé à l'intersection des barres de guidage  $Bd$  et  $Ab$ , décrit la droite  $q-q$  perpendiculaire à la direction  $Ax$  qui fait un angle de  $90^\circ - \alpha$  avec l'axe  $c-c$  du guidage  $p-p$ . La distance  $AD$  est telle que

$$AD = \frac{AE}{\cos \alpha},$$

où  $AE$  est la plus courte distance du point  $A$  à l'axe  $c-c$  du guidage  $p-p$ .



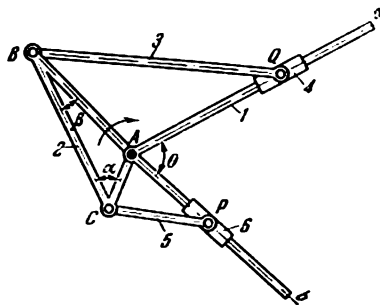
L'élément 1, mobile autour d'un axe fixe  $O$ , forme un couple de rotation  $B$  avec le coulisseau 3 glissant sur le côté  $Aa$  de l'élément 2 qui a la forme d'un levier coudé  $aAd$ . Le coulisseau 3 possède une traverse  $b - b$  qui constitue un couple de translation avec le coulisseau en croix 4, les axes de glissement de ce dernier formant un angle de  $90^\circ - \alpha$ , où  $\alpha$  est l'angle  $aAd$ . Lorsque l'élément 1 tourne autour de l'axe  $O$ , le point  $C$ , situé à l'intersection des directions  $Ad$  et  $bb$ , décrit une circonférence  $q - q$  de rayon  $DC$ . Le centre  $D$  de la circonférence se trouve sur la droite  $Oy$  perpendiculaire à l'axe  $Ox$ . La distance  $OD$  est telle que  $OD = OA \cdot \operatorname{tg} \alpha$ . Le rayon  $DC$  de la circonférence  $q - q$  est tel que  $DC = \frac{OB}{\cos \alpha}$ . Si l'on adjoint à ce mécanisme l'élément 5, représenté sur la figure en pointillés, qui tourne autour d'un axe fixe  $D$  et qui forme un couple de rotation  $C$  avec le coulisseau 4, le mécanisme pourra servir à transmettre la rotation de l'élément 1 à l'élément 5 avec un rapport  $i_{15} = \omega_1/\omega_5 = 1$ . Les éléments 1 et 5 tournent dans le même sens.



Les longueurs des éléments du mécanisme satisfont à la condition  $AB : AC = BQ : CP$ . L'élément 2 tourne autour d'un point fixe  $A$  qui constitue le centre d'inversion. Les éléments 3 et 5 forment les couples de rotation  $B$  et  $C$  avec l'élément 2, et les couples de rotation  $Q$  et  $P$  avec les coulisseaux 4 et 6 qui glissent suivant l'axe  $Aa$  de l'élément 1, mobile autour d'un axe fixe  $A$ . Lorsque le point  $P$  ou  $Q$  suit une courbe quelconque, l'autre point décrit une courbe qui est l'inverse de la première, autrement dit le mécanisme réalise une transformation d'inversion du type

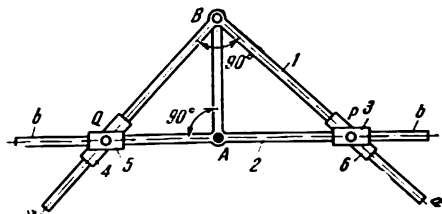
$$AP \cdot AQ = AB \cdot AC = \text{const.}$$





Les longueurs des éléments du mécanisme satisfont aux conditions:  $AC : AB = CP : BQ$  et  $\theta = \alpha + \beta$ . L'élément 2 tourne autour d'un point fixe A qui est le centre d'inversion. Les éléments 3 et 5 forment les couples de rotation B et C avec l'élément 2, et les couples de rotation Q et P avec les coulisseaux 4 et 6 qui glissent le long des côtés a et b de l'élément 1, de forme coudée, mobile autour d'un axe fixe A. Lorsque le point P ou Q suit une courbe quelconque, l'autre point décrit une courbe qui est l'inverse de la première, autrement dit, le mécanisme réalise une transformation d'inversion du type

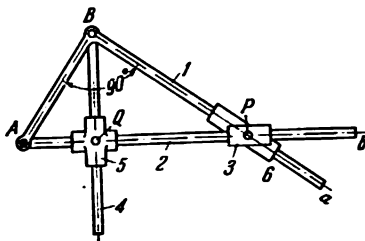
$$AP \cdot AQ = \text{const.}$$



L'élément 2, présentant la forme d'un levier en  $T$ , tourne autour d'un point fixe  $A$  qui est le centre d'inversion, et constitue un couple de rotation  $B$  avec l'élément coudé 1. Les coulisseaux 3 et 6, qui constituent un couple de rotation  $P$ , et les coulisseaux 4 et 5, qui constituent un couple de rotation  $Q$ , glissent sur les côtés  $b$  et  $a$  des éléments 2 et 1.

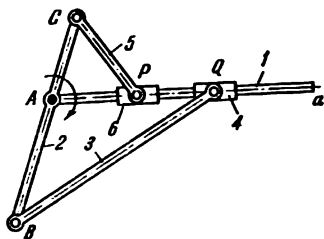
Quel que soit le mouvement donné au mécanisme, les points  $Q$ ,  $A$  et  $P$  se trouvent sur la même droite  $b - b$ . Lorsque le point  $P$  ou  $Q$  suit une courbe quelconque, l'autre point décrit une courbe qui est l'inverse de la première, autrement dit, le mécanisme réalise une transformation d'inversion du type

$$AP \cdot AQ = (AB)^2 = \text{const.}$$



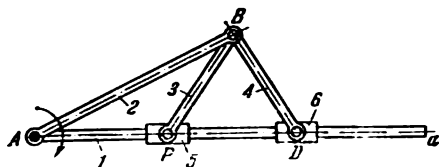
L'élément 2, mobile autour d'un point fixe  $A$  qui est le centre d'inversion, forme un couple de translation avec le coulisseau en croix 5, dont les axes de glissement sont perpendiculaires entre eux, et un autre couple de translation avec le coulisseau 3 qui glisse le long de l'axe  $AB$  de l'élément 2. L'élément 1 qui tourne autour d'un axe fixe  $A$  forme un couple de rotation  $B$  avec l'élément 4, glissant dans le coulisseau 5, et un couple de translation avec le coulisseau 6 qui forme un couple de rotation  $P$  avec le coulisseau 3. Quel que soit le mouvement donné au mécanisme, les points  $A$ ,  $Q$  et  $P$  se trouvent toujours sur la même droite  $Ab$ . Lorsque le point  $P$  ou  $Q$  suit une courbe quelconque, l'autre point décrit une courbe qui constitue l'inverse de la première, autrement dit, le mécanisme réalise une transformation d'inversion du type

$$AP \cdot AQ = (AB)^2 = \text{const.}$$



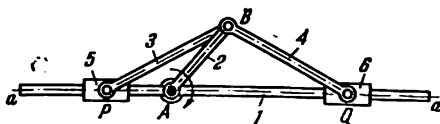
Les longueurs des éléments du mécanisme satisfont à la condition  $AC : BC = CP : BQ$ . L'élément 2 tourne autour d'un point fixe  $A$  qui est le centre d'inversion. Les éléments 3 et 5 forment les couples de rotation  $B$  et  $C$  avec l'élément 2 et les couples de rotation  $Q$  et  $P$  avec les coulisseaux 4 et 6 qui glissent sur l'axe  $Aa$  de l'élément 1 mobile autour d'un axe fixe  $A$ . Lorsque le point  $P$  ou  $Q$  suit une courbe quelconque, l'autre point décrit une courbe qui est l'inverse de la première, autrement dit, le mécanisme réalise une transformation d'inversion du type

$$AP \cdot AQ = \text{const.}$$



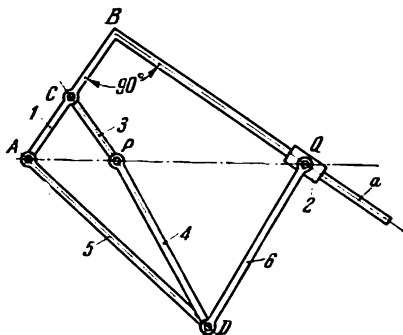
Les longueurs des éléments du mécanisme satisfont aux conditions:  $BP = BD$  et  $AB > BP$ . Les éléments 1 et 2 tournent autour d'un point fixe  $A$  qui est le centre d'inversion. Les éléments 3 et 4 forment les couples de rotation  $B$  avec l'élément 2 et les couples de rotation  $P$  et  $Q$  avec les coulisseaux 5 et 6 qui glissent sur l'axe  $Aa$  de l'élément 1. Quel que soit le mouvement donné au mécanisme, les points  $A$ ,  $P$  et  $D$  se trouvent toujours sur une même droite. Lorsque le point  $P$  ou  $D$  suit une courbe quelconque, l'autre point décrit une courbe qui est l'inverse de la première, autrement dit, le mécanisme réalise une transformation d'inversion du type

$$AP \cdot AD = (AB)^2 - (BP)^2 = \text{const.}$$



Les longueurs des éléments du mécanisme satisfont aux conditions:  $BP = BQ$  et  $AB < BP$ . Les éléments 1 et 2 tournent autour d'un point fixe  $A$  qui est le centre d'inversion. Les éléments 3 et 4 forment les couples de rotation  $B$  avec l'élément 2 et les couples de rotation  $P$  et  $Q$  avec les coulisseaux 5 et 6 qui glissent suivant l'axe  $Aa$  de l'élément 1. Quel que soit le mouvement donné au mécanisme, les points  $A$ ,  $P$  et  $Q$  se trouvent toujours sur une même droite. Lorsque le point  $P$  ou  $Q$  suit une courbe quelconque, l'autre point décrit une courbe qui est l'inverse de la première, autrement dit, le mécanisme réalise une transformation d'inversion du type

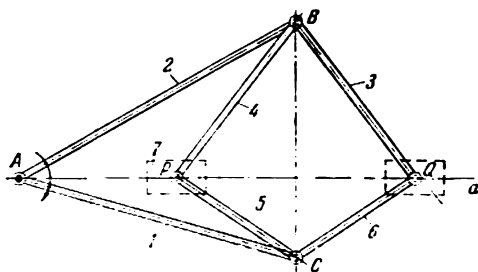
$$AP \cdot AQ = (BP)^2 - (AB)^2.$$



Les longueurs des éléments du mécanisme satisfont aux conditions:  $AC = CB = CP$ ;  $PD = DQ$ . Les éléments 1 et 5 tournent autour d'un axe fixe A. L'élément 1 se présente comme un levier coudé dont le côté *a* glisse dans le coulisseau 2. L'élément 3 constitue les couples de rotation C et P avec les éléments 1 et 4. L'élément 6 constitue les couples de rotation Q et D avec le coulisseau 2 et avec les éléments 4 et 5. Les longueurs des éléments étant conformes aux rapports admis, le mécanisme remplit la condition d'inversion

$$AP \cdot AQ = (AB)^2 = (AD)^2 - (PD)^2.$$

Si le point fixe A est le centre d'inversion et si le point P suit une courbe quelconque, le point Q décrit une courbe qui est l'inverse de la courbe engendrée par le point P, et vice versa.

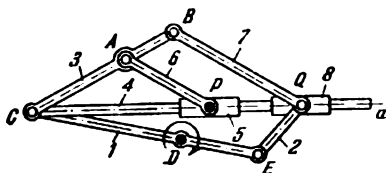


Les longueurs des éléments du mécanisme satisfont aux conditions:  $AB = AC$ ,  $BP = BQ$  et  $CP = CQ$ . La figure  $PBQC$  est un rhomboïde. Les éléments 1 et 2 tournent autour d'un point fixe  $A$  qui constitue le centre d'inversion. Les éléments 3 et 4 forment les couples de rotation  $B$  avec l'élément 2 et les couples de rotation  $P$  et  $Q$  avec les éléments 5 et 6 qui forment les couples de rotation  $C$  avec l'élément 1. Quel que soit le mouvement donné au mécanisme, les points  $A$ ,  $B$  et  $Q$  se trouvent toujours sur la même droite  $Aa$ . Lorsque le point  $P$  ou  $Q$  suit une courbe quelconque, l'autre point décrit une courbe qui est l'inverse de la première, autrement dit, le mécanisme réalise une transformation d'inversion du type

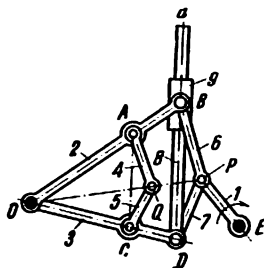
$$AP \cdot AQ = (AB)^2 - (BP)^2 = (AC)^2 - (CP)^2 = \text{const.}$$

Le mécanisme est équivalent à l'un des deux mécanismes à coulisse et leviers composés des éléments 1, 5, 6, 7 et 8 ou 2, 3, 4, 7 et 8, où les éléments 7 et 8 sont des coulisseaux qui glissent le long d'une barre de guidage  $Aa$  mobile autour du point  $A$ . Le mécanisme rend possible le mouvement de translation de la droite  $BC$  perpendiculaire à la droite  $APQ$ .



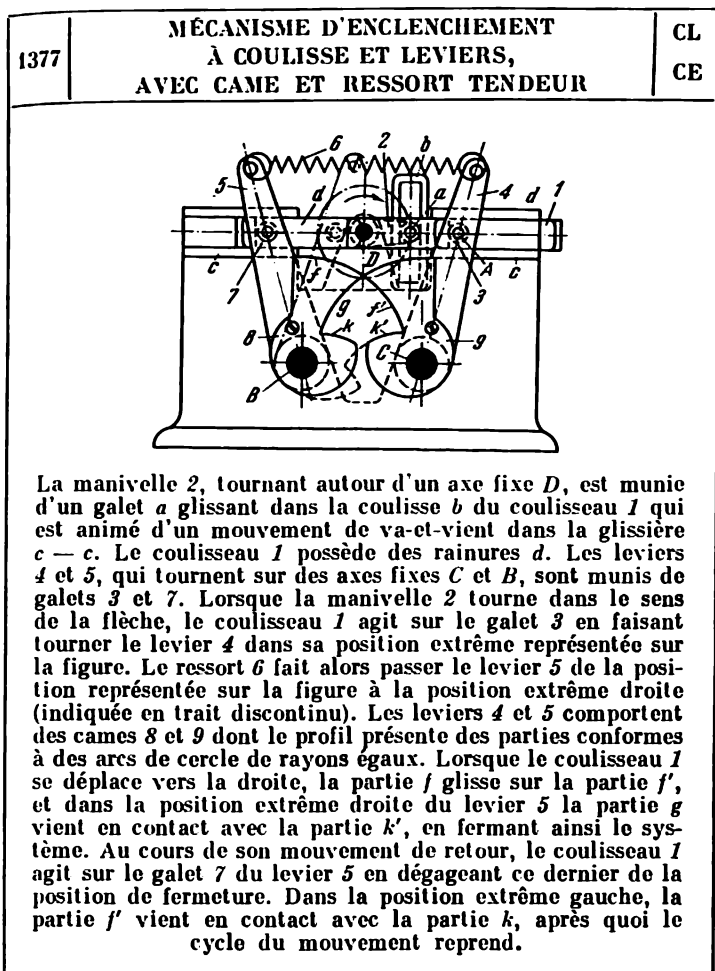


Les longueurs des éléments du mécanisme satisfont à la condition  $CB : CA = BQ : AP$ . Les points  $C$ ,  $P$  et  $Q$  sont situés sur une même droite. La direction  $EQ$  de l'élément 2 doit être parallèle à la direction  $DP$ . L'élément 1, tournant autour d'un axe fixe  $D$ , forme les couples de rotation  $C$  et  $E$  avec les éléments 3, 4 et 2. L'élément 3 forme les couples de rotation  $A$  et  $B$  avec les éléments 6 et 7 qui forment les couples de rotation  $P$  et  $Q$  avec les coulisseaux 5 et 8 glissant le long de l'axe  $Ca$  de l'élément 4. L'élément 2 forme un couple de rotation  $Q$  avec le coulisseau 8. Lorsque l'élément 1 tourne autour de l'axe  $D$ , l'élément 6 effectue un mouvement de translation tel que chaque point de cet élément décrit une circonférence de rayon  $DE$ .



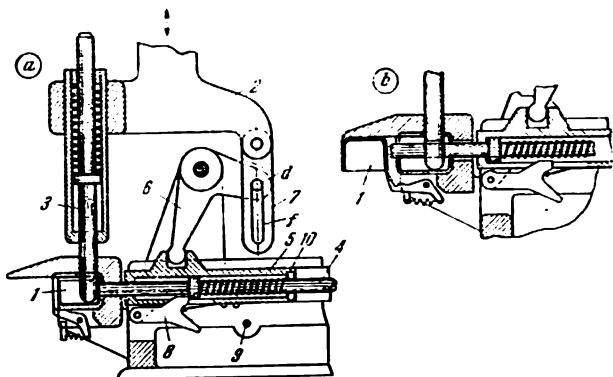
Les longueurs des éléments du mécanisme satisfont à la condition  $OB : OA = BP : AQ = OD : OC = DP : CQ$ . Les points  $O$ ,  $Q$  et  $P$  sont situés sur une même droite. L'élément 1, mobile autour d'un axe fixe  $E$ , forme les couples de rotation  $P$  avec les éléments 6 et 7. Les éléments 2 et 3, mobiles autour d'un axe fixe  $O$ , forment les couples de rotation  $A$  et  $C$  avec les éléments 4 et 5 et les couples de rotation  $B$  et  $D$  avec les éléments 6, 7, 8 et avec le coulisseau 9 glissant sur l'élément 8 le long de son axe  $Da$ . Les éléments 5 et 4 constituent un couple de rotation  $Q$ . Lorsque l'élément 1 tourne autour de l'axe  $E$ , la direction  $CA$  reste toujours parallèle à la direction de l'axe  $Da$  de l'élément 8.

## 15. Mécanismes de commutation, d'enclenchement et de déclenchement (1377)

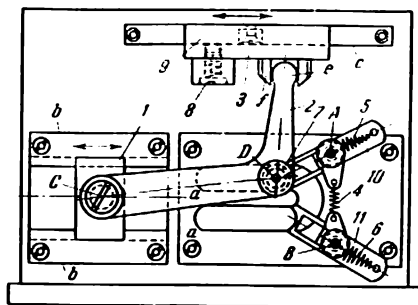


# 16. Mécanismes de triage, d'avance et d'alimentation (1378-1381)

1378	MÉCANISME D'AVANCE À COULISSE ET LEVIERS	CL TA
<div data-bbox="355 394 671 791" data-label="Image"> </div> <p data-bbox="166 829 871 1196">La manivelle 1, tournant autour d'un axe fixe A, forme un couple de rotation C avec le coulisseau 6 qui glisse dans la rainure f de la coulisse 2. La coulisse 2 constitue un couple de rotation D avec le coulisseau 7 qui se meut dans le guidage h du coulisseau 8 glissant sur la table fixe 9. L'élément 3 qui forme un couple de rotation K avec le coulisseau 8 est sollicité par le ressort 5. Lorsque la manivelle 1 est en mouvement, la coulisse 2 imprime un mouvement de va-et-vient au coulisseau 8 et à l'élément 3. Lorsque l'élément 3 se trouve dans sa position extrême gauche, la pièce b sort du canal a et tombe dans la cannelure c du taquet 4. Lorsque l'élément 3 se déplace de gauche à droite, la came d fixée sur l'élément 3 exerce une pression sur la dent e du taquet 4, enfonce le taquet et libère la pièce b. L'élément 3 serre la pièce b contre la surface de base à l'aide du ressort 5.</p>		

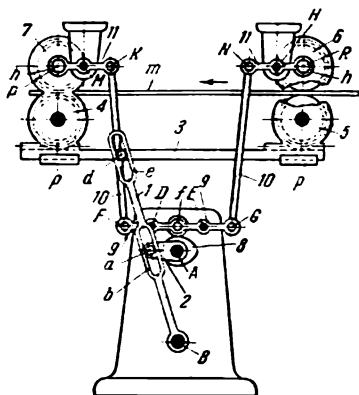


Le mécanisme est destiné à trier des pièces 1 en U suivant la position qu'elles occupent. L'amenée des pièces 1 vers le plateau de la presse, qui ne figure pas sur le dessin, ne peut s'effectuer qu'en position a. Lorsque la traverse 2 descend, le plongeur 3, s'abaissant sur le fond de la pièce 1, s'oppose à la poussée du plongeur horizontal 4 qui tend à chasser la pièce 1; le plongeur 4 et le coulisseau 5 se déplacent à gauche sous l'action du levier 7 qui exerce une pression sur le doigt d de l'élément 6 par le bord supérieur de la rainure f. Le loquet 8 limite le déplacement du plongeur 4. Lorsque la traverse 2 remonte, le plongeur 4 se met en position extrême droite avant que le plongeur 3 ne sorte de la pièce 1. Le loquet 8, qui bute contre l'ergot fixe 9, se déplace à droite avec le coulisseau 5 et libère le plongeur 4 qui se met à gauche sous l'effet du ressort serré 10, après quoi la pièce 1 est envoyée à la presse. Si la pièce suivante est amenée dans la même position a, lorsque la traverse 2 descend, le plongeur horizontal 4 bute contre la pièce 1 serrée par le plongeur vertical 3 et se déplace à droite par rapport au coulisseau 5, en reprenant sa position de départ. Si la pièce suivante est amenée dans la position b, lorsque la traverse 2 descend, le plongeur horizontal 4 se déplace avec le coulisseau 5 à gauche et chasse la pièce 1. Dans ce cas, le plongeur vertical 3, qui porte à son extrémité une fente, s'abaisse sur le plongeur 4 sans l'empêcher de se mouvoir. Au cours des cycles de fonctionnement suivants, le plongeur 4 se met en position extrême gauche, si les pièces amenées sont en position b, et en position de départ, si les pièces amenées sont en position a.



Le coulisseau 1 se meut dans une glissière fixe  $b - b$ . Le coulisseau 3 se meut dans une glissière fixe  $c$ . Le coulisseau 1 forme un couple de rotation  $C$  avec l'élément coudé 2 qui se termine par une tête sphérique  $e$  glissant dans une coulisse  $f$ . Au point  $D$  du levier 2 on fixe un galet 7 qui glisse et roule dans une rainure fixe  $a - a$  ayant la forme de fer à cheval.

Le mécanisme transforme le mouvement alternatif de l'élément 1 en mouvement alternatif du coulisseau 3, avec un temps d'arrêt après chaque cycle de mouvement de l'élément moteur 1. Sous l'action des griffes 10 et 11, qui tournent sur des axes fixes  $A$  et  $B$  et glissent le long de leurs axes, le levier 2 s'accroche au coulisseau 3 et s'en décroche automatiquement. Lorsque le galet 7 se meut sur la partie horizontale inférieure de la rainure  $a - a$ , le coulisseau 3 reste fixe durant un cycle de mouvement de l'élément moteur. Le dispositif 8, 9 est destiné à provoquer les arrêts réguliers du coulisseau 3 au même endroit. Les ressorts 4, 5 et 6 servent à créer des efforts nécessaires entre les griffes et le levier 2.



La manivelle 2, mobile autour d'un axe fixe A, glisse par son doigt *a* dans la rainure *b* de la coulisse 1 qui tourne autour d'un axe fixe B. La crémaillère 3 qui se meut dans un guidage fixe *p — p* comporte un doigt *d* glissant dans la rainure *e* de la coulisse 1. La came 8, solidaire de la manivelle 2, agit simultanément sur deux rouleaux *f* dont chacun appartient aux leviers 9 oscillant autour des axes fixes E et D. Les éléments 10 forment les couples de rotation G, N et F, K avec les éléments 9 et 11. Les éléments 11, qui tournent autour des axes fixes M et H, forment les couples de rotation R et P avec les rouleaux *h*. La coulisse 1 reçoit le mouvement de la manivelle 2, fixée sur l'arbre A de la presse, et provoque le déplacement horizontal de la crémaillère 3. Le mouvement de la crémaillère est transmis aux roues dentées 4, 5, 6 et 7. Les roues sont montées sur le même arbre que les rouleaux *h* qui font avancer le matériau *m* vers l'outil. Au moment de la coupe, les rouleaux d'avance se relèvent automatiquement grâce à la came 8 qui est fixée sur l'arbre de la presse A, aux leviers 9, aux tiges 10 et aux leviers 11. En modifiant la position du doigt *a*, on peut régler la vitesse d'avance du matériau *m*.

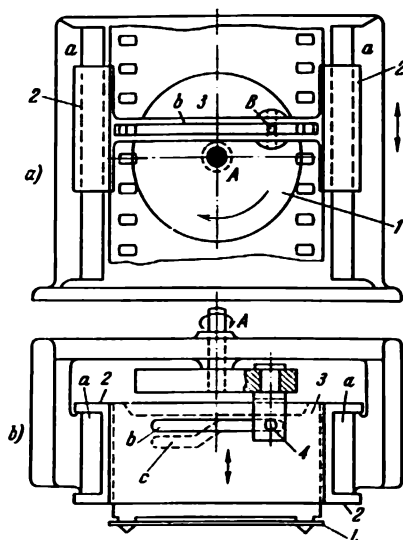
## 17. Mécanismes à griffe des caméras (1382-1395)

1382

MÉCANISME À COULISSE ET LEVIERS  
DE LA GRIFFE D'UNE CAMÉRA

CL

GC



La manivelle 1 (fig. a) se présente sous la forme d'un disque tournant autour d'un axe fixe A. Le doigt B s'engage dans la rainure b de l'élément 2 qui glisse dans le guidage fixe a — a. L'élément 3 se meut dans le guidage de l'élément 2, dans le sens perpendiculaire au mouvement de l'élément 2, comme on le voit sur la fig. b. Le mouvement de l'élément 3 dans ce sens s'effectue à l'aide de l'ergot 4 qui s'engage à la fois dans la rainure b et dans la rainure c des éléments 2 et 3. Lorsque la manivelle 1 tourne, la coulisse 2 et l'élément 3 reçoivent un mouvement de va-et-vient dans le sens vertical. L'ergot 4, qui se déplace dans les rainures b et c, fait périodiquement reculer l'élément 3, en retirant ses dents des perforations du film l.

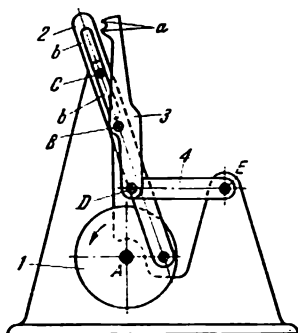


1383

# MÉCANISME À COULISSE DE LA GRIFFE D'UNE CAMÉRA

CL

GC



dents *a* se retirent des

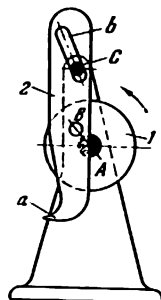
La bielle 2 possède une rainure *b — b* par laquelle elle glisse sur le doigt fixe *C*. L'élément 3 est articulé en *B* sur la bielle 2 et en *D* sur l'élément 4 mobile autour d'un axe fixe *E*. Lorsque la manivelle 1 tourne autour d'un axe fixe *A*, les pointes des dents *a* de l'élément 3 décrivent des courbes de bielle complexes. Sur une partie de ces courbes, les dents s'engagent dans les perforations du film et l'entraînent. Sur l'autre partie de la courbe de bielle, les perforations du film.

1384

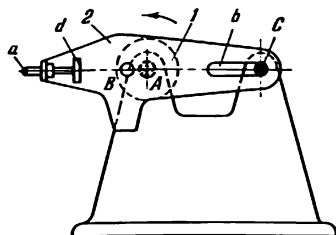
# MÉCANISME À COULISSE, À TROIS ÉLÉMENTS DE LA GRIFFE D'UNE CAMÉRA

CL

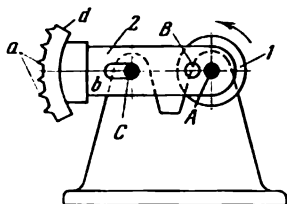
GC



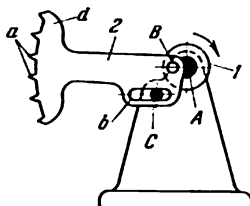
L'élément 1 du mécanisme à coulisse *ABC* tourne autour d'un axe fixe *A*. La coulisse 2 qui forme en *B* un couple de rotation avec l'élément 1 présente une rainure *b* par laquelle elle glisse sur le doigt fixe *C*. L'axe de la rainure *b* ne passe pas par le point *B*. Lorsque la manivelle 1 est en mouvement, la pointe de la dent *a* fixée sur la coulisse 2 décrit une courbe de bielle; la dent *a* s'engage dans la perforation du film, l'entraîne et s'en retire ensuite.



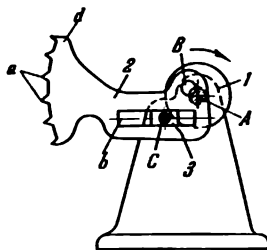
L'élément 1 du mécanisme à coulisse *ABC* tourne autour d'un axe fixe *A*. La coulisse 2 qui forme en *B* un couple de rotation avec l'élément 1 possède une rainure *b* par laquelle elle glisse sur le doigt fixe *C*. L'axe de la rainure *b* passe par le point *B*. Lorsque la manivelle 1 est en mouvement, le bout du doigt *a* de la coulisse 2 décrit une courbe de bielle; le doigt s'engage dans la perforation du film, l'entraîne et s'en retire ensuite. On règle la position du doigt à l'aide de la vis *d*.



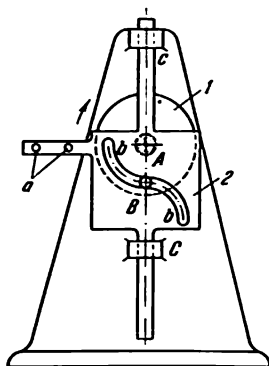
L'élément 1 du mécanisme à coulisse ABC tourne autour d'un axe fixe A. La coulisse 2 qui forme en B un couple de rotation avec l'élément 1 possède une rainure b par laquelle elle glisse sur le doigt fixe C. L'axe de la rainure b passe par le point B. La coulisse 2 comporte un segment denté d. Lorsque la manivelle 1 est en mouvement, les pointes des dents a décrivent des courbes de bielle; les dents a s'engagent dans les perforations du film, l'entraînent et s'en retirent ensuite.



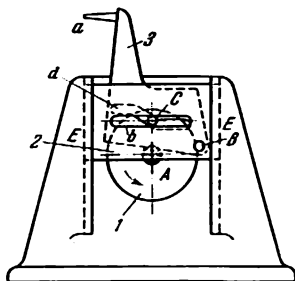
L'élément 1 du mécanisme à coulisse ABC tourne autour d'un axe fixe A. La coulisse 2 qui forme en B un couple de rotation avec l'élément 1 possède une rainure b par laquelle elle glisse sur le doigt fixe C. L'axe de la rainure b ne passe pas par le point B. La coulisse 2 comporte un segment denté d. Lorsque la manivelle 1 est en mouvement, les pointes des dents a du segment d décrivent des courbes de bielle; les dents a s'engagent dans les perforations du film, l'entraînent et s'en retirent ensuite.



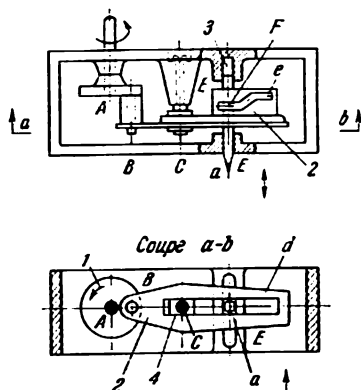
L'élément 1 du mécanisme à coulisse ABC tourne autour d'un axe fixe A. La coulisse 2 qui forme en B un couple de rotation avec l'élément 1 possède une rainure b par laquelle elle glisse sur le coulisseau 3 qui tourne autour d'un axe fixe C. L'axe de la rainure b ne passe pas par le point B. La coulisse 2 comporte un segment denté d. Lorsque la manivelle 1 est en mouvement, les pointes des dents a du segment d décrivent des courbes de bielle; les dents a s'engagent dans les perforations du film, l'entraînent et s'en retirent ensuite.



L'élément 1 du mécanisme à coulisse *ABC* tourne autour d'un axe fixe *A*. Le doigt *B* de l'élément 1 glisse dans la rainure *b* de l'élément 2 animé d'un mouvement de va-et-vient dans le guidage *c — c*. Le profil de la rainure *b* est composé de deux quarts de cercle de rayon *AB*. Lorsque la manivelle 1 tourne, l'élément 2 comportant des dents *a* se meut en observant deux arrêts prolongés au moment où le doigt *B* glisse, lorsque les centres des quarts de cercles de rayon *AB* coïncident avec le point *A*.

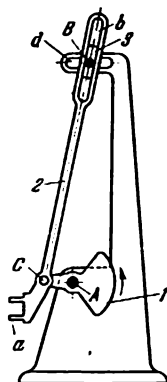


L'élément 1 du mécanisme à coulisse *ACE* tourne autour d'un axe fixe *A*. Le doigt *C* de l'élément 1 glisse le long de la rainure rectiligne horizontale *b* de l'élément 2 animé d'un mouvement de va-et-vient dans le guidage *E*. L'élément 3 qui constitue un couple de rotation *B* avec l'élément 2 porte une rainure *d* par laquelle il glisse sur le doigt *C* de l'élément 1. Lorsque la manivelle 1 est en mouvement, la dent *a* de l'élément 3 s'engage dans la perforation du film au moment où le doigt *C* de la manivelle 1 suit la moitié gauche de la rainure *d*, et s'en dégage au moment où le doigt *C* suit la moitié droite de la rainure *d*.

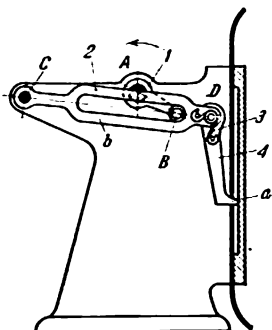


L'élément 1 du mécanisme à coulisse ABC tourne autour d'un axe fixe A. La coulisse 2 qui forme en B un couple de rotation avec l'élément 1 comporte une rainure *d* par laquelle elle glisse sur le coulisseau 4 qui tourne autour d'un axe fixe C. L'élément 3 qui se meut dans le guidage fixe E glisse par sa rainure *d* dans le sens horizontal. Le déplacement de l'élément 3 dans le sens vertical s'effectue grâce à la rainure *e* de la coulisse 2 qui exerce une pression sur le doigt F de l'élément 3. Lorsque la manivelle 1 tourne, la coulisse 2 imprime à l'élément 3 portant la dent *a* un mouvement dans le sens vertical. En se movant dans la moitié gauche de la rainure *e* de la coulisse 2, le doigt F de l'élément 3 engage la dent *a* dans la perforation du film. En se movant dans la moitié droite de la rainure *e*, le doigt F dégage la dent *a* de la perforation du film.

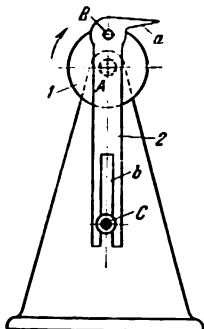




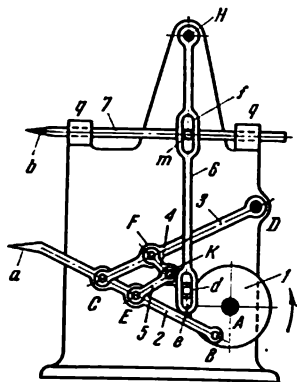
L'élément 1 du mécanisme à coulisse  $ACB$  tourne autour d'un axe fixe  $A$ . La coulisse 2 qui forme en  $C$  un couple de rotation avec l'élément 1 comporte une rainure  $b$  par laquelle elle glisse sur le coulisseau 3 qui tourne autour d'un axe fixe  $B$ . L'axe de la rainure  $b$  passe par le point  $C$ . Lorsque la manivelle 1 tourne, les pointes des dents  $a$  de la coulisse 2 décrivent des courbes de bielle. Les dents  $a$  s'engagent dans les perforations du film, l'entraînent et en ressortent ensuite. En déplaçant le doigt  $B$  dans la rainure  $d$ , on peut varier les trajectoires des pointes de dents  $a$ .



L'élément 1 du mécanisme à coulisse ABC tourne autour d'un axe fixe A. La coulisse 2 présente une rainure b le long de laquelle glisse le doigt B de l'élément 1. Lorsque la coulisse 2 se trouve dans sa position extrême supérieure, le ressort 3 fait entrer dans la perforation du film la dent a de l'élément 4 articulé en D sur la coulisse 2. Lorsque la manivelle 1 poursuit sa rotation, la dent a déplace le film vers le bas. Lorsque la coulisse 2 se met en mouvement et quitte sa position inférieure, la dent a sort de la perforation du film et glisse ensuite sur ce dernier.



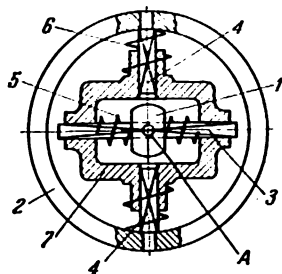
L'élément 1 du mécanisme à coulisse ABC tourne autour d'un axe fixe A. La coulisse 2 qui forme en B un couple de rotation avec l'élément 1 comporte une rainure b par laquelle elle glisse sur le doigt fixe C. L'axe de la rainure b passe par le point B. Lorsque l'élément 1 tourne, la pointe de la dent a fixée sur la coulisse 2 décrit une courbe de bielle; la dent a s'engage dans la perforation du film, l'entraîne et en ressort ensuite.



Les éléments 4 et 5 forment les couples de rotation  $F$  et  $E$  avec le levier oscillant 3 et la bielle 2 du système à quatre éléments articulés  $ABCD$ , et forment l'un avec l'autre le couple de rotation  $K$ . L'élément 4 comporte un doigt  $d$  glissant dans la rainure  $e$  de l'élément 6, mobile autour d'un axe fixe  $H$ . La rainure  $f$  de l'élément 6 agit sur le doigt  $m$  de l'élément 7 qui glisse dans le guidage fixe  $q - q'$ . Lorsque la manivelle 1 est en mouvement, la dent  $a$  de la bielle 2 décrit une courbe de bielle; la dent s'engage dans la perforation du film, l'entraîne et en ressort ensuite. On introduit la dent  $b$  de l'élément 7 dans la perforation du film pour l'empêcher de se déplacer au moment où la dent  $a$  sort de la perforation.

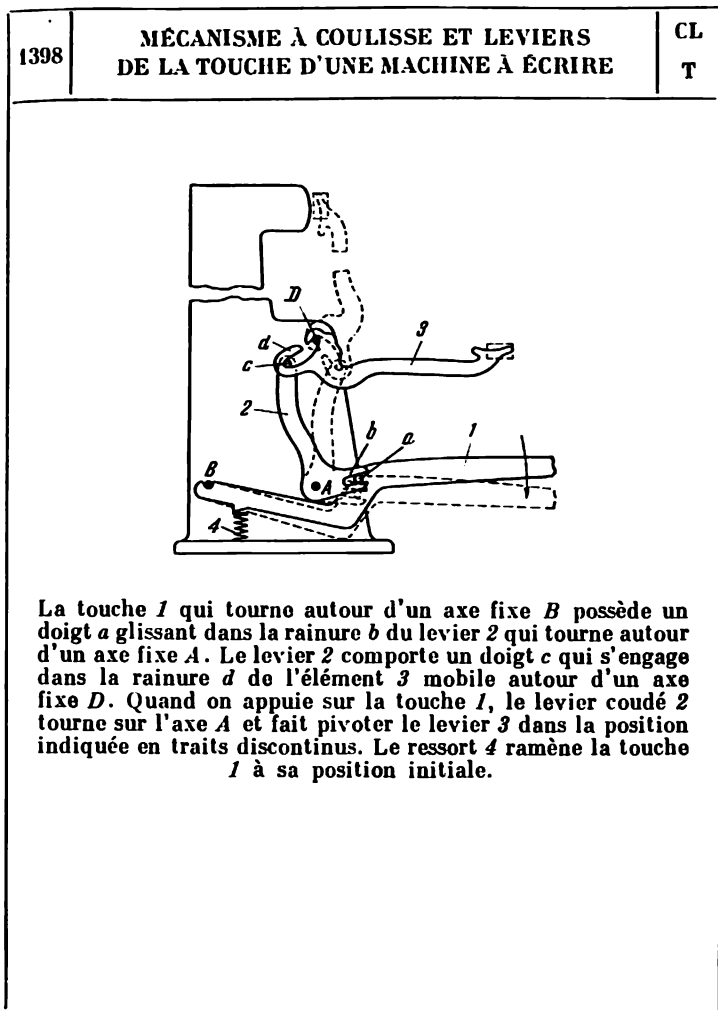
## 18. Mécanismes des accouplements (1396-1397)

1396	MÉCANISME À COULISSE ET LEVIERS DE L'ACCOUPLEMENT	CL Ac
<div data-bbox="329 392 678 649" data-label="Image"> </div> <p data-bbox="163 696 866 1019">           La traverse <i>a</i> solidaire de l'arbre <i>1</i> tournant dans des paliers fixes non figurés sur le dessin, forme les couples de rotation <i>A</i> et <i>B</i> avec les coulisseaux <i>3</i> et <i>4</i>. Le disque <i>b</i>, rigidement lié à l'arbre <i>2</i>, comporte deux rainures diamétrales <i>c</i> perpendiculaires entre elles. Lorsque l'arbre <i>1</i> tourne dans le sens de la flèche, les coulisseaux <i>3</i> et <i>4</i> glissent dans les rainures diamétrales <i>c</i> du disque <i>b</i>, imprimant à l'arbre <i>2</i> un mouvement de rotation dans le même sens. Le rapport de transmission <math>i_{12}</math> entre les arbres <i>1</i> et <i>2</i> est tel que <math>i_{12} = \frac{\omega_1}{\omega_2} = 2</math>. Il s'ensuit que l'angle de rotation de l'élément <i>1</i> est toujours égal à deux angles de rotation de l'élément <i>2</i>.         </p>		



L'élément 1 fixé sur la tige 3 et la couronne 2 tournent autour d'un axe A. L'élément 1 est animé d'un mouvement de translation dans le croisillon 7 qui se déplace librement le long des rayons 4 de la bague 2. Le mécanisme admet donc le mouvement même si l'on a une certaine excentricité entre les axes de rotation de l'élément 1 et de la couronne 2. On obtient le centrage de l'élément 1 à l'aide des ressorts 5 et 6.

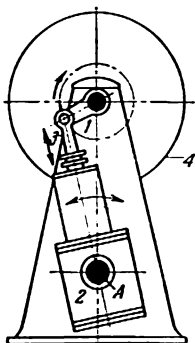
## 19. Mécanismes des touches (1398)



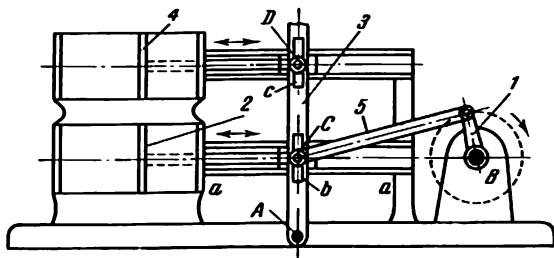
## 20. Mécanismes des machines à piston (1399-1413)

1399	MÉCANISME À COULISSE, À QUATRE ÉLÉMENTS DU CYLINDRE OSCILLANT	CL MP
<div data-bbox="329 391 705 586" data-label="Image"> </div> <p data-bbox="166 629 868 753">Le disque 1 est muni d'un doigt qui constitue un couple cinématique avec le coulisseau 2. Le coulisseau 2 glisse dans la rainure de la coulisse 3 appartenant au cylindre qui oscille autour de l'axe C. L'angle total <math>\psi</math> d'oscillation du cylindre est égal à</p> $\psi = 2 \arcsin \frac{AB}{AC} .$		





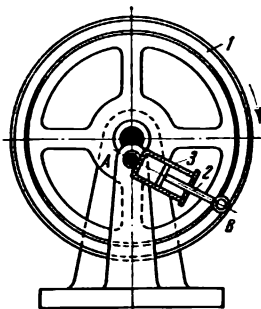
Le cylindre à deux étages 2 oscille autour d'un axe A. Deux pistons de diamètres différents sont rendus solidaires de l'élément 3. Un lourd volant 4 est solidaire de la manivelle 1.



La manivelle 1 tourne autour d'un axe fixe B et, à l'aide de la bielle 5, communique le mouvement au coulisseau 2 glissant dans un guidage fixe a. La coulisse 3, mobile autour d'un axe fixe A, présente des rainures b et c dans lesquelles glissent les doigts C et D appartenant aux tiges des pistons 2 et 4. Lorsque la manivelle 1 tourne, le piston 2 reçoit un mouvement de va-et-vient, en faisant osciller la coulisse 3 autour du centre fixe A. La coulisse 3 met en mouvement le piston 4.

1402

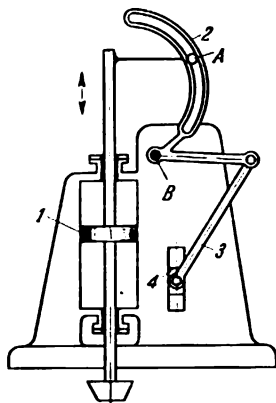
# MÉCANISME À COULISSE, À QUATRE ÉLÉMENTS DU CYLINDRE TOURNANT

CL  
MP

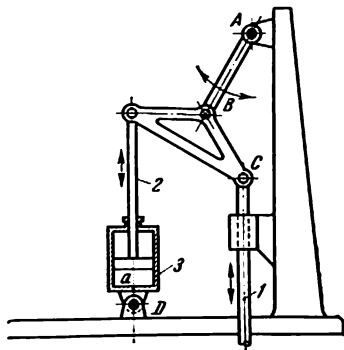
Le cylindre 3 tourne autour d'un axe fixe A. La tige 2 du piston forme un couple de rotation B avec le volant 1. Lorsque le volant 1 est en mouvement, l'élément 2 glisse dans le cylindre 3.

1403

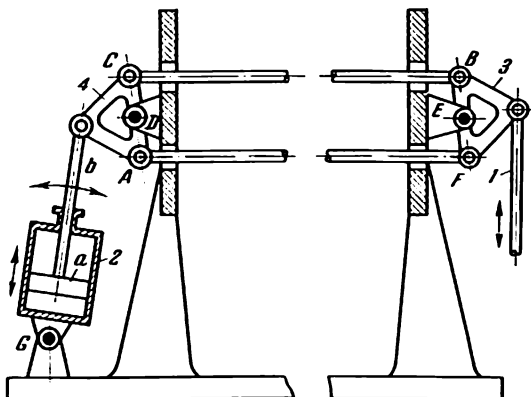
# MÉCANISME À COULISSE DE LA MACHINE À PISTON

CL  
MP

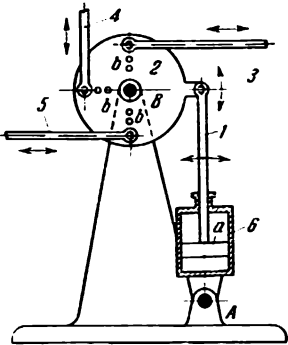
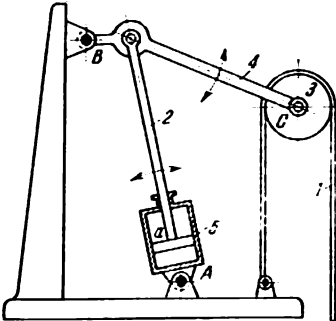
Le piston 1 se déplace dans un cylindre fixe. On fixe sur la tige du piston le doigt A glissant dans une coulisse curviligne 2 qui oscille autour d'un axe fixe B. La bielle 3, reliée à la coulisse 2, transmet le mouvement au tiroir 4.

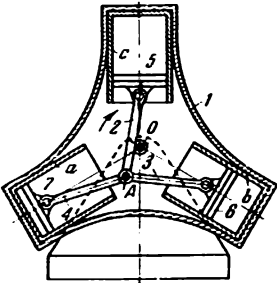
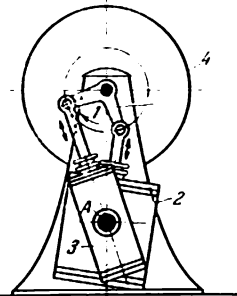


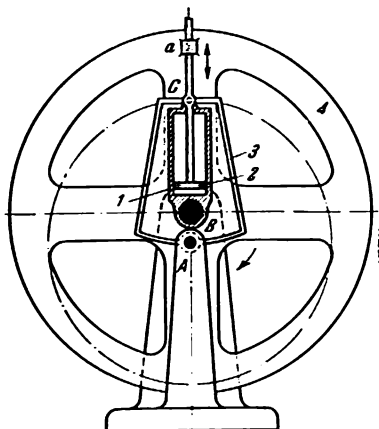
Le cylindre 3 tourne autour d'un axe fixe D. Le piston a qui coulisse dans ce cylindre est muni d'une tige 2. Le mouvement de la tige 2 du piston est reproduit par une tringle 1 constituant le coulisseau du système à coulisse et manivelle ABC.



Les longueurs des éléments du mécanisme satisfont aux conditions:  $AC = FB$ ,  $CB = AF$  et  $CD = DA = BE = EF$ . Le cylindre 2 oscille autour d'un axe fixe  $G$ . Le piston  $a$ , qui coulisse dans ce cylindre, est muni d'une tige  $b$ . Le mouvement de la tige  $b$  est reproduit par une tringle  $1$  à l'aide du parallélogramme  $ACBF$ . On aura recours à ce mécanisme pour le cas de grandes distances entre les axes de rotation  $D$  et  $E$  des éléments 4 et 3.

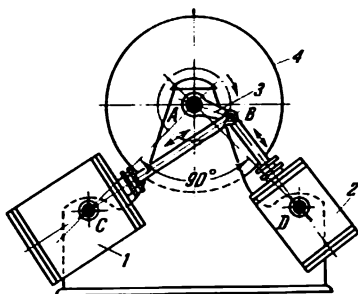
1406	<b>MÉCANISME À COULISSE ET LEVIERS DU CYLINDRE OSCILLANT AVEC PLATEAU DE DISTRIBUTION</b>	<b>CL MP</b>
	<p>Le cylindre 6 tourne autour d'un axe fixe A. Le piston a qui coulisser dans le cylindre est muni d'une tige 1. Le mouvement de la tige 1 est transmis au plateau de distribution 2 qui imprime, à son tour, le mouvement aux tringles 3, 4 et 5. Pour obtenir les différentes lois du mouvement des tringles 3, 4 et 5, on a pourvu le plateau 2 d'ouvertures b afin de monter les tringles à des distances différentes de l'axe de rotation fixe B.</p>	
1407	<b>MÉCANISME À COULISSE ET LEVIERS DU CYLINDRE OSCILLANT À COMMANDE SOUPLE</b>	<b>CL MP</b>
	<p>Le cylindre 5 tourne autour d'un axe fixe A. Le piston a coulisser dans le cylindre est muni d'une tige 2. L'élément 4 qui se présente sous la forme d'un levier coudé tourne autour d'un axe fixe B. On fixe la poulie 3 sur l'axe C de ce levier. Le mouvement de la tige 2 du piston est reproduit par un élément souple 1 passé autour de la poulie 3 tournant sur un axe C.</p>	

1408	<b>MÉCANISME À COULISSE ET LEVIERS</b> <b>DE LA MACHINE À PISTON</b> <b>AVEC CYLINDRES TOURNANTS</b>	<b>CL</b>  <b>MP</b>
	 <p>Le bloc des cylindres <i>a</i>, <i>b</i> et <i>c</i> tourne autour d'un axe fixe <i>O</i>. Les bielles 2, 3 et 4 tournant autour d'un axe <i>A</i> impriment aux pistons 5, 6 et 7 un mouvement de translation par rapport aux axes des cylindres. La course totale <i>s</i> des pistons par rapport aux cylindres est</p> $s = 2OA.$	
1409	<b>MÉCANISME À COULISSE ET MANIVELLE</b> <b>AVEC DEUX CYLINDRES OSCILLANTS</b>	<b>CL</b>  <b>MP</b>
	 <p>Les cylindres 2 et 3 oscillent autour d'un axe commun fixe <i>A</i>. On obtient différentes lois de mouvement des pistons dans les cylindres en modifiant les longueurs des manivelles 1 et en les fixant à différents angles. Les manivelles 1 sont rendues solidaires du volant d'inertie 4.</p>	

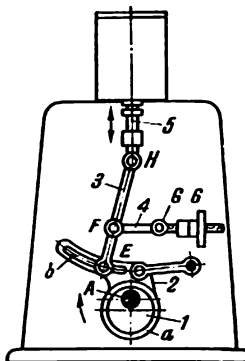


Le cylindre 1 est solidaire du volant d'inertie 4 qui tourne autour d'un axe fixe B. Lorsque le volant 4 est en mouvement, la tige du piston 2 coulisse dans un guidage a qui se trouve sur la jante du volant. La tige est articulée en C sur un cadre 3 qui tourne autour d'un axe fixe A.

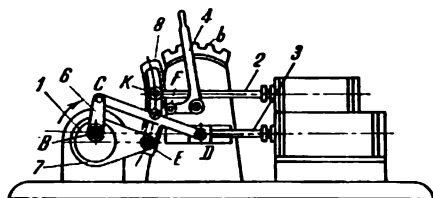




Les cylindres 1 et 2 oscillent autour des axes fixes C et D. Les axes des cylindres passent toujours par le point B de la manivelle 3 qui tourne autour d'un axe fixe A. L'angle CAD vaut  $90^\circ$ . Le volant d'inertie 4 qui tourne autour de l'axe fixe A est solidaire de la manivelle 3.



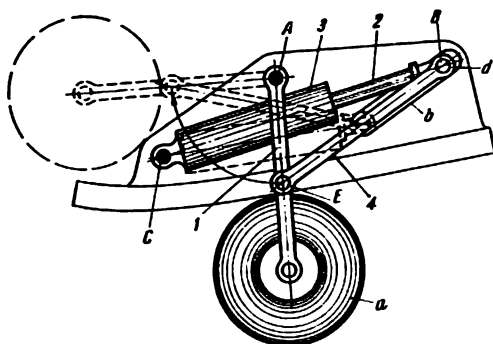
L'excentrique 1 tourne autour d'un axe fixe A. La bielle 2 comporte une bague a qui entoure l'excentrique 1, et possède une rainure b dans laquelle coulisce le doigt E de l'élément 3. L'élément 3 forme les couples de rotation F et H avec l'élément 4 et avec la tige 5 du piston. L'élément 4 tourne autour d'un axe fixe G. Lorsque l'excentrique 1 tourne, la tige 5 reçoit un mouvement de va-et-vient. La longueur de course de la tige 5 peut être modifiée par le déplacement du point G de l'élément 4 à l'aide d'un dispositif à vis 6.



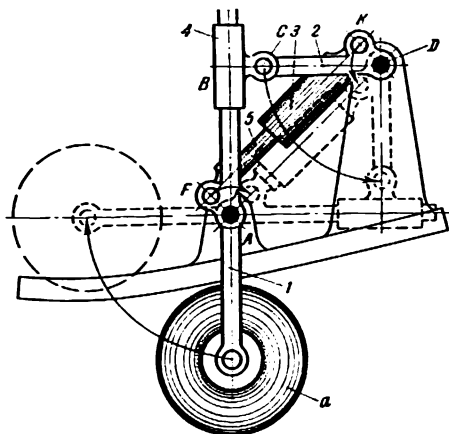
Le piston 3 est mis en mouvement par un mécanisme à coulisseau et manivelle *BCD*. L'excentrique 1, solidaire de la manivelle 6, tourne autour d'un axe fixe *B*. L'élément 7 comporte une bague qui embrasse l'excentrique 1. L'élément 7 forme en *E* un couple de rotation avec la coulisse 8 qui tourne autour d'un axe fixe *E*. Le doigt *K* de la tige du piston 2 glisse dans la coulisse 8. Lorsque l'excentrique 1 tourne, les pistons 2 et 3 reçoivent un mouvement de va-et-vient. La longueur de course du piston 2 dépend de la position du levier 4 et de sa fixation sur le segment denté *b*.

## 21. Mécanismes des trains d'atterrissage (1414-1443)

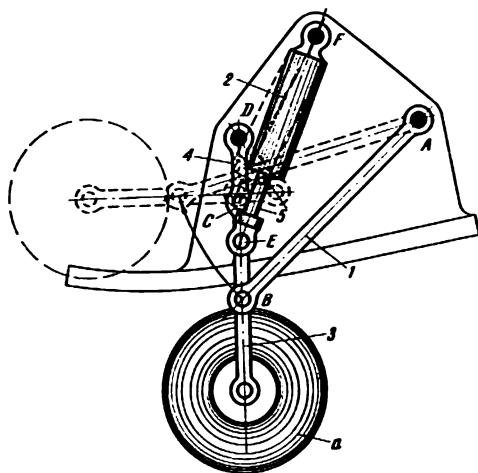
1414.	MÉCANISME TRIDIMENSIONNEL À COULISSE DU TRAIN D'ATTERRISSAGE ESCAMOTABLE	CL TAt
<div data-bbox="393 371 652 671" data-label="Image"> </div> <p data-bbox="165 699 870 913">L'élément 3 portant la roue <i>d</i> tourne autour de l'axe fixe <i>O — O</i> du cadre de l'avion. L'élément 1 forme un couple sphérique <i>A</i> avec l'élément 3 et un couple cylindrique avec l'élément 2. L'élément 2 constitue un couple sphérique <i>B</i> avec le cadre de l'avion. Lorsque le piston 1 est animé d'un mouvement de translation dans le cylindre 2, l'élément 3 pivote sur l'axe <i>O — O</i>, assurant ainsi le relevage du train d'atterrissage de l'avion.</p>		



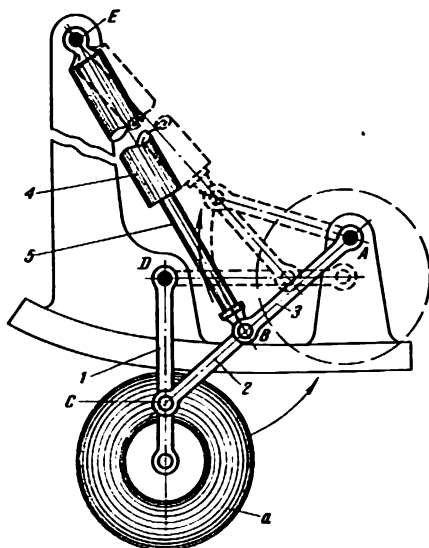
L'élément 1 portant la roue *a* tourne autour de l'axe fixe *A* du cadre de l'avion. La bielle 4 qui forme un couple de rotation *E* avec l'élément 1 glisse par son extrémité *d* dans la glissière fixe *b*. L'élément 4 mis en mouvement par la tige 2 du cylindre 3 constitue avec cette tige un couple de rotation *B*. Le cylindre 3 tourne autour de l'axe fixe *C* du cadre de l'avion. Lorsque la tige 2 descend dans le cylindre 3, l'élément 1 pivote dans le sens de la flèche et le mécanisme prend la position indiquée en traits discontinus, assurant ainsi le relevage du train d'atterrissage de l'avion.



L'élément 1 portant la roue *a*, qui tourne autour de l'axe fixe *A* du cadre de l'avion, forme un couple de translation *B* avec l'élément 4. L'élément 4 constitue un couple de rotation *C* avec l'élément 2 qui tourne autour de l'axe fixe *D* du cadre de l'avion. La tige 5 du vérin de commande du train 3 forme un couple de rotation *F* avec l'élément 1. Le cylindre 3 constitue un couple de rotation *K* avec l'élément 2. Lorsque la tige 5 descend dans le cylindre de vérin 3, l'élément 1 pivote dans le sens de la flèche et le mécanisme prend la position indiquée en traits discontinus, assurant ainsi le relevage du train d'atterrissage de l'avion.

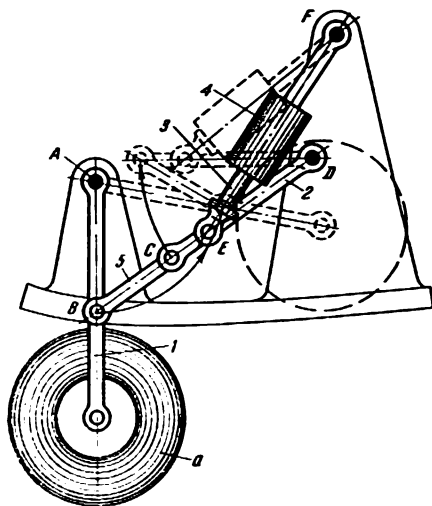


L'élément 1 qui tourne autour de l'axe fixe A du cadre de l'avion constitue un couple de rotation B avec l'élément 3 qui porte la roue a. L'élément 3 forme un couple de rotation C avec l'élément 4 qui tourne autour de l'axe fixe D du cadre de l'avion. La tige 5 du vérin de commande du train 2 forme un couple de rotation E avec l'élément 3. Le cylindre 2 tourne autour de l'axe fixe F du cadre de l'avion. Lorsque la tige 5 descend dans le cylindre de vérin 2, l'élément 1 pivote dans le sens de la flèche et le mécanisme prend la position indiquée en traits discontinus, assurant ainsi le relevage du train d'atterrissage de l'avion.

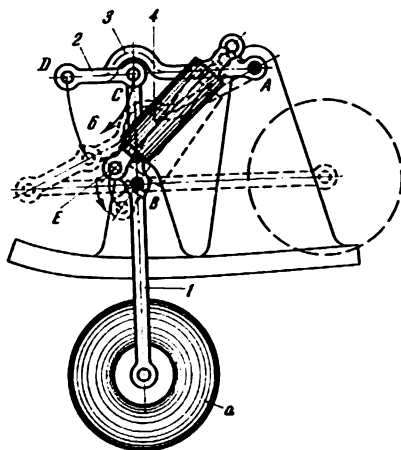


L'élément 3 qui tourne autour d'un axe fixe A du cadre de l'avion constitue avec l'élément 2 un couple de rotation B. L'élément 2 forme un couple de rotation C avec l'élément 1 qui tourne autour de l'axe fixe D du cadre de l'avion et qui porte la roue a. La tige 5 du vérin de commande du train 4 constitue un couple de rotation B avec les éléments 2 et 3. Le cylindre 4 tourne autour de l'axe fixe E du cadre de l'avion. Lorsque la tige 5 descend dans le cylindre de vérin 4, les éléments du mécanisme prennent la position indiquée en traits discontinus, assurant ainsi le relevage du train d'atterrissage de l'avion.

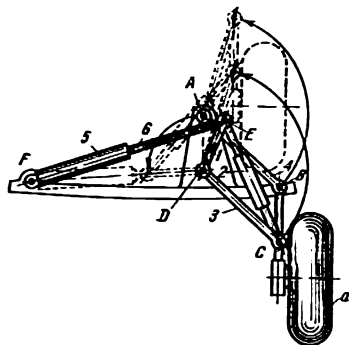




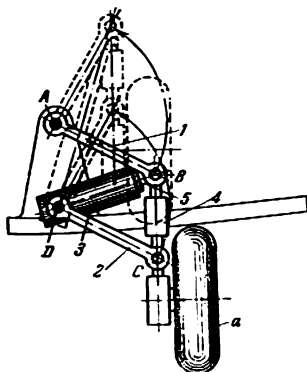
L'élément 1 portant la roue *a* tourne autour de l'axe fixe *A* du cadre de l'avion. L'élément 5 forme des couples de rotation *B* et *C* avec les éléments 1 et 2. L'élément 2 tourne autour de l'axe fixe *D* du cadre de l'avion. La tige 3 du vérin de commande du train 4 constitue un couple de rotation *E* avec l'élément 2. Le cylindre 4 tourne autour de l'axe fixe *F* du cadre de l'avion. Lorsque la tige 3 descend dans le sens des flèches et le mécanisme prend la position indiquée en traits discontinus, assurant ainsi le relevage du train d'atterrissage de l'avion.



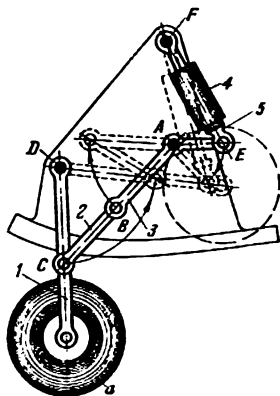
L'élément 1 portant la roue *a* tourne autour de l'axe fixe *B* du cadre de l'avion. L'élément 2 constitue les couples de rotation *C* et *D* avec l'élément 1 et l'élément 3 tournant autour de l'axe fixe *A* du cadre de l'avion. La tige 6 du vérin de commande du train 4 forme un couple de rotation *E* avec l'élément 1. Le cylindre 4 forme un couple de rotation *F* avec l'élément 3. Lorsque la tige 6 remonte dans le cylindre de vérin 4, les éléments 1, 2 et 3 pivotent dans le sens des flèches et le mécanisme prend la disposition indiquée en traits discontinus, assurant ainsi le relevage du train d'atterrissage de l'avion.



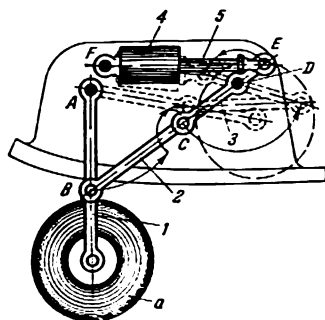
Les longueurs des éléments du mécanisme satisfont aux conditions suivantes:  $AB = DC$  et  $AD = BC$ . La figure  $ABCD$  constitue donc un mécanisme de parallélogramme, la bielle  $BC$  étant solidaire de l'axe de la roue  $a$ . L'élément 1 et l'élément 3 tournent autour de l'axe fixe  $D$  du cadre de l'avion. L'amortisseur à l'huile 2 est monté entre les points  $E$  et  $C$ . Ainsi le système  $EDC$  tourne autour de l'axe commun  $D$ . Ce système constitue en  $E$  un couple de rotation avec la tige 6 du vérin de commande 5 qui tourne autour de l'axe fixe  $F$  du cadre de l'avion. Lorsque la tige 6 descend dans le cylindre de vérin 5, les éléments 1, 3 et 4 pivotent dans le sens des flèches et le mécanisme prend la position indiquée en traits discontinus, assurant ainsi le relevage du train d'atterrissage de l'avion.



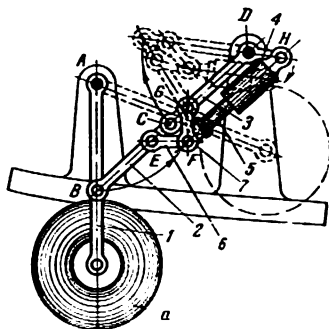
Les longueurs des éléments du mécanisme satisfont aux conditions:  $AB = DC$  et  $AD = BC$ . La figure  $ABCD$  constitue donc un mécanisme de parallélogramme, la bielle  $BC$  étant solidaire de l'axe de la roue  $a$ . La tige 5 du vérin de commande du train 3 forme un couple de rotation  $B$  avec les éléments 1 et 5. Le cylindre 3 tourne autour de l'axe fixe  $D$  du cadre de l'avion. La figure indique en traits discontinus la position du train d'atterrissage escamoté.



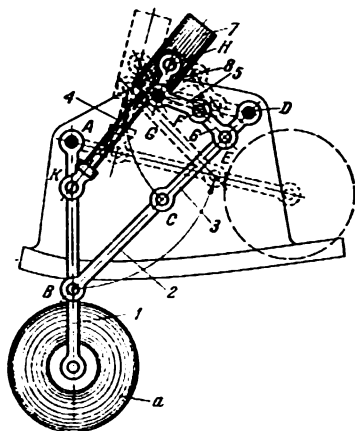
L'élément 1 portant la roue *a* tourne autour de l'axe fixe *D* du cadre de l'avion. L'élément 2 forme les couples de rotation *C* et *B* avec les éléments 1 et 3. L'élément 3 tourne autour de l'axe fixe *A* du cadre de l'avion. La tige 5 du vérin de commande du train 4 constitue un couple de rotation *E* avec l'élément 3. Le vérin de commande 4 tourne autour de l'axe fixe *F* du cadre de l'avion. Lorsque la tige 5 remonte dans le cylindre de vérin 4, les éléments 1, 2 et 3 pivotent dans le sens des flèches et le mécanisme prend la position indiquée en traits discontinus, assurant ainsi le relevage du train d'atterrissage de l'avion.



L'élément 1 portant la roue *a* tourne autour de l'axe fixe *A* du cadre de l'avion. L'élément 2 forme les couples de rotation *B* et *C* avec les éléments 1 et 3. L'élément 3 tourne autour de l'axe fixe *D* du cadre de l'avion. La tige 5 du vérin de commande du train 4 constitue un couple de rotation *E* avec l'élément 3. Le vérin de commande 4 tourne autour de l'axe fixe *F* du cadre de l'avion. Lorsque la tige 5 descend dans le cylindre de vérin 4, les éléments 1, 2 et 3 pivotent dans le sens des flèches et le mécanisme prend la position indiquée en traits discontinus, assurant ainsi le relevage du train d'atterrissage de l'avion.

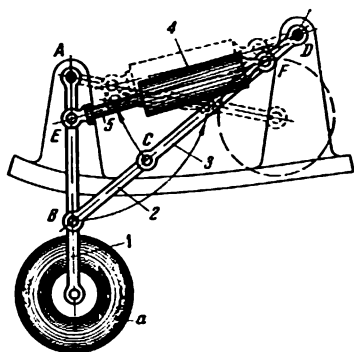


L'élément 1 portant la roue *a* tourne autour de l'axe fixe A du cadre de l'avion. L'élément 2 forme les couples de rotation B et C avec les éléments 1 et 3. L'élément 3 tourne autour de l'axe fixe D du cadre de l'avion. Les éléments 6 et 7, de longueur égale, constituent ensemble le couple de rotation F et les couples de rotation E et G avec les éléments 2 et 3. La tige 5 du vérin de commande du train 4 forme un couple de rotation F avec les éléments 6 et 7. Le vérin de commande 4 forme un couple de rotation H avec l'élément 3. Lorsque la tige 5 descend dans le cylindre de vérin 4, l'élément 1 pivote dans le sens de la flèche et les éléments du mécanisme prennent la position indiquée en traits discontinus, assurant ainsi le relevage du train d'atterrissage de l'avion.

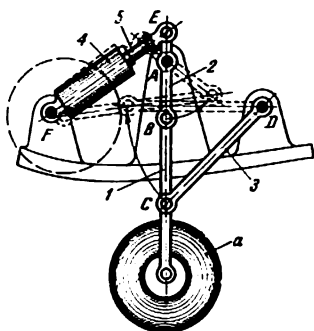


L'élément 1 portant la roue *a* tourne autour d'un axe fixe *A* du cadre de l'avion. L'élément 2 forme les couples de rotation *B* et *C* avec les éléments 1 et 3. L'élément 3 tourne autour d'un axe fixe *D* du cadre de l'avion. L'élément 6 forme des couples de rotation *E* et *F* avec l'élément 3 et l'élément 5 tournant autour d'un axe fixe *G* du cadre de l'avion. La tige 4 du vérin de commande du train 7 constitue un couple de rotation *K* avec l'élément 1. Le cylindre 7 forme un couple de rotation *H* avec l'élément 8. Lorsque la tige 4 descend dans le cylindre de vérin 7, les éléments 1 et 3 pivotent dans le sens des flèches et les éléments du mécanisme prennent la position indiquée en traits discontinus, assurant ainsi le relevage du train d'atterrissage de l'avion.

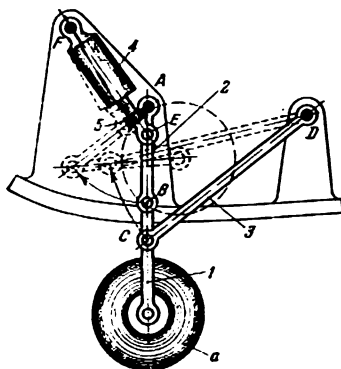




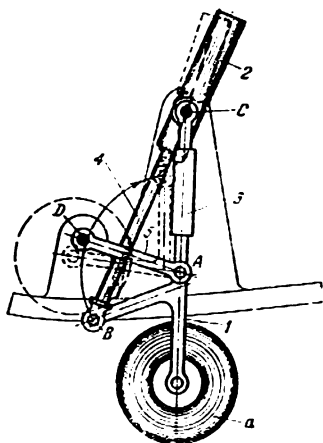
L'élément 1 portant la roue *a* tourne autour d'un axe fixe *A* du cadre de l'avion. L'élément 2 forme les couples de rotation *B* et *C* avec les éléments 1 et 3. L'élément 3 tourne autour d'un axe fixe *D* du cadre de l'avion. La tige 5 du vérin de commande du train 4 constitue un couple de rotation *E* avec l'élément 1. Le cylindre 4 forme un couple de rotation *F* avec l'élément 3. Lorsque la tige 5 descend dans le cylindre de vérin 4, les éléments 1, 2 et 3 pivotent dans le sens des flèches et le mécanisme prend la position indiquée en traits discontinus, assurant ainsi le relevage du train d'atterrissage de l'avion.



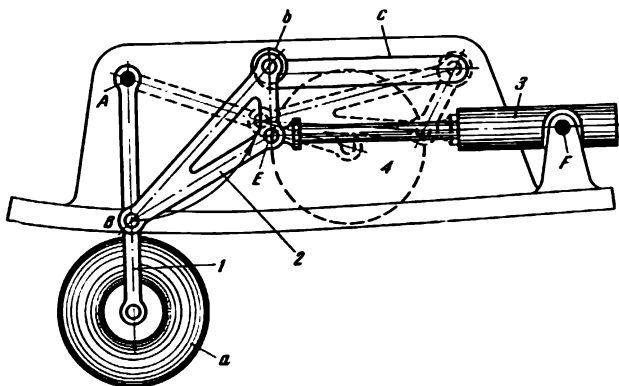
L'élément 2 tourne autour d'un axe fixe A du cadre de l'avion. L'élément 1 portant la roue a forme les couples de rotation B et C avec les éléments 2 et 3. L'élément 3 tourne autour d'un axe fixe D du cadre de l'avion. La tige 5 du vérin de commande du train 4 constitue un couple de rotation E avec l'élément 2. Le cylindre 4 tourne autour d'un axe fixe F du cadre de l'avion. Lorsque la tige 5 descend dans le cylindre de vérin 4, les éléments 1, 2 et 3 pivotent dans le sens des flèches et le mécanisme prend la position indiquée en traits discontinus, assurant ainsi le relevage du train d'atterrissage de l'avion.



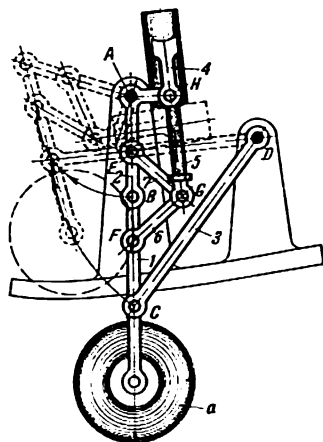
L'élément 2 tourne autour d'un axe fixe A du cadre de l'avion. L'élément 1 portant la roue a forme les couples de rotation B et C avec les éléments 2 et 3. L'élément 3 tourne autour d'un axe fixe D du cadre de l'avion. La tige 5 du vérin de commande du train 4 constitue un couple de rotation E avec l'élément 2. Le cylindre 4 tourne autour d'un axe fixe F du cadre de l'avion. Lorsque la tige 5 descend dans le cylindre de vérin 4, les éléments 1, 2 et 3 pivotent dans le sens des flèches et le mécanisme prend la position indiquée en traits discontinus, assurant ainsi le relevage du train d'atterrissage de l'avion.



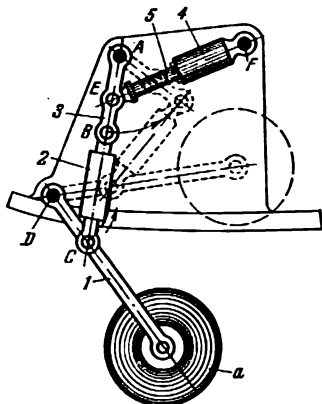
L'élément 1 portant la roue *a* tourne autour d'un axe fixe *A* de l'élément 5 en rotation autour d'un axe fixe *D*. La tige 4 du vérin de commande du train 2 forme un couple de rotation *B* avec l'élément 1. Le cylindre 2 tourne autour d'un axe fixe *C* du cadre de l'avion. Lorsque la tige 4 descend dans le cylindre de vérin 2, l'élément 1 pivote sur un axe *A* dans le sens de la flèche et le mécanisme prend la position indiquée en traits discontinus, assurant ainsi le relevage du train d'atterrissage de l'avion. On a prévu un amortisseur 3 entre les points *A* et *C*.



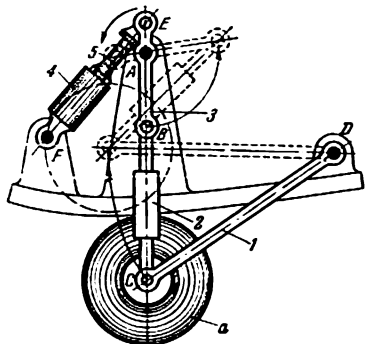
L'élément 1 portant la roue *a* tourne autour d'un axe fixe *A* du cadre de l'avion. L'élément 2 forme les couples de rotation *B* et *E* avec l'élément 1 et la tige 4 du vérin de commande du train 3. Le cylindre 3 tourne autour d'un axe fixe *F* du cadre de l'avion. L'élément 2 est muni d'un rouleau *b* qui coulisse librement dans la rainure *c* du cadre de l'avion. Lorsque la tige 4 descend dans le cylindre de vérin 3, l'élément 1 pivote dans le sens de la flèche et le mécanisme prend la position indiquée en traits discontinus, assurant ainsi le relevage du train d'atterrissage de l'avion. Lorsque le train d'atterrissage est sorti, l'élément 2 s'engage par son rouleau *b* dans l'échancrure de la rainure *c* et sert de jambe à l'élément 1. Le vérin de commande est alors déchargé. Lorsqu'on relève le train, le rouleau *b* sort automatiquement de l'échancrure et coulisse dans la rainure *c*.



L'élément 2 tourne autour d'un axe fixe A du cadre de l'avion. L'élément 1 portant la roue a forme les couples de rotation B et C avec les éléments 2 et 3. L'élément 3 tourne autour d'un axe fixe D du cadre de l'avion. Les éléments 6 et 7, de longueur égale, forment ensemble un couple de rotation G et les couples de rotation E et F avec les éléments 2 et 1. La tige 5 du vérin de commande du train 4 forme un couple de rotation G avec les éléments 6 et 7. Le cylindre 4 forme un couple de rotation H avec l'élément 2. Lorsque la tige 5 descend dans le cylindre de vérin 4, les éléments 1, 2 et 3 pivotent dans le sens des flèches et le mécanisme prend la position indiquée en traits discontinus, assurant ainsi le relevage du train d'atterrissage de l'avion.



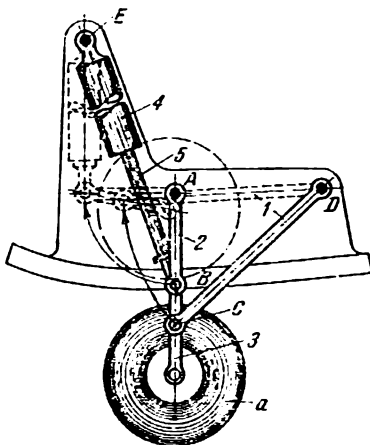
L'élément 1 portant la roue *a* tourne autour d'un axe fixe *D* du cadre de l'avion. L'élément 2 muni d'un amortisseur constitue les couples de rotation *B* et *C* avec les éléments 3 et 1. L'élément 3 tourne autour d'un axe fixe *A* du cadre de l'avion. La tige 5 du vérin de commande du train 4 forme un couple de rotation *E* avec l'élément 3. Le cylindre 4 tourne autour d'un axe fixe *F* du cadre de l'avion. Lorsque la tige 5 descend dans le cylindre de vérin 4, les éléments 1 et 3 pivotent dans le sens des flèches et le mécanisme prend la position indiquée en traits discontinus, assurant ainsi le relevage du train d'atterrissage de l'avion.



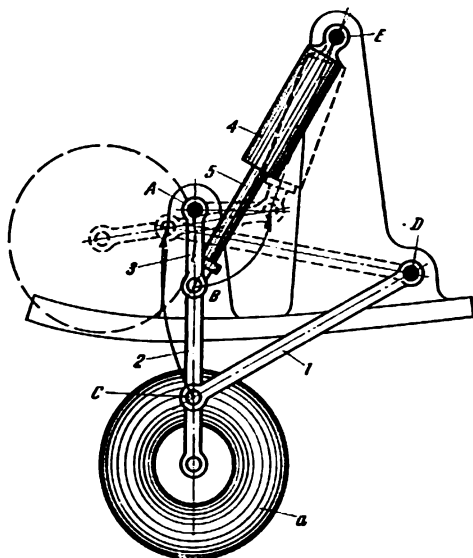
L'élément 3 tourne autour d'un axe fixe A du cadre de l'avion. L'élément 2 muni d'un amortisseur forme les couples de rotation B et C avec les éléments 3 et 1. L'élément 1 tourne autour d'un axe fixe D du cadre de l'avion. La roue a tourne librement sur l'axe C. La tige 5 du vérin de commande du train 4 constitue un couple de rotation E avec l'élément 3. Le cylindre 4 tourne autour d'un axe fixe F du cadre de l'avion. Lorsque la tige 5 descend dans le cylindre de vérin 4, les éléments 1 et 3 pivotent dans le sens des flèches et le mécanisme prend la position indiquée en traits discontinus, assurant ainsi le relevage du train d'atterrissage de l'avion.



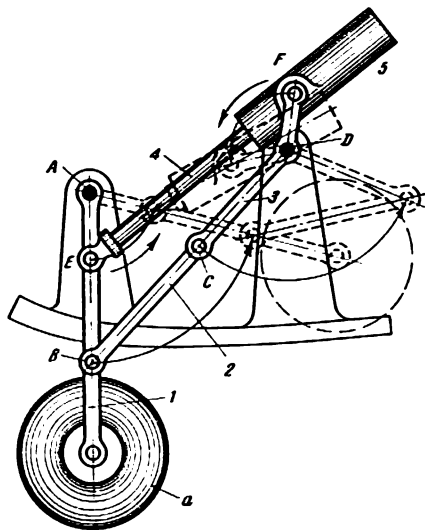




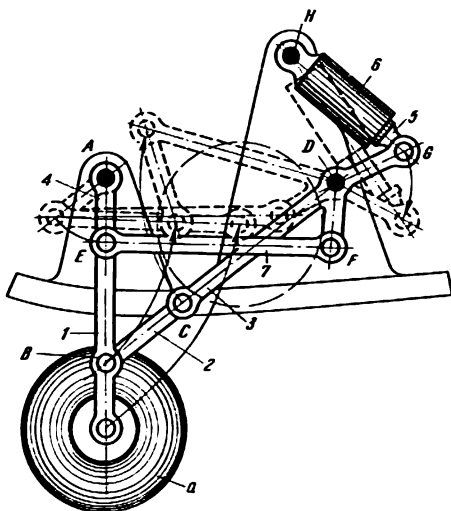
L'élément 2 tourne autour d'un axe fixe A du cadre de l'avion. L'élément 3 portant la roue a forme des couples de rotation B et C avec les éléments 2 et 1. L'élément 1 tourne autour d'un axe fixe D du cadre de l'avion. La tige 5 du vérin de commande du train 4 constitue un couple de rotation B avec les éléments 2 et 3. Le cylindre 4 tourne autour d'un axe fixe E du cadre de l'avion. Lorsque la tige 5 descend dans le cylindre de vérin 4, les éléments 1, 2 et 3 pivotent dans le sens des flèches et le mécanisme prend la position indiquée en traits discontinus, assurant ainsi le relevage du train d'atterrissage de l'avion.



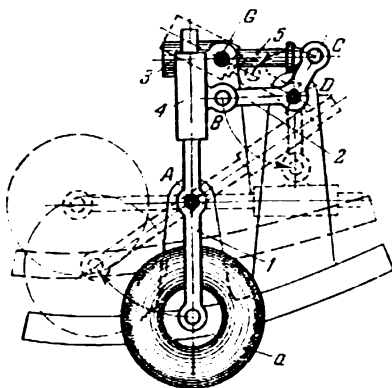
L'élément 1 tourne autour d'un axe fixe *D* du cadre de l'avion. L'élément 2 portant la roue *a* forme les couples de rotation *B* et *C* avec les éléments 1 et 3. La tige 5 du vérin de commande du train 4 constitue un couple de rotation *B* avec les éléments 2 et 3. Le cylindre 4 tourne autour d'un axe fixe *E* du cadre de l'avion. Lorsque la tige 5 descend dans le cylindre de vérin 4, les éléments 1 et 3 pivotent dans le sens des flèches et le mécanisme prend la position indiquée en traits discontinus, assurant ainsi le relevage du train d'atterrissage de l'avion.



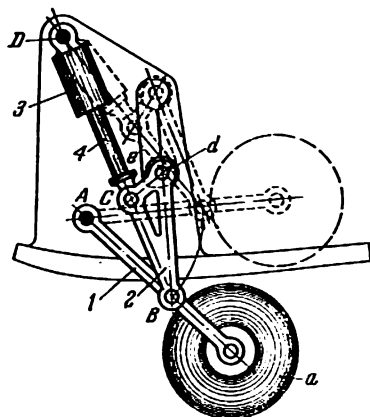
L'élément 1 portant la roue *a* tourne autour d'un axe fixe *A* du cadre de l'avion. L'élément 2 forme les couples de rotation *B* et *C* avec les éléments 1 et 3. L'élément 3 tourne autour d'un axe fixe *D* du cadre de l'avion. La tige 4 du vérin de commande du train 5 constitue un couple de rotation *E* avec l'élément 1. Le cylindre 5 forme un couple de rotation *F* avec l'élément 3. Lorsque la tige 4 descend dans le cylindre de vérin 5, les éléments 1, 2 et 3 pivotent dans le sens des flèches et le mécanisme prend la position indiquée en traits discontinus, assurant ainsi le relevage du train d'atterrissage de l'avion.



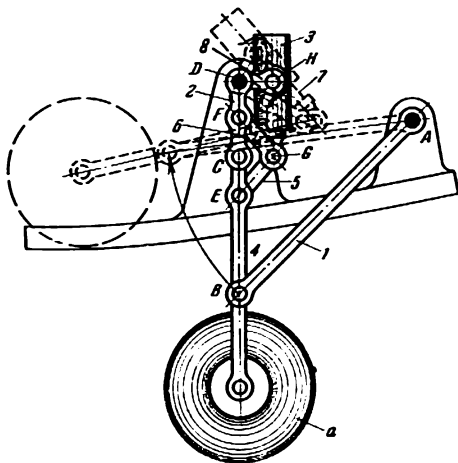
Les longueurs des éléments du mécanisme satisfont aux conditions:  $AE = DF$  et  $EF = AD$ , c'est-à-dire que la figure  $AEFD$  est un parallélogramme. Les éléments 4 et 3 tournent autour des axes fixes  $A$  et  $D$  du cadre de l'avion. L'élément 1 portant la roue  $a$  forme un couple de rotation  $E$  avec l'élément 4 et un couple de rotation  $B$  avec l'élément 2 qui constitue à son tour un couple de rotation  $C$  avec l'élément 3. L'élément 3 forme un couple de rotation  $G$  avec la tige 5 du vérin de commande du train 6, mobile autour d'un axe fixe  $H$  du cadre de l'avion. Lorsque la tige 5 remonte dans le cylindre de vérin 6, les éléments 1 et 3 pivotent dans le sens des flèches et le mécanisme prend la position indiquée en traits discontinus, assurant ainsi le relevage du train d'atterrissage de l'avion. Lorsque le train d'atterrissage est sorti, les éléments 1, 4 et 2, 3 se fixent dans leurs positions extrêmes et constituent un système rigide.



L'élément 1 portant la roue *a* tourne autour d'un axe fixe *A* du cadre de l'avion. Le coulisseau 4 se mouvant suivant l'axe de l'élément 1, forme un couple de rotation *B* avec l'élément 2 tournant autour d'un axe fixe *D* du cadre de l'avion. L'élément 2 constitue un couple de rotation *C* avec la tige 5 du vérin de commande du train 3, qui tourne autour d'un axe fixe *G* du cadre de l'avion. Lorsque la tige 5 descend dans le cylindre de vérin 3, les éléments 1 et 2 pivotent dans le sens des flèches et le mécanisme prend la position indiquée en traits discontinus, assurant ainsi le relevage du train d'atterrissage de l'avion.

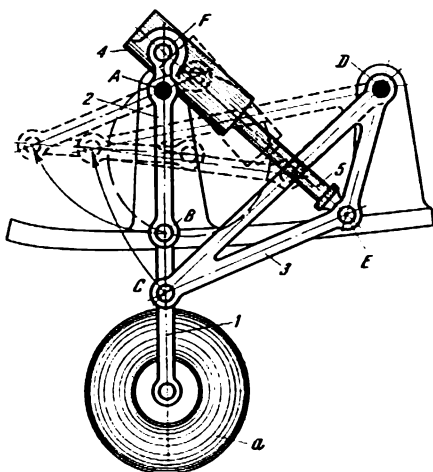


L'élément 1 portant la roue *a* tourne autour d'un axe fixe du cadre de l'avion. L'élément 2 forme les couples de rotation *B* et *C* avec l'élément 1 et la tige 4 du vérin de commande du train 3 qui est mobile autour d'un axe fixe *D* du cadre de l'avion. L'élément 2 porte un rouleau *d* qui coulisse librement dans la rainure *c* du cadre de l'avion. Lorsque la tige 4 descend dans le cylindre de vérin 3, les éléments 1 et 2 pivotent dans le sens de la flèche et le mécanisme prend la position indiquée en traits discontinus, assurant ainsi le relevage du train d'atterrissage de l'avion. En position extrême, l'élément 2 s'engage par son rouleau *d* dans les échancrures de la rainure *c*, et le vérin de commande se trouve libre de toute charge.



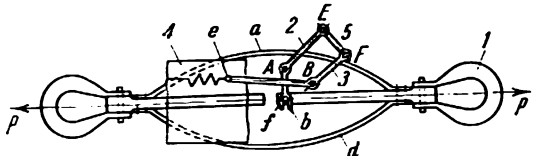
L'élément 1 qui tourne autour d'un axe fixe A du cadre de l'avion forme un couple de rotation B avec l'élément 4 portant la roue a. L'élément 4 constitue un couple de rotation C avec l'élément 2 qui tourne autour d'un axe fixe D du cadre de l'avion. Les éléments 5 et 6, de longueur égale, forment ensemble un couple de rotation G et des couples de rotation F et E avec les éléments 2 et 4. La tige 7 du vérin de commande du train 3 forme un couple de rotation G avec les éléments 5 et 6. Le cylindre 3 forme un couple de rotation H avec l'élément 8 tournant autour de l'axe fixe D. Lorsque la tige 7 remonte dans le cylindre de vérin 3, l'élément 1 pivote dans le sens de la flèche et le mécanisme prend la position indiquée en traits discontinus, assurant ainsi le relevage du train d'atterrissage de l'avion.

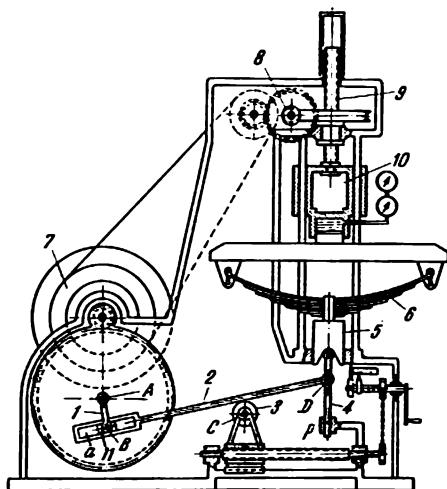




L'élément 2 tourne autour d'un axe A du cadre de l'avion. L'élément 1 portant la roue a forme des couples de rotation B et C avec les éléments 2 et 3. L'élément 3 tourne autour d'un axe D du cadre de l'avion. La tige 5 du vérin de commande du train 4 constitue un couple de rotation E avec l'élément 3. Le cylindre 4 forme un couple de rotation F avec l'élément 2. Lorsque la tige 5 descend dans le cylindre de vérin 4, les éléments 1, 2 et 3 pivotent dans le sens des flèches et le mécanisme prend la position indiquée en traits discontinus, assurant ainsi le relevage du train d'atterrissage de l'avion.

## 22. Mécanismes des dispositifs de mesure et d'essai (1444-1445)

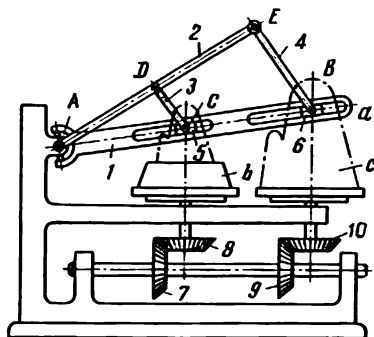
1444	MÉCANISME À COULISSE ET LEVIERS DU DYNAMOGRAPHE DE TRACTION	CL ME
	 <p>L'élément 2, qui tourne autour d'un axe fixe A, comporte une fourche <i>f</i> embrassant le doigt <i>b</i> de l'élément 1. L'élément 5 forme les couples de rotation E et F avec l'élément 2 et l'élément 3 tournant autour d'un axe fixe B. L'effort de traction <i>P</i> appliqué à l'étrier de l'élément 1 est transmis à deux ressorts plats, <i>a</i> et <i>d</i>, qui en se détendant, provoquent le déplacement horizontal du doigt <i>b</i> et la rotation des leviers 2 et 3. Le crayon <i>e</i> relié au levier 3 trace le diagramme de l'effort de traction sur une bande mobile.</p>	



La manivelle 1 tournant autour d'un axe fixe A forme un couple de rotation B avec le coulisseau 11 qui glisse dans la rainure a de la coulisse 2. La coulisse 2 roule sur un rouleau 3, tournant autour d'un axe fixe C, et forme un couple de rotation D avec l'élément 4 glissant dans un guidage fixe p. L'élément 4 agit sur un poinçon 5. Lorsque la manivelle 1 tourne, la coulisse 2, qui exerce une pression sur le rouleau 3, crée à l'aide de l'élément 4 et du poinçon 5 une charge variable transmise au ressort 6 mis à l'essai. On peut déplacer le cylindre 3, variant ainsi la distance AC et par suite la hauteur de montée du poinçon 5. On peut également avoir recours à la machine pour l'essai statique des ressorts. Dans ce dernier cas, on réalise la commande à l'aide d'une transmission par courroie 7, d'un mécanisme à vis sans fin 8, d'une vis 9 et d'un poinçon 10.

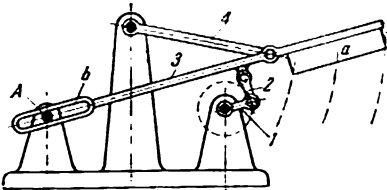
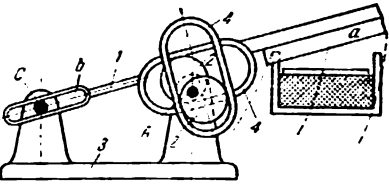
## 23. Mécanismes des pantographes (1446-1447)

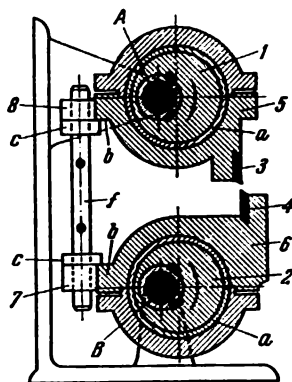
1446	MÉCANISME À COULISSE ET LEVIERS DU PANTOGRAPHE À DEUX COULISSEAUX	CL Pg
<div data-bbox="273 398 760 548" data-label="Image"> </div> <p data-bbox="166 591 869 891">Les longueurs des éléments du mécanisme satisfont à la condition <math>AC : AB = CD : BE</math>. L'élément 1 et la coulisse 2 tournent autour d'un axe fixe A. Les éléments 4 et 5 forment les couples de rotation C et B avec l'élément 1 et les couples de rotation D et E avec les coulisseaux 6 et 3 qui glissent suivant l'axe Ax de la coulisse 2. Lorsque l'élément 1 tourne autour de l'axe fixe A pris pour centre de similitude et lorsque l'un des points, D ou E, suit une trajectoire quelconque, l'autre point décrira une trajectoire similaire. Le mécanisme est réversible, autrement dit, on peut prendre pour centre de similitude un point A, D ou E quelconque.</p>		



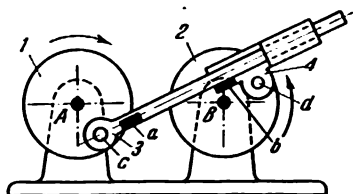
Les longueurs des éléments du mécanisme satisfont à la condition  $DC : EB = AD : AE$ . Les points  $A$ ,  $C$  et  $B$  sont situés sur un axe  $Aa$ . Les éléments 1, 2, 3, 4, 5 et 6 constituent par conséquent un pantographe. La fourche de l'élément 1 peut pivoter sur l'articulation  $A$  aussi bien dans le plan du dessin que dans le plan perpendiculaire à celui-ci. Les points  $C$  et  $B$  effectuent des mouvements semblables entre eux dans l'espace. Les roues dentées 7, 8, 9 et 10 mettent en mouvement de rotation les objets à copier  $b$  et  $c$ .

## 24. Mécanismes d'autres dispositifs spéciaux (1448-1474)

1448	<b>MÉCANISME À COULISSE ET LEVIERS DU COUTEAU</b>	CL DSp
 <p data-bbox="169 554 874 654">L'élément intermédiaire 2 de la manivelle 1 communique un mouvement composé à l'élément 3 suspendu à une tige 4 et comportant une coulisse b qui glisse sur un doigt fixe A. Le couteau a est solidaire de l'élément 3.</p>		
1449	<b>MÉCANISME À COULISSE ET EXCENTRIQUE DU COUTEAU</b>	CL DSp
 <p data-bbox="163 1076 864 1225">Deux excentriques 2, solidairement liés entre eux et tournant sur un axe A, coulisent dans les cadres 4 de l'élément 1. L'élément 1 comporte une rainure b grâce à laquelle il peut glisser sur le doigt fixe C. Lorsque les excentriques 2 tournent, l'élément 1 et le couteau a, relié à cet élément, reçoivent le mouvement requis.</p>		

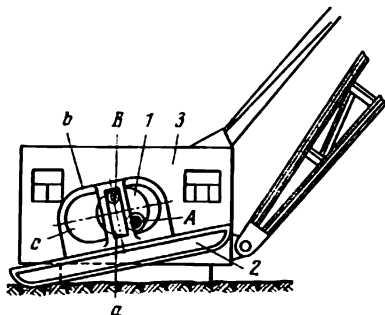


Les excentriques ronds 1 et 2 tournent autour des axes fixes A et B. Les éléments 5 et 6, portant des couteaux 3 et 4, possèdent des bagues a qui embrassent les excentriques 1 et 2. Les éléments 5 et 6 comportent des plans b glissant sur les plans c des coulisseaux 7 et 8 qui se meuvent dans une glissière fixe f. Les excentriques 1 et 2, mis en mouvement indépendamment l'un de l'autre, tournent à des vitesses angulaires égales et, à chaque instant, ont des positions angulaires identiques. Lorsque les excentriques 1 et 2 tournent dans les sens opposés, les couteaux 3 et 4 effectuent un mouvement de translation, réalisant la coupe.

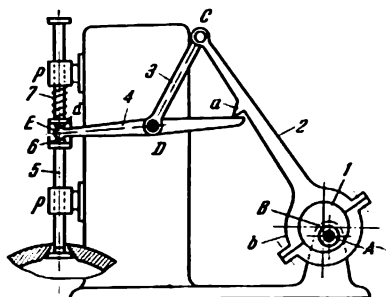


Les plateaux 1 et 2 tournent autour des axes fixes A et B. Les couteaux a et b sont fixés sur la tige 3 et sur le support 4 montés librement sur les doigts c et d des plateaux moteurs 1 et 2 qui tournent dans les sens opposés. Les couteaux a et b sont toujours orientés parallèlement l'un par rapport à l'autre. En faisant tourner les plateaux 1 et 2 à des vitesses différentes, on peut varier le moment de rencontre des couteaux, réglant de la sorte le régime de coupe.





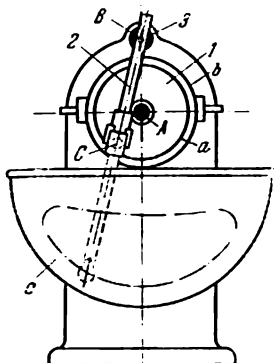
L'excentrique 1 tourne autour de l'axe fixe A du corps 3. Le patin 2 possède un cadre b qui comporte une lumière c dont la largeur est égale au diamètre de l'excentrique 1. Le cadre b comporte également une lumière a dans laquelle coulisser le doigt B de l'excentrique 1. Au cours de sa rotation l'excentrique 1 soulève à tour de rôle le corps 3 de la machine et les patins 2 et déplace ces derniers vers l'avant ou vers l'arrière.



La bielle 2 du système à quatre éléments articulés *ABCD* possède une bague *b* qui embrasse l'excentrique 1 mobile autour d'un axe fixe *A*. Le levier 4 tournant autour d'un axe fixe *D* constitue un couple de rotation *E* avec le coulisseau 6. Le coulisseau 6 glisse dans la coulisse *d* de la tige 5 de la soupape. La tige 5 est animée d'un mouvement de translation dans le guidage fixe *p — p*. Lorsque l'excentrique 1 tourne, la dent *a* de la bielle 2, décrivant une courbe de bielle, appuie sur le levier 4 qui fait monter la tige 5 de la soupape. En un certain point de son trajet, la dent *a* quitte le levier 4 et la soupape descend sous l'action du ressort 7.

1454

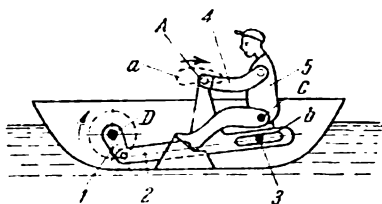
# MÉCANISME À COULISSE ET LEVIERS DU PÉTRIN MÉCANIQUE

CL  
DSp

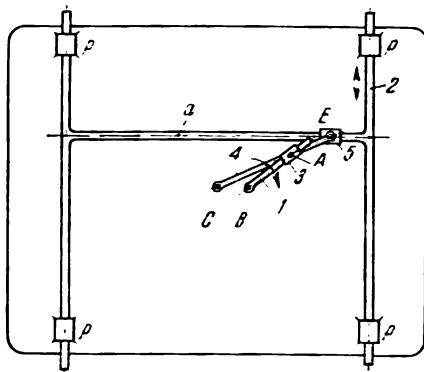
La manivelle 1 qui tourne sur un axe fixe A se présente sous la forme d'un disque *a* tournant dans une bague fixe *b*. La bielle 2 forme un couple de rotation C avec la manivelle 1. La partie supérieure de la bielle coulisse dans le dé 3 mobile autour d'un axe fixe B. Lorsque l'élément 1 est en mouvement, l'extrémité inférieure de la bielle 2 décrit une courbe de bielle *c* qu'on utilise pour le pétrissage. On peut varier la forme de la courbe en déplaçant la bielle 2 le long de son axe et en la fixant dans la position voulue.

1455

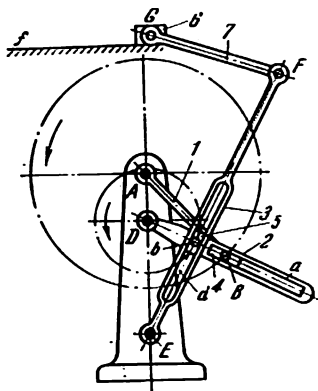
# MÉCANISME À COULISSE ET LEVIERS DU RAMEUR-JOUET

CL  
DSp

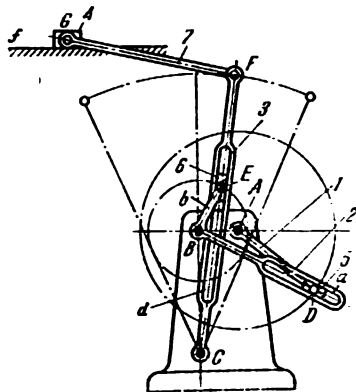
La manivelle 1 tourne sur un axe D solidaire du corps de la barque. Lorsque la manivelle 1 tourne, la bielle 2 comportant une rainure *b* glisse sur le doigt 3 solidaire du corps de la barque; le point A de la bielle 2 décrit la courbe de bielle *a*, ce qui permet de transmettre les mouvements requis aux « bras » 4 qui tiennent les rames et au « corps » 5 du rameur oscillant autour d'un axe C.



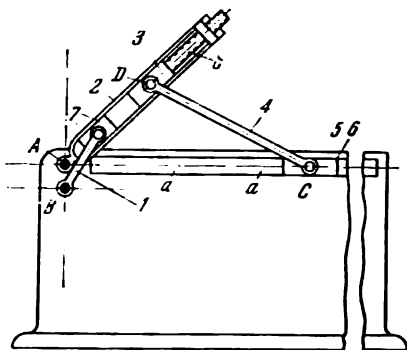
La coulisse 1 tournant sur un axe fixe  $B$  constitue un couple de translation avec le coulisseau 3. Le coulisseau 3 forme un couple de rotation  $A$  avec l'élément 4 qui tourne autour d'un axe fixe  $C$ . L'élément 4 constitue un couple de rotation  $E$  avec le coulisseau 5 qui glisse dans le guidage  $a$  de l'élément 2. L'élément 2 glisse dans un guidage fixe  $p - p$ . Lorsque la coulisse 1 est animée d'un mouvement uniforme, l'élément 2 effectue un mouvement approximativement uniforme sur une partie de sa course aller.



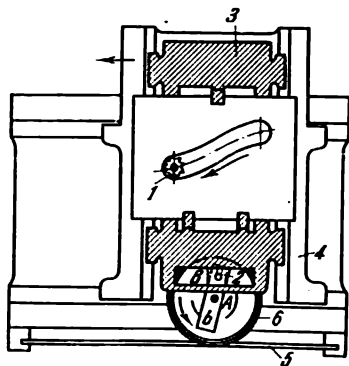
La manivelle 1 tournant sur un axe fixe A forme un couple de rotation B avec le coulisseau 4. Le coulisseau 4 glisse dans la rainure a de la coulisse 2 tournant autour d'un axe fixe D. Le doigt b de la coulisse 2 constitue un couple de rotation avec le coulisseau 5. Le coulisseau 5 glisse dans la rainure d de la coulisse 3 tournant autour d'un axe fixe E. La coulisse 3 forme un couple de rotation F avec la bielle 7 qui forme un couple de rotation G avec le coulisseau 6 glissant sur un guide fixe f. Lorsque la manivelle 1 est en mouvement uniforme, la coulisse 2 effectue un mouvement circulaire non uniforme, la coulisse 3, un mouvement d'oscillation, et le coulisseau 6 effectue sur une partie de son trajet un mouvement de va-et-vient approximativement uniforme.



La manivelle 1 mobile autour d'un axe fixe A forme un couple de rotation D avec le coulisseau 5. Le coulisseau 5 glisse dans la rainure a de la coulisse 2 qui tourne autour d'un axe fixe B. La coulisse 2 possède un bras b qui forme un couple de rotation E avec le coulisseau 6 glissant dans la rainure d de la coulisse 3. La coulisse 3 constitue un couple de rotation F avec la bielle 7 qui forme un couple de rotation G avec le coulisseau 4 glissant sur un guide fixe f. Lorsque la manivelle 1 est en mouvement uniforme, la coulisse 2 effectue un mouvement circulaire non uniforme, la coulisse 3, un mouvement d'oscillation, et le coulisseau 4 est animé d'un mouvement de va-et-vient approximativement uniforme sur une certaine partie de son trajet.

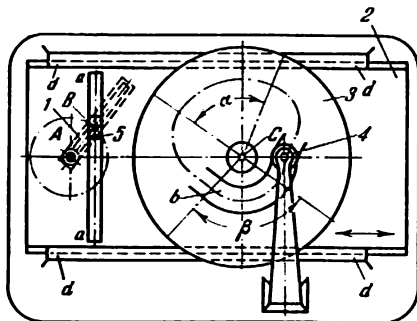


La manivelle 1 tournant sur un axe fixe *B* constitue un couple de rotation avec le coulisseau 7. Le coulisseau 7 glisse dans la coulisse 2 tournant sur un axe fixe *A*. Le coulisseau 3 fixé dans la position requise au moyen d'un dispositif à vis 8 glisse dans la coulisse 2. La bielle 4 forme des couples de rotation *D* et *C* avec les coulisseaux 3 et 5. Le coulisseau 5 glisse dans un guidage fixe *a — a*. Lorsque la manivelle 1 tourne, la coulisse 2 reçoit un mouvement de rotation autour de l'axe *A*. Le coulisseau 6 effectue un mouvement de va-et-vient dans le guidage du bâti 5. Le coulisseau 3 relié à la coulisse 2 sert à régler la course du point *C*.



La fraise 1 est fixée sur une broche immobile de la machine. La pièce à usiner est abloquée sur un plateau 3 qui se déplace verticalement à l'aide d'un coulisseau 2; le point B de ce dernier appartenant à la manivelle b suit une circonférence qui a pour centre le point A. On obtient le déplacement horizontal du plateau 3 et du support 4 en roulant la roue 6 sur une bande d'acier 5.

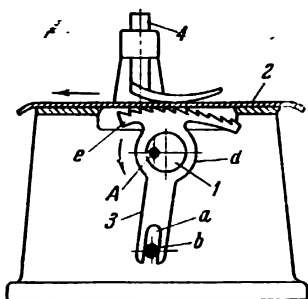




La manivelle 1 tournant sur un axe fixe A constitue un couple de rotation B avec le coulisseau 5 qui glisse dans la rainure  $a - a$  de la table 2. Lorsque la manivelle 1 tourne, la table 2 de la machine reçoit un mouvement de va-et-vient dans le guidage  $d - d$ . Le plateau 3, monté sur une table 2, est mis en mouvement de rotation autour de l'axe C de la table par un dispositif de commande indépendant. En faisant tourner la manivelle 1 avec des temps d'arrêt périodiques, on pourra exécuter à l'aide de la fraise 4 fixée rigidement une rainure de profil  $b$  dans le plateau 3. Le profil de la came à rainure ainsi obtenu permet de reproduire un mouvement selon la loi sinusoïdale avec des arrêts correspondant aux angles  $\alpha$  et  $\beta$  sur certaines parties de la trajectoire.

1462

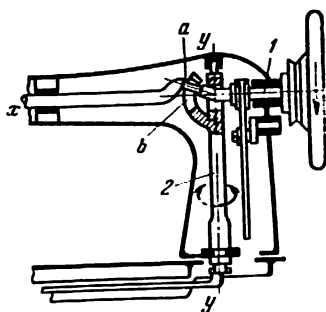
# MÉCANISME À COULISSE ET LEVIERS D'AVANCEMENT DE L'ÉTOFFE

CL  
DSp

L'excentrique rond 1 tourne autour d'un axe fixe A. L'élément 3 comporte une bague *d* qui embrasse l'excentrique 1. Grâce à sa rainure *a*, l'élément 3 glisse sur un doigt fixe *b*. La patte 4 serre l'étoffe contre le segment denté *e* de l'élément 3. Lorsque l'excentrique 1 tourne dans le sens de la flèche, le segment denté *e* fait avancer l'étoffe 2.

1463

# MÉCANISME SPHÉRIQUE À COULISSE, À TROIS ÉLÉMENTS DE LA MACHINE À COUDRE

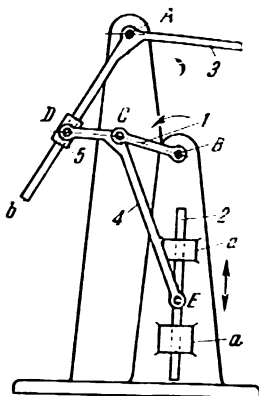
CL  
DSp

La manivelle 1, qui se présente sous la forme d'un vilebrequin, tourne autour d'un axe fixe  $x - x$ , en glissant par son maneton *a* dans la rainure *b* de l'élément 2 mobile autour d'un axe fixe  $y - y$ . Lorsque la manivelle 1 tourne, l'élément 2 effectue un mouvement oscillatoire autour de l'axe  $y - y$ , à la condition que les axes de tous les couples cinématiques se coupent en un seul et même point.

1464

**MÉCANISME À COULISSE ET LEVIERS  
DE L'AIGUILLE ET DU TIRE-FIL  
DE LA MACHINE À COUDRE**

DSP



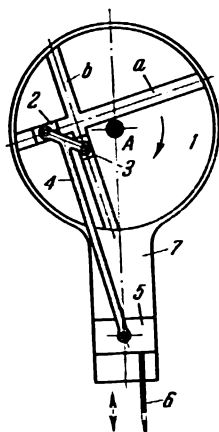
L'élément 4 forme les couples de rotation *C*, *D* et *E* avec les éléments 1, 5 et 2. Le coulisseau 5 glisse sur la coulisse *Ab*. La tige 2 glisse dans un guidaxe fixe *a — a*. L'élément 3 tourne sur un axe fixe *A*. Lorsque la manivelle 1 tourne, le porte-aiguille 2 reçoit un mouvement alternatif, tandis que le levier 3 du tire-fil effectue un mouvement d'oscillation autour de l'axe *A*.

1465

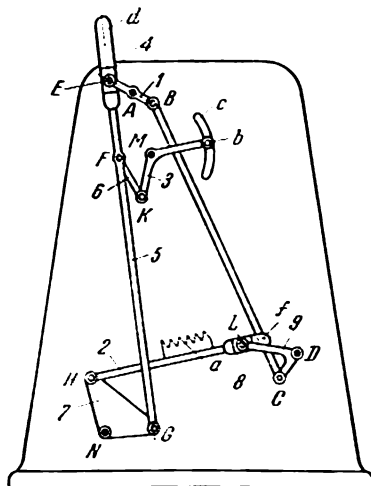
**MÉCANISME À COULISSE ET LEVIERS  
DE L'AIGUILLE DE LA MACHINE À COUDRE**

CL

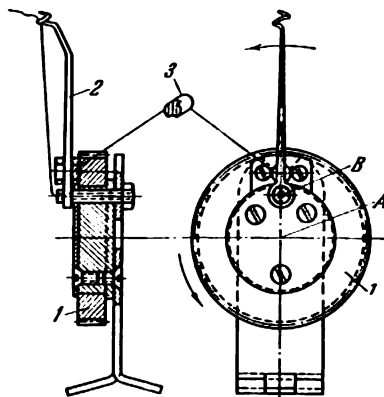
DSP



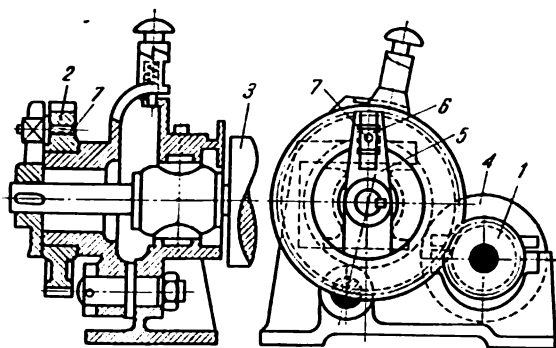
Le disque 1, mobile autour d'un axe fixe *A*, comporte des rainures *a* et *b* dans lesquelles glissent les coulisseaux 2 et 3 articulés sur la bielle 4. La bielle 4 transmet un mouvement de va-et-vient au coulisseau 5 et à l'aiguille 6 solidaire de ce coulisseau.



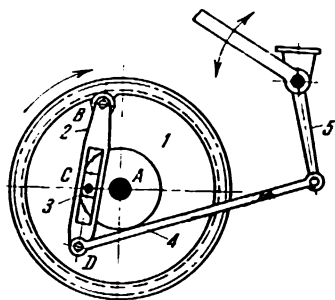
La manivelle 1 du système à quatre éléments articulés *ABCD*, qui tourne autour d'un axe fixe *A*, forme un couple de rotation *E* avec le coulisseau 4 glissant dans la rainure *d* de l'élément 5. L'élément 5 forme des couples de rotation *F* et *G* avec les éléments 6 et 7. L'élément 6 constitue un couple de rotation *K* avec l'élément 3 qui tourne autour d'un axe fixe *M* et qui peut être fixé à l'aide d'une vis *b* en un point quelconque de la rainure circulaire *c*. L'élément 7, mobile autour d'un axe fixe *N*, forme un couple de rotation *H* avec l'élément 2. Le coulisseau 8 qui forme un couple de rotation *L* avec le levier oscillant 9 du système à quatre éléments articulés *ABCD* glisse dans la rainure *f* de l'élément 2. Lorsque la manivelle 1 tourne, le peigne *a* monté sur l'élément 2 effectue un mouvement composé en faisant avancer l'étoffe. L'élément 3 joue le rôle de régulateur de la longueur du point.



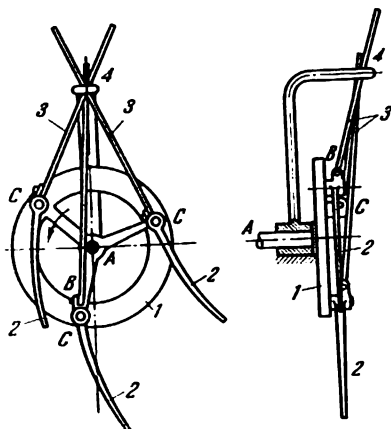
La roue 1 tourne autour d'un axe A. L'élément 2, qui porte le crochet guide-fil, tourne autour d'un axe B. L'élément 2 glisse dans un guidage 3 dont l'axe de rotation appartient à la roue 1. Lorsque l'élément 1 est en mouvement uniforme, l'élément 2 reçoit un mouvement circulaire non uniforme.



On obtient la transmission du mouvement circulaire de l'élément 2 à l'élément 3 à l'aide d'un coulisseau 6, tournant sur le doigt 7 fixé sur l'élément 2, et d'une coulisse 5 solidaire de l'élément 3. Le mécanisme permet de varier la distance entre l'axe de l'élément 3 et l'axe des éléments 4 et 1.

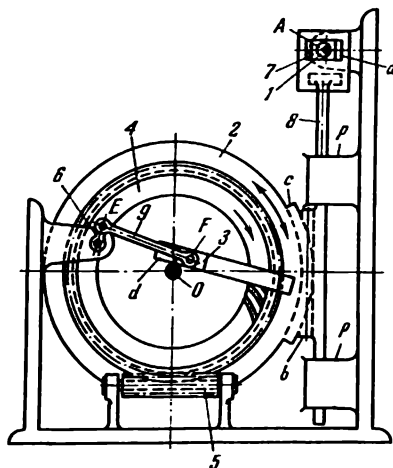


La roue 1 met en mouvement la coulisse 2 glissant le long du coulisseau 3 qui tourne autour d'un axe fixe C, imprimant ainsi un mouvement d'oscillation au levier 5 à l'aide de l'élément intermédiaire 4.



Le mouvement des doigts 2 oscillant sur les axes C est rendu possible par la roue 1 tournant autour d'un axe fixe A et par les tiges 3 mobiles sur les axes B perpendiculaires aux axes C. Les extrémités des tiges 3 passent par l'anneau fixe 4.





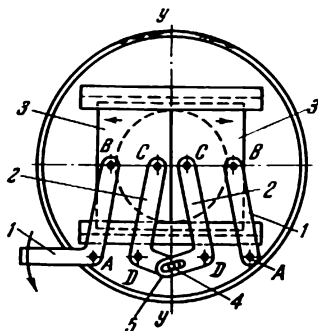
L'élément 1 se présente sous la forme d'un excentrique rond tournant sur un axe fixe A. Le coulisseau 7 qui embrasse l'excentrique 1 glisse dans la rainure a de l'élément 8 qui se meut dans un guidage fixe  $p - p$ . L'élément 8 possède une crémaillère b qui engrène avec le secteur denté c de l'élément 2 mobile autour d'un axe fixe O. L'élément 2 présente une rainure d dans laquelle glisse un coulisseau 3 mis en mouvement par une bielle 9 qui forme les couples de rotation F et E avec les éléments 3 et 6. Lorsque l'excentrique 1 tourne, l'élément 2 reçoit un mouvement d'oscillation autour de l'axe O. La pièce brute 4, sur laquelle on doit tailler les dents, est mise en mouvement circulaire par une vis sans fin 5. Lorsque la manivelle 6 tourne, l'outil à coupe fixé sur le coulisseau 3 taille la denture sur la couronne de la roue 4.

1472

# MÉCANISME À COULISSE ET LEVIERS DU DIAPHRAGME À FENTE

CL

DSP



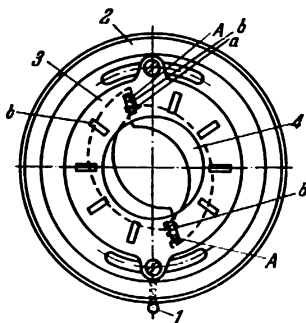
Les longueurs des éléments du mécanisme satisfont aux conditions;  $AB = DC$  et  $AD = BC$ . Les éléments du mécanisme sont disposés symétriquement par rapport à l'axe  $y - y$ . Chaque moitié 3 du diaphragme portant les leviers 1 et 2 constitue un parallélogramme articulé  $ABCD$ . Lorsque le levier 1 tourne, le levier 2 tourne également, et, sous l'action du doigt 4 glissant dans la rainure 5, les deux moitiés du diaphragme s'écartent, formant une fente rectangulaire.

1473

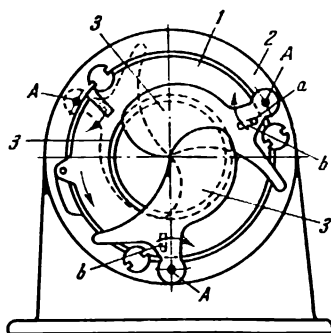
# MÉCANISME À COULISSE ET LEVIERS DU DIAPHRAGME DE L'OBJECTIF PHOTOGRAPHIQUE

CL

DSP



Les segments 4, mobiles autour des axes fixes de la monture d'objectif 2, possèdent des doigts  $a$  qui s'engagent dans les rainures  $b$  de la bague 3. Lorsque la bague 3 tourne à l'aide du levier 1, les segments 4 tournent autour des points  $A$ , augmentant ainsi l'ouverture utile de l'objectif.



Les segments 3, mobiles autour des axes fixes A de la monture 2 d'un objectif photographique, possèdent des doigts a qui s'engagent dans les fentes b de la bague 1. Lorsque la bague 1 placée dans une gorge de la monture 2 de l'objectif tourne, les segments 3 se déplacent dans le sens de la flèche et ouvrent l'obturateur de l'objectif.



# Mécanismes à coulisseau et manivelle CM

---

1. Mécanismes à trois éléments d'usage général Tr (1475-1476). 2. Mécanismes à quatre éléments d'usage général Q (1477-1503). 3. Mécanismes à six éléments d'usage général S (1504-1528). 4. Mécanismes à éléments multiples d'usage général M (1529-1534). 5. Mécanismes de guidage et d'inversion GI (1535-1559). 6. Mécanismes des machines à piston MP (1560-1591). 7. Mécanismes des plateaux oscillants PO (1592-1600). 8. Mécanismes pour opérations mathématiques OM (1601-1602). 9. Mécanismes servant à tracer les courbes TC (1603-1624). 10. Mécanismes d'arrêt, de blocage et de verrouillage AV (1625-1628). 11. Mécanismes des marteaux, des presses et des emboutisseuses MPr (1629-1633). 12. Mécanismes des régulateurs Rg (1634-1639). 13. Mécanismes des griffes, des serres et des entretoises GS (1640-1644). 14. Mécanismes avec arrêts Ar (1645-1648). 15. Mécanismes des appareils de levage AL (1649). 16. Mécanismes à griffe des caméras GC (1650-1657). 17. Mécanismes de distribution de vapeur DV (1658-1659). 18. Mécanismes des trains d'atterrissage TAt (1660-1664). 19. Mécanismes de triage, d'avance et d'alimentation TA (1665-1669). 20. Mécanismes des dispositifs de mesure et d'essai ME (1670-1671). 21. Mécanismes d'autres dispositifs spéciaux DSp (1672-1683).

---

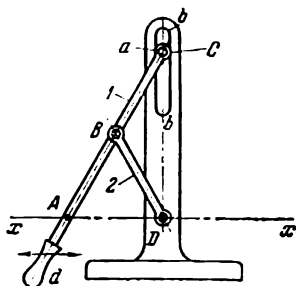


# 1. Mécanismes à trois éléments d'usage général (1475-1476)

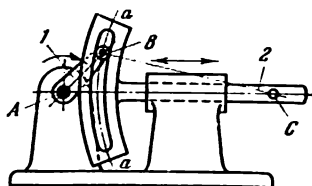
1475

MÉCANISME À COULISSEAU ET MANIVELLE,  
À TROIS ÉLÉMENTS

CM  
Tr



Les longueurs des éléments du mécanisme satisfont à la condition  $DB = BC$ . L'élément 1 porte un galet  $a$  qui se meut dans une coulisse fixe  $b - b$  dont la largeur est égale au diamètre du galet. Le point  $A$  de l'élément 1, situé à une distance  $AB = BD$ , suit la droite  $x - x$  perpendiculaire à l'axe de la coulisse  $b - b$ . Les points du manche  $d$  décrivent des segments de trajectoire elliptique. Les longueurs de ces segments dépendent du choix de la longueur de la rainure  $b - b$ .



Le galet *B* de l'élément *1*, mobile autour d'un axe fixe *A*, glisse dans la coulisse circulaire *a — a* de l'élément *2*, qui a pour centre le point *C*. Lorsque la manivelle *1* tourne, la coulisse *2* effectue un mouvement de va-et-vient dans une glissière fixe. Le mécanisme est équivalent à un mécanisme à coulisseau et manivelle *ABC*, où l'élément *AB* est une manivelle, *BC*, une bielle, et l'élément *2*, un coulisseau.



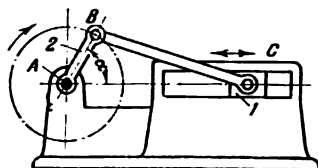
## 2. Mécanismes à quatre éléments d'usage général (1477-1503)

1477

### MÉCANISME AXIAL À COULISSEAU ET MANIVELLE

CM

Q



L'axe de glissement du coulisseau 1 passe par l'axe de rotation de la manivelle 2. Le déplacement  $s$  du coulisseau à partir de sa position extrême droite est égal à

$$s = AB(1 - \cos \alpha) + BC \left( 1 - \sqrt{1 - \left( \frac{AB}{BC} \right)^2 \sin^2 \alpha} \right),$$

$\alpha$  étant l'angle de rotation de la manivelle. Si le rapport  $\frac{AB}{BC}$  est suffisamment petit, on peut se servir de l'expression approximative

$$s = r \left[ \left( 1 + \frac{1}{4} \frac{AB}{BC} \right) - \left( \cos \alpha + \frac{AB}{BC} \cos 2\alpha \right) \right].$$

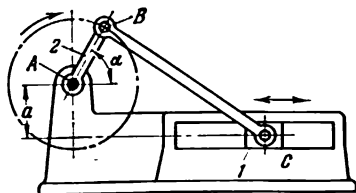
On obtient la vitesse  $v_C$  du point C grâce aux formules suivantes:

$$v_C = v_B \left( \sin \alpha + \frac{\frac{AB}{BC} \sin \alpha \cos \alpha}{\sqrt{1 - \left( \frac{AB}{BC} \right)^2 \sin^2 \alpha}} \right)$$

ou encore

$$v_C = v_B \left( \sin \alpha + \frac{1}{2} \frac{AB}{BC} \sin 2\alpha \right),$$

$v_B$  étant la vitesse du point B de la manivelle 2. La course totale  $s$  du coulisseau 1 est telle que  $s = 2 AB$ .



Le déplacement  $s$  du coulisseau 1 de sa position extrême droite a pour expression :

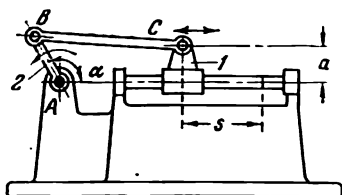
$$s = \sqrt{(AB + BC)^2 - a^2} - AB \cos \alpha - BC \sqrt{1 - \left( \frac{AB \sin \alpha + a}{BC} \right)^2}.$$

La vitesse  $v_C$  du point  $C$  est :

$$v_C = v_B \left[ \sin \alpha + \frac{\cos \alpha (AB \sin \alpha + a)}{BC \sqrt{1 - \left( \frac{AB \sin \alpha + a}{BC} \right)^2}} \right],$$

$v_B$  étant la vitesse du point  $B$  de la manivelle 2 et  $\alpha$ , l'angle de rotation de la manivelle 2. La course totale  $s$  du coulisseau 1 a pour expression :

$$s = \sqrt{(BC + AB)^2 - a^2} - \sqrt{(BC - AB)^2 - a^2}.$$



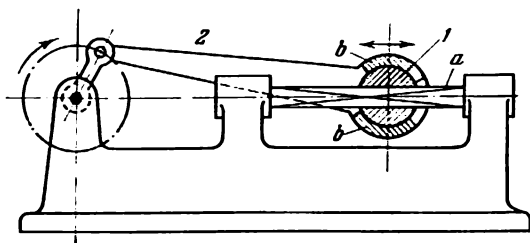
L'axe  $C$  passe au-dessus de l'axe  $A$  de rotation de la manivelle 2. Le déplacement  $s$  du coulisseau 1 de sa position extrême droite a pour expression :

$$s = \sqrt{(AB + BC)^2 - a^2} - AB \cos \alpha - BC \sqrt{1 - \left( \frac{AB \sin \alpha - a}{BC} \right)^2}.$$

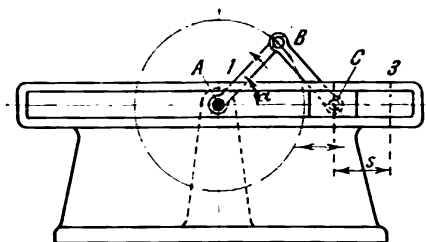
La vitesse  $v_C$  du point  $C$  a pour expression :

$$v_C = v_B \left[ \sin \alpha + \frac{\cos \alpha (AB \sin \alpha - a)}{BC \sqrt{1 - \left( \frac{AB \sin \alpha - a}{BC} \right)^2}} \right],$$

$v_B$  étant la vitesse du point  $B$  de la manivelle 2,  $\alpha$ , l'angle de rotation de la manivelle 2, et  $a$ , la désaxialité.



La glissière prismatique *a* est rendue solidaire du support du mécanisme. Le coulisseau *1* a la forme d'une sphère comportant une ouverture prismatique. Les surfaces sphériques *b* de la bielle *2* embrassent le coulisseau sphérique *1*.



Les longueurs des éléments du mécanisme satisfont à la condition  $AB = BC$ . Au moment où le point  $C$  coïncide avec le point  $A$ , le mouvement du mécanisme devient indéterminé. Si, partant de cette position, le coulisseau 3 se déplace à gauche du point  $A$ , la course complète du coulisseau 3 sera égale à deux diamètres de la circonférence décrite par la manivelle. Le mouvement du coulisseau s'effectue selon une loi harmonique. Le déplacement  $s$  du coulisseau 3 à partir de sa position extrême droite a pour expression :

$$s = 2 AB (1 - \cos \alpha).$$

La vitesse  $v_C$  du point  $C$  est telle que

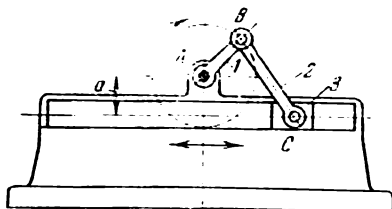
$$v_C = 2 v_B \sin \alpha,$$

où  $v_B$  est la vitesse du point  $B$  de la manivelle 2 et  $\alpha$ , l'angle de rotation de la manivelle 2.

1482

# MÉCANISME DÉSAXÉ À COULISSEAU ET MANIVELLE

CM  
Q



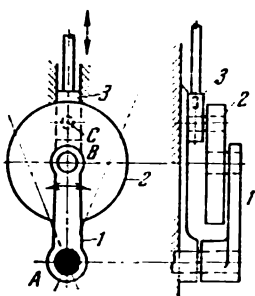
Les longueurs des éléments du mécanisme satisfont à la condition  $BC = AB + a$ . Lorsque la manivelle 1 est dans sa position verticale supérieure, les points A, B et C se trouvent situés sur une même ligne et le mouvement du mécanisme devient indéterminé. Si, partant de cette position, le coulisseau 3 se déplace à gauche, la course complète  $s$  du coulisseau sera telle que

$$s = 4 \sqrt{AB \cdot BC}.$$

1483

# MÉCANISME À COULISSEAU ET MANIVELLE DE STANNE

CM  
Q



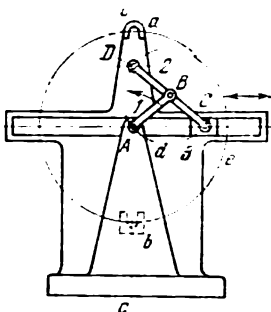
La bielle 2 a la forme d'un volant. Lorsque l'élément 1 se balance, le coulisseau 3 reçoit un mouvement alternatif.

1484

**MÉCANISME À COULISSEAU ET MANIVELLE,  
AVEC MANIVELLE ET BIELLE  
DE LONGUEUR ÉGALE ET AVEC DEUX BUTÉES**

CM

Q



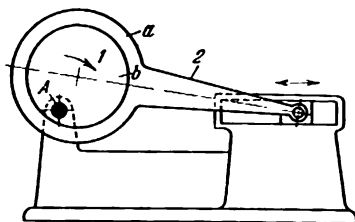
Les longueurs des éléments du mécanisme satisfont à la condition  $AB = BC = BD$ . Les longueurs des éléments étant conformes aux rapports adoptés, le point  $D$  se déplace suivant une ligne droite  $c - c$ . Les butées  $a$  et  $b$  prévues dans la construction du mécanisme sont nécessaires pour permettre de franchir les positions indéterminées. Le mouvement de la bielle 2 peut être reproduit par le roulement sans glissement de la circonférence  $d$ , solidaire de cette bielle, sur la circonférence immobile  $e$ , le rapport de leurs rayons étant  $AB : DC$ . La course complète  $s$  du coulisseau 3 est égale à quatre longueurs de la manivelle 1.

1485

**MÉCANISME À COULISSEAU ET MANIVELLE  
AVEC EXCENTRIQUE**

CM

Q

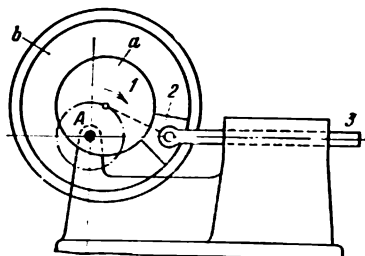


La manivelle 1 se présente sous la forme d'un excentrique rond  $b$  tournant autour d'un axe fixe  $A$ . La bielle 2 comporte une bague  $a$  qui embrasse l'excentrique  $b$ .

1486

# MÉCANISME À COULISSEAU ET MANIVELLE AVEC EXCENTRIQUE

CM  
Q

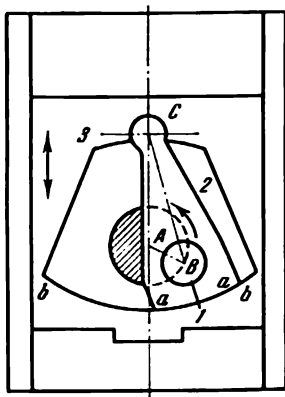


La manivelle 1 se présente sous la forme d'un excentrique *a* et la bielle 2, sous la forme d'un coulisseau 2 glissant dans un guide circulaire *b*. Le coulisseau 3, qui a la forme d'une tige, se meut dans la glissière fixe du support.

1487

# MÉCANISME À COULISSEAU ET MANIVELLE AVEC TOURILLON COMPORTANT UN ÉPANOUISSEMENT

CM  
Q



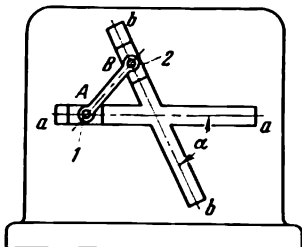
La bielle 2 constitue un couple de rotation *C* avec le coulisseau 3. La bielle 2 se termine par un arc *a — a* qui prend appui sur l'évidement arqué *b — b* du coulisseau 3. Ces arcs de cercle ont pour centre le point *C*. Lorsque le doigt 1 tourne autour d'un point fixe *A*, le coulisseau 3 reçoit un mouvement de va-et-vient dans la glissière par l'intermédiaire de la bielle 2.



1488

# MÉCANISME À BIELLE ET DEUX COULISSEAUX

CM  
Q

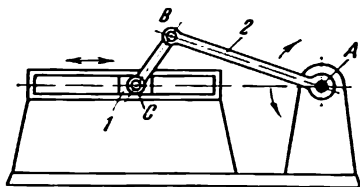


Les coulisseaux 1 et 2 qui forment des couples cinématiques A et B avec la bielle AB sont animés d'un mouvement de va-et-vient dans les glissières fixes a — a et b — b. L'angle  $\alpha$  entre les axes des glissières peut être quelconque.

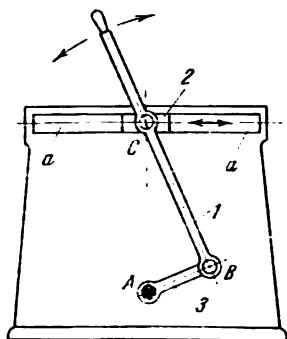
1489

# MÉCANISME À COULISSEAU ET LEVIER OSCILLANT, COMMANDÉ PAR COULISSEAU

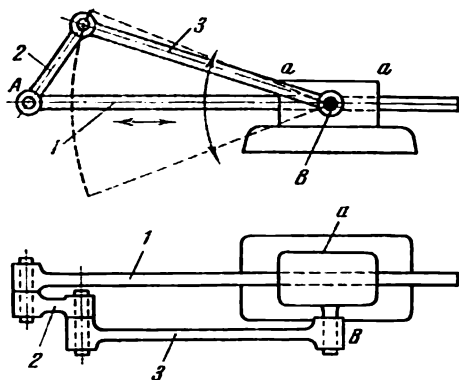
CM  
Q



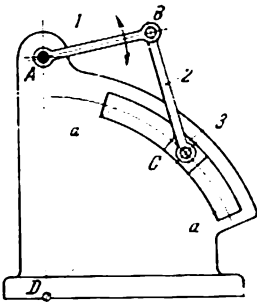
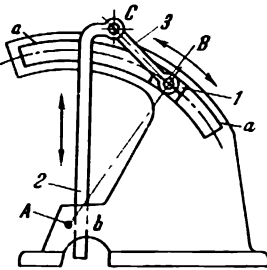
Les longueurs des éléments du mécanisme satisfont à la condition  $AB > BC$ . Lorsque le coulisseau 1 est en mouvement alternatif, le levier 2 oscille autour d'un axe fixe A.



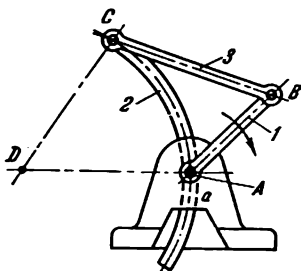
Le mouvement de rotation de la manivelle 3 autour d'un axe fixe A est rendu possible grâce à la bielle 1 qui forme un couple de rotation B avec la manivelle 3 et un couple de rotation C avec le coulisseau 2 glissant dans un guidage fixe  $a - a$ .



L'élément 1 glisse dans un guidage fixe  $a - a$ . L'élément 3 tourne autour d'un axe fixe  $B$ . On transforme au moyen de l'élément 2 le mouvement alternatif rectiligne de l'élément 1 en mouvement d'oscillation de l'élément 3. L'élément 2 effectue un mouvement plan composé.

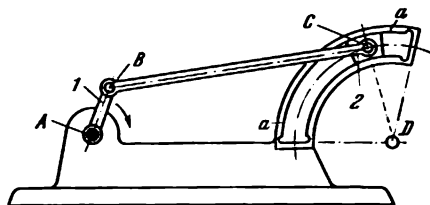
1492	<p align="center"><b>MÉCANISME À COULISSEAU ET LEVIER OSCILLANT AVEC GLISSIÈRE CIRCULAIRE</b></p>	<p align="center">CM Q</p>
	 <p>Les longueurs des éléments du mécanisme satisfont aux conditions: <math>AB + BC &lt; AD + DC</math> et <math>AB &lt; BC &lt; CD &lt; AD</math>. L'élément 3 se présente sous l'aspect d'un coulisseau arqué glissant dans un guidage circulaire fixe <math>a - a</math> qui a pour centre le point <math>D</math>. Lorsque l'élément 1 est animé d'un mouvement oscillatoire, le coulisseau 3 reçoit un mouvement alternatif dans la glissière <math>a - a</math>. Le mécanisme est équivalent à un mécanisme à quatre éléments articulés <math>ABCD</math> dans lequel <math>AB</math> et <math>CD</math> sont des leviers oscillants et <math>BC</math> est une bielle.</p>	
1493	<p align="center"><b>MÉCANISME À COULISSEAU ET LEVIER OSCILLANT AVEC GLISSIÈRE CIRCULAIRE</b></p>	<p align="center">CM Q</p>
	 <p>Le coulisseau arqué 1 se meut dans un guidage circulaire <math>a - a</math> qui a pour centre le point <math>A</math>. La bielle 3 forme des couples de rotation <math>B</math> et <math>C</math> avec les coulisseaux 1 et 2. Le coulisseau 2 glisse dans un guidage fixe <math>b</math>. Lors du glissement du coulisseau 1 dans le guidage <math>a - a</math>, le coulisseau 2 reçoit un mouvement de va-et-vient. Le mécanisme est équivalent à un mécanisme à coulisseau et levier oscillant <math>ABC</math> dans lequel <math>AB</math> est une manivelle.</p>	

1494

**MÉCANISME À COULISSEAU ET MANIVELLE  
AVEC COULISSEAU EN ARC DE CERCLE**
CM  
Q

La manivelle 1 tourne autour d'un axe fixe A. La bielle 3 forme des couples de rotation B et C avec la manivelle 1 et le coulisseau arqué 2 qui glisse dans un guidage fixe en arc de cercle  $a$  ayant pour centre le point D. Le mécanisme est équivalent à un mécanisme de quatre éléments articulés ABCD.

1495

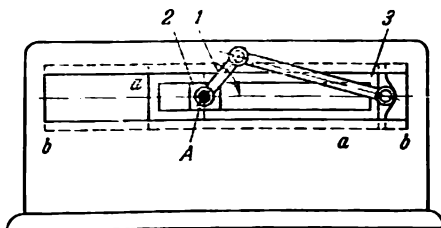
**MÉCANISME À COULISSEAU ET MANIVELLE  
AVEC GLISSIÈRE CIRCULAIRE**
CM  
Q

Les longueurs des éléments du mécanisme satisfont aux conditions :  $AB + BC < AD + CD$  et  $AB < CD < BC < AD$ . L'élément 2 se présente sous la forme d'un coulisseau arqué glissant dans une glissière circulaire fixe  $a - a$  qui a pour centre le point D. Lorsque la manivelle 1 tourne, l'élément 2 reçoit un mouvement alternatif dans la glissière  $a - a$ . Le mécanisme est équivalent à un mécanisme à quatre éléments, à manivelle et levier oscillant ABCD dans lequel AB est une manivelle, BC, une bielle, et CD, un levier oscillant.

1496

# MÉCANISME À COULISSEAU ET MANIVELLE AVEC GLISSIÈRE MOBILE

CM  
Q

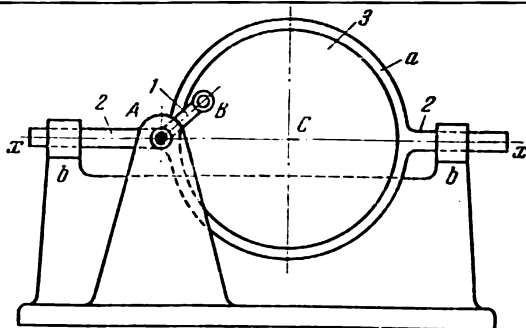


La manivelle 1 tourne autour d'un axe fixe A. Le coulisseau 3 qui glisse dans un guidage fixe  $b - b$  comporte une rainure  $a - a$  qui glisse sur un coulisseau immobile 2. Lorsque la manivelle 1 tourne, la glissière 2 reçoit un mouvement de va-et-vient horizontal.

1497

# MÉCANISME À BIELLE ET MANIVELLE AVEC TOURILLON ÉLARGI

CM  
Q

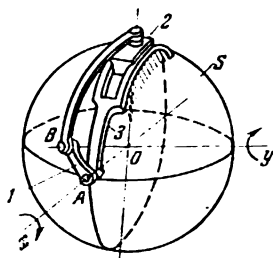


L'élément 2 a la forme d'une bague  $a$  qui embrasse le disque 3 ayant pour centre le point C. Lorsque la manivelle 1 tourne, l'élément 2 reçoit un mouvement de va-et-vient le long de l'axe  $x - x$  dans un guidage fixe  $b - b$ . Le mécanisme est équivalent à un mécanisme à coulisseau et manivelle ABC.

1498

# MÉCANISME SPHÉRIQUE À COULISSEAU ET MANIVELLE

CM  
Q

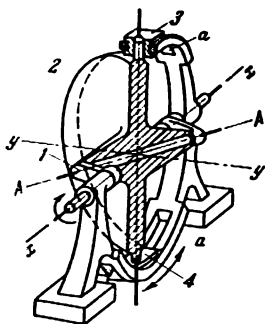


La glissière fixe  $3$  se présente sous la forme d'un arc du grand cercle d'une sphère  $S$ . L'axe du doigt  $B$  passe par le centre  $O$  de la sphère. Les éléments  $1$  et  $2$  tournent autour des axes  $x$  et  $y$  perpendiculaires entre eux qui se croisent au point  $O$ .

1499

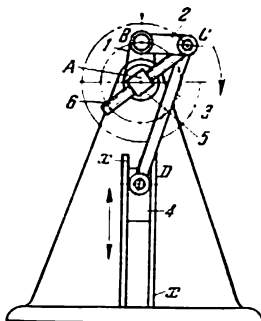
# MÉCANISME SPHÉRIQUE À COULISSEAU ET MANIVELLE

CM  
Q



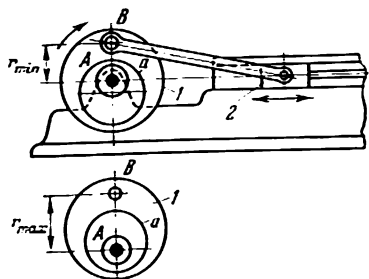
La manivelle  $1$  tournant autour d'un axe fixe  $x - x$  constitue un couple de rotation  $A - A$  avec l'élément  $2$ . Ce dernier forme des couples de rotation avec les coulisseaux en arc de cercle  $3$  et  $4$  disposés symétriquement, qui se déplacent dans les guidages circulaires fixes  $a$ . Lorsque la manivelle  $1$  tourne autour de l'axe  $x - x$ , les coulisseaux  $3$  et  $4$  glissent dans les guidages circulaires  $a$  du support avec un mouvement d'oscillation autour de l'axe  $y - y$ , à la condition que les axes de tous les couples cinématiques se rencontrent en un seul et même point.

1500

**MÉCANISME À COULISSEAU ET MANIVELLE  
AVEC MANIVELLE DE LONGUEUR RÉGLABLE**
CM  
Q

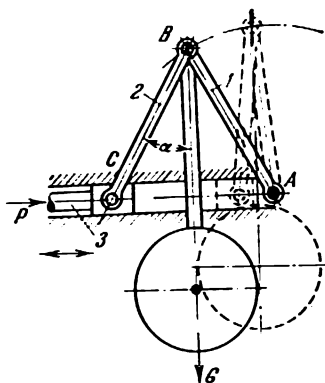
Le mécanisme à cinq éléments  $ABCD$ , qui se compose des éléments 1, 2, 3 et d'un coulisseau 4 glissant dans un guidage fixe  $x-x$ , possède deux degrés de liberté. Les éléments 5 et 6 constituent un couple hélicoïdal. En fixant l'élément 6 en diverses positions par rapport à l'élément 5, on peut varier la distance  $AC$ . Lorsqu'on réunit l'élément 6 et l'élément 2 en un couple de rotation, le mécanisme à cinq éléments  $ABCD$  devient un mécanisme à coulisseau et manivelle  $ACD$  avec un seul degré de liberté.

1501

**MÉCANISME À COULISSEAU ET MANIVELLE  
AVEC MANIVELLE DE LONGUEUR RÉGLABLE**
CM  
Q

L'élément 1 porte une ouverture ronde, de diamètre égal à celui de l'excentrique  $a$ . En faisant tourner l'excentrique  $a$  autour d'un axe fixe  $A$  à l'intérieur du disque 1 puis en le fixant, on peut régler la longueur de la manivelle  $AB$  de  $r_{min}$  à  $r_{max}$  et, de ce fait, varier la course du coulisseau 2.

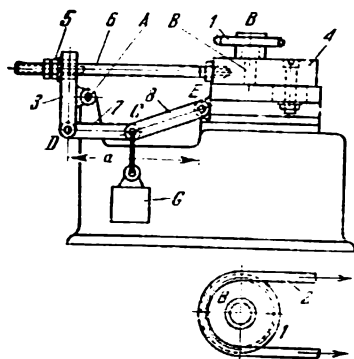




Les longueurs des éléments du mécanisme satisfont à la condition  $AB = BC$ . Un pendule avec une charge de poids  $G$  est librement suspendu au point  $B$ . Sous l'effet de cette charge, le coulisseau 3 quitte sa position extrême droite indiquée en pointillés et se déplace dans une glissière surmontant la force  $P$  qui est égale à

$$P = \frac{G}{2} \operatorname{tg} \alpha,$$

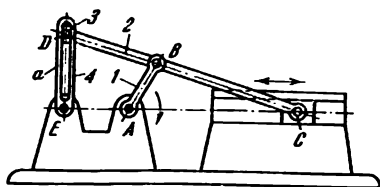
$\alpha$  étant la moitié de l'angle entre les axes des éléments 1 et 2.



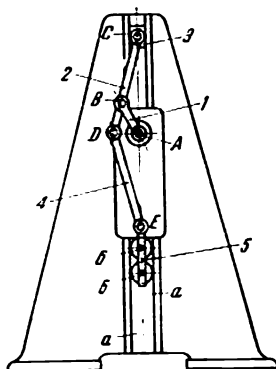
L'élément 3 tourne autour d'un axe fixe A. L'élément 7 forme les couples de rotation D et C avec les éléments 3 et 8. L'élément 8 constitue un couple de rotation E avec la plaque 4 sur laquelle est fixée une roue à chaîne dentée 1. La charge G est suspendue au point C. La force de tension de la chaîne 2, qui agit sur la roue dentée 1, est équilibrée par la charge G. Lorsque la force de tension de la chaîne 2 diminue, la charge G, modifiant la distance  $a$ , fait tourner le levier 3 d'un certain angle autour de l'axe A, et la plaque 4 comportant l'axe B de la roue dentée 1 se déplace à gauche et rattrape le jeu formé. On règle la tension de la chaîne au moyen de l'écrou 5 placé sur le levier 6.

### 3. Mécanismes à six éléments d'usage général (1504-1528)

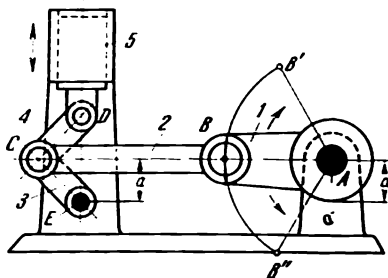
1504	MÉCANISME À COULISSEAU ET MANIVELLE AVEC DEUX ENTRAÎNEURS	CM S
<div data-bbox="310 385 725 599" data-label="Image"> </div> <p data-bbox="165 628 870 842">L'élément 3, qui forme en <i>E</i> un couple de rotation avec l'élément 4 tournant autour d'un axe fixe <i>F</i>, s'articule en <i>D</i> sur la bielle 2 du mécanisme à coulisseau et manivelle <i>ABC</i>. Lorsque la manivelle 1 tourne, le point <i>D</i> de la bielle 2 décrit une courbe de bielle. L'élément 4 effectue un tour complet autour de l'axe <i>F</i> ou bien oscille autour de cet axe, selon les longueurs qu'on aura choisies pour les éléments 2, 3 et 4.</p>		



Le coulisseau 3 qui se meut dans la glissière *a* de la coulisse 4 s'articule au point *D* sur la bielle 2 du mécanisme à coulisseau et manivelle *ABC*. Lorsque la manivelle 1 tourne, le point *D* de la bielle 2 décrit une courbe de bielle. Si le point *E* se trouve à l'intérieur du domaine délimité par la courbe de bielle décrite par le point *D*, la coulisse 4 fait un tour complet autour de l'axe fixe *E*. Si cette condition n'est pas remplie, la coulisse 4 effectue seulement un mouvement d'oscillation autour de l'axe *E*.

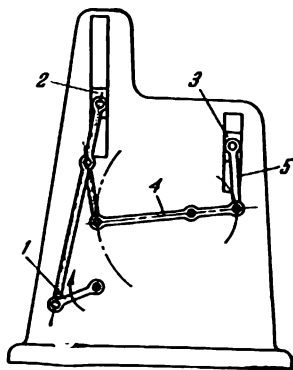


La bielle 4, qui entraîne l'élément 5 réalisé sous la forme d'un chariot comportant des roues 6 roulant dans le guidage  $a - a$ , est adjointe au point  $D$  à la bielle 2 du mécanisme à coulisseau et manivelle  $ABC$ . Lorsque le coulisseau 3 se trouve dans les positions proches de la position limite supérieure, la partie de la trajectoire du point  $D$  peut être remplacée de façon approchée par un arc de cercle de rayon  $DE$ . Lorsque la manivelle 1 tourne, le coulisseau 3 et le chariot 5 sont animés de mouvements alternatifs. Le chariot 5 reste dans la position proche de sa position limite supérieure plus longtemps que le coulisseau 3.



Les longueurs des éléments du mécanisme satisfont à la condition  $EC = CD$ . L'élément 1 effectue un mouvement de rotation alternatif dans les limites de l'angle  $B'AB''$ . Le mouvement d'oscillation de l'élément 1 se transforme, par l'intermédiaire des éléments 2, 3 et 4, en mouvement de va-et-vient du coulisseau 5. A chaque oscillation complète du levier 1 le coulisseau 5 effectue deux cycles complets de mouvement. Le trajet  $s$  parcouru par le point  $D$  du coulisseau de sa position limite inférieure, indiquée sur le dessin, à sa position limite supérieure est égal à

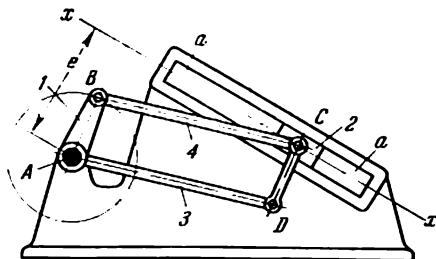
$$s = 2 (CD - a).$$



Lorsque la manivelle 1 tourne, le coulisseau 2 est animé d'un mouvement de va-et-vient. Le coulisseau 3 est mis en mouvement au moyen d'un levier 4 et d'une bielle 5.

1509

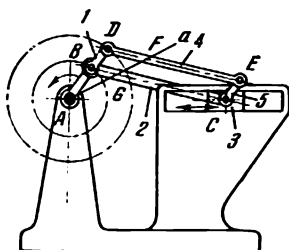
**MÉCANISME DÉSAXÉ  
À COULISSEAU ET MANIVELLE  
AVEC PARALLÉLOGRAMME**

CM  
S

Les longueurs des éléments du mécanisme satisfont aux conditions:  $AB = CD$  et  $BC = AD$ , c.-à-d. que la figure  $ABCD$  est un parallélogramme. Le coulisseau 2 se meut dans la glissière fixe  $a - a$  dont l'axe  $x - x$  se trouve à la distance  $e$  la plus courte du point  $A$ , distance qui constitue le désaxement du mécanisme. Lorsque la manivelle 1 tourne, le coulisseau 2 effectue un mouvement de va-et-vient le long de l'axe  $x - x$ , tandis que l'élément 3 oscille autour d'un axe fixe  $A$ , tout en demeurant parallèle à la bielle 4.

1510

**MÉCANISME À COULISSEAU ET MANIVELLE  
AVEC PANTOGRAPHE**

CM  
S

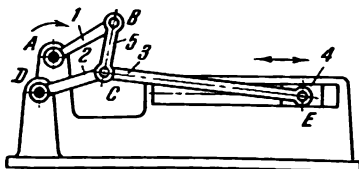
Les longueurs des éléments du mécanisme satisfont aux conditions:  $BD = CE$  et  $DE = BC$ . La figure  $BDEC$  est donc un parallélogramme. Si l'on trace à partir d'un point  $A$  un rayon arbitraire  $Aa$ , les points  $G$  et  $F$  situés sur les axes des éléments 2 et 4 décriront des trajectoires semblables, le coefficient de similitude  $k$  étant

$$k = \frac{AD}{AB}.$$



1511

# MÉCANISME À COULISSEAU ET MANIVELLE À SIX ÉLÉMENTS

CM  
S

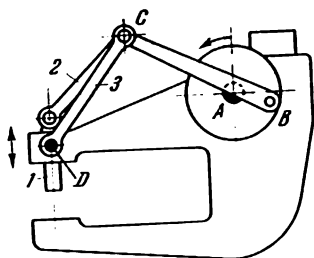
La manivelle 2 du mécanisme à quatre éléments articulés  $ABCD$  est reliée à la bielle 3 qui forme un couple de rotation  $E$  avec le coulisseau 4. Les longueurs des éléments du mécanisme  $ABCD$  satisfont à la condition

$$AB + AD < BC + DC.$$

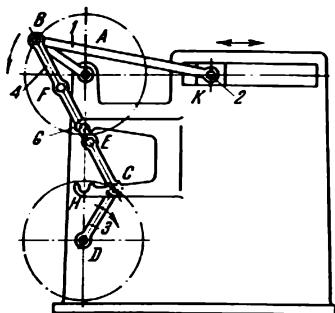
Il s'ensuit que les éléments 1 et 2 sont, tous deux, des manivelles. Lorsque la manivelle 1 est en mouvement uniforme, la manivelle 2 tourne à une vitesse variable, et le coulisseau 4 effectue des courses aller et retour de durée variable.

1512

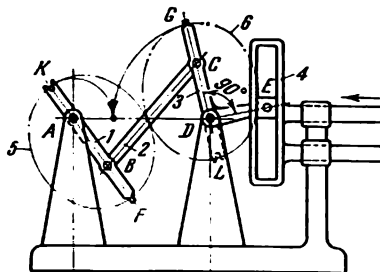
# MÉCANISME À COULISSEAU ET MANIVELLE, À SIX ÉLÉMENTS

CM  
S

Le coulisseau 1 est mis en mouvement par un élément 2 articulé en  $C$  sur un levier oscillant 3 du mécanisme à quatre éléments articulés  $ABCD$ .



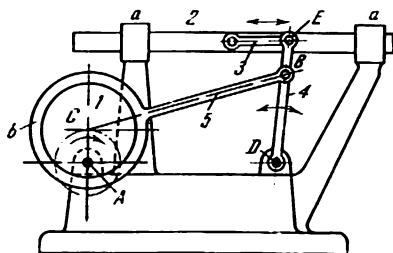
Les longueurs des éléments du mécanisme satisfont aux conditions:  $AB = DC$  et  $BC = AD$ . La bielle 1 reliée en B au mécanisme de l'antiparallélogramme  $ABCD$  imprime un mouvement de va-et-vient au coulisseau 2. Lorsque la manivelle 3 est en mouvement uniforme, la manivelle  $AB$  tourne à une vitesse variable, ce qui permet de réaliser une loi complexe de mouvement du coulisseau 2. Le mouvement indéterminé de l'antiparallélogramme  $ABCD$  dans ses positions extrêmes est éliminé grâce aux doigts  $F$  et  $E$  de l'élément 4 qui entrent dans les crochets  $G$  et  $H$ .



Les longueurs des éléments du mécanisme satisfont aux conditions:  $AB = DC$  et  $BC = AD$ . On peut avoir la même loi de mouvement du coulisseau 4 soit à l'aide du mécanisme de l'antiparallélogramme  $ABCD$ , soit à l'aide des roues elliptiques 5 et 6. Les points  $A$ ,  $B$ ,  $C$  et  $D$  doivent être les foyers des ellipses 5 et 6. Pour franchir les positions limites, les éléments 1 et 3 sont munis de doigts  $F$  et  $G$  qui entrent dans les creux respectifs  $K$  et  $L$ .

1515

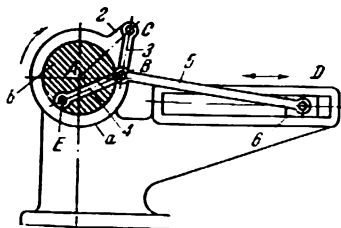
# MÉCANISME À COULISSEAU ET LEVIER OSCILLANT AVEC EXCENTRIQUE

CM  
S

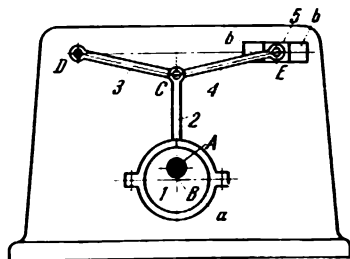
Le mouvement du coulisseau 2 dans un guidage fixe  $a - a$  se produit grâce à un élément intermédiaire 3 qui forme un couple de rotation  $E$  avec le levier oscillant 4 du mécanisme à quatre éléments articulés  $ACBD$ . La manivelle  $AC$  du quadrilatère articulé  $ACBD$  se présente sous la forme d'un excentrique 1. La bielle 5 comporte une bague  $b$ .

1516

# MÉCANISME À COULISSEAU ET MANIVELLE AVEC EXCENTRIQUE

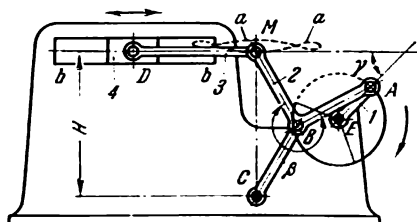
CM  
S

L'élément 2 comporte une bague  $a$  qui embrasse un excentrique fixe  $b$  de centre  $A$ . L'élément 3 forme en  $B$  un couple de rotation avec la bielle 5 du mécanisme à coulisseau et manivelle  $EBD$  et avec la manivelle 4. Lorsque l'élément 2 est en mouvement uniforme, l'élément 4 reçoit un mouvement de rotation non uniforme, transmettant au coulisseau 6 un mouvement de courses aller et retour de durée variable.

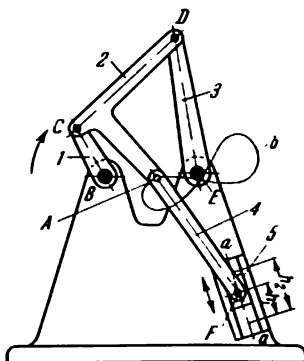


Les longueurs des éléments du mécanisme satisfont aux conditions:  $AB = 1$  et  $BC = CD = CE = 9$ . La bielle 2 comporte une bague  $a$  qui embrasse l'excentrique 1 tournant autour d'un axe fixe  $A$ . La bielle 2 forme un couple de rotation  $C$  avec le levier oscillant 3. La bielle 4, reliée au quadrilatère articulé  $ABCD$ , forme un couple de rotation  $E$  avec le coulisseau 5 se mouvant dans la glissière  $b - b$ . Les longueurs des éléments étant conformes aux rapports adoptés, le coulisseau 5 reçoit de petits déplacements, ce qui lui permet de transmettre de grands efforts.

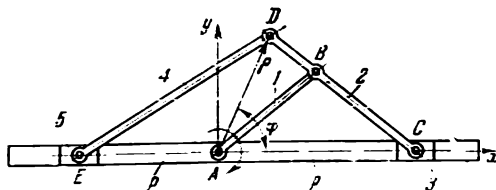
**MÉCANISME À COULISSEAU  
ET LEVIER OSCILLANT  
DE TCHÉBYCHEV SERVANT  
À TRANSFORMER LE MOUVEMENT DE ROTATION  
EN MOUVEMENT DE TRANSLATION  
AVEC COURSE RETOUR ACCÉLÉRÉE**



Les longueurs des éléments du mécanisme satisfont aux conditions:  $AB = BC = BM = 1$ ;  $AE = 0,55$ ;  $CE = 1,38$ ;  $\angle ABM = 267^\circ$  et  $\gamma = 43,5^\circ$ ;  $MD = 1,5$ ;  $H = 1,79$ . Le point  $M$  de la bielle 2 du mécanisme à quatre éléments articulés  $EABC$  décrit une courbe de bielle  $a - a$ . L'élément 3 forme un couple de rotation  $M$  avec la bielle 2 et un couple de rotation  $D$  avec le coulisseau 4 qui se meut dans une glissière fixe  $b - b$ . Les longueurs des éléments étant conformes aux rapports adoptés, le rapport  $k$  entre les temps des courses aller et retour du coulisseau 4 est tel que  $k \approx 3/5$ , la vitesse angulaire de la manivelle 1 étant constante.



La bielle 4 forme en A un couple de rotation avec l'élément 2 du mécanisme à quatre éléments articulés BCDE et en F, un couple de rotation avec le coulisseau 5 qui se meut dans une glissière fixe  $a - a$ . Le point A de l'élément 2 décrit une courbe de bielle  $b$  qui comporte un point double. Le coulisseau 5 effectue donc deux courses doubles de longueurs différentes  $h_1$  et  $h_2$  à chaque tour complet des manivelles 1 et 3.



Les longueurs des éléments du mécanisme satisfont à la condition  $AB = BC$ . L'élément 1, qui tourne autour d'un axe fixe  $A$ , constitue un couple de rotation  $B$  avec l'élément 2 qui constitue des couples de rotation  $D$  et  $C$  avec l'élément 4 et le coulisseau 3 glissant dans un guidage fixe  $p - p$ . L'élément 4 forme un couple de rotation  $E$  avec le coulisseau 5 qui se meut dans un guidage fixe  $p - p$ . Le point  $D$  du mécanisme décrit une ellipse de centre  $A$  ayant pour équation

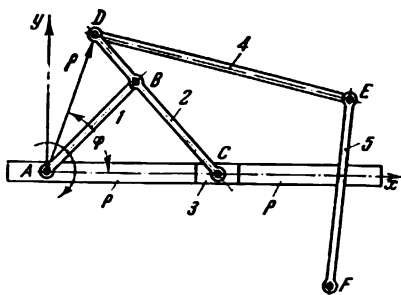
$$\frac{x^2}{(m-n)^2} + \frac{y^2}{(m+n)^2} = 1,$$

avec  $m = AB$  et  $n = BD$ . Le vecteur variable  $\rho = \overline{AD}$  peut être considéré comme une manivelle du mécanisme à coulisseau et manivelle  $ADE$ , la longueur variable  $AD$  de la manivelle conventionnelle étant telle que

$$AD = (m^2 - n^2) \sqrt{\frac{1}{m^2 + n^2 + 2mn \cos 2\varphi}},$$

$\varphi$  étant l'angle formé par le vecteur  $\rho$  avec l'axe  $Ax$ .





Les longueurs des éléments du mécanisme satisfont à la condition  $AB = BC$ . L'élément 1 tournant sur un axe fixe  $A$  forme un couple de rotation  $B$  avec l'élément 2. L'élément 2 forme des couples de rotation  $D$  et  $C$  avec l'élément 4 et le coulisseau 3 qui se meut dans une glissière fixe  $p - p$ . L'élément 4 forme un couple de rotation  $E$  avec l'élément 5 tournant sur un axe fixe  $F$ .

Le point  $D$  du mécanisme décrit une ellipse de centre  $A$  ayant pour équation

$$\frac{x^2}{(m-n)^2} + \frac{y^2}{(m+n)^2} = 1,$$

où  $m = AB$  et  $n = BD$ .

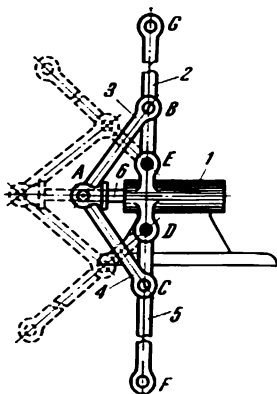
Le vecteur variable  $\rho = \overline{AD}$  peut être considéré comme une manivelle du quadrilatère articulé  $ADEF$  de la longueur variable  $AD$  égale à :

$$AD = (m^2 - n^2) \sqrt{\frac{1}{m^2 + n^2 + 2mn \cos 2\varphi}},$$

$\varphi$  étant l'angle formé par le vecteur  $\rho$  avec l'axe  $Ax$ .

1522

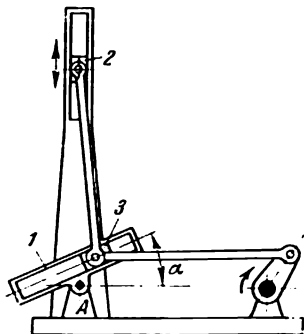
# MÉCANISME À COULISSEAU ET MANIVELLE DE LA CONTRE-FICHE

CM  
S

Les longueurs des éléments du mécanisme satisfont aux conditions:  $BE = CD$  et  $AB = AC$ . Lorsque la tige du piston 6 se déplace suivant l'axe du cylindre fixe 1, les éléments 2 et 5 tournent autour des axes fixes D et E, en prenant les positions indiquées en traits discontinus. Les angles de rotation des éléments 2 et 5 sont alors égaux.

1523

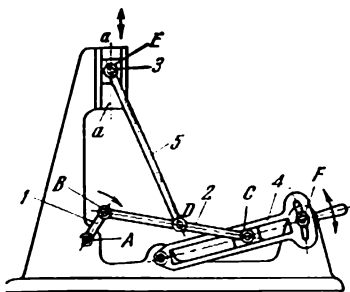
# MÉCANISME À COULISSEAU ET MANIVELLE AVEC COULISSEAUX DE COURSE RÉGLABLE

CM  
S

En fixant rigidement sur un axe A la glissière 1 à différents angles  $\alpha$  par rapport à l'horizon, on peut obtenir des lois différentes de mouvement des coulisseaux 2 et 3.

1524

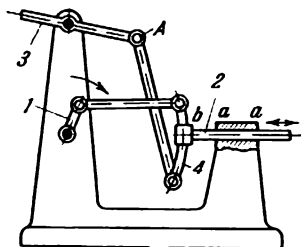
**MÉCANISME À COULISSEAU ET MANIVELLE  
AVEC COULISSEAU ADJOINT  
DE COURSE RÉGLABLE**

CM  
S

La bielle 5 qui met en mouvement le coulisseau 3 s'articule en D sur la bielle 2 du mécanisme à coulisseau et manivelle ABC. Lorsque la manivelle 1 tourne autour d'un axe fixe A, le coulisseau 3 reçoit un mouvement de va-et-vient dans une glissière  $a - a$ . On règle le déplacement du coulisseau 3 en tournant la glissière 4 et en la fixant au point F.

1525

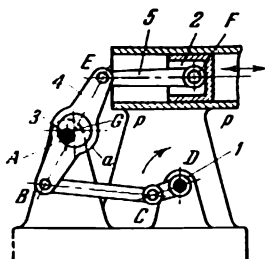
**MÉCANISME À COULISSEAU ET MANIVELLE  
AVEC ÉLÉMENT MENÉ DE COURSE RÉGLABLE**

CM  
S

L'élément 4, dont l'axe est tracé suivant un arc de cercle, glisse dans le guidage arqué  $b$  de l'élément 2. Lorsque la manivelle motrice 1 tourne, l'élément mené 2 reçoit un mouvement de va-et-vient dans un guidage fixe  $a - a$ . Le déplacement du coulisseau 2 est réglé en variant la position de la charnière A à l'aide d'un levier 3 fixé rigidement en diverses positions. Le dispositif de fixation du levier 3 n'est pas représenté sur le dessin.

1526

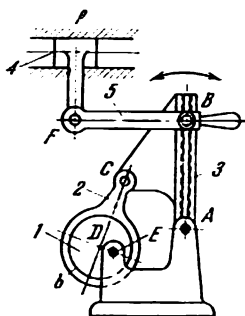
# MÉCANISME À COULISSEAU ET MANIVELLE AVEC ÉLÉMENT MENÉ DE COURSE RÉGLABLE

CM  
S

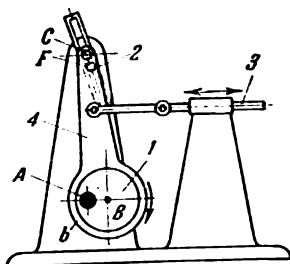
Le levier oscillant 4 du quadrilatère articulé *GBCD* possède une bague *a* qui embrasse l'excentrique fixe 3. Le levier oscillant 4 forme un couple de rotation *E* avec la bielle 5 qui forme un couple de rotation *F* avec le piston 2 glissant dans un guidage fixe *p — p*. Lorsque la manivelle 1 tourne, le piston 2 reçoit un mouvement de va-et-vient. Le déplacement du piston 2 est réglé par rotation de l'excentrique 3 et sa fixation sur l'axe *A* en diverses positions.

1527

# MÉCANISME À COULISSEAU ET LEVIER OSCILLANT AVEC ÉLÉMENT MENÉ DE COURSE RÉGLABLE

CM  
S

La bielle 2 du quadrilatère articulé *ACDE* possède une bague *b* qui embrasse l'excentrique 1 tournant sur un axe fixe *E*. Le levier oscillant 3 forme en *B* un couple de rotation avec une bielle 5. La bielle 5 constitue un couple de rotation *F* avec le coulisseau 4 se mouvant dans une glissière fixe *p*. Lorsque l'excentrique 1 tourne, le coulisseau 4 reçoit un mouvement de va-et-vient. On règle la longueur de course du coulisseau en modifiant la longueur *AB* du levier oscillant 3 au moyen d'un dispositif à vis spécial non représenté sur le dessin.

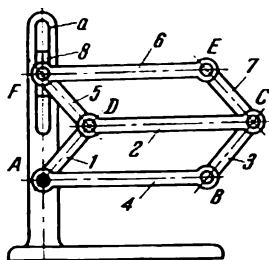


La bielle 4 possède une bague *b* qui embrasse l'excentrique 1 tournant sur un axe fixe *A*. Le doigt *C* de la bielle glisse dans la coulisse 2 fixée rigidement sur le montant. Lorsque l'excentrique 1 tourne, l'élément 3 reçoit un mouvement de va-et-vient. On règle la course de la tige 3 en tournant la coulisse 2 autour du point *F* et en la fixant ensuite dans une nouvelle position.

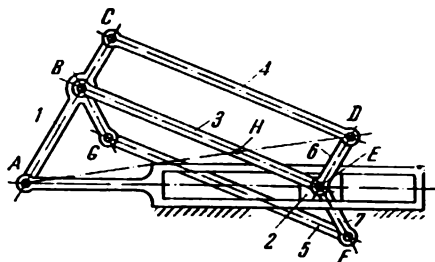
#### 4. Mécanismes à éléments multiples d'usage général (1529-1534)

1529	MÉCANISME À COULISSEAU ET MANIVELLE AVEC EXCENTRIQUE ROND	CM M

L'excentrique rond 1 tourne sur un axe fixe B. L'élément 3 qui comporte une bague a embrassant l'excentrique 1 forme les couples de rotation A et C avec les éléments 4 et 5 qui, à leur tour, forment des couples de rotation D et E avec l'élément 6 tournant sur un axe fixe F. La bielle 7 forme un couple de rotation A avec l'élément 3 et un couple de rotation G avec le coulisseau 2 qui se meut dans une glissière fixe b.



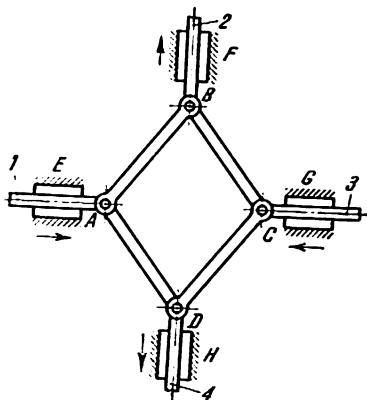
Les longueurs des éléments du mécanisme satisfont aux conditions:  $AD = BC$ ;  $DF = CE$  et  $AB = DC = FE$ . Le coulisseau 8 qui se meut dans une glissière fixe  $a$  est articulé au point  $F$ . Le mécanisme possède deux degrés de liberté et la propriété suivante: l'élément 6 se meut toujours parallèlement à l'élément 4, quelle que soit la position fixe de l'élément 4.



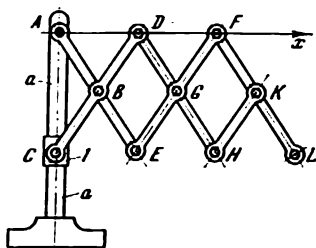
Les longueurs des éléments du mécanisme satisfont aux conditions:  $BC = ED$ ;  $BG = EF$  et  $CD = BE = GF$ . Les éléments 4, 5, 6 et 7 sont reliés au mécanisme à coulisseau et manivelle  $ABE$ . Les figures  $BEFG$  et  $BCDE$  constituent des parallélogrammes. Les éléments 4 et 5 effectuent un mouvement semblable à celui de l'élément 3. Ainsi, par exemple, le point  $D$  décrit une courbe de bielle semblable à celle décrite par le point  $H$  de la bielle 3, dont le coefficient de similitude  $k$  est égal à

$$k = \frac{AC}{AB}.$$

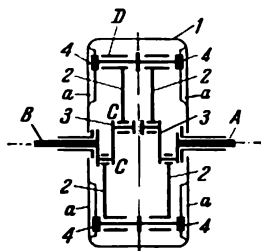




Les longueurs des éléments du mécanisme satisfont aux conditions:  $AB = BC = CD = DA$ . Le déplacement rectiligne de l'élément 1 se transforme en mouvement rectiligne des éléments 2, 3 et 4. Si les axes des couples de translation  $E$ ,  $F$ ,  $G$  et  $H$  sont disposés de la manière indiquée sur la figure, les vitesses des points  $A$ ,  $C$  et  $B$ ,  $D$  seront égales et de signe contraire.



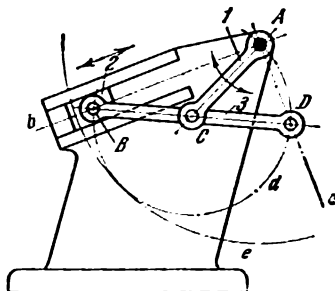
Les longueurs des éléments du mécanisme satisfont à la condition  $AB = BC = BD = BE = EG = DG = GF = GH = FK = HK = KL$ . Le coulisseau  $I$  glisse le long d'un guidage fixe  $a - a$ . Les longueurs des éléments du mécanisme étant conformes aux rapports adoptés, les points  $D$  et  $F$  suivent la droite  $Ax$  perpendiculaire à l'axe du guidage  $a - a$ ; la vitesse du point  $F$  est dans ce cas deux fois plus grande que celle du point  $D$  et, par sa direction, coïncide avec cette dernière.



Le mécanisme se compose d'une caisse 1 comportant des guidages *a* dans lesquels glissent des coulisseaux 4. Les demi-axes *A* et *B* comportent des manivelles 3. Les bielles 2 forment des couples de rotation *D* et *C* avec les coulisseaux 4 et les manivelles 3. Le mouvement de la caisse 1 est transmis aux demi-axes *A* et *B* reliés aux éléments moteurs du mécanisme au moyen des coulisseaux 4, des bielles 2 et des manivelles 3. Lorsque les éléments moteurs tournent à la même vitesse et dans le même sens, il n'y a pas de mouvement relatif des systèmes à coulisseau et manivelle. Si les éléments moteurs tournent à des vitesses différentes, une rotation relative des deux manivelles 3 aura lieu, et les coulisseaux 4 seront animés d'un mouvement de va-et-vient dans les glissières de la caisse 1.

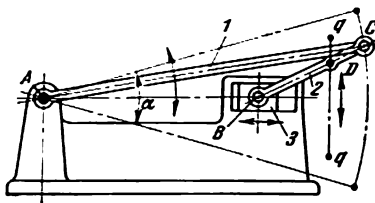
## 5. Mécanismes de guidage et d'inversion (1535-1559)

1535	MÉCANISME DE GUIDAGE A COULISSEAU ET MANIVELLE	CM GI
<div data-bbox="350 382 696 739" data-label="Image"> </div> <p data-bbox="167 768 868 1068">Les longueurs des éléments du mécanisme satisfont à la condition <math>AB = BC = BD</math>. Lorsque l'élément 3 coulisse dans un guidage fixe, le point D du coulisseau se meut suivant la droite <math>Ad</math>. Le point C de l'élément 2 se meut suivant la droite <math>AC</math>. Tout autre point de l'élément 2 situé sur une circonférence <math>f</math> de rayon <math>BA</math>, par exemple le point <math>E</math> ou bien encore le point <math>C</math>, suit également la droite <math>Am</math> qui passe par le point <math>A</math>. Le mouvement de l'élément 2 peut également être reproduit par roulement sans glissement de la circonférence <math>f</math>, solidaire de cet élément, sur une circonférence fixe <math>g</math>, les rayons des circonférences ayant le même rapport que <math>AB : DC</math>.</p>		



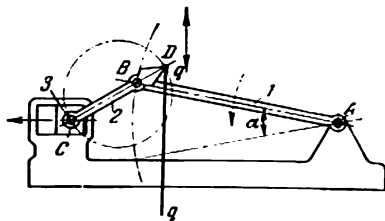
Les longueurs des éléments du mécanisme satisfont à la condition  $AC = BC = CD$ . Lorsque l'élément 2 se déplace dans un guidage fixe, le point  $B$  du coulisseau suit la droite  $Ab$ . Le point  $D$  de l'élément 3 suit la droite  $Aa$ . Les droites  $Ab$  et  $Aa$  sont perpendiculaires entre elles. Le mouvement de l'élément 3 peut également être reproduit par roulement sans glissement de la circonférence  $d$ , solidaire de cet élément, sur une circonférence fixe  $e$ , les rayons de ces circonférences ayant le même rapport que  $AC : BD$ . Si l'élément 2 est moteur, l'élément 1 reçoit un mouvement d'oscillation.

1537

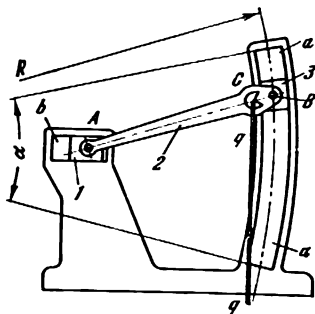
**MÉCANISME À COULISSEAU ET MANIVELLE  
DE GUIDAGE RECTILIGNE**
**CM  
GI**


Les longueurs des éléments du mécanisme à coulisseau et manivelle  $ABC$  satisfont aux conditions:  $BC = 0,36 AC$  et  $CD = 0,125 AC$ . Lorsque l'élément tourne autour d'un axe fixe  $B$ , le point  $D$  de la bielle 2 décrit une trajectoire  $q-q$  qui se rapproche d'une droite dans la partie qui correspond à la rotation de l'élément 1 à l'angle  $\alpha \approx 25^\circ$ .

1538

**MÉCANISME À COULISSEAU ET MANIVELLE  
DE GUIDAGE RECTILIGNE**
**CM  
GI**


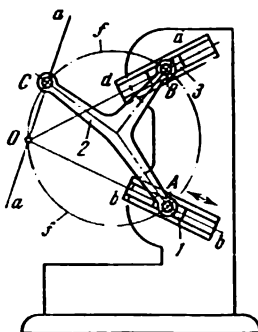
Les longueurs des éléments du mécanisme à coulisseau et manivelle  $ABC$  satisfont aux conditions:  $AB = 3,12 BC$  et  $CD = 1,35 BC$ . Lorsque l'élément 1 tourne autour d'un axe fixe  $A$ , le point  $D$  de la bielle 2 décrit une trajectoire  $q-q$  qui se rapproche d'une droite dans la partie qui correspond à la rotation de l'élément 1 à l'angle  $\alpha \approx 25^\circ$ .



Les longueurs des éléments du mécanisme à coulisseau et manivelle satisfont aux conditions:  $AC = 0,83 AB$  et  $R = 2,92 AB$ , où  $R$  est le rayon de la glissière circulaire fixe dans laquelle glisse le coulisseau en arc de cercle 3; le centre de cet arc se trouve sur l'axe de la glissière fixe  $b$  dans laquelle glisse un coulisseau 1. Lorsque le coulisseau 1 se déplace dans la glissière  $b$ , le point  $C$  de l'élément 2 décrit une trajectoire  $q - q$  qui se rapproche d'une droite dans la partie qui correspond à la rotation du coulisseau 3 à l'angle  $\alpha \approx 36^\circ$ .

1540

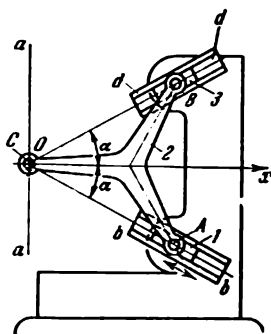
# MÉCANISME DE GUIDAGE À COULISSEAU ET MANIVELLE, À QUATRE ÉLÉMENTS DE REULEAU

CM  
GI

L'élément 2 forme les couples de rotation  $A$  et  $B$  avec les coulisseaux 1 et 3 qui se meuvent dans des glissières fixes  $b-b$  et  $d-d$ . Le point  $C$  de l'élément 2, situé sur la circonférence  $f-f$  passant par le point  $O$  d'intersection des axes des glissières  $b-b$  et  $d-d$ , et les points  $A$  et  $B$  décrivent une trajectoire rectiligne  $a-a$  qui passe par le point  $O$ .

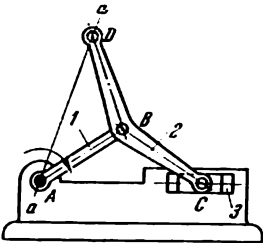
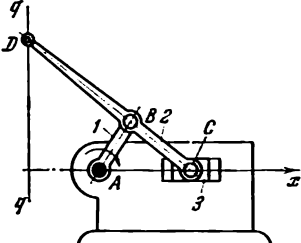
1541

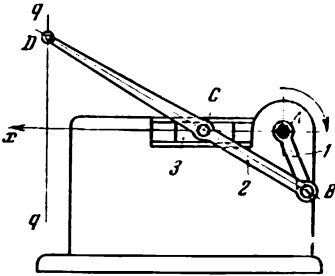
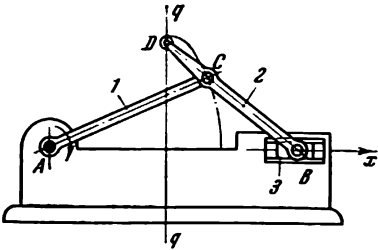
# MÉCANISME DE GUIDAGE RECTILIGNE À COULISSEAU ET MANIVELLE, À QUATRE ÉLÉMENTS DE REULEAU

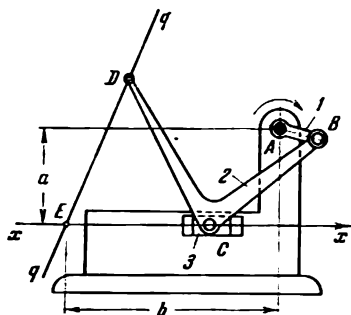
CM  
GI

L'élément 2 forme les couples de rotation  $A$  et  $B$  avec les coulisseaux 1 et 3 qui se meuvent dans des glissières fixes  $b-b$  et  $d-d$ . Lorsque le coulisseau 1 se déplace dans la glissière  $b-b$ , le point  $C$  de l'élément 2, qui coïncide avec le point d'intersection des axes des glissières  $b-b$  et  $d-d$ , décrit une trajectoire rectiligne  $a-a$ . Cette trajectoire est perpendiculaire à l'axe  $Ox$  qui forme des angles  $\alpha$  égaux avec les axes des glissières  $b-b$  et  $d-d$ .



1542	<p>MÉCANISME DE GUIDAGE RECTILIGNE À COULISSEAU ET MANIVELLE, À QUATRE ÉLÉMENTS DE SCOTT RUSSELL</p>	<p>CM GI</p>
	 <p>Les longueurs des éléments du mécanisme à coulisseau et manivelle <math>ABC</math> satisfont à la condition <math>AB = BC = BD</math>. Lorsque l'élément 1 tourne autour d'un axe fixe <math>A</math>, le point <math>D</math> de l'élément 2 décrit une trajectoire rectiligne <math>Aa</math>.</p>	
1543	<p>MÉCANISME DE GUIDAGE RECTILIGNE À COULISSEAU ET MANIVELLE, À QUATRE ÉLÉMENTS</p>	<p>CM GI</p>
	 <p>Les longueurs des éléments du mécanisme à coulisseau et manivelle <math>ABC</math> satisfont aux conditions: <math>BC = 1,37 AB</math> et <math>BD = 2,27 AB</math>. Lorsque la manivelle 1 tourne autour d'un axe fixe <math>A</math>, le point <math>D</math> de la bielle 2 décrit une trajectoire qui, sur une certaine partie, se rapproche de la droite <math>q - q</math> perpendiculaire à l'axe <math>Ax</math> du mouvement du coulisseau 3.</p>	

1544	<p align="center"><b>MÉCANISME DE GUIDAGE RECTILIGNE À COULISSEAU ET MANIVELLE, À QUATRE ÉLÉMENTS</b></p>	<p align="center">CM GI</p>
	 <p>Les longueurs des éléments du mécanisme à coulisseau et manivelle <math>ABC</math> satisfont aux conditions: <math>BC = 1,86 AB</math> et <math>CD = 2,76 AB</math>. Lorsque la manivelle 1 tourne autour d'un axe fixe <math>A</math>, le point <math>D</math> de la bielle 2 décrit une trajectoire qui, sur une certaine partie, se rapproche de la droite <math>q - q</math> perpendiculaire à l'axe du mouvement du coulisseau 3.</p>	
1545	<p align="center"><b>MÉCANISME DE GUIDAGE RECTILIGNE À COULISSEAU ET MANIVELLE, À QUATRE ÉLÉMENTS</b></p>	<p align="center">CM GI</p>
	 <p>Les longueurs des éléments du mécanisme à coulisseau et manivelle <math>ABC</math> satisfont aux conditions: <math>BC = 0,67 AC</math> et <math>CD = 0,3 AC</math>. Lorsque l'élément 1 tourne autour d'un axe fixe <math>A</math>, le point <math>D</math> de la bielle 2 décrit une trajectoire qui, sur une certaine partie, se rapproche de la droite <math>q - q</math> perpendiculaire à l'axe <math>Ax</math> du mouvement du coulisseau 3.</p>	

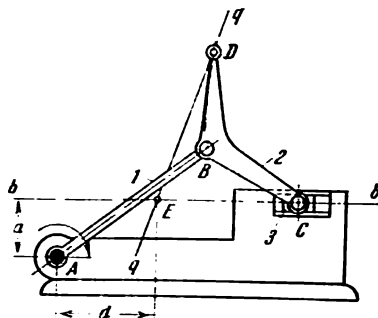


Les longueurs des éléments du mécanisme à coulisseau et manivelle  $ABC$  satisfont aux conditions:  $BC = 3,5 AB$ ;  $CD = 4,2 AB$ ;  $BD = 5,1 AB$ ;  $b = 5,43 AB$  et  $a = 2,49 AB$ . Lorsque la manivelle 1 tourne autour d'un axe fixe  $A$ , le point  $D$  de la bielle 2 décrit une trajectoire qui, sur une certaine partie, se rapproche de la droite  $q - q$  passant par le point  $E$  situé sur l'axe de mouvement  $x - x$  du coulisseau 3.

1547

**MÉCANISME DE GUIDAGE RECTILIGNE  
À COULISSEAU ET MANIVELLE,  
À QUATRE ÉLÉMENTS DE DE JONGE**

**CM  
GI**

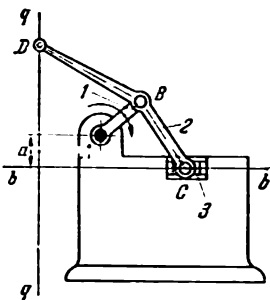


Les longueurs des éléments du mécanisme à coulisseau et manivelle  $ABC$  satisfont aux conditions:  $BC = 0,58 AB$ ;  $BD = 0,51 AB$ ;  $DC = 0,93 AB$ ;  $a = 0,32 AB$  et  $d = 0,57 AB$ . Lorsque l'élément 1 tourne autour d'un axe fixe  $A$ , le point  $D$  de la bielle 2 décrit une trajectoire qui, sur une certaine partie, se rapproche de la droite  $q - q$  passant par le point  $E$  situé sur l'axe  $b - b$  du mouvement du coulisseau 3.

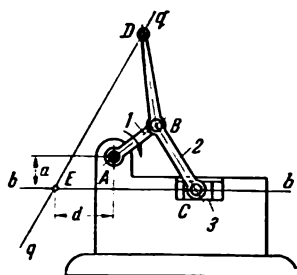
1548

**MÉCANISME DE GUIDAGE RECTILIGNE  
À COULISSEAU ET MANIVELLE,  
À QUATRE ÉLÉMENTS DE DE JONGE**

**CM  
GI**



Les longueurs des éléments du mécanisme à coulisseau et manivelle  $ABC$  satisfont aux conditions:  $BC = 1,52 AB$ ;  $DC = 3,7 AB$ ;  $DB = 2,26 AB$  et  $a = 0,61 AB$ . Lorsque la manivelle 1 tourne autour d'un axe fixe  $A$ , le point  $D$  de la bielle 2 décrit une trajectoire qui, sur une certaine partie, se rapproche de la droite  $q - q$  perpendiculaire à l'axe  $b - b$  du mouvement du coulisseau 3.

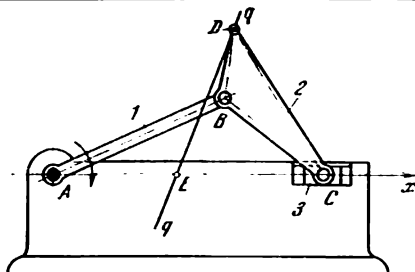


Les longueurs des éléments du mécanisme à coulisseau et manivelle  $ABC$  satisfont aux conditions:  $BC = 1,42 AB$ ;  $BD = 1,67 AB$ ;  $DC = 3 AB$ ;  $a = 0,58 AB$  et  $d = 1,08 AB$ . Lorsque la manivelle  $1$  tourne autour d'un axe fixe  $A$ , le point  $D$  de la bielle  $2$  décrit une trajectoire qui, sur une certaine partie, se rapproche de la droite  $q - q$  passant par le point  $E$  situé sur l'axe du mouvement  $b - b$  du coulisseau  $3$ .

1550

**MÉCANISME DE GUIDAGE RECTILIGNE  
À COULISSEAU ET MANIVELLE,  
À QUATRE ÉLÉMENTS DE DE JONGE**

**CM  
GI**

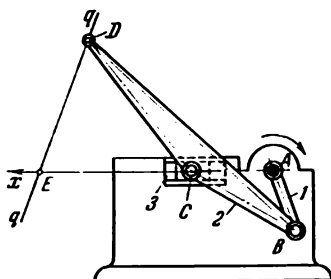


Les longueurs des éléments du mécanisme à coulisseau et manivelle  $ABC$  satisfont aux conditions:  $BC = 0,66 AB$ ;  $BD = 0,37 AB$ ;  $DC = 0,9 AB$  et  $AE = 0,66 AB$ . Lorsque l'élément 1 tourne autour d'un axe fixe  $A$ , le point  $D$  de la bielle 2 décrit une trajectoire qui, sur une certaine partie, se rapproche de la droite  $q - q$  passant par le point  $E$ .

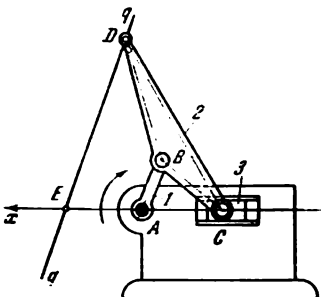
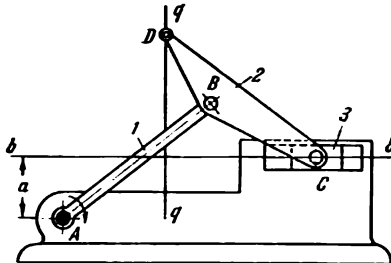
1551

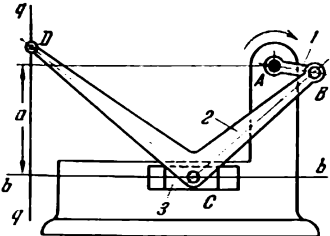
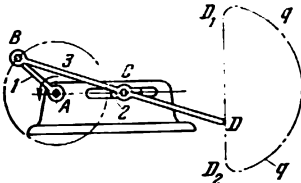
**MÉCANISME DE GUIDAGE RECTILIGNE  
À COULISSEAU ET MANIVELLE,  
À QUATRE ÉLÉMENTS DE DE JONGE**

**CM  
GI**

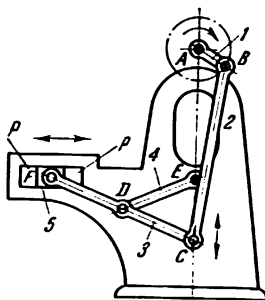


Les longueurs des éléments du mécanisme à coulisseau et manivelle  $ABC$  satisfont aux conditions:  $BC = 1,33 AB$ ;  $BD = 4,25 AB$ ;  $CD = 2,64 AB$  et  $AE = 3,72 AB$ . Lorsque la manivelle 1 tourne autour d'un axe fixe  $A$ , le point  $D$  de la bielle 2 décrit une trajectoire qui, sur une certaine partie, se rapproche de la droite  $q - q$  passant par le point  $E$ .

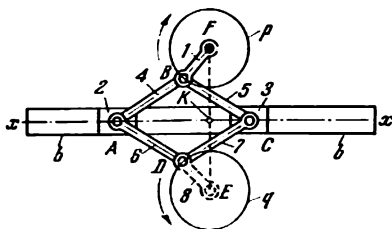
1552	<p align="center"><b>MÉCANISME DE GUIDAGE RECTILIGNE À COULISSEAU ET MANIVELLE, À QUATRE ÉLÉMENTS DE DE JONGE</b></p>	<p align="center"><b>CM GI</b></p>
	 <p>Les longueurs des éléments du mécanisme à coulisseau et manivelle ABC satisfont aux conditions: <math>BC = 1,48 AB</math>; <math>BD = 2,28 AB</math>; <math>CD = 3,62 AB</math>; <math>AE = 1,38 AB</math>. Lorsque la manivelle 1 tourne autour d'un axe fixe A, le point D de la bielle 2 décrit une trajectoire qui, sur une certaine partie, se rapproche de la droite <math>q - q</math> passant par le point E.</p>	
1553	<p align="center"><b>MÉCANISME DE GUIDAGE RECTILIGNE À COULISSEAU ET MANIVELLE, À QUATRE ÉLÉMENTS DE DE JONGE</b></p>	<p align="center"><b>CM GI</b></p>
	 <p>Les longueurs des éléments du mécanisme à coulisseau et manivelle ABC satisfont aux conditions: <math>BC = 0,65 AB</math>; <math>BD = 0,45 AB</math>; <math>DC = 1,05 AB</math> et <math>a = 0,32 AB</math>. Lorsque l'élément 1 tourne autour d'un axe fixe A, le point D de la bielle 2 décrit une trajectoire qui, sur une certaine partie, se rapproche de la droite <math>q - q</math> perpendiculaire à l'axe <math>b - b</math> du mouvement du coulisseau 3.</p>	

1554	<p align="center"><b>MÉCANISME DE GUIDAGE RECTILIGNE À COULISSEAU ET MANIVELLE, À QUATRE ÉLÉMENTS DE DE JONGE</b></p>	<p align="center"><b>CM GI</b></p>
	 <p>Les longueurs des éléments du mécanisme à coulisseau et manivelle ABC satisfont aux conditions: <math>BC = 4 AB</math>; <math>BD = 7,1 AB</math>; <math>CD = 5,25 AB</math> et <math>a = 3,25 AB</math>. Lorsque la manivelle 1 tourne autour d'un axe fixe A, le point D de la bielle 2 décrit une trajectoire qui, sur une certaine partie, se rapproche de la droite <math>q - q</math> perpendiculaire à l'axe <math>b - b</math> du mouvement du coulisseau 3.</p>	
1555	<p align="center"><b>MÉCANISME DE GUIDAGE RECTILIGNE À COULISSEAU ET MANIVELLE</b></p>	<p align="center"><b>CM GI</b></p>
	 <p>Les longueurs des éléments du mécanisme satisfont aux conditions: <math>BC = 2,3 AB</math> et <math>CD = 2,2 AB</math>. Le point D de la bielle 3 du mécanisme à coulisseau et manivelle ABC décrit une courbe de bielle <math>q - q</math>. Lorsque l'élément 1 tourne autour d'un axe fixe A, le point D de la bielle 3 effectue entre ses positions <math>D_1</math> et <math>D_2</math> un mouvement approximativement rectiligne.</p>	





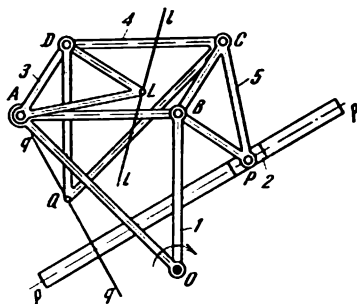
Les longueurs des éléments du mécanisme satisfont à la condition  $ED = DF = DC$ . L'élément 1 qui tourne autour d'un axe fixe  $A$  constitue un couple de rotation  $B$  avec l'élément 2. L'élément 2 constitue un couple de rotation  $C$  avec l'élément 3 qui, à son tour, constitue un couple de rotation  $F$  avec le coulisseau 5 glissant dans un guidage fixe  $p - p$ . L'élément 4 mobile autour d'un axe fixe  $E$  forme un couple de rotation  $D$  avec l'élément 3. Lorsque l'élément 1 tourne autour de l'axe  $A$ , le point  $C$  décrit une trajectoire rectiligne.



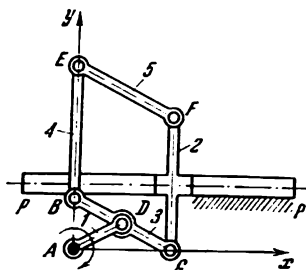
Les éléments du mécanisme satisfont aux conditions:  $AB = BC = CD = DA$  et  $FK = KE$ . La figure  $ABCD$  est un losange. L'élément 1 qui tourne autour d'un axe fixe  $F$  forme les couples de rotation  $B$  avec les éléments 4 et 5. Les éléments 4, 5 et 6, 7 forment les couples de rotation  $A$  et  $C$  avec les coulisseaux 2 et 3 qui se meuvent dans une glissière  $b - b$ . Lorsque l'élément 1 tourne autour de l'axe  $F$ , le point  $B$  décrit une circonférence  $p$  de rayon  $FB$ , et le point  $D$ , une circonférence  $q$  de rayon  $ED = FB$ . Le point  $E$  est situé sur la droite  $FKE$ , perpendiculaire à l'axe  $x - x$  de la glissière  $b - b$ ; par suite, si l'on ajoute un élément supplémentaire 8 indiqué en pointillé, on peut, à l'aide de ce mécanisme, reproduire le rapport de transmission constant  $i_{18}$  entre les éléments 1 et 8 tel que

$$i_{18} = \frac{\omega_1}{\omega_8} = -1.$$

Les éléments 6, 7 et 8 sont les images des éléments 1, 2 et 5 par rapport à l'axe  $x - x$ . La rotation des éléments 1 et 8 s'effectuera dans les sens opposés.

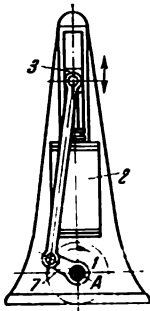
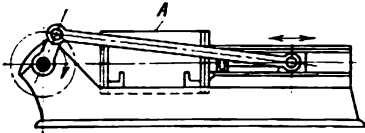


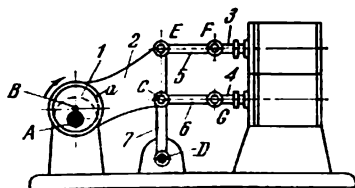
Les longueurs des éléments du mécanisme satisfont aux conditions:  $AD = BC = DL = BP$  et  $DC = AB = DQ = BO$ ; les angles  $\angle ADL = \angle CBP = \angle CDQ = \angle ABO = 90^\circ$ . La figure  $ADCB$  est un parallélogramme. L'élément 1 tourne autour d'un axe fixe  $O$ . L'élément 5 forme un couple de rotation  $P$  avec le coulisseau 2 qui se meut le long de l'axe  $p - p$  d'une glissière fixe. Lorsque l'élément 1 tourne autour de l'axe  $O$ , le point  $L$  de l'élément 3 et le point  $Q$  de l'élément 4 décrivent des lignes droites  $l - l$  et  $q - q$ . La droite  $q - q$  est toujours perpendiculaire à la direction  $p - p$ , et la droite  $l - l$  forme un angle de  $45^\circ$  avec la direction  $p - p$ . Les points  $O$ ,  $Q$ ,  $L$  et  $P$  forment toujours un carré.



Les longueurs des éléments du mécanisme satisfont aux conditions:  $AD = DG = DB$ ;  $BE = GF$  et  $EF = BG$ . La figure  $BEFG$  est un parallélogramme. L'élément 1, qui tourne autour d'un axe fixe  $A$ , constitue un couple de rotation  $D$  avec l'élément 3. L'élément 3 forme un couple de rotation  $B$  avec l'élément 4 et un couple de rotation  $G$  avec le coulisseau 2 qui se meut dans une glissière fixe  $p - p$  dont l'axe est parallèle à l'axe  $Ax$ . L'élément 5 forme les couples de rotation  $E$  et  $F$  avec les éléments 2 et 4. Lorsque l'élément 1 tourne autour de l'axe  $A$ , l'élément 4 effectue un mouvement de translation rectiligne suivant la direction  $Ay$ .

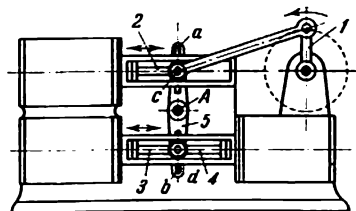
## 6. Mécanismes des machines à piston (1560-1591)

1560	MÉCANISME AXIAL À COULISSEAU ET MANIVELLE D'UN MOTEUR	CM MP
	<p>L'axe du cylindre coupe l'axe A de rotation de la manivelle 1. Les durées des courses aller et retour du piston sont égales. Le coulisseau 3 est relié à deux mécanismes à coulisseau et manivelle disposés symétriquement par rapport à l'axe du cylindre 2 (on ne voit sur la figure que la partie antérieure du mécanisme). Les deux manivelles tournent dans les sens opposés.</p>	
1561	MÉCANISME AXIAL À COULISSEAU ET MANIVELLE D'UN MOTEUR	CM MP
	<p>Pour réduire les dimensions de la machine, on a réalisé la bielle sous la forme de deux tiges parallèles entre lesquelles se trouve le cylindre moteur A. La figure ne représente qu'une des bielles.</p>	



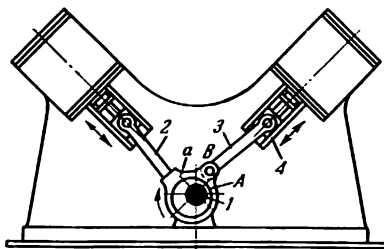
La bielle 2 du quadrilatère articulé *ABCD* comporte une bague *a* qui embrasse l'excentrique 1 mobile autour d'un axe fixe *A*. La bielle 5 forme les couples de rotation *E* et *F* avec la bielle 2 et avec la tige du piston 3. La bielle 6 forme les couples de rotation *C* et *G* avec le levier oscillant 7 et la tige du piston 4. Lorsque l'excentrique est en mouvement 1, les tiges des pistons 3 et 4 effectuent un mouvement de va-et-vient.





L'élément 5 oscillant autour d'un axe fixe *A* comporte des rainures *a* et *b* dans lesquelles glissent les doigts *c* et *d* solidaires des tiges 2, 3 et 4. Lorsque la manivelle 1 tourne, la tige 2 reçoit un mouvement de va-et-vient. La coulisse 5 oscillant autour d'un centre fixe *A* imprime un mouvement de va-et-vient aux tiges 3 et 4. Les bras de l'élément 5 étant égaux, les longueurs de courses des tiges 2, 3, 4 sont égales.

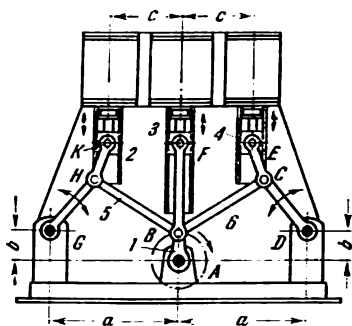




La manivelle 1 se présente sous l'aspect d'un excentrique rond dont l'axe de rotation se trouve au point A. L'élément 2 possède une bague a qui embrasse l'excentrique 1. La bague a comporte un œillet auquel est reliée en B la bielle 3 qui forme un couple de rotation avec le coulisseau 4. Les axes des cylindres passent par l'axe A de rotation de l'excentrique.

1566

# MÉCANISME À COULISSEAU ET MANIVELLE DU MOTEUR À TROIS CYLINDRES

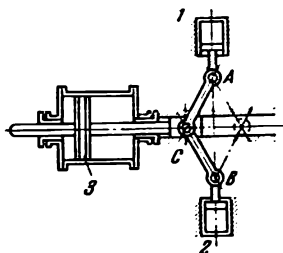
CM  
MP

Les longueurs des éléments du mécanisme satisfont aux conditions:  $BC = BH$ ;  $GH = DC$  et  $HK = CE$ . Les mécanismes à coulisseau et manivelle  $GHK$  et  $DCE$ , disposés symétriquement, sont reliés à l'aide des bielles 5 et 6 au mécanisme de base à coulisseau et manivelle  $ABF$ . Lorsque la manivelle 1 est en mouvement, les pistons 2, 3 et 4 effectuent des mouvements de

va-et-vient. Les pistons 2 et 4 ont des courses égales qui, en général, ne sont pas égales à la course du piston 3.

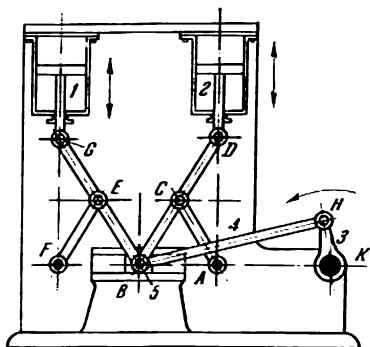
1567

# MÉCANISME À COULISSEAU DES CYLINDRES COMPENSATEURS DE WORTHINGTON

CM  
MP

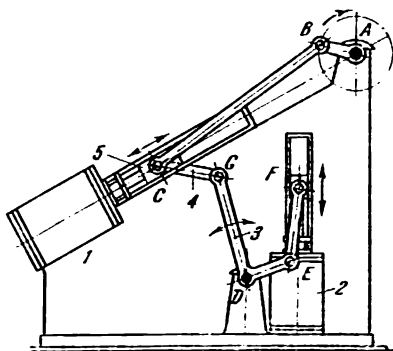
Les longueurs des éléments du mécanisme satisfont à la condition  $BC = AC$ . Les cylindres 1 et 2 emmagasinent de l'énergie pendant la première moitié de la course du piston 3 pour la restituer pendant la seconde moitié de la course.



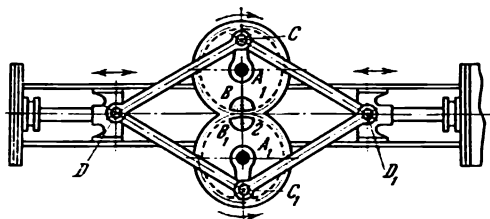


Les longueurs des éléments du mécanisme satisfont à la condition  $AC = BC = CD = BE = FE = EG$ . Les longueurs des éléments du mécanisme étant conformes aux rapports adoptés, les points  $D$  et  $G$  effectuent un mouvement rectiligne le long des axes qui passent par les points  $A$  et  $F$ . Les axes des cylindres coïncident avec les directions  $AD$  et  $FG$ . Le déplacement  $s_5$  du coulisseau 5 est lié au déplacement  $s_1$  du piston 1 par l'expression

$$s_5 = \sqrt{s_1 (2 BG - s_1)}.$$



Les pistons de deux cylindres 1 et 2, disposés de façon quelconque, sont mis en mouvement à l'aide des mécanismes à coulisseau et manivelle *ABC* et *DEF*. La manivelle 3, de forme coudée, constitue en *G* un couple cinématique avec la bielle 4 qui, à son tour, forme un couple cinématique avec le coulisseau 5.



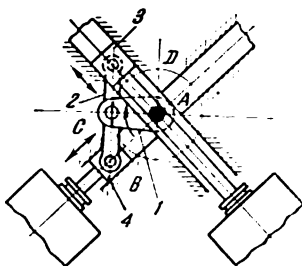
Les longueurs des éléments du mécanisme satisfont aux conditions:  $DC = CD_1 = D_1C_1 = C_1D$  et  $AC = A_1C_1$ . Les manivelles  $AC$  et  $A_1C_1$  sont rigidement liées à deux roues dentées identiques 1 et 2 qui s'engrènent et portent les contrepois égaux  $B$  et  $B_1$  destinés à faire équilibre aux forces d'inertie du premier ordre qui apparaissent lorsque le mécanisme est en mouvement.

1572

# MÉCANISME À COULISSEAU ET MANIVELLE DU MOTEUR À DEUX CYLINDRES

CM

MP



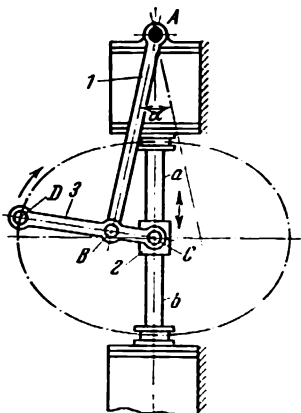
Les longueurs des éléments du mécanisme satisfont à la condition  $BC = CD = AC$ . Les axes des cylindres sont perpendiculaires entre eux. La manivelle 1, tournant sur un axe A, forme un couple de rotation C avec la bielle 2 qui, à son tour, forme des couples de rotation avec les coulisseaux 3 et 4. Compte tenu des dimensions adoptées, la course  $s$  des pistons égale la longueur quadruplée de la manivelle AC. Les coulisseaux 3 et 2 se meuvent dans des plans parallèles.

1573

# MÉCANISME À COULISSEAU ET MANIVELLE DE LA POMPE À MAIN

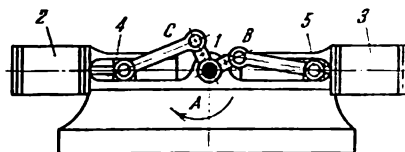
CM

MP



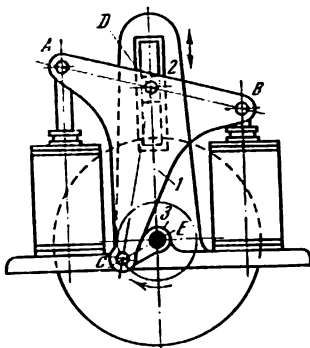
L'élément 1 oscille autour d'un axe fixe A et tourne d'un angle  $\alpha = 2 \arctg \frac{BC}{AB}$ .

Les tiges a et b sont rigidement liées au coulisseau 2. Le manche est fixé au point D de l'élément 3. Les longueurs des éléments étant conformes aux rapports représentés sur le dessin, le point D du manche décrit une courbe de bielle de forme ovale.



Les axes des cylindres 2 et 3 passent par l'axe A de rotation de la manivelle 1 qui possède deux bras, AB et AC, dont les longueurs peuvent différer, ce qui permet d'obtenir diverses lois de mouvement des coulisseaux 4 et 5.





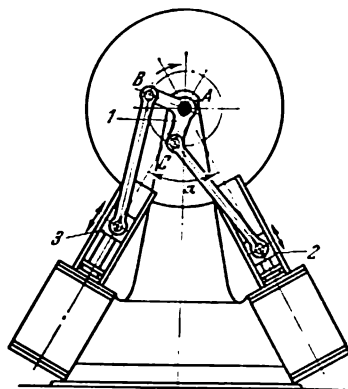
La bielle 1 se présente sous l'aspect d'une traverse triangulaire  $ABC$ . La bielle 1 forme un couple de rotation avec le coulisseau 2 au point  $D$  situé au milieu du segment  $AB$ . Les points  $A$  et  $B$  de la bielle 1 parcourent les parties des courbes de bielle. Lorsque les valeurs du rapport  $\frac{EC}{CD}$  sont faibles, ces parties des courbes de bielle peuvent être remplacées de façon approximative par les parties des droites dont les directions coïncident avec les axes des cylindres. Le mécanisme ne peut fonctionner qu'en présence de petits jeux dans les couples cinématiques.

1576

# MÉCANISME À COULISSEAU ET MANIVELLE DU MOTEUR EN V

CM

MP



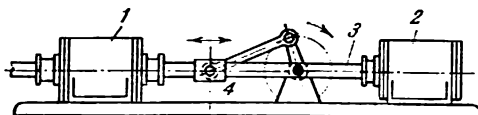
Les axes des cylindres passent par l'axe fixe  $A$  de rotation de la manivelle, en formant un angle  $\alpha$ . En général, les longueurs  $AB$  et  $AC$  de la manivelle  $1$  peuvent différer. L'angle  $CAB$  peut être quelconque. Ainsi, on peut obtenir diverses lois de mouvement des coulisseaux  $2$  et  $3$ .

1577

# MÉCANISME À COULISSEAU ET MANIVELLE DU MOTEUR À DEUX CYLINDRES

CM

MP



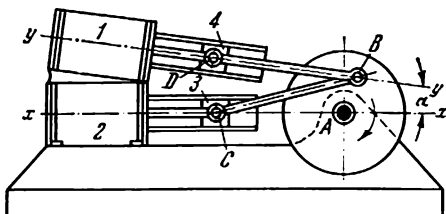
Les pistons des cylindres  $1$  et  $2$  sont actionnés par une tige commune  $3$  solidaire du coulisseau  $4$ .

1578

# MÉCANISME À COULISSEAU ET MANIVELLE DU MOTEUR À DEUX CYLINDRES

CM

MP



L'axe  $y - y$  du cylindre 1 fait un certain angle  $\alpha$  avec l'axe  $x - x$  du cylindre 2 disposé horizontalement. Le mécanisme  $ABC$  est un mécanisme axial, et le mécanisme  $ABD$ , un mécanisme désaxé. Les durées des courses aller et retour du coulisseau 3 sont égales. Les durées des courses aller et retour du coulisseau 4 ne sont pas égales.

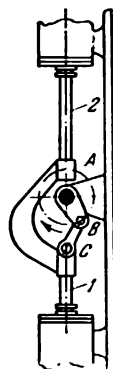
1579

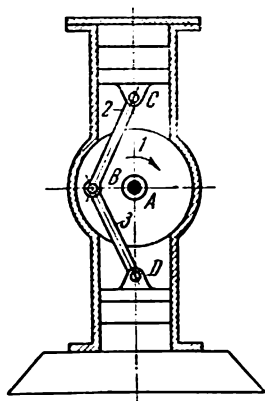
# MÉCANISME À COULISSEAU ET MANIVELLE DU MOTEUR À DEUX CYLINDRES

CM

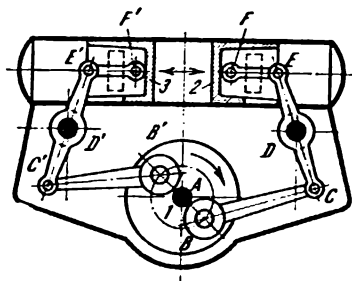
MP

Les coulisseaux 1 et 2, qui font bloc, sont mis en mouvement de va-et-vient par une manivelle  $AB$  à l'aide d'une bielle  $BC$ . Les longueurs [des éléments du mécanisme satisfont à la condition  $AB = BC$ . Il en résulte que la course  $s$  de l'élément 2 est égale à  $s = 4AB$ .

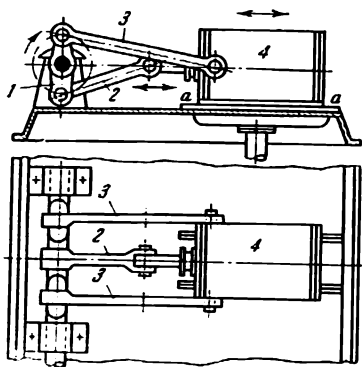




La manivelle 1, qui se présente sous la forme d'un volant pesant, forme en B des couples cinématiques avec les bielles 2 et 3. Les axes des cylindres sont disposés sur une verticale commune. En se conformant à ce schéma, on peut obtenir un équilibrage partiel des forces d'inertie de la masse des éléments.



Les longueurs des éléments du mécanisme satisfont aux conditions:  $AB = AB'$ ,  $BC = B'C'$ ,  $CD = C'D'$ ,  $DE = D'E'$ ,  $EF = E'F'$ . Lorsque la manivelle 1 tourne, les points B et B', D et D' étant disposés conformément à la figure, les pistons 2 et 3 se déplaceront dans les sens opposés.



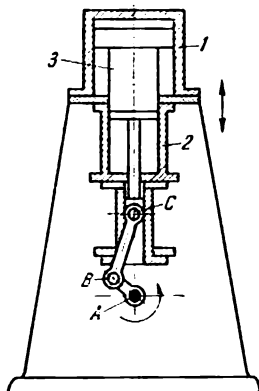
Le cylindre 4 est relié par la bielle 3 à l'arbre d'un vilebrequin à trois coudes 1. La bielle 2 actionne le piston. Au cours du fonctionnement du mécanisme, le cylindre 4 reçoit un mouvement de va-et-vient et coulisse dans le guidage a — a.

1583

# MÉCANISME À COULISSEAU ET MANIVELLE DU COMPRESSEUR VERTICAL À DEUX ÉTAGES

CM

MP



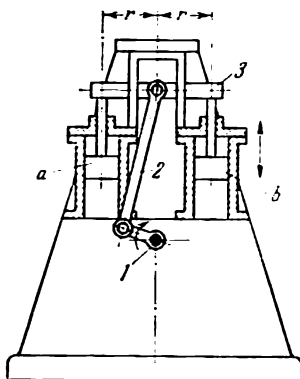
Les diamètres des cylindres 1 et 2 sont différents. Le piston 3 se présente comme un seul piston en deux parties.

1584

# MÉCANISME À COULISSEAU ET MANIVELLE DU MOTEUR À PLUSIEURS CYLINDRES

CM

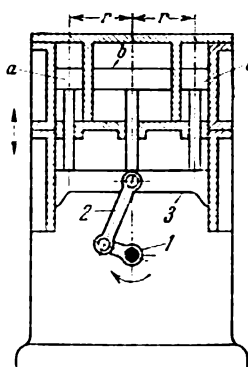
MP



Le mécanisme du moteur comporte un coulisseau 3 auquel sont rigidement liées les tiges des pistons a et b. Les axes des cylindres sont disposés sur une circonférence de rayon  $r$ . Le nombre maximum de cylindres dépend de la place disponible sur le bâti.

1585

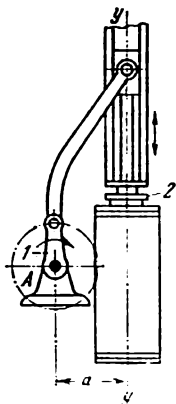
# MÉCANISME À COULISSEAU ET MANIVELLE DU MOTEUR COMPORTANT DES CYLINDRES SUPPLÉMENTAIRES

CM  
MP

Le mécanisme du moteur comporte un coulisseau 3 auquel sont rigidement liées la tige du piston principal *b* et les tiges des pistons supplémentaires *a* et *c*. Les axes des cylindres supplémentaires sont disposés sur une circonférence de rayon *r*. Le nombre maximum de cylindres dépend de la place disponible sur le bâti.

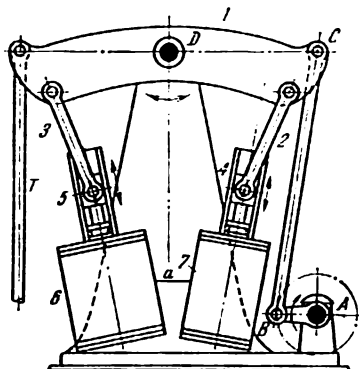
1586

# MÉCANISME DÉSAXÉ À COULISSEAU ET MANIVELLE D'UN MOTEUR

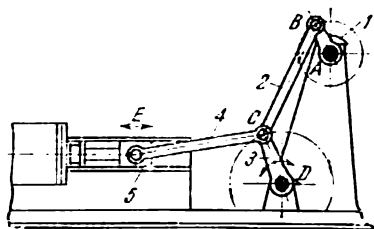
CM  
MP

L'axe *y — y* du cylindre ne passe pas par l'axe *A* de rotation de la manivelle 1. Le désaxement *a* est plus grand que le rayon de la manivelle 1. Les courses aller et retour du piston 2 sont de durée différente.

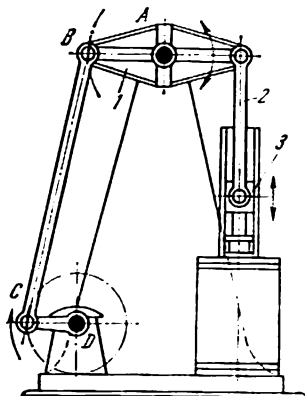




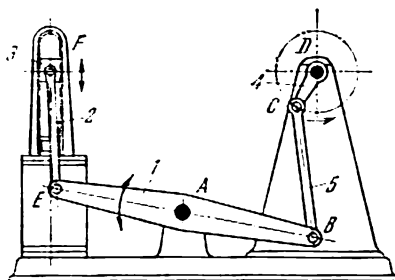
La tringle *T* est reliée au mécanisme d'entraînement des dispositifs secondaires. Les bielles 2 et 3, qui forment des couples cinématiques avec les coulisseaux 4 et 5, sont jointes au balancier 1 du système à quatre éléments articulés *ABCD*. Les axes des cylindres 6 et 7 sont symétriques par rapport à l'axe vertical *Da* et forment un certain angle avec lui.



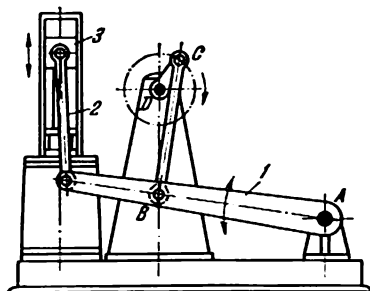
La bielle 4 reliée au levier oscillant 3 du mécanisme à quatre éléments articulés  $ABCD$  forme un couple de rotation avec le coulisseau 5. Les longueurs des éléments du mécanisme  $ABCD$  satisfont à la condition  $AB + AD = BC + CD$ . Les longueurs des éléments étant conformes aux rapports admis, la manivelle 1 fait deux tours pour une course complète du piston.



La bielle 2 reliée au levier oscillant 1 du mécanisme à quatre éléments articulés  $ABCD$  forme un couple de rotation avec le coulisseau 3. Le levier 1 oscille par rapport à un axe fixe  $A$ , imprimant un mouvement de translation au piston par l'intermédiaire de la bielle 2. Les longueurs des éléments du mécanisme  $ABCD$  sont choisies de manière telle que la somme des longueurs des éléments  $AB$  et  $BC$  ne dépasse que légèrement celle des longueurs des éléments  $AD$  et  $DC$ . Le levier oscillant 1 bénéficie ainsi d'une grande amplitude d'oscillations, ce qui assure une longue course du coulisseau 3. Le levier oscillant 1 est équilibré par rapport à l'axe de rotation  $A$ .



La bielle 2 reliée au levier oscillant 1 du mécanisme à quatre éléments articulés  $ABCD$  forme un couple cinématique avec le coulisseau 3. Le mouvement de va-et-vient du coulisseau 3 se transforme en mouvement circulaire de la manivelle 4 au moyen des bielles 2 et 5 et du levier 1 qui oscille autour d'un axe  $A$ . Les longueurs des éléments du mécanisme  $ABCD$  doivent remplir la condition  $AD + DC < CB + AB$ . Le levier oscillant 2 est équilibré par rapport à l'axe de rotation  $A$ .



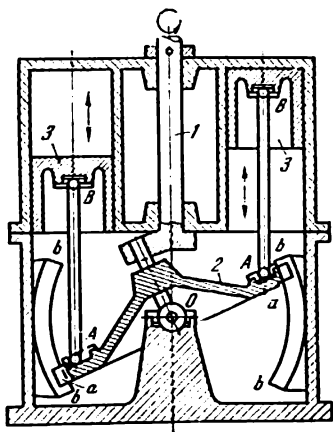
La bielle 2 reliée au levier oscillant 1 du mécanisme à quatre éléments articulés  $ABCD$  forme un couple de rotation avec le coulisseau 3. Le levier 1 oscille autour d'un axe  $A$ , imprimant un mouvement de translation au coulisseau 3 au moyen de la bielle 2. Les longueurs des éléments du mécanisme  $ABCD$  doivent satisfaire à la condition  $AD + DC < CB + AB$ . Pour équilibrer le levier oscillant 1 par rapport à l'axe de rotation  $A$ , il faut monter des contrepoids spéciaux.

## 7. Mécanismes des plateaux oscillants (1592-1600)

1592

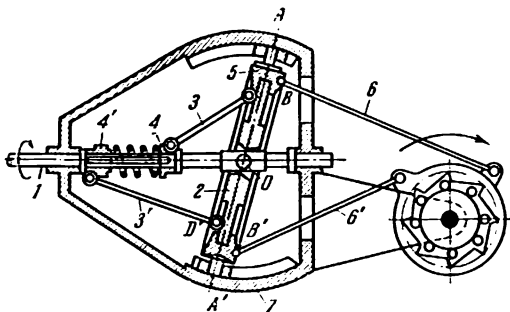
MÉCANISME À COULISSEAU ET MANIVELLE  
AVEC PLATEAU OSCILLANT

CM  
PO



Le plateau 2 a pour appui une rotule de centre  $O$ . Par ses extrémités  $a$ , le plateau glisse dans des guidages circulaires fixes  $b - b$ . La rotation de l'arbre 1 se transforme en mouvement de va-et-vient des pistons 3 au moyen du plateau oscillant 2. Les articulations en  $A$  et en  $B$  sont sphériques.

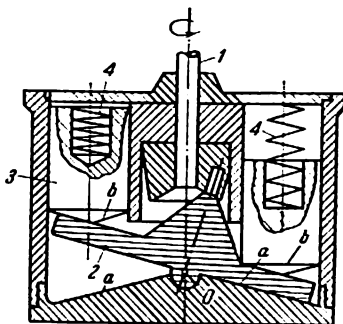
**MÉCANISME SPHÉRIQUE  
À COULISSEAU ET MANIVELLE  
DU PLATEAU OSCILLANT AVEC ROCHET**



Le plateau oscillant 2 enfermé dans une bague 5, qui comporte des tourillons *A* et *A'* couissant dans les guidages d'une enveloppe fixe 7, est monté sur un arbre moteur 1. Les tiges 3 et 3' sont articulées sur le plateau 2 et sur les manchons 4 et 4'. Les manchons 4 et 4' tournent avec l'arbre, étant clavetés sur ce dernier. Un ressort est placé entre ces manchons. Lorsque l'arbre 1 est en mouvement, le plateau 2 tourne dans la bague 5 qui oscille par rapport au point *O*. Les tiges 6 et 6', reliées à la bague 5 en *B* et *B'* au moyen de rotules, sont accouplées à un mécanisme d'encliquetage dont l'arbre est mis en rotation. Tant que les forces de résistance agissant du côté des tiges 6 et 6' sont équilibrées par l'effort de contraction du ressort, l'arbre 1 et le plateau 2 tournent comme un seul bloc. Lorsque la charge agissant sur l'arbre du mécanisme d'encliquetage augmente, le ressort placé entre les manchons 4 et 4' se comprime, ce qui fait automatiquement varier les angles entre les plans du plateau et l'axe de l'arbre 1.

1594

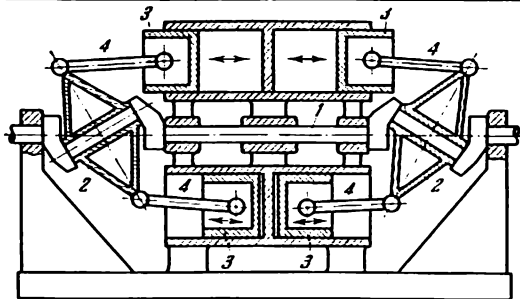
# MÉCANISME À COULISSEAU ET MANIVELLE AVEC PLATEAU OSCILLANT

CM  
PO

Le plateau 2 qui a une butée sphérique de centre  $O$  se meut en roulant sur un cône fixe  $a$ . Les cylindres 3 se terminent par des cônes  $b$  qui glissent sur le plateau 2. La rotation de l'arbre 1 se transforme en mouvement de va-et-vient des pistons 3 au moyen du plateau oscillant 2. L'effort de contact entre les pistons et le plateau est créé par les ressorts 4.

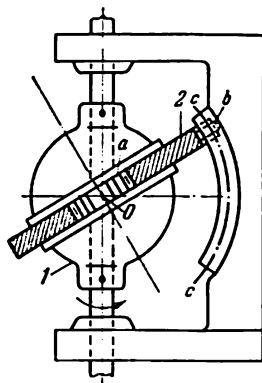
1595

# MÉCANISME À COULISSEAU ET MANIVELLE AVEC DEUX PLATEAUX OSCILLANTS

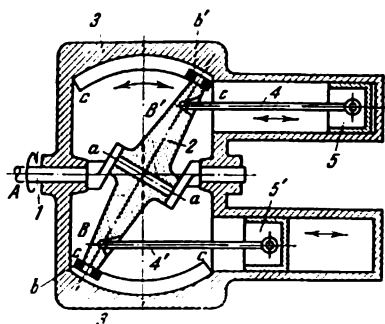
CM  
PO

Le mécanisme se compose de deux plateaux oscillants 2 entraînés par un arbre commun 1. Les bielles 4 forment des couples sphériques avec les plateaux 2 et les pistons 3. La rotation de l'arbre 1 se transforme en mouvement de va-et-vient des pistons 3 au moyen des plateaux oscillants 2.





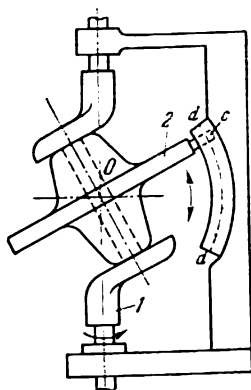
La manivelle 1 est solidaire du cylindre a sur lequel est librement monté le plateau 2 muni d'un doigt b qui coulisse dans un guidage circulaire fixe c — c ayant pour centre O. Lorsque la manivelle 1 tourne, le plateau 2 reçoit un mouvement d'oscillation autour du point O.



La manivelle 1 tourne sur un axe fixe A. Le plateau oscillant 2 est monté perpendiculairement à l'axe  $a - a$  de la manivelle 1. Les rouleaux  $b$  et  $b'$  roulent sur les guidages  $c - c$  du bâti 3. Les bielles 4 et 4', reliées aux pistons 5 et 5', sont accouplées au plateau 2 en B et B' à l'aide de rotules. Lorsque le plateau 2 oscille, les pistons reçoivent un mouvement alternatif dans les sens opposés.

1598

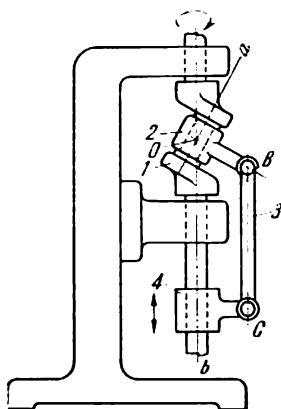
# MÉCANISME À COULISSEAU ET MANIVELLE AVEC PLATEAU OSCILLANT

CM  
PO

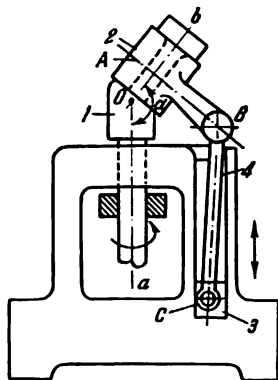
Le plateau 2 est muni d'un doigt  $c$  qui coulisse dans un guidage circulaire fixe  $d-d$  de centre  $O$ . Lorsque la manivelle 1 tourne, le plateau 2 reçoit un mouvement d'oscillation autour du point  $O$ .

1599

# MÉCANISME À COULISSEAU ET MANIVELLE AVEC PLATEAU OSCILLANT

CM  
PO

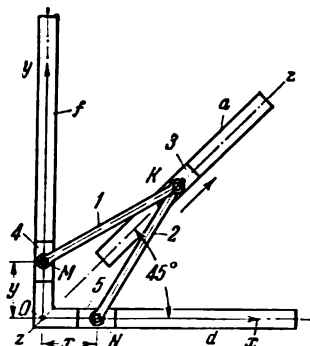
Le plateau 2 effectue un mouvement de rotation autour des axes  $Oa$ ,  $Ob$  et autour de l'axe perpendiculaire au plan de la figure. La bielle 3 constitue un couple sphérique  $B$  avec le plateau 2 et un couple de rotation  $C$  avec l'élément 4. Lorsque la manivelle 1 tourne, l'élément 4 reçoit un mouvement de va-et-vient suivant l'axe de l'arbre de l'élément 1.



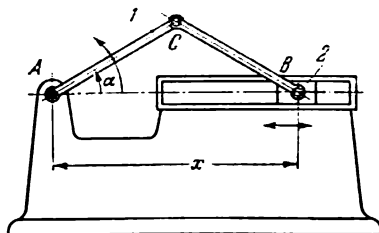
Les axes  $Oa$  et  $Ob$  de la manivelle 1 et du plateau 2 se coupent au point  $O$  en formant un angle  $\alpha$ . Le point  $B$  du plateau 2 suit une circonférence de rayon  $AB$ . Ainsi, le plateau tourne au cours de son mouvement autour des axes  $Oa$ ,  $Ob$  et autour de l'axe perpendiculaire au plan de la figure. La bielle 4 forme un couple sphérique  $B$  avec le plateau 2 et un couple de rotation  $C$  avec le coulisseau 3. Lorsque la manivelle 1 tourne, le coulisseau 3 reçoit un mouvement de va-et-vient.

## 8. Mécanismes pour opérations mathématiques (1601-1602)

1601	<b>MÉCANISME À COULISSEAU ET MANIVELLE POUR PORTER DES SEGMENTS ÉGAUX SUR LES AXES DE COORDONNÉES 1</b>	<b>CM OM</b>
------	---	------------------



Les longueurs des éléments du mécanisme satisfont à la condition  $MK = NK$ . Le coulisseau 3 se meut dans la glissière fixe  $a$  dont l'axe  $Oz$  fait un angle de  $45^\circ$  avec l'axe  $Ox$  de la glissière fixe  $d$  dans laquelle glisse le coulisseau 5. Le coulisseau 4 se meut dans la glissière fixe  $f$  dont l'axe  $Oy$  est perpendiculaire à l'axe  $Ox$ . Les éléments 1 et 2 forment des couples de rotation  $M$  et  $N$  avec les coulisseaux 4 et 5 et un couple de rotation  $K$  avec le coulisseau 3. Lorsque le coulisseau 3 se déplace dans la glissière  $a$ , les points  $M$  et  $N$  délimitent sur les axes de coordonnées des segments de droite égaux  $x$  et  $y$ .

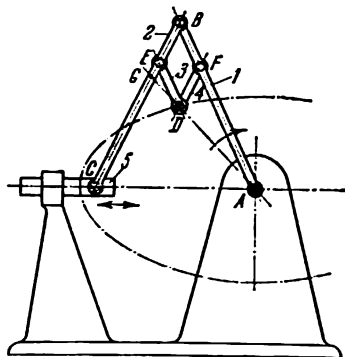


Les longueurs des éléments du mécanisme satisfont à la condition  $AC = CB = l$ . L'axe de la glissière du coulisseau 2 passe par le point  $A$ . Lorsque la manivelle 1 tourne d'un angle  $\alpha$ , le coulisseau 2 vient se fixer à une distance  $x$  du point  $A$ , qui est égale à

$$x = 2l \cos \alpha = 2l \sin \left( \frac{\pi}{2} - \alpha \right).$$

## 9. Mécanismes servant à tracer les courbes (1603-1624)

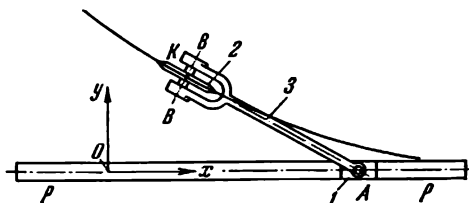
1603	MÉCANISME À QUATRE ÉLÉMENTS DE L'ELLIPSOGRAPHE	CM TC
<div data-bbox="342 386 688 789" data-label="Image"> </div> <p data-bbox="166 825 870 1072">Les coulisseaux 1 et 2 glissent dans les guidages fixes <i>a</i> et <i>b</i> dont les axes sont perpendiculaires entre eux. Les points de l'élément 3 décrivent des ellipses de centre <i>O</i>, les longueurs de leurs demi-axes étant respectivement égales aux distances du point choisi aux points <i>A</i> et <i>B</i>. Le mécanisme est équivalent à un mécanisme de deux roues 4 et 5. Si la roue 4 de rayon <i>AB</i> est fixe et si on fait rouler sans glissement la roue 5 de rayon <i>AB/2</i> sur la roue 4, les points de la roue 5 décriront les mêmes ellipses que celles décrites par l'élément 3 du mécanisme initial.</p>		



Les longueurs des éléments du mécanisme satisfont aux conditions:  $BC = AB$ ;  $BF = ED$  et  $BE = FD$ . Les éléments 1, 2 et 5 forment un ellipsographe. Tout point de l'élément 2 décrit une ellipse. Les éléments 1, 2, 3 et 4 forment un pantographe; le point D décrit donc une ellipse semblable à l'ellipse décrite par le point G de l'élément 2, avec le coefficient de similitude égal à

$$k = \frac{AF}{AB}.$$

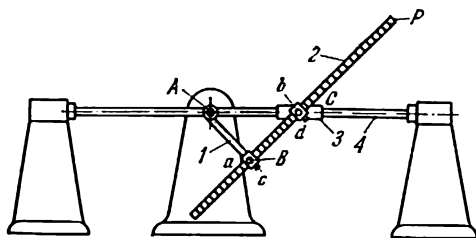




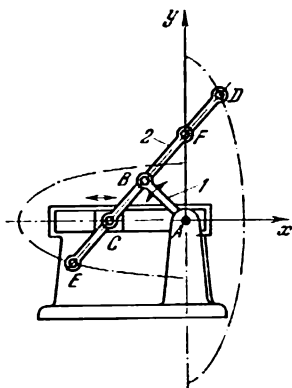
Le coulisseau 1 qui suit une glissière fixe  $p-p$  forme un couple de rotation  $A$  avec l'élément 3. La roue 2 tourne autour d'un axe  $B-B$ . Lorsque le coulisseau 1 se meut le long de la glissière fixe  $p-p$ , la roue 2, s'enfonçant par son bord aigu dans le plan de la figure, roule suivant la droite  $AK$ . L'enveloppante des positions successives de la droite  $AK$  est une tractrice de Huygens qui a pour équation

$$a + \sqrt{a^2 - y^2} = ye^{\frac{x - \sqrt{a^2 - y^2}}{a}},$$

où  $a = AK$  et  $e$  est la base des logarithmes naturels.



Les longueurs des éléments du mécanisme satisfont à la condition  $AB = BC$ . L'élément 2 constitue les couples de rotation  $B$  et  $C$  avec la manivelle 1 et le coulisseau 3 qui glisse sur une tige fixe 4. L'élément 2 peut être fixé dans différentes positions au moyen des vis  $c$  et  $d$ . Lorsque l'élément 1 tourne autour d'un axe fixe  $A$ , le point  $P$  décrit une ellipse dont les paramètres varient avec le changement de position du point  $P$ , ce qui est rendu possible par les vis de serrage  $c$  et  $d$  aux points  $B$  et  $C$ .



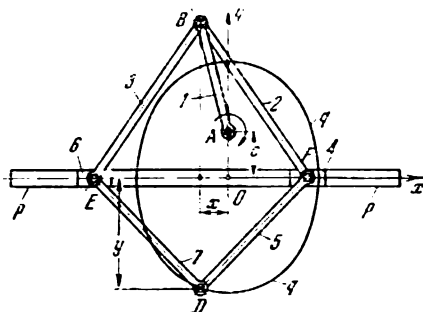
Les longueurs des éléments du mécanisme satisfont à la condition  $AB = BC = BF$ . Le point  $F$  de la bielle se meut suivant un axe  $Ay$ . Les points  $D$  et  $E$  de la bielle 2 décrivent des ellipses dont les équations sont :

$$\frac{x^2}{(FD)^2} + \frac{y^2}{(CD)^2} = 1$$

et

$$\frac{x^2}{(FE)^2} + \frac{y^2}{(CE)^2} = 1.$$

Les autres points de la bielle 2 décrivent également des ellipses orientées différemment par rapport aux axes  $Ax$  et  $Ay$ . Les points situés sur une circonférence dont le diamètre est égal à  $CF$  décrivent des droites qui passent par le point  $A$  ; enfin, le point  $B$  décrit une circonférence.

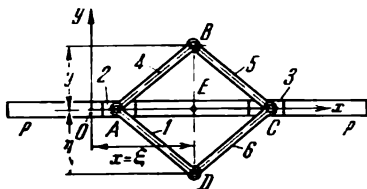


Les longueurs des éléments du mécanisme satisfont aux conditions:  $EB = BF = a$  et  $ED = DF = b$ . La figure  $EBFD$  est un rhomboïde. L'élément 1, mobile autour d'un axe fixe  $A$ , forme des couples de rotation  $B$  avec les éléments 2 et 3. Les éléments 2 et 3 forment des couples de rotation  $F$  et  $E$  avec les coulisseaux 4 et 6 glissant dans la glissière fixe  $p - p$  dont l'axe coïncide avec l'axe  $Ox$ . Les éléments 7 et 5 forment un couple de rotation  $D$  et des couples de rotation  $E$  et  $F$  avec les coulisseaux 6 et 4. Lorsque l'élément 1 tourne autour de l'axe fixe  $A$ , le point  $D$  décrit l'ovale de Cassini qui a pour équation

$$(y^2 + x^2)^2 - 2c^2 (y^2 - x^2) = d^4 - c^4,$$

où  $d^4 = 4(a^2 - b^2)c^2$ ;  $a$ ,  $b$  et  $c$  sont les paramètres constants du mécanisme. Si  $d = c$ , le point  $D$  décrit la lemniscate de Bernoulli dont l'équation est

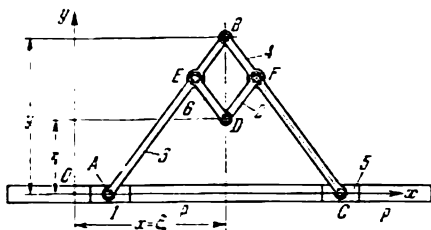
$$(y^2 + x^2) - 2c^2 (y^2 - x^2) = 0.$$



Les longueurs des éléments du mécanisme satisfont à la condition  $AB = BC = CD = DA$ , c'est-à-dire que la figure  $ABCD$  est un losange. Les éléments 1 et 4 forment les couples de rotation  $A$  avec le coulisseau 2, et les éléments 5 et 6 forment les couples de rotation  $C$  avec le coulisseau 3. Les coulisseaux 2 et 3 glissent dans un guidage fixe  $p - p$ . Si l'on fait glisser le point  $B$  sur une courbe ayant pour équation  $F(x, y) = 0$ , le point  $D$  décrira une courbe  $P(\xi, \eta) = 0$ . Les coordonnées  $x, y$  et  $\xi, \eta$  sont liées par les conditions :

$$x = \xi, \quad y = -\eta.$$

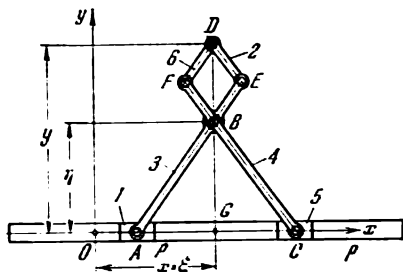
Le mécanisme permet de tracer deux courbes qui sont les images reflétées par rapport à l'axe  $Ox$  ou de construire deux parties d'une même courbe, symétriques par rapport à une droite quelconque.



Les longueurs des éléments du mécanisme satisfont aux conditions:  $AB = BC = m$  et  $EB = BF = FD = DE = n$ . La figure  $EBFD$  est un losange. Les éléments 3 et 4 forment les couples de rotation  $A$  et  $C$  avec les coulisseaux 1 et 5 qui se meuvent dans une glissière fixe  $p - p$ . Si l'on fait glisser le point  $B$  sur une courbe dont l'équation est  $F(x, y) = 0$ , le point  $D$  reproduira une courbe  $P(\xi, \eta) = 0$ . Les coordonnées  $x, y$  et  $\xi, \eta$  sont liées par les conditions:

$$x = \xi \quad \text{et} \quad y = k\eta,$$

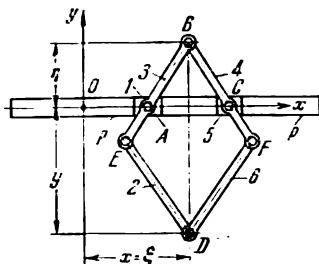
où  $k = \frac{m-2n}{m} = \text{const.}$  La courbe  $P(\xi, \eta) = 0$ , décrite par le point  $D$ , est une projection de la courbe  $F(x, y) = 0$  sur un plan qui forme un angle  $\varphi$  avec le plan de la figure, où  $\cos \varphi = k$ .



Les longueurs des éléments du mécanisme satisfont aux conditions:  $AE = CF = m$  et  $ED = DF = EB = BF = n$ . La figure  $EBFD$  est un losange. Les éléments 3 et 4 forment les couples de rotation A et C avec les coulisseaux 1 et 5 qui se meuvent dans une glissière fixe  $p - p$ . Si l'on fait glisser le point D sur une courbe dont l'équation est  $F(x, y) = 0$ , le point B décrira une courbe  $P(\xi, \eta) = 0$ . Les coordonnées  $x, y$  et  $\xi, \eta$  sont liées par les conditions:

$$x = \xi \quad \text{et} \quad y = k\eta,$$

$$\text{où } k = \frac{m+n}{m-n} = \text{const.}$$

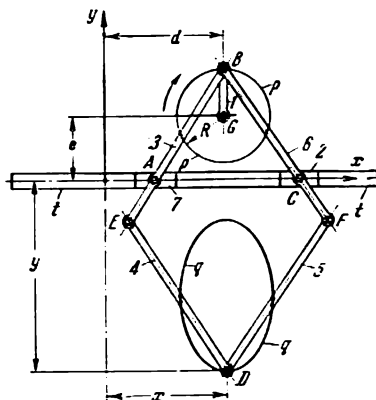


Les longueurs des éléments du mécanisme satisfont aux conditions:  $AE = CF = m$  et  $EB = BF = FD = DE = n$ . La figure  $EBFD$  est un losange. Les éléments 3 et 4 forment les couples de rotation  $A$  et  $C$  avec les coulisseaux 1 et 5 qui glissent dans un guidage fixe  $p - p$ . Si l'on fait glisser le point  $D$  sur une courbe dont l'équation est  $F(x, y) = 0$ , le point  $B$  décrira une courbe  $P(\xi, \eta) = 0$ . Les coordonnées  $x, y$  et  $\xi, \eta$  sont liées par les conditions:

$$x = \xi \quad \text{et} \quad y = k\eta,$$

$$\text{où } k = -\frac{m+n}{n-m} = \text{const.}$$

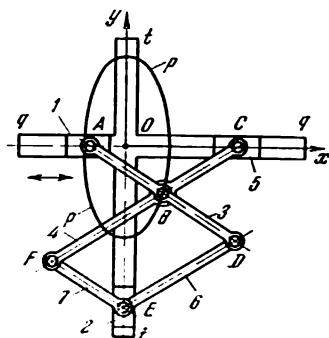




Les longueurs des éléments du mécanisme satisfont aux conditions:  $EB = BF = FD = DE = n$  et  $AB = BC = m$ . La figure  $EBFD$  est un losange. L'élément 1 mobile autour d'un axe fixe  $G$  constitue les couples de rotation  $B$  avec les éléments 3 et 6. Ces derniers forment les couples de rotation  $A$  et  $C$  avec les coulisseaux 7 et 2 glissant dans un guidage fixe  $t - t$ . L'élément 4 forme les couples de rotation  $E$  et  $D$  avec les éléments 3 et 5. L'élément 5 constitue le couple de rotation  $F$  avec l'élément 6. Lorsque l'élément 1 tourne autour de l'axe  $G$ , le point  $D$  décrit une ellipse  $q - q$  qui a pour équation

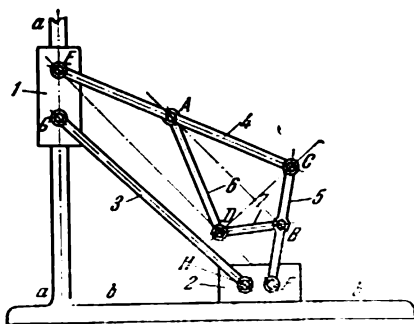
$$k^2x^2 + y^2 - 2k^2ex - 2kdy + (k^2d^2 + k^2e^2 - R^2) = 0,$$

avec  $k = -\frac{n+m}{n-m}$ . Le petit axe de l'ellipse  $q - q$  est égal au diamètre de la circonférence  $p - p$  décrite par le point  $B$  de l'élément 1, et le grand axe est égal au diamètre de la circonférence  $p - p$  multiplié par  $k$ .

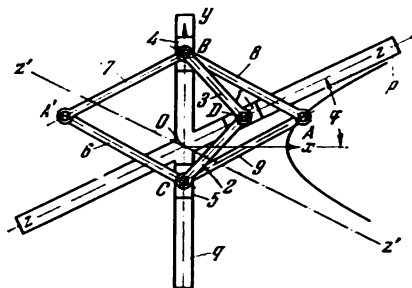


Les longueurs des éléments du mécanisme satisfont aux conditions:  $AB = BC = b$ ;  $FB = ED = a$  et  $BD = FE = c$ . La figure  $FBDE$  est un parallélogramme. Les coulisseaux 1 et 5 se meuvent dans une glissière  $q - q$ , dont l'axe coïncide avec l'axe  $Ox$ , et forment des couples de rotation avec les éléments 3 et 4 qui constituent un couple de rotation  $B$ . Les éléments 6 et 7 forment des couples de rotation  $E$  avec le coulisseau 2 glissant dans une glissière  $t - t$  dont l'axe coïncide avec l'axe  $Oy$ . Lorsque le coulisseau 1 est animé d'un mouvement dans la glissière  $q - q$ , le point  $B$  décrit une ellipse  $p - p$  qui a pour équation

$$\frac{x^2}{(a-c)^2} + \frac{y^2}{b^2} = 1.$$



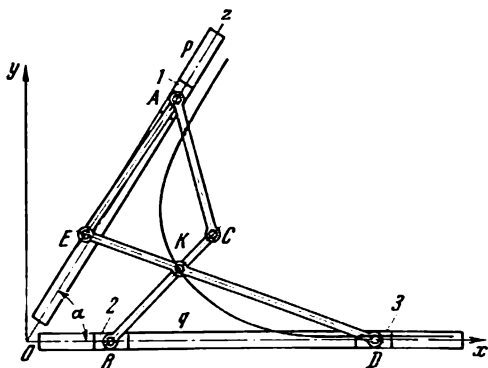
Les longueurs des éléments du mécanisme satisfont aux conditions:  $EA = AC = AD = 1/2 EC$ ;  $FB = BC = BD = 1/2 CF$ . Les coulisseaux 1 et 2 glissent dans des guidages fixes  $a - a$  et  $b - b$ . L'élément 3 forme les couples de rotation  $G$  et  $H$  avec les coulisseaux 1 et 2. Les éléments 4 et 5 forment les couples de rotation  $E$  et  $F$  avec les coulisseaux 1 et 2 et les couples de rotation  $A$  et  $B$  avec les éléments 6 et 7. Les longueurs des éléments étant conformes aux rapports adoptés le point  $D$  se trouve toujours sur une droite qui réunit les points  $E$  et  $F$ ; la direction  $AB$  est parallèle à la direction  $EF$ , et la direction  $CD$  est perpendiculaire à la direction  $EF$ . Lorsque les coulisseaux 1 et 2 se meuvent dans les guidages fixes, perpendiculaires entre eux, et les longueurs des éléments sont conformes aux rapports adoptés, le point  $D$  décrit le profil du cintre de l'aile d'avion, proposé par N. E. Joukovski.



Les longueurs des éléments du mécanisme satisfont aux conditions:  $AB = A'B = A'C = AC = a$  et  $BD = DC = b$ . Les éléments 2, 3, 6, 7, 8 et 9 constituent donc un inverseur. Le coulisseau 1 se meut dans une glissière fixe  $p$ . Les coulisseaux 4 et 5 se meuvent dans une glissière fixe  $q$ . Les axes  $Oy$  et  $Oz$  des glissières  $q$  et  $p$  forment un angle égal à  $90^\circ - \varphi$ . Lorsque le coulisseau 1 se meut dans la glissière  $p$ , les points  $A$  et  $A'$  décrivent deux branches d'une hyperbole dont les asymptotes sont les droites  $z - z'$  et  $z' - z$ . L'équation de l'hyperbole s'écrit

$$\frac{x^2}{a^2 - b^2} - \frac{y^2}{k^2 (a^2 - b^2)} = 1,$$

où  $k = \operatorname{tg}^2 \varphi$ .



Le coulisseau 1 se meut dans une glissière fixe  $p$ . Les coulisseaux 2 et 3 glissent dans une glissière fixe  $q$ . Les axes  $Ox$  et  $Oz$  de ces glissières forment un angle  $\alpha$ . Si la condition

$$(KE)^2 + (CA)^2 = (KC)^2 + (EA)^2$$

est remplie, lors du mouvement du coulisseau 1 le point  $K$  du mécanisme décrit une hyperbole qui a pour équation

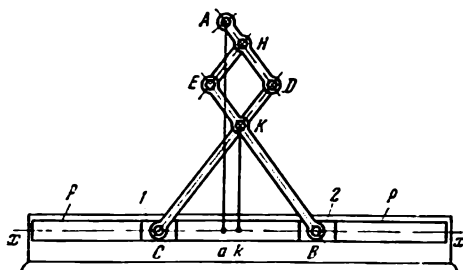
$$a^2 x^2 + y^2 (1 + 2d) - 2a (1 + d) xy + c^2 - b^2 = 0,$$

où

$$a = \operatorname{tg} \alpha;$$

$$d = \frac{KE}{KD} = \frac{KC}{KB};$$

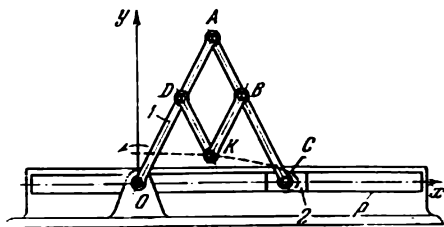
$$c = KE; \quad b = AE.$$



Les longueurs des éléments du mécanisme satisfont aux conditions:  $CD = BE$ ;  $HE = HD$ ;  $EK = KD$ . Les coulisseaux 1 et 2 se meuvent dans une glissière fixe  $p - p$ . Lorsqu'on suit avec le point A la trace d'une figure plane, le point K de ce mécanisme reproduit cette même figure à une échelle modifiée dans le sens perpendiculaire à l'axe  $x - x$ . Le coefficient de réduction  $\tau$  sera:

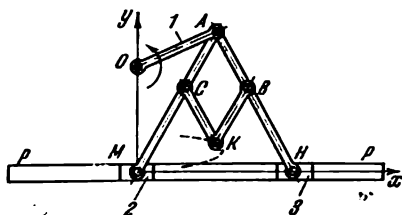
$$\tau = \frac{Kk}{Aa} = \frac{KC}{AD + DC}.$$

Dans le sens de l'axe  $x - x$  il n'y aura pas de changement de dimensions. Avec  $\tau = \frac{1}{\sqrt{3}}$ , la condition de projection isométrique est satisfaite.



Les longueurs des éléments du mécanisme satisfont aux conditions:  $OA = AC = l$  et  $AD = DK = KB = BA = a$ . La manivelle 1 tourne autour d'un axe fixe  $O$ . Le coulisseau 2 se meut dans une glissière fixe  $p$ . Lorsque la manivelle 1 tourne, le point  $K$  décrit une ellipse dont l'équation est

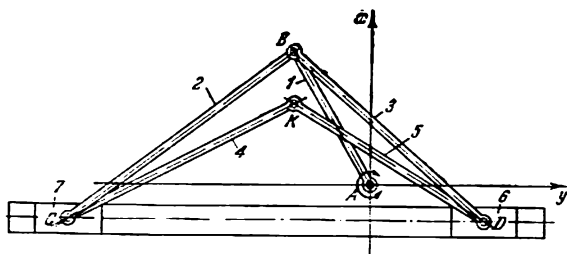
$$\frac{x^2}{l^2} + \frac{y^2}{(l+2a)^2} = 1.$$



Les longueurs des éléments du mécanisme satisfont aux conditions:  $AM = AH = l$  et  $AB = BK = KC = CA = a$ . La manivelle 1 tourne autour d'un axe fixe  $O$ . Les coulisseaux 2 et 3 se meuvent dans une glissière fixe  $p - p$ . Lorsque la manivelle 1 tourne, le point  $K$  décrit une ellipse dont le demi grand axe est égal à la longueur de la manivelle  $OA$  et dont le demi petit axe est égal à la longueur de la manivelle multipliée par le coefficient  $m$ :

$$m = 1 - 2 \frac{a}{l}.$$

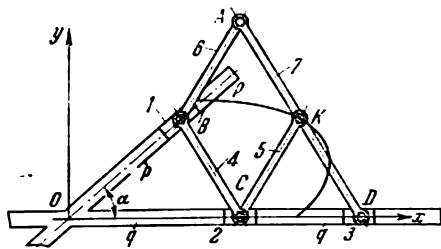




Les longueurs des éléments du mécanisme satisfont aux conditions:  $(BC)^2 - (KC)^2 = (BD)^2 - (DK)^2 = (AB)^2$ . L'élément 1 tourne autour d'un axe fixe A. Les éléments 2 et 3 forment des couples cinématiques de rotation avec l'élément 1 et les coulisseaux 6 et 7 qui se meuvent dans une glissière fixe  $p - p$ . Les éléments 4 et 5 constituent un couple de rotation K; ils forment encore les couples de rotation C et D avec les éléments 2 et 3. Lorsque l'élément 1 tourne autour de l'axe A, le point K décrit l'ovale de Cassini qui a pour équation

$$(x^2 + y^2 + a^2)^2 - 4a^2x^2 - 4a^2r^2 = 0,$$

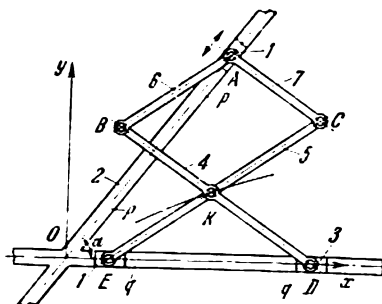
avec  $a = OA$  et  $r = AB$ . Les longueurs des éléments étant conformes aux rapports adoptés, les points K et B se trouvent sur une même droite perpendiculaire à l'axe Oy.



Les longueurs des éléments du mécanisme satisfont aux conditions:  $AB = BC = CK = KA = KD = l$ . Le coulisseau 1 se meut dans une glissière fixe  $p - p$ . Les coulisseaux 2 et 3 se déplacent dans une glissière fixe  $q - q$  dont l'axe forme un angle  $\alpha$  avec l'axe de la glissière  $p - p$ . Les éléments 4 et 5 forment des couples de rotation  $C$  avec le coulisseau 2. L'élément 7 forme un couple de rotation  $D$  avec le coulisseau 3, un couple de rotation  $K$  avec l'élément 5 et un couple de rotation  $A$  avec l'élément 6. L'élément 6 et l'élément 4 forment des couples de rotation  $B$  avec le coulisseau 1. Au cours du mouvement du coulisseau 1, le point  $K$  décrit une ellipse qui a pour équation

$$4a^2x^2 + (1 + a^2)y^2 - 4axy - 4a^2l^2 = 0,$$

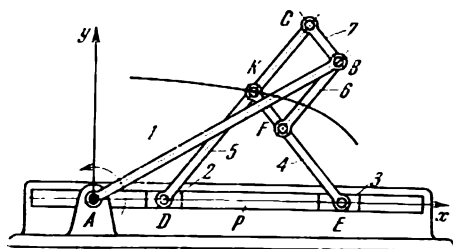
$$\text{où } a = \operatorname{tg} \alpha.$$



Les longueurs des éléments du mécanisme satisfont aux conditions:  $EK = KD = l$ ;  $KB = CA = q_2 l$ ;  $KC = BA = q_1 l$ , où  $q_1$  et  $q_2$  sont des coefficients arbitraires sans dimension. Le coulisseau 1 se meut dans une glissière fixe  $p - p$ . Les coulisseaux 2 et 3 glissent dans une glissière fixe  $q - q$  dont l'axe fait un angle  $\alpha$  avec l'axe de la glissière  $p - p$ . Les éléments 4 et 5 forment les couples de rotation  $E$  et  $D$  avec les coulisseaux 2 et 3 et les couples de rotation  $B$  et  $C$  avec les éléments 6 et 7 qui forment des couples de rotation  $A$  avec le coulisseau 1. Lors du mouvement du coulisseau 1, le point  $K$  décrit une ellipse qui a pour équation

$$ax^2 + [(1 + q_1 + q_2)^2 + a^2 (q_2 - q_1)^2] y^2 - 2a (1 + q_1 + q_2) xy - a^2 (q_2 - q_1)^2 l = 0,$$

où  $a = \operatorname{tg} \alpha$ .

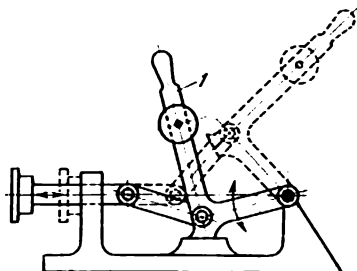


Les longueurs des éléments du mécanisme satisfont aux conditions:  $DK = KE = a$ ;  $KC = FB = c$ ;  $KF = CB = b$  et  $AB = a + b + c$ . La manivelle 1 tourne autour d'un axe fixe A. Les coulisseaux 2 et 3 glissent dans une glissière fixe p. Les éléments 5 et 4 forment les couples de rotation D et E avec les coulisseaux 2 et 3 et les couples de rotation C et F avec les éléments 6 et 7 qui forment un couple de rotation B avec la manivelle 1. Lorsque la manivelle 1 tourne, le point K décrit une ellipse qui a pour équation

$$\frac{x^2}{(a-2b)^2} + \frac{y^2}{a^2} = 1.$$

# 10. Mécanismes d'arrêt, de blocage et de verrouillage (1625-1628)

1625	<b>MÉCANISME À COULISSEAU ET MANIVELLE DU LEVIER DE VERROUILLAGE</b>	<b>CM AV</b>
<div data-bbox="422 392 609 813" data-label="Image"> </div> <p data-bbox="163 853 870 978">           Pour verrouiller, on doit tourner le levier 1 autour d'un axe fixe A dans le sens de la flèche et le faire passer de la position représentée en pointillé à la position indiquée sur le dessin en traits continus. Dans la position de départ les axes de la manivelle 1 et de la bielle 2 coïncident.         </p>		



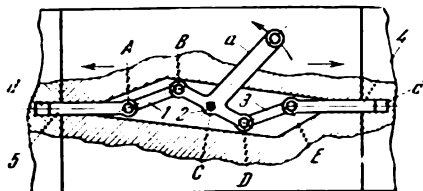
Au moment de verrouillage le levier 1 se trouve dans la position indiquée sur le dessin. On a représenté en traits discontinus le même levier dans sa position de repos.

1627

# MÉCANISME À COULISSEAU ET MANIVELLE DU VERROU À DEUX SENS

CM

AV



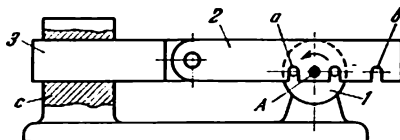
Lorsqu'on tourne le manche *a* dans le sens de la flèche, les axes des éléments 1, 2 et 3 s'alignent sur une même droite, c.-à-d. que les points *A*, *B*, *C*, *D* et *E* seront situés sur une même droite. Les éléments 4 et 5 entreranno alors dans leurs logements respectifs *d* jusqu'à l'arrêt.

1628

# MÉCANISME À COULISSEAU ET MANIVELLE DE LA SERRURE

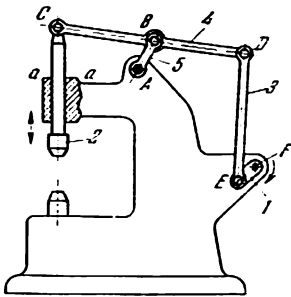
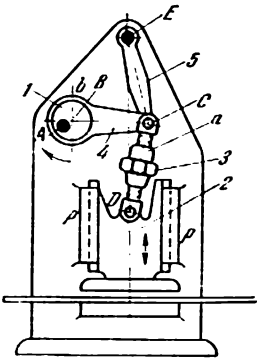
CM

AV



L'élément 1 mobile autour d'un axe fixe *A* possède des ergots *a*. Le coulisseau 3 qui est le pêne de la serrure glisse dans un guidage fixe *c*. Lorsque l'élément 1 tourne dans le sens de la flèche, la bielle 2 provoque le déplacement du coulisseau 3 en fermant la serrure. Lorsque la serrure est fermée, l'ergot gauche *a* s'engage dans le creux *b*.

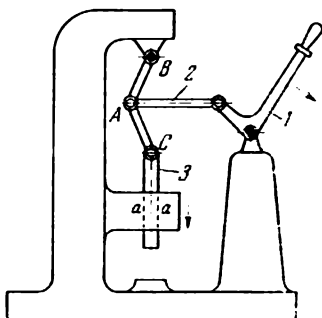
## 11. Mécanismes des marteaux, des presses et des emboutisseuses (1629-1633)

1629	<b>MÉCANISME À COULISSEAU ET MANIVELLE, À SIX ÉLÉMENTS DU MARTEAU</b>	<b>CM MP<sub>r</sub></b>
	 <p data-bbox="529 322 866 694">L'élément 3 constitue un couple de rotation <math>D</math> avec la bielle 4 du mécanisme à coulisseau et manivelle <math>ABC</math> dont le coulisseau 2, réalisé sous la forme d'une panne de marteau, glisse dans un guidage fixe <math>a - a</math>. La manivelle 1 qui forme un couple de rotation <math>E</math> avec l'élément 3 tourne autour d'un axe fixe <math>F</math>. Lorsque la manivelle 1 tourne, le marteau 2 reçoit un mouvement de va-et-vient.</p>	
1630	<b>MÉCANISME À COULISSEAU ET MANIVELLE DE LA PRESSE</b>	<b>CM MP<sub>r</sub></b>
	 <p data-bbox="529 829 866 1222">L'excentrique 1 tourne sur un axe fixe <math>A</math>. La bielle 4 du mécanisme à quatre éléments articulés <math>ABCE</math> possède une bague <math>b</math> qui embrasse l'excentrique 1. L'élément 3 forme les couples de rotation <math>C</math> et <math>D</math> avec le levier oscillant 5 et le coulisseau 2 qui se meut dans un guidage fixe <math>p - p</math>. Lorsque l'excentrique 1 tourne, le coulisseau 2 reçoit un mouvement de va-et-vient. La course du coulisseau 2 est réglée par un dispositif à vis <math>a</math>.</p>	



1631

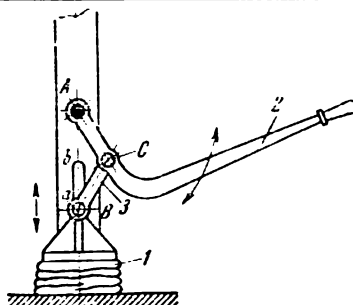
# MÉCANISME À COULISSEAU ET MANIVELLE DE LA PRESSE À MAIN

CM  
MPr

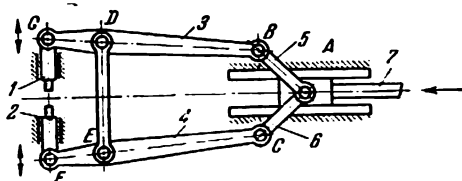
Les longueurs des éléments du mécanisme satisfont à la condition  $AB = AC$ . L'élément 3, de forme prismatique, se meut dans un guidage  $a - a$ . Lorsque le levier 1 tourne, l'élément 3 reçoit un mouvement de translation et effectue le pressage de l'objet.

1632

# MÉCANISME À COULISSEAU ET MANIVELLE, À TROIS ÉLÉMENTS DE LA PRESSE À MAIN

CM  
MPr

La bielle 3 comporte en B un galet  $a$  glissant dans une rainure  $b$  dont la largeur est égale au diamètre du galet  $a$ . Le pressage d'un objet 1 se produit grâce à l'effort appliqué au manche du levier 2 qui joue le rôle de la manivelle dans le mécanisme à coulisseau et manivelle ABC.



Les longueurs des éléments du mécanisme satisfont aux conditions:  $AB = AC$ ;  $BG = CF$  et  $BD = CE$ . Lorsque le coulisseau 7 se déplace dans le sens de la flèche, les éléments 1 et 2 se rapprochent symétriquement, en effectuant le pressage. Comme les éléments 3, 4 et 5, 6 possèdent deux degrés de liberté, leurs efforts s'égalisent toujours.

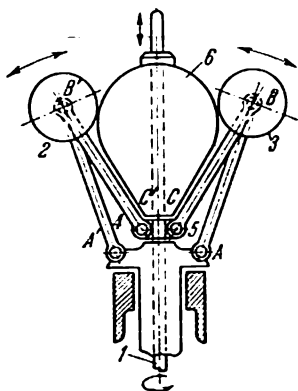
## 12. Mécanismes des régulateurs (1634-1639)

1634	<b>MÉCANISME À COULISSEAU ET MANIVELLE DU RÉGULATEUR CENTRIFUGE</b>	<b>CM Rg</b>
	<div data-bbox="370 297 660 796" data-label="Image"> </div> <p data-bbox="166 815 868 1158"> Les longueurs des éléments du mécanisme satisfont aux conditions: <math>AC = A_1C_1</math>; <math>CD = C_1D_1</math>; <math>CB = C_1B_1</math>. Les boules 7 sont de poids égal. On met en mouvement le régulateur à l'aide d'une paire de roues coniques 1 et 2. Une autre paire de roues coniques 3 et 3' qui comportent des doigts a est montée sur le manchon 6 de l'arbre vertical. Lorsque la vitesse de rotation augmente, les boules 7 relèvent le manchon 6, et le doigt b, relié à ce manchon, vient alors en prise avec le doigt a du pignon conique supérieur qui engrène avec la roue 4, et l'arbre 5 tourne et régularise l'amenée de l'eau (ou de la vapeur). Lorsque la vitesse de rotation diminue, le manchon s'abaisse, le doigt b vient en prise avec le doigt a de la roue 3, et l'arbre 5, en tournant, augmente l'amenée de l'eau (de la vapeur). </p>	

1635

# MÉCANISME À COULISSEAU ET MANIVELLE DU RÉGULATEUR CENTRIFUGE

CM  
Rg

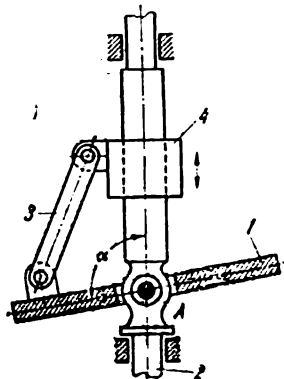


Les longueurs des éléments du mécanisme satisfont aux conditions:  $AB = A'B'$  et  $BC = B'C'$ . Les boules 2 et 3 sont de poids égal. Lorsque la vitesse de rotation de l'arbre 1 varie, les boules 2 et 3 s'écartent ou se rapprochent de l'axe, déplaçant l'élément 6 le long de l'arbre 1.

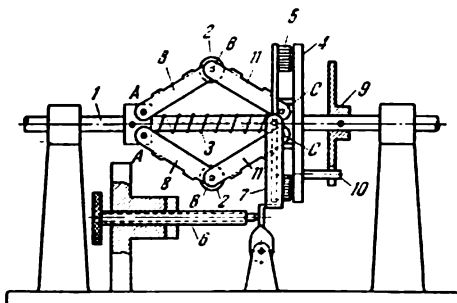
1636

# MÉCANISME À COULISSEAU ET MANIVELLE DU RÉGULATEUR CENTRIFUGE

CM  
Rg



L'élément 1 se présente sous la forme d'un plateau circulaire mobile autour d'un axe fixe A. La valeur de l'angle  $\alpha$  d'inclinaison du plateau 1 par rapport à l'axe de rotation de l'arbre 2 est fonction de la force centrifuge. Lorsque l'angle  $\alpha$  varie, la bague 4 se déplace à l'aide de la bielle 3 le long de l'axe de rotation de l'arbre 1.

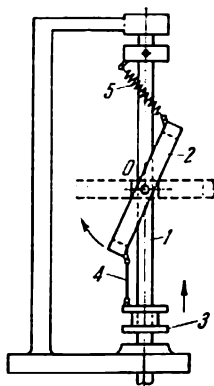


Les longueurs des éléments du mécanisme satisfont à la condition  $AB = BC$ . Les éléments 8 tournent autour des axes A de l'arbre 1. Les bielles 11 forment aux points C des couples de rotation avec un plateau de frein 4 glissant sur l'arbre 1. Lorsque l'arbre 1 tourne, les charges 2 s'écartent sous l'effet de la force centrifuge et, surmontant la résistance du ressort 3, serrent le plateau de frein 4 contre une bague portant des balais 5 qui peuvent être déplacés axialement par une vis 6 à l'aide d'un porte-balais en fourche 7. Le disque 9 et le doigt 10 permettent d'éviter aux éléments 8, qui portent les charges 2, le travail à la flexion et à la torsion.

1638

# MÉCANISME À COULISSEAU ET MANIVELLE DU RÉGULATEUR CENTRIFUGE

CM  
Rg

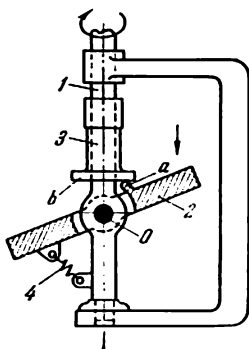


L'élément 2 est un plateau ou une bague à jante lourde. Lorsque la vitesse de rotation de l'arbre 1 varie, l'élément 2 tourne sur un axe  $O$  sous l'action des forces centrifuges en déplaçant l'élément 3 le long de l'axe de l'arbre 1 au moyen de la tige 4. Le ressort 5 tend à ramener l'élément 2 à sa position de départ.

1639

# MÉCANISME À COULISSE, À TROIS ÉLÉMENTS DU RÉGULATEUR CENTRIFUGE À RESSORT

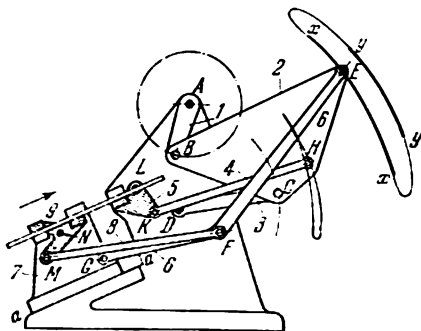
CM  
Rg



L'élément 2 qui se présente sous la forme d'un plateau lourd possède un doigt  $a$  qui glisse sur le plan  $b$  de l'élément 3. Lorsque la vitesse de rotation de l'arbre 1 varie, l'élément 2 tourne sous l'effet des forces centrifuges sur un axe fixe  $O$ , en déplaçant l'élément 3 le long de l'arbre 1. Le ressort 4 tend à ramener l'élément 2 à sa position de départ.

### 13. Mécanismes des griffes, des serres et des entretoises (1640-1644)

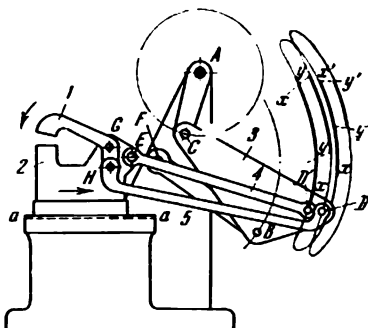
1640	<b>MÉCANISME À COULISSEAU ET MANIVELLE SERVANT À SERRER UNE BANDE</b>	<b>CM GS</b>
	<div data-bbox="169 329 467 672" data-label="Image"> </div> <div data-bbox="495 322 871 594" data-label="Text"> <p>Le coulisseau 3, glissant dans le guidage du bâti 4, serre la bande 5 au moyen de la manivelle 1. On peut varier la longueur de la bielle 2, qui forme les couples de rotation A et B avec la manivelle 1 et le coulisseau 3, en faisant tourner la tête 6 solidaire de la vis 7 qui porte des filets à gauche et des filets à droite.</p> </div>	
1641	<b>MÉCANISME À COULISSEAU ET MANIVELLE DE PRISE ET D'AVANCEMENT DE PIÈCES</b>	<b>CM GS</b>
	<div data-bbox="319 815 731 1029" data-label="Image"> </div> <div data-bbox="163 1033 871 1229" data-label="Text"> <p>Les longueurs des éléments du mécanisme satisfont aux conditions: <math>AB = AF</math>; <math>BC = FG = CG</math>; <math>CK = GK = 3 AB</math>; <math>KE = 2,2 AB</math>; <math>DE = 1,2 AB</math>; <math>CD = 4,6 AB</math>. Le coulisseau 7 est mis en mouvement dans une glissière <math>a - a</math> par une bielle 6 entraînée par la manivelle double 1 au moyen des éléments intermédiaires 2 et 5. Le serrage de la pièce est réalisé par l'élément 4 tournant sur l'axe E du coulisseau 7 à l'aide d'un élément intermédiaire 3. *</p> </div>	



Les longueurs des éléments du mécanisme satisfont aux conditions:  $BC = 2,2 AB$ ;  $CE = 2,6 AB$ ;  $BE = 3,6 AB$ ;  $EH = 2,5 AB$ ;  $CH = 0,8 AB$ ;  $DC = 1,9 AB$ ;  $AD = 2 AB$ ;  $MF = 3,4 AB$ ;  $EF = 3,9 AB$ ;  $GF = 2,3 AB$ ;  $HK = 3,1 AB$  et  $KL = MN = 0,55 AB$ . Le coulisseau 7 est mis en mouvement de va-et-vient dans une glissière  $a - a$  par l'élément 6 qui forme, au point E, un couple de rotation avec la bielle 2. Le coulisseau 7 marque des temps d'arrêt au moment où le point E parcourt les parties  $x - x$  et  $y - y$  de sa trajectoire, ces parties de trajet pouvant être remplacées de façon approximative par les arcs de cercles décrits à partir des positions respectives du point G. L'élément 8 agissant sur l'élément 9 serre périodiquement la pièce puis la relâche. L'élément 5, sur lequel agit l'élément 4 qui forme en H un couple de rotation avec la bielle 2, reprend la pièce au moment où elle est relâchée.

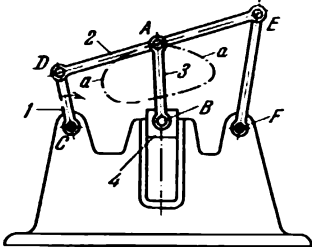
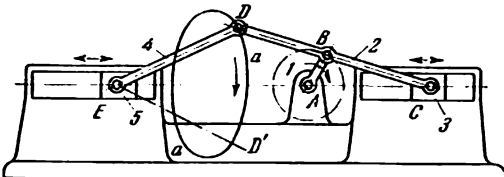


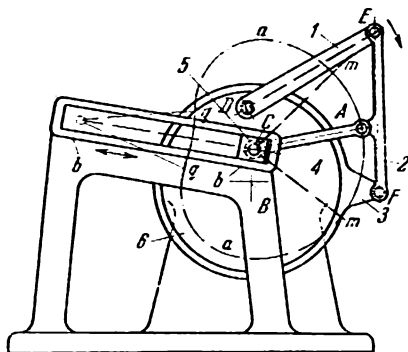




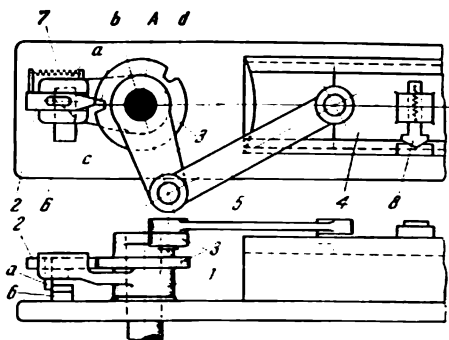
Les longueurs des éléments du mécanisme satisfont aux conditions suivantes:  $BC = 2 AC$ ;  $BD' = 0,9 AC$ ;  $BD = 1,1 AC$ ;  $CD = 2,55 AC$ ;  $CD' = 2,32 AC$ ;  $BF = 2 AC$ ;  $AF = 1,6 AC$ ;  $ED' = 2,8 AC$ ;  $HD = 3,6 AC$ ;  $HG = 0,35 AC$ . La bielle 3 agit sur les éléments 4 et 5. L'élément 4 forme un couple de rotation E avec le coulisseau 2 qui se meut dans une glissière  $a - a$ . L'élément 5 forme un couple de rotation H avec l'élément 1 qui tourne autour de l'axe G du coulisseau 2. Le coulisseau 2 marque des temps d'arrêt au moment où le point D' suit les parties  $x - x$  et  $x' - x'$  de sa trajectoire, ces parties pouvant être remplacées de façon approximative par les arcs de cercles décrits à partir des positions respectives du point E. La pièce est saisie par l'élément 1 au moment où le point D suit les parties  $y - y$  et  $y' - y'$  de sa trajectoire, ces parties pouvant être remplacées de façon approximative par les arcs de cercles décrits à partir des positions respectives du point H.

## 14. Mécanismes avec arrêts (1645-1648)

1645	<b>MÉCANISME À COULISSEAU ET BIELLE AVEC ARRÊT</b>	<b>CM Ar</b>
	 <p>La bielle 3 forme les couples de rotation <math>A</math> et <math>B</math> avec l'élément 2 du quadrilatère articulé <math>CDEF</math> et avec le coulisseau 4. Lorsque la manivelle 1 est en mouvement, le coulisseau 4 reste presque immobile sur les parties où la trajectoire <math>a - a</math> du point <math>A</math> se rapproche d'une circonférence ayant pour centre le point <math>B</math>, c'est-à-dire que le coulisseau 4 marque pratiquement un temps d'arrêt.</p>	
1646	<b>MÉCANISME À COULISSEAU ET MANIVELLE, À BIELLE ET COULISSEAU AUXILIAIRES AVEC ARRÊTS</b>	<b>CM Ar</b>
	 <p>Les longueurs des éléments du mécanisme satisfont aux conditions: <math>BC = 3 AB</math>; <math>BD = 2,5 AB</math>; <math>ED = 3,5 AB</math>. La trajectoire <math>a - a</math> du point <math>D</math> se rapproche sur sa partie <math>DD'</math> d'une circonférence tracée par le rayon <math>ED</math> à partir du point <math>E</math>. Le coulisseau 5 reste presque sans mouvement quand le point <math>D</math> suit cette partie de sa trajectoire.</p>	



La bielle 4 constitue un couple de rotation  $C$  avec le coulisseau 5 qui se meut dans une glissière fixe  $b - b$  et un couple de rotation  $A$  avec la bielle 2 du quadrilatère articulé à deux manivelles  $DEFB$ . La manivelle 3 se présente sous l'aspect d'une bague qui entoure un disque circulaire fixe 6 ayant pour centre le point  $B$ . Le point  $A$  de la bielle 2 décrit une courbe de bielle  $a - a$  dont deux parties  $q - q$  et  $m - m$ , indiquées sur la figure en traits mixtes, sont proches d'arcs de cercles dont les centres coïncident avec le point  $C$  et dont les rayons sont égaux à la longueur  $CA$  de la bielle 4. Pendant que le point  $A$  parcourt ces parties de la trajectoire, le coulisseau 5 reste presque sans mouvement, c'est-à-dire qu'il marque pratiquement un temps d'arrêt à chacune de ses positions extrêmes.



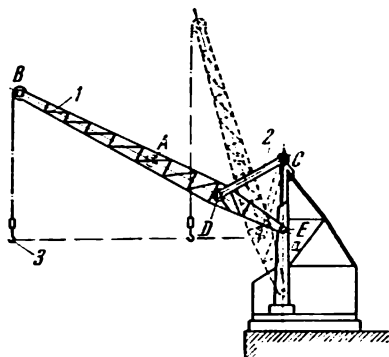
On fixe rigidement sur l'arbre *A* le levier *1* par rapport auquel se déplace le coulisseau *2* qui vient en prise avec la manivelle *3*. Lorsque la manivelle *3* tourne, la bielle *5* imprime un mouvement de va-et-vient au coulisseau *4*. Lorsque le levier *1* tourne, l'ergot *a* du coulisseau *2* atteint le biseau *c* de la came fixe *6* et glisse sur ce biseau. Le coulisseau *2*, surmontant la résistance du ressort *7*, se déplace à gauche et sort du creux *b* de la manivelle *3*. Le coulisseau *4* s'arrête dans une position déterminée qui est fixée par un verrou à ressort *8*. Lorsque le levier *1* poursuit sa rotation, le coulisseau *2* se trouve engagé dans le creux *d* de la manivelle *3*, et le coulisseau *4* reprend son mouvement. Le coulisseau *4* effectue ainsi un mouvement alternatif avec des arrêts.

## 15. Mécanismes des appareils de levage (1649)

1649

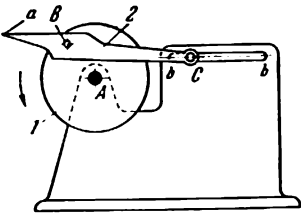
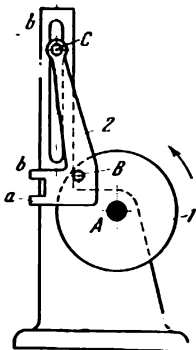
MÉCANISME A COULISSEAU ET MANIVELLE  
DE LA GRUE

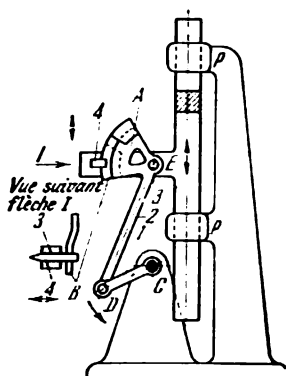
CM  
AL



Les longueurs des éléments du mécanisme satisfont à la condition  $CD = DE = AD$ . L'élément 2 tourne autour d'un axe fixe  $C$ . La flèche 1 glisse par son pied  $E$  dans une glissière fixe  $a$ . Lorsque le point  $E$  de la flèche 1 se meut dans la glissière fixe  $a$ , le point  $A$  de la flèche de grue effectue un mouvement rectiligne dans la direction  $AC$ . Le point  $B$  suit un arc d'ellipse. Lorsqu'on varie la portée de la flèche, le câble étant filé comme il convient, le crochet porte-charge 3 se déplace horizontalement.

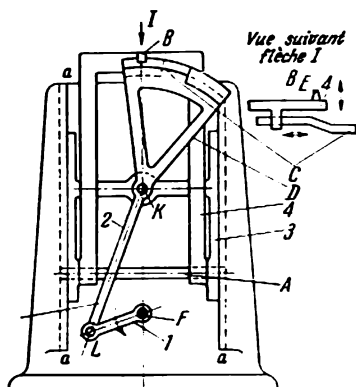
## 16. Mécanismes à griffe des caméras (1650-1657)

1650	<b>MÉCANISME À COULISSEAU ET MANIVELLE, À TROIS ÉLÉMENTS DE LA GRIFFE DE LA CAMÉRA</b>	<b>CM GC</b>
	<p>Lors de la rotation de la manivelle 1 du mécanisme ABC à coulisseau et manivelle, à trois éléments, la pointe de la dent a de l'élément 2 décrit une courbe de bielle. Le doigt C de l'élément 2 glisse dans une rainure fixe b — b. Sur une partie de la courbe de bielle, la dent a s'introduit dans les perforations de la pellicule et la fait avancer. Sur l'autre partie de la courbe de bielle, la dent a sort des perforations de la pellicule.</p>	
1651	<b>MÉCANISME À COULISSEAU ET MANIVELLE, À TROIS ÉLÉMENTS DE LA GRIFFE DE LA CAMÉRA</b>	<b>CM GC</b>
	<p>Lors de la rotation de la manivelle 1 du mécanisme ABC à coulisseau et manivelle, à trois éléments, la pointe de la dent a de l'élément 2 décrit une courbe de bielle. Le doigt C de l'élément 2 coulisse dans une rainure fixe b — b. Sur une partie de la courbe de bielle, la dent a s'introduit dans les perforations de la pellicule et la fait avancer. Sur l'autre partie de la courbe de bielle, la dent a sort des perforations de la pellicule.</p>	

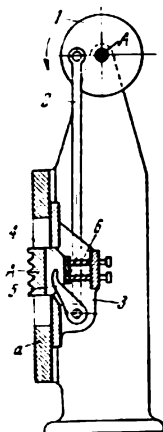


La manivelle 1 tourne autour d'un axe fixe C. La bielle 2 forme les couples de rotation D et E avec la manivelle 1 et le coulisseau 3, glissant dans un guidage fixe  $p - p$ , et possède un secteur A. Le bord B du secteur A est de forme courbe. L'ergot 4 présente un creux qui embrasse le bord B. Lorsque la manivelle tourne, le coulisseau 3 effectue un mouvement de va-et-vient. L'ergot 4 se meut avec le coulisseau 3. Lorsque le coulisseau 3 se déplace vers le bas, le secteur A introduit dans la perforation de la pellicule l'ergot 4 qui fait avancer la pellicule. Lorsque le coulisseau 3 se déplace vers le haut, le secteur A fait sortir l'ergot 4 de la perforation de la pellicule.

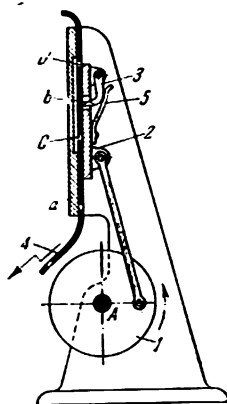




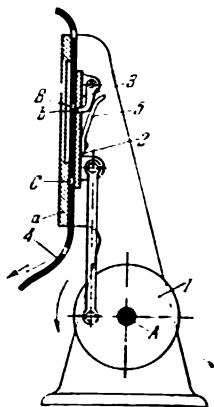
La manivelle 1 tourne sur un axe fixe F. La bielle 2 forme les couples de rotation L et K avec la manivelle 1 et le coulisseau 3 glissant dans un guidage fixe a — a et comporte un secteur D. Le cadre 4 mobile autour de l'axe A du coulisseau 3 possède une griffe B qui glisse sur le bord courbe C du secteur D. Lorsque la manivelle 1 tourne, le coulisseau 3 reçoit un mouvement de va-et-vient. Le cadre 4 tourne sur l'axe A, en se déplaçant avec lui. La griffe B du cadre 4 vient en prise avec le bord à gradin C du secteur D. Lorsque le coulisseau 3 se déplace vers le bas, le secteur D fait entrer les dents E fixées sur le cadre 4 dans les perforations de la pellicule. Lorsque le coulisseau 3 se déplace vers le haut, les dents E sortent des perforations.



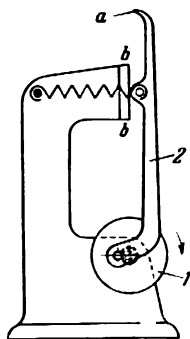
La manivelle 1 tourne sur un axe fixe A. Le coulisseau 3 glisse dans un guidage fixe a. Lorsque la manivelle 1 tourne, le coulisseau 3 reçoit un mouvement de va-et-vient. L'élément 4 muni de dents A se déplace avec le coulisseau 3. L'élément 5 solidaire de la bielle 2 fait sortir les dents A de l'élément 4 des perforations de la pellicule, où elles sont introduites par le ressort 6.



La manivelle 1 tourne sur un axe fixe A. Le coulisseau 2 glisse dans un guidage fixe a dont l'axe passe par le point A. Lorsque la manivelle 1 tourne, le coulisseau 2, sur lequel sont fixés le cliquet 3 et le ressort 5, reçoit un mouvement de va-et-vient. Lorsque le coulisseau 2 se déplace vers le haut, le cliquet 3 sort de la perforation C de la pellicule 4 et glisse sur cette dernière par sa surface arrondie b ; lorsque le coulisseau 2 se déplace vers le bas, le cliquet 3 entre dans la perforation B de la pellicule 4 sous l'action du ressort 5 et la déplace vers le bas.



Lorsque la manivelle 1 tourne autour d'un axe fixe A, le coulisseau 2, sur lequel sont fixés le cliquet 3 et le ressort 5, reçoit un mouvement de va-et-vient et glisse sur un guidage fixe a. Lorsque le coulisseau 2 se déplace vers le haut, le cliquet 3 sort de la perforation C de la pellicule 4 glissant sur cette dernière par sa surface arrondie b; lorsque le coulisseau 2 se déplace vers le bas, le cliquet 3 entre dans la perforation B de la pellicule 4 sous l'action du ressort 5 et la déplace vers le bas.]



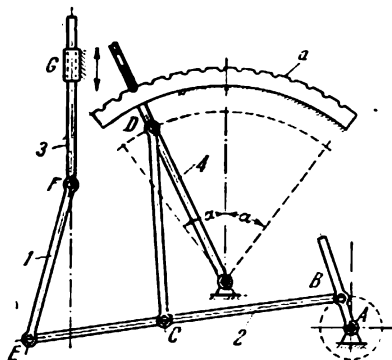
Lorsque la manivelle 1 tourne, la pointe de la dent *a* de la bielle 2 qui glisse sur le plan *b — b* du support décrit une courbe de bielle complexe. Sur une partie de cette courbe, la dent *a* s'introduit dans les perforations de la pellicule et la fait avancer. Sur l'autre partie de la courbe de bielle, la dent *a* sort de la perforation de la pellicule.

# 17. Mécanismes de distribution de vapeur (1658-1659)

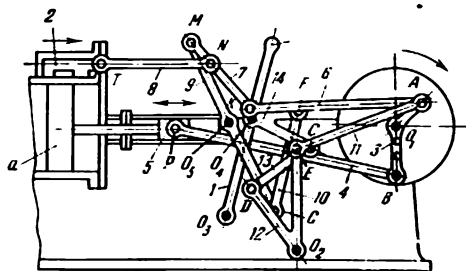
1658

MÉCANISME À COULISSEAU ET MANIVELLE  
DE DISTRIBUTION DE VAPEUR

CM  
DV



La bielle 1 forme des couples de rotation  $E$  et  $F$  avec la bielle 2 du quadrilatère articulé  $ABCD$  et la tige 3 associée au tiroir  $G$ . On règle la course du tiroir en mettant le levier 4 en telle ou telle position dans les limites d'un angle égal à  $2\alpha$  et en fixant ce levier sur le secteur cannelé  $a$ .



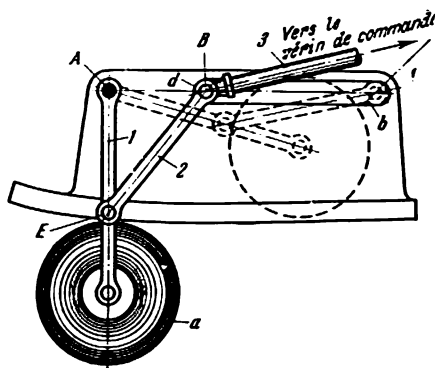
La manivelle coudée 3 tourne sur un axe fixe  $O_1$ . La bielle 4 qui forme les couples de rotation  $B$  et  $P$  avec la manivelle 3 et le coulisseau 5 actionne le piston  $a$  de la machine à vapeur. La transmission de mouvement au tiroir 2 est réalisée à l'aide d'un système complexe de leviers. L'élément 7 qui forme en  $N$  un couple de rotation avec la bielle 8 du tiroir 2 est actionné d'une part par la manivelle 3 au moyen de la bielle 6 et, de l'autre, par la même manivelle au moyen des éléments 11, 12, 13, 14, 10 et 9. Les éléments 12 et 9 tournent alors autour des axes fixes  $O_2$  et  $O_5$ , l'élément 14, autour de l'axe fixe  $O_4$  du levier 1 tournant sur un axe fixe  $O_3$ . Le levier 1 peut être fixé en diverses positions, ce qui entraîne un changement dans la position de l'axe fixe  $O_4$  de rotation du levier 14. La trajectoire du point  $N$  de l'élément 7 varie de façon analogue et, par suite, le caractère de mouvement du tiroir 2. On voit sur le schéma le levier 1 dans sa position extrême qui correspond à la longueur maximale de la course du tiroir 2.

# 18. Mécanismes des trains d'atterrissage (1660-1664)

1660

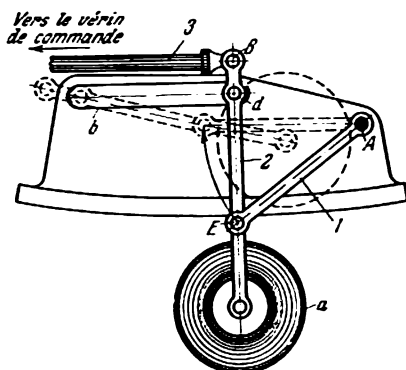
MÉCANISME À COULISSEAU ET MANIVELLE  
DU TRAIN D'ATTERRISSAGE ESCAMOTABLE

CM  
Tat

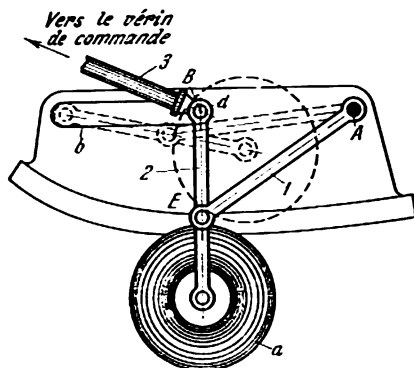


L'élément 1 portant la roue *a* tourne sur un axe fixe *A* du cadre de l'avion. La bielle 2 qui forme un couple de rotation *E* avec l'élément 1 glisse par son bout *d* dans un guidage fixe *b*. L'élément 2 est actionné par la tige 3 du cylindre de vérin, laquelle constitue un couple de rotation *B* avec l'élément 2. Lorsque la tige 3 descend dans le cylindre de vérin, les éléments 1 et 2 prennent les positions indiquées en traits discontinus. Dans cette position le train d'atterrissage se trouve relevé.

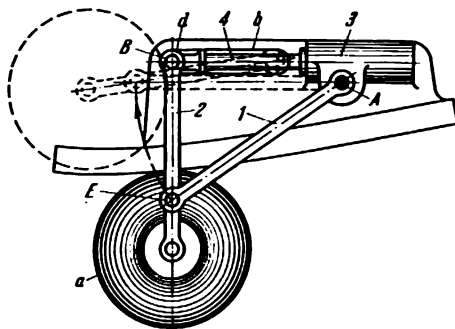




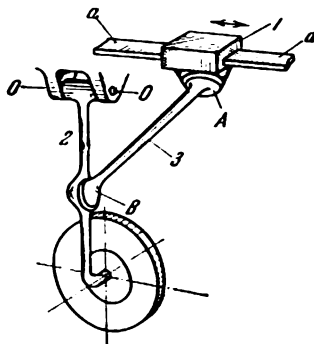
L'élément 1 tourne sur un axe fixe A du cadre de l'avion. La bielle 2 portant la roue a, qui forme un couple de rotation E avec l'élément 1, glisse par son bout d dans un guidage fixe b. L'élément 2 est actionné par la tige 3 du cylindre de vérin, laquelle forme un couple de rotation B avec l'élément 2. Lorsque la tige 3 descend dans le cylindre de vérin, l'élément 1 tourne dans le sens de la flèche, et le mécanisme prend la position où la roue est relevée (figurée en traits discontinus).



L'élément 1 tourne sur un axe fixe A qui appartient au cadre d'avion. La bielle 2 portant la roue a forme un couple de rotation E avec l'élément 1 et glisse par son extrémité d dans un guidage fixe b. L'élément 2 est actionné par la tige 3 du vérin de commande du train, laquelle forme un couple de rotation B avec l'élément 2. Lorsque la tige 3 descend dans le cylindre de vérin, les éléments 1 et 2 prennent la position où la roue est relevée (figurée en traits discontinus).



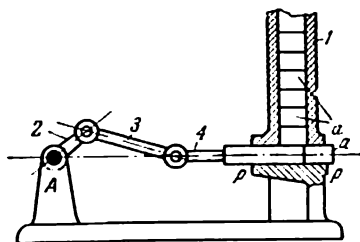
L'élément 1 tourne sur un axe fixe A du cadre de l'avion. La bielle 2 portant la roue a forme un couple de rotation E avec l'élément 1 et glisse par son extrémité d dans un guidage fixe b. L'élément 2 est actionné par la tige 4 du vérin de commande du train 3, laquelle forme un couple de rotation B avec l'élément 2. Lorsque la tige 4 descend dans le cylindre de vérin 3, les éléments 1 et 2 prennent la position où la roue est relevée (figurée en traits discontinus).



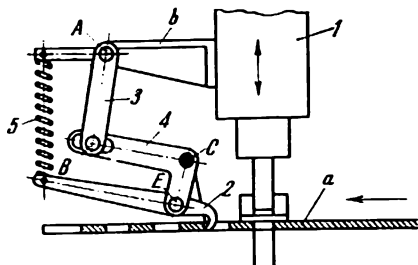
L'élément 2 tourne sur un axe fixe  $O - O$ . L'élément 1 glisse dans un guidage fixe  $a - a$ . L'élément 3 constitue deux articulations à rotule  $A$  et  $B$  avec le coulisseau 1 et l'élément 2. Lorsque le coulisseau 1 est animé d'un mouvement de translation dans le guidage fixe  $a - a$ , l'élément 2 tourne sur un axe  $O - O$ , assurant ainsi le relevage de la roue d'avion.

## 19. Mécanismes de triage, d'avance et d'alimentation (1665-1669)

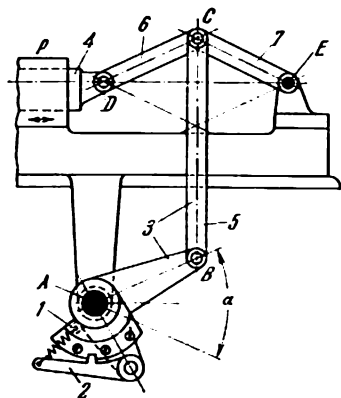
1665	MÉCANISME DE TRIAGE À COULISSEAU ET MANIVELLE	CM TA
<div data-bbox="284 354 735 721" data-label="Image"> </div> <p data-bbox="166 768 868 1210">L'excentrique circulaire 1 tourne sur un axe fixe A. L'élément 4 qui comporte la bague k embrassant l'excentrique 1 forme un couple de rotation B avec la traverse 5. La traverse 5 forme les couples de rotation C et D avec les coulisseaux 2 et 3 glissant dans les guidages fixes p et q. Le mécanisme assure le contrôle de la hauteur de la partie inférieure b d'une pièce a. La pièce, amenée par le tube c, tombe sur une base fixe. Le tube c est fixé sur le coulisseau 2 animé d'un mouvement de va-et-vient lorsque l'excentrique 1 est en rotation. Le coulisseau 2 fait entrer la partie b de la pièce dans un calibre d. La pièce passe par sa partie inférieure b à travers le calibre d, tombe dans un trou e et est placée de côté. La pièce qui n'a pas pu passer par le calibre d tombe dans un trou f au retour du coulisseau 2 pour être amenée ensuite dans le tube g fixé sur le coulisseau inférieur 3 qui la fait entrer dans le calibre m. Les pièces qui ont passé par le calibre m tombent dans le trou n de la partie l du bâti. Les autres pièces tombent dans le trou e.</p>		



Les pièces *a* sont amenées de la trémie *1* sur une aire *p — p*. Un mécanisme (non figuré sur le schéma) permet à la manivelle *2* d'opérer périodiquement un tour complet à partir de sa position extrême gauche. La manivelle tournant autour d'un axe fixe *A* met en mouvement, à l'aide de la bielle *3*, la tige *4* qui déplace la pièce *a* et la fait tomber dans un récepteur non figuré sur le dessin. Après le retour de la manivelle *2* à sa position extrême gauche, une nouvelle pièce *a* prend place sur l'aire *p — p*.

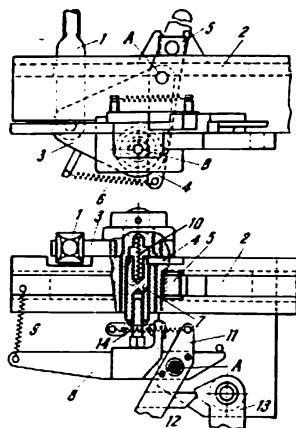


Le coulisseau 1 d'une presse, comportant le support *b* solidaire de ce coulisseau, est animé d'un mouvement de va-et-vient dans un guidage vertical non figuré sur le dessin. L'élément 3 forme les couples de rotation *A* et *B* avec les éléments 1 et 4. L'élément 4, mobile autour d'un axe fixe *C*, forme un couple de rotation *E* avec le crochet 2. Lorsque le coulisseau 1 de la presse descend, le crochet 2 fait une course à vide. Lorsque le coulisseau de la presse remonte, le crochet 2 accroche la bande *a* et la fait avancer vers la gauche. On règle les longueurs de course du crochet et de la bande du matériau en déplaçant et en fixant le bout inférieur de la tige 3 dans l'encoche de l'élément 4 et en variant la course du coulisseau de la presse. Le ressort 5 appuie constamment le crochet 2 contre la bande *a*.



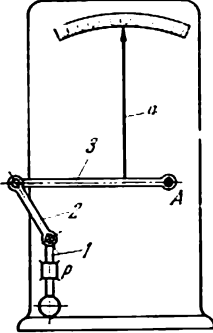
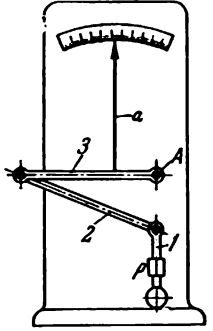
Les longueurs des éléments du mécanisme satisfont à la condition  $CD = CE$ . Le mouvement d'oscillation de l'arbre  $A$  solidaire du secteur  $1$  est transmis par l'intermédiaire du cliquet  $2$  au levier coudé  $3$  monté fou sur l'arbre  $A$ . Le levier coudé  $3$ , s'écartant à un angle  $\alpha$ , communique un mouvement de va-et-vient au coulisseau  $4$ , qui glisse dans un guidage fixe  $p$ , à l'aide des éléments  $5$ ,  $6$  et de l'élément  $7$  mobile autour d'un axe fixe  $E$ . Si le coulisseau  $4$  se coince, le levier coudé  $3$  ne reçoit pas de mouvement, étant donné qu'un effort supplémentaire décroche le cliquet  $2$  du secteur  $1$ , et l'arbre  $A$  effectue un mouvement d'oscillation à vide.



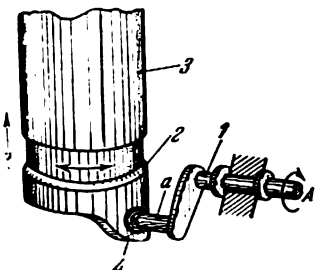


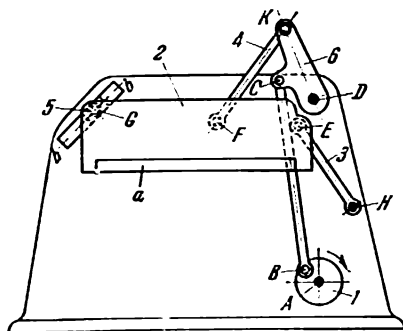
Lorsque l'élément 1 est animé d'un mouvement de va-et-vient, les leviers articulés 3, 4 et l'élément 5 impriment un mouvement au coulisseau 2 qui amène les pièces à la presse. Le levier 3 tourne sur un axe B et constitue un couple de rotation A avec le levier 4 qui s'engage dans l'entaille du plongeur 7 et qui est sollicité par le ressort 6. Au cas où le coulisseau 2 serait surchargé, ce qui se produit si les pièces à amener se coincent, le coulisseau s'arrête, et l'extrémité inférieure du levier 4, surmontant la résistance du ressort 6, sort de l'entaille du plongeur 7, laissant ainsi tourner le levier 8 autour de l'axe A sous l'effet du ressort 9. Le plongeur 7 se déplace alors vers le haut, comprimant le ressort 10. En même temps que le levier 8, le levier 11, tendant le ressort 14, tourne sur un axe A, et son cliquet 12 se décroche de l'élément 13. L'élément 13 tournant sous l'action d'un ressort non figuré sur le dessin débraye la presse. Après avoir supprimé ce qui fait obstacle, on remet le cliquet 12 en prise avec l'élément 13. Le plongeur 7 actionné par le ressort comprimé vient dans sa position inférieure et empêche le levier 8 de tourner. Le levier 4 sollicité par le ressort 6 vient en prise avec le plongeur 7, et le coulisseau 2 reçoit de nouveau le mouvement de va-et-vient.

## 20. Mécanismes des dispositifs de mesure et d'essai (1670-1671)

1670	<b>MÉCANISME À COULISSEAU ET LEVIER OSCILLANT DU MICROMÈTRE</b>	<b>CM ME</b>
	<p>L'élément 3 portant l'aiguille <i>a</i> tourne sur un axe fixe <i>A</i>. La tige de mesure <i>1</i> glisse dans un guide fixe <i>p</i>. Le déplacement de la tige de mesure <i>1</i> est transmis à l'aiguille <i>a</i> par les éléments 2 et 3.</p>	
1671	<b>MÉCANISME À COULISSEAU ET LEVIER OSCILLANT DU MICROMÈTRE</b>	<b>CM ME</b>
	<p>L'élément 3 portant l'aiguille <i>a</i> tourne sur un axe fixe <i>A</i>. La tige de mesure <i>1</i> glisse dans un guide fixe <i>p</i>. Le déplacement de la tige de mesure <i>1</i> est transmis à l'aiguille <i>a</i> par les éléments 2 et 3.</p>	

## 21. Mécanismes d'autres dispositifs spéciaux (1672-1683)

1672	MÉCANISME TRIDIMENSIONNEL À COULISSEAU ET MANIVELLE DE DISTRIBUTION PAR LUMIÈRES DU MOTEUR	CM DSp
	 <p>The diagram illustrates a mechanical linkage system. A vertical cylinder, labeled 3, is fixed in place. A sleeve, labeled 2, is designed to slide along the length of this cylinder. A crank, labeled 1, is pivoted at one end to a fixed axis, labeled A. The other end of the crank features a finger, labeled a, which is in contact with the sleeve. A connecting rod, labeled 4, is attached to the finger 'a' and the sleeve. As the crank 1 rotates around axis A, the finger 'a' moves along the surface of the sleeve 2, causing it to slide vertically along the cylinder 3. The connecting rod 4 also moves in a complex path due to this interaction.</p> <p>La manivelle 1 tournant sur un axe fixe A possède un doigt a qui, lorsque la manivelle est en mouvement, glisse et pivote par rapport à la pièce 4 constituant une articulation à rotule avec la douille 2. La douille 2, se présentant sous la forme d'un cylindre creux à parois minces, glisse le long de l'axe du cylindre immobile 3, tournant en même temps d'un angle déterminé.</p>	

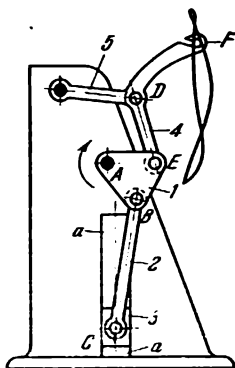


Le cadre 2 du couteau *a* forme les couples de rotation *E*, *F* et *G* avec les éléments 3, 4 et le coulisseau 5. L'élément 3 tourne sur un axe fixe *H*. Le coulisseau 5 se meut dans une glissière fixe *b — b*. L'élément 4 constitue le couple de rotation *K* avec le levier oscillant 6' du quadrilatère articulé *ABCD*. Lorsque la manivelle 1 est en mouvement, le cadre 2 portant le couteau *a* reçoit un mouvement complexe qui permet de procéder au cisaillement.

1674

**MÉCANISME À COULISSEAU ET MANIVELLE  
DU GUIDE-FIL ET DU GUIDE-AIGUILLE  
DE LA MACHINE À COUDRE**

CM  
DSp

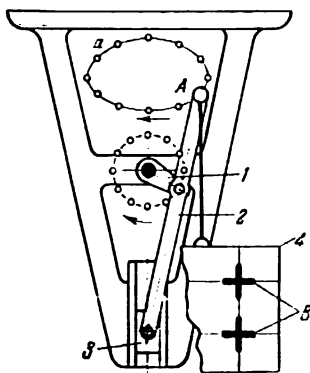


Le coulisseau 3 du mécanisme à coulisseau et manivelle ABC est animé d'un mouvement de va-et-vient dans une glissière  $a - a$ . La bielle 4 reliée à la manivelle 1 en E articule en D sur l'élément 5. Lorsque la manivelle 1 tourne, le coulisseau 3 relié à l'aiguille effectue un mouvement de va-et-vient. Le point F de la bielle 4 décrit la courbe représentée sur la figure, utilisée pour le guidage du fil.

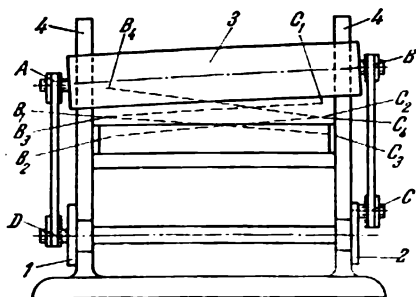
1675

**MÉCANISME À COULISSEAU ET MANIVELLE  
DU CADRE À LAMPES DE L'APPAREIL  
DE REPRODUCTION**

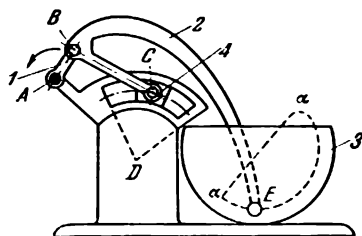
CM  
DSp



Lorsque la manivelle 1 est en mouvement, le cadre à lampes 4 suspendu au point A de la bielle 2 du mécanisme à coulisseau et manivelle 1-2-3 et les lampes B qu'il comporte sont animés d'un mouvement de translation et décrivent des courbes de bielle semblables à la courbe  $a$ .



Lorsque les plateaux 1 et 2 tournent à la même vitesse angulaire, la lame de cisaille mobile 3 monte et descend dans des glissières fixes 4, en prenant les positions  $B_1 - C_1$ ,  $B_2 - C_2$ ,  $B_3 - C_3$ , ... ; l'angle d'inclinaison de la lame par rapport au plan à couper varie périodiquement. On trouve aux points A, B, C, D des articulations à rotule qui sont décalées de  $90^\circ$  les unes par rapport aux autres aux points D et C sur les plateaux 1 et 2.

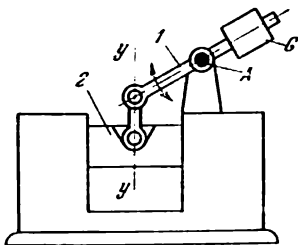


Lorsque la manivelle 1 est animée d'un mouvement, le point E de la bielle 2 décrit une trajectoire  $\alpha - \alpha$ . La bielle 2 se présente sous la forme d'un bras destiné à pétrir la pâte dans la cuve 3. Le coulisseau 4 suit un guidage circulaire ayant pour centre le point D. Le mécanisme est équivalent au mécanisme ABCD à levier oscillant et manivelle, à quatre éléments, où AB est une manivelle et CD, un levier oscillant.

1678

# MÉCANISME À COULISSEAU ET LEVIER OSCILLANT DE LA VANNE

CM  
DSp

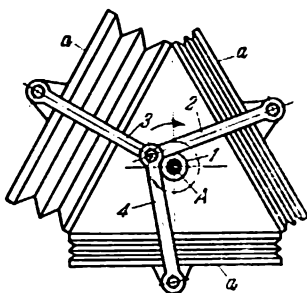


Lorsque l'élément 1 oscille autour d'un axe fixe A, l'élément 2 (une vanne) est animé d'un mouvement de va-et-vient le long de l'axe  $y - y$ . La charge G fait équilibre au poids de la vanne 2.

1679

# MÉCANISME À COULISSEAU ET MANIVELLE DU SOUFFLET TRIPLE

CM  
DSp

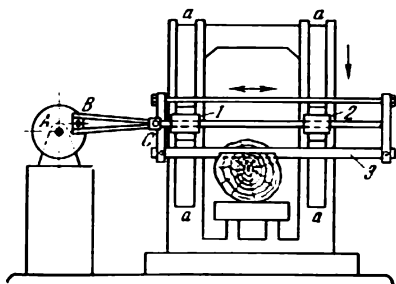


Lorsque la manivelle 1 portant trois bielles 2, 3, 4 reliées à cette manivelle est animée d'un mouvement de rotation, chacun des soufflets a effectue à tour de rôle l'aspiration et le refoulement de l'air.



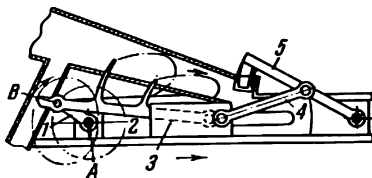
1680	<b>MÉCANISME À COULISSEAU ET LEVIER OSCILLANT DE LA SOUFFLERIE DE FORGE</b>	<b>CM Dsp</b>
	<div data-bbox="304 265 723 462" data-label="Image"> </div> <p data-bbox="168 505 866 654">Lorsque le levier 1 est en mouvement d'oscillation, les soufflets d'alimentation 2 et 3 effectuent à tour de rôle l'aspiration et le refoulement de l'air. Le soufflet supérieur à deux canons 4 sert à égaliser l'alimentation en air. En chargeant le soufflet 4 avec le poids 5, on peut régler la pression de soufflage.</p>	
1681	<b>MÉCANISME À COULISSEAU ET LEVIER OSCILLANT DE LA SOUFFLERIE DE FORGE</b>	<b>CM Dsp</b>
	<div data-bbox="350 862 689 1056" data-label="Image"> </div> <p data-bbox="168 1105 866 1205">Lorsque le levier 1 est en mouvement d'oscillation, le soufflet 3 effectue alternativement l'aspiration et le refoulement de l'air. Le soufflet supérieur 4 sert à égaliser l'amenée de l'air.</p>	

1682

**MÉCANISME À COULISSEAU ET MANIVELLE  
DE LA SCIE ALTERNATIVE**
**CM  
DSp**


Les coulisseaux 1 et 2 sont animés d'un mouvement de va-et-vient dans des glissières a — a et impriment au châssis 3 un mouvement vertical. Le déplacement horizontal du châssis est réalisé par le mécanisme ABC à coulisseau et manivelle.

1683

**MÉCANISME À COULISSEAU ET MANIVELLE  
DE LA PRESSE À FOURRAGES  
AVEC BIELLE ET LEVIER OSCILLANT ADJOINTS**
**CM  
DSp**


La manivelle 1 tournant autour d'un axe A agit sur le piston de la presse 3. Le foin est amené par les doigts fixés sur la bielle 2. Le levier oscillant 5 recevant de l'élément 4 un mouvement d'oscillation refoule le foin dans le canal de pressage.

## INDEX ALPHABÉTIQUE

**Conicographe à coulisse et leviers 199**  
— — — d'Artobolevski 198, 200-202  
— — — de Crawford 194  
— — — de Kaminski 195, 196  
— — — de Vlassov 197

**Ellipsographe à coulisse de Léonard de Vinci 138**  
— à coulisse et leviers 123, 134  
— — — d'Artobolevski 122  
— — — de Dobrovolski 129  
— — — d'Inwards 124  
— — — de Kleiber 127, 128  
— à coulisseau et manivelle de Delaunay 645

**Hyperbolographe à coulisse et leviers 146, 150**  
— — — d'Artobolevski 149, 153, 154, 166  
— — — de Dobrovolski 152  
— — — d'Inwards 145  
— — — de Lebeau 151, 165  
— — — de Neuberg 141  
— — — de Rotsch 142  
— — — de Viatkine 144  
— — — — servant à tracer les hyperboles 143

**Mécanisme additionneur à coulisse et leviers 335-338**  
— de l'antiparallélogramme avec bielle et coulisseau associés 566  
— — avec coulisseau animé de mouvement de translation 567  
— d'avance à coulisse et leviers 448  
— — à coulisseau et levier oscillant avec dispositif de sécurité 692

- Mécanisme d'avance à coulisseau et manivelle 691
- — avec arrêt à coulisse et leviers 450
- — par rouleaux à coulisse et leviers 451
- axial à coulisseau et manivelle 541
- — — — de la griffe de la caméra 679
- — — — d'un moteur 601
- — — — du moteur à deux cylindres 612
- à bielle et deux coulisseaux 549j
- à bielle et manivelle avec tourillon élargi 554
- conchoïdal à quatre éléments, à coulisse et leviers et à guidage rectiligne 428-430
- à coulisse d'Artobolevski servant à tracer les centroïdes d'un mécanisme à coulisse 327
- — — — les centroïdes d'un mécanisme à coulisse avec coulisseau oscillant 328
- — — — les centroïdes d'un mécanisme à coulisse avec deux coulisseaux oscillants 324
- — — — les centroïdes d'un mécanisme à coulisseau et manivelle 323
- — — — les centroïdes du mécanisme de l'ellipsographe 325
- — — — les centroïdes d'un mécanisme à tangente 326
- — — servant à tracer les roulettes des centroïdes d'un mécanisme à coulisse 321
- — — — les roulettes des centroïdes d'un mécanisme à coulisse avec coulisseau oscillant 320
- — — — les roulettes des centroïdes d'un mécanisme à coulisseau et manivelle 318
- — — — les roulettes des centroïdes d'un mécanisme à tangente 319
- à coulisse de l'accouplement avec éléments élastiques 466
- — de Burstein servant à élever à la troisième puissance 354
- — du compas 74
- — avec disque accouplé 79
- — de la fraiseuse servant à exécuter des cames à profil sinusoidal 525
- — du frein centrifuge 397
- — de la griffe d'une caméra 453
- — de la machine à piston 471
- — pour obtenir les sinus 358
- — servant à la dérivation graphique 376
- — servant à obtenir les sécantes 373
- — servant à obtenir les tangentes 361
- — du trisecteur 372
- —, à trois éléments 18
- —, à trois éléments avec un arrêt 412

Mécanisme à coulisse, à trois éléments avec arrêts 411

- —, à trois éléments avec coulisse animée d'un mouvement de translation 15
- —, à trois éléments avec coulisse arquée 13-15
- —, à trois éléments avec coulisse curviligne 20
- —, à trois éléments avec coulisse oscillante 11
- —, à trois éléments avec coulisse rectiligne 20
- —, à trois éléments avec coulisse suspendue 12
- —, à trois éléments avec coulisse tournante 11
- —, à trois éléments avec deux guidages 14
- —, à trois éléments de la griffe d'une caméra 453, 454, 458, 463
- —, à trois éléments du régulateur centrifuge à ressort 666
- —, à trois éléments servant à obtenir les sécantes 358
- —, à trois éléments servant à obtenir les sinus 357, 360
- à trois éléments avec segment denté de la griffe d'une caméra 455, 456
- à coulisse, à quatre éléments 33
- —, à quatre éléments d'accrochage du fil 529
- —, à quatre éléments animés d'un mouvement de translation 38
- —, à quatre éléments avec butées de sûreté 31
- —, à quatre éléments avec coulisse animée d'un mouvement de translation 26
- —, à quatre éléments avec coulisse arquée 38-39, 40-43, 45-48
- —, à quatre éléments avec coulisse arquée animée d'un mouvement composé 43
- —, à quatre éléments avec coulisse arquée animé d'un mouvement de translation 42
- —, à quatre éléments avec coulisse cruciforme 27
- —, à quatre éléments avec coulisse cruciforme tournante 28
- —, à quatre éléments avec coulisse de forme angulaire 50
- —, à quatre éléments avec coulisse oscillante 22, 34
- —, à quatre éléments avec coulisse suspendue 23
- —, à quatre éléments avec coulisse tournante 24, 30
- —, à quatre éléments avec coulisseau arqué tournant 42
- —, à quatre éléments avec deux coulisseaux 29
- —, à quatre éléments avec dispositif de réglage de la griffe d'une caméra 461
- —, à quatre éléments avec un élément animé d'un mouvement de translation 49, 51
- —, à quatre éléments avec un élément en croisillon 44
- —, à quatre éléments avec manivelle de longueur réglable 50
- —, à quatre éléments avec rapport de transmission réglable 70, 71
- —, à quatre éléments avec ressort 74
- —, à quatre éléments avec segment denté de la griffe d'une caméra 457

**Mécanisme à coulisse, à quatre éléments, commandé par une bielle  
35**

- —, à quatre éléments du cylindre oscillant 468
- —, à quatre éléments du cylindre tournant 35, 471, 476
- —, à quatre éléments de la griffe d'une caméra 459
- —, à quatre éléments du joint d'Oldham 32
- —, à quatre éléments du laminoir 530
- —, à quatre éléments du multiplicateur d'angles 371
- —, à quatre éléments de Newton servant à tracer la cissoïde de Dioclès 204
- —, à quatre éléments servant à tracer l'arc de la développante 314
- —, à quatre éléments servant à tracer la cardioïde 222, 227
- —, à quatre éléments servant à tracer la conchoïde de la droite 229
- —, à quatre éléments servant à tracer le limaçon de Pascal 221
- —, à quatre éléments servant à tracer la spirale logarithmique 313
- —, à quatre éléments servant à tracer la strophoïde 215
- à quatre éléments avec coulisse arquée 37
- — — de l'ellipsographe 635
- — — pour tracer la tractrice de Huygens 637
- à quatre éléments articulés du moteur avec bielle et coulisseau auxiliaires 622-625
- — — du moteur à deux bielles et coulisseaux auxiliaires 621
- à coulisse et élément élastique de la griffe d'une caméra 462
- à coulisse et excentrique 96, 97
- — — avec deux coulisseaux 36
- — — avec organe commandé à course réglable 113
- — — du couteau 514
- — — de déplacement de l'excavateur 517
- — —, à mouvement intermittent 425, 426
- — — du régulateur 401
- — —, à trois éléments servant à obtenir les sinus 359
- à coulisse et leviers de l'accouplement 465
- — — de l'aiguille de la machine à coudre 527
- — — de l'aiguille et du tiro-fil de la machine à coudre 527
- — — d'alimentation en couleur dans la machine à impression 531
- — — d'avancement de l'étoffe dans la machine à coudre 526, 528
- — — avec un arrêt 413-418
- — — avec arrêts 419, 421-424
- — — avec bielle et coulisseau 93
- — — avec coulisse oscillante 82

- Mécanisme à coulisse et leviers avec coulisse suspendue 82, 83  
 — — — avec une coulisse animée d'un mouvement de translation 94  
 — — — avec deux coulisses tournantes 89-91  
 — — — avec coulisseau à course réglable 104, 110-112  
 — — — avec coulisseau à longueur variable de la course 103  
 — — — avec deux coulisseaux 80, 85, 86  
 — — — avec deux excentriques 109  
 — — — avec disque tournant 79  
 — — — avec un élément animé d'un mouvement de translation 445  
 — — — avec excentrique 36  
 — — — avec organe commandé à angle de rotation réglable 115, 116  
 — — — avec organe commandé à course réglable 114, 117, 118  
 — — — avec quatre coulisseaux 108  
 — — — avec trois coulisseaux 81, 107  
 — — — d'Artobolevski, avec coulisse oscillante, servant à contourner les points 333  
 — — — —, avec coulisse tournante, servant à contourner les circonférences 334  
 — — — — destiné à transformer la circonférence en antiversière 301  
 — — — — destiné à transformer la circonférence en courbe du 4-ème ordre 302, 303  
 — — — — destiné à transformer la circonférence en courbe de Sluse 298  
 — — — — destiné à transformer la circonférence en lemniscate de Geronio 299  
 — — — — destiné à transformer la circonférence en piriforme 297, 300  
 — — — — servant à suivre les contours des ellipses 125, 132, 133, 139  
 — — — — servant à suivre les contours des ellipses confocales 130, 131  
 — — — — servant à suivre les contours des hyperboles 164, 167  
 — — — — servant à suivre le contour de la parabole et à la tracer 186  
 — — — — servant à suivre les contours des paraboles 177, 178, 189, 192  
 — — — — servant à tracer l'agnésienne 263  
 — — — — servant à tracer l'agnésienne de l'ellipse 265  
 — — — — servant à tracer l'apienne 293  
 — — — — servant à tracer le cappa 235

- Mécanisme à coulisse et leviers d'Artobolevski servant à tracer la cardioïde 225, 226
- — — — servant à tracer et à suivre le contour de la cardioïde 228
  - — — — servant à tracer les centroïdes des systèmes à quatre éléments articulés 322
  - — — — servant à tracer la cissoïde 208, 268
  - — — — servant à tracer la cissoïde de Dioclès 205, 207, 209
  - — — — servant à tracer la cissoïde de Dioclès et sa conchoïde 206
  - — — — servant à tracer la cissoïde de l'ellipse 212
  - — — — servant à tracer la cissoïde de Longchamps 275
  - — — — servant à tracer la cissoïde de Steiner 294
  - — — — servant à tracer la compagne de la cissoïde 270
  - — — — servant à tracer la compagne de la cissoïde de Dioclès 210
  - — — — servant à tracer la compagne de la cissoïde de l'ellipse 214
  - — — — servant à tracer la conchoïde de Kùlp 232
  - — — — servant à tracer la conchoïde de Sluse 260
  - — — — servant à tracer la coquille de Dürer 295
  - — — — servant à tracer la courbe de Jerabek 292
  - — — — servant à tracer la courbe de Longchamps 276
  - — — — servant à tracer la courbe à nœud incliné 288, 289
  - — — — servant à tracer la courbe polytropicque 285
  - — — — servant à tracer la courbe polyzomale de Bernoulli 249
  - — — — servant à tracer la courbe qui accompagne la cissoïde 271
  - — — — servant à tracer la courbe qui accompagne la cissoïde de Dioclès 211
  - — — — servant à tracer la courbe qui accompagne la cissoïde de l'ellipse 274
  - — — — servant à tracer les courbes du type des courbes d'Ag-nési 266
  - — — — servant à tracer la doublicatrice cubique 261
  - — — — servant à tracer le folium de Descartes 273
  - — — — servant à tracer le folium simple 250
  - — — — servant à tracer le folium double droit 251
  - — — — servant à tracer le folium double asymétrique 252
  - — — — servant à tracer le folium parabolique droit 272
  - — — — servant à tracer le folium parabolique asymétrique 262
  - — — — servant à tracer le folium triple droit 253
  - — — — servant à tracer les ellipses et en suivre le contour 135, 136, 140
  - — — — servant à tracer les ellipses et les hyperboles et en suivre les contours 126
  - — — — servant à tracer l'équidistante de l'ellipse 308



Mécanisme à coulisse et leviers d'Artobolevski servant à tracer l'hyperbole du 4-ème ordre 286

— — — — servant à tracer les hyperboles et en suivre le contour 169, 170

— — — — servant à tracer la lemniscate de Geronno 248

— — — — servant à tracer la lemniscate de Sluse 247

— — — — servant à tracer la lemniscate elliptique de Bouth 259

— — — — servant à tracer la lemniscate hyperbolique de Bouth 258

— — — — servant à tracer l'ophiuride 269

— — — — servant à tracer la parabole d'ordre supérieur 287

— — — — servant à tracer la parabole virtuelle de Cramer 242, 243

— — — — servant à tracer la parabole virtuelle de Vincentio 246

— — — — servant à tracer les paraboles et en suivre le contour 188, 190

— — — — servant à tracer la podaire de l'ellipse 245, 257

— — — — servant à tracer la podaire de l'hyperbole 244, 256

— — — — servant à tracer la pseudo-agnésienne 264

— — — — servant à tracer la rosace à trois feuilles 239

— — — — servant à tracer la rosace à quatre feuilles 240

— — — — servant à tracer les roulettes des centroïdes des systèmes à quatre éléments articulés 317

— — — — servant à tracer les roulettes des circonférences 329

— — — — servant à tracer les roulettes des ellipses 330

— — — — servant à tracer les roulettes des hyperboles 331

— — — — servant à tracer les roulettes des paraboles 332

— — — — servant à tracer la strophoïde 218, 220

— — — — servant à tracer la trisécante 290

— — — — servant à tracer la trisectrice de Maclaurin 267

— — — — servant à transformer l'ellipse en antiversière 291

— — — — de Lebeau servant à tracer le cappa 236

— — — — servant à tracer le pancappa 237, 238

— — — — de Neuberg-Polynovski destiné à tracer les courbes du 4-ème ordre 304, 305

— — — — de Polynovski servant à tracer les courbes de type focal 255

— — — — de Poncelet servant à tracer la capricornioïde 296

— — — — de Viatkine servant à tracer l'astroïde 241

— — — — servant à tracer la courbe exponentielle 316

— — — — servant à tracer les ovales de Cassini 277

— — — — servant à tracer la spirale d'Archimède 315

— — — — servant à tracer la spirale hyperbolique 312

— — — — servant à tracer la strophoïde 216

— — — — de la cisaille 515, 516

— — — — d'une contre-fiche repliable 120, 121

## Mécanisme à coulisse et leviers du conicographe de Bogouslavski 193

- — — du conicographe à enveloppante droite 203
- — — du coordinateur rectangulaire 374
- — — du couteau 514
- — — du cylindre oscillant avec commande par levier 472
- — — du cylindre oscillant à commande souple 474
- — — du cylindre oscillant avec parallélogramme articulé 473
- — — du cylindre oscillant avec plateau de distribution

474

- — — des cylindres compensateurs de Worthington 607
- — — destiné à tracer la néphroïde 306
- — — du diaphragme à fente 534
- — — du diaphragme de l'objectif photographique 534
- — — du dynamographe de traction 510
- — — de l'ellipsographe inversé 137
- — — de l'emboutisseuse 400
- — —, à excentrique, avec arrêts 420
- — — pour fraiser la rainure d'une came sinusoïdale 524
- — — du frein 395, 396
- — — de la griffe d'une caméra 452, 464
- — — à guidage approximatif de Kostitsyne 428
- — — à guidage circulaire d'Artobolevski 432, 435
- — — à guidage rectiligne d'Artobolevski 431, 433, 434
- — — du guide-courroie 72, 73
- — — de l'hyperbolographe 162, 155-161
- — — de l'hyperbolographe de Lebeau 168
- — — de l'intégraphe 378, 380, 390, 391
- — — de l'intégraphe polaire 377
- — — de l'intégraphe de Potier 389
- — — de l'intégrateur 384, 385, 387, 394
- — — donnant les moyennes arithmétiques du rayon de courbure des diagrammes de cercle 386
- — — — pour le calcul balistique du vol du projectile 392
- — — — à trois rouleaux 388
- — — de l'intégrimètre 381-383, 393
- — — de l'inverseur d'Artobolevski 443, 449
- — — de l'inverseur de Crawford 438
- — — de l'inverseur avec deux coulisseaux 436, 437, 440-442
- — — de l'inverseur avec rhomboïde 444
- — — de la machine à piston, avec course de piston réglable

478, 479

- — — de la machine à piston avec cylindres tournants 475
- — — de la machine à piston avec deux cylindres 470
- — — d'une machine servant à l'essai de ressorts 511
- — — de la machine à tailler les engrenages 533

- Mécanisme à coulisse et leviers, à mouvement approximativement uniforme de l'organe commandé 84, 87, 88, 98
- — — de l'obturateur d'un objectif photographique 535
  - — — du pantographe à deux coulisseaux 512
  - — —, à paramètre réglable servant à obtenir les sinus 363
  - — — du pétrin mécanique 519
  - — — du planimètre 393
  - — — d'une poulie d'entraînement 75
  - — — pour tracer la conchoïde de Nicomède 230
  - — — du rameur-jouet 519
  - — — des règles parallèles 72
  - — — du régulateur centrifuge 402-404
  - — — servant au calcul du rapport des sinus de deux angles 369
  - — — servant à la distribution de vapeur 405-410
  - — — servant à élever au carré 343, 356
  - — — servant à élever au cube 342
  - — — servant à élever en puissance 353
  - — — servant à extraire la racine carrée 352
  - — — servant à obtenir les fonctions de cosinus de l'angle double 365
  - — — servant à obtenir les fonctions de sinus de l'angle double 366
  - — — servant à obtenir les fonctions de tangente et de cotangente 368
  - — — servant à obtenir les fonctions trigonométriques 362
  - — — servant à obtenir la somme du sinus et du cosinus 364
  - — — servant à obtenir les tangentes 370
  - — — servant à reproduire deux directions parallèles 446
  - — — servant à reproduire les mouvements perpendiculaires des éléments 375
  - — — servant à suivre les contours des hyperboles 147, 148
  - — — servant à tracer la cardioïde 224
  - — — servant à tracer la cissoïde de l'ellipse 213
  - — — servant à tracer la conchoïde de l'ellipse 231
  - — — servant à tracer la conchoïde de l'hyperbole 234
  - — — servant à tracer la conchoïde de la parabole 233
  - — — servant à tracer la courbe logarithmique ou exponentielle 311
  - — — servant à tracer les courbes de l'ellipse déformée 310
  - — — servant à tracer la cranioïde 307
  - — — servant à tracer la développée de l'ellipse 283
  - — — servant à tracer les équidistantes de la courbe de bielle d'un système à quatre éléments articulés 309
  - — — servant à tracer les hyperboles et en suivre le contour 163
  - — — servant à tracer le limaçon de Pascal 223

- Mécanisme à coulisse et leviers servant à tracer l'ophiuride 254
- — — servant à tracer la parabole cubique 282
- — — servant à tracer les paraboles et en suivre le contour 185
- — — servant à tracer la projection isométrique 278
- — — servant à tracer la strophoïde 217, 219
- — — servant à tracer la tangente et la courbe de bielle 284
- — — de la soupape à excentrique 518
- — — de la touche d'une machine à écrire 467
- — — du train d'atterrissage escamotable 481-509
- — — du transformateur 279-281
- — — d'une transmission à barreaux coudés 69
- — — de la transmission intermittente avec réglage progressif 427
- — — du type de l'étau-limeur 520-523
- — — à trois éléments avec course réglable de l'élément commandé 17
- — — à trois éléments servant à obtenir les fonctions de tangente 367
- — —, à quatre éléments avec coulisse tournante 25
- — —, à cinq éléments avec coulisse curviligne 78
- — —, à cinq éléments avec coulisse suspendue 78
- — —, à cinq éléments d'une contre-fiche repliable 77
- — —, à six éléments avec coulisse tournante 92, 99
- — —, à six éléments avec levier oscillant 95
- à coulisse et manivelle du cylindre oscillant 469
- — — avec deux cylindres oscillants 475, 477
- — — du marteau à forger 397
- — — à plateau oscillant 398
- à coulisseau des cylindres compensateurs de Worthington 606
- à coulisseau et bielle avec arrêt 671
- — — avec deux courses doubles du coulisseau 571
- à coulisseau et levier oscillant avec élément mené de course réglable 576
- — — — avec excentrique 568, 569
- — — — avec glissière circulaire 552
- — — — commandé par coulisseau 549
- — — — du micromètre 694
- — — — de la soufflerie de forge 701
- — — — de Tchébychev servant à transformer le mouvement de rotation en mouvement de translation avec course retour accélérée 570
- — — — de la vanne 700
- à coulisseau et manivelle 558
- — — d'Artobolevski avec un élément animé d'un mouvement de translation rectiligne 600

- Mécanisme à coulisseau et manivelle avec arrêts 673
- — —, à bielle et coulisseau auxiliaires avec arrêts 671
- — — avec bielle adjointe et coulisseau 561
- — — avec coulisse adjointe 560
- — — avec coulisseau adjoint de course réglable 575
- — — avec coulisseau en arc de cercle 553
- — — avec coulisseau moteur 551
- — — avec coulisseaux de course réglable 574
- — — avec contrepoids d'équilibrage 610
- — — avec course double du coulisseau 562
- — — avec deux arrêts 672
- — — avec deux coulisseaux 563
- — — avec deux cylindres disposés de façon arbitraire 609
- — — avec deux entraîneurs 559
- — — avec deux losanges articulés 582
- — — avec deux plateaux oscillants 628
- — — du cadre à lampes de l'appareil de reproduction 697
- — —, commandé par bielle 550
- — — du compresseur vertical à deux étages 619
- — — de la contre-fiche 574
- — — du couteau de la machine à cisailer 696
- — — de Delaunay servant à tracer l'ellipse 652
- — — — servant à tracer l'hyperbole 648
- — — — servant à tracer la projection isométrique 650
- — — de distribution de vapeur 682
- — — avec élément mené de course réglable 575, 576
- — — avec excentrique 547, 548, 568
- — — avec excentrique rond 578
- — —, à excentrique, avec tige de course réglable 577
- — — de l'ellipsographe 639
- — — de l'ellipsographe avec pantographe 636
- — — de l'ellipsographe avec réglage de la longueur des éléments 638
- — — de l'ellipsographe de Somov 646
- — — de Gherchgorine servant à tracer le profil d'une aile d'avion 647
- — — avec glissière circulaire 553
- — — avec glissière mobile 554
- — — de la griffe de la caméra 681
- — — de la grue 674
- — — de guidage rectiligne 586, 587
- — — du guide-fil et du guide-aiguille de la machine à coudre 697
- — — de l'inverseur de Delaunay 641
- — — du levier de verrouillage 657, 658

**Mécanisme à coulisseau et manivelle de la machine à piston 602, 604**

- — — avec manivelle de longueur réglable 556
- — —, avec manivelle et bielle de longueur égale 545
- — —, avec manivelle et bielle de longueur égale et avec deux butées 547
- — — du moteur à balancier 603
- — — du moteur à cylindre coulissant 618
- — — du moteur à deux cylindres 608, 611-617
- — — du moteur à trois cylindres 606
- — — du moteur à plusieurs cylindres 619
- — — du moteur comportant des cylindres supplémentaires 620
- — — du moteur en V 614
- — — avec pantographe 564
- — — avec parallélogrammes adjoints 580
- — — avec pendule 557
- — — avec plateau oscillant 626, 628, 629, 631, 632
- — — du pétrin avec guidage circulaire 699
- — — de la pompe à main 611
- — — de la presse 660, 662
- — — de la presse à fourrages avec bielle et levier oscillant adjoints 702
- — — de la presse à main 661
- — — pour porter des segments égaux sur les axes des coordonnées 633
- — — de prise et d'avancement de pièces 667
- — — du projecteur 644
- — — du projecteur de Delaunay 642, 643
- — — avec rotule 544
- — — du régulateur centrifuge 663, 664, 666
- — — du régulateur de la calculatrice électrique 665
- — — servant à avancer et à prendre les pièces 670
- — — servant à avancer et à reprendre les pièces 668, 669
- — — servant à débrayer automatiquement l'avance 693
- — — servant à serrer une bande 667
- — — servant à tracer l'ellipse 651
- — — de la scie alternative 702
- — — de la serrure 659
- — — de Somov servant à tracer l'ellipse 654-656
- — — — servant à tracer l'hyperbole 649
- — — — servant à tracer l'ovale de Cassini 640-653
- — — du soufflet triple 700
- — — de Stanne 546
- — —, à trois éléments 539
- — —, à trois éléments, avec coulisse circulaire 540
- — —, à trois éléments de la griffe de la caméra 675

- Mécanisme à coulisseau et manivelle, à trois éléments de la presse à main 661
- — — à six éléments 565
- — —, à six éléments du marteau 660
- — — avec tourillon comportant un épanouissement 548
- — — du translateur 579
- — — du train d'atterrissage escamotable 684-687
- — — du verrou à deux sens 659
- désaxé à coulisseau et manivelle 542, 543, 546
- — — — de la griffe de la caméra 678, 680
- — — — d'un moteur 620
- — — — avec parallélogramme 564
- différentiel à coulisseau et manivelle 583
- d'enclenchement à coulisse et leviers, avec came et ressort tendeur 447
- à excentrique, à coulisseau et manivelle du moteur avec bielle et coulisseau amovibles 605
- de guidage à coulisseau et manivelle 584, 585
- — — — à quatre éléments de Reuleau 588
- de guidage circulaire, à coulisseau et manivelle, de Delaunay 598
- de guidage rectiligne à coulisseau et manivelle 596, 597
- — — — avec parallélogramme 599
- — — — —, à quatre éléments 589
- — — — —, à quatre éléments de De Jonge 592-596
- — — — —, à quatre éléments de Reuleau 588
- — — — —, à quatre éléments de Scott Russell 589
- à leviers articulés de la machine à vapeur de Tchébychev 683
- avec losange articulé servant à reproduire les mouvements de translation 581
- multiplicateur à coulisse et leviers 339-341, 344-351, 355
- — — — de Krylov 351
- sinusoïdal à coulisseau et manivelle 634
- à six éléments avec manivelle elliptique de longueur variable 100-102, 572-573
- sphérique à coulisse, à trois éléments 19
- — —, à trois éléments de la machine à coudre 526
- — —, à quatre éléments 52-55, 58, 59, 69
- — à coulisse et leviers 56
- — à coulisseau et manivelle 555
- — — — avec plateau oscillant 630
- — — — du plateau oscillant avec rochet 627
- symétrique tridimensionnel à coulisse et leviers 57
- tangentiel à coulisse, à trois éléments 16
- — à coulisse et leviers 119
- de triage à coulisse et leviers 449

Mécanisme de triage à coulisseau et manivelle 689, 690  
 — tridimensionnel à coulisse de la griffe d'une caméra 460  
 — — du train d'atterrissage escamotable 480  
 — — à coulisse et leviers de l'appareil à copier 513  
 — — — de l'arracheuse de pommes de terre 532  
 — — —, à trois éléments 21  
 — — —, à quatre éléments 68  
 — — —, à quatre éléments avec un couple à trois mouvements 62-65  
 — — —, à quatre éléments avec un couple à quatre mouvements 60-66  
 — — —, à quatre éléments avec des couples cylindrique et sphérique 67  
 — — —, à cinq éléments 76  
 — — —, à six éléments 105, 106  
 — — à coulisseau et manivelle de la cisaille à inclinaison de lame variable 698  
 — — — de distribution par lumières du moteur 695  
 — — — de la griffe de la caméra 676, 677  
 — — — du train d'atterrissage escamotable 688

Parabolographe à coulisse et leviers 172, 174, 183  
 — — d'Antonov 171  
 — — d'Artobolevski 179, 180, 181, 191  
 — — d'Inwards 176, 87  
 — — de Lebeau 175, 182, 184  
 — — de Viatkine 173



## **À NOS LECTEURS**

**Les Editions Mir vous seraient très reconnaissantes de bien vouloir leur communiquer votre opinion sur le contenu de ce livre, sa traduction et présentation, ainsi que toute autre suggestion.**

**Ecrire à l'adresse: 1<sup>er</sup> Rijski péréoulouk, 2, Moscou, I-278, U.R.S.S.**

*Imprimé en Union Soviétique*

Dans la même collection

A paraître

---

**LES MÉCANISMES  
DANS LA TECHNIQUE  
MODERNE**  
(en 5 tomes)

---

par I. Artobolevski

t. II, 2<sup>e</sup> partie

✱

Le présent volume est la suite de la 1<sup>ère</sup> partie du II<sup>e</sup> tome de l'ouvrage en 5 volumes « Les mécanismes dans la technique moderne » de I. Artobolevski de l'Académie des Sciences de l'U.R.S.S. Ce volume comprend les schémas et les descriptions des mécanismes à leviers et came et des mécanismes à leviers et vis.

En tout, le deuxième tome comporte 1376 descriptions de mécanismes.

L'ouvrage s'adresse aux étudiants et professeurs des écoles supérieures, ainsi qu'aux ingénieurs, inventeurs et rationalisateurs.

---

Dans la même collection  
À paraître

---

**LES MÉCANISMES  
DANS LA TECHNIQUE  
MODERNE**  
(en 5 tomes)

---

**par I. Artobolevski**  
**tome III**

✱

Cet ouvrage est la suite des I<sup>er</sup> et II<sup>e</sup> tomes de l'ouvrage en 5 volumes « Les mécanismes dans la technique moderne » de I. Artobolevski. Le III<sup>e</sup> tome comprend les schémas et les descriptions des mécanismes à engrenage. L'ouvrage s'adresse aux étudiants et professeurs des écoles supérieures, ainsi qu'aux ingénieurs, constructeurs et inventeurs.

---

Dans la même collection

A paraître

---

**LES MÉCANISMES  
DANS LA TECHNIQUE  
MODERNE**  
(en 5 tomes)

---

par I. Artobolevski

tome IV

\*

Le IV<sup>e</sup> tome de l'ouvrage en 5 volumes « Les mécanismes dans la technique moderne » de I. Artobolevski comprend les mécanismes à came, les mécanismes à friction et les mécanismes à éléments flexibles.

Par sa présentation schématisant chaque mécanisme et l'accompagnant d'une description sommaire, permettra de faire le choix des solutions les plus appropriées à chaque problème mécanique et sera utile aux ingénieurs, constructeurs mécaniciens et inventeurs.

---

